

FM F 201
АКАДЕМИЯ НАУК СОЮЗА ССР

ЖУРНАЛ ФИЗИЧЕСКОЙ ХИМИИ

ТОМ
XXXI

5
ВЫПУСК

МАЙ
1957

ИЗДАТЕЛЬСТВО АКАДЕМИИ НАУК СССР
МОСКВА

ЖУРНАЛ ФИЗИЧЕСКОЙ ХИМИИ

Редакционная коллегия:

В. Я. АНОСОВ, К. В. АСТАХОВ, А. И. БРОДСКИЙ, Г. К. БОРЕСКОВ,
Я. И. ГЕРАСИМОВ, С. В. ГОРБАЧЕВ, Г. С. ЖДАНОВ,
Л. А. НИКОЛАЕВ, Н. Н. СЕМЕНОВ, А. Н. ТЕРЕНИН, А. Н. ФРУМКИН,
К. В. ЧМУТОВ

Главный редактор Я. И. ГЕРАСИМОВ

Заместители главного редактора С. В. ГОРБАЧЕВ, К. В. ЧМУТОВ

Отв. секретарь Л. А. НИКОЛАЕВ

УДЕЛЬНАЯ КАТАЛИТИЧЕСКАЯ АКТИВНОСТЬ МЕТАЛЛОВ

Г. К. Боресков

Важнейшей целью теоретических исследований в области катализа является предвидение каталитического действия, возможность научно обоснованного выбора катализаторов для осуществления заданных реакций. Для приближения к решению этой задачи большое значение имеют частные обобщения для отдельных групп катализаторов, связывающих каталитическую активность с другими свойствами. Плодотворной основой для такого обобщения служит периодическая система Д. И. Менделеева. В настоящей статье сделана попытка такого частного обобщения для группы металлов, удельная каталитическая активность которых исследовалась в лаборатории технического катализа Физико-химического института им. Л. Я. Карпова в отношении ряда реакций.

Изучение каталитической активности металлов представляет интерес прежде всего вследствие большого практического значения металлических катализаторов. Около $\frac{1}{3}$ промышленных катализаторов содержит в качестве основного активного компонента различные металлы. Сюда относятся катализаторы гидрирования (Pd, Pt, Ni, Cu), дегидрирования (Pt, Pd), окисления (Pt, Pd, Ag) синтезов на основе окиси углерода и водорода (Co, Ni, Fe), синтеза аммиака (Fe) и многие другие. Согласно литературным данным высокой каталитической активностью в отношении ряда реакций обладают также Rh, Ru, Os, Re, W, Ta и другие металлы. В значительный практический и теоретический интерес представляет весьма высокая каталитическая активность некоторых металлов, значительно превышающая активность других катализаторов. Так, например, реакции изотопного изотопного обмена в присутствии платиновых, никелевых и некоторых других металлических катализаторов протекают с большой скоростью при температуре жидкого воздуха. С точки зрения возможности теоретических обобщений существенным преимуществом является элементарность металлов.

В нашей лаборатории исследовалась каталитическая активность металлов в отношении некоторых простейших реакций водорода: изотопного обмена в молекулярном водороде, взаимодействия водорода и кислорода, синтеза аммиака из водорода и азота.

Для количественной характеристики активности металлов определялась так называемая удельная каталитическая активность, выражаемая величиной скорости реакции или константой скорости, отнесенной к единице работающей поверхности катализатора. Она вычислялась из соотношения:

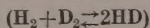
$$w_0^* = \frac{w}{s\beta},$$

где w — скорость реакции (константа скорости), отнесенная к 1 г исследуемого катализатора; s — удельная поверхность катализатора $\text{м}^2/\text{г}$; β — степень использования внутренней поверхности катализатора.

В большинстве случаев условия определения каталитической активности выбирались такие, чтобы процессы диффузии не оказывали влияния на скорость реакции и коэффициент β был близок к единице.

Удельная поверхность пористых катализаторов определялась по низкотемпературной адсорбции азота, массивных металлов по величине емкости двойного слоя электрохимическим переменным точным методом [1], а платины, нанесенной на силикагель, путем измерения хемосорбции водорода [2].

ИЗОТОПНЫЙ ОБМЕН В МОЛЕКУЛЯРНОМ ВОДОРОДЕ



Преимуществом этой простейшей реакции изотопного обмена является наличие в реакционной системе лишь одного химического компонента — молекулярного водорода. Благодаря этому удельная каталитическая активность металлов в отношении данного процесса должна однозначно определяться характером их поверхностного взаимодействия с водородом.

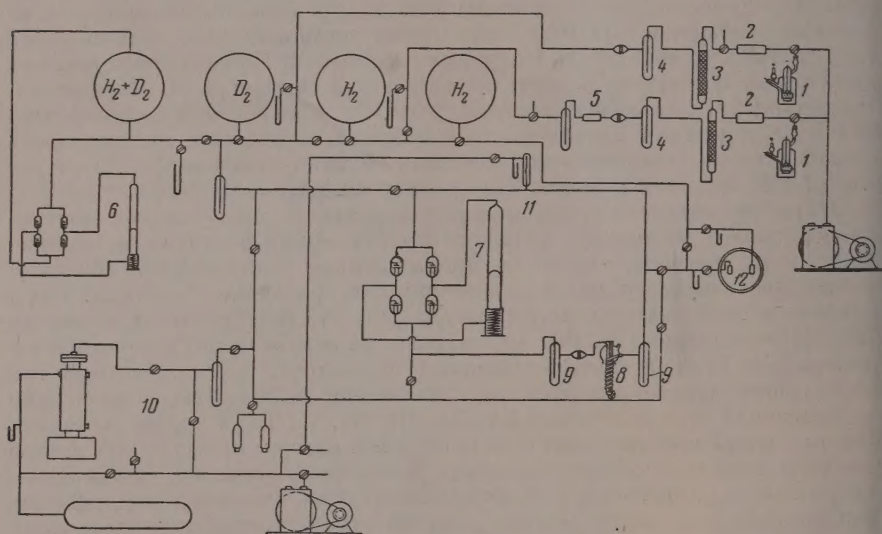


Рис. 1. Схема установки для исследования изотопного обмена в молекулярном водороде. 1 — электролизеры для получения H_2 и D_2 ; 2 — печь с палладиевым катализатором для очистки от кислорода; 3 — осушитель с силикагелем; 4 — угольная ловушка, охлаждаемая жидким азотом; 5 — печь с никелевым катализатором для достижения равновесного в условиях реакции соотношения между орто- и пара-модификациями водорода; 6 — стеклянный электромагнитный насос для приготовления реакционной смеси; 7 — стеклянный электромагнитный насос, обеспечивающий циркуляцию газа в реакционном контуре; 8 — аппарат с исследуемым катализатором; 9 — ловушки, охлаждаемые жидким азотом для предохранения катализатора от попадания паров смазки и ртути; 10 — вакуумная установка для эвакуирования системы перед заполнением реакционной смесью и предварительной тренировки катализатора; 11 — стеклянный мембранный манометр для измерения давления в реакционном контуре; 12 — лампы для измерения теплопроводности реакционной смеси.

Исследовалась каталитическая активность железа, кобальта, никеля платины, меди, серебра и золота; в случае никеля, платины и серебра определялась активность различным способом приготовленных образцов, существенно отличающихся друг от друга по величине удельной поверхности.

Методика исследования. Исследование скорости взаимодействия водорода и дейтерия производилось статическим методом с циркуляцией реакционной смеси в установке, изображенной на рис. 1 и подробно описанной в предыдущей работе [3].

Все измерения проводились со стехиометрической смесью H_2 и D_2 .

Реакционный контур включал стеклянный электромагнитный насос 7, обеспечивающий циркуляцию газа со скоростью 1000 л/час, и контактный аппарат 8, снабженный

меевиком для подогрева или охлаждения циркулирующего газа. Объем реакционного контура составлял около 900 мл.

Давление реакционной смеси во всех опытах составляло 65—70 мм рт. ст. и измерялось при помощи стеклянного мембранного манометра 11.

Анализ реакционной смеси производился по методу теплопроводности путем измерения сопротивления платиновой нити, нагреваемой током в атмосфере исследуемого газа. Пробы газа для анализа периодически отбирались в предварительно эвакуированные лампы 12, находившиеся в термостате. Давление в лампах при измерении поддерживалось точно на уровне 50 мм рт. ст. Малый объем измерительных ламп позволял многократно отбирать пробы газа в течение опыта без заметного изменения давления в реакционном контуре. Сопротивление платиновых нитей в лампах измерялось компенсационным методом. Разность сопротивлений платиновой нити в исходной смеси H_2 и D_2) и в той же смеси после достижения равновесной концентрации HD составляла 0,16 Ω . Точность измерения сопротивления нити равнялась 0,002 Ω , что соответствует возможной ошибке в определении степени превращения, равной 1,5 %.

Удельная каталитическая активность вычислялась по уравнению:

$$k = \frac{V}{s\tau} \ln \frac{1 - (c_{HD}^0/c'_{HD})}{1 - (c_{HD}/c'_{HD})} \quad (1)$$

где V — общее число молей водорода в реакционной системе в г-моль; — время реакции (секунды); s — поверхность катализатора в m^2 ; c_{HD}^0 — начальная молярная доля HD в реакционной смеси; c_{HD} — молярная доля D в момент времени, τ ; c'_{HD} — молярная доля HD в состоянии равновесия.

Уравнение (1) вытекает из того, что к образованию и исчезновению молекул HD приводят определенные доли общего числа обменивающихся молекул, зависящие от соотношения молярных концентраций компонентов в реакции. Соответственно этому оно справедливо при любом механизме обмена и не отражает зависимости скорости обмена от давления реакционной смеси. Действительный порядок реакции, определяемый зависимостью скорости реакции от давления, может отличаться от первого.

Результаты исследования. В табл. 1 приведены результаты определения активности никелевых и серебряных катализаторов,

Таблица 1

Каталитическая активность никелевых и серебряных катализаторов, приготовленных различными способами

№	Катализатор Способ приготовления	Поверхность, см ² /г	Каталитическая актив- ность при 100° в пере- счете на 1 г, ммоль г·сек	Удельная каталитичес- кая активность ммоль м ² ·сек
7	Никель, восстановлен- ный из окисла	$1,2 \cdot 10^5$	3,1	$2,5 \cdot 10^{-1}$
8	Никель карбонильный	$3,1 \cdot 10^3$	$3,9 \cdot 10^{-2}$	$1,25 \cdot 10^{-1}$
9	Никель сплавной	$5,0 \cdot 10^5$	2,7	$0,55 \cdot 10^{-1}$
11	Серебро пористое	$7,8 \cdot 10^3$	$5,5 \cdot 10^{-4}$	$6,9 \cdot 10^{-4}$
12	Серебро массивное	20,8	$7,2 \cdot 10^{-6}$	$3,45 \cdot 10^{-3}$

готовленных различными способами. Несмотря на значительное раз-
ие поверхности у никеля, полученного восстановлением из окисла,
арбонильного никеля, значения удельной каталитической активности
ик катализаторов близки. Несколько ниже удельная каталитическая
ивность никелевого катализатора, полученного выщелачиванием сплава
юминием. Возможно, что это связано с неполным удалением алюминия
состава катализатора.

Полученные результаты позволяют заключить, вопреки часто выска-
аемому мнению, что сплавной никелевый катализатор не обладает
шпенной удельной каталитической активностью по сравнению с дру-

гипи никелевыми катализаторами, во всяком случае в отношении реакции обмена.

Удельная каталитическая активность массивного серебра оказалась в пять раз выше активности пористого серебра. В действительности различие удельных активностей меньше, так как приведенная в табл. 1 величина поверхности массивного серебра отвечает видимой геометрической поверхности, действительная же величина поверхности этого образца катализатора, использовавшегося ранее для исследования реакций окисления, должна быть значительно больше, а величина удельной каталитической активности соответственно ниже.

На рис. 2 представлены результаты измерения удельной каталитической активности различных платиновых катализаторов в широком интервале температур (от $+300$ до -196°C). Значения, найденные для раз-

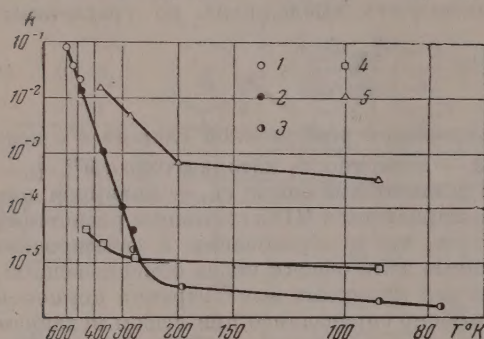


Рис. 2. Зависимость удельной активности платиновых и серебряных катализаторов от температуры. 1 — платиновая проволока; 2 — губчатая платина; 3 — платиновая чернь; 4 — пористое серебро; 5 — платина, нанесенная на силикагель

резко меняется в исследованном интервале температур. При температурах выше 0°C она составляет $7,5 \text{ ккал/моль}$, а при более низких температурах снижается до $0,5 \text{ ккал/моль}$. Аналогичное изменение энергии активации наблюдается и для платинированного силикагеля.

Приведенные выше результаты нашего исследования изотопного обмена на платиновых катализаторах позволяют заключить о различии механизма обмена при высоких (выше 100°C) и низких (ниже 0°C) температурах. Малая величина энергии активации делает вероятным предположение, что при низких температурах обмен протекает по ценному механизму Райдизелла, Эллера, благодаря чему скорость обмена не зависит от скорости адсорбции. Последним обстоятельством, по-видимому, связана меньшая специфичность действия катализаторов в этой температурной области. Так, серебро в высоких температурах значительно уступает по активности платине, в области же низких температур скорости реакции обмена на серебре и платине весьма близки.

Расчет скорости обмена по методу переходного состояния, предполагая взаимодействие молекулы водорода с атомом на поверхности катализатора, приводит к величине скорости, приблизительно на пять порядков превышающей наблюдаемую в области низких температур. Это следует признать необходимой определенной ориентации активного комплекса, учитываемой при расчете абсолютной скорости реакции.

Вследствие малой величины предэкспоненциального множителя низкотемпературный обмен протекает с малой скоростью и может быть нарушен лишь на катализаторах с достаточно развитой поверхностью. С повышением температуры скорость низкотемпературного обмена

различных образцов чистой платины (платиновая проволока, губчатая платина и платиновая чернь), укладываются на одну кривую. Вследствие большого различия удельных поверхностей не удалось исследовать все катализаторы как при высоких, так и при низких температурах, но темпериатурные интервалы измерения активности различных образцов перекрывались. При одинаковых температурах удельные каталитические активности разных образцов платины оказались близкими.

Для платиновых катализаторов без носителя энергии активации реакции обмена

растает очень медленно, в соответствии с малой величиной энергии активации. Скорость процессов адсорбции и десорбции возрастает значительно быстрее и, начиная с определенной температуры, обмен по адсорбционно-десорбционному механизму становится преобладающим. Чем больше скорость процессов адсорбции и десорбции, тем ниже температура перехода от низкотемпературного цепного механизма к высокотемпературному адсорбционно-десорбционному механизму. Расчет величины предэкспоненциального множителя по методу переходного состояния для области высоких температур дает значение, удовлетворительно совпадающее с экспериментальным.

Как уже указывалось, удельная каталитическая активность платиновой проволоки, губчатой платины и платиновой черни оказались близкими. Исключение составил платинированный силикагель, удельная каталитическая активность которого, отнесенная к единице поверхности платины, оказалась значительно выше. При высоких температурах различие невелико, но при низких температурах удельная каталитическая активность платины платинированном силикагеле почти в три порядка выше, чем для остальных платиновых катализаторов. Трудно предположить, что это различие связано с особыми свойствами платины, нанесенной на силикагель, так как в отношении других исследованных в нашей лаборатории реакций — окисления двуокиси серы и взаимодействия водорода с кислородом — удельные каталитические активности платины в платинированном силикагеле и в других катализаторах были весьма близкими [4]. Удельная каталитическая активность силикагеля, не содержащего платины, была найдена в 10^6 раз меньше удельной активности платины. Поскольку в исследованном образце платинированного силикагеля поверхность носителя в 10^4 раз превышала поверхность платины, скорость реакции обмена на силикагеле должна составлять $\sim 1\%$ от скорости реакции на поверхности платины. Этот расчет предполагает аддитивность активностей платины и силикагеля для платинированного силикагеля. Возможно, однако, что это предположение не оправдывается и присутствие платины снижает скорость адсорбции водорода на поверхности силикагеля, а следовательно, и скорость реакции обмена. В связи с этим интересные наблюдения Р. Х. Бурштейн и А. Н. Фрумкина [5] о значительно большей скорости адсорбции водорода платинированным углем по сравнению с углем, не содержащим платины. Разницу в количествах адсорбированного водорода за определенный промежуток времени нельзя было объяснить адсорбцией водорода на платине. По мнению Р. Х. Бурштейн [6], повышенная скорость сорбции водорода платинированным углем связана с возможностью миграции атомов водорода с поверхности платины на поверхность угля.

Значения удельных каталитических активностей различных металлов приведены в табл. 2 и на рис. 3. В пределах IV периода удельная каталитическая активность возрастает от железа к никелю, для которого достигает максимального значения, и резко падает при переходе к следующему элементу — меди.

Энергии активации реакции обмена на железе, кобальте и никеле близки между собой и равны 8 ккал/моль, а для меди в два раза больше.

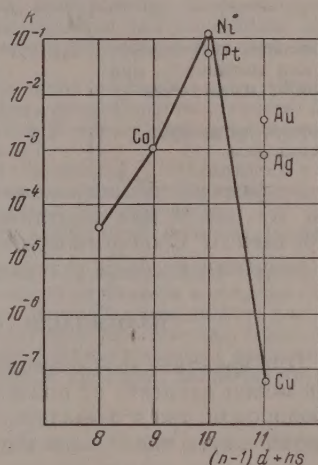


Рис. 3. Удельные каталитические активности металлов в отношении реакции изотопного обмена в молекулярном водороде при 100°C

Удельные каталитические активности никеля и платины очень близки. В противоположность этому активности в группе I В значительно меняются, возрастая с увеличением порядкового номера от меди к золоту.

Таблица 2

Удельные каталитические активности различных металлов

Металл	Fe	Co	Ni	Cu	Ag	Au
Удельная каталитическая активность при 100°, ммоль/м ² сек	$5,5 \cdot 10^{-4}$	$1 \cdot 10^{-3}$	$1,4 \cdot 10^{-1}$	$5,9 \cdot 10^{-8}$	$6,9 \cdot 10^{-4}$	$3,8 \cdot 10^{-3}$
Энергия активации, ккал/моль	8,1	7,9	8,0	16	—	7,0

Энергия активации реакции обмена на серебре при низких температурах так же как и для платины, очень мала (0,5 ккал/моль). При температуре выше 0° С энергия активации резко возрастает, но область постоянного значения не была достигнута.

ВЗАИМОДЕЙСТВИЕ ВОДОРОДА С КИСЛОРОДОМ

При катализе этой реакции удельная каталитическая активность металлов может зависеть от поверхностного взаимодействия катализатора как с водородом, так и с кислородом. Наличие кислорода в реакционной смеси ограничивает число металлов, которые могут служить катализаторами

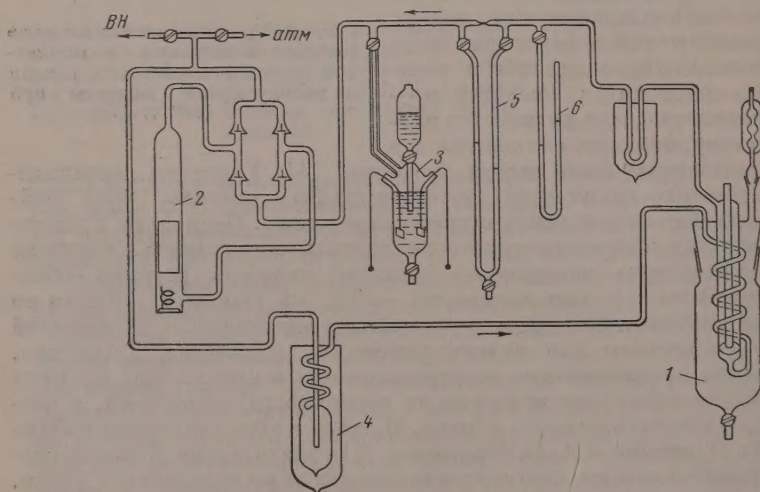


Рис. 4. Схема установки для исследования активности катализаторов в отношении реакций взаимодействия водорода с кислородом

для осуществления этой реакции без перехода в объемные окислы. Это ограничение смягчается при проведении реакции в большом избытке водорода. В этих условиях удалось исследовать каталитическую активность металлов VIII и I В групп периодической системы. Для некоторых металлов были выяснены пределы возможных колебаний удельной каталитической активности в зависимости от способа приготовления и величины удельной поверхности.

Методика исследования. Для измерения каталитической активности металлов в отношении реакции взаимодействия водорода с кислородом был использован стационарный циркуляционный метод, обеспечивающий постоянство скорости реакции как по времени испытания, так и по высоте слоя катализатора [7].

Схема установки приведена на рис. 4. В замкнутой системе, включающей аппарат с исследуемым катализатором 1, обогреваемый кипящей жидкостью, и ловушку 4, охлаждаемую смесью твердой углекислоты со спиртом, при помощи стеклянного электромагнитного насоса 2 осуществляется циркуляция реакционной смеси. Скорость циркуляции измеряется реометром 5. В начале опыта система заполняется водородом, кислородом или каким-либо инертным газом. После этого в систему из электролизера 3 непрерывно вводятся водород и кислород в стехиометрическом соотношении. Скорость их подачи измеряется силой тока, проходящего через электролизер. Скорость циркуляции во много раз превышает количество вводимых реагентов, так что степень превращения и изменение состава газа при однократном прохождении через слой катализатора изменяются очень мало.

Если реагирующие газы вводятся в систему с постоянной скоростью, то их концентрация в циркулирующем газе возрастает до достижения стационарного значения, при котором скорость реакции равна количеству вводимой в систему реакционной смеси. Это состояние может выдерживаться сколь угодно долго.

По увеличению давления в системе (измеряемого манометром 6) по сравнению с исходным, до начала впуска реакционной смеси, определяется состав циркулирующего газа, а по нагрузке электролизера — количество сжигаемой гремучей смеси.

Варьируя нагрузку электролизера, легко снять зависимость скорости реакции от состава реакционной смеси.

Основные достоинства данного метода заключаются: 1) в прямом измерении скорости реакции; 2) в возможности измерения каталитической активности в стационарных условиях, которые могут выдерживаться сколь угодно долго; 3) в возможности поддержания постоянного состава газа и температуры по всему слою катализатора. Последнее преимущество позволяет осуществлять реакцию взаимодействия водорода с кислородом даже на активных катализаторах в области химической кинетики, исключая тормозящее влияние процессов переноса.

Влияние состава реакционной смеси. Определение каталитической активности металлов производилось при давлении около 760 мм и большим избытке водорода, что позволило исследовать более широкий круг металлов, не опасаясь образования фазовых окислов. В этих условиях при малых концентрациях кислорода на большинстве исследованных металлах скорость реакции прямо пропорциональна концентрации кислорода. При увеличении концентрации кислорода до определенного предела скорость реакции на железе, кобальте и никеле падает (рис. 5). Это падение сопровождается изменением порядка реакции от первого к нулевому и значительным увеличением наблюдаемой энергии активации. Предельная концентрация кислорода, при которой наступает переход к нулевому порядку, возрастает с повышением температуры и зависит от природы металла. Падение каталитической активности при повышении концентрации кислорода полностью обратимо и не связано с образованием объемного окисла. Изменение каталитических свойств металла, по-видимому, вызывается увеличением концентрации кислорода в его поверхностном слое. Так, для железа при 302° первый порядок имеет место при концентрации кислорода до 0,3%, при 254° до 0,14%, при 180° только до 0,06%, а при 135° при всех исследованных концентрациях кислорода наблюдается нулевой порядок.

Значительное влияние кислород оказывает и на каталитическую активность других металлов, в частности платины. Так, платина, находившаяся на воздухе, обладает вначале пониженной каталитической активностью, очень медленно возрастающей в процессе испытания при 100°. При снятии кислорода с поверхности платины путем обработки водородом при 500° каталитическая активность возрастает и притом тем значительно, чем продолжительнее осуществляется восстановление водородом. Однако повышенная активность, достигнутая после длительной обработки водородом, в процессе испытания постепенно снижается, приближаясь к постоянному значению, отвечающему, по-видимому, стационарной в условиях реакции концентрации кислорода на поверхности платины. При недостаточном восстановлении водородом первоначально пониженная каталитическая

активность в процессе испытания постепенно повышается, приближаясь к тому же значению стационарной активности. Обработка кислородом в отсутствие водорода вызывает резкое падение каталитической активности.

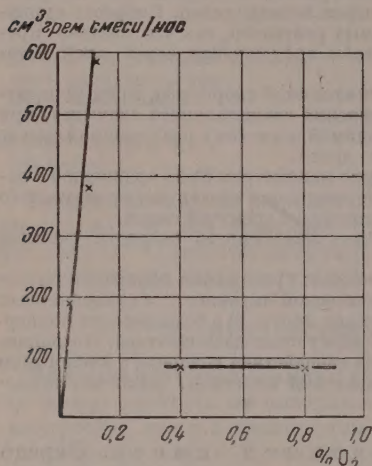
Эти результаты показывают, что зависимость скорости реакции от концентраций реагирующих компонентов в газовой фазе может быть более сложной, чем это вытекает из обычных представлений о кинетике реакций гетерогенного катализа. Изменение состава реакционной смеси меняет не только концентрации реагирующих частиц в газовой фазе и на поверхности,

но может приводить, в результате взаимодействия отдельных компонентов с металлом, и к существенным изменениям его каталитических свойств.

Удельная активность катализаторов постоянного состава. Для возможности сравнения каталитической активности различных металлов необходимо было выяснить, в каких пределах может меняться удельная активность одного и того же металла в зависимости от способа приготовления. С этой целью была определена каталитическая активность различных платиновых катализаторов: проволоки, фольги и платинированного силикагеля [8].

Для снятия кислорода с поверхности платины все образцы катализаторов подвергались предварительной обработке водородом при 500° и выдерживались в токе реакционной смеси до достижения постоянного состояния, отвечающей стационарному состоянию поверхности катализатора.

Рис. 5. Зависимость скорости реакции взаимодействия водорода с кислородом на никеле от концентрации кислорода при большом избытке водорода



В табл. 3 сопоставлены каталитические активности исследованных образцов в стационарном состоянии при 100°C . Наблюдаемая энергия активации реакции для всех платиновых катализаторов оказалась приблизительно одинаковой, равной 11 ккал/моль .

Таблица 3

Удельная каталитическая активность платиновых катализаторов

Катализаторы	Платиновая проволока диаметром 0,1 мм	Платиновая фольга толщиной 0,2 мм	Платинированный силикагель, 0,2% Pt
Активность, отнесенная на 1 г	$1,4 \cdot 10^4$	$6,2 \cdot 10^3$	$4,2 \cdot 10^3$
Поверхность платины в см^2 на 1 г	20,6	6,9	$3 \cdot 10^5$
Удельная каталитическая активность в $\frac{\text{см}}{\text{час}} \cdot 10^{-2}$	5,3	9,0	14,0

Хотя поверхность и каталитическая активность, отнесенные к 1 г платины, меняются у исследованных образцов почти в 10^5 раз, удельная каталитическая активность, отнесенная к единице поверхности платины, меняется менее чем в три раза, т. е. сохраняется приблизительно

динаковой. Аналогичный результат был получен и для других металлов, исследованных в состоянии различной дисперсности. Эти данные свидетельствуют о том, что удельная каталитическая активность металлов одинакового состава в отношении реакции окисления водорода сохраняется приблизительно постоянной при изменении в широких пределах размера кристаллитов, температуры прогрева и других условий приготовления и, следовательно, может быть использована для характеристики каталитических свойств вещества.

Удельные каталитические активности различных металлов. Была определена удельная каталитическая активность железа, кобальта, никеля, родия, палладия, меди, серебра и золота, главным образом в массивном состоянии (в виде проволоки, фольги или стружки). Содержание кислорода в водороде не превышало 2%. При каждой температуре определялась зависимость скорости реакции от концентрации кислорода. Испытания велись длительно, до достижения стационарного состояния поверхности катализатора. Удельная каталитическая активность характеризовалась числом см^3 гремучей смеси, реагировавшей в 1 час на 1 см^2 поверхности катализатора.

На рис. 6 приведены удельные каталитические активности исследованных металлов при 180°C [9]. Как видно из этих данных, удельная каталитическая активность в пределах длинных периодов системы Д. И. Менделеева первоначально возрастает, достигая максимума у никеля, палладия, платины, после чего снижается (почти на два порядка) при переходе к следующим металлам группы I В. Металлы IV периода, расположенные перед железом (ванадий, хром и марганец), в условиях испытания покрываются окисной пленкой; их активность приблизительно в 10 раз ниже активности железа. Цинк при испытании каталитической активности тоже окислялся; его каталитическая активность очень мала.

Металлы одинаковых групп в разных периодах обладают близкой каталитической активностью. Максимальное различие наблюдается у наиболее активных металлов (Ni, Pd, Pt), удельная каталитическая активность которых возрастает от IV к VI периоду.

СИНТЕЗ АММИАКА ИЗ ВОДОРОДА И АЗОТА

Удельная каталитическая активность металлов в отношении реакции синтеза аммиака должна зависеть от характера их поверхностного взаимодействия с азотом, поскольку лимитирующим этапом этой реакции, как показал М. И. Темкин [10], является хемосорбция азота.

Исследование каталитической активности железа, кобальта и никеля в отношении реакции синтеза аммиака проводилось при атмосферном давлении проточно-циркуляционным методом, предложенным М. И. Темкиным, С. Л. Киперманом и Л. И. Лукьяновой [11].

Хром, обладавший очень низкой активностью, исследовался в обычной проточной установке. Кроме того, определялась удельная каталитическая

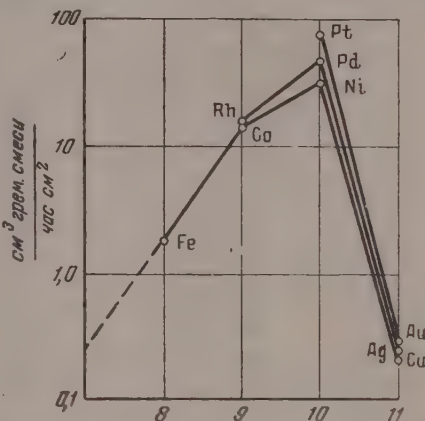


Рис. 6. Удельные каталитические активности металлов в отношении реакции взаимодействия водорода с кислородом в избытке водорода при 180°C

активность железа, кобальта, никеля и меди в отношении обратной реакции разложения аммиака [12].

Было установлено, что для всех исследованных металлов справедливо кинетическое уравнение М. И. Темкина и В. А. Пыжева [13]:

$$\frac{dp_{\text{NH}_3}}{d\tau} = k_1 p_{\text{N}_2} \left(\frac{p_{\text{H}_2}^3}{p_{\text{NH}_3}^2} \right)^\alpha - k_2 \left(\frac{p_{\text{NH}_3}^2}{p_{\text{H}_2}^3} \right)^{1-\alpha}, \quad (2)$$

где p_i — парциальные давления азота, водорода и аммиака; k_1 и k_2 — константы скорости прямой и обратной реакций; τ — время реакции; α — по-

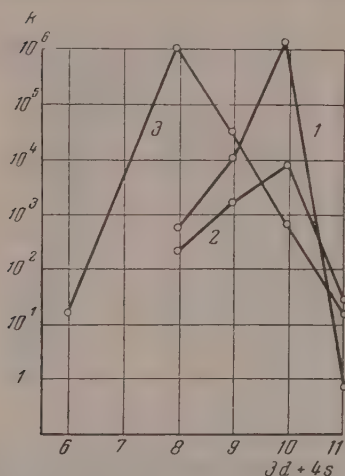


Рис. 7. Удельные каталитические активности металлов 4-го периода. 1 — изотопный обмен в молекулярном водороде при 100° С; 2 — взаимодействие водорода с кислородом в избытке водорода при 180° С; 3 — синтез аммиака из водорода и азота при 450° С

стоянная. Значения постоянной α оказались, однако, различными для разных металлов: для хрома $\alpha = 0,8$, для железных катализаторов $\alpha = 0,5$, для кобальта $\alpha = 0,1$ и для никеля $\alpha = 0,25$. Вследствие этого нельзя было сравнивать удельные активности разных металлов по величине констант скорости. Поэтому за меру удельной каталитической активности была принята скорость реакции при одинаковом составе реакционной смеси, определяемая числом см³ аммиака, образующихся на 1 м² катализатора в час.

На рис. 7 (кривая 3) представлены значения удельных активностей хрома, железа, кобальта и никеля в отношении реакции синтеза аммиака. На кривую нанесена также удельная активность меди, вычисленная путем сравнения активностей меди и никеля в отношении реакции разложения аммиака. Как видно из рисунка, удельные каталитические активности металлов IV периода в отношении реакции синтеза аммиака проходят через резко выраженный максимум, однако по сравнению

с ранее рассмотренными реакциями изотопного обмена в водороде и окисления водорода положение максимума смещено от никеля к железу. Энергия активации на всех исследованных металлах оказалась близкой и равной в среднем 55 ккал/моль.

ОБСУЖДЕНИЕ РЕЗУЛЬТАТОВ

Приведенные выше результаты исследования трех каталитических реакций позволяют сделать некоторые общие выводы. Так, заслуживают внимания данные о малой зависимости удельной каталитической активности металлических катализаторов от способа приготовления и величины удельной поверхности. Этот вывод находится в соответствии с данными об удельных каталитических активностях металлов в отношении некоторых других реакций.

По-видимому, во всех этих случаях в условиях реакции достигается приблизительно одинаковое стационарное состояние поверхности металла независимо от условий приготовления катализатора. Первоначальные различия в структуре поверхности отдельных образцов отступают на второй план по сравнению с изменениями, возникающими под влиянием воздействия реагирующих веществ, одинаковыми в стационарном состоянии для катализаторов постоянного состава.

Химический состав, а не первоначальная структура поверхности, является ведущим фактором, определяющим каталитическую активность.

В литературе встречается много данных, не согласующихся с этим выводом. Отчасти это можно объяснить недостаточным вниманием, уделявшимся в старых работах определению поверхности активного компонента катализатора и особенно влиянию процессов переноса, определяющих степень использования внутренней поверхности. Кроме того, не всегда удается при вариации способов приготовления катализаторов полностью избежать изменений состава. Существенные изменения состава происходят под воздействием самих реагирующих веществ и при медленном установлении стационарного состояния могут приводить к заметным колебаниям активности, как, например в случае окисления водорода на металлах.

Вместе с тем не следует придавать выводу о приблизительном постоянстве удельной каталитической активности универсального значения. Он ограничивается возможностью различного развития разных граней кристаллов катализатора, удельная каталитическая активность которых может существенно различаться. В случае неоднородных многокомпактных катализаторов сложных реакций, отдельные этапы которых протекают на разных частях катализатора, удельная активность и избирательность могут значительно изменяться при постоянном общем составе в зависимости от полноты смещения отдельных компонентов. Не исключено, наконец, что при низких температурах могут в отдельных случаях длительное время сохраняться сильно деформированные структуры, удельная каталитическая активность которых отлична от активности стабильных структур.

Эти ограничения не меняют основного вывода об определяющем значении химического состава катализатора для удельной каталитической активности.

Для трех исследованных реакций зависимость удельной каталитической активности от химической природы металла представлена на рис. 7. Для реакций изотопного обмена в молекулярном водороде и взаимодействия водорода с кислородом зависимости очень близки. Удельная каталитическая активность возрастает с увеличением числа электронов, достигая максимума у последних элементов VIII группы, и резко падает при переходе к следующим элементам группы IB. Аналогичная зависимость наблюдалась и для некоторых других реакций, протекающих с участием водорода. Рост удельной каталитической активности при переходе от железа к никелю наблюдал Бик [14] при исследовании реакции гидрирования этилена на пленках металлов. Данные Кембэлла [15] по обмену дейтерия аммиаком и этаном на различных металлах также указывают на увеличение активности при переходе от железа к никелю и резкое снижение при переходе к меди.

Интересно сопоставить изменение удельной каталитической активности некоторыми другими свойствами исследованных металлов. Как видно из данных табл. 4, параметр решетки исследованных металлов IV периода меняется незначительно. В частности, падение удельной каталитической активности в отношении реакций изотопного обмена и окисления водорода при переходе от никеля к меди нельзя объяснить увеличением параметра решетки с 2,48 до 2,55 Å, так как для платины активность мало отличается от активности никеля, несмотря на увеличение параметра с 2,71 Å.

Отсюда можно заключить, что решающим фактором, определяющим каталитическую активность металла в отношении указанных реакций, является не параметр решетки, а химические свойства металла, его электронная структура.

Более неожиданным является отсутствие прямой связи между каталитической активностью и величиной работы выхода электронов. Следует, однако, учесть, что значения работы выхода, приведенные в табл. 4, от-

Таблица 4

Сопоставление удельной каталитической активности с некоторыми свойствами исследованных металлов

Тип кристаллической решетки	Cr	Fe	Co	Ni	Cu	Pt
	куб. объемн. центр.	куб. объемн. центр.	куб. гране- центр.	куб. гране- центр.	куб. гране- центр.	куб. гране- центр.
Расстояние между ближайшими атомами, Å	2,49	2,58	2,51	2,48	2,55	2,71
Работа выхода электрона, eV	4,62	4,33	4,41	4,61	4,29	5,36
Число неспаренных электронов в <i>d</i> -зоне	0,2	2,2	1,71	0,6	нет	0,6
Удельная каталитическая активность в отношении: изотопного обмена водорода при 100° С, $г\text{ моль}/м^2\text{сек}$	—	$5,5 \cdot 10^{-4}$	$1,0 \cdot 10^{-3}$	$1,4 \cdot 10^{-1}$	$5,9 \cdot 10^{-8}$	$3,4 \cdot 10^{-2}$
Окисление водорода $мл\text{ H}_2/см^2\text{ час}, 180^\circ$	—	1,3	9,4	20	0,27	
Синтез аммиака 450°, $x=22; мл\text{ H}_2/м^2\text{ час}$	$1,6 \cdot 10^{-4}$	9,5	$3,2 \cdot 10^{-1}$	$5,1 \cdot 10^{-3}$	$(2 \cdot 10^{-4})$	

носятся к чистой поверхности металла, в условиях же протекания каталитической реакции в результате поверхностного взаимодействия металла с компонентами реакционной смеси работа выхода электрона может существенно измениться.

Отчетливо проявляется зависимость удельной каталитической активности от числа неспаренных электронов в *d*-зоне металла. Для реакции изотопного обмена в молекулярном водороде максимум удельной каталитической активности лежит у последних металлов VIII группы, т. е. соответствует почти полному заполнению *d*-зоны. Завершение заполнения *d*-зоны при переходе от никеля к меди и от платины к золоту приводит к резкому снижению каталитической активности. Металлы с одинаковым заполнением *d*-зоны (никель и платина) обладают близкой активностью.

Электронная структура металла определяет характер и энергию поверхностного взаимодействия с водородом.

На металлах с незаполненной *d*-зоной (железо, никель) адсорбция водорода протекает с большой скоростью и, даже при низких давлениях, отвечает покрытию большей части поверхности. При адсорбционно-десорбционном механизме обмена максимальная скорость реакции соответствует заполнению поверхности хемосорбированных водородом приблизительно наполовину. Поэтому падение энергии связи водорода с поверхностью металла, соответствующее уменьшению числа неспаренных электронов в *d*-зоне, в ряду железо, кобальт, никель приводит к увеличению удельной каталитической активности. При переходе к следующему металлу — меди, с заполненной *d*-зоной, энергия связи водорода с поверхностью металла и скорость хемосорбции резко уменьшаются. Медь, хемосорбирует водород с заметной скоростью лишь при высоких температурах (выше 400° С). В соответствии с этим очень мала и удельная каталитическая активность меди в отношении реакции обмена атомами водорода. Интересно отметить, что энергия активации адсорбции водорода на меди со-

ставляет 20 ккал/моль [16], что довольно близко к найденной нами величине энергии активации реакции обмена.

Недавно Доуден и Маккензи [17], исследуя протекание реакции: $\text{H}_2 + \text{D}_2 \rightleftharpoons 2\text{HD}$, в присутствии окислов металлов IV периода пришли к выводу, что удельная каталитическая активность определяется главным образом числом неспаренных d -электронов иона металла.

Наибольшей активностью обладают окислы с небольшим числом неспаренных d -электронов иона металла (Cr_2O_3 , Co_3O_4 , NiO). Окислы, в которых ион металла не имеет неспаренных d -электронов, а также окислы с большим числом неспаренных d -электронов иона металла, обладают низкой каталитической активностью.

Возможно, что и в случае металлов удельная каталитическая активность в отношении реакции изотопного обмена водорода имеет второй максимум в начале длинных периодов, при малом числе $(n-1)_d + n_s$ -электронов. В связи с этим интересны наблюдения Веллера и Райта [18] о высокой каталитической активности гидридов кальция и бария в отношении реакций обмена и гидрирования. Существенно, что наибольшая активность достигается в условиях, когда катализатор содержит, наряду с фазой гидрида, также и фазу металла.

Удельная каталитическая активность металлов в отношении реакции окисления водорода меняется в пределах IV периода, так же как и для реакции изотопного обмена. Это позволяет заключить, что и для этой реакции определяющим фактором является энергия связи водорода с поверхностью металла. В противоположность этому для реакции синтеза аммиака из азота и водорода, при которой лимитирующим этапом является хемосорбция азота, максимум удельной каталитической активности, как видно из кривой 3 рис. 7, смещен в сторону меньшего числа d -электронов и лежит у железа. Удельная каталитическая активность никеля в отношении этой реакции на три порядка ниже активности железа. Энергия связи азота с металлами IV периода снижается по мере заполнения d -зоны. При этом уменьшение энергии связи при хемосорбции азота происходит гораздо резче, чем при хемосорбции водорода. Так, по данным Трепнэлла [19] при 0°C водород хемосорбируется на железе и никеле и не сорбируется на меди, в то время как азот хемосорбируется на железе и не сорбируется ни на никеле, ни на меди. По-видимому, энергия связи азота на поверхности железа наиболее близка к оптимальному значению для процесса синтеза аммиака; на хrome она слишком велика, в результате чего очень медленно протекают последующие этапы гидрирования хемосорбированного азота, на никеле же энергия хемосорбции азота слишком мала, и сорбция происходит очень медленно. Это согласуется и с найденными нами значениями коэффициента α в уравнении Темкина — Пыжева для различных металлов. Согласно представлениям М. И. Темкина, для области средних заполнений α означает, какую долю составляет изменение энергии активации от соответствующего изменения теплоты сорбции и обычно близко к 0,5. Данные по кинетике синтеза аммиака можно аппроксимировать при помощи уравнения Темкина — Пыжева и вне области средних заполнений поверхности азотом, но тогда коэффициент α утрачивает указанный физический смысл и меняет свое значение. При этом в случае малых заполнений α приближается к нулю, при большом заполнении — к единице.

Полученные нами значения коэффициента α для хрома, кобальта и никеля можно объяснить тем, что при осуществлении реакции синтеза аммиака на этих металлах покрытие поверхности азотом не отвечает области средних заполнений. В случае хрома ($\alpha = 0,8$) покрытие поверхности азотом выше, а для кобальта ($\alpha = 0,1$) и никеля ($\alpha = 0,25$) ниже, чем в области средних заполнений.

Полученные результаты позволяют заключить, что удельная каталитическая активность переходных металлов резко меняется в зависимости от степени заполнения d -зоны, причем максимуму удельной каталитиче-

ской активности для разных реакций соответствует различная степень заполнения d -зоны.

Электронные структуры даже соседних в периодической системе металлов значительно отличаются друг от друга. Не исключено, что в отношении каталитической активности наиболее выгодной была бы определенная промежуточная структура. С этой точки зрения представляет интерес применение в качестве катализаторов сплавов металлов, для которых возможно непрерывное регулирование электронной структуры. В настоящее время использование катализаторов-сплавов весьма ограничено, что, по-видимому, связано с трудностью приготовления сплавов каталитически активных металлов с достаточно развитой поверхностью. Несомненно, что после преодоления этой трудности катализаторы на основе сплавов металлов получат широкое распространение в химической промышленности.

ВЫВОДЫ

1. Исследована каталитическая активность переходных металлов в отношении реакций изотопного обмена водорода, окисления водорода и синтеза аммиака из азота и водорода.

Удельная каталитическая активность металлических катализаторов одного состава, но приготовленных различными способами, оказалась одного порядка. Это позволило заключить, что основным фактором, определяющим удельную каталитическую активность, является химический состав катализатора.

2. Удельная каталитическая активность в отношении реакций изотопного обмена и окисления водорода в пределах длинных периодов системы Д. И. Менделеева первоначально увеличивается с ростом порядкового номера, достигает максимума у последнего элемента VIII группы и резко снижается при переходе к металлам группы I В. Для реакции синтеза аммиака удельная каталитическая активность меняется аналогично, но максимум активности лежит не у последнего, а у первого металла VIII группы. Высказано предположение, что появление максимума удельной каталитической активности связано с тем, что энергия связи хемосорбированных металлами водорода и азота снижается в пределах длинных периодов по мере заполнения d -зоны, максимальной же скорости реакции соответствуют определенные средние значения энергии связи реагирующих веществ с поверхностью катализатора.

3. Установлено, что каталитические свойства металлов могут существенно меняться в результате взаимодействия с компонентами реакционной смеси.

Физико-химический
институт им. Л. Я. Карпова

Поступила
7.XII.1956

ЛИТЕРАТУРА

1. Т. И. Борисова, М. А. Проскурнин, Acta phys. chim. URSS, 4, 819, 1936.
2. Г. К. Боресков, А. П. Карнаухов, Журн. физ. химии, 26, 1814, 1952.
3. М. А. Авдеенко, Г. К. Боресков и М. Г. Слинько, Сборник трудов Совещания по применению изотопов в исследованиях гетерогенного катализа, Изд-во АН СССР, Москва, 1957.
4. В. С. Чесалова, Удельная каталитическая активность платины, Диссертация, Физико-химический институт им. Л. Я. Карпова, Москва, 1953; В. С. Чесалова, Г. К. Боресков, ДАН, 85, 376, 1952.
5. Р. Х. Бурштейн, А. Н. Фрумкин, Trans. Farad. Soc., 28, 272, 1932.
6. Р. Х. Бурштейн, Журн. физ. химии, 12, 185, 1938.
7. Г. К. Боресков, М. Г. Слинько, А. Г. Филиппова, ДАН, 92, 353, 1953.

8. Г. К. Боресков, М. Г. Слинко и В. С. Чесалова, Журн. физ. химии, 30, 2787, 1956.
 9. Г. К. Боресков, М. Г. Слинко, А. Г. Филиппова, Р. Н. Гурьянова, ДАН, 94, 713, 1953.
 10. М. И. Темкин, Журн. физ. химии, 24, 1312, 1950; М. И. Темкин, С. Л. Киперман, Журн. физ. химии, 21, 927, 1947.
 11. М. И. Темкин, С. Л. Киперман, Л. И. Лукьянова, ДАН, 74, 753, 1950.
 12. О. Ф. Щеглов, Г. К. Боресков и М. Г. Слинко, ДАН, 105, 123, 1955.
 13. М. И. Темкин, В. А. Пыжев, Журн. физ. химии, 13, 851, 1939.
 14. О. Вееск, Disc. Farad. Soc., 8, 118, 1950.
 15. C. Kemball, Proc. Roy. Soc. 214, 413, 1952.
 16. T. Kwan, Advances in Catalysis, 6, 67, 1954.
 17. D. A. Dowden, N. Mackenzie and B. Trapnell, Proc. Roy. Soc., 237, 245, 1956.
 18. S. Weller, L. Wright, Journ. Amer. Chem. Soc., 76, 5302, 5948, 1954.
 19. B. M. W. Trapnell, Chemisorbtion, London, 1955, стр. 173.
-

ТОПОАНАЛИТИЧЕСКОЕ ИССЛЕДОВАНИЕ ДИАГРАММ РАВНОВЕСИЯ МНОГОКОМПОНЕНТНЫХ ЭВТЕКТИЧЕСКИХ СИСТЕМ. II

Л. С. Палатник и И. М. Копелович

В предыдущей статье [1] был предложен топоаналитический метод построения и исследования плоских сечений диаграмм равновесия тройных и четверных систем, образующих простые эвтектические сплавы.

В [1] было показано, что способ вывода всех уравнений гиперповерхностей, конструкция полученных формул, а также принятые в работе обозначения дают возможность обобщить полученные результаты на системы с любым количеством компонентов. В настоящей статье дается обобщение полученных в [1] результатов на n -компонентную систему, образующую простые эвтектические сплавы.

Пусть имеется указанная система с компонентами A_1, A_2, \dots, A_n . Для аналитического описания системы будем применять декартову косоугольную систему координат $x^{(2)}, x^{(3)}, \dots, x^{(n)}$, где T

$$x^{(2)} = \frac{m_{A_2}}{m_{A_1} + m_{A_2} + \dots + m_{A_n}} \text{ — концентрация компонента } A_2 \text{ в системе;}$$

$$x^{(n)} = \frac{m_{A_n}}{m_{A_1} + m_{A_2} + \dots + m_{A_n}} \text{ — концентрация компонента } A_n \text{ в системе;}$$

концентрация компонента A_1 : $x^{(1)} = 1 - x^{(2)} - \dots - x^{(n)}$;

$$0 \leq x^{(1)}, x^{(2)}, \dots, x^{(n)} \leq 1;$$

T — температура.

Углы между любыми концентрационными осями составляют 60° , ось T перпендикулярна всем осям $x^{(2)}, x^{(3)}, \dots, x^{(n)}$. Таким образом, концентрационные оси в интервалах $[0, 1]$ образуют концентрационный симплекс $A_1 A_2 \dots A_n$.

В дальнейшем будем применять те же упрощающие предположения и те же обозначения, что в [1]. В частности, будем считать, что гиперповерхность ликвидуса системы аппроксимирована участками гиперплоскостей.

Поверхность ликвидуса системы состоит из $C_n^1 = n$ гиперплоскостей.

Каждая из таких гиперплоскостей $(n-1)$ -мерности проходит через точку плавления какого-либо компонента и $n-1$ точек «соседних» двойных эвтектик. Точка плавления компонента по-прежнему [1] рассматривается как «одинарная» эвтектика.

Уравнение гиперплоскости $E_1 E_{12} \dots E_{1n}$:

$$\begin{vmatrix} x^{(2)} - x_1^{(2)} & x^{(3)} - x_1^{(3)} & \dots & x^{(n)} - x_1^{(n)} & T - T_1 \\ x_{12}^{(2)} - x_1^{(2)} & x_{12}^{(3)} - x_1^{(3)} & \dots & x_{12}^{(n)} - x_1^{(n)} & T_{12} - T_1 \\ \dots & \dots & \dots & \dots & \dots \\ x_{1n}^{(2)} - x_1^{(2)} & x_{1n}^{(3)} - x_1^{(3)} & \dots & x_{1n}^{(n)} - x_1^{(n)} & T_{1n} - T_1 \end{vmatrix} = 0. \quad (1)$$

Уравнение гиперплоскости $E_2 E_{21} \dots E_{2n}$:

$$\begin{vmatrix} x^{(2)} - x_2^{(2)} & x^{(3)} - x_2^{(3)} & \dots & x^{(n)} - x_2^{(n)} & T - T_2 \\ x_{21}^{(2)} - x_2^{(2)} & x_{21}^{(3)} - x_2^{(3)} & \dots & x_{21}^{(n)} - x_2^{(n)} & T_{21} - T_2 \\ \dots & \dots & \dots & \dots & \dots \\ x_{2n}^{(2)} - x_2^{(2)} & x_{2n}^{(3)} - x_2^{(3)} & \dots & x_{2n}^{(n)} - x_2^{(n)} & T_{2n} - T_2 \end{vmatrix} = 0. \quad (1,2)$$

Уравнение гиперплоскости $E_n E_{n1} \dots E_{n,n-1}$:

$$\begin{vmatrix} x^{(2)} - x_n^{(2)} & x^{(3)} - x_n^{(3)} & \dots & x^{(n)} - x_n^{(n)} & T - T_n \\ x_{n1}^{(2)} - x_n^{(2)} & x_{n1}^{(3)} - x_n^{(3)} & \dots & x_{n1}^{(n)} - x_n^{(n)} & T_{n1} - T_n \\ \dots & \dots & \dots & \dots & \dots \\ x_{n,n-1}^{(2)} - x_n^{(2)} & x_{n,n-1}^{(3)} - x_n^{(3)} & \dots & x_{n,n-1}^{(n)} - x_n^{(n)} & T_{n,n-1} - T_n \end{vmatrix} = 0. \quad (1,n)$$

Гиперповерхность ликвидуса разделяет n -мерный объем существования жидкой фазы и n -мерный объем первичной кристаллизации. Гиперповерхность $(n-1)$ -мерности, разделяющая n -мерный объем первичной кристаллизации и n -мерный объем вторичной кристаллизации, состоит из $2C_n^2$ «линейчатых» гиперповерхностей. Каждая такая гиперповерхность образуется движением симплекса $A_1 A_2 \dots A_{n-1}$ всеми своими вершинами, кроме одной, по гиперповерхности $(n-2)$ -мерности двойных эвтектик, а оставшейся вершиной по соответствующему температурному ребру чистого компонента. Движущийся симплекс $A_1 A_2 \dots A_{n-1}$ при своем движении остается перпендикулярным (всеми своими ребрами) оси T . Гиперповерхность $[(n-2)$ -мерности] двойных эвтектик является гиперплоскостью $[(n-2)$ -мерности] пересечения двух гиперплоскостей $[(n-1)$ -мерности] ликвидуса и проходит через точку какой-либо двойной эвтектики и $n-2$ соседние точки тройных эвтектик.

Выведем уравнение линейчатой гиперповерхности $E_{12} E_{123} \dots E_{12n}$ 1, образованной движением указанного симплекса своими $n-2$ вершинами по гиперплоскости двойных эвтектик $E_{12} E_{123} \dots E_{12n}$ и оставшейся вершиной по ребру чистого компонента 1 ($A_1 E_1$).

Уравнение $E_{12} E_{123} \dots E_{12n}$ есть уравнение гиперплоскости $(n-2)$ -мерности в пространстве n измерений:

$$\begin{vmatrix} x^{(2)} - x_{12}^{(2)} & x^{(3)} - x_{12}^{(3)} & \dots & x^{(n)} - x_{12}^{(n)} \\ x_{123}^{(2)} - x_{12}^{(2)} & x_{123}^{(3)} - x_{12}^{(3)} & \dots & x_{123}^{(n)} - x_{12}^{(n)} \\ \dots & \dots & \dots & \dots \\ x_{12n}^{(2)} - x_{12}^{(2)} & x_{12n}^{(3)} - x_{12}^{(3)} & \dots & x_{12n}^{(n)} - x_{12}^{(n)} \end{vmatrix} =$$

$$= \begin{vmatrix} x^{(3)} - x_{12}^{(3)} & \dots & x^{(n)} - x_{12}^{(n)} & T - T_{12} \\ x_{123}^{(3)} - x_{12}^{(3)} & \dots & x_{123}^{(n)} - x_{12}^{(n)} & T_{123} - T_{12} \\ \dots & \dots & \dots & \dots \\ x_{12n}^{(3)} - x_{12}^{(3)} & \dots & x_{12n}^{(n)} - x_{12}^{(n)} & T_{12n} - T_{12} \end{vmatrix} = 0. \quad (2)$$

Если закрепить в уравнении (2) $T = T^*$, то получим уравнение гиперплоскости $(n-3)$ -мерности, натянутой на $n-2$ вершины симплекса.

Уравнение пучка гиперплоскостей $(n-2)$ -мерности, проходящих через указанную гиперплоскость, будет

$$\begin{aligned} & \begin{vmatrix} x^{(2)} - x_{12}^{(2)} & x^{(3)} - x_{12}^{(3)} & \dots & x^{(n)} - x_{12}^{(n)} \\ x_{123}^{(2)} - x_{12}^{(2)} & x_{123}^{(3)} - x_{12}^{(3)} & \dots & x_{123}^{(n)} - x_{12}^{(n)} \\ \dots & \dots & \dots & \dots \\ x_{12n}^{(2)} - x_{12}^{(2)} & x_{12n}^{(3)} - x_{12}^{(3)} & \dots & x_{12n}^{(n)} - x_{12}^{(n)} \end{vmatrix} + \\ & + k_1 \begin{vmatrix} x^{(3)} - x_{12}^{(3)} & \dots & x^{(n)} - x_{12}^{(n)} & T - T_{12} \\ x_{123}^{(3)} - x_{12}^{(3)} & \dots & x_{123}^{(n)} - x_{12}^{(n)} & T_{123} - T_{12} \\ \dots & \dots & \dots & \dots \\ x_{12n}^{(3)} - x_{12}^{(3)} & \dots & x_{12n}^{(n)} - x_{12}^{(n)} & T_{12n} - T_{12} \end{vmatrix} = 0. \end{aligned} \quad (3)$$

Движущимся симплексом будет та гиперплоскость из пучка (3), которая пересекает температурное ребро A_1E_1 в точке $(x_1^{(2)} = 0, x_1^{(3)} = 0, \dots, x_1^{(n)} = 0, T^*)$. Из этого условия находится коэффициент k_1 . Найдя k_1 и полагая температуру T снова произвольной (опуская звездочку при T), получаем уравнение линейчатой гиперповерхности $E_{12} E_{123} \dots E_{12n} 1$

$$\begin{aligned} & \begin{vmatrix} x^{(2)} - x_{12}^{(2)} & x^{(3)} - x_{12}^{(3)} & \dots & x^{(n)} - x_{12}^{(n)} \\ x_{123}^{(2)} - x_{12}^{(2)} & x_{123}^{(3)} - x_{12}^{(3)} & \dots & x_{123}^{(n)} - x_{12}^{(n)} \\ \dots & \dots & \dots & \dots \\ x_{12n}^{(2)} - x_{12}^{(2)} & x_{12n}^{(3)} - x_{12}^{(3)} & \dots & x_{12n}^{(n)} - x_{12}^{(n)} \end{vmatrix} + \\ & + k_1 \begin{vmatrix} x^{(3)} - x_{12}^{(3)} & \dots & x^{(n)} - x_{12}^{(n)} & T - T_{12} \\ x_{123}^{(3)} - x_{12}^{(3)} & \dots & x_{123}^{(n)} - x_{12}^{(n)} & T_{123} - T_{12} \\ \dots & \dots & \dots & \dots \\ x_{12n}^{(3)} - x_{12}^{(3)} & \dots & x_{12n}^{(n)} - x_{12}^{(n)} & T_{12n} - T_{12} \end{vmatrix}, \end{aligned} \quad (4)$$

где k_1 находится из условия, что уравнение (4) удовлетворяется при

$$x^{(2)} = x_1^{(2)}, \quad x^{(3)} = x_1^{(3)}, \quad \dots, \quad x^{(n)} = x_1^{(n)}.$$

Совершенно аналогично можно получить уравнения других линейчатых гиперповерхностей, разделяющих объем первичной кристаллизации и объем вторичной кристаллизации: $E_{12}E_{123} \dots E_{12n} 2$, $E_{13}E_{132} \dots E_{13n} 1$, $E_{13}E_{132} \dots E_{13n} 3, \dots, E_{n-1,n}E_{n-1,n1} \dots E_{n-1,n,n-2} (n-1)$, $E_{n-1,n}E_{n-1,n1} \dots E_{n-1,n,n-2} n$. Легко видеть, что все эти гиперповерхности суть поверхности второго порядка $(n-1)$ -мерности в пространстве n измерений.

Гиперповерхность $(n-1)$ -мерности, разделяющая объем вторичной кристаллизации и объем третичной кристаллизации, состоит из \mathcal{H}_n^3 линейчатых гиперповерхностей. Каждая из них образуется движением симплекса $A_1A_2 \dots A_{n-1}$ всеми своими вершинами, кроме двух, по гиперповерхности $(n-3)$ -мерности тройных эвтектик, а оставшимися двумя вершинами по соответствующим температурным ребрам чистых компонентов. Гиперповерхность тройных эвтектик является гиперповерхностью $(n-3)$ -мерности пересечения трех гиперплоскостей $(n-2)$ -мерности двойных эвтектик и проходит через точку какой-либо тройной эвтектики и $n-3$ соседних точек четверных эвтектик.

Вывод уравнений указанных $3C_n^3$ линейчатых гиперповерхностей аналогичен выводу уравнений (4) и является его простым обобщением. Например, уравнение линейчатой гиперповерхности $E_{123}E_{1234} \dots E_{123n}$ 12:

$$\begin{aligned} & \left| \begin{array}{ccccccc} x^{(2)} & -x_{123}^{(2)} & x^{(3)} & -x_{123}^{(3)} & \dots & x^{(n-1)} & -x_{123}^{(n-1)} \\ x_{1234}^{(2)} & -x_{123}^{(2)} & x_{1234}^{(3)} & -x_{123}^{(3)} & \dots & x_{1234}^{(n-1)} & -x_{123}^{(n-1)} \\ \dots & \dots & \dots & \dots & \dots & \dots & \dots \\ x_{123n}^{(2)} & -x_{123}^{(2)} & x_{123n}^{(3)} & -x_{123}^{(3)} & \dots & x_{123n}^{(n-1)} & -x_{123}^{(n-1)} \end{array} \right| + \\ & + k_1 \left| \begin{array}{ccccccc} x^{(3)} & -x_{123}^{(3)} & x^{(4)} & -x_{123}^{(4)} & \dots & x^{(n)} & -x_{123}^{(n)} \\ x_{1234}^{(3)} & -x_{123}^{(3)} & x_{1234}^{(4)} & -x_{123}^{(4)} & \dots & x_{1234}^{(n)} & -x_{123}^{(n)} \\ \dots & \dots & \dots & \dots & \dots & \dots & \dots \\ x_{123n}^{(3)} & -x_{123}^{(3)} & x_{123n}^{(4)} & -x_{123}^{(4)} & \dots & x_{123n}^{(n)} & -x_{123}^{(n)} \end{array} \right| + \\ & + k_2 \left| \begin{array}{ccccccc} x^{(4)} & -x_{123}^{(4)} & \dots & x^{(n)} & -x_{123}^{(n)} & T & -T_{123} \\ x_{1234}^{(4)} & -x_{123}^{(4)} & \dots & x_{1234}^{(n)} & -x_{123}^{(n)} & T_{1234} & -T_{123} \\ \dots & \dots & \dots & \dots & \dots & \dots & \dots \\ x_{123n}^{(4)} & -x_{123}^{(4)} & \dots & x_{123n}^{(n)} & -x_{123}^{(n)} & T_{123n} & -T_{123} \end{array} \right|. \end{aligned} \quad (5)$$

Два коэффициента k_1 и k_2 находятся из двух условий: уравнение (5) охватывается при

$$\begin{aligned} x^{(2)} &= x_1^{(2)}, \quad x^{(3)} = x_1^{(3)}, \dots, x^{(n)} = x_1^{(n)}, \\ x^{(2)} &= x_2^{(2)}, \quad x^{(3)} = x_2^{(3)}, \dots, x^{(n)} = x_2^{(n)}. \end{aligned}$$

Такой же конструкции будут уравнения линейчатых гиперповерхностей $E_{123}E_{1234} \dots E_{123n}$ 13, $E_{123}E_{1234} \dots E_{123n}$ 23 и т. д. Все эти гиперповерхности также поверхности второго порядка, $(n-1)$ -мерности в пространстве измерений.

Рассмотрим еще общий случай. Гиперповерхность $(n-1)$ -мерности, разделяющая объем $(j-1)$ -й кристаллизации и объем j -й кристаллизации, состоит из jC_n^j линейчатых гиперповерхностей. Каждая из них разрезается движением симплекса $A_1 A_2 \dots A_{n-1}$ своими $n-j$ вершинами гиперповерхности $(n-j)$ -мерности j -х эвтектик, а оставшимися -1 вершинами по соответствующим температурным ребрам чистых компонентов. Гиперповерхность j -х эвтектик является гиперплоскостью $(-j)$ -мерности пересечения по j гиперплоскостей $(n-j+1)$ -мерности (-1) -х эвтектик и проходит через точку какой-либо j -й эвтектики и $n-j$ соседних точек $(j+1)$ -х эвтектик.

Напишем уравнение одной из jC_n^j линейчатых гиперповерхностей, например $E_{12 \dots j} E_{12 \dots j, j+1} \dots E_{12 \dots jn}$ 12 $\dots (j-1)$

$$\left| \begin{array}{ccccccc} x^{(2)} & -x_{12 \dots j}^{(2)} & x^{(3)} & -x_{12 \dots j}^{(3)} & \dots & x^{(n-j+2)} & -x_{12 \dots j}^{(n-j+2)} \\ x_{12 \dots j, j+1}^{(2)} & -x_{12 \dots j}^{(2)} & x_{12 \dots j, j+1}^{(3)} & -x_{12 \dots j}^{(3)} & \dots & x_{12 \dots j, j+1}^{(n-j+2)} & -x_{12 \dots j}^{(n-j+2)} \\ \dots & \dots & \dots & \dots & \dots & \dots & \dots \\ x_{12 \dots jn}^{(2)} & -x_{12 \dots j}^{(2)} & x_{12 \dots jn}^{(3)} & -x_{12 \dots j}^{(3)} & \dots & x_{12 \dots jn}^{(n-j+2)} & -x_{12 \dots j}^{(n-j+2)} \end{array} \right| +$$

Существенно отметить, что и уравнения гиперплоскостей типа (1), образующих поверхность ликвидуса, являются частным случаем уравнений (6). Действительно, если ввести в качестве множителя первого детерминанта уравнения (6) коэффициент $k_0 = 1$ и положить, как и следует для гиперповерхности, разделяющей объем существования жидкой фазы и объем эвричной кристаллизации, $j = 1$, то (6) непосредственно переходит (1,1). При этом следует еще ввести естественное обозначение:

$$x^{(n+1)} \equiv T. \quad (10)$$

Покажем, что и уравнение солидуса (9) является частным, предельным случаем уравнения (6). Действительно, при $j = n$, как и следует для гиперповерхности, разделяющей объем $(n-1)$ -й кристаллизации и объем n -й кристаллизации, уравнение (6) принимает вид [учитывая (10)]:

$$(x^{(2)} - x_{12...n}^{(2)}) + k_1(x^{(3)} - x_{12...n}^{(3)}) + \dots \\ \dots + k_{n-2}(x^{(n)} - x_{12...n}^{(n)}) + k_{n-1}(T - T_{12...n}) = 0. \quad (11)$$

Коэффициенты k_1, k_2, \dots, k_{n-1} находятся из следующих $n-1$ линейных уравнений:

$$(x_1^{(2)} - x_{12...n}^{(2)}) + k_1(x_1^{(3)} - x_{12...n}^{(3)}) + \dots + k_{n-2}(x_1^{(n)} - x_{12...n}^{(n)}) + k_{n-1}(T - T_{12...n}) = 0, \\ (x_2^{(2)} - x_{12...n}^{(2)}) + k_1(x_2^{(3)} - x_{12...n}^{(3)}) + \dots + k_{n-2}(x_2^{(n)} - x_{12...n}^{(n)}) + k_{n-1}(T - T_{12...n}) = 0, \\ \dots \dots \dots (x_{n-1}^{(2)} - x_{12...n}^{(2)}) + k_1(x_{n-1}^{(3)} - x_{12...n}^{(3)}) + \dots + k_{n-2}(x_{n-1}^{(n)} - x_{12...n}^{(n)}) + k_{n-1}(T - T_{12...n}) = 0.$$

Следовательно, уравнение (11) можно записать в виде:

$$\Delta(x^{(2)} - x_{12...n}^{(2)}) + \Delta_1(x^{(3)} - x_{12...n}^{(3)}) + \dots \\ \dots + \Delta_{n-2}(x^{(n)} - x_{12...n}^{(n)}) + \Delta_{n-1}(T - T_{12...n}) = 0, \quad (12)$$

$$\Delta = \begin{vmatrix} x_1^{(3)} - x_{12...n}^{(3)} & \dots & x_1^{(n)} - x_{12...n}^{(n)} & T - T_{12...n} \\ x_2^{(3)} - x_{12...n}^{(3)} & \dots & x_2^{(n)} - x_{12...n}^{(n)} & T - T_{12...n} \\ \dots & \dots & \dots & \dots \\ x_{n-1}^{(3)} - x_{12...n}^{(3)} & \dots & x_{n-1}^{(n)} - x_{12...n}^{(n)} & T - T_{12...n} \end{vmatrix};$$

$$\Delta_1 = - \begin{vmatrix} x_1^{(2)} - x_{12...n}^{(2)} & x_1^{(4)} - x_{12...n}^{(4)} & \dots & x_1^{(n)} - x_{12...n}^{(n)} & T - T_{12...n} \\ x_2^{(2)} - x_{12...n}^{(2)} & x_2^{(4)} - x_{12...n}^{(4)} & \dots & x_2^{(n)} - x_{12...n}^{(n)} & T - T_{12...n} \\ \dots & \dots & \dots & \dots & \dots \\ x_{n-1}^{(2)} - x_{12...n}^{(2)} & x_{n-1}^{(4)} - x_{12...n}^{(4)} & \dots & x_{n-1}^{(n)} - x_{12...n}^{(n)} & T - T_{12...n} \end{vmatrix};$$

$$\Delta_{n-1} = - \begin{vmatrix} x_1^{(3)} - x_{12...n}^{(3)} & \dots & x_1^{(n)} - x_{12...n}^{(n)} & x_1^{(2)} - x_{12...n}^{(2)} \\ x_2^{(3)} - x_{12...n}^{(3)} & \dots & x_2^{(n)} - x_{12...n}^{(n)} & x_2^{(2)} - x_{12...n}^{(2)} \\ \dots & \dots & \dots & \dots \\ x_{n-1}^{(3)} - x_{12...n}^{(3)} & \dots & x_{n-1}^{(n)} - x_{12...n}^{(n)} & x_{n-1}^{(2)} - x_{12...n}^{(2)} \end{vmatrix}.$$

Учетом теперь принятые в работе обозначения:

$$x_i^{(k)} = \begin{cases} 1, & \text{при } i = k, \\ 0, & \text{при } i \neq k, \end{cases}$$

Легко видеть, что в определителях $\Delta, \Delta_1, \dots, \Delta_{n-2}$ последние два столбца состоят каждый из одинаковых элементов — $x_{12\dots n}^{(n)}$ и $T - T_{12\dots n}$. Следовательно,

$$\Delta = \Delta_1 = \Delta_2 = \dots = \Delta_{n-2} = 0.$$

Определитель же $\Delta_{n-1} \neq 0$, так как не содержит столбцов с одинаковыми элементами.

Таким образом уравнение (12) переходит в уравнение (9).

Заметим, что для общности следует считать, что поверхность солидуса состоит из $n C_n^n = n$ линейчатых гиперповерхностей, слившихся в одну гиперплоскость.

Итак, уравнения (6) описывают все гиперповерхности $(n-1)$ -мерности, разделяющие объемы кристаллизации, включая и поверхности ликвидуса, и поверхность солидуса.

Перейдем теперь к методу построения плоских сечений диаграмм равновесия n -компонентных систем.

Для того чтобы построить плоское изотермическое сечение диаграммы равновесия, нужно задать определенное $T = T_0$ и $n-3$ линейных связей между концентрационными координатами $x^{(2)}, x^{(3)}, \dots, x^{(n)}$. Соответствующие сечения всех гиперповерхностей типа (6) дадут прямые линии — линии фазовых переходов. Эти линии следует отложить в треугольнике, который является этим же сечением симплекса $A_1 A_2 \dots A_n$. Линии, выходящие за границу указанного треугольника, учитывать не следует, так как они не соответствуют реальным фазовым переходам.

Для того чтобы построить плоское политермическое сечение диаграммы равновесия, нужно задать $n-2$ линейных связей между концентрационными координатами $x^{(2)}, x^{(3)}, \dots, x^{(n)}$. Соответствующие сечения всех гиперповерхностей типа (6) дадут прямые и кривые линии — линии фазовых переходов. Их следует отложить на прямоугольном декартовом графике, ось абсцисс которого является это же сечение симплекса $A_1 A_2 \dots A_n$, ось ординат — ось температуры. Линии, выходящие за границы этого графика, также не следует учитывать.

ВЫВОДЫ

1. Предложен топоаналитический метод построения плоских сечений диаграмм равновесия n -компонентных систем, образующих простые эвтектики.

2. Выведено общее уравнение типа (6) всех гиперповерхностей, разделяющих на диаграммах равновесия n -мерные объемы кристаллизаций.

3. Для того чтобы построить изотермические или политермические плоские сечения, нужно задать только концентрации и температуры все эвтектических точек. Расчет сечений сводится к вычислениям простых определителей.

Государственный университет им. А. М. Горького
Политехнический институт им. В. И. Ленина
.. Харьков

Поступила
30.V.1955

ЛИТЕРАТУРА

1. Л. С. Палатник и И. М. Копелиович, Журн. физ. химии, 30, 1948 1956.

TOPOANALYTICAL INVESTIGATION OF EQUILIBRIUM DIAGRAMS OF MULTICOMPONENT EUTECTIC SYSTEMS. II

L. S. Palatnik and I. M. Kopeliovich

Summary

In this study a generalization has been made of the results of the paper [1] to include eutectic systems with any number of components. The main result of the study is the formulas (6) and (7) representing equations for all linear hypersurfaces separating regions of crystallization. These formulas, in particular, give expressions also for the hyperplanes of the liquidus and the solidus.

For the topological construction of isothermal and polythermal plane sections of the multicomponent eutectic equilibrium diagrams only the melting points of the components and the binary eutectic points are required.

Calculation of the sections reduces to calculation of determinants of the type (I). The proposed system of designation makes it possible to automatically obtain the required equations.

К ВОПРОСУ О РАЗМЫВАНИИ АДсорбЦИОННЫХ ФРОНТОВ

1. КОЛИЧЕСТВЕННЫЕ ХАРАКТЕРИСТИКИ РАЗМЫВАНИЯ

Я. В. Шевелев

Как известно, слой адсорбента можно использовать для разделения смесей (хроматография) и для очистки жидкостей или газов от примесей. Это связано с тем, что скорость продвижения примеси u в слое обратно пропорциональна ее адсорбируемости:

$$u = w/\Gamma, \quad \Gamma = (a/c)_{\text{равнов.}}$$

Здесь Γ — адсорбируемость (коэффициент Генри); c — концентрация примеси в потоке жидкости (газа); a — величина адсорбции; w — условная скорость (объемный расход на единицу поперечного сечения слоя адсорбента).

Однако разделение (или очистка), связанная с разной скоростью продвижения компонентов (или, соответственно, примеси и носителя), ухудшается, если волна концентраций примеси расширяется по мере продвижения по слою (рис. 1). Вопрос об изменении формы адсорбционной волны — волны концентрации адсорбируемой примеси — при продвижении ее вдоль слоя адсорбента изучался многими авторами. Так, Викке [1] пришел к выводу, что при адсорбции СО углем из тока N_2 деформация переднего волнового фронта связана с медленной внутренней диффузией. А. А. Иуховицкий, Я. Л. Забежинский, А. Н. Тихонов [2—4] развили теорию применительно к случаю, когда скорость адсорбции лимитируется массообменом между гранулой адсорбента и потоком, причем этот случай авторы считают характерным для адсорбции газов углем и пористым силикагелем.

Алландер [2] рассмотрел совместное действие разных механизмов. Он решает задачу для смеси с зернами двух размеров, при линейной кинетике на каждом зерне (внешний массообмен), получает такую же форму волны, как при продольной диффузии, и отсюда делает вывод об универсальности формы адсорбционной волны. Н. Н. Тунцкий с сотрудниками [6, 7] вскрыл ряд общих закономерностей, присущих хроматографическим явлениям, которые рассматриваются со статистической точки зрения. Некоторые другие работы также посвящены попыткам обобщить закономерности размыывания адсорбционной волны введением концепций «теоретических тарелок» [8, 9], «запаздывания» [10], «эффективной диффузии» [11].

Настоящая работа посвящена общей теории вопроса (применительно к линейной изотерме), выяснению законности упомянутых выше феноменологических концепций и выявлению условий, при которых решающим является тот или иной механизм размыывания хроматографической волны.

ОБЩИЕ ЗАКОНОМЕРНОСТИ

Характер адсорбционной волны существенно зависит от формы изотермы. При выпуклой изотерме, когда

$$\frac{d}{da} \left(\frac{dc}{da} \right) = - \frac{d^2a}{dc^2} / \left(\frac{da}{dc} \right)^3 > 0,$$

передний фронт адсорбционной волны имеет тенденцию заостряться: скорость продвижения точек волнового фронта $u(dc/da)$ с малой концентрацией мала, и гребень волны настигает их. Поэтому при выпуклой изотерме расширение переднего фронта адсорбционной волны ограничено: чем больше кривизна, тем круче фронт*.

* Задний фронт в этом случае сильно растянут по той же причине, по какой передний заострен [12]. Однако для фронтальной хроматографии это несущественно. Алландер [5] показал, что тепловыделение при адсорбции по своему влиянию на форму адсорбционной волны эквивалентно уменьшению кривизны изотермы.

Но, если концентрация примеси мала и адсорбция не осложняется ассоциацией и химическим взаимодействием, изотерма спрямляется. В этом случае хроматографическая полоса может расширяться неограниченно, причем некоторые закономерности могут быть установлены без каких-либо существенных предположений о механизме процесса. Достаточно ввести в рассмотрение две вероятностные функции $p_0(t)$ и $p_l(X)$, определив их следующим образом. Величина $p_0(t)dt$ равна вероятности того, что молекула примеси, попав из потока в адсорбент при $t=0$, обратится в поток в интервале времени $(t, t+dt)$. Аналогично $p_l(X)$ дает вероятность переноса молекулы примеси потоком между двумя актами адсорбции на расстояние X . Тогда среднее время пребывания молекулы в адсорбенте θ , средняя длина переноса — l и средние квадраты отклонения для этих величин σ_θ^2 и σ_l^2 определяются формулами:

$$\begin{aligned}\theta &= \int_0^\infty p_0(t) t dt, & \sigma_\theta^2 &= \int_0^\infty p_0(t) \cdot (t - \theta)^2 dt, \\ l &= \int_{-\infty}^\infty p_l(X) X dX, & \sigma_l^2 &= \int_{-\infty}^\infty p_l(X) (X - l)^2 dX.\end{aligned}\quad (2)$$

В Приложении 1 (см. в конце статьи) показано, каким образом форма адсорбционной волны $a(X, t)$ может быть выражена через p_0 и p_l , если примесь в начальный момент занимает в адсорбенте узкую полосу. При этом оказывается, что при $t \gg \frac{\sigma_\theta + \sigma_l}{2} \theta$ квадрат ширины хроматографической полосы будет равен

$$\Delta X_{cp}^2 \approx 2X_{cp}x, \quad x = \frac{\sigma_l + \sigma_\theta}{2} l, \quad X_{cp} \approx \frac{l}{\theta} t = ut, \quad (3)$$

$$X_{cp} = \int aX dX / \int a dX, \quad \Delta X_{cp}^2 = \int a(X - X_{cp})^2 dX / \int a dX \quad (4)$$

Константа x , характеризующая скорость размывания полосы, может быть определена в хроматографическом опыте, где измеряется пространственное распределение примеси по колонне. С феноменологической точки зрения она имеет смысл длины адсорбера, эквивалентной «единице переноса» или «теоретической тарелке»*. Для иллюстрации практического значения этой константы достаточно заметить, что концентрация одного из разделяемых компонентов в центре хроматографической полосы другого пропорциональна (рис.1):

$$\exp \left[- \left(\frac{\Gamma_1 - \Gamma_2}{\Gamma} \right)^2 \frac{X_{cp}}{4x} \right].$$

Вместо пространственного распределения примеси часто на опыте снимается «выходная кривая», т. е. находится изменение во времени концентрации за адсорбером. Для этого случая полезны характеристики

$$t_{cp} = \int ct dt / \int c dt, \quad \Delta t_{cp}^2 = \int c(t - t_{cp})^2 dt / \int c dt. \quad (5)$$

В длинном адсорбере при $X = ut$ приближенно

$$\frac{\Delta X_{cp}^2}{X_{cp}^2} \approx \frac{\Delta t_{cp}^2}{t_{cp}^2},$$

* Автор признателен Н. А. Бриллиантову за ознакомление с подобной концепцией.

откуда

$$\Delta t_{\text{ср}} \approx 2t_{\text{ср}}\tau, \quad \tau = x/u, \quad t_{\text{ср}} \approx X/u. \quad (6)$$

Динамической константе τ чисто феноменологически можно приписать смысл «времени запаздывания» в наступлении равновесия между адсорбентом и потоком или же времени цикла, состоящего в переходе адсорбируемой частицы из потока в гранулы адсорбента и обратно [6].

Различные трактовки приводят к феноменологическим уравнениям различной формы:

$$\frac{\partial c}{\partial t} + u \frac{\partial c}{\partial X} \approx \begin{cases} -x \cdot \frac{\partial^2 c}{\partial t \partial X} & \text{— концепция «теоретических тарелок»,} \\ \tau \cdot \frac{\partial^2 c}{\partial t^2} & \text{— концепция «запаздывания» [10]*,} \\ ux \frac{\partial^2 c}{\partial x^2} & \text{— концепция «эффективной диффузии»} \\ & \text{с коэффициентом } D_{\text{эфф}} = ux. \end{cases} \quad (7)$$

В Приложении 1 приводятся решения этих уравнений. Их пригодность выясняется путем сопоставления с выражением для профиля адсорбционной волны $a(X, t)$, полученным упомянутым выше общим методом. Показано, что в определенных границах они удовлетворительно аппроксимируют общее решение независимо от истинной при-

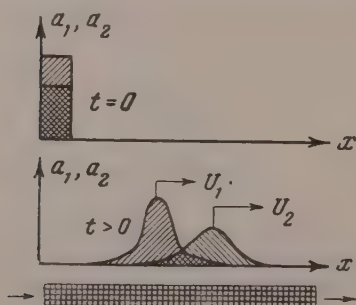


Рис. 1

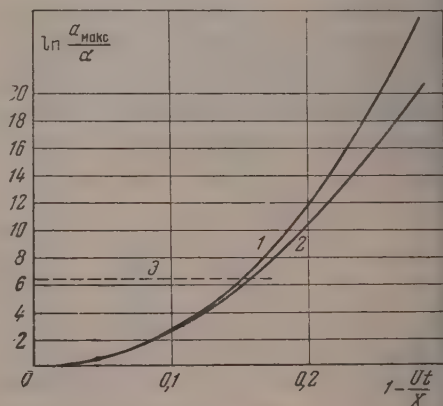


Рис. 2

Рис. 1. Хроматографическое разделение двух компонентов (1 и 2) примеси
Рис. 2. 1 — передний фронт адсорбционной волны; лимитирует внутренняя диффузия в сферических зернах;

$$x = u\tau_i, \quad \tau_i = \frac{3}{80} \frac{d^2}{D_i};$$

2 — аппроксимация переднего фронта уравнением «запаздывания», 3 — $\ln \frac{a_{\text{макс}}}{a_{\text{мин}}} = \left(\frac{X}{4x}\right)^{1/2}$; $\frac{X}{x} = 10^3$

роды динамических характеристик x , τ , $D_{\text{эфф}}$. Логарифмическая ширина области концентраций, где применимы уравнения (7) (все три с равным успехом), растет пропорционально кубическому корню из «числа теоретических тарелок»:

$$\ln(a_{\text{макс}}/a_{\text{мин}}) \sim (X/x)^{1/3}. \quad (8)$$

* Решение для фронтальной хроматографии, приведенное в этой работе, ошибочно.

Здесь $(a_{\min} - a_{\max})$ — интервал концентраций, для которого можно использовать уравнения (7).

Таким образом для решения многих задач по адсорбционному разделению и очистке достаточно знать величину адсорбции (скорость переноса u) и величину динамической константы x (или τ)*, причем, как показано ниже, значение x в ряде случаев может быть предсказано по порядку величины. Вне границ (8) $a(X, t)$ не имеет ничего общего с решением уравнений (7), что иллюстрируется рис. 2, где решение уравнения (7) (вариант «запаздывание») сопоставлено с $a(X, t)$ для случая, когда лимитирует внутренняя диффузия (см. ниже и Приложение 2).

ДИНАМИЧЕСКИЕ КОНСТАНТЫ ПРИ РАЗЛИЧНЫХ МЕХАНИЗМАХ РАЗМЫВАНИЯ АДсорбЦИОННОЙ ВОЛНЫ

Причины расширения адсорбционной волны изучались многими авторами [13—20], помимо упомянутых ранее, причем рассматривался ряд механизмов размывания хроматографических полос. Ниже приведены формулы для динамических констант уравнений (7) при различных механизмах размывания.

1. Большая продольная молекулярная диффузия [13]

$$D_{\text{эфф}} = C_1 D / \Gamma, \quad x = C_1 D / w. \quad (9)$$

Здесь D — молекулярный коэффициент диффузии; $1/\Gamma$ — доля времени, в течение которого примесь находится вне гранул адсорбента**, т. е. в потоке, и диффундирует; коэффициент C_1 возникает при осреднении диффузионного потока по сечению адсорбера. Викке [13] предлагает формулу $C_1 = 1 - (1 - \varepsilon)^{1/2}$, где ε — пористость. В действительности C_1 больше, ибо большему проходному сечению сопутствует повышенный градиент концентрации. Все же, видимо, $C_1 < 1$.

2. Медленная внутренняя диффузия [1, 5, 10, 19, 20], т. е. медленное выравнивание концентрации внутри гранул адсорбента:

$$\tau = C_2 \frac{d^2}{D_i}, \quad x = C_2 \frac{w d^2}{D_i \Gamma}. \quad (10)$$

Здесь D_i — коэффициент диффузии внутри гранулы адсорбента, d — обобщенный диаметр гранулы (для цилиндра совпадает с диаметром, для шара составляет $2/3$ от него), коэффициент формы C_2 для сферических частиц равен $C_2 = 3/80$ [10]***.

3. Медленное установление равновесия между поверхностью гранулы и потоком [2—5, 15—17], т. е. малый коэффициент массообмена β . Рассчитанный на единицу объема коэффициент β входит в уравнения следующим образом (принято $D_i = \infty$, т. е. $a_{cp} = a_{rp}$):

$$-\frac{\partial a}{\partial t} = \beta (c - c_{\text{равнов.}}) = \beta \left(c - \frac{a}{\Gamma} \right)$$

Отсюда легко находится операционная связь между a и Γc :

$$g_i^*(s) = \frac{a^*(s)}{\Gamma c^*(s)} = \frac{1}{1 + s\Gamma/\beta}$$

* Такой же феноменологический подход полезен при рассмотрении работы регенератора. Роль Γ играет здесь отношение теплоемкостей насадки и газа.

** Здесь и в дальнейшем предполагается, что адсорбция велика, т. е. $\Gamma \gg 1$.

*** Этот коэффициент неправильно определен Викке [13, 14]. В общем случае $\tau = -dg_i^*/ds|_{s=0}$, где $g_i^*(s) = a_{cp}^*(s)/a_{rp}^*(s)$ — отношение преобразованных по Лапласу концентраций примеси: средней по объему гранулы и граничной. Например для пластины

$$g_i^*(s) = \text{th} \sqrt{s d^2 / 16 D_i} / \sqrt{s d^2 / 16 D_i}, \quad C_2 = 1/48.$$

и далее выражение для τ^*

$$\tau = - \left. \frac{dg_i^*}{ds} \right|_{s=0} = \frac{\Gamma}{\beta}.$$

Согласно ряду измерений [15, 21] скорость массообмена в хаотической засышке растет пропорционально корню квадратному из скорости потока и почти не зависит от вязкости (см. ниже). Следовательно,

$$\beta = C_3 \left(\frac{wD}{d^3} \right)^{1/2}, \quad \tau = \frac{\Gamma}{C_3} \left(\frac{d^3}{wD} \right)^{1/2}, \quad x = \frac{d}{C_3} \left(\frac{wD}{d^3} \right)^{1/2}. \quad (11)$$

4. Грануляционный эффект [11, 14] и «вихревая» диффузия [14]. Поле скоростей в потоке, омывающем гранулы адсорбента, неравномерно, и это приводит к продольному перемешиванию, которое можно охарактеризовать коэффициентом продольной диффузии D_1 . Коэффициент этот пропорционален скорости потока и диаметру гранул

$$D_1 = k_1 wd, \quad D_{эф} = \frac{k_1 wd}{\Gamma}, \quad x = k_1 d. \quad (12)$$

5. Не рассмотренный ранее эффект — стеночный. Он связан с изменением скорости и вблизи стенки, т. е. с некоторой неоднородностью поля скоростей, и в этом смысле подобен грануляционному эффекту. Подробное рассмотрение показывает, что влияние стенки выражается зависимостью

$$x = \text{const} \cdot d \quad (13)$$

Критериальные уравнения для динамической константы. Целесообразно ввести безразмерные характеристики $h = x/d$ и $Pe = wd/D$ и рассматривать результаты измерений динамических характеристик x , τ в координатах $\lg h - \lg Pe$. Число h показывает, выражаясь нестрого, сколько слоев гранул адсорбента составляют «теоретическую тарелку», величина Pe — диффузионное число Пекле. В этих обозначениях

$$h_1 = \frac{C_1}{Pe}, \quad h_2 = \left(\frac{D}{D_1 \Gamma} \right) C_2 Pe, \quad h_3 = \frac{\sqrt{Pe}}{C_3}, \quad h_4 = k_1, \quad h_5 = \text{const}, \quad (14)$$

т. е.

$$h = \frac{C_1}{Pe} + \left(\frac{D}{D_1 \Gamma} \right) C_2 Pe + \frac{\sqrt{Pe}}{C_3} + k_1 + h_5. \quad (15)$$

Если $C_2 \frac{D}{D_1 \Gamma} > 1$, то в координатах $\lg h - \lg Pe$ получаются две прямые: с наклоном -45° при малых Pe и $+45^\circ$ при больших Pe . Третий, четвертый и пятый эффекты при этом не могут сказываться. Такое положение часто имеет место для понообменных смол [6, 18—20]. При адсорбции на угле и пористом силикагеле обычно D_1 велико благодаря диффузии по стенкам пор (фольмеровская диффузия) [2, 22—24]. При этом если по-

* Записанное в операционной форме уравнение балаяса примеси

$$sa^* + w \frac{\partial c^*}{\partial X} = D \frac{\partial^2 c^*}{\partial X^2}, \quad a^* = g^* \Gamma c^*, \quad g^*(0) = 1$$

имеет при больших X решение

$$a^* \sim \exp \left[- \frac{sX}{u} g^* \frac{\sqrt{1 + 4sDg^*/\Gamma u^2} - 1}{2sDg^*/\Gamma u^2} \right].$$

Отсюда

$$t_{cp} = -d \ln(a^*/ds) \big|_{s=0} \approx X/u, \quad \Delta t_{cp}^2 = \frac{d^2 (a^* \exp st_{cp})}{a^* ds^2} \big|_{s=0} \approx 2t_{cp} \tau$$

(с точностью до $\Delta t_{cp}^2/t_{cp}^2$), причем $\tau = \frac{D}{\Gamma u^2} - \frac{dg^*}{ds} \big|_{s=0}$. Методом перевала можно также получить решение, удовлетворяющее в интервале (8) любому из уравнений (7).

ителем служит газ, то для достаточно низких температур (большие значения $D_i\Gamma$) и высоких давлений (малые D) оказывается $C_2 \frac{D}{D_i\Gamma} \ll 1$. Тогда, по крайней мере при не очень больших Pe , могут играть роль лишь первый, третий, четвертый и пятый эффекты.

Ниже анализируются экспериментальные данные о размывании адсорбционной волны и выявляются области, где существенна либо малая скорость массообмена (большие Pe), либо продольная молекулярная диффузия (малые Pe). Поскольку экспериментально грануляционный и стеночный эффекты, существенные при $Pe \sim 1$, трудно различить, здесь дается лишь оценка их суммарного действия. Сравнение этих эффектов будет проведено в дальнейшем теоретическим путем.

ЭКСПЕРИМЕНТАЛЬНЫЕ ДАННЫЕ О РАЗМЫВАНИИ АДСОРБЦИОННОЙ ВОЛНЫ И ИХ АНАЛИЗ

На рис. 3 показана зависимость $h(Pe)$, найденная при адсорбции углем АГ-2 радиоактивных Хе и Кг из потока Не (рис. 3). В этих экспериментах прослежен переход от первого к третьему механизму размытия хроматографической полосы*. Значительный разброс точек объясняется как недо-

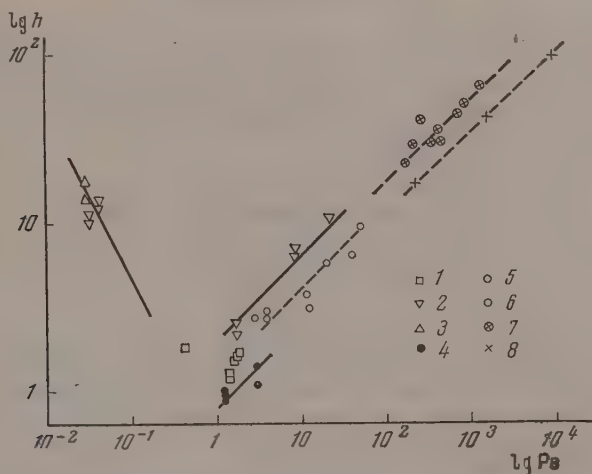


Рис. 3. Зависимость константы динамического размывания (h) от числа Пекле (Pe) 1 — адсорбция Кг в адсорбере диаметром 12 мм; 2 — то же при диаметре 32 мм; 3 — адсорбция Хе в адсорбере диаметром 32 мм; 4 — по данным [17]; 5 — по данным [11]; 6 — по данным [4]; 7 — по данным [15, 16]; 8 — по данным [26]

статочно точным измерением величины $\Delta t_{ср}^2$, так и различной плотностью засыпки в адсорберах разного диаметра (пористость засыпки ϵ в адсорбере с диаметром 12 мм равна 44%, а в большем адсорбере с диаметром 32 мм — 30%). Сильное влияние пористости установлено в опытах Вернштейна [25] по измерению теплоотдачи от воздуха к шихте из металлических шариков. Автор получил следующую зависимость:

$$\frac{\alpha d'}{\lambda} Nu' = A(\epsilon) Re'^{0.6}; Re' = 15 \div 1500 \quad \begin{matrix} \epsilon & 0,3 & 0,4 & 0,5 & 0,6 \\ A & 0,5 & 1,0 & 1,5 & 1,0 \end{matrix}$$

* Измерения выполнены Я. В. Шевелевым, В. И. Сидоровым, М. Ф. Трояновым. Радиоактивные Хе и Кг извлекались из облученного в ядерном реакторе урана путем его гидрирования, подмешивались в течение короткого времени к гелию на входе в адсорбер, и затем концентрация их за адсорбером замерялась счетчиком Гейгера.

Здесь в число Нуссельта, как и в число Рейнольдса, в качестве размера введен диаметр шариков, а коэффициент теплоотдачи рассчитан на единицу поверхности. Чтобы сравнить этот результат с данными по массообмену, нужно вычислить отсюда коэффициент теплоотдачи, рассчитанный на единицу объема шихты, и поделить его на объемную теплоемкость воздуха:

$$\beta^{(a)} = \frac{\alpha \pi d'^2}{d'^3 \pi / 6} (1 - \varepsilon) \frac{a}{\lambda} = 6 (1 - \varepsilon) A(\varepsilon) \frac{(wd' a)^{0,6}}{\text{Pr}^{0,6} d'^2}.$$

Величина a — коэффициент температуропроводности — является аналогом коэффициента диффузии при массообмене. Число Прандтля для воздуха равно $\text{Pr} = 0,7$. Вводя обобщенный диаметр $d = {}^{2/3} d'$, получим формулу, аналогичную (11)

$$\beta^{(a)} = C_3^{(a)} \left(\frac{wa}{d^3} \right)^{1/2}, \quad C_3^{(a)} = 6,4 A(\varepsilon) (1 - \varepsilon) \left(\frac{\text{Pe}}{70} \right)^{0,1}, \quad \text{Pe} = \frac{wd}{a} = 7 \div 700.$$

Множитель $(\text{Pe}/70)^{0,1}$ отличается от единицы менее чем на 25% и замена его единицей приводит к следующей зависимости $C_3^{(a)}$ от ε :

ε	0,3	0,4	0,5	0,6
$C_3^{(a)}$	2,24	3,84	4,80	2,46

С изменением пористости от 0,3 до 0,5 C_3 , а значит и $h_3^{(a)}$ меняются вдвое.

На рис. 3 нанесены также точки, полученные путем обработки или пересчета адсорбционных измерений различных авторов [4, 11, 15—17, 26].

Прежде чем излагать способы обработки или пересчета, отметим моменты, затрудняющие сопоставление разных измерений. К сожалению, не все авторы приводят данные о плотности засыпки. В работе [25] пористость указана: $\varepsilon = 0,67$. В работе [4] насыпной вес угля $0,525 \text{ г/см}^3$, пористость неизвестна. Кроме того, форма зерен угля, использованных разными авторами, разная. В [17] использован уголь марки АГ-2, который имеет вид цилиндриков с диаметром около 0,18 мм и высотой до 0,6 см. В работах [4, 11, 15, 16, 26] опыты велись на угле неопределенной формы. Авторы указывают габариты частиц адсорбента, полученные в результате ситового анализа. При обработке опытов с такими гранулами можно в качестве характерного размера брать обобщенный диаметр шариков, проходящих через те же сита. Известную неопределенность в положение точек на рис. 3 вносит отсутствие надежных данных о коэффициенте диффузии благородных газов в Не. Значения $D_{\text{Ne-He}}$, необходимые для использования данных [17], и значения $D_{\text{Kr-He}}$, $D_{\text{Xe-He}}$, необходимые для обработки измерений по адсорбции радиоактивных Кг и Хе, были оценены по методу Арнольда [27]. Были получены следующие значения D при 0°C и 1 ат : $D_{\text{Xe-He}} = 0,87 \text{ см}^2/\text{сек}$ ($C = 57,5^\circ\text{C}$), $D_{\text{Kr-He}} = 0,52 \text{ см}^2/\text{сек}$ ($C = 105^\circ$), $D_{\text{Xe-He}} = 0,44 \text{ см}^2/\text{сек}$ ($C = 118^\circ\text{C}$).

Зависимость D от температуры T и давления p дается формулой

$$D = D_0 \frac{1 \text{ ат}}{p} \frac{T^{1/2} / (T + C)}{273^{1/2} / (273 + C)}.$$

Кроме того, $D_{\text{Kr-He}}$ было определено по скорости выравнивания концентраций радиоактивного Кг в колбах, соединенных капилляром (измерения выполнены Я. В. Шевелевым и В. П. Сидоровым). При 0°C и 1 ат получено значение $D_0 = 0,43 \text{ см}^2/\text{сек}$. При обработке динамических опытов принято значение $D_0 = (0,43 + 0,52)/2 = 0,48 \text{ см}^2/\text{сек}$.

В работе [4] приведена зависимость $\text{Nu}' = \beta d' / D$ от Re' , полученная сопоставлением выходных кривых (адсорбции диэтилового эфира из воздуха) с теоретическими кривыми для изотермы Лэнгмюра. Теория авторов [2, 3] предполагает, что размытие переднего фронта адсорбционной волны свя-

но исключительно с плохим массообменом. При пересчете учтено, что $\tau = \sqrt{D} = 0,15/0,09 = 1,67$, а расчетный диаметр уменьшен в 1,5 раза.

В работах [15, 16] приведена зависимость β от размера гранул и скорости, найденная тем же методом, что и в [4]. Коэффициент диффузии адсорбируемой уксусной кислоты в воде принят равным $0,8 \cdot 10^{-5} \text{ см}^2/\text{сек.}$ (Ландольту); для масляной кислоты значение D уменьшено в 1,2 раза, поскольку молекула ее в 1,4 раза тяжелее.

В работе [17], как и в предыдущих, приведены выходные кривые опыта по фронтальной хроматографии (адсорбция Ne из He при 65,3° K). Этому наклону установившегося фронта при $c/c_0 = 1/2$ (c_0 — входная концентрация) можно найти β :

$$\beta = \frac{w}{u \theta} \left/ \left[\frac{c_p(a)}{c_0} \right]_{c/a_0=1/2} - \frac{1}{2} \right|. \quad \theta = 1 \left/ \left[\frac{dc/c_0}{dt} \right]_{c/c_0=1/2} \right|. \quad (16)$$

Здесь θ — «ширина» выходной кривой*; $c_p(a)$ — концентрация в газовой фазе, равновесная a . В условиях опыта $c_p(a) \sim a^n$, $n = 1,47 \approx 3/2$, $\beta = \frac{w}{u \theta} \cdot 6,85$. Вычисленные по [16] значения β приведены в табл. 1 (β_0). Авторы [17] находили β по величине «потери защитного действия» Δt по формуле

$$t = t_{\text{оп}} - \Delta t(c), \quad t_{\text{оп}} = X/u. \quad (17)$$

Однако для $\Delta t(c)$ они использовали формулу, полученную в [3] для изотермы Ленгмюра. При этом получились значения в 2 ÷ 5 раз большие, чем в табл. 1.

Таблица 1

Коэффициенты массообмена из измерений [17]

θ , мин.	3,65	2,24	2,80	1,32	2,10
β_0 , мин. ⁻¹	158	261	155	329	144
$\beta_{\Delta t}$, мин. ⁻¹	134	218	173	286	166
$\beta_{\text{ср}}$, мин. ⁻¹	146	239	164	307	155

Если же использовать правильную формулу для $\Delta t(c)$

$$\Delta t = \frac{w}{u \beta} \left[\int_{c/c_0}^1 \frac{(1-z) dz}{z-f(z)} - \int_0^{c/c_0} \frac{z dz}{z-f(z)} \right], \quad f(z) = \frac{c_p(a_0 z)}{c_0} \quad (18)$$

или при $c_p \sim a^{3/2}$

$$\Delta t = \frac{w}{u \beta} 2 [1 + \ln(\sqrt{c_0/c} - 1)], \quad (19)$$

значения β оказываются близкими к найденным из ширины кривой (табл. 1, $\beta_{\Delta t}$). На рис. 3 нанесены значения, полученные осреднением результатов обоих расчетов.

В работе [11] приведены значения эквивалентного коэффициента диффузии $D_{\text{экр}}$, которым можно было бы объяснить наблюдавшееся размытие фронта адсорбционной волны паров спирта в потоке воздуха. Согласно (9)

$$x = \frac{D_{\text{экр}}}{w}, \quad h = \frac{x}{d} = \frac{D_{\text{экр}}}{wd}.$$

* Отметим, что для слабо искривленной изотермы, когда $n = \partial \ln c / \partial \ln a$ близко к единице, установившаяся ширина выходной кривой θ определяется формулой $\theta = \frac{2/\ln 2}{\tau_{n-1}}$, одинаковой для всех механизмов размытия. Время установления фронта по порядку величины равно $\tau/(n-1)^2$.

При пересчете принято, что в [11] скорость потока — это условная скорость, и за обобщенный диаметр взято $\frac{2}{3}$ приведенного в [11] размера гранул. Коэффициент диффузии по Ландольту $D = 0,1 \text{ см}^2/\text{сек.}$

В работе [26] измерена десорбция йода с угля, промываемого деци-нормальным раствором КJ. Приведены зависимости da/dt и c_p от a . Авторы полагают, что скорость смыва йода лимитируется внутренней диффузией. На самом деле выравнивание концентрации по зерну угля идет очень быстро, и опыты позволяют определить коэффициент внешнего обмена. Это видно из табл. 2, где по данным [26] вычислены значения a на поверхности зерна ($a_{\text{гр}}$); они не отличаются от средних по зерну значений. Вычисления проведены следующим образом. В первый момент $a_{\text{гр}} = a$ и $-\frac{da}{dt} = \beta c_p(a)$.

Таблица 2

Подсчет разности концентраций в зерне угля по [26]

$a_{\text{ср}}$	909,3	880	850	800
da/dt	7,90	6,25	5,00	3,40
$c_{\text{гр}}$	0,950	0,751	0,601	0,410
$a_{\text{гр}}$	909,3	880	850	800
$a_{\text{ср}} - a_{\text{гр}}$	0,00	0,00	0,00	0,00

Зная начальную концентрацию в зерне угля, можно по изотерме адсорбции найти c_p и вычислить β . Тогда для произвольного момента

$$-\frac{da}{dt} = \beta c_p(a_{\text{гр}}),$$

откуда и находится $a_{\text{гр}}$. Отмеченное авторами несовпадение кинетических кривых, начинающихся с разных значений a , указывает не на внутридиффузионную кинетику, а на неточности в определении начальной концентра-

Таблица 3

Коэффициент массообмена из измерений [26]

Расход в мл/мин		200	35	5
$w, \text{ см/сек}$		0,540	0,0945	0,0135
$a, \frac{\text{мг}}{\text{см}^3}$	$c, \frac{\text{мг}}{\text{см}^3}$			
182	0,95	$\frac{da}{dt}, \frac{\text{мг}}{\text{см}^3 \text{ мин}}$ 1,58	0,66	0,24
		$\beta, \frac{1}{\text{мин.}}$ 1,66	0,695	0,252
142	0,22	$\frac{da}{dt}, \frac{\text{мг}}{\text{см}^3 \text{ мин}}$ 0,51	0,22	0,064
		$\beta, \frac{1}{\text{мин.}}$ 2,32	1,0	0,29
83,5	0,05	$\frac{da}{dt}, \frac{\text{мг}}{\text{см}^3 \text{ мин}}$ 0,054	0,016	
		$\beta, \frac{1}{\text{мин.}}$ 1,08	0,32	
		$\beta_{\text{ср}} \frac{1}{\text{мин.}}$ 1,73	0,722	0,260

ли. В табл. 3 приведены значения β , найденные по кривым рис. 5 [26]. При снятии c_p с изотермы ошибка тем больше, чем меньше c_p . Соответственно этому значения β усреднены с весовыми множителями 0,8; 0,15; 0,05. Коэффициент диффузии $D = 1,075 \cdot 10^{-5} \text{ см}^2/\text{сек}$ (по Ландольту). Обобщенный диаметр $d = 1,83 \text{ мм}$.

Хотя по указанным выше причинам эксперименты разных авторов трудно сопоставлять друг с другом, рис. 3 позволяет сделать некоторые общие выводы. Правая ветвь кривой определенно подтверждает зависимость 1), причем $C_3 \sim 0,5-1$. В опытах [15, 16, 26] число Прандтля — порядка $\sim 10^3$, в остальных опытах $Pr \sim 1$. Тем не менее не наблюдается сколь угодно значительного относительного смещения точек одной и другой групп, т. е. константа C_3 слабо зависит от Pr . Если предположить, что зависимость β от вязкости для засыпки такая же, как для пластины [28],

$$\frac{\beta d^2}{D} = C'_3 Pr^{-1} Re^{1/2},$$

значения C'_3 из опытов [15, 16, 26] окажутся в среднем втрое больше, чем в остальных измерениях. Поэтому можно думать, что в действительности β зависит еще слабее. Переход внешне-диффузионного механизма к имитирующей роли массообмена происходит при $Re \sim 1$, причем $C_1 \sim 0,3-0,6$. В минимуме кривой проявляется совместное действие всех механизмов, кроме внутренней диффузии. Опыты недостаточно точны, чтобы выявить величину константы $h_4 + h_5$. Во всяком случае для угля АГ-2 она больше единицы.

В общем случае эта константа определяется из высоты (h_{\min}) и положения ($Re_{\text{опт}}$) минимума кривой h от Re . Если внутренняя диффузия не существенна, то

$$h_4 + h_5 = h_{\min} - \frac{3C_1}{Re_{\text{опт}}} \approx h_{\min} - \frac{3}{Re_{\text{опт}}}. \quad (20)$$

Если же существенна внутренняя диффузия, то

$$h_4 + h_5 = h_{\min} - \frac{2C_1}{Re_{\text{опт}}} \approx h_{\min} - \frac{2}{Re_{\text{опт}}}. \quad (21)$$

В работе [6] измерялось размытие воли концентрации NaCl при прохождении ее водного раствора через колонку с катионитом. Минимальное значение h получено в двух опытах с одинаковой скоростью тока жидкости $= 2,2 \cdot 10^{-3} \text{ см/сек}$, но с разными длинами колонки:

$$X = 110 \text{ мм}, \quad \frac{\Delta X_{\text{ср}}^2}{X^2} = \frac{2,2}{15^2}, \quad d = 0,133 \text{ мм}, \quad h_{\min} \approx 4,1,$$

$$X = 390 \text{ мм}, \quad \frac{\Delta X_{\text{ср}}^2}{X^2} = \frac{9,9}{55^2}, \quad d = 0,133 \text{ мм}, \quad h_{\min} \approx 4,8.$$

В этих опытах $D = 1,6 \cdot 10^{-5} \text{ см}^2/\text{сек}$, так что $Re_{\text{опт}} \approx 2,75$. Результаты измерений при больших Re несколько лучше описываются уравнением $h = \text{const} + h_3$, нежели $h = \text{const} + h_2$. Поэтому согласно (21)

$$h_4 + h_5 \approx 4,1 - \frac{2}{2,75} > 3.$$

В этой же работе дано, по-видимому, единственное в литературе описание опытов, где постоянная слагающая в h выявлена в чистом виде. Авторы изучали размытие фронта концентраций кислоты в воде при прохождении раствора через неадсорбирующую шихту (стеклянный порошок). В этом случае при $Re > 1$ могут проявляться лишь градуляционный и стеночный факты. Действительно, эксперимент показывает, что $\Delta X_{\text{ср}}^2$ не зависят от скорости, т. е. $h = \text{const}$.

ВЫВОДЫ

1. Дано общее решение задачи о динамической сорбции (при линейной изотерме); при его помощи установлены границы применимости феноменологических концепций «запаздывания», «теоретических тарелок», «эффективной диффузии». В этих границах (в достаточно длинном адсорбер-форма адсорбционной волны не зависит от механизма ее размывания; процесс характеризуется двумя константами: скоростью переноса u , связанной с константой адсорбционного равновесия Γ , и динамической константой τ (или $x = u\tau$, или $D_{\text{эфф}} = ux$). Для расчета формы адсорбционной волны вдали от гребня необходимо знать механизм размывания в его деталях.

2. Константа x может быть найдена из измерений ширины хроматографической полосы в сравнительно коротком адсорбере, поскольку

$$\Delta X_{\text{ср}}^2 \approx 2X_{\text{ср}}x = 2D_{\text{эфф}}t$$

τ можно так же вычислить из ширины выходной кривой).

3. Значения динамической константы x (или критерия $h = x/d$) могут быть предсказаны по порядку величины.

Если диффузия внутри гранул адсорбента мала, а именно $D_i/D_i\Gamma \gg 30$ то

$$h = \frac{x}{d} = \frac{C_1}{\text{Pe}} + \frac{DC_2}{D_i\Gamma} \text{Pe}, \quad C_2 \sim 3 \cdot 10^{-2};$$

при $D_i/D_i\Gamma \ll 30$, играет роль продольная диффузия, плохой массообмен с потоком, грануляционный и стеночный эффекты:

$$h = \frac{C_1}{\text{Pe}} + \frac{V\overline{\text{Pe}}}{C_3} + (h_{\text{гранул}} + h_{\text{стен}}).$$

Константы $C_1, C_3, (h_{\text{гранул}} + h_{\text{стен}})$ по порядку величины равны единице, но зависят от формы частиц и плотности их упаковки.

Приложение

Вычислим $a(X, t)$ — вероятность нахождения молекулы примеси в точке X в момент t ; простоты ради положим, что адсорбер бесконечно длинный и что при $t=0$ молекула попала в адсорбент в точке $X=0$, т. е. $a(X, 0) = \delta(X)$. Введем вспомогательные функции $q_+(X, t)$ и $q_-(X, t)$ — вероятности для молекулы примеси адсорбироваться (q_+), и, соответственно, десорбироваться (q_-) в момент t в точке X . Очевидно, что

$$\frac{\partial a}{\partial t} = q_+ - q_- \quad (2)$$

Применяя преобразование Лапласа [29], получим

$$sa^*(X, s) = q_+^*(X, s) - q_-^*(X, s), \quad f^*(s) = \int_0^\infty f(t) e^{-st} dt \quad (2)$$

Из определения функций p_i и p_θ и условий задачи следует:

$$q_+(X, t) = \delta(X) \delta(t) + \int_{-\infty}^\infty q_-(X', t) p_i(X - X') dX',$$

$$q_-(X, t) = \int_0^t q_+(X, t') p_\theta(t - t') dt'$$

или в операционной форме (см. [29], «теорему умножения»):

$$\tilde{q}_+^*(p, s) = 1 + \tilde{q}_-^*(p, s) \tilde{p}_l(p), \quad \tilde{q}_-^*(p, s) = \tilde{q}_+^*(p, s) p_0^*(s).$$

$$\tilde{f}(p) = \int_{-\infty}^{\infty} f(X) e^{-pX} dX. \quad (25)$$

Из (23) и (25) получаем

$$\tilde{a}^*(p, s) = \frac{1}{s} \frac{1 - p_0^*(s)}{1 - p_0^*(s) \cdot \tilde{p}_l(p)}. \quad (26)$$

Значения функции $a(X, t)$ при больших X и t определяются видом \tilde{a}^* при малых p и s . Найдем разложение \tilde{a}^* по p . Для этого заметим, что согласно (2)

$$l = - \left[\frac{d}{dp} \int_{-\infty}^{\infty} e^{-pX} p_l(X) dX \right]_{p=0} = - \left(\frac{d \tilde{p}_l}{dp} \right)_{p=0}; \quad \sigma_l l^2 = \left. \frac{d^2 (\tilde{p}_l e^{p_l})}{dp^2} \right|_{p=0};$$

$$\theta = - \left. \frac{d p_0^*}{ds} \right|_{s=0}, \quad \sigma_\theta \theta^2 = \left. \frac{d^2 (p_0^* e^{s\theta})}{ds^2} \right|_{s=0},$$

ткуда

$$\tilde{p}_l(p) = 1 - pl \left(1 - \frac{1 + \sigma_l}{2} pl + \dots \right), \quad p_0^*(s) = 1 - s\theta \left(1 - \frac{1 + \sigma_\theta}{2} s\theta + \dots \right). \quad (27)$$

Из (26) и (27) получим

$$\tilde{a}^* = 1 - pl f_1^* + p^2 l^2 f_2^* + \dots, \quad (28)$$

где

$$f_1^*(s) = \frac{p_0^*}{s(1 - p_0^*)} = \frac{1}{s^2 \theta} \left(1 + \frac{\sigma_\theta - 1}{2} \theta s + \dots \right), \quad f_2^*(s) =$$

$$= \frac{1}{s^3 \theta} \left[1 + \left(\sigma_\theta - 1 + \frac{\sigma_l + 1}{2} \right) \theta s + \dots \right] \quad (29)$$

В разложении (28) легко находятся величины X_{cp} и ΔX_{cp}^2 :

$$X_{cp} = - \left. \frac{d \tilde{a}}{dp} \right|_{p=0} = l f_1, \quad \Delta X_{cp}^2 = \left. \frac{d^2 (\tilde{a} e^{pX_{cp}})}{dp^2} \right|_{p=0} = 2l^2 \left(f_2 - \frac{f_1^2}{2} \right). \quad (30)$$

Для больших по сравнению с $\frac{\sigma_l + \sigma_\theta}{2} \theta$ значений t из разложений (29) получим

$$f_1 = \frac{t}{\theta} + \frac{\sigma_\theta - 1}{2} + \dots, \quad f_2 = \frac{t^2}{2\theta^2} + \left(\sigma_\theta - 1 + \frac{\sigma_l + 1}{2} \right) \frac{t}{\theta} + \dots,$$

$$f_2 - \frac{f_1^2}{2} = \frac{\sigma_l + \sigma_\theta}{2} \frac{t}{\theta} + \dots \quad (31)$$

Из (30) и (31)

$$X_{cp} = ut + \dots, \quad \Delta X_{cp}^2 = 2X_{cp}x + \dots, \quad u = \frac{l}{\theta}, \quad x = \frac{\sigma_l + \sigma_\theta}{2} l, \quad (32)$$

причем отбрасывание постоянных членов вносит ошибку порядка $x/X_{cp} = \tau/t$. Если (p) — самый правый полюс \tilde{a}^* , т. е. корень уравнения

$$1 - \tilde{p}_l(p) p_0^*(s_0) = 0 \quad (33)$$

наибольшей действительной частью, то при большом (в сравнении с $\tau = x/u$) значении t для $\tilde{a}(p, t)$ справедлива формула:

$$\tilde{a}(p, t) = \left[\frac{1 - p_0^*}{-s \tilde{p}_l d p_0^* / ds} \right]_{s=s_0(p)} \exp [s_0(p) \cdot t].$$

Для вычисления $a(X, t)$ воспользуемся методом перевала [30], т. е. в формуле обратного преобразования

$$a(X, t) = \frac{1}{2\pi i} \int_{p_0 - i\infty}^{p_0 + i\infty} dp \left[\frac{1 - p_0^*}{-s p_1 d p_0^* / ds} \right]_{s=s_0(p)} \exp [s_0(p)t + pX] \quad (34)$$

в качестве p_0 выберем нуль производной показателя экспоненты:

$$-\frac{ds_0(p_0)}{dp_0} = \frac{X}{t}. \quad (35)$$

Для $s_0(p)$ из (27), (32) и (33) находим

$$s_0(p) = -up(1 - xp + \dots). \quad (36)$$

Оценка дальнейших членов разложения может быть сделана в предположении, что величина $\sigma_0\theta$ является характерным масштабом для функции p_0 , т. е. что в разложении

$$p_0^*(s) = 1 - \theta s \left[1 - \left(\frac{1 + \sigma_0\theta}{2} \theta s \right) + \mu_1(\sigma_0\theta s)^2 + \dots \right]$$

коэффициенты μ — порядка единицы; тоже относится к \tilde{p}_1 , где разложение идет по степеням $\sigma_1 p$. Тогда

$$s_0(p) = -up(1 - xp + \mu_2 x^2 p^2 + \dots), \mu_2 \sim 1. \quad (37)$$

Далее из (35)

$$\begin{aligned} p_0 &= \frac{\eta}{2x} \left(1 + \frac{3}{4} \mu_2 \eta + \dots \right), \quad \eta = \frac{X_{\text{ср}} - X}{X_{\text{ср}}}, \\ s_0(p)t + pX &= -\frac{X_{\text{ср}}}{4x} \eta^3 (1 + \mu_2 \eta + \dots) + \left(1 - \frac{3}{2} \mu_2 \eta + \dots \right) [(p - p_0) \sqrt{x X_{\text{ср}}}]^2 - \\ &\quad - \mu_2 \left(\frac{x}{X_{\text{ср}}} \right)^{1/2} [(p - p_0) \sqrt{x X_{\text{ср}}}]^3 + \dots \end{aligned}$$

Аналогично разлагается предэкспоненциальный множитель в (34):

$$\left[\frac{1 - p_0^*}{-s p_1 d p_0^* / ds} \right]_{s=s_0(p)} = 1 + \frac{\mu_3}{2} \eta (1 + \dots) + \mu_3 \left(\frac{x}{X_{\text{ср}}} \right)^{1/2} (1 + \dots) [(p - p_0) \sqrt{x X_{\text{ср}}}]^2, \mu_3 \sim 1.$$

Таким образом, вводя в (34) переменную $(p - p_0) \sqrt{x X_{\text{ср}}} = iz$, получим

$$\begin{aligned} a(X, t) &= \frac{1}{2\pi} \int_{-\infty}^{\infty} \left[1 + \frac{\mu_3}{2} \eta (1 + \dots) + \mu_3 \left(\frac{x}{X_{\text{ср}}} \right)^{1/2} (1 + \dots) iz \right] \exp \left[-\frac{\eta^2}{4} \frac{X_{\text{ср}}}{x} (1 + \mu_2 \eta + \dots) - \right. \\ &\quad \left. - z^2 \left(1 - \frac{3}{2} \mu_2 \eta + \dots \right) - \mu_2 \left(\frac{x}{X_{\text{ср}}} \right)^{1/2} (iz)^3 + \dots \right] \frac{dz}{\sqrt{x X_{\text{ср}}}}. \end{aligned}$$

Подынтегральная функция быстро затухает, начиная с $z \sim 1$. При этом кубический и следующие члены в показателе экспоненты еще малы, равно как и член с z в предэкспоненциальном множителе, если только $X_{\text{ср}}$ достаточно велико. Отбрасывая их, получим

$$a(X, t) \approx \frac{1 + \mu_3 \eta + \dots}{\sqrt{4\pi X_{\text{ср}} x}} \exp \left[-\frac{X_{\text{ср}}}{x} \frac{\eta^2}{4} (1 + \mu_2 \eta + \dots) \right]; \mu_4 \sim \mu_2 \sim 1, \quad \eta = 1 - \frac{X}{ut} \quad (38)$$

Согласно общей теории метода «перевала», формула (39) верна с точностью до $\sqrt{x/X_{\text{ср}}}$.

Покажем теперь, что в интервале

$$\ln(a_{\text{макс}}, a_{\text{мин}}) \sim \left(\frac{X_{\text{ср}}}{4x} \right)^{1/2} \delta^2, \quad (39)$$

решение любого из уравнений (7) совпадает с (38) с точностью до δ . Производя операционные преобразования и используя метод перевала, нетрудно получить решения этих уравнений с точностью до $\sqrt{x/X_{\text{cp}}}$:

$$c(x, t) = \begin{cases} \frac{1}{\sqrt{4\pi Xx}} \cdot \exp\left[-\frac{(X-ut)^2}{4Xx}\right] & \text{— концепция «запаздывания»,} \\ \frac{(X/ut)^{1/4}}{\sqrt{4\pi Xx}} \exp\left[-\frac{(X-ut)^2}{4Xx} \left(1 + \frac{\sqrt{ut/X}-1}{2}\right)^{-2}\right] & \text{— концепция «тарелок»,} \\ \frac{1}{\sqrt{4\pi utx}} \left[\exp - \frac{(X-ut)^2}{4utx} \right] & \text{— концепция «диффузии».} \end{cases} \quad (40)$$

При надлежащем выборе коэффициентов μ_2, μ_4 можно привести (38) к виду (40). Поэтому достаточно показать, что в интервале (39) логарифмическая производная от (38) по μ_2 и μ_4 будет порядка δ .

Непосредственные вычисления дают

$$\frac{\partial \ln a}{\partial \mu_2} = -\frac{X_{\text{cp}}}{4x} \eta^2, \quad \frac{\partial \ln a}{\partial \mu_4} \approx \eta. \quad (41)$$

Граница интервала (39) находится из соотношения

$$\frac{X_{\text{cp}}}{4x} \eta^2_{\text{макс}} \sim \left(\frac{X_{\text{cp}}}{4x}\right)^{1/4} \cdot \delta^{2/3}$$

Подставляя отсюда $\eta_{\text{макс}}$ в (41), получим

$$\left| \frac{\partial \ln a}{\partial \mu_2} \right| \sim \delta, \quad \left| \frac{\partial \ln a}{\partial \mu_4} \right| \sim \left(\frac{4x}{X_{\text{cp}}} \delta\right)^{1/4}. \quad (42)$$

Таким образом, при больших в сравнении с $\tau = x/u$ значениях t уравнения (7) действительно описывают форму адсорбционной волны в пределах (39) с точностью до δ независимо от вида функций p_l и p_0 , т.е. независимо от механизмов, управляющих размытием адсорбционной волны.

Приложение 2

Следуя [20], нетрудно записать операционное решение для случая, когда лимитирует внутренняя диффузия в сферических зернах, и $a(X, 0) = \delta(X)$:

$$a^*(X, t) = \exp(-st_{\text{cp}}\psi_i^*), \quad t_{\text{cp}} = \frac{\Gamma X}{w}, \quad (43)$$

$$\psi_i^*(s) = \frac{\sqrt{15s} \tau_i \operatorname{cth} \sqrt{15s\tau_i} - 1}{5s\tau_i}, \quad \tau_i = \frac{3}{80} \frac{d^2}{D_i}.$$

При обратном преобразовании метод перевала приводит к результату:

$$a(X, t) = \frac{f(\eta_0)}{u \sqrt{4\pi t_{\text{cp}} \tau}} \cdot \exp\left[-\frac{(t-t_{\text{cp}})^2}{4t_{\text{cp}} \tau} \chi(\eta_0)\right], \quad \eta_0 = \frac{t_{\text{cp}} - t}{t_{\text{cp}}}, \quad \tau = \tau_i, \quad (44)$$

где f и χ находятся численным дифференцированием и интегрированием по формулам

$$f(\eta_0) = \sqrt{2d\sigma/d\eta_0}, \quad \chi(\eta_0) = \frac{4}{\eta_0^2} \int_0^{\eta_0} \sigma d\eta_0, \quad (45)$$

$$\eta_0(\sigma) = 1 - \frac{d}{d\sigma} \left[\sigma \psi_i^* \left(\frac{\sigma}{\tau_i} \right) \right] = 1 - \frac{3}{2} \left(\frac{\operatorname{cth} \sqrt{15\sigma}}{\sqrt{15\sigma}} - \frac{1}{\operatorname{sh}^2 \sqrt{15\sigma}} \right). \quad (46)$$

При $\eta_0 \rightarrow 0$, $f \rightarrow 1$, $\chi \rightarrow 1$ и (44) совпадает с решением уравнения «запаздывания» (7), поскольку $u \sqrt{4\pi t_{\text{cp}} \tau} = \sqrt{Xx}$. Однако вне (8) они расходятся (рис. 2).

ЛИТЕРАТУРА

1. E. Wicke, *Ang. Chem.*, **13**, 15, 1947.
2. А. А. Жуховицкий, Я. Л. Забежинский, А. Н. Тихонов, *Журн. физ. химии*, **19**, 253, 1945.
3. А. Н. Тихонов, А. А. Жуховицкий, Я. Л. Забежинский, *Журн. физ. химии*, **20**, 1113, 1946.
4. Я. Л. Забежинский, А. А. Жуховицкий, А. Н. Тихонов, **23**, 192, 1949.
5. C. G. Allander, *Untersuchung des Adsorptionsvorganges in Adsorbentenschichten mit linearer Adsorptionsisotherme*, Stockholm, 1953.
6. Н. Н. Туницкий, Е. П. Чернева, *Журн. физ. химии*, **24**, 1350, 1950.
7. Н. Н. Туницкий, П. М. Шендерович, *Журн. физ. химии*, **26**, 1425, 1952.
8. S. W. Mayer, E. R. Tompkins, *Journ. Amer. Chem. Soc.*, **69**, 2866, 1947.
9. Н. Н. Туницкий, *ДАН*, **49**, 577, 1954.
10. С. Е. Бреслер, Я. С. Уфлянд, *Журн. физ. химии*, **23**, 1443, 1953.
11. Л. В. Радужкевич, *ДАН*, **57**, 471, 1947.
12. С. З. Рогинский, М. Н. Яновский, *Журн. физ. химии*, **24**, 137, 1950.
13. E. Wicke, *Coll. Zs.*, **86**, Н. 3, 1939.
14. E. Wicke, *Coll. Zs.*, **93**, Н. 2, 1940.
15. А. Н. Харин, П. Н. Протасов, *Журн. физ. химии*, **22**, 10, 1218, 1948.
16. П. Н. Протасов, А. Н. Харин, Л. М. Войтко, Т. Г. Боголюбова, Л. Г. Свинцова, *Журн. физ. химии*, **24**, 182, 1950.
17. В. Н. Фастовский, А. Е. Ровинский, *Хим. пром.*, **7**, 201, 1953.
18. Н. Н. Туницкий, Е. П. Чернева, В. П. Андреев, *Журн. физ. химии*, **28**, 2006, 1954.
19. R. Kunin, R. G. Myers, *Journ. Phys. Coll. Chem.*, **51**, 5, 1111, 1947.
20. И. А. Мясников, К. А. Гольберт, *Журн. физ. химии*, **27**, 1311, 1953.
21. Я. Л. Забежинский, *Журн. физ. химии*, **13**, 1858, 1939.
22. G. Damköhler, *Zs. phys. Chem.*, **A174**, 222, 1935.
23. E. Wicke, *Coll. Zs.*, **86**, Н. 2, 167, 1939.
24. E. Wicke, *Ang. Chem.*, **19**, № 3, 57, 1947.
25. Р. С. Бернштейн, В сборнике «Исследование процессов горения натурального топлива» под редакцией Кнорре, Госэнергоиздат, 1948.
26. М. Товбин, А. Гринберг, *Журн. физ. химии*, **26**, 156, 1952.
27. J. Howard Arnold, *Ind. a. Eng. Chem.*, **22**, 1091, 1930.
28. Rohlhausen, *Zs. ang. Math. Mech.*, **1**, 115, 1921.
29. М. А. Эффрос, *Операционные исчисления и контурные интегралы*.
30. В. И. Смирнов, *Курс высшей математики*. Гос. тех.-теорет. изд., Л.—М., 1949. т. III, ч. 2, стр. 238.

ON THE DIFFUSENESS OF THE ADSORPTION WAVE

I. QUANTITATIVE CHARACTERISTICS OF THE SPREAD

Ya. V. Shevelov

(Moscow)

Summary

In the case of a linear adsorption isotherm the behavior of individual molecules of an admixture in the adsorber is statistically independent and for $\Gamma \gg 1$ (Γ being the equilibrium coefficient of distribution of the admixture between the flow and the adsorbent) may be described with the aid of two probability functions: $P_0(t)$, the probability of remaining on the adsorbent for the time t , and $P_L(X)$, the probability of transport for the distance X in the interval between two acts of adsorption. Over a certain range of admixture concentrations $a(X, t)$ in the adsorber, the width of which in the logarithmic scale $\ln a_{\max}/a_{\min}$ is proportional to the cube root of the length X of the absorber, the distribution of the admixture along the adsorber is completely determined by four parameters of the probability functions: the mean values (θ and l) and the mean squares of the deviations from the mean (σ_θ^2 and σ_l^2). In this range the conceptions of the «theoretical plate or apparent transport length $x = \frac{\sigma_\theta^2 + \sigma_l^2}{2} l$ », «the apparent delay in

the onset of equilibrium between the flow and the adsorbent $\tau = \frac{\sigma_0 + \sigma_1}{2} \theta$, «the apparent diffusion of the admixture with coefficient $D_{ap} = ux$ », where $u = l/\theta$ is the transport rate of the admixture, may be applied. The dimensionless criterium $h = x/d$ characterizing the dynamic diffuseness of the chromatographic bands (d — being the generalized diameter of the adsorbent granules) comprises the terms C_1Pe (the large longitudinal molecular diffusion), $(D, D_i \Gamma) \cdot C_2Pe$ (the slow diffusion within the adsorbent, with coefficient D_i), $\frac{V\overline{Pe}}{C_3}$ (the slow mass transfer between the flow and the granule), $k_{\text{н}}$ (the «granulation effect») and h_5 (a constant associated with the wall effect). Here $Pe = Wd/D$ is the Peclet diffusion number, D — the coefficient of molecular diffusion of the admixture in the flow and W — the flow rate with respect to the total cross section. Calculation gave $c_2 \sim 3 \cdot 10^{-2}$. Analysis of the experimental results obtained in this study (Kr and Xe absorption on AG-2 carbon) and of published data showed that the constants $c_1, c_3, (k_{\text{н}} + h_5)$ are by their order of magnitude close to unity (the last one being more than 1), but that they depend upon the shape of the granules and their packing density.

СТАЦИОНАРНЫЙ РЕЖИМ СОРБЦИОННОГО ФИЛЬТРОВАНИЯ И ПРЕДЕЛЬНЫЕ УРАВНЕНИЯ ДИНАМИКИ ИОННОГО ОБМЕНА

В. Л. Анохин

Теория хроматографии [1—12] приводит к выводу, что следует различать три типа фронтов, образующихся при фильтровании растворов (или газовых смесей) через поглощающий слой:

1) фронт, отвечающий изотерме сорбции выпуклой относительно оси концентраций; 2) фронт, отвечающий изотерме вогнутой; и 3) фронт, отвечающий линейной изотерме.

Фронты первых двух типов реализуются обычно на двух границах хроматографической полосы: один отвечает сорбции вещества при его переносе вдоль поглощающего слоя, другой — десорбции. При равновесных условиях ведения опыта фронт первого типа становится «острым», образуя резкую границу между свободным и заполненным сорбентом. Второй тип фронта — «диффузный», — изображаемый более или менее плавной кривой (в координатах концентрация — длина слоя), неизбежно растягивается при перемещении, образуя или «хвост» хроматографической полосы, или ее вытягивающийся вперед «хобот» (как, например, при поглощении Li^+ Н-формами катионитов).

В большинстве случаев сорбционного и ионообменного фильтрования острым оказывается головной фронт полосы. В практических неравновесных условиях острота фронта сглаживается, форма его концентрационной кривой определяется кинетикой сорбционного процесса, но характерной его особенностью оказывается устойчивость этой формы: фронт формируется на некотором начальном отрезке длины колонки и далее перемещается параллельно самому себе — устанавливается стационарный режим.

К такому же стационарному режиму приближается и фронт, отвечающий линейной изотерме [11, 12].

Поскольку этот стационарный режим определяет наиболее экономичное использование емкости сорбционной колонки и является необходимым условием четкого разделения хроматографических зон компонентов смесей, теоретический анализ этого случая давно уже привлекает исследователей и ему посвящен ряд статей, главным образом отечественных авторов [9—15].

В настоящей статье предлагается обобщающий вывод, значительно облегчающий задачу нахождения вида уравнения фронта или выходной кривой при заданной форме кинетического уравнения, для фронтов, отвечающих выпуклым или линейным изотермам; движения фронтов, прогрессивно растягивающихся (вогнутые изотермы), здесь не рассматриваются.

Обстоятельный анализ динамики сорбционного фильтрования [16—18] показал, что стационарный режим параллельного переноса выражается асимптотическими формами уравнений динамики сорбции при длине поглощающего слоя, стремящейся к бесконечности. Однако еще в первой работе по динамике сорбционного фильтрования Н. А. Шилова, Л. К. Лепинь и С. А. Вознесенского [19] уже показано, что практически этот стационарный режим, т. е. линейный участок кривой «защитного действия фильтра», устанавливается уже на сравнительно коротких отрезках длины колонки [20]. Таким образом, в большинстве практических случаев является вполне оправданным использование асимптотических форм уравнений. Более того,

только асимптотические уравнения оказываются пригодными для практических числовых расчетов, так как полные уравнения вследствие чрезвычайной трудоемкости вычислительных операций исключают возможность их использования без применения электронных счетных машин.

Имеет поэтому смысл непосредственно находить асимптотические решения задачи, налагая условие стационарности движения фронта на систему исходных дифференциальных уравнений.

Это условие можно формулировать в виде следующей теоремы: «необходимым и достаточным условием параллельности переноса фронта является равенство относительных величин концентрации растворов и степени насыщения сорбента на всем участке фронта», т. е. условие:

$$\sigma = \beta. \quad (1)$$

Под относительными величинами здесь разумеются безразмерные переменные $\sigma = c/c_0$ и $\beta = b/b_0$, где c_0 и c — исходная и переменная концентрации раствора, b_0 и b — предельное и переменное количество сорбата на 1 г сорбента.

Теорема доказывается следующим образом. Пусть в цилиндрической колонке равномерно уложен слой зернистого сорбента с массой m , пропорциональной его длине. Между зернами сорбента остается свободный объем, доступный для раствора; долю этого свободного объема относительно полного объема колонки обозначим через α . Введя в колонку объем раствора dV , мы смочим элемент слоя

$$\alpha dm = g dV,$$

где $g = \alpha \frac{dm}{dV}$ — «коэффициент укладки» сорбента, или его насышной вес.

При равномерной объемной скорости подачи раствора

$$U = \frac{dV}{dt} = \text{const}$$

производная

$$\alpha \frac{dm}{dV} = \frac{a}{U} \frac{dm}{dt}$$

означает скорость смачивания слоя сорбента.

Дифференциальное уравнение материального баланса поглощаемого вещества в элементе слоя сорбента, как известно [16—18, 21—27], можно записать так:

$$\frac{dc}{dm} + \frac{a}{g} \frac{dc}{dV} + \frac{db}{dV} = c_0 \frac{d\sigma}{dm} + c_0 \frac{a}{g} \frac{d\sigma}{dV} + b_0 \frac{d\beta}{dV} = 0.$$

Введем «бегущую координату», начало которой движется вместе с границей смоченного раствором слоя сорбента:

$$v = V - \alpha \frac{m}{g},$$

и отметим при этом, что при заданной массе слоя m величина v означает объем раствора, вышедшего из концевое сечения колонки.

При помощи новой координаты уравнение баланса легко преобразуется в уравнение в частных производных, помня, что

$$dV = (\partial v)_m \text{ и } \left(\frac{\partial v}{\partial m} \right)_v = - \frac{a}{g},$$

и, следовательно,

$$\left(\frac{\partial \sigma}{\partial m} \right)_v = - \frac{b_0}{c_0} \left(\frac{\partial \beta}{\partial v} \right)_m \quad (2)$$

или

$$\left(\frac{\partial m}{\partial v}\right)_\sigma = \frac{c_0}{b_0} \left(\frac{\partial \sigma}{\partial \beta}\right)_m. \quad (2a)$$

Частная производная $(\partial m / \partial v)_\sigma$ означает теперь скорость перемещения того элемента слоя dm , которому соответствует данное значение относительной концентрации раствора σ .

При стационарном режиме параллельного переноса фронта концентрации, все его участки, отвечающие всем значениям σ от 0 до 1, движутся с одинаковой и постоянной скоростью

$$\left(\frac{\partial m}{\partial v}\right)_\sigma = \text{const} = \eta = \frac{c_0}{b_0} \left(\frac{\partial \sigma}{\partial \beta}\right)_m;$$

откуда, интегрируя, получаем

$$\frac{c_0}{b_0} \sigma = \eta \beta + A.$$

Подставляя начальные условия (впереди фронта) $\sigma = \beta = 0$, находим, что константа интегрирования $A = 0$. Подставляя конечные условия (позади фронта) $\sigma = \beta = 1$, находим, что $\eta = c_0 / b_0$, а поэтому $\sigma = \beta$ на протяжении всего фронта, что и требовалось доказать.

Впервые на существование условия 1 в стационарном фронте указал Я. Б. Зельдович в 1939 г., и впоследствии это соотношение неоднократно использовалось рядом авторов при теоретическом анализе движения сорбционных фронтов [4, 13, 28]. Нашей задачей является раскрыть безусловную универсальность этого условия, которое, как указано в формулировке теоремы, является необходимым и достаточным для осуществления стационарности движения фронта, что является из доказательства теоремы.

Можно показать, что условие $\sigma = \beta$ дает возможность наиболее простым способом вывести асимптотические формы уравнений динамики сорбционного и ионообменного фильтрования.

В общем виде искомое уравнение динамики фильтрования можно представить в форме

$$v = f(\sigma, m).$$

Его полный дифференциал

$$dv = \left(\frac{\partial v}{\partial m}\right)_\sigma dm + \left(\frac{\partial v}{\partial \sigma}\right)_m d\sigma. \quad (3)$$

Воспользовавшись условием стационарности (1) и на основании уравнения баланса (2a), первую из частных производных можно привести к явному виду:

$$\left(\frac{\partial v}{\partial m}\right)_\sigma = \frac{b_0}{c_0} \left(\frac{\partial \beta}{\partial \sigma}\right)_m = \frac{b_0}{c_0}.$$

Вторая же из частных производных при наличии условия (1) является обратной функцией какого-либо заданного уравнения кинетики сорбции, которое в общем виде можно записать:

$$\frac{db}{dt} = U b_0 \frac{d\sigma}{d\tau} = \tau(b, c) = U b_0 \frac{d\sigma}{d\tau}$$

и, следовательно,

$$dv = \frac{b_0}{c_0} V m \frac{d\tau}{d\sigma}. \quad (3a)$$

В качестве примера рассмотрим решения для шести различных форм задаваемого уравнения кинетики, заимствованных из литературы и использованных рядом авторов для детального анализа кинетики и динамики ионообменного фильтрования.

Пример 1. Простейший гипотетический случай необратимой кинетики первого порядка:

$$\frac{db}{dt} = kc \equiv Ub_0 \frac{d\beta}{dv} = kc_0\sigma.$$

На основании условия стационарности (1) можно заменить

$$d\beta = d\sigma,$$

тогда уравнение (3а) переписывается так:

$$dv = \frac{b_0}{c_0} dm + \frac{U}{k} \frac{b_0}{c_0} \frac{d\sigma}{\sigma}.$$

Интегрируя, находим

$$v = \frac{b_0}{c_0} m + \frac{U}{k} \frac{b_0}{c_0} \ln \sigma + A. \quad (4)$$

Чтобы раскрыть значение константы интегрирования A , следует обратиться к тому очевидному условию, что площадь, ограниченная выходной ривой, должна быть равна полной емкости сорбирующего слоя, т. е. должно соблюдаться условие:

$$\int_0^{c_0} v dc = mb_0 \quad \text{или} \quad \int_0^1 v d\sigma = m \frac{b_0}{c_0}. \quad (5)$$

В нашем случае это условие приводит к тому, что

$$A = \frac{b_0}{c_0} \frac{U}{k},$$

следовательно, уравнение динамики принимает вид

$$v = \frac{b_0}{c_0} m + \frac{U}{k} \frac{b_0}{c_0} (1 + \ln \sigma). \quad (4a)$$

Пример 2. Задается уравнение так называемой «линейной кинетики» [22, 23], названной так потому, что при равновесии оно приводит к линейной изотерме:

$$\frac{db}{dt} = k_1 b_0 c - k_2 b.$$

Произведя те же операции, что в предыдущем случае, находим

$$v = m \frac{b_0}{c_0} + \frac{U}{k_1 c_0 - k_2} \ln \sigma + A. \quad (6)$$

На основании условия (5) находим, что

$$A = \frac{U}{k_1 c_0 - k_2},$$

следовательно, уравнение динамики примет вид:

$$v = m \frac{b_0}{c_0} + \frac{U}{k_1 c_0 - k_2} (1 + \ln \sigma). \quad (6a)$$

Физически более обоснованными для применения к ионному обмену являются кинетические уравнения второго порядка. Как известно, они обязательно связаны с гипотезой о доминирующем значении «химической гадии» в гетерогенном процессе ионного обмена; в некоторых концентрационных пределах диффузионная кинетика выражается теми же функциями переменных — c и b и отличается от чисто химического механизма реакции только иным физическим смыслом параметра k , совершенно иной температурной зависимостью. В условиях изотермического опыта это различие не имеет значения.

Рассмотрим две формы уравнений кинетики второго порядка, приводящие к идентичному решению.

Пример 3. Уравнение необратимой реакции второго порядка [24]

$$\frac{db}{dt} = k(b_0 - b)c.$$

Пример 4. Уравнение обратимой реакции второго порядка, приводящее при равновесии к изотерме закона действия масс [21, 25]:

$$\frac{db}{dt} = k_1(b_0 - b)c - k_2(c_0 - c)b.$$

Перейдя к безразмерным переменным σ и β и произведя подстановку условия стационарности (1), оба уравнения приводят к виду, идентичному относительно функции от σ .

Сделав указанные подстановки в уравнение (3а) и интегрируя, находим

$$v = m \frac{b_0}{c_0} + \frac{U}{\kappa c_0} \ln \frac{\sigma}{1 - \sigma}. \quad (7)$$

Оба случая различаются только значением параметра κ : для случая 3 — $\kappa = k$, а для случая 4, $\kappa = k_1 - k_2$.

Константа интегрирования, на основании условия (5), равна нулю.

Пример 5. Использованное Томасом уравнение кинетики вида

$$\frac{db}{dt} = k_1(b_0 - b)c - k_2b,$$

приводящее при равновесии к изотерме типа Лэнгмюра («лэнгмюровская кинетика») [22, 23].

В этом случае предельное насыщение при $\sigma = 1$ зависит от абсолютного значения c_0 , поэтому необходимо изменить выражение для β , которому следует дать определение:

$$\beta' = \frac{b}{b_0} \frac{k_1 c_0}{k_2 + k_1 c_0}.$$

Подставив β' в этой формулировке в уравнение (2а) и применив условие стационарности (1) и интегрируя, находим уравнение динамики, идентичное с уравнением (7), со значением $\kappa = k_1$.

Пример 6. Для кинетики сорбции часто используется уравнение Нернста для гетерогенных процессов [9, 16—18]:

$$\frac{db}{dt} = k(c - [c]),$$

где $[c]$ — концентрация при достижении равновесия. Если, как это делают О. М. Тодес и В. В. Рачинский [9], принять, что $[c]$ определяется законом действия масс:

$$[c] = \frac{b}{\xi b_0 - (\xi - 1)b}$$

(ξ — константа равновесия), ввести безразмерные переменные и применить условие стационарности (1), получим

$$U b_0 \frac{d\sigma}{dv} = \kappa c_0 \left(\sigma - \frac{\sigma}{\xi - (\xi - 1)\sigma} \right).$$

Подставив это выражение в уравнение (3а) и интегрируя, получим,

$$v = \frac{b_0}{c_0} \left(m + \frac{U}{k(\xi - 1)} \ln \frac{\sigma^\xi}{1 - \sigma} \right) + A.$$

Найдя константу интегрирования из условия (5), получим уравнение динамики:

$$v = \frac{b_0}{c_0} \left\{ m + \frac{U}{k(\xi-1)} \left(\xi - 1 + \ln \frac{\sigma^\xi}{1-\sigma} \right) \right\}, \quad (8)$$

о существовании, как и следовало ожидать, сходное с уравнением О. М. Тодена и В. В. Рачинского.

Таким образом, рассматривая только стационарную стадию процесса сорбционного фильтрования, мы приходим к очень простым уравнениям. Количественная обработка и анализ опытных данных становятся легко доступными.

Появляется законный вопрос — какое же из выведенных уравнений имеет наибольшее теоретическое обоснование и точнее всего отвечает

критерий — проверка опытом — показывает, что в реальных выходных кривых наблюдаются все три приведенных здесь типа зависимостей: и логарифмическая [уравнения (4а) и (4а)], и выражаемая симметричной S-образной кривой [уравнение (7)], и несимметричная [уравнение (8)], и притом с большой степенью точности наложенные опытных точек на теоретические кривые. Это свидетельствует о том, что механизм гетерогенной реакции ионного обмена сложен, и для различных

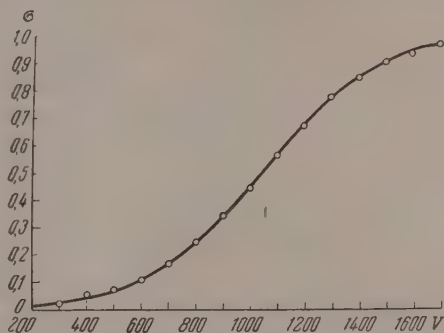


Рис. 1. Выходная кривая к опыту № 1

ионных пар, на разных ионитах и при разных концентрационных условиях наблюдаемая кинетика управляется различными его стадиями. Каждое из использованных здесь кинетических уравнений можно рассматривать, как относящееся к той стадии сложного процесса, которая при данных условиях опыта является лимитирующей для скорости суммарного процесса. Несомненно, главными стадиями сложной реакции являются «внешняя» и «внутренняя» диффузии ионов, и рассмотренные здесь уравнения лишь приближенно соответствуют этим процессам и при более глубоком анализе следует использовать диффузионные уравнения, предложенные авторами [4, 15, 26, 27, 29—31]. Предлагаемый здесь метод рассмотрения только стационарного режима, путем наложения условия (1), может и в этом случае более простым путем прийти к более простым выражениям.

Не задаваясь пока этой задачей, покажем на двух характерных примерах, как различия в механизме ионообменной сорбции отражаются на форме выходных кривых и насколько точно эти кривые выражаются теоретическими уравнениями (7) и (8).

Приводим два опыта обмена катиона Na^+ на H^+ . В одном опыте, проведенном на колонке с длиной слоя катионита 37 см, объемом слоя 55,5 мл и весе сухого вещества смолы $m = 21,4$ г с раствором NaCl $c_0 = 0,0336$ N скорости фильтрования $U = 22,9$ мл/мин фильтрование происходило через набухающий гель катионита сульфифенол — формальдегидного типа «вофатит PN», зернение 1,5—0,5 мм), внутренняя фаза которого может рассматриваться как однородная, доступная для мигрирующих ионов, во всей своей массе; в другом опыте применялась колонка с длиной фильтрующего слоя катионита 56,8 см, объемом 80 мл. В качестве катионита использовался «вофатит Z» типа сульфированного угля, в форме с зерном до 2 мм, не отсеортированным от мелкой пыли, при

$m = 37,9$ г, раствор NaCl, $c_0 = 0,102$ N, $U = 3,84$ мл/мин. Ионообменная сорбция в этом случае совершается на высокоразвитой поверхности катионита. Различие в механизме процесса четко выявилось в форме выходных кривых — в первом случае наблюдалась симметричная форма, изображаемая уравнением (7), в другом — несимметричная, хорошо описываемая уравнением (8). Результаты опытов представлены на рисунках.

На рис. 1 представлена выходная кривая опыта № 1, а на рис. 2 те же опытные точки нанесены в координатной системе $x = \lg \frac{\sigma}{1-\sigma}$ и $y = v$. В этой координатной системе уравнение (7) представляет прямую с коэффициентом наклона $B = 2,303 U/kc_0$ и начальной ординатой $A = mb_0/c_0$. Числовые расчеты облегчаются применением готовых таблиц значений x («Таблицы логарифмов отношений плеч мостика Уитстона») в справочниках, на-

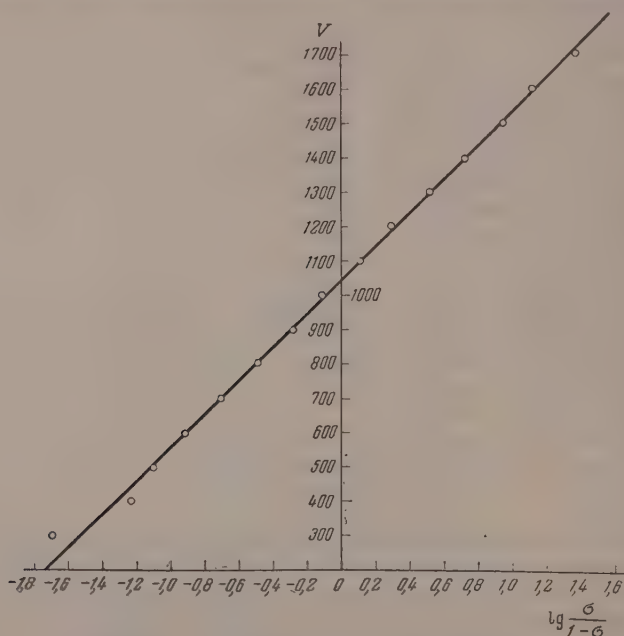


Рис. 2. Опытные точки опыта № 1 в спрямляющей координатной системе

пример, Лурье или Кюстера. Как видим, опытные точки хорошо укладываются на прямую с коэффициентом наклона $B = 473,0$ мл и начальной ординатой $A = 1045$ мл. Отсюда вычисляются значения $k = 3,318$ л/мл·экв и $b_0 = 1,64$ мг-экв/г.

На рис. 3 приводится непрерывная кривая опыта № 2, записанная автоматически по изменению электропроводности фильтрата, при помощи самопишущего устройства и транспонированная по ординатам в масштабе значений σ механическим пантографом специальной конструкции.

Выходная кривая второго опыта (рис. 3) явно несимметрична. Подстановка опытных точек в уравнение (7) не дает спрямления, как это видно на рис. 4. На этом же рисунке показано, что точки хорошо спрямляются, если по абсциссам, в соответствии с уравнением (8), отложить значения $x = \lg [\sigma^2/(1-\sigma)]$ со значением $\xi = 0,25$. Тогда коэффициент наклона $B = 500$ мл, начальная ордината $A = \frac{b_0}{c_0} m + 500 (0,75) = 320$ мл, откуда вычисляется $b_0 = 1,87$ мг-экв/г, и $k = 0,433$ мл/г мин.

Полученное в этом опыте (равно как и во многих других опытах при относительно высокой концентрации NaCl) значение $\xi < 1$ не согласуется с величиной константы равновесия, определенной для обмена $\text{Na}^+ - \text{H}^+$ другими методами. Это заставляет думать, что параметр ξ не выражает константу равновесия, а является некоторой ее функцией, недостаточно раскрытой при выводе уравнения (8). Действительно, комбинирование кинетического уравнения Периста с изотермой закона действия масс, лежащее в основе вывода, является искусственным допущением, не имеющим достаточного логического обоснования. Вместе с тем несомненно, что уравнение (8) формально (если параметру ξ придать значение эмпирической константы) очень точно описывает ход несимметричных выходных кривых. Физический смысл параметра ξ надлежит еще выяснить.

К приведенным примерам можно было бы еще добавить другие примеры вполне стационарных фронтов, имеющих форму логарифмических, соответствующих уравнениям (4a) и (6a). Такие фронты часто наблюдаются при вытеснении кислотами сорбированных катионитами металлических одно- и многовалентных катионов. Однако в данном случае мы имеем дело с неоднократно отмеченной аномалией поведения катиона H^+ при ионном обмене (термодинамическая необратимость обмена, параллельность переноса фронта, наблюдаемая при некоторых условиях

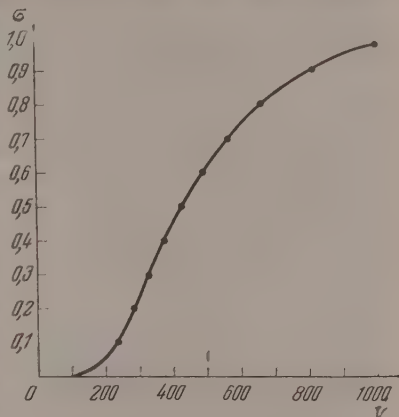


Рис. 3. Выходная кривая к опыту № 2

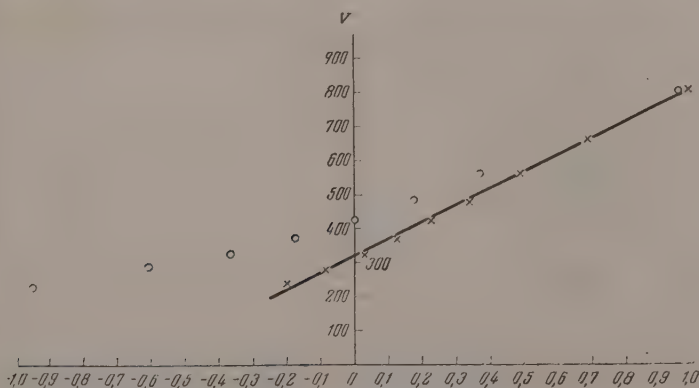


Рис. 4. Опытные точки опыта №2 воспрямляющей координатной системе. 0 — при $\xi = 1$; × — при $\xi = 0,25$

пыта, вопреки теоретически ожидаемой непараллельности и т. д.), не ашедшей еще теоретического объяснения. Относящийся к этому вопросу материал и выводы составят предмет особой статьи.

Описанный здесь метод нахождения асимптотических решений задачи фронтальной динамики имеет тот смысл, что он значительно облегчает анализ стадий сложного гетерогенного процесса ионного обмена. Действительно, для каждой гипотетической модели отдельной стадии процесса составляется соответствующее уравнение кинетики и, как показано на

наших примерах, легко преобразуется в уравнение динамики фильтрования (например, в уравнение выходной кривой). Приведенные примеры, конечно, далеко не исчерпывают все возможные варианты; напротив, они иллюстрируют лишь самые простые модели, и их несомненно следует дополнить, как уже сказано выше, выводами уравнений динамики, основанных на диффузионно-кинетических представлениях. Полученные таким образом серии гипотетических уравнений послужат эталонами при анализе тех реальных изменений формы выходных кривых, которые наблюдаются в опытах при варьировании экспериментальных условий, способствуя постепенному раскрытию деталей механизма изучаемого процесса.

Но и сами приведенные здесь уравнения динамики, в особенности уравнения (7) и (8), представляют непосредственный практический интерес: они с большой степенью точности отвечают наиболее часто встречающимся типам опытных выходных кривых. Уравнение (7) содержит только одну эмпирическую константу κ , уравнение (8) — две — k и ξ . Числовые значения этих констант, определенные в модельных лабораторных опытах на малых колонках, служат необходимыми параметрами при расчете и проектировании укрупненных производственных установок: они дают возможность рассчитать так называемую «динамическую емкость фильтров до проскака», исходя из полной сорбционной емкости сорбента b_0 , которая определяется обычно независимым статическим методом. Кроме того, наша практика на протяжении нескольких лет показала, что уравнение (7) благодаря своей простоте и легкости расчетов при помощи готовых таблиц (см. пример 1) является чрезвычайно удобным для быстрой обработки, классификации и оценки обширного опытного материала в ходе научно-исследовательской работы по изысканию новых схем и методов использования ионообменных фильтров для промышленных и аналитических целей.

ВЫВОДЫ

1. Дано доказательство теоремы о необходимом и достаточном условии, определяющем стационарность режима параллельного переноса фронта при сорбционном фильтровании.

2. На основе этого условия предложен метод вывода асимптотических форм уравнений динамики сорбционного фильтрования, иллюстрированный шестью примерами такого вывода для наиболее простых типов кинетических уравнений.

3. Выведенные уравнения динамики ионного обмена [уравнений (6а), (7) и (8)] с большой точностью описывают ход опытных выходных кривых, отвечающих различным условиям опыта. Они достаточно просты и позволяют легко производить количественную обработку опытных данных, в частности, для вычисления параметров, числовые значения которых могут быть использованы для проектирования производственных ионообменных фильтров на основе модельных лабораторных опытов.

4. Приведены примеры использования выведенных уравнений при анализе опытных данных по динамике обмена катионов Na^+ на H^+ , причем показано, что в случае обмена на сульфофенолформальдегидном катионите, представляющем собой набухающий гель, кинетика процесса определяется простым уравнением химической кинетики второго порядка; в случае обмена на сульфированном угле, совершающемся на его высокоразвитой поверхности, кинетика определяется более сложным уравнением.

Приношу глубокую благодарность проф. С. А. Вознесенскому за неизменный интерес к настоящему исследованию, за создание и обеспечение всех условий, способствовавших его осуществлению, за внимательное и критическое рассмотрение результатов.

ЛИТЕРАТУРА

1. D. De Vault, Journ. Amer. Chem. Soc., 65, 532, 1943.
2. J. Weiss, Journ. Chem. Soc. [London], 297, 1943.
3. J. E. Walter, Journ. Chem. Phys. 13, № 6, 229, 1945.
4. Я. М. Биксон, О роли диффузионно-кинетических факторов в динамике сорбции, Диссертация М., 1950.
5. E. Glueckauf, Proc. Roy. Soc. A186, 35, 1946.
6. E. Glueckauf, Journ. Chem. Soc. [Lond], 1302, 1947.
7. Г. В. Самсонов, ДАН СССР, 97, 707, 1954.
8. Н. А. Фукс, Усп. химии, 18, 206, 1949.
9. О. М. Тодес, В. В. Рачинский, Журн. физ. химии, 29, 1591, 1955.
10. О. М. Тодес, В. В. Рачинский, Журн. физ. химии, 29, 1909, 1955.
11. В. В. Рачинский, О. М. Тодес, Журн. физ. химии, 30, 407, 1956.
12. С. Е. Бреслер, ДАН СССР, 97, 699, 1954.
13. О. М. Тодес, Я. М. Биксон, ДАН СССР, 75, 727, 1950.
14. Я. М. Биксон, Журн. физ. химии, 27, 1530, 1953.
15. Н. Н. Туницкий, Е. П. Чернева, В. И. Андреев, Журн. физ. химии, 28, 2006, 1954.
16. А. А. Жуховицкий, Я. Л. Забежинский, А. Н. Тихонов, Журн. физ. химии, 19, 253, 1945.
17. А. Н. Тихонов, А. А. Жуховицкий, Я. Л. Забежинский, Журн. физ. химии, 20, 1113, 1946.
18. Я. Л. Забежинский, А. А. Жуховицкий, А. Н. Тихонов, Журн. физ. химии, 23, 192, 1949.
19. Н. А. Шилов, Л. К. Лепинь, С. А. Вознесенский, ЖРФ-ХО, 61, 1107, 1929.
20. М. М. Дубинин, Физико-химические основы сорбционной техники, М., 1932.
21. Н. С. Томас, Journ. Amer. Chem. Soc., 66, 1664, 1944.
22. Г. Томас, Статья в сборн. «Хроматография» под ред. акад. М. М. Дубинина, ИИЛ, М.—Л., 1949. Оригинал — Ann. N. Y. Acad. Sci., 49, 161, 1948.
23. Г. Томас, глава в кн. «Ионный обмен», под ред. К. В. Чмутова, ИИЛ, М.—Л., 1951.
24. N. R. Amundson, Journ. Phys. a. Colloid Chem., 52, 1153, 1948.
25. N. R. Amundson, Journ. Phys. a. Colloid Chem., 54, 812, 1950.
26. P. R. Kasten, L. Lapidus, N. R. Amundson, Journ. Phys. Chem., 56, 683, 1952.
27. L. Lapidus, N. R. Amundson, Journ. Phys. Chem., 56, 984, 1952.
28. Л. В. Радужкевич, ДАН СССР, 57, 471, 1947.
29. Н. Н. Туницкий, И. М. Шендерович, Журн. физ. химии, 26, 1425, 1952.
30. С. Е. Бреслер, ДАН СССР, 90, 205, 1953.
31. С. Е. Бреслер, Я. С. Уфлянд, Журн. техн. физ., 23, 1443, 1953.

THE STEADY STATE OF SORPTION FILTRATION AND THE LIMITING EQUATIONS FOR THE DYNAMICS OF ION EXCHANGE

W. L. Anokhin

(Moscow)

Summary

It has been shown that Eq. (I) (where $\sigma = c/c_0$, $\beta = b/b_0$, c_0 being the initial, and c the variable concentrations of the solute, and b_0 the limiting, and b the variable amounts of sorbate) determines a requisite and sufficient condition for the establishment of the steady state of sorption filtration, characterized by a parallelity of front transition. On applying this condition to the system of initial differential equations for the material balance and the rates, asymptotic forms of the equations for the dynamics of sorption filtration are easily derived. These equations are valid for cases in which the sorption isotherm corresponds to a convex isotherm. In this way the Eqs. (6a, 7 and 8) for ion exchange filtration were derived (v designating the effluent volume, x , k and ξ , constants, m — the mass of the sorbent layer). The equations describe well the shape of the experimental curves for different conditions, as was illustrated by the cationic exchange of H^+ on phenol-sulfonic-formaldehyde resin and on sulfonated coal.

ИЗУЧЕНИЕ ХИМИЧЕСКОГО СОСТОЯНИЯ ThC , ОБРАЗУЮЩЕГОСЯ ПРИ РАСПАДЕ ThB , ВХОДЯЩЕГО В СОСТАВ НЕКОТОРЫХ ФЕНИЛПРОИЗВОДНЫХ СВИНЦА

В. Д. Нефедов и М. П. Бельды

В работах [1—6] были рассмотрены основные факторы, определяющие химическое состояние дочерних атомов, образующихся в результате β -распада.

Из них работы [1—3] посвящены изучению химического состояния RaE , возникающего при распаде RaD , входящего в состав различных металлоорганических производных.

Наиболее подробно этот вопрос был изучен на примере тетрафенил- и трифенилхлорида свинца в работе [1].

В настоящей статье мы ограничимся в основном лишь сообщением экспериментальных результатов, полученных нами при изучении химического состояния ThC (60,5 мин.), возникающего в результате распада ThB (10,6 часа), входящего в состав аналогичных фенилпроизводных.

Мы сообщим также о результатах опытов по выделению ThC' из $\text{ThC}(\text{C}_6\text{H}_5)_3$.

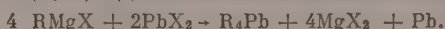
Подобные исследования представляют интерес, во-первых, с точки зрения выяснения влияния особенностей процесса радиоактивного распада материнского атома на химическое состояние дочернего продукта и, во-вторых, для целей получения радиохимически чистых препаратов ThC и ThC' высокой удельной активности.

ЭКСПЕРИМЕНТАЛЬНАЯ ЧАСТЬ

Приготовление препаратов. Необходимые для работы препараты $\text{Bi}(\text{C}_6\text{H}_5)_3$, $\text{Bi}(\text{C}_6\text{H}_5)_3\text{Cl}_2$ синтезировались по методам, описанным в монографии [7]. Они имели температуру плавления: $\text{Bi}(\text{C}_6\text{H}_5)_3$ — 76—77°C, $\text{Bi}(\text{C}_6\text{H}_5)_3\text{Cl}_2$ — 140—141°C, что соответствует литературным данным.

Приготовление хлористого свинца, меченного ThB . Навеска 4—5 г PbCl_2 кипятилась 5 мин. в термостойком стакане с 50 мл 5% HCl вместе с танталовыми пластинками, которые активировались в тороновом источнике (~ 40 мС) в течение 1—2 суток. Затем пластинки вынимались из раствора, а PbCl_2 кипятился с кислотой еще некоторое время. При этом ThB распределялся в хлористом свинце, так как последний заметно растворим в горячей 5%-ной HCl . После охлаждения раствора в водяной бане со льдом осадок отсасывался и сушился при температуре около 100°C. Полученный таким образом сухой меченный ThB хлористый свинец использовался для синтеза тетрафенилсвинца.

Синтез тетрафенилсвинца, меченного ThB . Ввиду сравнительно короткого периода полураспада ThB (10,6 часа) нам необходимо было найти метод быстрого получения $\text{Pb}(\text{C}_6\text{H}_5)_4$. Для этого была использована общая схема реакции:



В свежеприготовленный из 7 мл бромбензола, 1,5 г магния и 20 мл абсолютного эфира реактив Гриньяра приливалось 20 мл сухого толуола. Затем при слабом нагревании и постоянном перемешивании в реакционную колбу присыпался порциями по 50 мг через трехминутные интервалы сухой $\text{Pb}(\text{ThB})\text{Cl}_2$ (4—5 г), приготовленный вышеописанным методом. После этого реакционная смесь кипятилась в течение 2 час. при постоянном энергичном перемешивании, охлаждалась в водяной бане со льдом и разлагалась постепенно небольшими порциями 10%-ного раствора NH_4Cl . Осадок, содержащий главным образом $\text{Pb}(\text{ThB})(\text{C}_6\text{H}_5)_4$, отсасывался на воронке Бюхнера, промывался горячим спиртом и эфиром. Из высушенной при 100°C с серой массы тетрафенилсвинца извлекался горячим хлороформом или бензолом (не больше 50 мл). Вынавшие из раствора по охлаждению кристаллы $\text{Pb}(\text{ThB})(\text{C}_6\text{H}_5)_4$ перекристаллизовывались и имели температуру плавления 224—226°C.

Приготовление $\text{Pb}(\text{ThB})\text{Cl}_2$ следует вести одновременно с синтезом реактива Гриньяра.

Таким образом чистый кристаллический тетрафенилсвинца, меченный ThB, был синтезирован нами в течение 4 час., включая сюда и время синтеза реактива Гриньяра.

Синтез трифенилхлорида свинца, меченного ThB. Синтез $\text{Pb}(\text{ThB})(\text{C}_6\text{H}_5)_3\text{Cl}$ проводился по методике, описанной в работе [7], из $\text{Pb}(\text{ThB})(\text{C}_6\text{H}_5)_4$, температура плавления его, $204-208^\circ\text{C}$, согласуется с литературными данными.

Используемые нами в качестве материнских молекул $\text{Pb}(\text{ThB})(\text{C}_6\text{H}_5)_4$ и $\text{Pb}(\text{ThB})(\text{C}_6\text{H}_5)_3\text{Cl}$ устойчивы и хорошо растворимы в бензоле, хлороформе и почти не растворимы в эфире, спирте, петролейном эфире. Предполагалось, что ThC, возникающий при распаде ThB, стабилизируется, хотя бы частично, в виде фенилпроизводных висмута, основные из которых $\text{Bi}(\text{C}_6\text{H}_5)_3$ и $\text{Bi}(\text{C}_6\text{H}_5)_3\text{Cl}_2$ вполне устойчивы и легко растворимы во всех вышеперечисленных растворителях.

Идентификация этих дочерних форм проводилась методом изотопных металлоорганических носителей.

Различные отношения фенилпроизводных свинца и висмута к органическим растворителям, а также их хорошая кристаллизуемость дали возможность при соответствующих условиях добиться быстрого и полного разделения материнских и дочерних форм. Особенно удачный метод разделения был найден для пар $\text{Pb}(\text{ThB})(\text{C}_6\text{H}_5)_3\text{Cl} - \text{Bi}(\text{ThC})(\text{C}_6\text{H}_5)_3\text{Cl}_2$ и $\text{Pb}(\text{ThB})(\text{C}_6\text{H}_5)_3\text{Cl} - \text{Bi}(\text{ThC})(\text{C}_6\text{H}_5)_3$. Неорганический ThC, возникающий при распаде ThB, входящего в состав фенилпроизводных, определялся экстрагированием соляной кислотой и методом адсорбции на стекле.

Фенилпроизводные свинца и висмута, как и большинство металлоорганических соединений, обладают свойством не обмениваться атомом металла [8] (о возможности электронного обмена в системе $(\text{C}_6\text{H}_5)_3\text{BiCl}_2 - \text{Bi}^*(\text{C}_6\text{H}_5)_3$ см. работу [4]), что позволяло идентифицировать дочерние химические формы, не опасаясь нарушения первоначально возникших соотношений между ними.

Измерения проводились по β -лучам ThC и ThC', которые имеют энергию соответственно 2,2 и 1,8 MeV [9, 10], тогда как ThB испускает легко задерживаемые β -частицы с энергией 0,355 и 0,589 MeV [9]. Поглотитель толщиной $\sim 200 \text{ мг/см}^2$ полностью задерживает β -частицы ThB [11, 12]. В наших опытах сухие препараты покрывались алюминиевой пластинкой весом 240 мг/см^2 ; кроме того, счетчики, на которых производились измерения, имели толщину стенки 35 мг/см^2 . Для жидкостных измерений были изготовлены кюветы с толщиной стенки 220 мг/см^2 .

Так как навески материнского и дочернего веществ брались одинаковыми и измерения проводились в совершенно идентичных условиях, поправка на самопоглощение и рассеивание β -частиц не вводилась.

ThB (10,6 часа) неудобен для хранения полученного радиоактивного препарата, требовалось многократное повторение синтеза исходных соединений.

При выполнении настоящей работы нами проведено около 50 синтезов тетрафенилсвинца, меченного ThB.

Изучение химического состояния ThC, возникающего при распаде ThB, входящего в состав $\text{Pb}(\text{ThC})(\text{C}_6\text{H}_5)_4$.

Установить долю неорганического ThC экстрагированием водой нельзя, так как в нейтральной среде он почти количественно (90,4%) адсорбируется стеклом [13], что привело бы к значительным потерям.

В кислой среде ThC адсорбируется значительно меньше. Концентрация кислоты, при которой не наблюдается заметной адсорбции ThC и не происходит разрушения недостаточно стойкого к кислотам $\text{Bi}(\text{ThC})(\text{C}_6\text{H}_5)_3$ [7], была установлена нами в результате серии опытов по экстрагированию неорганического ThC соляной кислотой различной концентрации (5, 10, 15%).

Около 50 мг свежеприготовленного $\text{Pb}(\text{ThB})(\text{C}_6\text{H}_5)_4$ растворялось в 20 мл бензола непосредственно в делительной воронке, в которой после выдерживания полученного раствора в течение 7 час. производилось встряхивание его с 20 мл соляной кислоты определенной концентрации. Время встряхивания было 20 и 60 мин. Затем проводилось разделение бензольного раствора и кислоты, которые переводились в отдельные кюветы. После измерения бензольного и солянокислого растворов снималась кривая распада активности последнего.

Доля извлекаемой части ThC рассчитывалась по формуле:

$$D_{\text{извл}} = \frac{Ak100e^{\lambda t}}{Ake^{\lambda t} + B}, \quad (1)$$

где $D_{\text{извл}}$ — доля извлекаемого кислотой ThC в процентах; A — измеренная активность выделенного кислотой ThC в имп./мин.; k — отношение плотности кислоты к плотности бензола; B — измеренная активность бензольного раствора $\text{Pb}(\text{ThB})(\text{C}_6\text{H}_5)_4$ после экстрагирования кислотой в имп./мин.; λ — константа распада ThC ; t — время от момента разделения слоев (т. е. разделения ThC и ThB) до момента измерения активности солянокислого раствора.

Таблица 1

с кислотой, %	Время встряхивания, мин.	Доля ThC , извлекаемая кислотой (накопление в растворе), %						Среднее
5	20	20	28	29	28	29	28	29
	60	32	33	29	—	—	—	32
10	20	30	29	28	—	—	—	29
	60	—	34	36	—	—	—	35
15	20	40	42	40	—	—	—	41
	60	51	51	46	—	—	—	49

Результаты опытов приведены в табл. 1.

Как видно из табл. 1, с увеличением концентрации кислоты выход неорганического ThC значительно возрастает, что является результатом разрушения $\text{Bi}(\text{ThC})(\text{C}_6\text{H}_5)_3$ под действием кислоты.

Кривые распада активности, извлеченной соляной кислотой (рис. 1), показывают, что 15% HCl кроме $\text{Bi}(\text{ThC})(\text{C}_6\text{H}_5)_3$ заметно разрушает и $\text{Pb}(\text{ThB})(\text{C}_6\text{H}_5)_4$, тогда как экстрагирование 5% и 10% HCl приводит к выделению радиохимически чистого ThC . Поскольку увеличение времени экстрагирования 5% HCl от 20 до 60 мин. не приводит к существенному увеличению выхода ThC , можно считать, что наблюдаемая активность солянокислого раствора обусловлена лишь неорганическим ThC , возникающим при радиоактивном распаде. Поэтому дальнейшие опыты по определению доли неорганического ThC проводились нами экстрагированием 5% HCl .

Методика этих опытов и расчеты результатов аналогичны предыдущим. Разница лишь в том, что накопление продуктов распада ThB проводилось в данном случае не в растворе, а в кристаллах*. Встряхивания в течение 20 мин. более чем достаточно для установления экстракционного равновесия.

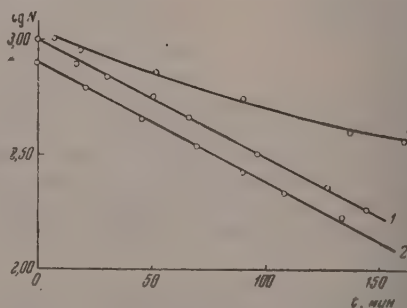


Рис. 1. Кривые распада активностей, извлеченных 5% HCl . 1 — $T_{\text{эисп}} = 60$ мин.; 10% HCl ; 2 — $T_{\text{эисп}} = 60$ мин.; 15% HCl ; 3 — $T_{\text{эисп}} \gg 60$ мин.

* Идентификация металлоорганических форм ThC проводилась также после накопления в кристаллах.

Кривая распада активности, извлеченной 5% HCl (рис. 2), свидетельствует о высокой радиохимической чистоте выделенного ThC.

Результаты по экстрагированию 5% HCl (табл. 2) совпали с результатами определения доли неорганического ThC методом адсорбции на стекле. Метод состоит в следующем.

Около 50 мг $Pb(ThB)(C_6H_5)_4$, в котором ThB находится в равновесии с продуктами распада (накопление в кристаллах), растворялось в 20 мл бензола. Полученный прозрачный раствор пропусклся с небольшой скоростью через фильтр Шотта № 3 в кювету с боковым отводом. Стаканчик, в котором готовился бензолный раствор $Pb(ThB)(C_6H_5)_4$, споласкивался 20 мл чистого бензола, который затем просасывался через фильтр Шотта в ту же кювету. После удаления остатков бензола продуванием через фильтр воздуха адсорбированная на нем активность смывалась 40 мл 5% HCl в аналогичную кювету. Предварительно этими 40 мл 5% HCl споласкивался стаканчик. За момент разделения ThC и ThB принималось среднее время между началом и концом пропускания бензолного раствора через фильтр Шотта. После измерения активности бензолного раствора, пропущенного через фильтр, измерялась активность, смываемая с фильтра 5% HCl.

Таблица 2

Метод	Доля неорганического ThC (накопление в кристаллах), %					Среднее
	21	22	21	21	21	
Экстрагир, 5% HCl (встрях. 20 мин.)	21	22	21	21	21	21*
Адсорб. на стекле	22	17	26	18	23	21

* Этот результат на 8% меньше полученного после накопления в растворе (29%), что объясняется большей вероятностью рекомбинации в кристаллах.

Расчет доли неорганического ThC проводился по формуле (1).

Исходя из этих результатов, за долю неорганического ThC в продуктах распада ThB при накоплении в кристаллах мы приняли 21%.

Выделение $ThC(C_6H_5)_3$ из $Pb(ThB)(C_6H_5)_4$. В 5 мл чистого бензола растворялись навески ~400 мг $Bi(C_6H_5)_3$ и 100 мг $Pb(ThB)(C_6H_5)_4$. После быстрого упаривания бензола при помощи струи воздуха и слабого подогревания из осадка небольшим количеством эфира извлекался $Bi(ThC)(C_6H_5)_3$. Осадок $Pb(ThB)(C_6H_5)_4$ отделялся фильтрованием. Среднее время между началом и концом фильтрования принималось за момент отделения ThC от ThB. Затем эфир быстро упаривался струей воздуха. Осадок растворялся в бензоле, в полученный раствор вводилось большое количество чистого неактивного тетрафенилсвинца, и смесь доводилась до кипения для его растворения. После быстрого удаления бензола производилось извлечение $Bi(ThC)(C_6H_5)_3$ горячим спиртом. По охлаждении спирта выпадали кристаллы трифенилвисмута. Осадок быстро отсасывался и промывался на фильтре небольшим количеством спирта. Затем продуванием через него воздуха осадок подсушивался и помещался в сушильный шкаф (50—70°C). Во время высушивания выделенного $Bi(ThC)(C_6H_5)_3$ производилось измерение активности исходного препарата $Pb(ThB)(C_6H_5)_4$ [4], 40 мг которого заранее

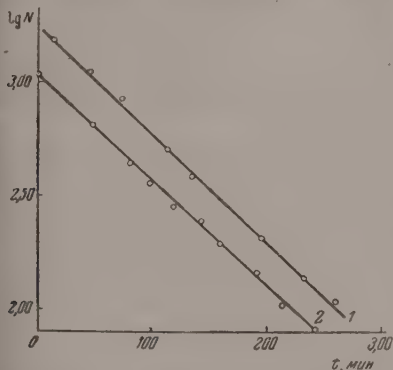


Рис. 2. Кривые распада активности, извлеченной 5% HCl. 1 — $T_{\text{эксп}} = 60$ мин. 2 — $T_{\text{эксп}} = 62$ мин.

помещалось в стандартную мишень (в дальнейшем такую мишень с материнским препаратом будем называть стандартом). Активность стандарта в наших опытах была от 10 000 до 5000 имп./мин. Навеска выделенного $Bi(ThC)(C_6H_5)_3$ в 40 мг помещалась в мишень, совершенно идентичную мишени стандарта; производилось измерение активности выделенной дочерней формы и проверка ее радиохимической чистоты. Одна из полученных кривых приведена на рис. 2. Период полураспада, полученный из кривой $T_{\text{эксп}} = 62$ мин., неплохо совпадает с $T_{\text{лит}} = 60,5$ мин.

Повторные перекристаллизации не приводили к изменению удельной активности выделенного $Bi(ThC)(C_6H_5)_3$ (табл. 3); следовательно, последний был выделен без при-

месей других дочерних форм и без примеси материнского вещества. Температура плавления выделенного $\text{Bi}(\text{ThC})(\text{C}_6\text{H}_5)_3$ 77°C также свидетельствовала о его химической чистоте.

Вычисление доли $\text{ThC}(\text{C}_6\text{H}_5)_3$ в продуктах распада ThB , входящего в состав $\text{Pb}(\text{ThB})(\text{C}_6\text{H}_5)_4$, производилось по формуле

$$D = \frac{A_2 M_2 m_1 \cdot 100}{m_2 M_1 A_1 e^{-\lambda t}} \%, \quad (2)$$

где D — доля дочерней формы в процентах; A_2/m_2 — удельная активность выделенной дочерней формы в имп/мин. мг ; A_1/m_1 — удельная активность исходного вещества в имп/мин. мг ; M_2 — навеска носителя для дочерней формы в мг ; M_1 — навеска материнского вещества в мг ; λ — константа распада ThC ; t — время от момента разделения ThC и ThB до момента измерения активности выделенной дочерней формы в минутах.

Таблица 3

Удельная активность $\text{Bi}(\text{ThC})(\text{C}_6\text{H}_5)_3$, имп/мин. мг				
После 1-й перекристаллизации	100	48	19	12
После 2-й перекристаллизации	104	50	20	12

В случае необходимости вводилась поправка на распад ThB . Результаты опытов приведены в табл. 4.

Таким образом доля ThC , существующего в виде $\text{ThC}(\text{C}_6\text{H}_5)_3$, составляет 71%. Для определения доли пятивалентного ThC в продуктах распада ThB была сделана попытка выделить его с носителем $\text{Bi}(\text{C}_6\text{H}_5)_3\text{Cl}_2$. Опыты проводились следующим образом.

Выделение пятивалентного ThC из $\text{Pb}(\text{ThB})(\text{C}_6\text{H}_5)_4$. В 5 мл бензола растворялись 300 мг $\text{Bi}(\text{C}_6\text{H}_5)_3\text{Cl}_2$ и 100 мг $\text{Pb}(\text{ThB})(\text{C}_6\text{H}_5)_4$. После быстрого упаривания бензола из осадка небольшим количеством горячего спирта извлекался $\text{Bi}(\text{ThC})(\text{C}_6\text{H}_5)_3\text{Cl}_2$, фильтрованием отделялся нерастворившейся в спирте $\text{Pb}(\text{ThB})(\text{C}_6\text{H}_5)_4$. По охлаждении из спирта выделялись кристаллы $\text{Bi}(\text{ThC})(\text{C}_6\text{H}_5)_3\text{Cl}_2$, загрязненные следами ThB . Повторные перекристаллизации $\text{Bi}(\text{ThC})(\text{C}_6\text{H}_5)_3\text{Cl}_2$ приводили к уменьшению удельной активности препарата.

Третью перекристаллизацию не удавалось провести из-за малой активности выделенного препарата. Расчет результатов проводился по формуле (2). Из полученных данных (табл. 5) можно предположить, что ThC , возникающий при распаде ThB , в этом случае в очень небольшом количестве стабилизируется в окисленной форме.

Подводя общий итог результатов для всех дочерних форм исходного вещества $\text{Pb}(\text{ThB})(\text{C}_6\text{H}_5)_4$, получаем сравнительно хорошую сходимость баланса ($21+71+6=98\%$).

Изучение химического состояния ThC , возникающего при распаде ThB , входящего в состав $\text{Pb}(\text{ThB})(\text{C}_6\text{H}_5)_4\text{Cl}$. Для выяснения влияния химического состояния материнского вещества на формы стабилизации ThC мы проделали опыты с применением $\text{Pb}(\text{ThB})(\text{C}_6\text{H}_5)_3\text{Cl}$.

При этом пятивалентный ThC , если он образуется при распаде ThB , может стабилизироваться в виде $\text{ThC}(\text{C}_6\text{H}_5)_3\text{Cl}_2$. Эту дочернюю форму можно легко выделить с носителем $\text{Bi}(\text{C}_6\text{H}_5)_3\text{Cl}_2$, который является наиболее устойчивым из всех металлоорганических соединений висмута [7,14].

При распаде ThB , входящего в состав трифенилхлорида свинца, кроме $\text{ThC}(\text{C}_6\text{H}_5)_3\text{Cl}_2$ могут образоваться $\text{ThC}(\text{C}_6\text{H}_5)_2\text{Cl}$, $\text{ThC}(\text{C}_6\text{H}_5)\text{Cl}_2$, $\text{ThC}(\text{C}_6\text{H}_5)_3$

Таблица 4

Доля $\text{ThC}(\text{C}_6\text{H}_5)_3$, %	
после 1-й перекристаллизации	после 2-й перекристаллизации
70	72
71	74
65	68
75	75
Среднее	
70	72

71

и неорганический ThC. Как установлено выше, $\text{ThC}(\text{C}_6\text{H}_5)_3$ можно выделять с его изотопным носителем $\text{Bi}(\text{C}_6\text{H}_5)_3$.

Идентификация радиовисмута в виде $\text{ThC}(\text{C}_6\text{H}_5)_2\text{Cl}$ и $\text{ThC}(\text{C}_6\text{H}_5)\text{Cl}_2$ весьма затруднительна ввиду их неустойчивости; кроме того, количество этих форм, по-видимому, весьма незначительно. В наших опытах эти формы должны выделяться вместе с неорганическим ThC при экстрагировании кислотой.

Определение доли «извлекаемой части». Эти опыты проводились аналогично определению процента неорганического ThC в случае $\text{Pb}(\text{ThB})(\text{C}_6\text{H}_5)_4$. Экстрагирование производилось 5% HCl из бензольного раствора $\text{Pb}(\text{ThB})(\text{C}_6\text{H}_5)_3\text{Cl}$. Проверка радиохимической чистоты «извлекаемой части» и в этом случае дала хорошее совпадение $T_{\text{эксп}} = 60$ мин. с $T_{\text{лит}} = 60,5$ мин. (рис. 3). Результаты опытов, рассчитанные по формуле (1), приведены в табл. 6

Таблица 5

Доля ThC $(\text{C}_6\text{H}_5)_2^{++}$, %	
после 1-й перекристаллизации	после 2-й перекристаллизации
15	6
18	6
—	4
—	7

Среднее 6

Выделение $\text{ThC}(\text{C}_6\text{H}_5)_3\text{Cl}_2$ из $\text{Pb}(\text{ThB})(\text{C}_6\text{H}_5)_3\text{Cl}$. Навески 300—350 мг $\text{Bi}(\text{C}_6\text{H}_5)_3\text{Cl}_2$ растворялась в 4—5 мл чистого бензола, в этом же растворе растворилось 100 мг препарата $\text{Pb}(\text{ThB})(\text{C}_6\text{H}_5)_3\text{Cl}$, в котором дочерние продукты ThB накапливались в кристаллах. После быстрого удаления бензола до объема 1 мл в раствор приливался спирт приблизительно до первоначального объема.

Экспериментально установлено, что в этих условиях $\text{Pb}(\text{ThB})(\text{C}_6\text{H}_5)_3\text{Cl}$ целиком остается в растворе, а $\text{Bi}(\text{ThC})(\text{C}_6\text{H}_5)_3\text{Cl}_2$ практически полностью кристаллизуется при охлаждении.

Таблица 6

Доля «извлекаемой части», %						Среднее
19	20	17	16	18	17	
						18

Примечание. За долю «извлекаемой части» принят средний результат — 18%.

Последнее подтверждается совпадением $T_{\text{эксп}} = 60$ мин. для ThC с периодом полураспада $T_{\text{лит}} = 60,5$ мин. (рис. 3). Интервал времени от момента разделения ThC и ThB до начала измерения реактивности выделенного $\text{Bi}(\text{ThC})(\text{C}_6\text{H}_5)_3\text{Cl}_2$ не превышал 20—25 мин.

Таблица 7

Удельная активность $\text{Bi}(\text{ThC})(\text{C}_6\text{H}_5)_3\text{Cl}_2$, и.м.н./мин.-мг		
после 1-й перекристаллизации	после 2-й перекристаллизации	после 3-й перекристаллизации
27,5	26,5	—
19,2	19,6	19,6
16,1	15,8	16,3

Вычисление процентного содержания $\text{ThC}(\text{C}_6\text{H}_5)_3\text{Cl}_2$ в продуктах распада ThB производилось по формуле (2). Результаты приведены в табл. 8. Так как удельная активность $\text{Bi}(\text{ThC})(\text{C}_6\text{H}_5)_3\text{Cl}_2$ при повторных перекристаллизациях не изменялась, то к истинной величине доли $\text{ThC}(\text{C}_6\text{H}_5)_3\text{Cl}_2$ будет ближе всего среднее арифметическое всех результатов, приведенных в табл. 8, т. е. 43%.

Выделение $\text{ThC}(\text{C}_6\text{H}_5)_3$ из $\text{Pb}(\text{ThB})(\text{C}_6\text{H}_5)_3\text{Cl}$. В 5 мл бензола растворялись 500 мг $\text{Bi}(\text{C}_6\text{H}_5)_3$ и 150 мг $\text{Pb}(\text{ThB})(\text{C}_6\text{H}_5)_3\text{Cl}$. Дальнейшие операции проводились совершенно аналогично разделению пары $\text{Pb}(\text{ThB})(\text{C}_6\text{H}_5)_3\text{Cl} - \text{Bi}(\text{ThC})(\text{C}_6\text{H}_5)_3\text{Cl}_2$. При этом $\text{Bi}(\text{ThC})(\text{C}_6\text{H}_5)_3$ полностью удалось отделить от материнского вещества. Период полураспада ThC,

полученный из кривой (рис. 3) $T_{\text{эксп}} = 61$ мин., хорошо совпадает с литературными данными $T_{\text{лит}} = 60,5$ мин. Результаты опытов по выделению $\text{ThC}(\text{C}_6\text{H}_5)_3$ из $\text{Pb}(\text{ThB})(\text{C}_6\text{H}_5)_3\text{Cl}$ приведены в табл. 9.

За процентное содержание $\text{ThC}(\text{C}_6\text{H}_5)_3$ в продуктах распада ThB принят средний результат, полученный после второй перекристаллизации, равный 44%.

Таблица 8

Доля $\text{ThC}(\text{C}_6\text{H}_5)_3\text{Cl}_2$, %		
после 1-й перекристаллизации	после 2-й перекристаллизации	после 3-й перекристаллизации
44	42	—
43	43	43
42	41	42
Среднее		
43	42	43

43

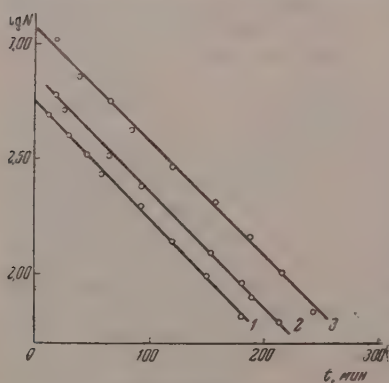
Таблица 9

Удельная активность $\text{Bi}(\text{ThC})(\text{C}_6\text{H}_5)_3$, $\frac{\text{мКи}}{\text{мг}}$		Доля $\text{ThC}(\text{C}_6\text{H}_5)_3$, %	
после 1-й перекрист.	после 2-й перекрист.	после 1-й перекрист.	после 2-й перекрист.
28	25	46	44
14	15	43	46
18	17	47	44
		Среднее	44

Подводя общий итог результатов для всех дочерних форм исходного вещества $\text{Pb}(\text{ThB})(\text{C}_6\text{H}_5)_3\text{Cl}$, получаем следующую сходимость баланса ($43+44+18=105\%$). Для дополнительной проверки этого результата нами был проведен опыт с целью определить процентное содержание каждой дочерней формы непосредственно из одной пробы исходного вещества.

Определение доли химических форм ThC непосредственно из одной пробы исходного вещества. Навески носителей $\text{Bi}(\text{C}_6\text{H}_5)_3\text{Cl}_2$, $\text{Bi}(\text{C}_6\text{H}_5)_3$ и препарата $\text{Pb}(\text{ThB})(\text{C}_6\text{H}_5)_3\text{Cl}$ (соответственно 400, 450 и 100 мг) последовательно растворялись в 20 мл бензола в делительной воронке, где производилось встряхивание полученного раствора в течение 10 мин. с 20 мл 5% HCl . Дальнейшие операции и расчеты по определению доли извлекаемого 5% соляной кислотой ThC велись, так же как в предыдущих опытах, по экстрагированию. Только следует отметить, что разделение слоев в этом случае было гораздо хуже, чем при экстрагировании без присутствия в бензольном растворе носителей $\text{Bi}(\text{C}_6\text{H}_5)_3\text{Cl}_2$ и $\text{Bi}(\text{C}_6\text{H}_5)_3$.

Рис. 3. Кривые распада активности, извлеченной 5% HCl . 1 — $T_{\text{эксп}} = 60$ мин.; $\text{Bi}(\text{ThC})(\text{C}_6\text{H}_5)_3\text{Cl}_2$. 2 — $T_{\text{эксп}} = 60$ мин. и $\text{Bi}(\text{ThC})(\text{C}_6\text{H}_5)_3$; 3 — $T_{\text{эксп}} = 61$ мин.



В этом опыте доля «извлекаемой части» ThC найдена равной 15%. Результат несколько занижен по сравнению с данными предыдущих опытов по экстрагированию (18%). Бензольный раствор по измерении его активности после экстрагирования кислотой переливался из кюветы в стакан и упаривался до объема ~ 2 мл таким же способом, как в предыдущих опытах. К остатку приливалось 8 мл спирта. При небольшом охлаждении раствора $\text{Bi}(\text{ThC})(\text{C}_6\text{H}_5)_3\text{Cl}_2$ и $\text{Bi}(\text{ThC})(\text{C}_6\text{H}_5)_3$ вместе выпадали в осадок, а $\text{Pb}(\text{ThB})(\text{C}_6\text{H}_5)_3\text{Cl}$ оставался в растворе. Последующие операции по обработке осадка $\text{Bi}(\text{ThC})(\text{C}_6\text{H}_5)_3\text{Cl}_2$ и $\text{Bi}(\text{ThC})(\text{C}_6\text{H}_5)_3$ велись так же, как в случае выделения каждой дочерней формы отдельно. Разделение $\text{Bi}(\text{ThC})(\text{C}_6\text{H}_5)_3\text{Cl}_2$ и $\text{Bi}(\text{ThC})(\text{C}_6\text{H}_5)_3$ было основано на хорошей раство-

римости $\text{Bi}(\text{ThC})(\text{C}_6\text{H}_5)_3$ и очень плохой растворимости $\text{Bi}(\text{ThC})(\text{C}_6\text{H}_5)_3\text{Cl}_2$ в петролейном эфире. О радиохимической чистоте выделенных таким образом $\text{Bi}(\text{ThC})(\text{C}_6\text{H}_5)_3\text{Cl}_2$ и $\text{Bi}(\text{ThC})(\text{C}_6\text{H}_5)_3$ говорит хорошее совпадение периода полураспада ThC, вычисленного из экспериментальных данных (рис. 4) с $T_{\text{лит}} = 60,5$ мин. Следует отметить, что радиохимическая чистота $\text{Bi}(\text{ThC})(\text{C}_6\text{H}_5)_3$ в этом опыте была достигнута без всяких повторных перекристаллизаций, поэтому идентификация форм ThC непосредственно из одной пробы исходного вещества более предпочтительна. В результате были получены следующие данные: $\text{ThC}(\text{C}_6\text{H}_5)_3 - 38\%$, $\text{ThC}(\text{C}_6\text{H}_5)_3\text{Cl}_2 - 42\%$ после первой перекристаллизации и 40% после второй перекристаллизации [$\text{Bi}(\text{ThC})(\text{C}_6\text{H}_5)_3$ не был выделен в количестве, достаточном для повторной перекристаллизации]. Как видно из результатов, полученные нами в предыдущих опытах данные хорошо воспроизвелись. Это еще раз подтверждает правильность наших опытов по идентификации химических форм ThC.

Выделение радиохимически чистого ThC" из препарата $\text{Bi}(\text{ThC})(\text{C}_6\text{H}_5)_3$. Ввиду короткого периода полураспада

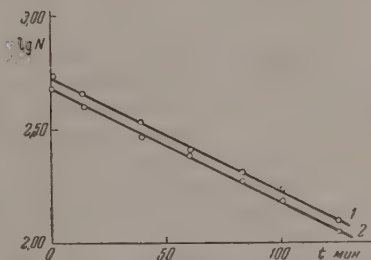


Рис. 4. Кривые распада активности $\text{Bi}(\text{ThC})(\text{C}_6\text{H}_5)_3$: 1 — $T_{\text{эксп}} = 60$ мин. $\text{Bi}(\text{ThC})(\text{C}_6\text{H}_5)_3\text{Cl}_2$; 2 — $T_{\text{эксп}} = 60$ мин.

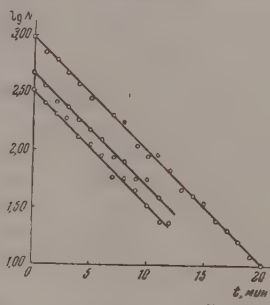


Рис. 5. Кривые распада ThC'', извлеченного водой из $\text{Bi}(\text{ThC})(\text{C}_6\text{H}_5)_3$, $T_{\text{эксп}} = 3$ мин.

hC" (3,1 мин.) изучение его химического состояния после распада ThC весьма затруднительно*.

Поскольку энергия отдачи при α -распаде вполне достаточна для разрыва химических связей, следует ожидать, что значительная часть ThC" удет находиться в неорганической форме. ThC" в такой форме, очевидно, можно извлечь экстрагированием водой из бензольного раствора $\text{Bi}(\text{ThC})(\text{C}_6\text{H}_5)_3$, что и было нами сделано. Радиохимически чистый препарат $\text{Bi}(\text{ThC})(\text{C}_6\text{H}_5)_3$ был получен методом, описанным выше. Разница заключается только в том, что при опытах с ThC" бралось большое количество препарата $\text{Pb}(\text{ThB})(\text{C}_6\text{H}_5)_4$. Последнее обстоятельство давало возможность получить препарат $\text{Bi}(\text{ThC})(\text{C}_6\text{H}_5)_3$ с высокой удельной активностью. Методика выделения ThC" сводится к следующему. Препарат $\text{Bi}(\text{ThC})(\text{C}_6\text{H}_5)_3$ растворялся в 15 мл бензола или эфира непосредственно в делительной воронке, где производилось встряхивание полученного раствора с 30 мл этилированной воды в течение 5 мин. В случае растворения в бензоле следует добавлять в раствор некоторое количество эфира — это значительно ускоряет и улучшает расслаивание после встряхивания. Сразу после разделения бензольного и водного слоев измерялась активность одного раствора и производилось снятие кривой распада. Счетчик включался на 30 сек. в начале каждой минуты, за оставшиеся 30 сек. записывался результат, и нумератор переводился в исходное положение. нятые кривые распада приведены на рис. 5. Период полураспада $T_{\text{эксп}} =$

* Вуд пытался установить химическую форму ThC путем определения его температуры возгонки [15].

$= 3$ мин. хорошо совпадает с $T_{\text{лит}} = 3,1$ мин. Процент извлекаемого водой ThC'' находился измерением активности водного, а затем бензолного раствора. Расчет проводился по формуле, аналогичной (1). Два опыта дали результаты 26 и 27%. Эти результаты должны быть приблизительно удвоены, поскольку при измерении активности исходного бензолного раствора счетчик регистрирует β -излучение ThC и ThC'' , а при измерении активности водного раствора мы считаем только β -частицы ThC'' . Тогда получаем, что доля неорганического ThC'' составляет приблизительно 50%.

ОБСУЖДЕНИЕ РЕЗУЛЬТАТОВ

Из соотношения:

$$E_M = \frac{536 E_\beta^2}{M} + \frac{541 E_e}{M} \text{ eV [16, 17],}$$

для энергии отдачи ThC получаем $E \approx 2,6$ eV (максимальная энергия β -частиц 0,589 MeV), т. е. энергия отдачи ThC того же порядка, что и энергия одной химической связи. Этой энергии недостаточно для разрыва всех связей в $\text{Pb}(\text{C}_6\text{H}_5)_4$ или $\text{Pb}(\text{C}_6\text{H}_5)_3\text{Cl}$. Поэтому объяснить разрушение молекулы исходного вещества за счет энергии отдачи не представляется возможным.

На основании полученных результатов можно предполагать, что разрушение молекулы происходит в результате явления внутренней конверсии. В пользу этой точки зрения говорит достаточно удовлетворительное совпадение величины коэффициента внутренней конверсии γ -линии с энергией 238 keV ($\sim 30\%$) [18, 19] с выходом неорганического ThC после накопления в растворе ($\sim 30\%$). Мы ограничиваемся данными только для γ -линии с энергией 238 keV, поскольку интенсивность этой линии составляет 96% от общей интенсивности γ -излучения ThB [18—20].

Возможно, что примененный нами метод определения доли неорганического ThC после накопления в растворе является простым и удобным методом определения коэффициента внутренней конверсии γ -лучей.

Наши опыты показали, что химические формы стабилизации дочернего атома (ThC) сильно зависят от химической формы исходного вещества. Так как в случае $\text{Pb}(\text{ThB})(\text{C}_6\text{H}_5)_4 \sim 70\%$ ThC фиксируется в форме $\text{ThC}(\text{C}_6\text{H}_5)_3$, а при исходном веществе $\text{Pb}(\text{ThB})(\text{C}_6\text{H}_5)_3\text{Cl}$ только $\sim 40\%$ ThC фиксируется в виде $\text{ThC}(\text{C}_6\text{H}_5)_3$. Кроме того, во втором случае было найдено, что приблизительно 40% ThC фиксируется в виде пятивалентного висмута в форме $\text{ThC}(\text{C}_6\text{H}_5)_3\text{Cl}_2$. Последнее можно объяснить увеличением заряда ядра на единицу при β -распаде. Стабилизации ThC в окисленной форме также способствует ионизация при β -распаде, вероятность которой для валентной оболочки оценивается близкой к единице [21, 22]. В случае исходного вещества $\text{Pb}(\text{ThB})(\text{C}_6\text{H}_5)_4$ нет условий для стабилизации пятивалентного ThC , и поэтому возможно, что ThC , возникший в форме $\text{ThC}(\text{C}_6\text{H}_5)_3^{++}$, восстанавливается до $\text{ThC}(\text{C}_6\text{H}_5)_3$, захватывая электроны из окружающей среды:



В пользу этого предположения говорит большая доля ($\sim 70\%$) дочерней формы $\text{ThC}(\text{C}_6\text{H}_5)_3$ в случае исходного вещества $\text{Pb}(\text{ThB})(\text{C}_6\text{H}_5)_4$. Выполненные нами опыты по выделению неорганического ThC'' свидетельствуют о том, что значительная часть ($\sim 50\%$) ThC'' находится в неорганической форме после α -распада ThC .

ВЫВОДЫ

1. Изучено химическое состояние ThC , получающегося в результате распада ThB , входящего в состав фенилпроизводных свинца $\text{Pb}(\text{C}_6\text{H}_5)_4$ и $\text{Pb}(\text{C}_6\text{H}_5)_3\text{Cl}$.

2. Дан метод выделения радиохимически чистого препарата ThC

высокой удельной активности при помощи фенилпроизводных ThB.

3. Показана возможность получения радиохимически чистого ThC при помощи фенилпроизводных ThC.

Ленинградский государственный
университет им. А. А. Жданова]

Поступила
3.II.1956

ЛИТЕРАТУРА

1. В. Д. Нефедов и В. И. Андреев, Журн. физ. химии, 31, 563, 1957.
2. R. R. Edwards, J. M. Day, a. R. F. Overman, Journ. Chem. Phys., 21, 9, 1955, 1953.
3. R. A. Martensen a. P. A. Leighton, Journ. Amer. Chem. Soc., 56, 2397, 1934.
4. W. H. Burgas a. J. W. Kennedy, Journ. Chem. Phys., 18, 1, 97, 1950.
5. T. H. Davies, Journ. Phys. a. Colloid Chem., 52, 3, 595, 1948.
6. R. Edwards, C. Coryell, AECU-50, 1948; BNL-C-7, 1948 см. [17], стр. 223.
7. А. Н. Несмеянов и К. А. Рочешков, Синтетические методы в области металлоорганических соединений, вып. 5, стр. 78 и 8 стр. 127, М.—Л., Изд-во АН СССР 1947.
8. G. Hevesy, Zs. Phys. 16, 52, 1915; Ber., 53, 410, 1920.
9. B. W. Sargent, Proc. Roy. Soc., 139A, 659, 1933.
10. N. Feather, J. Kyles, R. Pringle, Proc. Phys. Soc., 61, 466, 1948.
11. N. Feather, Proc. Cambr. Phil. Soc., 34, 599, 1938.
12. L. E. Clendenin, Nucleonics, 2, 1, 12, 1948.
13. И. Е. Старик, Труды ГРИ, т. I, стр. 29 1930.
14. F. Challenger a. C. F. Allpress, Journ. Chem. Soc., 107, 627, 25, 1915.
15. A. Wood, Phil. Mag., 28, 168, 808, 1914.
16. R. R. Edwards, T. H. Davies, Nucleonics, 2, 6, 44, 1948.
17. А. Валь и Н. Боннер, Использование радиоактивности при химических исследованиях, 498, ИЛ, М 1954, перевод с англ.
18. A. Flammersfeld, Zs. Phys. 114, 227, 1939.
19. D. G. Martin a. H. O. W. Richardson, Proc. Roy. Soc., 195, 1042, 299, 1948.
20. C. D. Ellis, Proc. Roy. Soc., 138, A835, 318, 1932.
21. A. Migdal, Journ. of Phys. 4, 5, 449, 1941.
22. E. L. Feinberg, Journ. of Phys., 4, 5, 423, 1941.

AN INVESTIGATION INTO THE CHEMICAL STATE OF ThC, FORMED DURING DECOMPOSITION OF ThB, A CONSTITUENT OF CERTAIN PHENYL COMPOUNDS OF LEAD

V. D. Nefedov, M. P. Bel'dy

(Leningrad)

Summary

For the first time a method has been published for the synthesis of labelled ThB lead phenyl derivatives, $Pb(ThB)(C_6H_5)_4$ and $Pb(ThB)(C_6H_5)_3Cl$, which were used as original compounds to study the chemical state of ThC after decomposition of the ThB. The main chemical forms of stabilization of ThC have been established both qualitatively and quantitatively and the fraction of inorganic ThC'' after decomposition of ThC, taken in form of $Bi(ThC)(C_6H_5)_3$, has been estimated. The composition of the initial compound, the medium and the properties of the radioisotope greatly affect the chemical state of its decomposition product. The procedure has been described for obtaining radiochemically pure ThC and ThC'' preparations with the aid of lead and bismuth phenyl derivatives.

РАВНОВЕСИЕ ТВЕРДЫХ РАСТВОРОВ $(\text{Fe}_x\text{Mn}_{1-x})\text{WO}_4$ С ВОДОРОДОМ

Р. Д. Куршакова и Я. И. Герасимов

Основные природные вольфрамовые руды — ферберит, вольфрамит и гюбнерит — имеют переменный состав $(\text{Fe}_x\text{Mn}_{1-x})\text{WO}_4$. Представляется интересным изучить процесс восстановления таких вольфрамов и проследить, какие при этом появляются фазы. Было интересно также получить и термодинамические характеристики твердых растворов вольфрамов марганца и железа. В [1] содержится описание получения вольфрамов ряда $(\text{Fe}_x\text{Mn}_{1-x})\text{WO}_4$, а также их химического и рентгенографического анализа.

Ранее в работах Т. Н. Резухиной, Ю. П. Симанова и Я. И. Герасимова [2, 3] было найдено, что восстановление индивидуальных вольфрамов железа и марганца протекает в одну стадию с образованием $\text{Fe}_7\text{W}_6 + \text{W}$ и $\text{MnO} + \text{W}$ соответственно. Поэтому можно было ожидать, что при восстановлении $(\text{Fe}_x\text{Mn}_{1-x})\text{WO}_4$ будут образовываться те же самые фазы.

Равновесие восстановления вольфрамов изучалось циркуляционным методом. Схема установки была описана в работе Я. И. Герасимова, Т. Н. Резухиной [4]. Изучались вольфраматы следующих составов $(\text{Fe}_{0,66}\text{Mn}_{0,34})\text{WO}_4$ при 902, 967, 1004 и 1050°С и $(\text{Fe}_{0,41}\text{Mn}_{0,59})\text{WO}_4$ при 971°С.

С ростом температуры весьма заметно увеличивается спекаемость изучавшихся вольфрамов, поэтому при более высоких температурах исследование не проводилось. Не могло быть также изучено равновесие и при более низких температурах из-за весьма незначительной скорости реакции.

С целью гомогенизации препарата после каждого опыта данной серии осуществлялись повторные растирания навески вещества в яшмовой ступке; при этом учитывались потери при растирании.

Константа равновесия считалась установленной после совпадения величин в двух-трех последовательных опытах при неизменном составе препарата.

Рентгенографический анализ продуктов частичного и полного восстановления, а также опыты по полному восстановлению вольфрамов показали, что уже в начальных стадиях процесса появляются металлически вольфрам Fe_7W_6 и MnO , которые и являются конечными продуктами восстановления. Это позволяет написать уравнение реакции восстановления $(\text{Fe}_x\text{Mn}_{1-x})\text{WO}_4$ водородом в расчете на один моль H_2 :



[В предельных случаях при $x = 1$ (FeWO_4) и $x = 0$ (MnWO_4) это уравнение превращается в уравнение реакции восстановления соответствующего вольфрамата.] Следовательно, для $(\text{Fe}_{0,66}\text{Mn}_{0,34})\text{WO}_4$ реакция будет иметь вид:



ия $(\text{Fe}_{0,41}\text{Mn}_{0,59})\text{WO}_4$:

$$\frac{1}{3,41}(\text{Fe}_{0,41}\text{Mn}_{0,59})\text{WO}_4 + \text{H}_2 = \frac{0,41}{23,87}\text{Fe}_7\text{W}_6 + \frac{4,54}{23,87}\text{W} + \frac{0,59}{3,41}\text{MnO} + \text{H}_2\text{O} \quad (16)$$

На рис. 1 и 2 представлены зависимости констант равновесия K_p от содержания кислорода в вольфрамите для различных температур. Константы равновесия K_p измерялись с точностью до 0,002—0,003. На абсциссе рис. 1 и 2 нанесено содержание кислорода в атомах (n) на один атом вольфрама, остающегося в препарате в ходе восстановления. Как видно из этих рисунков, кривые зависимости константы равновесия

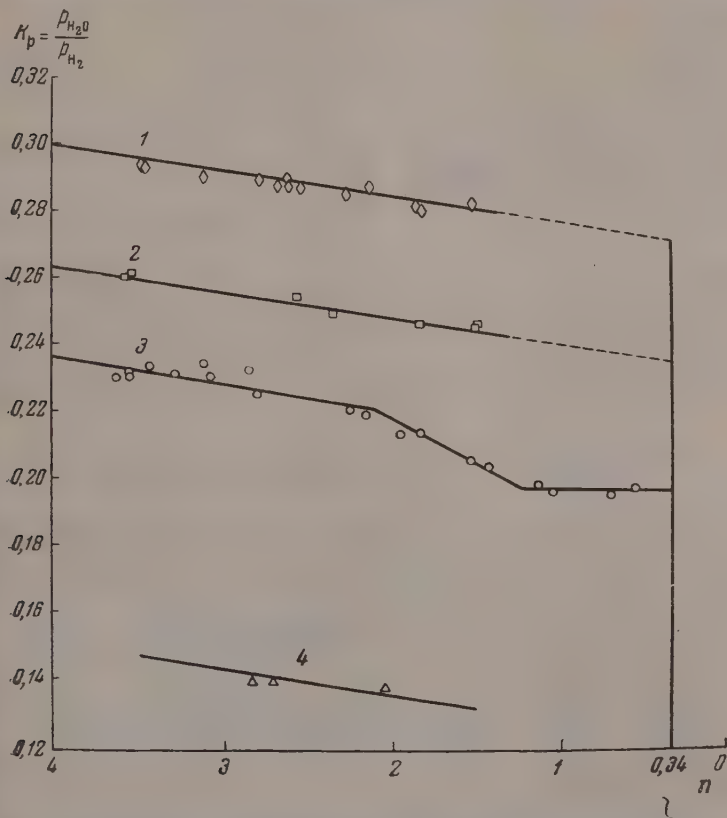


Рис. 1. Константы восстановления $(\text{Fe}_{0,66}\text{Mn}_{0,34})\text{WO}_4$: 1 — равновесие при 1050°C; 2 — равновесие при 1004°C; 3 — равновесие при 967°C; 4 — равновесие при 902°C

содержания оставшегося в вольфрамите кислорода идут наклонно. Для $(\text{Fe}_{0,66}\text{Mn}_{0,34})\text{WO}_4$ при 967°C и для $(\text{Fe}_{0,41}\text{Mn}_{0,59})\text{WO}_4$ при 971°C по достижении определенной степени восстановления константы изменяются все резко, а затем вновь постепенно снижаются. Однако наклон всех кривых значительно меньше, чем можно было бы ожидать, исходя из данных по восстановлению индивидуальных вольфрамов железа и марганца, предполагая, что восстанавливается преимущественно вольфрамат железа. Сравнение величин ΔZ_T^0 , вычисленных из опытных констант равновесия восстановления $(\text{Fe}_x\text{Mn}_{1-x})\text{WO}_4$, с ΔZ_T^0 вычисленными по закону

аддитивности из констант равновесия для FeWO_4 и MnWO_4 показывает, что восстановление смешанных вольфраматов протекает с большей легкостью, чем этого можно было бы ожидать по закону аддитивности (см. таблицу).

Для $(\text{Fe}_{0,66}\text{Mn}_{0,34})\text{WO}_4$ мы смогли проследить зависимость констант равновесия от температуры. Сравнивались константы равновесия для вольфраматов одинаковой степени восстановления ($n = \text{const}$, где n — число атомов кислорода, имеющих в препарате и приходящихся на один атом вольфрама). Эти данные представлены на рис. 3. Точки, отвечающие температуре в 902°C , не ложатся на прямую. Интересно отметить, что подобный же факт наблюдался для индивидуального вольфрамата мар-

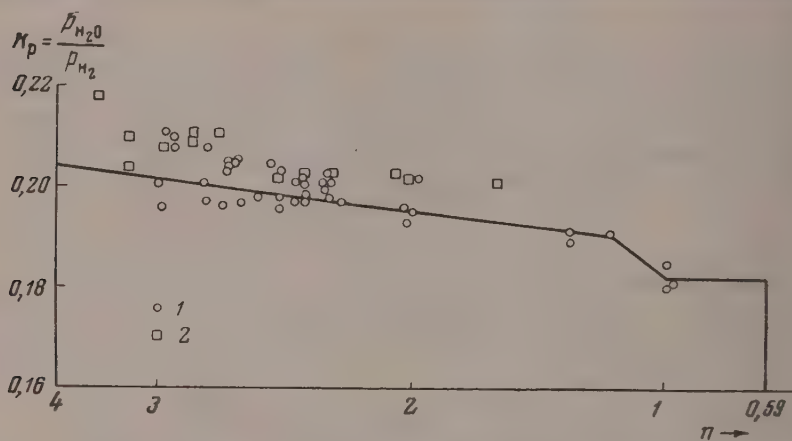


Рис. 2. Константы восстановления $(\text{Fe}_{0,41}\text{Mn}_{0,59})\text{WO}_4$. 1 — константы со стороны восстановления; 2 — константы со стороны окисления

ганца [2]. Очевидно, в этой области температур восстановление протекает по иному пути. Но рентгенографический анализ как в случае MnWO_4 , так и в случае $(\text{Fe}_{0,66}\text{Mn}_{0,34})\text{WO}_4$ не дает прямых указаний на наличие иных фаз, кроме указанных ранее.

Линейная зависимость $\lg K_p = f(1/T)$ подтверждает тот факт, что в указанном интервале температур и составов восстановление протекает с образованием одних и тех же фаз.

Из наклона прямых $\lg K_p = f(1/T)$ можно найти значение теплового эффекта реакции восстановления вольфрамата водородом. Для $(\text{Fe}_{0,66}\text{Mn}_{0,34})\text{WO}_4$, $\Delta H = 10\,060 \pm 150$ кал (для всех степеней восстановления при n , равном от 3,3 до 1,8) в интервале температур от 967 до 1050°C .

Так как линейная зависимость $\lg K_p = f(1/T)$ в указанной температурной области соблюдается довольно хорошо, опытные данные можно охватить уравнением

$$\lg K_p = -\frac{10\,060}{4,575T} + 1,144.$$

Как видно из рис. 1 и 2 [изотермы $t = 967^\circ\text{C}$ для $(\text{Fe}_{0,66}\text{Mn}_{0,34})\text{WO}_4$ и $t = 971^\circ\text{C}$ для $(\text{Fe}_{0,41}\text{Mn}_{0,59})\text{WO}_4$], константы равновесия по достижении определенной степени восстановления претерпевают более резкое изменение. Одновременно, как показал рентгенографический анализ, резко изменяются (увеличиваются) и межплоскостные расстояния в кристаллических решетках вольфраматов, до этого увеличивавшиеся довольно плавно. Удовлетворительных объяснений обнаруженному факту нам найти не удалось. Также затруднительно интерпретировать и имеющийся небольшой наклон в ходе констант равновесия с восстановлением. Если

Вещество	T°, K	ΔZ_T° оп. на 1 атом кислорода, ккал	ΔZ_T° анд. — $-RT(x \ln K_p \text{FeWO}_4 + (1-x) \ln K_p \text{MnWO}_4)$, ккал	ΔZ_T° образ $= \Delta Z_T^\circ$ оп. — ΔZ_T° анд., ккал	ΔZ_T° анд., ккал	ΔZ_T° образ — ΔZ_T° анд., ккал
FeWO_4	1240	3358				
	1244	3339				
	1277	3158				
	1323	2962				
MnWO_4	1240	5698				
	1244	5679				
	1277	5488				
	1323	5225				
$(\text{Fe}_{0,66}\text{Mn}_{0,34})\text{WO}_4$	1240	4145	4152	—7	—1580	1573
	1277	3528	3968	—440	—1627	1187
	1323	3300	3731	—431	—1712	1281
$(\text{Fe}_{0,41}\text{Mn}_{0,59})\text{WO}_4$	1244	4026	4719	—693	—1684	989

опытаться объяснить этот факт тем, что в начале процесса восстановления преимущественно «извлекается» и восстанавливается FeWO_4 , затем начинает восстанавливаться MnWO_4 (фракционированное восстановление), то следовало бы ожидать и более резкого изменения константы

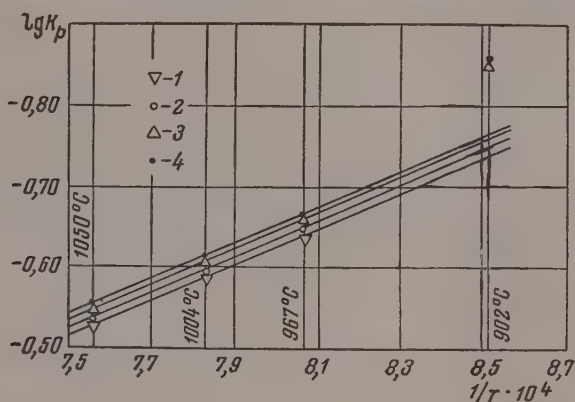
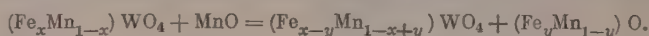


Рис. 3. Зависимость $\lg K_p$ от $1/T$ для реакции восстановления $(\text{Fe}_{0,66}\text{Mn}_{0,34})\text{WO}_4$ водородом, взятая для различных степеней восстановления: 1 — $n = 3,3$; 2 — $n = 2,8$; 3 — $n = 2,3$; 4 — $n = 1,8$ атома кислорода

новесия от некоторого значения ее для исходного твердого раствора может быть, аддитивного) до величины K_p для MnWO_4 . Однако этого не наблюдается. Константа равновесия в процессе восстановления изменяется лишь немного, не снижаясь в конце восстановления до значений для WO_4 . Процесс избирательного восстановления имеет, по-видимому, место, но в незначительной степени. Очевидно, именно обогащением исходного вольфрамата марганцем в процессе восстановления можно объяснить факт увеличения межплоскостных расстояний, а значит, и постоянных кристаллической решетки вольфрамата. Но уже при суммарном содержании оставшегося в вольфрамате кислорода $n = 2,0-1,7$ атома

межплоскостные расстояния d_{hkl} возрастают весьма сильно и становятся не сравнимыми с соответствующими величинами d_{hkl} исходных вольфрамов. Определение состава, получающегося в процессе восстановления вольфрамата, путем подсчета по аддитивному закону из опытных величин d дает отрицательное [!] содержание железа в вольфрамите. Нельзя также объяснить это явление упорядочением твердого раствора, так как образование упорядоченной фазы не должно вызвать резкого скачка в параметрах решетки, подобного имеющемуся у нас.

Объяснение медленному снижению константы можно видеть в происходящей вторичной обменной реакции между вольфрамом и выделяющейся при восстановлении закисью марганца:



Образовавшаяся в процессе восстановления MnO извлекает из вольфрамата железо в виде FeO и растворяет в себе. Конечно, и извлеченная закись железа может восстанавливаться, и при равновесии между всеми твердыми фазами газовая константа равновесия фазы $(\text{FeO} - \text{MnO})$ должна равняться константе для одновременно присутствующего частично восстановленного двойного вольфрамата. Так как состав вольфрамата в процессе восстановления меняется, то должна изменяться и константа равновесия $(\text{FeO} - \text{MnO})$, т. е. состав этой фазы. Казалось бы, что эту гипотезу легко подтвердить при помощи рентгенографического анализа. Однако из-за близости структур FeO и MnO , а также из-за наложения линий других фаз на некоторые линии MnO провести такой анализ не удастся.

Из рассмотренного выше ясно, что восстановление вольфрамов, переменного состава протекает не всегда в одну ступень (как это имеет место при $t > 1000^\circ\text{C}$). Причем, даже в случае восстановления в одну ступень (высокие температуры), константа равновесия зависит от валового состава продукта восстановления вследствие изменения состава исходного вещества (смешанного вольфрамата), а, может быть, и продукта реакции. В этом случае вычисление ΔZ° , характеризующего реакцию восстановления в целом, по формуле $\Delta Z^\circ = -nRT \ln K_p$ невозможно из-за различия в значениях K_p при разных степенях восстановления. Поэтому вычисление велось путем интегрирования величины $\ln K_p$ по n , которое проводилось графически следующим образом: на каждом линейном участке изотермы бралось среднее значение $\ln K_p$ и умножалось на Δn — число молей H_2 или n — атомов кислорода, отнятых у вольфрамата на данном участке восстановления. Суммируя полученные результаты от $n = 4$ до $n = 0,34$ (или $0,41$ соответственно), т. е. графически интегрируя кривые $K_p = f(n)$, получаем значения ΔZ_T^0 для восстановления вольфрамов в расчете на 1 атом кислорода (см. таблицу).

Разность, представленная в столбце 5, является ΔZ_T^0 образования твердого раствора. Вычитая ΔZ_T^0 ид для идеального раствора (столбец 6), вычисленные по уравнению:

$$\Delta Z = -RT [x \ln x + (1-x) \ln (1-x)],$$

из ΔZ_T^0 образования твердого раствора (столбец 5), получаем величину положительного отклонения от закона идеальных растворов.

ВЫВОДЫ

1. Изучено равновесие вольфрамата $(\text{Fe}_{0,66}\text{Mn}_{0,34})\text{WO}_4$ с газовой смесью $\text{H}_2 + \text{H}_2\text{O}$ при 967 , 1004 и 1050°C и $(\text{Fe}_{0,41}\text{Mn}_{0,59})\text{WO}_4$ при 971°C . Найденно, что в начальных стадиях восстановления появляются металлические вольфрам, Fe_7W_6 и MnO . Эти фазы являются и конечными продуктами восстановления. Изотермы K_p имеют сложный вид.

2. Для $(\text{Fe}_{0.66}\text{Mn}_{0.34})\text{WO}_4$ зависимость $\lg K_p = f(1/T)$, построенная для определенных составов вольфрамата, имеет линейный вид.

3. В изученном интервале температур и составов (n) тепловой эффект реакции восстановления $(\text{Fe}_{0.66}\text{Mn}_{0.34})\text{WO}_4$ составляет $10\,060 \pm 150$ кал.

4. При образовании твердых растворов $(\text{Fe}_x\text{Mn}_{1-x})\text{WO}_4$ из чистых солей наблюдается заметное положительное отклонение от закона идеальных растворов.

Московский государственный
университет им. М. В. Ломоносова

Поступила
20 III 1956

ЛИТЕРАТУРА

1. Ю. П. Симанов, Р. Д. Куршакова, Журн. физ. химии, **31**, 820, 1957.
2. Т. Н. Резухина, Я. И. Герасимов, В. А. Морозова, Журн. физ. химии, **25**, 93, 1951.
3. Т. Н. Резухина, Ю. П. Симанов, Я. И. Герасимов, Журн. физ. химии, **25**, 305, 1951.
4. Т. Н. Резухина, Я. И. Герасимов, Ю. П. Симанов, Вестн. Моск. ун-та, № 6, 103, 1949.

THE EQUILIBRIUM BETWEEN THE SOLID SOLUTIONS $(\text{Fe}_x\text{Mn}_{1-x})\text{WO}_4$ AND HYDROGEN

R. D. Kurshakova and Ya. I. Gerasimov

Summary

A study has been made of the equilibrium between $(\text{Fe}_{0.66}\text{Mn}_{0.34})\text{WO}_4$ and the gaseous mixture $\text{H}_2 + \text{H}_2\text{O}$ at 967°, 1004° and 1050° C and between $(\text{Fe}_{0.41}\text{Mn}_{0.59})\text{WO}_4$ and the latter at 971° C. It was found that in the initial stages of the reduction metallic W, Fe_7W_6 and MnO appear. These phases are also the final reduction products. The K_p isotherms have an involved shape.

In the case of $(\text{Fe}_{0.66}\text{Mn}_{0.34})\text{WO}_4$ the relationship $\lg K_p - f(1/T)$ plotted for given compositions of the tungstate is linear.

The heat effect of the reduction reaction of this tungstate has in the range of temperatures and compositions (n) studied a value of 10060 ± 150 cal.

During the formation of solid solutions of $(\text{Fe}_x\text{Mn}_{1-x})\text{WO}_4$ from the pure salts, a noticeable positive deviation from the laws of ideal solutions occurs.

ВЛИЯНИЕ КРЕМНЕЗЕМИСТОГО МОДУЛЯ НА СКОРОСТЬ УЛЬТРАЗВУКА В СТЕКЛАХ СИСТЕМЫ $\text{Na}_2\text{O}-\text{SiO}_2$

А. В. Гладков

Существует большое число гипотез и представлений о структуре стекла, и из них, по нашему мнению, наиболее реальной в настоящее время следует считать гипотезу непрерывной беспорядочной сетки Захаряна [1]—Аппена [2]—Тарасова [3—6].

Ассоциированные жидкости, а тем более высокополимерные вещества, к которым мы относим стекла, обладают дальним порядком особого рода, а именно дальним порядком в криволинейных координатах. Этот порядок не может быть расшифрован рентгеноструктурным анализом.

Методом низкотемпературной теплоемкости с применением квантовой теории теплоемкости цепных и слоистых структур, разработанной

В. В. Тарасовым [7,8], было доказано, что при составе, отвечающем отношению числа атомов кислорода к числу атомов кремния, равному трем, кремнийкислородный остов натрийсиликатных двухкомпонентных стекол состоит из «бесконечных» изогнутых в трех измерениях пространства цепей, состав которых отвечает $(\text{SiO}_3)_\infty$.

Мы в своей работе попытались выяснить роль Na_2O в процессе разрушения непрерывной трехмерной сетки кремнеземистого стеклообразователя.

Метод низкотемпературной теплоемкости для этой широкой задачи был бы слишком громоздким. Поскольку, с другой стороны, сжимаемость вещества и скорость ультразвука являются очень чувствительными параметрами по отношению к структурным изменениям, было решено воспользо-

зоваться простой и точный ультразвуковой метод составного вибратора [9—15], основанный на продольных колебаниях пьезокварцевого осциллятора. В качестве образцов стекла нами было выбрано более десяти различных по составу двухкомпонентных натрийсиликатных стекол, изготовленных в лабораторных условиях из химически чистых материалов.

Измерения скорости ультразвука производились по следующей схеме (рис. 1). Монтировался торец к торцу составной вибратор с промежуточным звукопроводящим стержнем из плавленого кварца. Склеивка осуществлялась клеем БФ-2. Перед склейкой звукопроводящий столбик и исследуемые образцы шлифовались вручную до длины, соответствующей собственной частоте пьезокварца. Формула расчета собственной частоты исследуемого образца f_3 по собственным частотам элементов составного вибратора имеет вид:

$$f_3 = f_{c3} + \frac{m_1}{m_3} (f_{c3} - f_1) + \frac{m_2}{m_3} (f_{c3} - f_2), \quad (1)$$

где f_{c3} — собственная частота вибратора, составленного из трех элементов; m_i — массы элементов составного вибратора.

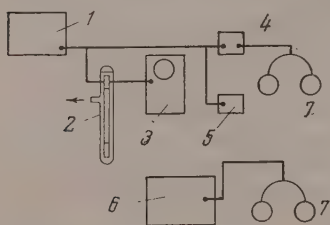


Рис. 1. Блок-схема установки. 1 — ГСС-6; 2 — составной вибратор; 3 — осциллограф ЭО-7; 4 — детектор; 5 — кварцевый гетеродин на 125 000 гц. Блоки 4 и 5 составляют так называемый калибратор КК-6; 6 — звуковой генератор ЗГ-10; 7 — телефон

Собственная частота пьезокварцевого стержня x -среза квадратного сечения 4×4 мм и длиной 20 мм равнялась $f_1 = 128\,075$ гц, а собственная частота промежуточного столбика из плавленого кварца круглого сечения и длиной около 54 мм определялась предварительно по формуле:

$$f_2 = f_{c2} + \frac{m_1}{m_2}(f_{c2} - f_1). \quad (2)$$

Резонансные частоты элементов вибратора находились методом нулевых бисений при помощи звукового генератора ЗГ-10. В нашей схеме частота определялась с точностью 0,05%.

Каждый раз, как только была найдена f_3 — собственная частота исследуемого образца, производился расчет скорости ультразвука в образце по уравнению

$$w_3 = \frac{2f_3 l_3}{n}, \quad (3)$$

где l_3 — длина образца, а n — число полуволн, укладывающихся на длину образца при резонансе.

Аналогичные измерения осуществлялись при температуре жидкого азота, причем для этого вибратор помещался в измерительную камеру, наполненную сухим водородом; последняя снизу, до определенной отметки, заливалась жидким азотом.

Скорость ультразвука при температуре жидкого азота подсчитывалась по формуле

$$w_{t_3} = \frac{2l_3 f_{t_3}}{n}, \quad (4)$$

где l_{t_3} определялась по уравнению:

$$l_{t_3} = l_{0t}(1 + \alpha \Delta T). \quad (5)$$

Температурные коэффициенты расширения натрийсиликатных стекол определялись экспериментально на построенном для этого специально плагетометре. Данные приведены в табл. 1. Для плавленого кварца в интервале от 0 до 200° С, согласно Сосману [16], принималось $\alpha = -0,175$.

Таблица 1

Данные состав — свойства для натрийсиликатных стекол

Вес. %		Плотность ρ , г/см ³	w_0 , м/сек	$\beta_s \cdot 10^3$, см ² /дин	w_t , м/сек	$1/w \, dw/dT \cdot 10^6$, 1/град.	$1/l \, dl/dT \cdot 10^6$, 1/град.	Примеси			
SiO ₂	Na ₂ O							K ₂ O	Al ₂ O ₃	CaO	Другие
38	43,86		4850				(16,63)	0,98	8,99	0,19	1,60
14	47,13		4837				(15,86)	0,61	3,34	0,52	1,26
20	46,88	2,5657	4795	1,6951	4975	—171,5	14,90		1,76		1,16
84	41,64	2,5339	4786	1,7229	4955		(14,15)		1,09	0,24	0,19
70	40,52	2,5284	4791	1,7230	4992		(13,85)		0,78		0,05
00	39,40	2,5205	4797	1,7243	4975		(13,65)		0,60		
96	37,04	2,5041	4805	1,7297	4955		13,05				
26	33,34	2,4958	4805	1,7354	4955	—143,5	11,80		1,28		1,12
78	26,20	2,4445	4883	1,7122	5040	—142,9	9,62		0,94		0,08
59	22,48	2,4140	2932	1,7029	5038		9,28	0,53	0,12	0,15	0,13
90	21,60	2,4005	4990	1,6730	5105		9,03		0,50		
08	17,02	2,3735	5077	1,6345	5150	—140,6	7,70		0,82		0,07
00		2,2033	5721	1,3867	5597	+103,22	—0,175				

Примечание. В скобках стоят значения коэффициентов расширения натрийсиликатных стекол, найденные интерполированием.

Адиабатическая сжимаемость β_s подсчитывалась по формуле

$$\beta_s = \frac{1}{w^2 \rho}. \quad (6)$$

Значения ρ для натрийсиликатных стекол были взяты по данным Бюро стандартов США [17].

Результат измерений скорости ультразвука в натрийсиликатных стеклах различного состава при $t_1 = +15^\circ$ и $t_2 = -196^\circ$ приведены в табл. 1.

В области между мета- и дисиликатом скорости звука имеют пологий минимум. Этот результат можно рассматривать как следствие уменьшения трехмерной полимеризации SiO-остова за счет возникновения все большего числа $[\text{SiO}_4]$ -тетраэдров, не связанных всеми своими вершинами. Появление тетраэдров со свободными вершинами отвечает понижению кремнеземистого модуля или большому проценту окисла Na_2O . Внутри трехмерного кремнеземного каркаса действуют направленные, отчасти ковалентные связи, значительно более упругие, чем связи, существующие в ионной структуре Na_2O . При введении последнего в стекло кремнезем, в соответствии с представлениями В. В. Тарасова, обладая несравненно более сильным родством к кислороду, отбирает последний у Na_2O . Происходит перестройка кремний-кислородного каркаса силикатных стекол, которая в конечном результате сводится к тому, что по мере добавки Na_2O в пространственно-разветвленной сетке стеклообразователя появляется все большее число разрывов, разветвленность кремний-кислородного каркаса понижается, и при достижении отношения числа атомов кислорода к числу атомов кремния, равного трем, кремний-кислородный остов

Таблица 2

Данные состав — свойство для $\text{Na}_2\text{O} \cdot \text{P}_2\text{O}_5$ стекол

w_0 , м/сек	w_1 , м/сек	Коэффициент линейного расширения $\alpha \cdot 10^6$	Состав стекла		
			по модулю	по весу	
				P_2O_5	Na_2O
3972			$2\text{Na}_2\text{O} \cdot \text{P}_2\text{O}_5$	53,36	46,62
3873	3972	16,6	$\text{Na}_2\text{O} \cdot \text{P}_2\text{O}_5$	69,71	30,29
3728	3851	15,5	$\text{Na}_2\text{O} \cdot 2\text{P}_2\text{O}_5$	82,08	17,92
3741					
3537	3784	14,9	$\text{Na}_2\text{O} \cdot 3\text{P}_2\text{O}_5$	87,29	12,71
3595	3727	14,1	$\text{Na}_2\text{O} \cdot 5\text{P}_2\text{O}_5$	91,97	8,03
3767	3893	13,9	$\text{Na}_2\text{O} \cdot 8\text{P}_2\text{O}_5$	94,98	5,02
4690	4850	13,6	P_2O_5	100%	

совершенно утрачивает свой разветвленный характер, превращаясь в беспорядочно изогнутый в пространстве цепочечный анион $[\text{SiO}_3]^{2-}$. В соответствии с вышеуказанной перестройкой разветвленного кремний-кислородного каркаса, натрий-силикатное стекло постепенно теряет свою упругость, что сказывается на увеличении сжимаемости, т. е. на уменьшении скорости ультразвука.

В дальнейшем возрастание скорости ультразвука, по-видимому, является следствием возникновения более плотной упаковки анионов кислорода, хотя с достоверностью этого пока утверждать нельзя, так как образцы стекла с содержанием Na_2O более чем 50% получить очень трудно, а измеренные нами два образца имели большую примесь Al_2O_3 (табл. 1).

Приведенные результаты обнаруживают также важные особенности температурного хода скорости ультразвука. Как легко показать из уравнения (3), температурный коэффициент скорости ультразвука равен сум-

температурных коэффициентов линейного расширения и собственной частоты образца

$$\frac{1}{w} \frac{dw}{dT} = \frac{1}{l} \frac{dl}{dT} + \frac{1}{f} \frac{df}{dT}. \quad (7)$$

Однако два последних фактора всегда имеют разные знаки. Это означает, что в силикатных стеклах и только в силикатных, всегда можно подобрать такой состав технически ценного стекла, для которого оба члена правой части уравнения (7) скомпенсируют друг друга, и температурный коэффициент скорости ультразвука окажется равным нулю, т. е. скорость ультразвука в стеклах такого состава не будет зависеть от температуры. Экспериментально для натрий-силикатных стекол это подтвердилось для состава 8% Na_2O , 92% SiO_2 , здесь кривые скорости звука при нормальной температуре и при температуре жидкого азота пересекаются. Причина такого поведения силикатных стекол лежит в том, что плавленый кварц, входящий в состав этих стекол, обладает аномалией изменения плотности, а следовательно, и скорости звука в зависимости от изменения температуры. При охлаждении скорость звука в плавленом кварце убывает, а при нагревании, по крайней мере, до 800°C возрастает.

Мы сравнили наши результаты по определению температурной зависимости скорости ультразвука с данными других авторов, пользовавшихся другими методами [19—24]. На рис. 2 приведена кривая 3, показывающая изменение скорости звука в плавленом кварце от 15 до 600°C (данные Айда [19]).

Кривая 2 для низких температур, полученная по нашим измерениям, хорошо совпадает с результатами измерений Айда в общей точке 15°C , но проходит ниже кривой 1 на 3,5%, полученной Максимином [20] в области низких температур. Последний измерял скорость ультразвука импульсным методом на частоте около 10 мегц. Кривые 1 и 2 идут параллельно, и температурный коэффициент скорости ультразвука для области до -196°C по нашим данным и данным Максиминова равен $103,5 \cdot 10^{-6} \text{сек}^{-1}$, кривая 4 — для пирекса. Обычные силикатные стекла обладают отрицательным температурным коэффициентом скорости ультразвука, что видно из кривой 5, проведенной по данным Айда для твердого алюмоборосиликатного стекла, и из кривых 6 и 7, полученных нами для три- и дисиликата соответственно.

Влияние добавки Na_2O на другой вид стеклообразователя для $\text{Na}_2\text{O} \cdot \text{P}_2\text{O}_5$ стекол виден из табл. 2. Незначительная добавка (до 5%) приводит к резкому увеличению сжимаемости или уменьшению скорости ультразвука $\text{Na}_2\text{O} \cdot \text{P}_2\text{O}_5$ стекла, а затем, при достижении некоторого минимума скорости ультразвука, последняя вновь постепенно увеличивается по мере добавки Na_2O .

В заключение приношу благодарность доценту М. А. Матвееву и инженерам А. А. Найда и И. Д. Тыкачинскому за изготовление образцов стекла.

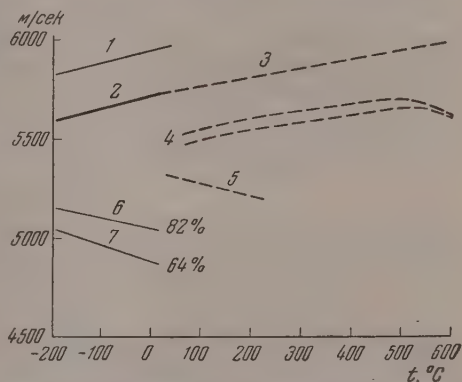


Рис. 2. Температурная зависимость скорости ультразвука в стеклах. 1 — для кварца плавленого (по данным [27]); 2 — для кварца плавленого (по нашим данным); 3 — для кварца плавленого (по данным [19]); 4 — для пирекса (по данным [19]); 5 — для твердого алюмоборосиликатного стекла (по данным [19]); 6 — для стекла состава $18\text{Na}_2\text{O} \cdot 82\text{SiO}_2$ и 7 — для стекла состава $36\text{Na}_2\text{O} \cdot 64\text{SiO}_2$, построены по нашим данным

ВЫВОДЫ

1. Исследовалось влияние добавки Na_2O на структуру натрийсиликатных стекол ультразвуковым методом. Установлено, что пространственно разветвленный каркас стеклообразователя по мере увеличения содержания модификатора постепенно утрачивает свой разветвленный характер и переходит в беспорядочно изогнутый цепочечный анион. Этот факт сказывается на увеличении сжимаемости.

Уменьшение скорости ультразвука при уменьшении кремнеземистого модуля в натрийсиликатных стеклах убедительно показывает, что сжимаемость стекла растет при увеличении числа $[\text{SiO}_4]$ -тетраэдров, не связанных друг с другом всеми четырьмя вершинами через атомы кислорода.

2. Найдено, что всегда возможно подобрать такой состав технически ценного силикатного стекла, скорость ультразвука в котором не будет зависеть от температуры. Показано, что таким свойством обладает, например, натрийсиликатное стекло состава $8\text{Na}_2\text{O} \cdot 92\text{SiO}_2$.

Химико-технологический
институт им. Д. И. Менделеева
Москва

Поступила
21.V.1956

ЛИТЕРАТУРА

1. W. H. Zachariasen, Journ. Amer. Chem. Soc., **54**, 3481, 1932.
2. А. А. Аппен, Усп. химии, **8**, 1473, 1939.
3. В. В. Тарасов, ДАН, **84**, 321, 1952.
4. В. В. Тарасов, Я. С. Савицкая, ДАН, **88**, 1019, 1953.
5. В. В. Тарасов, Тр. Ин-та кристаллографии АН СССР. вып. 10, 319, 1954.
6. В. В. Тарасов, Стекло и керамика, № 2, 6, 1954.
7. В. В. Тарасов, ДАН, **46**, 22, 1945; **56**, 577, 1947.
8. В. В. Тарасов, Журн. физ. химии, **24**, 111, 1950.
9. А. В. Гладков, Труды МХТИ, **21**, 34, 1956.
10. А. В. Степанов, М. Эйду, ЖЭТФ, **29**, 669, 1955.
11. Г. Михайлов, В. А. Соловьев, Акуст. журн., **1**, 343, 1955.
12. M. J. Stefan, Sitzungsber. d. Akad., Wien. **57** (2), 697, 1868.
13. М. Корнфельд, ЖЭТФ, **13**, 13, 116, 1943.
14. L. Balamuth, Phys. Rev., **45**, 715, 1934.
15. F. C. Rose, Phys. Rev., **49**, 50, 1936.
16. R. B. Sosmann, The Properties of Silica, New York, 1927.
17. F. W. Glaze; J. C. Young; A. N. Finn, Bur. Stand. Journ. Res., **9**, 799, 1932.
18. А. А. Аппен, Журн. прикл. химии, **24**, 1001, 1951; Усп. химии, **21**, 469, 1952.
19. J. M. Ide, Journ. Geology, **45**, 689, 1937.
20. H. J. McSkimin, Journ. Appl. Phys., **24**, 988, 1953.
21. S. Spinner, Journ. Amer. Ceram. Soc., **229**, 1954.
22. A. Ditzel, E. Deeg Glastechn. Ber., № 4, 105, 1954.
23. Gillod, Verres et refract., **2**, 26, 1948.
24. J. W. Marx, J. M. Siversten, Journ. Appl. Phys., **24**, 81, 1953.

THE EFFECT OF THE SILICA MODULE ON SUPERSONIC VELOCITY
IN GLASSES OF THE SYSTEM $\text{Na}_2\text{O} - \text{SiO}_2$

A. V. Gladkov

(Moscow)

Summary

In order to determine the effect of Na_2O additions on the structure of sodium silicate glasses the process of the «weakening» of the silica framework was investigated by a supersonic method. As the modifier content increases, the three-dimensional framework of the vitrifier gradually loses its branched character and is transformed into an irregularly twisted chain anion. This causes an increase in compressibility.

The decrease in the supersonic velocity with decrease in the silica module in sodium silicate glasses is convincing proof that the compressibility of the glass increases on increasing the number of SiO_4 tetrahedra not connected at all four apexes by oxygen atoms.

It was found that for any silicate glass it is always possible to select a composition so that the supersonic velocity in it will be independent of the temperature. This is true, for example, for sodium silicate glass of the composition $8\text{Na}_2\text{O} \cdot 92\text{SiO}_2$.

ИССЛЕДОВАНИЕ ТЕРМОДИНАМИЧЕСКИХ СВОЙСТВ ДВОЙНЫХ МЕТАЛЛИЧЕСКИХ СИСТЕМ МЕТОДОМ Э. Д. С.

II. СИСТЕМА КАДМИЙ — МЕДЬ

А. В. Никольская, П. П. Отопков и Я. И. Герасимов

В настоящей статье использован метод э. д. с. для изучения термодинамических свойств расплавов кадмий — медь. В опубликованной ранее работе [1] нами была исследована методом э. д. с. система кадмий — висмут в жидком состоянии. Подмеченный в исследовании несколько необычный ход зависимости коэффициента активности от состава мы были склонны объяснить наличием специфических взаимодействий, которые проявляются в узких пределах концентраций.

Диаграмма состояния системы кадмий — медь характеризуется наличием в твердом состоянии ряда интерметаллических соединений и твердых растворов [2], что, вероятно, должно найти отражение и в энергетических свойствах расплавов этой системы.

Борнеманн [3] на основании изотерм электропроводности расплавов кадмий — медь при 600, 650 и 700° С пришел к заключению, что при этих температурах в расплаве присутствуют молекулы Cd_3Cu_2 , которые сильно диссоциируют при повышении температуры. Кривая температурного коэффициента электрического сопротивления имеет максимум при составе, соответствующем приблизительно Cd_3Cu_2 (35—40 ат. % меди).

Шрейнер и Сельджемстер [4] изучали э. д. с. цепей — $Cd|0,5 n CdSO_4|Cd_x Cu_{x-1}$ при 0 и 25°С. Они обнаружили максимум на кривой dE/dT — состав в области 65—60 ат. % кадмия.

Изучались так же парциальные давления паров этой системы [5,6]. Метод э. д. с. при температурах 605—658° С был использован Риккони с сотрудниками [7], однако авторы исследовали всего лишь три сплава, которые не охватывают области конденсации вблизи $N_{Cd} = 0,6$, представляющей наибольший интерес. В нашем исследовании главное внимание было сосредоточено на этой области *.

ЭКСПЕРИМЕНТАЛЬНАЯ ЧАСТЬ

Методика исследования описана в статье [1].

Нчейкой служил кварцевый цилиндр с плоским дном высотой 300 мм и диаметром 55 мм. На дне цилиндра устанавливались четыре фарфоровых тигля, в которых помещались жидкие металлические электроды; между тиглями находилась термопара.

Токоотводами служила молибденовая проволока диаметром 1 мм. Концы проволок для лучшего контакта были согнуты в кольцо. Для измерения э. д. с. служил потенциометр ППТВ-1, в качестве нуль-прибора использовался зеркальный гальванометр с чувствительностью $5 \cdot 10^{-9}$ А. Воспроизводимость результатов при прямом и обратном ходе у температуры лежала в пределах $\pm 0,1$ мВ. Температура измерялась хромель-алюмелевой термопарой, которая использовалась в соединении с потенциометром ПП-71. Точность измерения температуры 0,5°С. Температура в печи поддерживалась на заданном уровне при помощи лампового терморегулятора. Измерялись э. д. с. цепей — $Cd|CdCl_2|Cd_x Cd_{1-x}^+$. Кадмий испытывался спектрально на примеси Cu, Fe, Pb, Mg, Bi и Ag. В нем были обнаружены только следы магния. Медь была электролитическая. Для очистки от окислов жидкий кадмий натягивался в трубки из тугоплавкого стекла диаметром 1,0—2,5 мм. Изготовление электродов-сплавов проводилось предварительно из навесок кадмия и меди в пробирках из тугоплавкого стекла. Пробирки с навесками помещались в кварцевый сосуд, который затем откачивался, заполнялся водородом и после того переносился в печь, нагретую до 500—570°С. Во избежание потерь кадмия

* В настоящее время мы познакомились со второй работой Риккони с сотрудниками [8], результаты которой полнее, чем первой [7], они хорошо совпадают, с данными нашей работы.

время сплавления ограничивалось 3—4 мин. Потеря кадмия определялась последующим взвешиванием готового сплава. Величина потерь колебалась от 0,001 до 0,01 г на 5 г сплава, это соответствует уменьшению молярной доли кадмия в сплаве на 0,0005.

Для контроля за изменением состава во время опыта для нескольких сплавов был проведен химический анализ после опыта. Медь определялась электролизом, кадмий — в виде CdSO_4 из той же навески путем упаривания электролитной жидкости после выделения меди. Анализы показали, что состав сплава изменяется всего лишь на несколько сотых атомного процента. В качестве электролита в опытах по определению э. д. с. служил расплав $\text{KCl} - \text{LiCl}$ эвтектического состава, с добавкой хлористого кадмия в количестве 5% по весу (см. [1]). Измерения проводились в интервале 575—650° С через 25°; исследованием охвачена область концентраций 0,96—0,46, молярных долей кадмия.

Экспериментальный материал приведен в табл. 1.

В таблице сведены средние значения э. д. с. из опытных величин, полученных при прямом и обратном ходе по температуре. Для некоторых концентраций опыты повторялись, число повторных опытов отмечено в столбце для примечаний. (Для каждого опыта сплавы готовились вновь.)

Таблица 1

Состав электро- дов, N_{Cd}	э. д. с., mV				Приме- чание	Состав электро- дов, N_{Cd}	э. д. с., mV				Приме- чание
	575°	600°	625°	650°			575°	600°	625°	625°	
0,948	1,8	1,9	2,3	2,4	[2]	0,615	—	14,2	14,6	—	[4]
0,915	2,8	2,9	3,2	3,4		0,600	15,4	15,45	15,75	15,95	
0,836	5,5	5,7	5,8	6,1		0,592	15,55	15,9	16,1	16,3	
0,770	7,5	7,75	—	—		0,591	15,7	15,85	16,05	—	
0,752	8,0	8,2	8,4	8,7		0,578	16,6	16,8	17,0	—	
0,720	—	9,5	9,6	9,8	[2]	0,563	—	17,85	—	—	[2]
0,650	12,25	12,45	12,65	—		0,550	18,75	18,85	19,0	—	
0,628	13,7	13,9	14,3	14,5		0,512	22,2	22,3	22,5	22,7	
0,625	14,1	14,25	14,4	—		0,500	23,2	23,35	—	—	
0,624	13,9	14,15	14,35	—		0,460	27,15	27,3	27,4	27,5	
0,617	13,95	14,3	14,55	14,7							

Таблица 2

Значение логарифма коэффициента активности кадмия в системе кадмий — медь

Состав электро- дов, N_{Cd}	Температура, °C				Состав элект- родов, N_{Cd}	Температура, °C			
	575	600	625	650		575	600	625	650
1,0	0	0	0	0	0,617	0,044	0,045	0,047	0,049
0,948	0,002	0,001	—0,003	—0,003	0,615	—	0,047	0,047	—
0,915	0,006	0,005	0,003	0,001	0,600	0,041	0,043	0,045	0,048
0,836	0,011	0,012	0,013	0,011	0,592	0,043	0,044	0,047	0,049
0,770	0,025	0,024	—	—	0,591	0,042	0,045	0,048	—
0,752	0,029	0,029	0,029	0,029	0,578	0,041	0,044	0,047	—
0,720	—	0,033	0,035	0,036	0,563	—	0,043	—	—
0,650	0,042	0,044	0,046	—	0,550	0,037	0,042	0,046	—
0,628	0,039	0,041	0,042	0,043	0,512	0,027	0,033	0,038	0,042
0,625	0,036	0,039	0,043	—	0,500	0,025	0,032	—	—
0,624	0,039	0,041	0,043	—	0,460	0,015	0,022	0,030	0,037

Результаты измерения использованы для вычисления парциальных величин кадмия. Вычислений для меди не проводилось, так как измерения были выполнены для сплава только до 55 ат. % меди; сплавы, более богатые медью, приходятся на гетерогенную область: расплав — твердый раствор кадмия в меди; попытки перенести нашу методику на измерения в этой области не дали удовлетворительных результатов.

Для вычисления коэффициентов активности кадмия использовано сле-

дующее термодинамическое соотношение:

$$nFE = -RT \ln a_{\text{Cd}},$$

ткуда

$$\lg a_{\text{Cd}} = -\frac{2 \cdot 23060}{4,575 T} E.$$

За стандартное состояние принималось состояние жидкого кадмия при той же температуре.

Значения $\lg \gamma_{\text{Cd}}$, найденные из равенства $\lg \gamma_{\text{Cd}} = \lg a_{\text{Cd}} - \lg N_{\text{Cd}}$ (N_{Cd} — атомная доля кадмия), приведены в табл. 2.

Зависимость логарифма коэффициента активности от состава при 575, 600, 625°C приводится на рис. 1. Там же для сравнения нанесены зна-

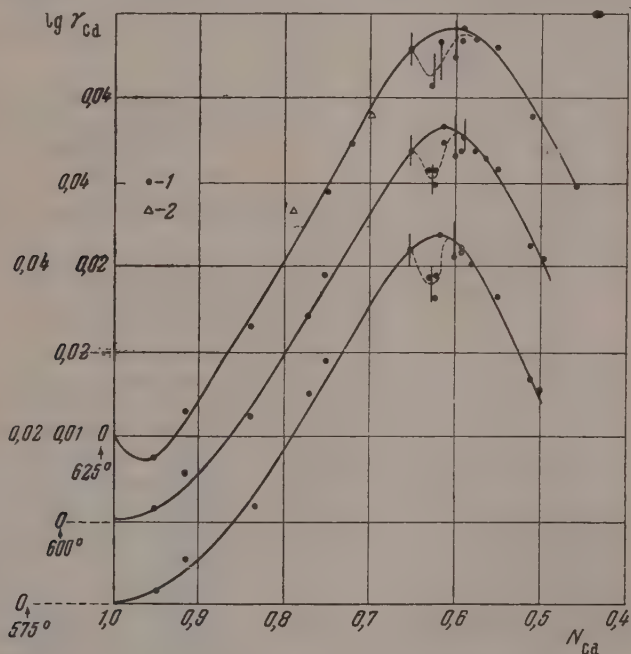


Рис. 1. Зависимость коэффициента активности кадмия от состава расплава Cd — Cu. 1. Наши данные. 2. Данные Риккобони [7]

ния $\lg \gamma_{\text{Cd}}$, полученные в [7] для составов $N_{\text{Cd}} = 0,7510$ и $0,6934$ при 67°.

Максимальная погрешность в определении $\lg \gamma_{\text{Cd}}$ может составить 0,002; эта величина складывается из неточностей в определении э. д. с. (0,1 мВ) и состава сплава ($\pm 0,001 N_{\text{Cd}}$). Однако из рис. 1 видно, что отклонение экспериментальных точек от хода изотерм практически не достигает значения максимальной погрешности, и мы принимаем за среднюю погрешность в определении логарифма коэффициента активности по величине ее максимального значения, т. е. $\pm 0,001$. В масштабе рис. 1 величина 0,001 отмечена на изотермах вертикальными штрихами.

Парциальная теплота растворения кадмия \bar{L}_{Cd} определяется из соотношения:

$$\frac{d \ln \gamma_{Cd}}{d 1/T} = \frac{\bar{L}_{Cd}}{R}.$$

В нашем случае зависимость $\lg \gamma_{Cd} - \frac{1}{T}$ в изученном температурном интервале может быть принята линейной, это позволило нам произвести

определение парциальных теплот смешения кадмия графическим путем из наклона прямых $\lg \gamma_{Cd} - \frac{1}{T}$. Парциальные избыточные энтропии растворения кадмия найдены, исходя из соотношения

$$\Delta \bar{S}_{Cd}^{изб} = \frac{\bar{L}_{Cd}}{T} - R \ln \gamma_{Cd}.$$

Значения \bar{L}_{Cd} и избыточной энтропии смешения при 600° приведены в табл. 3 и на рис. 2, 3

ОБСУЖДЕНИЕ РЕЗУЛЬТАТОВ

Основной экспериментальный факт, который характеризует систему, — это значительное положительное отклонение ее от идеальных законов, увеличивающееся с ростом температуры; это наблюдение находится в качественном согласии с другими исследованиями [5], [6], [8]. В области сравнительно высокого максимума изотерм $\lg \gamma_{Cd} - N_{Cd}$ намечается, несмотря на некоторый разброс точек, наличие неглубокого минимума вблизи состава Cd_3Cu_2 (пунктирная линия на рис. 1).

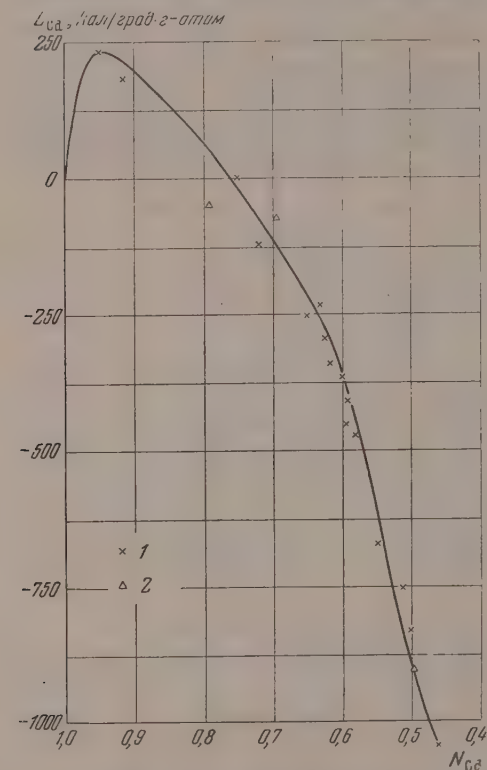


Рис. 2. Зависимость парциальной теплоты смешения кадмия от состава расплава Cd — Cu.

1. Наши данные. 2. Данные Риккони [7]

В пользу существования минимума говорят результаты повторных опытов (табл. 1). Существование минимума может быть поставлено в связь с наличием ближнего порядка в жидких расплавах в окрестности концев траций, соответствующих интерметаллическому соединению.

Значение избыточной энтропии отрицательно и в областях, богатых медью, велико по абсолютному значению. Последнее указывает также на тенденцию атомов компонентов дать более упорядоченное распределение в расплаве, чем это соответствует идеальному раствору.

ВЫВОДЫ

1. Измерены э. д. с. концентрационных цепей $Cd|CdCl_2|(Cd_xCu_{1-x})$ для расплавов меди с кадмием в области 0,948—0,460 молярных долей кадмия. Всего изучено 20 сплавов различного состава в интервале 575—650° С через 25°.

Таблица 3

Значения избыточной энтропии и парциальной теплоты растворения кадмия

Состав электро- дов, N_{Cd}	L_{Cd} кал/г-атом	$\Delta S_{\text{Cd}}^{\text{изб}} 873^\circ\text{K}$ кал/град. г-атом	Состав электро- дов, N_{Cd}	L_{Cd} кал/г-атом	$\Delta S_{\text{Cd}}^{\text{изб}} 873^\circ\text{C}$ кал/град. г-атом
1,000	0	0	0,617	-340	-0,59
0,948	230	0,26	0,600	-357	-0,61
0,915	180	0,18	0,592	-406	-0,66
0,836	0	-0,05	0,591	-450	-0,72
0,769	0	-0,11	0,578	-470	-0,75
0,752	0	-0,13	0,563	—	—
0,720	-122	-0,27	0,550	-665	-0,95
0,650	-250	-0,48	0,512	-750	-1,01
0,628	-230	-0,45	0,500	-830	-1,09
0,624	-290	-0,52	0,460	-1040	-1,29

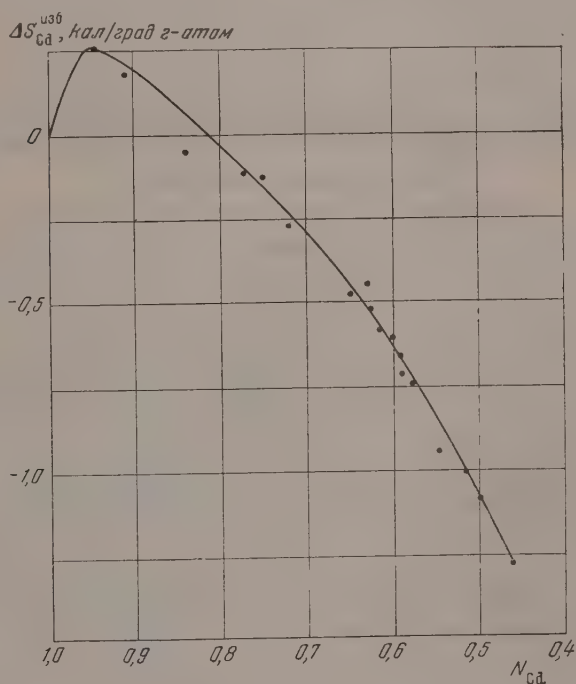


Рис. 3. Зависимость парциальной избыточной энтропии смешения кадмия от состава расплава Cd — Cu

2. Вычислены для изученных сплавов значения логарифма коэффициента активности при 575, 600, 625 и 650° и избыточная энтропия растворения кадмия при 600°С. Парциальная теплота растворения кадмия вычислялась предположении независимости ее от температуры в изученном температурном интервале.

3. Система показала положительное отклонение от идеальных законов, увеличивающихся с ростом температуры.

4. L_{Cd} — парциальные теплоты растворения кадмия — отрицательны и велики по абсолютному значению; величины избыточной энтропии

отрицательны, по абсолютному значению достаточно высоки и увеличиваются при увеличении концентрации меди в расплаве.

5. В окрестности 60 ат. % кадмия на изотермах $\lg \gamma_{\text{Cd}} - N_{\text{Cd}}$, по-видимому, достаточно ясно подтверждается наличие неглубокого минимума.

Московский государственный
университет им. М. В. Ломоносова

Поступила
20.III.1956

ЛИТЕРАТУРА

1. А. В. Никольская, Я. И. Герасимов, Журн. физ. химии, 28, 713, 1954.
2. М. Хансен, Структура бинарных сплавов, НТИ Черной и цветной металлургии, М.—Л., 1941.
3. K. Bornemann, u. K. Wagenmann, Ferrum, 11, 283, 330, 1913—1914.
4. E. Schreiner, K. Seljesater, Zs. anorg. allg. Chem., 137, 393, 1924.
5. A. Schneider, N. Schmid, Zs. Elektrochem. 48, 627 1942.
6. K. Ellinek, G. Rosner, Zs. phys. Chem., A152 67, 1931.
7. L. Riccoboni, V. Genta, M. Fiorani, Ricerca Scient., 23, 408, 1953.
8. Z. Riccoboni, V. Genta, M. Fiorani e V. Valenti, Gazzetta chimica italiana, 84, 982, 1954.

INVESTIGATION OF THE THERMODYNAMICAL PROPERTIES OF BINARY METALLIC SYSTEMS BY THE ELECTROMOTIVE FORCE METHOD

II. THE SYSTEMS CADMIUM-COPPER

A. V. Nikol'skaya, P. P. Otopkov and Ya. I. Gerasimov

(Moscow)

Summary

In the present investigation a study has been made of the e. m. f. of the concentration cells $\text{Cd}|\text{CdCl}_2|(\text{Cd}_x\text{Cu}_{1-x})^+$ for copper-cadmium melts over the range 0.948—0.460 mole fractions of cadmium at 25° temperature intervals, from 575—650° C.

From the values for the e. m. f. calculations were made of the logarithms of the activity coefficients of cadmium at the temperatures 575°, 600°, 625° and 650° C.

The partial heats of solution of cadmium were calculated from the relation $\lg \gamma = f(T)$. The heats of mixing are constant in the temperature range studied.

The partial excess entropies of solution of cadmium at 600° C have been calculated.

The system showed a positive deviation from the ideal laws, increasing with increase in temperature.

The partial heats of cadmium are negative and of small absolute values; the excess entropies are negative but possess sufficiently high absolute values.

A shallow minimum can be discerned on the $\lg \gamma - N_{\text{Cd}}$ isotherms in the neighborhood of 60 at. % cadmium.

РАСТВОРИМОСТЬ ТОРИЯ В ЖИДОМ ЦИНКЕ

*М. В. Смирнов, Н. Г. Илющенко, С. П. Детков
и Л. Е. Ивановский*

Согласно данным Гебхардта [1] титан и цирконий растворяются в жидком цинке, образуя с ним эвтектические сплавы. В системе титан — цинк эвтектика плавится при 418°C и содержит 0,15% Ti, а в системе цирконий — цинк при 416°C и содержит 0,1% Zr. Растворимость этих металлов в жидком цинке растет с температурой: у титана она достигает 5% при 1000°C , а у циркония 3% при 1200°C . В литературе отсутствуют сведения относительно системы торий — цинк. Лишь в работе Новотного [2], касающейся рентгеноструктурных исследований некоторых металлических соединений, сообщается, что в системе торий — цинк, содержащей не более 42% Th, имеются два металлических соединения: ThZn_9 и ThZn_5 , и что при низких температурах цинк не образует с торием твердых растворов. Нам были проведены исследования растворимости тория в жидком цинке, результаты которых излагаются в настоящей работе.

ЭКСПЕРИМЕНТАЛЬНАЯ ЧАСТЬ

Пирометрические и электронофотографические исследования цинк-ториевых сплавов, содержащих менее 30 вес. % Th, были исследованы сплавы, содержащие до 25 вес. % Th. Они готовились непосредственным сплавлением стружки металлического тория с жидким цинком под защитным слоем расплавленной соли. Вязкость сплавов возрастала с увеличением содержания тория. Так, при 800°C сплав с 25 вес. % Th представлял рыхлую кристаллическую массу без видимых следов жидкой фазы. Разбавленные расплавы были икотекучи. В них наблюдалось резкое расслаивание по составу, причем торий концентрировался в нижнем слое. Он входил в состав твердой фазы, которая была взвешена в более легкой жидкой фазе. Застывшие сплавы представляли собой двухфазные системы.

Измерения на пирометре Курикова проводили с электрической печью сопротивления, позволявшей нагревать сплавы до 900°C . Для увеличения тепловой инерции был из массивный блок из жароупорной стали, в котором были высверлены два углубления для тигельков с исследуемым сплавом и с чистым свинцом. Размеры углублений точно соответствовали размерам вставляемых в них тигельков. Сверху блок закрывался массивной крышкой из той же стали, в которой были два отверстия для термомпар. Навески исследуемых сплавов брали так, чтобы они содержали одно и то же количество цинка (10 г). В каждом опыте соответственно меняли навески свинца, чтобы сохранить постоянным произведение теплоемкости на массу содержимого обоих тиглей. Во всех опытах снимали кривые нагрева, повышая температуру на 10° в минуту.

На рис. 1 в качестве иллюстрации представлена одна из фотозаписей показаний пирометра. Кривые 1 относятся к чистому цинку, а кривые 2 — к сплаву, содержащему 15% Th. Как видно, они совпадают, т. е. сплав дает температурную задержку в той же точке, что и чистый цинк. Аналогичная картина наблюдалась у сплавов, содержащих 1, 5, 10, 18, и 25 вес. % Th.

Для электронофотографических исследований сплавы готовили путем сплавления спектрально чистого цинка (фирмы Кальбаум) с небольшим количеством тория в узком корундовом тигле. Сплавы длительное время держивали при 750°C под защитным слоем расплавленной солевой смеси, а затем очень медленно охлаждали до полного отвердевания. Слитки разрезали по вертикали и готовили шлифы. На них наблюдалась резко выраженная ликвация по удельному весу металлического соедине-

ния тория с цинком (твердой фазы, взвешенной в жидком сплаве). Микрофотографии шлифов нижнего слоя слитков показывали обычную картину цинка с включенными в него кристаллами второй фазы. Микрофотографии шлифов верхнего слоя слитков ничем не отличались от микрофотографий шлифов слитка чистого цинка, полученного в аналогичных условиях.

С шлифа верхнего слоя сплава была снята коллодиевая реплика, которая была сфотографирована на электронном микроскопе с увеличением в 11 000 раз. Для сопоставления была также снята электронофотография шлифа слитка чистого цинка. Обе электронофотографии показали тождественную структуру.

Таким образом пирометрические и электронофотографические исследования показывают, что затвердевшие цинк-ториевые сплавы, содержащие

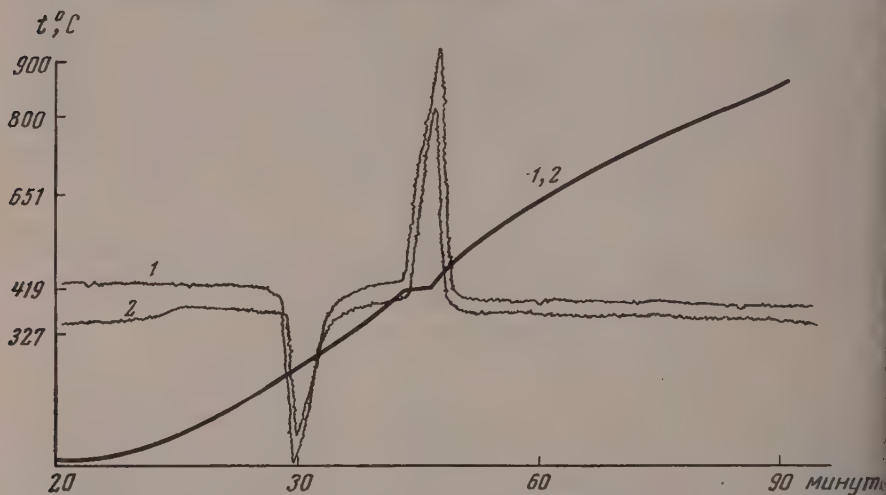


Рис. 1. Кривые нагревания одного из сплавов тория с цинком

до 25 вес.% Th, представляют собой двухфазные системы. Одна из фаз является либо чистым цинком, либо содержит столь незначительные количества тория, которые не сказываются заметным образом ни на его температуре плавления, ни на его структуре. Вторая фаза, по-видимому, состоит из металлического соединения тория с цинком, которому Новотный [2] приписывает формулу ThZn_9 .

Выделение металлического соединения $\text{Th}_2\text{Zn}_{17}$ из сплавов, содержащих менее 30 вес.% Th, Цинк-ториевые сплавы, содержащие до 25 вес. Th, растворяются в водных растворах едких щелочей или солей аммония с выделением водорода, подобно чистому цинку. Скорость реакции возрастает с повышением температуры и концентрации раствора. После растворения оставался кристаллический порошок с ярким металлическим блеском, который не растворялся в растворах едких щелочей и солей аммония. Однако при длительном пребывании в растворах порошок загрязнялся гидроокисью тория.

Анодное растворение сплавов протекало значительно быстрее, но порошки получались более загрязненными гидроокисью тория, особенно в растворах едких щелочей при относительно высокой плотности тока. В таблице приведены результатов анализов порошков, полученных анодным растворением цинк-ториевых сплавов в разных условиях. Как видно, у порошков, которые были выделены из сплавов в растворах хлористого аммония при низких анодных плотностях тока, суммарное содержание металлов в пределах возможных ошибок опыта близко к 100%.

Наиболее чистые порошки были получены при растворении сплавов в горячем насыщенном растворе хлористого аммония (при 80—85°C). Замечено, что по мере накопления цинка в растворе при растворении сплава начинает образовываться гидроокись тория, которая загрязняет порошок. Частая смена растворов обеспечивала получение более чистых порошков.

Состав наиболее чистых порошков, промытых концентрированным раствором соды для удаления гидроокиси тория, затем 3—5% азотной кислотой, водой, спиртом и эфиром, отвечал эмпирической формуле $\text{Th}_2\text{Zn}_{17}$, а не ThZn_9 , которую дает Новотный [2]. Насыпной вес порошка соединения равен 8 г/см^3 . Пикнометрические измерения дают для его удельного веса величину, близкую 7,5. Металлическое соединение $\text{Th}_2\text{Zn}_{17}$ по своим химическим свойствам отличается от составляющих его металлов. Оно не растворяется заметным образом в водных растворах едких щелочей и солей аммония в отличие от цинка. Соединение довольно устойчиво к кислороду воздуха. В отсутствие влаги оно длительное время не теряет металлического блеска, тогда как порошок тория такой же дисперсности быстро тускнеет на воздухе в результате окисления. Соединение $\text{Th}_2\text{Zn}_{17}$ легко растворяется в разбавленных соляной и серной кислотах и несколько хуже в разбавленной азотной кислоте.

Определение растворимости тория в жидком цинке при 419—825°C. Во всех опытах по определению растворимости брали цинк, который подвергали предварительной очистке путем возгонки под разрежением порядка $10^{-3} \text{ мм. рт. ст.}$ Сплавления его с торием, получали лигатуры с 5 и 12 вес. % Th, которые затем развигли жидким цинком до требуемой концентрации. Чтобы обеспечить установление равновесия между жидкой и твердой фазами, сплавы длительное время выдерживали при 850° С под слоем расплавленной соли.

На шлифах поперечного разреза слитка, полученного при медленном охлаждении сплава (температура понижалась на 8° в час), наблюдалась резко выраженная ликвация по удельному весу: нижний слой состоял из кристаллов двух фаз ($\text{Th}_2\text{Zn}_{17}$ и Zn), а верхний ничем не отличался от чистого цинка. Когда охлаждение производили очень быстро, на микрофотографиях шлифов верхнего слоя слитков сплавов появлялись мелкие кристаллы второй фазы ($\text{Th}_2\text{Zn}_{17}$), которые были гораздо меньше кристаллов этой фазы, скопившихся в нижнем слое за время пребывания сплава в жидком состоянии. Очевидно, они выделились из жидкой фазы при охлаждении и не успели осесть, так как сплав быстро затвердел. Если такие слитки вновь расплавлялись, и сплавы некоторое время выдерживались в жидком состоянии, а затем медленно охлаждались, то в верхнем слое получаемых при этом слитков вторая фаза отсутствовала. В нижнем слое были только крупные кристаллы этой фазы. Следовательно, при медленном охлаждении $\text{Th}_2\text{Zn}_{17}$ выделяется из жидкой фазы за счет роста уже имевшихся кристаллов.

Количественно растворимость тория в жидком цинке определяли по методу осаждения. Этот метод использовался рядом авторов, в частности Нельсоном и Сагером [3], для установления растворимости марганца в магнии-алюминий-оловянных сплавах.

Опыты проводили в длинных кварцевых пробирках диаметром 25 мм. Содержание тория в сплавах менялось от 4,5 до 6 вес. %. Сплав под защитным слоем жидкой соли длительное время выдерживали при 850° С. Затем его охлаждали до заданной температуры и опять выдерживали длительное время, энергично перемешивая вольфрамовой палочкой. Перемешивание прекращали и через определенные промежутки времени верхнего слоя сплава корундовым тигельком отбирали пробы, которые анализировали на содержание тория. Особое внимание уделяли равномерному нагреву сплава по всей длине пробирки, чтобы свести к минимуму конвекционные потоки. Для этого пробирку помещали в расплавленную солевую ванну, которая находилась в стакане, окруженном смесью медной стружки с окисью меди. Термостат помещался в электрической изоляции с автоматическим регулированием температуры. Температуру сплава измеряли погруженной в него хромель-алюмелевой термопарой.

Содержание Th в сплаве, вес. %	Электролит	D_a , А/см^2	Состав порошка		
			Th, %	Zn	Th+Zn, %
15	30% NaOH	1,0	31,3	64,5	95,8
15	30% NaOH	0,2	32,4	63,8	96,2
15	20% NaOH	1,0	31,0	67,8	98,8
8	5% NH_4Cl	1,0	31,0	67,5	98,5
18	20% NH_4Cl	0,02	29,0	71,6	100,6
8	20% NH_4Cl	0,02	29,2	70,0	99,2
5	20% NH_4Cl	0,02	29,0	71,6	100,6
3	10% NH_4Cl	0,02	23,3	70,0	99,3

На рис. 2 и 3 приведены результаты двух опытов при 460 и 775° С. Они показывают, как менялось содержание тория в верхнем слое сплава после прекращения его перемешивания. Видно, что кристаллы $\text{Th}_2\text{Zn}_{17}$

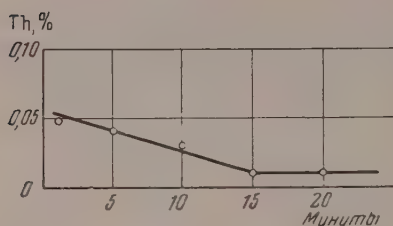


Рис. 2. Изменение содержания тория в пробах сплава со временем при 460° С

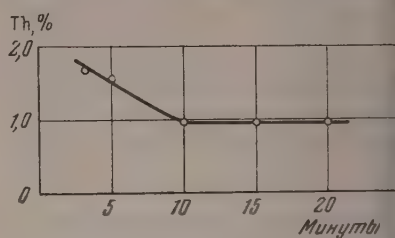


Рис. 3. Изменение содержания тория в пробах сплава со временем при 775° С

полностью оседают на дно пробирки за 10—15 мин. Поэтому в остальных опытах пробы для анализа отбирали спустя 20 мин. после прекращения перемешивания сплава. Такой выдержки было вполне достаточно для того, чтобы в верхнем слое оставался только растворенный в жидком цинке торий.

Результаты опытов, проведенных с тремя сплавами, которые содержали 4,5; 5,0 и 6,0 вес. % Th, представлены на рис. 4. Экспериментальные данные вполне удовлетворительно описываются эмпирическим уравнением:

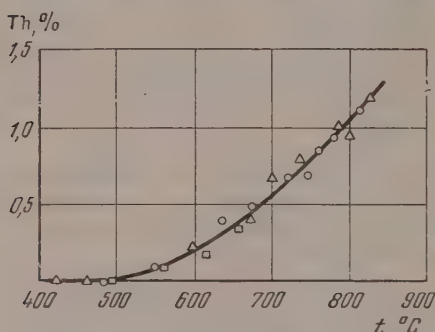


Рис. 4. Растворимость тория в жидком цинке

$$\lg N_{\text{Th}} = 103,3300 - \frac{16\,000}{T} - 30 \lg T,$$

где N_{Th} — мольная доля тория в жидкой фазе двухфазного сплава (Zn (ж) + $\text{Th}_2\text{Zn}_{17}$ (т)), а T — абсолютная температура.

При температуре затвердевания (415,4° С) растворимость тория в жидком цинке незначительна: $3,55 \cdot 10^{-3}$ вес. % ($N_{\text{Th}} = 1,00 \cdot 10^{-5}$). В точке его кипения (907° С) она возрастает до 1,44% ($N_{\text{Th}} = 4,11 \cdot 10^{-3}$).

ТЕРМОДИНАМИКА ДВУХФАЗНЫХ СПЛАВОВ ТОРИЯ С ЦИНКОМ

$\text{Th}_2\text{Zn}_{17}$ (т) + Zn (ж)

Ранее нами были измерены э. д. с. двух ячеек при разных температурах. Первая ячейка включала электрод из двухфазного сплава тория с цинком и хлорный электрод в расплавленном хлориде тория



Температурная зависимость э. д. с. этой ячейки выражается эмпирическим уравнением: "

$$\mathcal{E}_1 = (2,5267 - 5,002 \cdot 10^{-4} T) \pm 0,0026 \text{ В.}$$

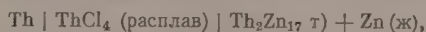
Вторая ячейка состояла из ториевого и хлорного электродов в расплавленном хлориде тория



Температурная зависимость э. д. с. этой ячейки отвечает эмпирическому уравнению:

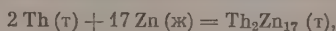
$$\mathcal{E}_2 = (2,772 - 5,61 \cdot 10^{-4} T) \pm 0,0014 \text{ V.}$$

Очевидно, разность $\mathcal{E}_1 - \mathcal{E}_2$ дает нам э. д. с. ячейки;



$$\mathcal{E} = (0,245 - 0,61 \cdot 10^{-4} T) \pm 0,004 \text{ V.}$$

на является непосредственной мерой изменения изобарного потенциала Z , при образовании металлического соединения $\text{Th}_2\text{Zn}_{17}$ из элементов:



$$\Delta Z = (-22600 + 5,63 T) \pm 370 \text{ кал/г-атом Th.}$$

Особо большая теплота образования ($\Delta H = -22,6 \text{ ккал/г-атом Th}$) говорит о прочности этого металлического соединения.

Электрохимический потенциал сплава в расплавленном состоянии определяется активностью входящего в него тория в соответствии с термодинамическим уравнением:

$$E = \text{const} - \frac{RT}{4F} \ln a_{\text{Th}} = \text{const} - \frac{RT}{4F} \ln f_{\text{Th}} N_{\text{Th}},$$

где a_{Th} — активность, f_{Th} — коэффициент активности и N_{Th} — мольная доля тория в жидкой фазе сплава. Если принять металлический торий стандартное состояние, то его активность в сплавах можно найти по уравнению:

$$\mathcal{E} = - \frac{RT}{4F} \ln a_{\text{Th}},$$

где \mathcal{E} — электрохимическая разность потенциалов между торием и сплавом данного состава. Ее температурная зависимость была найдена нами также для бинарных сплавов с насыщенной торием жидкой цинковой фазой. Подставляя ее в уравнение для активности, получаем

$$\lg a_{\text{Th}} = 1,3 - \frac{5224}{T}.$$

В точке затвердевания цинка ($419,4^\circ \text{C}$) активность тория в сплаве была $1,82 \cdot 10^{-6}$; она возрастает до $1,35 \cdot 10^{-3}$ при температуре кипения (7°C). Такое изменение активности тория в бинарном сплаве $\text{Th}_2\text{Zn}_{17} + \text{Zn} (\text{ж})$ хорошо согласуется с температурной зависимостью растворимости тория в жидком цинке, которая была определена нами прямым методом.

Коэффициент активности тория в таких сплавах меняется с температурой согласно эмпирическому уравнению

$$\lg f_{\text{Th}} = -102,0300 + \frac{10776}{T} + 30 \lg T.$$

В температурном интервале $419-907^\circ \text{C}$ он возрастает от 0,182 до 0,8. Величина коэффициента активности указывает на сильное взаимодействие между торием и цинком, которое незначительно меняется с температурой.

ВЫВОДЫ

Исследованы цинк-ториевые сплавы, содержащие до 25 вес.% Th. Установлено, что в твердом состоянии они представляют собой двухфазные системы, состоящие из металлического соединения тория с цинком и практически чистого цинка.

2. Выделено в чистом виде металлическое соединение тория с цинком путем растворения в водных растворах солей аммония или едких щелочей избыточного цинка сплавов. Оно представляет собой кристаллический порошок с ярким металлическим блеском. Удельный вес близок к 7,5. Химический анализ показывает, что состав этого соединения ближе всего отвечает эмпирической формуле $\text{Th}_2\text{Zn}_{17}$.

3. Определена растворимость тория в жидком цинке при $419-825^\circ\text{C}$. В точке затвердевания цинка растворимость тория составляет 3,55·10 вес.%. При температуре его кипения 907°C она возрастает до 1,44 вес.%.
 4. Найдено изменение изобарного потенциала, ΔZ , при образовании металлического соединения $\text{Th}_2\text{Zn}_{17}$ из элементов и вычислены активности и коэффициент активности тория в двухфазных сплавах $\text{Th}_2\text{Zn}_{17}(\text{т}) + \text{Zn}(\text{ж})$.

Академия наук СССР
Уральский филиал
Свердловск

Поступила
3.IV.1956

ЛИТЕРАТУРА

1. E. Gebhardt, Zs. Metallkunde, 3, 355, 1941.
2. H. Novotny, Metallforsch., 1, 31, 1946.
3. B. J. Nelson, G. F. Sager, Journ. Metals, 1, 405, 1949.

THE SOLUBILITY OF THORIUM IN LIQUID ZINC

M. V. Smirnov, N. G. Ilyushchenko, S. P. Detkov and L. E. Ivanovskiy

(Sverdlovsk)

Summary

Thorium-zinc alloys containing up to 25% Th by weight were investigated. These were shown to consist of two phases: practically pure zinc and the metallic compound $\text{Th}_2\text{Zn}_{17}$. The latter was isolated by dissolving the excess zinc of the alloys in aqueous solutions of ammonium salts or in alkalis.

The solubility of thorium in liquid zinc was determined at $419-825^\circ\text{C}$. It may be expressed by the equation:

$$\lg N_{\text{Th}} = 103.3300 - \frac{16000}{T} - 30 \lg T.$$

On the basis of the experimental data the free energy change for the formation of the metallic compound: $\text{Th}(\text{s}) + 8.5 \text{Zn}(\text{l}) = \text{ThZn}_{8.5}(\text{s})$ was found to be:

$$Z = (-22,000 + 5.63T) \pm 370 \text{ cal. / g. at. Th.}$$

The activity and activity coefficient of thorium in the double phase alloy $\text{Th}_2\text{Zn}_{17}(\text{s}) + \text{Zn}(\text{l})$ were computed to be:

$$\lg a_{\text{Th}} = 1.3 - \frac{5224}{T}$$

$$\lg f_{\text{Th}} = -102,0300 + \frac{10776}{T} + 30 \lg T$$

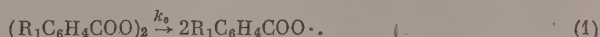
ИССЛЕДОВАНИЕ МЕХАНИЗМА РАДИКАЛЬНЫХ РЕАКЦИЙ

IV. МЕХАНИЗМ ОБРАЗОВАНИЯ ДИФЕНИЛОВ ПРИ РАСПАДЕ ПЕРЕКИСЕЙ БЕНЗОИЛА И 4-НИТРОБЕНЗОИЛА В БЕНЗОЛЕ И НИТРОБЕНЗОЛЕ*

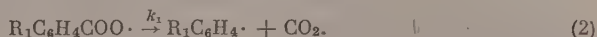
Р. И. Милютинская, Х. С. Багдасарян
и Е. А. Израилевич

Перекись бензоила и ее производные являются источником получения рильных и бензоатных радикалов в жидкой фазе. Несмотря на многочисленные исследования, механизм распада перекисей указанного класса ароматических растворителях до сих пор не вполне ясен.

В настоящее время можно считать установленным, что первичным актом термического распада перекиси бензоила и ее производных является диссоциация молекулы перекиси на два бензоатных радикала:



образование CO_2 происходит путем распада бензоатного радикала



от вывод следует из того, что присутствие энергичных акцепторов радикалов (стирол, олефин) полностью подавляет образование CO_2 [2,3] и бензойной кислоты [2], причем в их условиях бензоатные группы количественно входят в образующийся полимер [2].

Таким образом в реакционной системе возникают радикалы $R_1C_6H_4COO\cdot$ и $R_1C_6H_4\cdot$. Однако какие реакции этих радикалов в ароматических растворителях** приводит к конечным продуктам — бензойной кислоте и дифенилу (или их производным), — нельзя считать окончательно установленным.

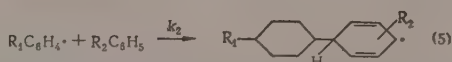
Можно предположить, что радикалы $R_1C_6H_4COO\cdot$ и $R_1C_6H_4\cdot$ отрывают водород от молекул ароматического растворителя $R_2C_6H_5$ [4]:



Соединение радикалов $R_1C_6H_4\cdot$ и $R_2C_6H_4\cdot$ (возможно образование трех изомеров) приводит к образованию дифенилов строения $R_1C_6H_4 - C_6H_4R_2$. При этом механизме реакции наряду с несимметричными дифенилами следовало бы ожидать образование симметричных дифенилов строения $R_1C_6H_4C_6H_4R_1$ и $C_6H_4C_6H_4R_2$. Однако было показано [5,6], что происходит образование почти исключительно (или преимущественно) дифенилов несимметричного строения. Этот факт можно объяснить предположением, что соединяются преимущественно радикалы с разными заместителями. Исследования по кинетике совместной полимеризации показали, что в некоторых случаях соединение «разноименных» радикалов происходит с гораздо большей вероятностью, чем соединение одинаковых радикалов (см., например, [1]). С другой стороны, для объяснения образования несимметричных дифенилов было показано предположение, что последние образуются по механизму «гомолитического расщепления» [8]:



Позднее эта реакция была заменена реакцией образования промежуточного радикала

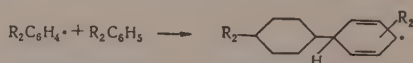


где отщепления атома водорода каким-либо другим радикалом происходит образование дифенила — конечного продукта реакции. Если, однако, кроме реакции (5)

* Статью III из этой серии см. [1].

** Мы исключаем из рассмотрения фенолы и амины, в растворе которых распад перекисей протекает по другим механизмам.

протекает также реакция (3), приводящая к образованию радикала $R_1C_6H_4\cdot$, то следовало бы ожидать образования симметричного дифенила по механизму гомолитического замещения:



и притом в значительных количествах, так как выход кислоты $R_1C_6H_4COOH$ во многих случаях достигает 50 % от образующихся радикалов $R_1C_6H_4COO\cdot$.

Указанная неясность в механизме образования дифенилов не позволяет однозначно делать выводы о влиянии групп R_1 и R_2 на реакционную способность радикалов и валентнонасыщенных молекул, вступающих в реакции в рассматриваемых системах.

Нами было проведено исследование продуктов распада перекиси бензоила в частично дейтерированном бензоле и перекиси 4-нитробензоила в частично дейтерированном нитробензоле. Эти системы характеризуются тем, что радикалы, образующиеся из перекиси, в химическом отношении практически не отличаются от радикалов, образующихся из растворителя путем отщепления атома водорода (или дейтерия) в результате реакций (3) или (4), что позволяет исключить эффект преимущественного взаимодействия разноименных радикалов. С другой стороны, дейтерирование растворителя позволяет установить механизм образования дифенила и нитробензойной кислоты путем изотопного анализа указанных соединений. Исследованы также продукты реакции, образующиеся при распаде перекиси 4-нитробензоила в частично дейтерированном бензоле.

ЭКСПЕРИМЕНТАЛЬНАЯ ЧАСТЬ

Перекись бензоила осаждена из раствора в хлороформе добавкой метилового спирта и высушена в высоком вакууме.

Перекись 4-нитробензоила сплечирована из 4-нитробензоилхлорида и перекиси натрия. Продукт перекристаллизован из горячего толуола. Дейтеробензол получен путем обменной реакции между легким бензолом и дейтерированным жидким аммиаком в присутствии амида калия по методу А. И. Штенштейна и Е. А. Израилевич [10].

Два объема 0,1 N раствора амида калия в жидком аммиаке (с концентратной дейтерия 10—30 ат. %) смешивали с одним объемом бензола и смесь оставляли на несколько суток при комнатной температуре. Дейтерированный аммиак отгоняли и использовали для проведения обменной реакции с новой порцией бензола. (Заслуживает внимания дальнейшее изучение катализа обменной реакции в бензоильно-аммиачных растворах.) Кроме того, дейтеробензол получали путем взаимодействия обычного бензола с дейтеросерной кислотой по Ингольду [11].

Дейтерированный нитробензол получен нитрованием дейтерированного бензола.

Анализ на дейтерий производился путем определения капельным методом содержания дейтерия в воде, полученной после сжигания образца и соответствующей очистки. Сжигание производилось ускоренным методом в токе кислорода. Все эти операции осуществлялись на аппаратуре и по методике, разработанной А. И. Штенштейном и сотрудниками [12].

Реакция распада перекиси проводилась следующим образом. Раствор перекиси бензоила в бензоле освобождался от растворенного воздуха в целлюлозной вакуумной аппаратуре, как описано ранее [2]. Затем ампула, содержащая раствор перекиси, отпаивалась от вакуумной аппаратуры и нагревалась в термостате при нужной температуре до полного разложения перекиси. После вскрытия ампулы бензол отгонялся в вакууме, продукты реакции отмывались горячей водой от бензойной кислоты и подвергались перегонке с водяным паром. Перешедший с водяным паром продукт кипятился в течение 4—5 час. со спиртовой щелочью для омыления феиллового эфира бензойной кислоты. После омыления эфира спирт отгонялся, и дифенил экстрагировался эфиром. После испарения эфира дифенил возгонялся в вакууме. Не перешедшая с водяным паром смола сушилась в вакууме и затем анализировалась на содержание дейтерия.

При работе с 4-нитроперекисью бензоила необходимо было принять во внимание следующие обстоятельства: 1) Перекись 4-нитробензоила плохо растворима в бензоле и нитробензоле при комнатной температуре. 2) Так как образующаяся нитробензойная кислота подвергалась анализу на содержание дейтерия, то необходимо было применить очень сухие растворители и работать в условиях, исключающих соприкосновение сухих растворителей с воздухом. 3) Перекись 4-нитробензоила значительно более взрывоопасна, чем перекись бензоила*.

* В нашей практике был случай, когда навеска в ~ 1 г перекиси 4-нитробензоила в стеклянной ампуле взорвалась при легком ударе напыльником по стеклянной трубке припаянной к ампуле.

Применялась следующая методика заполнения ампул: навеска перекиси 4-нитробензоила через воронку с длинным концом высыпалась на дно стеклянной ампулы, которая затем припаивалась к вакуумной аппаратуре. К этой же аппаратуре на шлифе присоединялась ампула, содержащая сухой бензол и проволоку металлического натрия или нитробензол и пятиокись фосфора. Растворитель освобождался от растворенного воздуха с применением вакуума и глубокого охлаждения и затем перегонялся в ампулу с перекисью. Ампула отпаивалась и помещалась в термостат.

После охлаждения ампулы вылившаяся нитробензойная кислота тщательно отжималась на стеклянном фильтре и затем освобождалась от остатков растворителя откачкой в высоком вакууме при нагревании на масляной бане до 100—110° С. Выделенная таким образом *n*-нитробензойная кислота имеет т. пл. 234—235° (по литературным данным 236°). Нитробензойная кислота хранилась в вакууме непосредственно до момента ее сжигания с целью анализа на дейтерий.

После отделения нитробензойной кислоты растворитель отгонялся в высоком вакууме. Твердый остаток промывается на стеклянном фильтре горячим раствором NaOH (~0,03 *N*) для удаления нитробензойной кислоты и затем промывается водой. Для выделения дифенилов полученный продукт или перегонялся с перегретым водяным паром или подвергался возгонке в высоком вакууме. Поверхность, на которой конденсировался сублимат, охлаждалась смесью сухого льда с ацетоном.

Полученные результаты. Распад перекиси бензоила в бензоле. Реакция характеризуется низким выходом дифенила (15—20% от теоретического) и большим смолообразованием. Выходы дифенила и смол заметно не изменяются в области концентраций перекиси 0,004—0,12 *M* и температур 75—100°. Ранее было установлено, что выход бензойной кислоты составляет 16% при концентрации перекиси 0,18 *M* и снижается до нуля при концентрации перекиси 0,0018 *M*, соответственно выход CO₂ увеличивается с 0,72 до 1. Результаты анализа на дейтерий приведены в табл. 1.

Как видно из табл. 1, в области температур 75—100° и при концентрациях перекиси 0,02—0,12 *M* содержание дейтерия в дифениле составляет приблизительно половину (45%) от его содержания в бензоле. Интересно, что смола также содержит 50% дейтерия от содержания в бензоле.

Распад перекиси 4-нитробензоила в дейтеробензоле. При перегонке с перегретым водяным паром твердых продуктов, образовавшихся после разложения перекиси, в приемнике собирается однородный продукт с т. пл. 112°, что указывает на 4-нитродифенил (с. пл. 113°). С целью выделения дифенила проводилась вторичная перегонка с водяным паром при атмосферном давлении. Первые погоны имели т. пл. 108°, что значительно превосходит т. пл. дифенила.

Анализ на нитрогруппу посредством TiCl₃ дает 23,0% (для нитродифенила % NO₂ = 23,1). Таким образом при реакции не происходит образования в заметных количествах ни дифенила, ни динитродифенила.

Выход нитродифенила равен ~38%. Оставшаяся после перегонки смола составляет всего 3% от веса перекиси. Ранее проведенные исследования [1] показали, что выходы нитробензойной кислоты и CO₂ составляют 40 и 60% от теоретических (при концентрации перекиси 0,00185 *M*). Результаты анализа на дейтерий продуктов реакции приведены в табл. 2.

Как видно из табл. 2, содержание дейтерия в нитробензойной кислоте составляет ~20%, а в 4-нитродифениле 52,5% от содержания в исходном бензоле. Процент дейтерия в смоле значительно ниже, чем в нитродифениле.

Были поставлены специальные опыты по обмену, чтобы убедиться в том, что в условиях наших опытов нитробензойная кислота не обмени-

Таблица 1

Распад перекиси бензоила в дейтерированном бензоле

Концентрация перекиси, моля/л	Температура, °C	% дейтерия в		
		бензоле	дифениле	смоле
0,12	75	1,44	0,68	—
0,11	80	1,22	0,56	—
0,10	80	1,22	0,52	—
0,02	80	1,44	0,63	0,68
0,11	100	1,44	0,65	0,71

Среднее содержание дейтерия в % от содержания в бензоле	45	48
---	----	----

вается атомами водорода с бензолом. 0,24 г нитробензойной кислоты, не содержащей дейтерия, нагревались 27 час. в 25 мл бензола, содержащего 5,35% дейтерия, при 100°C. После тщательного удаления бензола в вакууме содержание дейтерия в нитробензойной кислоте оказалось равным 0,02%.

Кроме того, правильность наших данных по содержанию дейтерия в нитробензойной кислоте проверялась следующим образом: навеска нитробензойной кислоты, полученной из опыта (~0,2 г), растворялась при нагревании в 20 мл этилового спирта, не содержащего дейтерия. После удаления спирта высушенная в вакууме кислота содержит 0,02% дейтерия. Это указывает на отсутствие в исследуемой кислоте заметного количества дейтерированных примесей (смола, дифенилы), поскольку они не способны в данных условиях обменивать связанный с углеродом дейтерий на водород спирта.

Распад перекиси 4-нитробензоила в нитродейтеробензоле. Нитродейтеробензол получен нитрованием дей-

Таблица 2

Распад перекиси 4-нитробензоила в дейтерированном бензоле при 100°

Концентрация перекиси 4-нитробензоила, моль/л	% дейтерия в			
	бензоле	нитробензойной кислоте	нитродифенилах	смоле
0,04	17,93	—	9,40	—
0,21	17,93	3,39	9,43	6,23
0,20	17,93	3,63	—	—
Среднее содержание дейтерия в % от содержания в бензоле		19,5	52,5	34,7

Таблица 3

Распад перекиси 4-нитробензоила в дейтерированном нитробензоле

Концентрация перекиси 4-нитробензоила, моль/л	t, °C	% дейтерия в		
		нитробензоле	нитробензойной кислоте	нитродифенилах
0,15	100	5,30	0,98	5,52
0,14	100	5,30	1,04	—
0,12	80	8,02	—	3,98
0,14	80	5,64	1,10	2,66
Среднее содержание дейтерия в % от содержания в нитробензоле		19,3	48,1	—

теробензола с различным содержанием дейтерия. Ни в одном случае содержание дейтерия в нитродейтеробензоле не отличалось заметным образом от содержания дейтерия в дейтеробензоле. Этот результат подтверждает данные других авторов [13] об отсутствии изотопного эффекта при нитровании бензола. Отсюда следует, что в наших образцах нитродейтеробензола атомы дейтерия беспорядочно распределены относительно нитрогруппы.

Продукты реакции, выделяющиеся при сублимации в высоком вакууме, представляют смесь изомерных динитродифенилов; выход ~50%. По методике, которая была описана ранее [2], мы определили выход нитробензойной кислоты и CO₂ при концентрации перекиси 0,14 М. Выходы обоих продуктов близки к 50% от теории. Эти выходы совпадают с теми, которые были получены при распаде перекиси при концентрации 0,00185 М [1].

Результаты анализа на дейтерий представлены в табл. 3.

Как видно из табл. 3, содержание дейтерия в нитробензойной кислоте составляет 19,3%, а в динитродифенилах — 48% от содержания в нитробензоле.

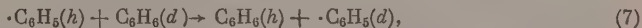
Отсутствие обмена между нитробензойной кислотой и дейтерированным нитробензолом было установлено следующим опытом. 0,2 г нитробензойной кислоты нагревались 36 час. при 100° в 15 мл нитробензола, содержащего 5,64% дейтерия. После тщательного удаления нитробензола в высоком вакууме при нагревании при 90° содержание дейтерия в нитробензойной кислоте оказалось равным 0,02%.

ОБСУЖДЕНИЕ РЕЗУЛЬТАТОВ

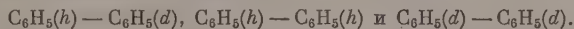
Результаты, полученные при распаде перекиси бензоила в дейтеробензоле и нитроперекиси бензоила в нитродейтеробензоле, не согласуются предположением, что реакции типа (3) и (4) представляют первую стадию образования дифенилов. Если бы протекала реакция:



ли



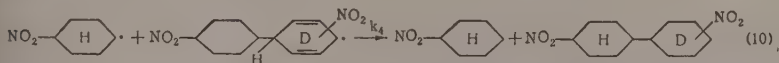
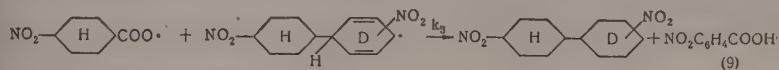
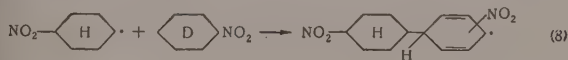
о соединении радикалов $\cdot\text{C}_6\text{H}_5(h)$ и $\cdot\text{C}_6\text{H}_5(d)$ между собой приводило к образованию различных дифенилов:



Причем следовало бы ожидать уменьшения содержания дейтерия при понижении температуры вследствие уменьшения скоростей реакций (6) и (7), приводящих к образованию радикалов $\cdot\text{C}_6\text{H}_5(d)$. Далее рассматриваемый механизм образования дифенила должен приводить к уменьшению содержания дейтерия в дифениле при увеличении концентрации перекиси, так как образование «легкого» дифенила является реакцией второго порядка относительно радикала $\cdot\text{C}_6\text{H}_5(h)$, а образование радикала $\cdot\text{C}_6\text{H}_5(d)$ согласно реакциям (6) и (7) — реакция первого порядка относительно $\cdot\text{C}_6\text{H}_5(h)$. Эти выводы не подтверждаются опытными данными. Обнаруженная нами независимость содержания дейтерия в дифениле от температуры концентрации перекиси (см. табл. 1) противоречит механизму образования дифенила путем соединения фенильных радикалов. В равной мере это относится и к образованию динитродифенилов.

Можно также предположить, что реакция (6) протекает очень быстро во всех исследованных температурах, приводя к образованию радикалов $\cdot\text{C}_6\text{H}_5(d)$, соединение которых дает дифенил $\text{C}_6\text{H}_5(d) - \text{C}_6\text{H}_5(d)$, и что одновременно образуется дифенил $\text{C}_6\text{H}_5(h) - \text{C}_6\text{H}_5(h)$ по механизму первичной комбинации («клеточный» эффект). Если бы эти реакции осуществлялись, при распаде перекиси 4-нитробензоила в бензоле происходило образование значительных количеств динитродифенилов и дифенила. Отсутствие только будучи значительных количеств этих продуктов указывает на то, что реакции (6) и клеточная рекомбинация не протекают в условиях наших опытов в заметной степени.

Полученные нами данные лучше всего согласуются с механизмом образования дифенила путем гомолитического замещения, т. е. через реакцию (8) и последующие реакции отрыва водорода. Например, при распаде нитроперекиси в нитробензоле протекают реакции:



где Н и D обозначены легкие и тяжелые фенильные ядра. При таком механизме образования дифенила и динитродифенила содержание в них дейтерия должно составлять 50% от содержания в растворителе. Опытные значения несколько ниже — 45 и 48% (средние значения). Аналогичным образом при образовании 4-динитродифенила теоретическое содержание дейтерия равно 55,5%, опытная величина — 52,5%. Возможно, что рас-

хождение теоретических и опытных величин связано с тем, что некоторая (небольшая) часть дифенилов образуется по механизму первичной рекомбинации, в результате которой оба фенильные кольца оказываются легкими. Таким образом можно сказать, что фенильные радикалы не отрывают водорода от фенильного кольца [реакция (4)], так как значительно легче происходит реакция присоединения [реакция (5)].

Вопрос об отрыве нитробензотными радикалами атома водорода от фенильного кольца [реакция (3)] может быть окончательно решен путем исследования изотопного состава образующейся нитробензойной кислоты.

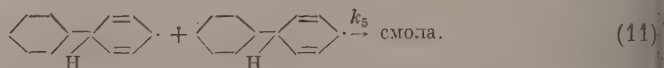
Так как в молекуле нитробензойной кислоты содержится 5 атомов водорода, то процент D дейтерия в нитробензойной кислоте определяется по формуле: $D = D_0/5\alpha$, где D_0 — процент дейтерия в растворителе, α — кинетический изотопный эффект, т. е. $\alpha = k_H/k_D$, как видно из данных табл. 2 и 3, процент дейтерия в нитробензойной кислоте составляет почти точно $1/5$ часть от D_0 , т. е. $\alpha = 1$.

Таким образом при распаде нитроперекиси бензоила в бензоле и нитробензоле образование нитробензойной кислоты протекает без изотопного эффекта; следовательно, переход водорода не является стадией, определяющей скорость реакции образования нитробензойной кислоты.

Этот результат согласуется с предположением о протекании реакций (5) и (9). Присоединение радикала $R_1C_6H_4\cdot$ к фенильному кольцу бензола происходит с одинаковой вероятностью у каждого атома углерода, поэтому в радикале $R-\text{C}_6\text{H}_4\cdot$ — вероятность того, что у простой связи

окажется атом дейтерия, равна доле атомов дейтерия в бензоле. Этот же вывод сохраняется и при реакции с нитробензолом, поскольку в молекуле нитробензола атомы протия и дейтерия расположены беспорядочно относительно нитрогруппы.

Интересно, что содержание дейтерия в смоле, образующейся при распаде перекиси бензоила в бензоле, совпадает с содержанием дейтерия в дифениле (табл. 1). Это указывает на то, что смола не образуется путем «полимеризации» бензола, так как в этом случае она была бы значительно обогащена дейтерием по сравнению с дифенилом. Можно высказать предположение, что образование смолы связано с взаимодействием друг с другом радикалов:



Таким образом полученные нами данные вместе с результатами более ранних исследований позволяют выделить реакции (1), (2), (5), (9) как основные, определяющие распад перекиси в указанных растворителях.

Соотношения между константами скоростей указанных элементарных реакций определяют стехиометрические отношения основных продуктов реакции.

Обозначим через x , y , z стационарные концентрации радикалов



Уравнения (1), (2), (5), (9) позволяют написать следующие уравнения стационарности:

$$\begin{aligned} 2k_0 [\text{ПБ}] &= k_1 x + k_3 x z, \\ k_1 x &= k_2 y [A] + k_4 y z, \\ k_2 y [A] &= k_4 y z + k_3 x z + 2k_5 z^2, \end{aligned}$$

где [ПБ] — концентрация перекиси, [A] — концентрация $C_6H_5R_2$.

Решение системы этих уравнений приводит к следующему выражению:

$$(1 + az)(1 + bz) + (1 + cz^2 / [\text{ПВ}]) = 2, \quad (12)$$

де

$$a = k_4 / k_2 [A]; \quad b = k_3 / k_1; \quad c = k_5 / k_0.$$

Покажем, что опытные данные согласуются с уравнением (12), если принять, что $a \rightarrow 0$, т. е. $k_4 \ll k_2 [A]$. В этом случае

$$(1 + bz)(1 + cz^2 / [\text{ПВ}]) = 2.$$

Обозначим через γ отношение выходов бензойной кислоты ($\Delta\text{БК}$) и CO_2 (ΔCO_2), т. е.

$$\gamma = \frac{\Delta\text{БК}}{\Delta\text{CO}_2} = \frac{k_2 x z}{k_1 x} = bz.$$

Уравнение (12) можно представить в виде

$$(1 + \gamma)(1 + c\gamma^2 / b^2 [\text{ПВ}]) = 2. \quad (13)$$

Если выход смолы мал, как в случаях распада перекиси 4-бензола в бензоле или нитробензоле, то членом $2k_5 z^2$ можно пренебречь, т. е. $c = 0$. Тогда

$$\gamma = 1,$$

т. е. $\Delta\text{БК} = \Delta\text{CO}_2$, независимо ни от концентрации перекиси, ни от величин констант k_0 и k_1 .

Действительно, как указывалось выше, выходы $\Delta\text{БК}$ и ΔCO_2 при распаде перекиси 4-нитробензола в $\text{C}_6\text{H}_5\text{—NO}_2$ не изменяются при изменении концентрации перекиси от 0,00185 до 0,18 М. Незначительные отклонения от $\gamma = 1$ могут объясняться протеканием побочных реакций, например образованием эфира бензойной кислоты.

Если смолообразование по реакции (11) протекает в значительной степени, то из уравнения (13) можно получить следующее выражение:

$$[\text{ПВ}] = \frac{c}{b^2} \frac{1 + \gamma}{1 - \gamma} \gamma^2.$$

В этом случае, в отличие от предыдущего, γ зависит от концентрации перекиси, причем при $[\text{ПВ}] \rightarrow 0$ выход бензойной кислоты стремится к нулю.

В одной из предыдущих работ из этой серии [2] было установлено, что выход бензойной кислоты при распаде перекиси бензоила в бензоле уменьшается до нуля при уменьшении концентрации перекиси бензоила до 0,02 М. Для объяснения этого факта было высказано предположение, что бензойная кислота образуется в результате отрыва бензойным радикалом атома водорода от молекул перекиси бензоила; при малых концентрациях перекиси эта реакция не происходит. Однако в настоящей работе показано, что бензоатные радикалы не отрывают атома водорода от фенильного кольца. Поэтому более вероятно, что снижение выхода бензойной кислоты при уменьшении концентрации перекиси связано с конкуренцией реакций (9) и (11) в согласии с рассмотренным в настоящей работе механизмом распада.

Авторы приносят благодарность проф. А. И. Шатенштейну, участвовавшему в постановке данной работы и содействовавшему ее выполнению.

Авторы выражают также свою благодарность проф. С. С. Медведеву за интерес к работе и обсуждение полученных результатов.

ВЫВОДЫ

1. При распаде перекиси бензоила в дейтеробензоле содержание D в дифениле составляет 45% от содержания D в бензоле. Образующаяся смола содержит 48% D. Эти величины не зависят от температуры (75—100°) и концентрации перекиси (0,02—0,12 М).

2. При распаде перекиси 4-нитробензоила в дейтеробензоле из дифенилов образуется только 4-нитродифенил, содержащий 52,5% D. Нитробензойная кислота содержит 19,5% D.

3. При распаде перекиси 4-нитробензоила в нитродейтеробензоле в динитродифенилах содержится 42% D, в нитробензойной кислоте 19,3% D.

4. Из полученных данных сделаны следующие выводы: дифенилы образуются в результате присоединения фенильного (нитрофенильного) радикала к молекуле бензола (нитробензола) с образованием радикала C_6H_5 — C_6H_5 и последующего отрыва водорода (дейтерия) от этого радикала бензоатным (нитробензоатным) радикалом. Реакция отрыва водорода (дейтерия) протекает без изотопного эффекта.

Физико-химический институт
им. Л. Я. Карпова
Москва

Поступила
3.IV.1956

ЛИТЕРАТУРА

1. Р. И. Милютинская и Х. С. Багдасарьян, Журн. физ. химии, 28, 797, 1954.
2. Х. С. Багдасарьян и Р. И. Милютинская, Журн. физ. химии, 27, 420, 1953.
3. M. Takebayashi, T. Shingaki, Bull. Chem. Soc. Japan, 26, № 8, 475, 1953.
4. Г. А. Разуваев, Г. П. Петухов, А. Ф. Рекашева и Г. П. Миклухин, ДАН, 90, 569, 1953.
5. D. R. Augood, D. H. Hey, Gareth. H. Williams, Journ. Chem. Soc., 2094, 1952.
6. У. Уотерс, Химия свободных радикалов, ИИЛ, М., 1948.
7. C. M. Burnett, «Mechanism of polymer reactions», Intersciens Publishers, New York—London.
8. W. A. Waters, Journ. Chem. Soc., 1797, 1934.
9. M. Jaquiss, M. Szwarc, Discuss. Farad. Soc., № 14, 246, 1953.
10. А. И. Шатенштейн и Е. А. Израилевич, Журн. физ. химии, 28, 3, 1954.
11. C. K. Ingold, C. G. Raison, C. L. Wilson, Journ. Chem. Soc., 915, 1936.
12. А. И. Шатенштейн, Я. М. Варшавский, Н. М. Дыхно, Е. А. Израилевич, Е. Н. Звягинцева, В. В. Калиначенко, Е. А. Яковлева, Изотопный анализ воды, Изд-во АН СССР, 1954.
13. L. Melander, Nature, 163, 599, 1949.

STUDIES ON THE MECHANISM OF RADICAL REACTIONS

IV. THE MECHANISM OF FORMATION OF DIPHENYLS IN THE DECOMPOSITION OF BENZOYL AND 4-NITROBENZOYL PEROXIDES IN BENZENE AND NITROBENZENE

R. I. Milyutinskaya, Kh. S. Bagdasaryan and E. A. Izrailevich
(Moscow)

Summary

On decomposition of benzoyl peroxide in deuterobenzene the content of D in the diphenyl formed is 45% of the D content in the benzene. The resin formed contains 48% D. These values are independent of the temperature (75—100°) and the peroxide concentration (0.02—0.12 M).

On decomposition of 4-nitrobenzoyl peroxide in deuterobenzene, of the diphenyls only the 4-nitro derivative with a 52.5% D content is formed. The nitrobenzoic acid contains 19.5% D.

In the case of 4-nitrobenzoyl peroxide in nitrodeuterobenzene, the dinitrodiphenyls contain 42% D and the nitrobenzoic acid 19.3% D.

From the results obtained the following conclusions were drawn: The diphenyls are formed as the result of the addition of the phenyl (nitrophenyl) radical to the benzene (nitrobenzene) molecule giving the radical C_6H_5 — C_6H_5 ; The cleavage of hydrogen (deuterium) from this radical by the benzoate (nitrobenzoate) radical leads to the formation of diphenyl (nitrodiphenyls). The hydrogen (deuterium) cleavage reaction takes place without the isotopic effect.

СПЕКТРОФОТОМЕТРИЧЕСКОЕ ОПРЕДЕЛЕНИЕ КОНСТАНТ ДИССОЦИАЦИИ 1,8-ДИОКСИ-2-(2'-ОКСИАЗОБЕНЗОЛ)-3,6- НАФТАЛИН ДИСУЛЬФОНАТА НАТРИЯ

В. Н. Толмачев и Г. Г. Ломакина

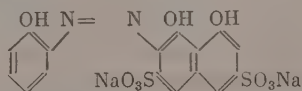
Наряду с широким использованием комплексонов в различных отраслях химии получили большое применение также так называемые «металлоиндикаторы» — вещества, образующие устойчивые комплексные соединения с рядом ионов металлов [1]. Среди этих веществ большую группу составляют различные азокрасители: эриохром черный Т [2], кислый хромовый К, кислотный хром темно-синий [3] и др., образующие комплексные соединения с ионами кальция, магния, меди, цинка и других металлов. Как правило, эти вещества являются многоосновными слабыми кислотами с близкими значениями констант диссоциации. В связи с этим определение этих констант представляет известные трудности. Чаще всего применяются потенциометрический и спектрофотометрический методы.

Важной положительной чертой спектрофотометрического метода является не только возможность определения при помощи его констант диссоциации, но также возможность одновременного исследования спектров поглощения различных форм окрашенного вещества, возникающих в растворе по мере изменения рН среды. При помощи этого метода можно получить важные сведения о строении, прочности и цветности комплексных соединений или каких-либо других веществ, интересных в практическом или теоретическом отношении.

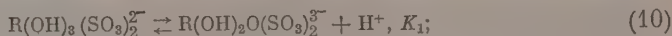
В данной статье изложены результаты спектрофотометрического исследования одного из «металлоиндикаторов» — кислотного хром темно-синий [3], получившего в последние годы применение в комплексометрии. Это вещество интересно также как возможный реактив для колориметрического определения кальция или магния. До сих пор, однако, не определены константы диссоциации красителя, не исследованы комплексные соединения, которые он образует с некоторыми ионами металлов, а также изучены спектры поглощения этого вещества.

Для работы был использован краситель, имеющийся в «Наборе реактивов для определения жесткости воды», выпускаемый химическим заводом им. Войкова. Очистка вещества производилась дважды при помощи аналитического метода: высаливанием из насыщенных растворов ацетатом натрия с последующим кипячением осадка со спиртом. Содержание красителя в препарате, высушенном при 80° С, контролировалось анализом вещества на азот*.

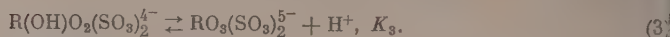
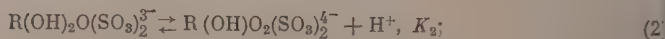
Как видно из приведенной структурной формулы, краситель в вод-



в растворах должен представлять двухзарядный анион $R(OH)_3(SO_3)_2^{2-}$, способный диссоциировать далее как трехосновная слабая кислота:



* Пользуемся случаем выразить благодарность И. К. Гинце за производство изв.



Известно, что константы кислотной диссоциации нафтолов значительно выше констант диссоциации производных фенола. Весьма вероятно поэтому, что в первую очередь должны диссоциировать оксигруппы в нафталлиновой составляющей красителя. Этому должно способствовать также наличие двух сульфогрупп — сильных акцепторов электронов. В том же направлении будет действовать и азогруппа, причем совершенно очевидно, что ее действие будет более сильным на оксигруппу, расположенную к ней в орто-положении. Весьма вероятно, что равновесие (1) описывает отщепление протона именно от этой оксигруппы.

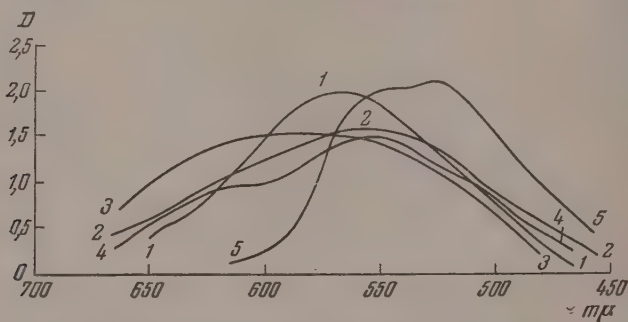


Рис. 1. Кривые оптической плотности растворов красителя: 1 — $\text{pH} > 13$; 2 — $\text{pH} = 10,6$; 3 — $\text{pH} = 9,0$; 4 — $\text{pH} = 7,6$; 5 — $\text{pH} = 4,0-2,0$

Высказанные здесь предположения кажутся нам достаточно обоснованными, так как для реакций большого числа соединений ароматического ряда было показано, что общий эффект нескольких заместителей является аддитивной величиной и складывается из величин эффектов отдельных заместителей [4,5].

Последней, скорее всего, должна диссоциировать оксигруппа в бензольной составляющей красителя. Весьма вероятно, что, в связи со сказанным выше, величина константы K_2 должна быть ближе к K_1 , чем к K_3 .

Кривые поглощения раствора красителя при различных значениях pH приведены на рис. 1. Как видно из рис. 1, в сильнощелочных средах (кривая 1) максимум расположен при $\lambda = 570 \text{ мμ}$. Эта кривая соответствует поглощению иона $\text{RO}_3\text{(SO}_3)_2^{5-}$. При подкислении образуется ион $\text{R(OH)O}_2\text{(SO}_3)_2^{4-}$, кривая поглощения которого (2) имеет максимум при $\lambda = 550 \text{ мμ}$, причем интенсивность поглощения уменьшается. Дальнейшее подкисление приводит вначале к сдвигу максимума к $\lambda \sim 620 \text{ мμ}$ (кривая 3) и уменьшению интенсивности поглощения [что связано с образованием пинов $\text{R(OH)}_2\text{O(SO}_3)_2^{3-}$], а затем максимум смещается к $\lambda = 525 \text{ мμ}$ (кривая 5), причем интенсивность вновь увеличивается [образование пинов $\text{R(OH)}_3\text{(SO}_3)_2^{2-}$]. Дальнейшее подкисление до $\text{pH} = 2-3$ приводит к существенным изменениям в спектре поглощения красителя. С целью сокращения записи в дальнейшем указанные выше ионы будем обозначать символами: R_p^{2-} , R_p^{3-} , R_p^{4-} и R_p^{5-} , а их коэффициенты молярного поглощения: ϵ_2 , ϵ_3 , ϵ_4 и ϵ_5 .

Для определения коэффициентов молярного поглощения были измерены оптические плотности (D) растворов красителя при начальных его концентрациях (c), равных $5 \cdot 10^{-5}$, $2,5 \cdot 10^{-5}$ и $1,25 \cdot 10^{-5} \text{ моль/л}$, в присутствии избытка щелочи, обеспечивающего полную диссоциацию вещества. По урав-

ению закона Бера были рассчитаны значения ε_5 , считая, что $[R_p^{5-}] = c$. Результаты приведены на рис. 2 (кривая 4).

Для определения константы диссоциации K_3 и коэффициентов молярного погашения ε_4 были поставлены опыты при $pH = 12,9; 12,3$ и $12,0$; $= 5 \cdot 10^{-5}$ моль/л; $l = 1,01$ см; $\lambda = 570, 590$ и 600 мкм. Для создания необходимых значений pH был использован гликоколевый буфер. Специальная проверка показала, что компоненты буфера не взаимодействуют с красителем и что оптическая плотность растворов красителя на протяжении нескольких часов изменяется незначительно.

Предполагая, что K_3 значительно отличается от K_2 и K_1 , при расчетах было принято во внимание только равновесие (3). В таком случае, пользуясь приемом, использованным Н. П. Комарем [6], можно вывести формулу, позволяющую рассчитать значение ε_4 , если известны: c , l , ε_5 , а также D' и D'' для двух растворов, у которых $[H^+] = h'$ и h'' :

$$\varepsilon_4 = \frac{h' D' (D'' - c l \varepsilon_5) - h'' D'' (D' - c l \varepsilon_5)}{c l [h' (D'' - c l \varepsilon_5) - h'' (D' - c l \varepsilon_5)]} \quad (4)$$

Идя таким образом ε_4 , можно затем рассчитать равновесные концентрации $x = [R_p^{5-}]$ при разных h по формуле:

$$x = \frac{D - c l \varepsilon_4}{l (\varepsilon_5 - \varepsilon_4)}, \quad (5)$$

затем и значение константы:

$$K_3 = \frac{xh}{c - x}. \quad (6)$$

Результаты расчетов сведены в табл. 1. Среднее значение K_3 , рассчитанное по правилам математической статистики с надежностью $\alpha = 0,95$ равно $(4,0 \pm 0,4) \cdot 10^{-13}$. На рис. 2 приведена кривая поглощения ионов $(OH)_2(SO_3)_2^{4-}$ (кривая 3).

Возможность прямого определения коэффициентов молярного погашения ε_2 вытекает из следующих опытов. Были измерены оптические плотности для растворов красителя в области $pH = 1-11$ при различных длинах волн. На рис. 3 приведена полученная при $\lambda = 600$ мкм кривая зависимости $D = f(pH)$. Как видно из этой кривой, а также из кривой 5 рис. 1, в области $pH = 1-5$ оптическая плотность остается постоянной. Это объясняется тем, что в этих условиях равновесие (1) практически полностью смещено влево, и что, следовательно, $[R_p^{2-}] = c$. Учитывая это, при помощи закона Бера были рассчитаны значения ε_2 для различных длин волн. Результаты приведены на рис. 2 (кривая 1).

Как видно из рис. 3, непосредственно по закону Бера невозможно определить значения коэффициентов ε_3 , так как в области $pH = 8-10$ оптическая плотность не достигает постоянного предельного значения.

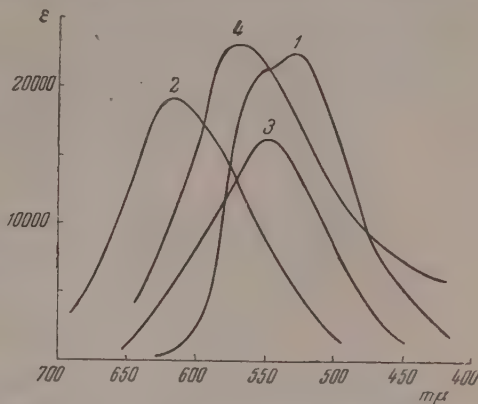


Рис. 2. Кривые поглощения ионов, образующихся при диссоциации красителя; 1 — ε_2 ; 2 — ε_3 ; 3 — ε_4 ; 4 — ε_5

Таблица 1

Результаты расчетов коэффициентов молярного погашения ϵ_4 и константы диссоциации K_3

λ	pH	D	ϵ_4	$\pi \cdot 10^5$	$K_3 \cdot 10^{13}$
570	12,90	1,05	13 380	3,90	4,46
	12,27	0,875		2,11	3,68
	12,00	0,800		1,34	3,66
590	12,90	0,846	10 000	3,56	3,11
	12,27	0,700		2,04	3,68
	12,00	0,660		1,62	4,70
600	12,90	0,700	8 030	3,96	4,78
	12,27	0,566		2,17	4,10
	12,00	0,512		1,44	4,05

$$K_3 = (4,03 \pm 0,4) \cdot 10^{-13}$$

В этой области имеют место два равновесия:



Здесь неизвестны: $[\text{Rp}^{2-}]$, $[\text{Rp}^{3-}]$, $[\text{Rp}^{4-}]$, K_1 , K_2 и ϵ_3 . Измеренная при какой-либо длине волны оптическая плотность (если $l = 1$ см) равна

$$D = [\text{Rp}^{2-}] \epsilon_2 + [\text{Rp}^{3-}] \epsilon_3 + [\text{Rp}^{4-}] \epsilon_4. \quad (7)$$

Ясно, что

$$c = [\text{Rp}^{2-}] + [\text{Rp}^{3-}] + [\text{Rp}^{4-}]. \quad (8)$$

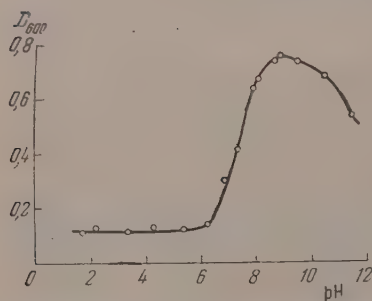


Рис. 3. Зависимость оптической плотности раствора красителя (при $\lambda = 600$ мμ) от pH среды

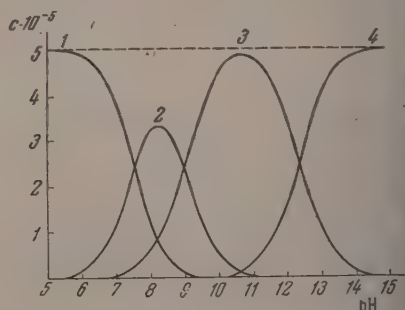


Рис. 4. Изменение равновесных концентраций различных форм красителя в зависимости от pH среды: 1 — Rp^{2-} ; 2 — Rp^{3-} ; 3 — Rp^{4-} ; 4 — Rp^{5-}

Комбинируя уравнения (1), (2), (7), (8), можно получить уравнение с тремя неизвестными K_1 , $K_1 \epsilon_3$ и $K_1 K_2$:

$$h^2 \left(\frac{D}{c} - \epsilon_2 \right) + \left(\frac{D}{c} - \epsilon_3 \right) h K_1 + \left(\frac{D}{c} - \epsilon_4 \right) K_1 K_2 = 0. \quad (9)$$

Определение искомых констант удобно провести по методу подстановки в уравнение (9) определенных значений ϵ_3 , что значительно упрощает

расчеты и уменьшает получаемые при этом погрешности. По данным кривой рис. 3 значение ϵ_3 при $\lambda=600$ мμ не должно быть меньше 15 000 (расчет при pH = 9). Для расчетов были использованы значения D_{600} при pH = 7,0; 7,5; 8,0; 8,5; 9,0 и 9,5. Задаваясь определенной величиной $\epsilon_3 > 15 000$ и используя два значения оптической плотности при двух значениях h таких комбинаций может быть 15), был подобран коэффициент молярного поглощения $\epsilon_3 = 18 000$, при котором постоянство значений K_1 и K_2 можно было считать удовлетворительным (табл. 2). В расчетах были приняты $\epsilon_2 = 5 \cdot 10^{-5}$ моль/л, $\epsilon_2 = 2400$ и $\epsilon_4 = 8030$. Средние значения констант K_1 , K_2 , с надежностью $\alpha = 0,95$ [7] для 15 комбинаций, оказались равными: $K_1 = (2,8 \pm 0,5) \cdot 10^{-8}$ и $K_2 = (5,3 \pm 4,0) \cdot 10^{-10}$.

Таблица 2

Результаты расчетов констант диссоциации K_1 и K_2 при подстановке значения $\epsilon_3 = 18 000$ в уравнение (9)

Комбинация	h_i	h_k	D_i	D_k	$K_1 \cdot 10^8$	$K_2 \cdot 10^{10}$
1—2	$1,0 \cdot 10^{-7}$	$3,2 \cdot 10^{-8}$	0,405	0,460	3,9	—
1—3	$1,0 \cdot 10^{-7}$	$1,0 \cdot 10^{-8}$	0,405	0,650	3,8	5,0
1—4	$1,0 \cdot 10^{-7}$	$3,2 \cdot 10^{-9}$	0,405	0,730	3,8	13,0
1—5	$1,0 \cdot 10^{-7}$	$1,0 \cdot 10^{-9}$	0,405	0,770	3,8	3,7
1—6	$1,0 \cdot 10^{-7}$	$3,7 \cdot 10^{-10}$	0,405	0,730	3,8	2,0
2—3	$3,2 \cdot 10^{-8}$	$1,0 \cdot 10^{-8}$	0,460	0,650	2,3	10,0
2—4	$3,2 \cdot 10^{-8}$	$3,2 \cdot 10^{-9}$	0,460	0,730	2,3	11,0
2—5	$3,2 \cdot 10^{-8}$	$1,0 \cdot 10^{-9}$	0,460	0,770	2,3	3,8
2—6	$3,2 \cdot 10^{-8}$	$3,2 \cdot 10^{-10}$	0,460	0,730	2,3	2,0
3—4	$1,0 \cdot 10^{-8}$	$3,2 \cdot 10^{-9}$	0,650	0,730	2,1	11,0
3—5	$1,0 \cdot 10^{-8}$	$1,0 \cdot 10^{-9}$	0,650	0,770	2,0	3,8
3—6	$1,0 \cdot 10^{-8}$	$3,2 \cdot 10^{-10}$	0,650	0,730	2,0	2,0
4—5	$3,2 \cdot 10^{-9}$	$1,1 \cdot 10^{-9}$	0,730	0,770	1,2	2,7
4—6	$3,2 \cdot 10^{-9}$	$3,2 \cdot 10^{-10}$	0,730	0,730	2,0	2,0
5—6	$1,0 \cdot 10^{-9}$	$3,2 \cdot 10^{-10}$	0,770	0,730	0,4	2,8

$$K_1 = (2,8 \pm 0,5) \cdot 10^{-8}; K_2 = (5,3 \pm 4,0) \cdot 10^{-10}$$

Таким образом, как и предполагалось, величины констант K_1 и K_2 ниже друг к другу, чем к константе $K_3 = 4,5 \cdot 10^{-13}$.

Все опыты проводились при комнатной температуре, в пределах 19—20°С. Ионная сила растворов, использованных для определения констант, даже в худших случаях не превышала величины 0,01.

При помощи найденных констант диссоциации для раствора красителя $c = 5 \cdot 10^{-5}$ моль/л были рассчитаны равновесные концентрации ионов R^{2-} , Rp^{3-} , Rp^{4-} и Rp^{5-} при различных значениях pH. Результаты расчетов представлены на рис. 4. Кривые наглядно показывают распределение ионной концентрации красителя по различным ионам при различных значениях pH.

ВЫВОДЫ

1. Исследованы в зависимости от pH среды спектры поглощения водных растворов красителя кислотно-хром темно-синего, предложенного в качестве металлоиндикатора для комплексометрического титрования.
2. При помощи спектрофотометрического метода определены константы диссоциации красителя: $K_1 = (2,8 \pm 0,5) \cdot 10^{-8}$, $K_2 = (5,3 \pm 4,0) \cdot 10^{-10}$, $K_3 = (4,0 \pm 0,4) \cdot 10^{-13}$.

ЛИТЕРАТУРА

1. К. Б. Яцимирский, Завод. лабор., 21, 1147, 1275, 1955.
2. G. Schwarzenbach, W. Biedermann, Helv. Chim. Acta, 31, 678, 1948.
3. Т. Б. Стюнкель, Е. М. Якимец, Д. А. Савиновский, Журн. анал. химии, 8, 163, 1953.
4. H. Jaffe, Chem. Rev., 53, 191, 1953.
5. Л. М. Литвиненко, С. В. Цукерман, А. П. Греков, ДАН, 101, 265, 1955; Укр. хим. журн. 21, 510, 1955.
6. Н. П. Комарь, Труды хим. факультета и Н. И. ин-та химии Харьковского гос. ун-та, 8, 56, 1951; 12, 47, 1954.
7. Н. П. Комарь, Журн. анал. химии 7, 325, 1952.

SPECTROPHOTOMETRIC DETERMINATION OF THE DISSOCIATION
CONSTANTS OF SODIUM 1,8-DIOXY-2-(2'-OXYAZOBENZENE)-3,6-
NAPHTHALENE DISULPHONATE

V. N. Tolmachev and G. G. Lomkina

(Kharkov)

Summary

The absorption spectra have been studied of a «metal indicator» — 1,8-dioxy-2-(2'-oxyazobenzene)-3,6-naphthalene disulphonate. With the aid of a spectrophotometric method the constants of the ternary dissociation of the dye: $K_1 = 2.8 \cdot 10^{-8}$, $K_2 = 5.3 \cdot 10^{-10}$, $K_3 = 4.0 \cdot 10^{-13}$.

К ВОПРОСУ О КИНЕТИЧЕСКОМ УРАВНЕНИИ ГЕТЕРОГЕННО-КАТАЛИТИЧЕСКОЙ РЕАКЦИИ КОНВЕРСИИ ОКИСИ УГЛЕРОДА С ВОДЯНЫМ ПАРОМ

Б. И. Попов

Скорость гетерогенно-каталитической реакции, протекающей в реальных условиях, зависит, как правило, от скоростей элементарных стадий, имеющих место на границе раздела фаз (адсорбция, химический акт, десорбция), от скоростей подвода реагентов к поверхности раздела и от условий отвода тепла и продуктов реакции от поверхности катализатора объемом.

Кинетическое уравнение реального процесса должно содержать параметры, характеризующие скорости отдельных ступеней реакции. Для большинства конкретных гетерогенно-каталитических реакций вид кинетического уравнения реального процесса не установлен вследствие отсутствия достаточно достоверных сведений о механизме и скоростях элементарных стадий на поверхности катализатора и ввиду больших математических трудностей, встречающихся при решении отдельных задач.

Исследование скоростей элементарных стадий реакции на поверхности катализатора, исследование механизма реакции и причины каталитического действия являются основными вопросами кинетики гетерогенно-каталитических реакций, решение которых необходимо для сознательного отбора катализаторов. Поэтому исследования кинетики проводятся в условиях, исключающих влияние процессов подвода реагентов к поверхности катализатора и отвода тепла и продуктов реакции (кинетическая область). На основании опытных данных и теоретических положений выносятся соответствующие кинетические уравнения для кинетической области и высказываются предположения относительно механизма реакции на поверхности катализатора. Справедливость кинетических уравнений представлений о механизме реакции определяется в значительной степени тем, насколько полно устранено искажающее влияние макрофакторов условий опытов, на основании которых делаются выводы.

Кинетика реакции конверсии окиси углерода с водяным паром на железистоокисных катализаторах:



исследована недостаточно полно. Нет уверенности в том, какое из исследований лучше всего отображает действительный процесс. Исследователи указывают на различные кинетические закономерности и предлагают различные кинетические уравнения реакции.

В. А. Ройтер с сотрудниками [1], П. П. Кириллов [2] и В. Ф. Саксин [3] нашли, что водород не влияет на скорость реакции, а уголекислота тормозит ее. Н. В. Кульков и М. И. Темкин [4] пришли к обратному заключению. В соответствии с этим предложен ряд кинетических уравнений (см. табл. 1). Натта и Ригаменти [5], Падовани Тоттери [6], Лаунихлер [7], Ки Чин-Ри [8] указывают на применимость к процессу конверсии окиси углерода кинетического уравнения бимолекулярной реакции.

В работах Ригаменти и Алларди (катализатор — окись цинка) [9], Ф. П. Иванова с сотрудниками [10] и автора [11, 12] опытные данные рассчитываются по уравнению мономолекулярной реакции. Необходимо отметить, что опытные данные одних авторов, хорошо согласуясь с их собственными уравнениями, не оправдывают кинетических уравнений других авторов [2, 3, 12].

Кинетические уравнения, предложенные для гетерогенно-каталитической реакции конверсии окиси углерода с водяным паром*

Таблица 1

№ уравнения	Исходное дифференциальное уравнение	Порядок реакции		Расчетное уравнение		Ссылка на работу	Примечания
		по CO	по H ₂ O				
(1)	$\frac{dx}{d\tau} = k_1(1-x)$	1	0	$k_1 = \frac{2,3}{\tau} \lg \frac{1}{1-x}$	[9, 10]		x — степень контактирования
(2)	$\frac{dx}{d\tau} = k_2 C_{H_2O_{\text{ср}}} (x-x_m)$	1	—	$k_2 = \frac{2,3}{\tau C_{H_2O_{\text{ср}}}} \lg \frac{x_m}{x_m - x}$	[7]		$C_{H_2O_{\text{ср}}}$ — средняя концентрация H ₂ O по длине реакционной зоны
(3)	$\frac{dx}{d\tau} = k_3 (x_m - x)$	1	0	$k_3 = \frac{2,3}{\tau} \lg \frac{x_m}{x_m - x}$	[11, 12]		x_m — равновесная степень контактирования
(4)	$\frac{dx}{d\tau} k_4 (1-x) - k'_4 x$	1	0	$k_4 = \frac{2,3x_m}{\tau} \lg \frac{x_m}{x_m - x}$	[9]		
(5)	$\frac{dx}{d\tau} = k_5 (1-x) - k_5 C_0 x^2$	1	0	$k_5 = \frac{2,3x_m}{\tau(2-x_m)} \lg \frac{x_m}{x_m + x - x_m}$	[9]		C_0 — концентрация CO в исходной смеси
(6)	$\frac{dC_{CO}}{d\tau} = k_6 C_{CO} \left(\frac{C_{H_2O}}{C_{H_2}} \right)^{0,5}$	1	0,5	$k_6 = \frac{V C_0}{\tau} \left(\frac{2,3 \lg \frac{1+Vx}{1-Vx}}{1-Vx} - 2 \sqrt{x} \right)$	[4]		
(7)	$\frac{dC_{CO}}{d\tau} = k_7 C_{H_2O} \left(\frac{C_{CO}}{C_{CO_2}} \right)^{0,5}$	0,5	1	$k_7 = \frac{C_0 x}{1,5(4-C_0)} \frac{Vx}{\tau} \left(1 + (0,3 + \frac{0,6C_0}{1-C_0})x + \left(0,16 + \frac{0,214C_0}{1-C_0} \right) x^2 \right)$	[3]		
(8)	$\frac{dC_{CO}}{d\tau} = k_8 \left(\frac{C_{CO}}{C_{CO}} \right)^{0,5}$	0,5	—	$k_8 = \frac{2C_0}{[2(1-C_0) - Cx]} \left(\arctg \sqrt{\frac{x}{1-x}} - \sqrt{x(1-x)} \right)$	[2]		
(9)	$\frac{dx}{d\tau} = k_9 (1-x) [1 - C_0(1+x)] - k'_9 x^2$	1	1	$k_9 = \frac{2,3}{\tau \Delta} \lg \frac{-C_0 x (\Delta + b) - 2d}{C_0 x (\Delta - b) - 3d}$	[6, 5, 8]		$\Delta = \sqrt{b^2 - 4ad}$; $a = 1 - \frac{k'_9}{k_9}$
(10)	$\frac{dx}{d\tau} = k_{10} \frac{1}{V C_0} \sqrt{1-x}$	0,5	0	$k_{10} = \frac{V C_0}{\tau} [1 - \sqrt{1-x}]$	[9]		$b = -1$; $d = C_0(1 - C_0)$

Несоответствие между кинетическими данными отдельных исследователей может быть вызвано различным влиянием процессов тепло- и массопередачи на скорость реакции и различными температурными интервалами исследований. Последнее при разных температурных коэффициентах скоростей элементарных стадий реакции на поверхности может обусловить изменение порядка реакции по отдельным компонентам с изменением температуры. То, что процессы переноса могут тормозить реакцию, отмечается в работах В. А. Ройтера с сотрудниками [1], И. П. Кириллова [2], В. Ф. Саксия [3], Ригамонти и Аглиарди [9], К. Н. Белоногова и автора [11, 12].

Подробно этот вопрос рассматривается в работах [11, 12], где показано сильное торможение реакции подводом реагентов к активной поверхности. Исследование роли процессов переноса вещества в реакции конверсии окиси углерода [11, 12] проводилось методом капилляров, сущность которого состоит в следующем. Катализатор прессуется в виде полого цилиндрического стержня, по внутреннему каналу которого пропускается реакционная смесь. С различных участков по длине стержня-капилляра отбираются пробы на анализ и рассчитывается константа скорости процесса, учитывающая влияние процессов переноса. Теория вопроса применительно к методу капилляра для мономолекулярной обратимой реакции изложена в работе [13]. Г. К. Боресков и М. И. Темкин на одном из совещаний отметили, что в методе капилляра диффузионное торможение сказывается наиболее сильно, а поскольку в большинстве работ по кинетике реакции конверсии окиси углерода катализатор прессуется в виде цилиндров или гранул, то в них диффузионное торможение может быть незначительным. Это замечание было проверено.

Пользуясь положениями, изложенными ранее [13], мы вывели кинетическое уравнение с учетом процессов переноса вещества для мономолекулярной обратимой реакции первого порядка, протекающей на сферических гранулах. Полученное уравнение имеет вид:

$$\ln \frac{c_0 - c_p}{c - c_p} = K \frac{V_{\text{кат}}}{W}, \quad (11)^*$$

где c_0 , c , c_p — начальная, текущая и равновесная концентрации исходного вещества (применительно к рассматриваемой реакции конверсии — концентрации окиси углерода); $V_{\text{кат}}$ — объем катализатора, омываемый реакционной смесью при времени соприкосновения τ ; W — объемная скорость реакции смеси:

$$K = \frac{3}{R} \frac{1 + K_p}{\frac{1 + K_p \frac{\beta_1}{\beta_2}}{\beta_1} + \frac{R}{\epsilon N_1} \frac{p_1^2}{p_1 R \operatorname{cth} p_1 R - 1}}, \quad (12)$$

$$p_1 = \left[\frac{N_1}{D_1^x} \left(1 + K_p \frac{D_1^x}{D_2^x} \right) \right]^{1/2}. \quad (13)$$

Здесь введены обозначения: R — радиус сферической гранулы; K_p — обратная константа равновесия мономолекулярной реакции $A \rightleftharpoons B$ (для реакции конверсии $K_p = [\text{CO}]_{\text{равн}} / [\text{CO}_2]_{\text{равн}}$); ϵ — пористость катализатора; N_1 — константа скорости прямой реакции на поверхности единицы объема катализатора; β_1 , β_2 — константы скоростей внешней диффузии реагирующего вещества A (окиси углерода) и продукта реакции (CO_2); D_1^x , D_2^x — эффективные коэффициенты диффузии A и B внутри катализатора.

Степень использования внутренней поверхности катализатора ζ определяется, как отношение наблюдаемой константы скорости процесса к той, которая была бы при отсутствии диффузионного торможения. Поскольку внешне-диффузионное торможение в реакции конверсии окиси углерода незначительно, как было показано [11, 12], можно пренебречь первым слагаемым знаменателя уравнения (12). Тогда

$$\zeta = \frac{3}{p_1 R} \left(\operatorname{cth} p_1 R - \frac{1}{p_1 R} \right). \quad (14)$$

Величина $1 - \zeta$ характеризует внутридиффузионное торможение.

* Начало нумерации уравнений приведено в табл. 1.

По опытным значениям p_1 , найденным методом капилляров (см. таблицу работы [11]), была рассчитана степень использования внутренней поверхности ξ для железоокисного конверсионного катализатора, спрессованного в виде сферических гранул. Результаты расчета приведены в табл. 2.

Из табл. 2 видно, что в пределах 300—400° С в гранулах диаметром до 3 мм ξ близка к 100%, т. е. диффузионное торможение отсутствует. Выше 400° степень использования внутренней поверхности в гранулах с $R > 0,1$ см значительно отличается от 100%, т. е. скорость реакции зависит от скорости подвода реагентов к поверхности катализатора. Активность

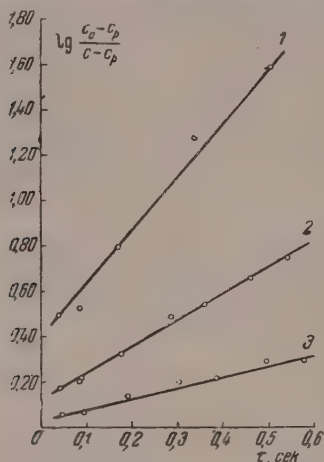


Рис. 1. Исходная смесь: 14,4% CO; 16,0% H₂; 60% H₂O; 9,6% N₂. 1 — $t = 380^\circ$ С; 2 — $t = 340^\circ$ С; 3 — $t = 300^\circ$ С

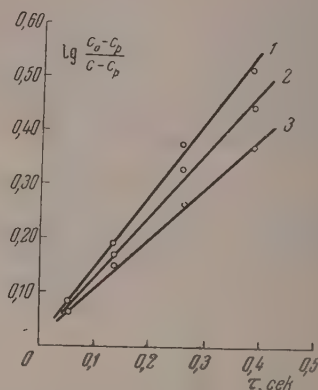


Рис. 2. Исходная смесь: 9,46% CO; 71,4% H₂O; 1—1,09% CO₂; 2—2,57% CO₂; 3—4,89% CO₂; остальное — азот; $t = 320^\circ$ С

применявшегося в работе катализатора близка к той, которую имели катализаторы в работах других исследователей, спрессованные в виде цилиндров или гранул размером 2—4 мм.

Эти соображения и сравнение значений кажущейся энергии активации реакции приводят к выводу, что в упомянутых работах по кинетике конверсии окиси углерода имело место диффузионное торможение. Предложенные кинетические уравнения отвечают не кинетической области, в которой диффузионное торможение равно нулю, а переходной, в которой скорость процесса зависит от скоростей подвода реагентов и отвода продуктов. Поэтому кинетические уравнения, не учитывающие процессы подвода реагентов, хотя в условиях опыта оно имело место, рассматриваются как эмпирические уравнения реального процесса.

По опытным данным, полученным по методу капилляра, проверена справедливость предложенных кинетических уравнений (табл. 1), которые для этой цели были приведены к одинаковым обозначениям. Результаты проверки даны в табл. 3—7.

В пределах 300—400° С опытные данные удовлетворительно согласуются с кинетическим уравнением молекулярной обратимой реакции и с уравнениями, которые можно привести к нему. Другие уравнения, в том числе уравнения В. Ф. Саккина, И. П. Кириллова и Н. В. Кульковой и М. И. Темкина, не удовлетворяют нашим опытным данным.

Уравнение мономолекулярной обратимой реакции было проверено по опытным данным И. П. Кириллова и В. Ф. Саккина [3]. Результаты проверки даны на рис. 1 и 2. Из них видно, что опытные данные этих авторов не опровергают уравнения (3) табл. 1, а отклонения от него (прямая

Таблица 2

Степень использования внутренней поверхности ζ в процентах для железоокисного катализатора в виде сферических гранул

T, °C	$R, \text{ см}$ $p_1, \text{ см}^{-1}$								Примечания
		0,05	0,10	0,15	0,20	0,30	0,50	0,70	
300	2,20	100	100	99,5	98,9	97,2	92,7	87,1	Взяты средние значения p_1 , полученные по методу капилляра [11, 12] p_1 получено экстраполяцией
350	4,60	100	98,5	96,9	94,8	89,3	76,4	64,8	
400	7,00	99,0	96,9	93,3	89,0	79,2	61,3	48,7	
450	11,70	98,8	91,9	84,1	75,9	61,1	42,5	32,2	
500	15,3	97,3	87,2	75,1	66,1	51,1	34,1	25,4	

Таблица 3*

Константы скорости прямой реакции, рассчитанные по различным кинетическим уравнениям, $T = 300^\circ\text{C}$; трубка № 1

$$c_0 = 0,126; x_m = 0,996; v = 3,73 \text{ м/сек}$$

$\cdot 10^2 \text{ сек.}$	$x \%$	k_1	k_2	k_3	k_4	k_5	k_6	k_7	k_8	k_9	k_{10}
0,54	8,7	16,6	20,1	17,5	17,0	17,7	1,13	0,47	0,46	19,1	2,89
1,34	16,6	13,6	16,1	13,9	13,5	13,6	1,27	0,52	0,52	15,6	2,28
2,41	33,3	16,8	19,7	16,8	16,8	16,8	2,35	0,88	0,88	19,7	2,69
4,02	41,2	13,2	16,0	13,4	13,3	13,2	2,08	0,75	0,76	15,6	2,06
5,64	53,1	13,4	16,3	13,5	13,5	13,4	2,46	0,83	0,84	16,1	1,98
8,04	65,8	13,3	16,3	13,4	13,4	13,3	2,78	0,85	0,89	16,1	1,83

$$c_0 = 0,253; x_m = 0,988; v = 3,70 \text{ м/сек}$$

$\cdot 10^2 \text{ сек.}$	$x \%$	k_1	k_2	k_3	k_4	k_5	k_6	k_7	k_8	k_9	k_{10}
0,54	9,4	18,3	24,9	18,8	18,5	18,3	1,77	1,26	1,27	24,0	4,38
1,35	16,6	13,5	19,0	13,8	13,5	13,5	1,75	1,24	1,26	18,5	3,21
2,43	28,8	14,0	19,7	14,0	14,0	14,0	2,52	1,67	1,65	19,8	3,21
4,05	39,1	12,3	17,9	12,5	12,4	12,3	2,64	1,68	1,72	17,7	2,73
5,68	52,6	13,1	19,7	13,4	13,2	13,2	3,38	2,01	2,09	19,6	2,77
8,11	64,0	12,6	19,2	12,8	12,7	12,7	3,68	2,02	2,13	19,5	2,48

$$c_0 = 0,392; x_m = 0,961; v = 3,72 \text{ м/сек}$$

$\cdot 10^2 \text{ сек.}$	$x \%$	k_1	k_2	k_3	k_4	k_5	k_6	k_7	k_8	k_9	k_{10}
0,54	9,2	17,9	31,0	18,3	18,0	18,2	2,45	2,37	2,35	29,2	5,57
1,34	15,3	12,5	22,5	13,0	12,4	12,4	2,06	2,14	1,72	21,5	3,74
2,42	27,1	13,1	24,5	13,6	13,1	13,2	2,32	3,02	2,92	23,8	3,81
4,03	38,6	12,1	23,5	12,5	12,3	12,2	3,13	3,35	3,26	23,4	3,34
5,65	50,3	12,4	25,7	13,1	12,6	12,5	3,86	3,87	4,00	25,4	3,27
8,04	61,5	11,8	26,1	12,7	12,2	12,0	4,21	3,95	4,15	26,0	2,95

* Здесь и далее в таблицах индекс у k отвечает номеру кинетического уравнения (табл. 1).

Таблица 4

Константы скорости прямой реакции, рассчитанные по различным кинетическим уравнениям, $T = 400^\circ\text{C}$; трубка № 1

$$c_0 = 0,139; x_m = 0,984; v = 3,79 \text{ м/сек}$$

$\tau \cdot 10^2 \text{ сек.}$	$x \%$	k_1	k_2	k_3	k_4	k_5	k_6	k_7	k_8	k_9	k_{10}
0,51	16,5	35,7	41,6	35,8	35,5	35,5	3,48	1,51	1,40	41,6	6,22
1,32	40,9	39,8	48,3	40,7	40,1	40,1	6,52	2,55	2,57	47,7	6,53
2,37	68,3	48,4	61,7	50,2	49,2	48,8	10,9	3,49	3,58	60,6	6,87
3,96	83,5	45,4	59,1	47,5	46,8	46,5	12,0	3,05	3,41	58,9	5,59
5,54	92,1	45,8	61,8	49,0	49,1	48,3	13,2	2,63	3,20	62,2	4,83
7,92	95,0	37,9	53,2	42,2	43,3	42,7	11,2	1,95	2,49	53,4	3,67

$$c_0 = 0,262; x_m = 0,960; v = 3,93 \text{ м/сек}$$

$\tau \cdot 10^2 \text{ сек.}$	$x \%$	k_1	k_2	k_3	k_4	k_5	k_6	k_7	k_8	k_9	k_{10}
0,50	16,8	37,3	52,9	37,9	37,1	37,0	5,12	3,56	3,52	51,2	9,0
1,27	40,8	41,3	64,0	43,8	41,9	41,4	9,26	6,06	6,06	60,9	9,32
2,29	64,0	44,6	61,8	46,4	46,0	45,3	15,4	7,53	7,82	70,9	8,94
3,82	79,5	41,4	68,4	43,3	44,3	43,2	14,3	6,83	7,53	71,8	7,33
5,35	89,0	41,2	73,0	45,3	46,9	45,8	15,6	6,10	7,24	79,3	6,40
7,64	93,0	34,8	70,5	43,4	43,6	42,3	13,7	4,67	5,82	75,8	4,93

$$c_0 = 0,406; x_m = 0,888; v = 3,96 \text{ м/сек}$$

$\tau \cdot 10^2 \text{ сек.}$	$x \%$	k_1	k_2	k_3	k_4	k_5	k_6	k_7	k_8	k_9	k_{10}
0,50	17,5	38,7	78,3	43,7	38,9	38,7	6,68	7,52	7,49	69,1	11,6
1,26	39,7	40,2	91,3	46,9	41,7	40,7	11,1	12,1	11,8	80,4	11,3
2,27	57,9	38,1	97,9	46,6	41,3	39,7	13,1	13,4	13,9	86,6	9,85
3,79	72,0	33,6	101,0	44,2	39,0	37,0	13,4	12,3	13,6	89,5	7,92
5,30	81,1	31,4	108,0	46,4	40,9	38,4	13,7	11,2	13,7	102	6,80
7,58	85,3	25,2	98,7	41,5	37,9	36,2	11,5	8,68	10,5	101	5,18

$\lg \frac{c_0 - c_p}{c - c_p}$ — τ выходит не из начала координат) вызваны, по-видимому, особенностями в проведении эксперимента. В работах упомянутых авторов катализатор прессовался в виде цилиндров, которые затем загружались в реакционную трубку на сетку или небольшой слой кварцевых зерен.

Снизу вверх подавалась реакционная смесь. При таком проведении эксперимента в первых по ходу газа слоях катализатора возможно значительное повышение температуры (на $8-12^\circ$), по сравнению с последними слоями [3,7]. Далее известно, что катализатор во время работы «пылит». Катализаторная пыль попадает в нижний слой кварца или проходит через сетку в нижнюю часть реакционной трубки, где и катализирует реакцию. Кроме того, фиктивное время соприкосновения газа с катализатором может значительно отличаться от действительного, вследствие образования местных проходов между зёрнами катализатора и так называемого «стеночного эффекта».

Все это приводит к большей степени превращения для данного времени соприкосновения, чем было бы при отсутствии указанных явлений.

В методе капилляра отмеченные недостатки почти полностью устраняются. В. А. Ройтер с сотрудниками [1], проверяя уравнение Лауэнхлера [7], получили результаты, аналогичные рис. 1 и 2.

Таблица 5

Константы скорости прямой реакции, рассчитанные по различным кинетическим уравнениям, $T = 500^\circ\text{C}$; трубка № 5

$$c_0 = 0,118; \quad x_m = 0,973; \quad v = 4,23 \text{ м/сек}$$

$\cdot 10^2$ сек.	$x \%$	k_1	k_2	k_3	k_4	k_5	k_6	k_7	k_8	k_9	k_{10}
0,47	40,2	109,2	131,3	113	110	109	16,6	5,73	5,67	128	16,3
1,18	61,8	81,5	101	85,2	83,1	82,4	15,8	4,80	4,95	98	11,1
2,12	81,1	78,5	102	84,7	82,1	81,0	18,4	4,41	4,83	98,8	9,15
3,54	91,1	69,2	94,3	78,2	75,6	74,3	17,8	3,29	3,96	92,6	6,82
4,96	94,9	58,8	90,3	74,7	70,2	68,9	16,2	2,53	3,24	90,4	5,36
7,09	96,1	45,7	75,2	62,0	60,3	59,1	12,7	1,83	2,38	74,8	3,89
	96,4	46,9	81,1	66,8	64,3	63,0	13,0	1,84	2,41	81,6	3,93

$$c_0 = 0,236; \quad x_m = 0,928; \quad v = 4,25 \text{ м/сек}$$

$\cdot 10^2$ сек.	$x \%$	k_1	k_2	k_3	k_4	k_5	k_6	k_7	k_8	k_9	k_{10}
0,47	39,5	107	164	118	109	108	22,4	13,3	13,4	151	22,9
1,18	57,8	73,2	120	83,5	76,7	74,8	19,4	10,7	10,7	109	14,4
2,12	79,9	75,6	140	93,5	86,2	82,9	24,7	10,6	11,7	130	12,6
3,53	85,2	54,1	107	71,3	65,7	62,8	18,7	7,24	8,3	101	8,47
4,94	88,8	44,3	96,7	63,6	59,1	56,2	15,9	5,61	6,62	93,2	6,54
7,06	91,0	34,1	84,7	55,6	51,8	49,2	12,4	4,12	5,00	84,2	4,82

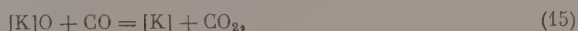
$$c_0 = 0,369; \quad x_m = 0,840; \quad v = 4,40 \text{ м/сек}$$

$\cdot 10^2$ сек.	$x \%$	k_1	k_2	k_3	k_4	k_5	k_6	k_7	k_8	k_9	k_{10}
0,46	37,7	103	230	129	109	105	26,4	25,2	25,2	188	27,9
1,44	57,5	75	192	101	85,0	79,9	24,7	21,9	22,6	157	18,6
2,04	71,8	62	190	94,0	79,3	73,0	23,4	18,8	20,4	156	14,0
3,41	77,3	43,4	152	74,3	62,2	56,6	17,3	13,0	14,5	127	9,35
4,78	79,9	33,6	131	63,3	53,1	47,8	13,6	9,95	11,3	113	7,01
6,82	81,1	24,4	104	50,1	41,4	37,3	12,2	7,18	8,20	88,9	5,03

Таким образом мы приходим к выводу, что в пределах $300\text{--}400^\circ\text{C}$ процесс конверсии окиси углерода удовлетворительно описывается кинетическим уравнением мономолекулярной обратимой реакции, и реакция имеет первый порядок по окиси углерода и нулевой по водяному пару.

Выше 400°C ни одно из предложенных уравнений не даст постоянного констант скоростей реакции. Лучше всего с опытными данными согласается уравнение Н. В. Кульковой и М. И. Темкина. Реакция имеет кажущийся первый порядок по окиси углерода и $\sim 0,5$ по водяному пару. Следовательно, с изменением температуры в реакции конверсии окиси углерода меняется кажущийся порядок по отдельным компонентам.

Изложенные выше закономерности могут быть объяснены на основании схемы механизма, предложенного Н. В. Кульковой и М. И. Темкиным [1] и проверенного впоследствии по скорости обмена O^{18} между окисью углерода и уголекислотой на железоокисном катализаторе [14]:



з $[\text{K}]$ O и $[\text{K}]$ — места на поверхности катализатора.

Таблица 6

Константы скорости прямой реакции по уравнениям (3) и (6) табл. 1

Трубка № 3, $T = 350^\circ\text{C}$

$c_0 = 0,108; x_m = 0,994;$ $v = 3,84 \text{ м/сек}$				$c_0 = 0,234; x_m = 0,981;$ $v = 3,93 \text{ м/сек}$				$c_0 = 0,336; x_m = 0,957;$ $v = 4,25 \text{ м/сек}$			
$\tau \cdot 10^3 \text{ сек.}$	$x \%$	k_3	k_4	$\tau \cdot 10^3 \text{ сек.}$	$x \%$	k_3	k_4	$\tau \cdot 10^3 \text{ сек.}$	$x \%$	k_3	k_4
0,52	16,4	34,0	3,10	0,51	15,6	34,0	4,27	0,47	15,5	36,2	5,54
1,30	32,3	30,1	3,84	1,27	29,3	28,1	4,92	1,18	28,0	29,6	5,89
2,34	50,1	30,5	4,88	2,29	45,6	27,3	6,13	2,12	44,5	29,4	7,45
3,90	65,9	27,8	5,34	3,82	62,3	26,2	7,13	3,53	61,8	29,4	8,99
5,47	78,0	27,9	6,06	5,35	74,8	26,6	8,92	4,94	71,0	27,3	9,07
7,81	89,0	28,9	6,96	7,63	85,0	26,2	8,64	7,06	82,1	27,3	9,80

Таблица 7

Константы скорости прямой реакции по уравнениям (3) и (6) (табл. 1)

Трубка № 3, $T = 450^\circ\text{C}$

$c_0 = 0,115; x_m = 0,978;$ $v = 4,08 \text{ м/сек}$				$c_0 = 0,239; x_m = 0,946;$ $v = 3,87 \text{ м/сек.}$				$c_0 = 0,383; x_m = 0,876;$ $v = 4,08 \text{ м/сек.}$			
$\tau \cdot 10^3 \text{ сек.}$	$x \%$	k_3	k_4	$\tau \cdot 10^3 \text{ сек.}$	$x \%$	k_3	k_4	$\tau \cdot 10^3 \text{ сек.}$	$x \%$	k_3	k_4
0,49	32,8	83,1	11,0	0,52	30,9	76,5	13,4	0,49	29,7	85,3	16,7
1,22	61,3	80,5	14,9	1,29	56,1	69,5	16,8	1,22	52,2	75,7	19,3
2,20	85,5	94,0	21,5	2,32	79,5	78,8	22,8	2,20	69,7	73,3	20,7
3,67	93,3	84,2	19,9	3,87	87,7	67,0	19,6	3,67	79,2	67,0	18,1
5,15	96,8	89,8	19,1	5,42	91,6	63,1	17,3	5,15	81,2	53,6	13,9
7,35	97,7	86,1	14,8	7,75	93,4	55,7	13,8	7,35	8,28	42,6	10,4

В пределах 300—400°С стадия (15) является лимитирующей, а стадия (16) достигает равновесного состояния. При большом избытке водяного пара и отсутствии или малом содержании H_2 и CO_2 в исходном газе поверхность катализатора можно считать насыщенной соединением $[\text{K}]\text{O}$, природа которого пока не ясна. Допуская, что стадия (15) протекает путем удара молекул CO из газовой фазы с последующей реакцией и десорбцией продукта или, допуская, что стадия (15) протекает через адсорбцию CO в области Генри с последующей реакцией и десорбцией, можно полагать подчинение этой реакции мономолекулярному закону. Реакция будет иметь первый порядок по окиси углерода, нулевой по водяному пару и водороду и будет тормозиться углекислотой за счет протекания обратной реакции или за счет заполнения поверхности адсорбированным продуктом. Независимость скорости реакции от водорода и торможение углекислотой были найдены в работах И. П. Кириллова [2], В. Ф. Саксина [3] и В. А. Ройтера с сотрудниками [1].

При температурах выше 400°С равновесие стадии (16) смещается влево в результате чего на поверхности уменьшается содержание $[\text{K}]\text{O}$, которое начинает зависеть от отношения $[\text{H}_2\text{O}]/[\text{H}_2]$, как это предполагается Н. В. Кульковой и М. И. Темкиным [4]. В результате наблюдаемая скорость реакции будет зависеть от содержания H_2O и H_2 и, по-видимому, CO_2 . Реакция будет тормозиться водородом, что было найдено на опыте [4], и, по-видимому, CO_2 [1]. Для установления порядка реакции по этим компонентам необходимы дальнейшие исследования.

ВЫВОДЫ

Показано, что в пределах 300—400° С процесс конверсии окиси углерода на железистоокисных катализаторах удовлетворительно описывается уравнением мономолекулярной обратимой реакции. Реакция имеет первый порядок по окиси углерода и нулевой по водяному пару. Выше 400° С порядок реакции по водяному пару и водороду изменяется.

Химико-технологический институт
Иваново

Поступила
5.IV.1956

ЛИТЕРАТУРА

1. В. А. Ройтер, С. С. Гаухман, Н. П. Писаржевская и Т. М. Гвалья, Журн. прикл. химии, **18**, 439, 1945.
2. И. П. Кириллов, Труды Ивановского химико-технологического института, вып. 5, 46, 1956.
3. В. Ф. Саксин, Исследование кинетики реакции конверсии окиси углерода, МХТИ им. Д. И. Менделеева.
4. Н. В. Кулькова и М. И. Темкин, Журн. физ. химии, **23**, 695, 1949.
5. G. Natta e R. Rigamonti, C. A., **31**, 2365, 1937.
6. C. Padovani a. A. Lotteri. Journ. Soc. Chem. Ind., **56**, 391, 1937.
7. F. G. Laupichler, Ind. Eng. Chem., **30**, 578, 1938.
8. Ki Chin-Ri, C. A., **43**, 1945f, 1949.
9. R. Rigamonti e N. Agliardi, Chimie l'industr., **29**, 145, 1947.
10. Ф. П. Ивановский, Е. Д. Шорина и И. Г. Дрейцер, Журн. хим. пром-сти, **14**, 567, 1937.
11. К. Н. Белоногов и Б. И. Попов, Журн. физ. химии, **29**, 1383, 1955.
12. Б. И. Попов, Исследование роли процессов переноса вещества в реакции конверсии окиси углерода, Диссертация, 1951, МХТИ им. Д. И. Менделеева.
13. К. Н. Белоногов и Б. И. Попов, Журн. физ. химии, **29**, 1187, 1955.
14. Н. В. Кулькова, З. Д. Кузнец и М. И. Темкин, ДАН, **90**, 1067, 1953.

ON THE KINETIC EQUATION OF THE HETEROGENEOUS CATALYTIC
GAS SHIFT REACTION

B. I. Popov

(Ivanovo)

Summary

The kinetics have been investigated of the water-gas shift reaction on an unprotected ferric oxide catalyst. The extent of utilization of the internal surface of spherical nuclei of diverse radii was calculated over the range 300—500° C. The extent of the utilized surface and the apparent activation energy show that most of the runs were made under conditions of diffusional retardation. The kinetic equations proposed by other authors regarded as empirical formulas of the actual process. On the basis of the experimental data obtained by the capillary method an analysis was made of ten different kinetic equations of the reaction. The reaction was found to be satisfactorily described by the equation for a reversible monomolecular reaction or by equations capable of transformation into the above mentioned ones. The reaction appears to be of the first order with respect to carbon monoxide and zero order with respect to water. At temperatures above 400° C better agreement with experiment is shown by the equation of V. N. Kul'kova and M. I. Temkin. The reaction order with respect to water changes to about 0.5. The experimental results may be explained with the aid of the reaction mechanism proposed by V. N. Kul'kova and M. I. Temkin.

ВЛИЯНИЕ КОНЦЕНТРАЦИИ КАМФАРЫ НА ЭЛЕКТРОКАПИЛЛЯРНЫЕ КРИВЫЕ НА РТУТИ И НА ЭЛЕКТРОДНЫЕ ПРОЦЕССЫ НА КАДМИЕВОМ АМАЛЬГАМНОМ КАПЕЛЬНОМ ЭЛЕКТРОДЕ

*А. Г. Стромберг и Л. С. Загайнова**

По вопросу о механизме влияния добавок органических веществ на электродные процессы в опубликованных за последние годы работах нет единого мнения. В настоящее время большинство исследователей сходится на том, что влияние органических веществ на электродные процессы во многих изученных случаях связано с их адсорбцией на границе поверхность электрода — раствор электролита. На наличие адсорбции особенно убедительно указывают результаты опытов по влиянию этих органических веществ в тех же самых растворах на электрокапиллярные кривые и на емкость двойного электрического слоя.

Но влияние этой пленки адсорбированного органического вещества на электродный процесс может быть связано с разными причинами [1]. Во-первых, с замедленным проникновением ионов сквозь адсорбционную пленку поверхностно-активного вещества к поверхности электрода [2]. Во-вторых, с замедленным процессом разряда-ионизации. Механизм влияния поверхностно-активных веществ на скорость процесса разряда-ионизации также трактуется по-разному. В случае поверхностно-активных веществ ионного типа опытные данные, по крайней мере, качественно получают удовлетворительное объяснение в предположении влияния перестройки двойного электрического слоя на величину ψ_1 -потенциала [3,4]. В некоторых случаях удается получить даже полуколичественные результаты. Так, например, опыт [3,5] дает, что при увеличении концентрации ионов тетрабутиламмония в растворе между изменением перенапряжения водорода на ртути и изменении ψ_1 -потенциала, определяемом из электрокапиллярных измерений, имеется прямая пропорциональность. При этом коэффициент пропорциональности равен 0,60 [3] или 0,75 [5] вместо 1,00 согласно теории замедленного разряда ионизации (при $\alpha=3=0.5$). Действие поверхностно-активных молекул обычно объясняют тем, что при их внедрении в двойной слой увеличивается расстояние между обкладками двойного слоя и уменьшается напряженность электрического поля, что затрудняет процесс разряда-ионизации [5,6].

Целью данной работы является попытка показать, что и для органических веществ молекулярного типа (камфары) их действие на электродный процесс связано, наряду с другими факторами, также и с изменением ψ_1 -потенциала, как и для веществ ионного типа. Изучение электродных процессов проводилось в данной работе на амальгамном капельном электроде, так как на этом электроде можно одновременно изучать анодный и катодный процессы [7]. Кроме того, опытные данные по электродным процессам на амальгамном капельном электроде допускают достаточно ясную и однозначную теоретическую трактовку [8—10].

В предыдущих статьях [11—13] нами показано, что влияние камфары на электродные процессы на амальгамном капельном электроде может быть полуколичественно объяснено на основе теории замедленного разряда-иони-

* В экспериментальной части работы принимала участие Г. Л. Лепаловская

ции, несмотря на ряд упрощающих предположений. Здесь существенно отметить, что одно из упрощающих предположений заключалось в том, что поверхностная плотность камфары, а следовательно, и ψ_1 -потенциал являются постоянными при разных потенциалах в том интервале потенциала, где происходит ее адсорбция. В данной работе мы отказываемся от этого упрощающего предположения. Поверхностную плотность камфары при разных потенциалах и различных концентрациях камфары в растворе определяли из электрокапиллярных измерений.

АППАРАТУРА И МЕТОДЫ РАБОТЫ

Электролитическая ячейка для поляризационных измерений состоит из двух электролизеров*. В верхнем электролизере на ртутном капельном электроде непрерывно готовится амальгама кадмия нужной концентрации $[2-3 \cdot 10^{-3} \text{ г-атом/л}]$ и накапливается на дне этого электролизера. Эта амальгама через капилляр, впаиванный в дно верхнего электролизера (амальгамный капельный электрод), вытекает каплями в нижний электролизер, где находится испытуемый раствор. При помощи одного насыщенного каломельного электрода амальгамный капельный электрод поляризуется от внешнего источника тока. При помощи другого насыщенного каломельного электрода измеряется потенциал электрода. Для измерения электродного потенциала служил потенциометр типа Рауса. Сила тока измерялась при помощи зеркального гальванометра типа 21/2 с максимальной чувствительностью около 10^{-9} А / мм/л . Шкала гальванометра в разных шунтах градуировалась в микроамперах по магазину сопротивлений.

Опыты проводились в растворе состава: $5 \cdot 10^{-3} \text{ М CdSO}_4$; $1,0 \text{ М NH}_4\text{OH}$; $1,0 \text{ М Na}_2\text{SO}_3$; α (в долях насыщения) камфары и $0,01 \%$ желатины, при температуре $19-20^\circ \text{С}$.

Выбор камфары в качестве поверхностно-активного вещества связан с тем, что это органическое вещество на основании литературных данных [2] и наших предыдущих исследований [11—13] оказывает сильное влияние на электродные процессы. Кроме того, камфара восстанавливается на ртутном электроде при очень отрицательных потенциалах (потенциал полувольты — $2,75 \text{ В}$) (насыщенный $1,6$ каломельный электрод), что в изученном нами интервале потенциалов (от 0 до -16 В) камфара не принимает участия в электродном процессе. Сульфит натрия выбран в качестве индифферентного электролита, так как он поглощает растворенный кислород воздуха, мешающий поляризационным измерениям. Желатина устраняет тангенциальные движения ртути и позволяет регистрировать максимумы, искажающие полярографические волны**.

Электрокапиллярные кривые снимались на ртути при помощи обычного капиллярного электрометра [14] в растворах состава: $1,0 \text{ М NH}_4\text{OH}$; $1,0 \text{ М Na}_2\text{SO}_3$ (в долях насыщения) камфары и $0,01\%$ желатины при $19-20^\circ \text{С}$.

Все реактивы и материалы тщательно очищались: соли перекристаллизовывались, так перегонялась, камфара перегонялась с шаром, ртуть перегонялась в вакууме. Раствор сернистого кадмия готовился из точной навески металлического кадмия. Растворы готовились на бидистиллате. Растворы с различной концентрацией камфары (в долях насыщения) готовились путем смешения в разных пропорциях раствора камфары и раствора, насыщенного камфарой***.

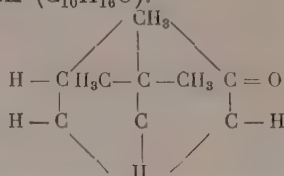
ПОЛУЧЕННЫЕ РЕЗУЛЬТАТЫ И ИХ ОБСУЖДЕНИЕ

На рис. 1 представлены электрокапиллярные кривые при шести различных концентрациях камфары: $0,0$; $0,10$; $0,15$; $0,20$; $0,25$; $0,50$ и $1,00$ (в долях насыщения). Из рисунка видно, что с увеличением концентрации камфары от $0,0$ до $1,0$ (в долях насыщения) максимумы электрокапиллярных кривых (обозначены на рисунке вертикальными стрелками) сдвигаются в положительную сторону от значения — $0,48$ до $-0,26 \text{ В}$ (насыщенного каломельного электрода). Это соответствует изменению адсорбционного потенциала камфары от $0,00$ до $+0,22 \text{ В}$.

* Конструкция этого электролизера будет подробно описана в другом месте.

** В предыдущих статьях [11—13], а также в предварительных опытах мы установили, что $0,01 \%$ желатины (без камфары) не влияет на обратимость процесса разряда кадмия и на электрокапиллярные кривые. В присутствии $0,01 \%$ желатины влияние камфары на электродные процессы слабее, чем при отсутствии желатины. Но так как во всех опытах по поляризационным и электрокапиллярным измерениям в растворе была присутствовало $0,01 \%$ желатины, то мы полагаем, что это влияние желатины можно рассматривать как некоторый постоянный фактор. При этом мы считаем, что такое упрощение, что адсорбция желатины на ртути (или амальгаме) остается постоянной при данном потенциале и различных концентрациях камфары в растворе. Насыщенный раствор камфары в воде при 25° содержит $5,6 \cdot 10^{-3} \text{ моль/л}$ [12].

Положительное значение ϕ_1 -потенциала легко объяснить, если учесть, что в молекуле камфары ($C_{10}H_{16}O$):



имеется полярная карбонильная группа $>C=O$ с дипольным моментом 2,95 [15], причем избыточный отрицательный заряд смещен в сторону кислорода. Поверхность ртути обладает гидрофобными свойствами. Поэтому молекула камфары на границе раздела ртуть — раствор ориентирована полярной частью, т. е. карбонильной группой, в сторону раствора, а углеводородной частью молекулы — в сторону ртути [17]. Таким образом отрицательный заряд диполя $>C=O$ расположен дальше от поверхности ртути, чем положительный заряд, и, следовательно, адсорбционный ϕ_1 -потенциал камфары имеет положительное значение.

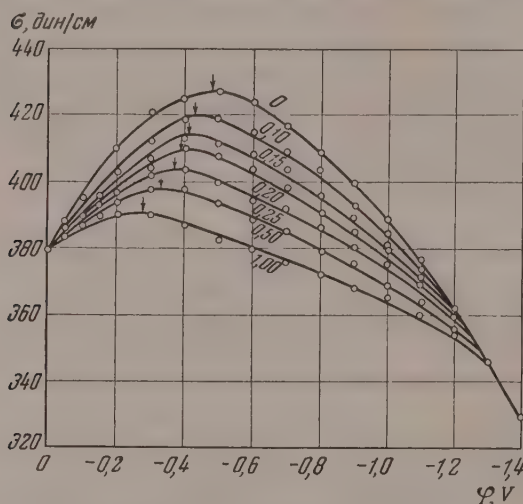


Рис. 1. Электрокапиллярные кривые на ртути в растворе состава: 1M Na_2SO_3 ; 1M NH_4OH ; 0,01% желатин, α — камфары. Концентрация камфары в долях насыщения (при 20° C) указана около соответствующих кривых. Стрелками указаны максимумы электрокапиллярных кривых

потенциала ϕ , а затем графики в координатах Γ и ϕ при семи концентрациях камфары ($C=0,05$; 0,10; 0,20; 0,40; 0,60; 0,80; 1,00 доли насыщения; σ dyn/cm — поверхностное натяжение; $T=293^\circ K$; R — универсальная газовая постоянная). На рис. 2 изображены полученные таким путем усредненные значения поверхностной плотности камфары Γ на границе ртуть — раствор электролита как функция потенциала электрода. Точность таких графических расчетов можно оценить ± 10 отн. % [18], т. е. $\pm 0,50 \cdot 10^{-10}$ $моль/см^2$.

Из рис. 2 видно, что максимум этих кривых при всех концентрациях камфары расположен при потенциале нулевого заряда ртути в этом растворе без камфары. При отклонении потенциала в обе стороны от этого

* Следует отметить, что атомы углерода в молекуле камфары расположены не в одной плоскости, как это изображается формальной структурной формулой, а в пространстве [16] так, что углеводородная часть молекулы камфары имеет форму не пластины, а, скорее, форму, близкую к сфере или кубу. Дело в том, что два атома углерода, к которым присоединен мостик (см. структурную формулу камфары), не находятся в одной плоскости с четырьмя другими атомами углерода в шестичленном кольце, а мостик с двумя метильными группами вынесен еще дальше в сторону.

ачения поверхностная плотность камфары уменьшается и падает до 0,0 — 1,4V (насыщенный каломельный электрод). Прямыми крестиками на этих кривых (пунктирная кривая АВ на рис. 2) отмечены значения максимумов электрокапиллярных кривых (ϕ_1 -потенциалы) при соответствующих концентрациях камфары в растворе.

На рис. 3 представлена зависимость адсорбционного ϕ_1 -потенциала* камфары от поверхностной плотности камфары в обычных (кривая 1) и логарифмических координатах (кривая 2), построенная по данным рис. 2. Как видно из рис. 3, в логарифмических координатах эта зависимость изображается прямой линией с угловым коэффициентом около двух. Следовательно, эта зависимость в аналитической форме может быть записана уравнением:

$$\phi_1 = B\Gamma^2, \quad (1)$$

где $B = 7 \cdot 10^{-17}$ (если ϕ_1 выражено в вольтах и Γ — в моль/см^2).

В связи со сказанным ранее об ориентации молекул камфары на границе ртуть — раствор можно было бы думать, что между величинами ϕ_1 и Γ должна иметься

линейная пропорциональность. Отсутствие такой пропорциональности, однако, легко объяснить, если учесть, что при небольшой степени заполнения поверхности ртути молекулы камфары могут «лежать» на поверхности ртути, как схематически изображено на рис. 4,а. С увеличением степени заполнения молекулы «приподнимаются» (рис. 4,б) и, наконец, при заполнении поверхности располагаются почти нормально к границе раздела (рис. 4,в). Эти изображения подкрепляются опытными данными М. А. Геровича [19], который установил, что молекулы ароматических соединений на границе ртуть — раствор располагаются более плоско, чем на границе раствор — воздух. Легко видеть, что при сделанном предположении ϕ_1 -потенциал при малых степенях заполнения границы ртуть — раствор молекулами камфары будет возрастать медленно с увеличением поверхностной плотности камфары, а при больших степенях заполнения — быстрее, в соответствии с опытными данными (рис. 3). Предположим, что расположение молекул камфары на границе ртуть — раствор зависит только от степени заполнения поверхности ртути молекулами камфары (рис. 4) и не зависит от наличия или отсутствия на границе раздела ионного (обменного) двойного электрического слоя. Из этого предположения следует, что адсорбционный ϕ_1 -потенциал зависит от поверхностной плотности камфары (Γ) согласно графику на рис. 3 [или согласно формуле (1)] при любых потенциалах ртутного (или амальгамного) электрода. Следовательно, можно вычислять по графикам на рис. 2 и 3 адсорбционный ϕ_1 -потенциал при любых потенциалах ртутного (или амальгамного) электрода и при любых концентрациях камфары в растворе и, таким образом, проверить уравнения теории замедленного разряда-иони-

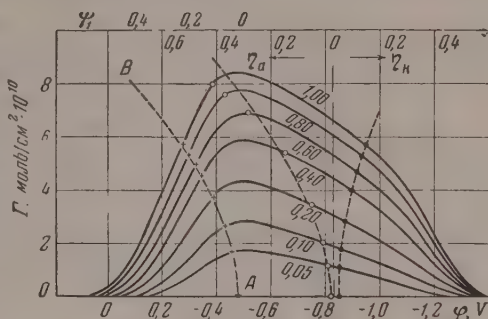


Рис. 2. Зависимость поверхностной плотности камфары от потенциала ртутного электрода при разных концентрациях камфары в растворе. Концентрация камфары в долях насыщения (при 20° С) указана около соответствующих кривых. Прямые крестики — потенциалы нулевого заряда ртути. Белые и черные кружки — анодные и катодные потенциалы полувольного каломельного электрода.

* Адсорбционные ϕ_1 -потенциалы определяются из рис. 2, как сдвиг максимума электрокапиллярной кривой при данной концентрации камфары в растворе по сравнению с максимумом электрокапиллярной кривой при отсутствии камфары в растворе.

зации для амальгамного капельного электрода для случая влияния поверхностно-активных веществ на электродные процессы.

Одним из нас показано [9], что уравнение теории замедленного разряда ионизации на амальгамном капельном электроде с учетом ψ_1 -потенциала имеет вид:

$$\frac{i}{i_0} e^{-\frac{\beta}{b'}(\psi_{1,p} - \psi_1)} = \frac{I_K - i}{I_K} e^{\frac{\alpha}{b'}\eta} - \frac{I_a + i}{I_a} e^{-\frac{\beta}{b'}\eta}, \quad (2)$$

где i — сила тока при поляризации η (в этом уравнении i и η считаются положительными при катодной поляризации и отрицательными при анодной поляризации); I_a и I_K — анодный и катодный предельные токи; α и β — коэффициенты разряда и ионизации ($\alpha + \beta = 1$); $b' = RT/zF$; z — число электронов, участвующих в электродном процессе на один ион; ψ_1 и $\psi_{1,p}$ — это ψ_1 -потенциалы * при данном и при равновесном потенциалах i_0 — ток обмена, т. е. количество элек-

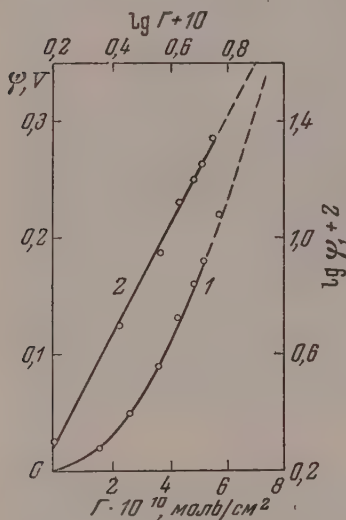


Рис. 3

Рис. 3. Зависимость адсорбционного ψ_1 -потенциала от поверхностной плотности камфары на границе ртуть—раствор. 1 — в координатах $\psi_1 - \Gamma \cdot 10^{10}$ (моль/см²); 2 — в координатах $(\lg \psi_1 + 2) - (\lg \Gamma + 10)$

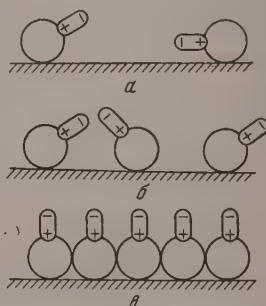


Рис. 4

Рис. 4. Схематическое изображение молекул камфары в адсорбционном слое на границе ртуть—раствор при разных степенях заполнения поверхности

тричества, участвующее в единицу времени в электродной реакции при равновесном потенциале.

При достаточно большой поляризации ** можно без большой ошибки (например, меньше 1%) пренебречь скоростью обратного процесса, тогда для катодной и анодной поляризаций получаем уравнения:

$$\eta'_K = \eta_K + \frac{\beta}{\alpha} (\psi_{1,p} - \psi_{1,K}) = \frac{b}{\alpha} \lg \frac{I_K}{i_0} + \frac{b}{\alpha} \lg \frac{i}{I_K - i} \quad (3)$$

и

$$\eta'_a = \eta_a - (\psi_{1,a} - \psi_{1,p}) = \frac{b}{\beta} \lg \frac{I_a}{i_0} + \frac{b}{\beta} \lg \frac{i}{I_a - i}, \quad (4)$$

* ψ_1 -потенциал — это, в общем случае, потенциал на расстоянии ионного радиуса от поверхности электрода [14]. В рассматриваемом нами случае можно считать, что это — только адсорбционный ψ_1 -потенциал, так как диффузный ψ_1 -потенциал должен быть очень мал из-за большой концентрации (около 2М) электролита в растворе.

** Оценка численного значения минимального значения этой поляризации рассматривается нами ниже в этой статье.

де η'_{1k} и η'_{1a} можно назвать эффективными катодной и анодной поляризациями; это — такие поляризации, которые наблюдались бы при условии остоянства ψ_1 -потенциала ($\psi_1 = \psi_{1,p}$) или при его отсутствии ($\psi_1 = 0$).

Из уравнений (3) и (4) получаем связь между ψ_1 -потенциалом и катодным или анодным потенциалами полуволи ($\eta_{1/2,k}$ и $\eta_{1/2,a}$) и разницей анодного и катодного потенциалов полуволи ($\Delta\varphi_{1/2,ak}$):

$$\eta_{1/2,k} = \frac{b}{\alpha} \lg \frac{I_K}{i_0^*} + \frac{\beta}{\alpha} \psi_{1,1/2,k} = \text{const}_K + \frac{\beta}{\alpha} \psi_{1,1/2,k}, \quad (5)$$

$$\eta_{1/2,a} = \frac{b}{\beta} \lg \frac{I_a}{i_0^*} + \psi_{1/2,a} = \text{const}_a + \psi_{1,1/2,a} \quad (6)$$

$$\Delta\varphi_{1/2,ak} = \eta_{1/2,k} + \eta_{1/2,a} = \text{const}_{ak} + \frac{1}{\alpha} (\beta\psi_{1,1/2,k} + \alpha\psi_{1,1/2,a}), \quad (7)$$

где i_0 — ток обмена при $\psi_1 = 0$, т. е. при отсутствии камфары в растворе.

Из уравнений (5), (6) и (7) получаем далее после небольших преобразований выражения для вычисления коэффициента ионизации (β) и тока обмена (i_0):

$$\beta = \frac{\Delta\varphi_{1/2,k}}{\Delta\varphi_{1/2,ak} - (\psi_{1,1/2,a} - \psi_{1,1/2,k})}, \quad \alpha = 1 - \beta \quad (8)$$

$$\lg i_0 = \lg I_K^\beta I_a^\alpha - \frac{\alpha\beta}{b} \Delta\varphi'_{1/2,ak}, \quad (9)$$

$$\Delta\varphi'_{1/2,ak} = \eta'_{1/2,k} + \eta'_{1/2,a} = \Delta\varphi_{1/2,ak} + \frac{\beta}{\alpha} (\psi_{1,p} - \psi_{1,1/2,k}) - (\psi_{1,1/2,a} - \psi_{1,p}) \quad (10)$$

$$\Delta\varphi_{1/2,k} = \varphi_{1/2,обр} - \varphi_{1/2,k}; \quad \varphi_{1/2,обр} = \varphi_p - b\lg \frac{I_K}{I_a};$$

где $\varphi_{1/2,обр}$ — потенциал полуволи обратимой анодно-катодной волны; $\psi_{1,1/2,k}$ и $\psi_{1,1/2,a}$ — ψ_1 -потенциалы при катодном и анодном потенциалах полуволи; $\Delta\varphi_{1/2,ak}$ — эффективная разница анодного и катодного потенциалов полуволи при $\psi_1 = \text{const}$.

Посмотрим теперь, в какой мере можно объяснить влияние камфары на электродный процесс на кадмиевом амальгамном капельном электроде на основе выведенных выше уравнений теории замедленного разряда — ионизации, предполагая, что изменение этого влияния с потенциалом концентрации камфары связано в основном с изменением адсорбционного ψ_1 -потенциала. При этом численные значения адсорбционного ψ_1 -потенциала будем вычислять графическим путем из рис. 2 и 3, вычерченных на основе наших опытных данных по электрокапиллярным измерениям (см. выше).

Нами получены поляризационные кривые (анодно-катодные волны) на кадмиевом амальгамном капельном электроде в растворе указанного выше состава при 18 различных концентрациях камфары от 0, до 1,0 доли насыщения (через 0,05 доли насыщения). Поляризационные кривые при четырех концентрациях камфары приведены в качестве примера на рис. 5. Из рисунка видно, что при отсутствии камфары в растворе кадмий дает общую обратимую анодно-катодную волну (кривая 1) [9]. С увеличением концентрации камфары в растворе процесс делается все более необратимым из-за уменьшения тока обмена [10], и анодная и катодная волны раздвигаются. На рис. 6 представлен характер зависимости от кон-

центрации камфары анодного и катодного потенциалов полувольт и их разницы. Из рисунка видно, что равновесный потенциал не меняется с концентрацией камфары, как и следовало ожидать на основе теории замедленного разряда-ионизации [9], так как строение двойного слоя не влияет на величину обратимого термодинамического потенциала [14]; катодный потенциал полувольты меняется с концентрацией по слегка вогнутой кривой (от $-0,84$ до $-0,96$ В) и анодный потенциал полувольты меняется по S-образной кривой (от $-0,81$ до $-0,39$ В). Эти значения по-

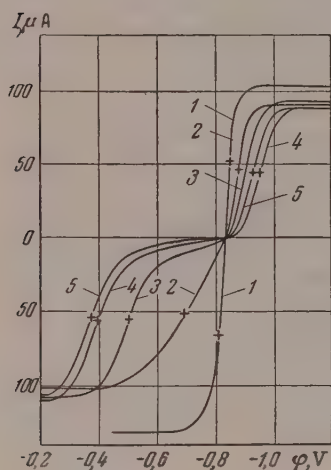


Рис. 5

Рис. 5. Поляризационные кривые на кадмиевом амальгамном каплевом электроде в растворе состава: $5 \cdot 10^{-3}$ М CdSO_4 ; 1 М Na_2SO_3 ; 1 М NH_4OH ; 0,01% желатин. x — камфары. 1—0,00; 2—0,30; 3—0,60; 4—0,80; 5—1,00 доли насыщения камфары. Прямыми крестиками отмечены анодные и катодные потенциалы полувольты.

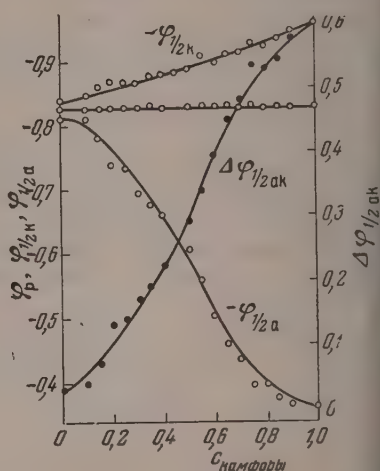


Рис. 6

Рис. 6. Зависимость от концентрации камфары равновесного потенциала (φ_p), анодного и катодного потенциалов полувольт ($\varphi_{1/2a}$ и $\varphi_{1/2k}$) и разницы анодного и катодного потенциалов полувольт ($\Delta\varphi_{1/2ak}$) на кадмиевом амальгамном каплевом электроде.

тенциалов полувольт отмечены (черными и белыми кружками) на соответствующих кривых $\Gamma - \varphi$ на рис. 2. Из рис. 2 видно, что в интервал потенциалов от $-0,81$ до $0,39$ В кривые $\Gamma - \varphi$ проходят через максимум, чем и можно объяснить сложный характер кривой $\varphi_{1/2a} - c$ на рис. 6 (c — концентрация камфары в долях насыщения). Действительно, если вычислить по графикам на рис. 2 и 3 значения ψ_1 -потенциалов, соответствующие значениям поверхностной плотности камфары при измеренных потенциалах полувольт*, и построить графики в координатах $\eta_{1/2} - \psi_1$ для катодного и анодного потенциалов полувольт (рис. 7), то получаются прямые линии с угловыми коэффициентами 0,3 и 1,1. Из теории замедленного разряда-ионизации следует [см. уравнения (5) и (6)], что графики в координатах $\eta_{1/2} - \psi_1$ должны изображаться прямыми линиями с угловыми коэффициентами β/α и 1,0 соответственно для катодного и анодного процессов. Таким образом это требование теории замедленного разряда-ионизации колич-

* Например, при концентрации камфары $c = 0,40$ доли насыщения, анодный потенциал полувольты равен $\varphi_{1/2a} = -0,67$ В и $\eta_{1/2a} = -0,67 + 0,86 = -0,19$ В (рис. 6). По графику на рис. 3 находим соответствующее значение поверхностной плотности камфары $\Gamma = 5,4 \cdot 10^{-10}$ моль/см² и по кривой на рис. 2 или 3 находим значение $\psi_1 = 0,18$ В и т. д.

ственно подтверждается нашими опытными данными при значении коэффициентов разряда и ионизации $\alpha=0,77$ и $\beta=0,23$.

Подчеркнем здесь еще раз, что значения ψ_1 -потенциалов для графика рис. 7 мы вычисляли при тех же потенциалах, при которых на опыте измерялись поляризации. Если же в качестве ψ_1 -потенциалов использовать непосредственно величину сдвига максимума электрокапиллярной кривой при данной концентрации камфары, то расчет дает для угловых коэффициентов значения 2,8 и 0,5, которые сильно отличаются от теоре-

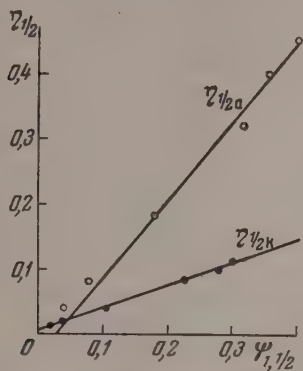


Рис. 7

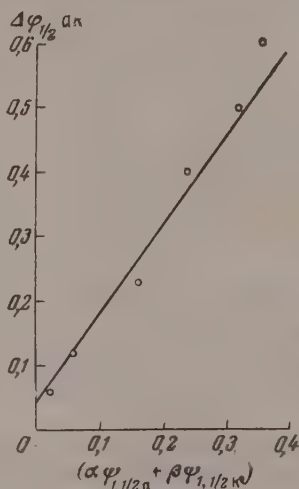


Рис. 8

Рис. 7. Зависимость между анодным и катодным потенциалами полуволи и адсорбционным ψ_1 -потенциалом при данном потенциале. Проверка теоретических уравнений (5) и (6)

Рис. 8. Зависимость между разницей анодного и катодного потенциалов полуволи и адсорбционными ψ_1 -потенциалами при соответствующих потенциалах полуволи. Проверка теоретического уравнения (7)

тических значений 1,0 и 0,3 по формулам (6) и (5). Мы полагаем, что отклонение углового коэффициента прямой от теоретического значения $\eta_1=1,0$ (при $\alpha=\beta=0,5$) на графике в координатах η_1 (катодная поляризация водорода при данной силе тока) и ψ_1 (сдвиг максимума электрокапиллярной кривой) при разных концентрациях в растворе иона тетрабутилония в работах других авторов [3,5] и объясняется как раз тем, что в этих работах поляризация и ψ_1 -потенциал сравнивались при разных поляризациях.

Особенно большой теоретический интерес, по нашему мнению, имеет факт, что опытный угловой коэффициент (1,1) для анодного потенциала

$-\varphi_{1/2a}$, вольты	$\eta_{1/2a}$, вольты	$\psi_{1/2a}$, вольты	$\Gamma_{1/2a} \cdot 10^{18}$, моль/см ²	Концентрация камфары в долях насыщения	
				вычислен- ная ⁴	опыт- ная ⁵
0,75	0,11	0,11	3,8	0,25	0,22
0,70	0,16	0,16	4,7	0,35	0,32
0,65	0,19	0,19	5,3	0,40	0,40
0,60	0,26	0,26	6,3	0,50	0,48
0,50	0,36	0,36	6,8	0,62	0,60

¹ $\eta_{1/2a} = \varphi_{1/2a} - \varphi_p$; $\varphi_p = -0,86$; ² по формуле (6)

$\eta_{1/2a} = \psi_{1/2a}$ при $\text{const } a = 0$; ³ по графику на рис. 2;

⁴ по графику на рис. 3; ⁵ по графику на рис. 6

полувольт в координатах $\eta_{1/2a} - \psi_{1/2a}$, полученный в данной работе (рис. 7), хорошо согласуется с теоретическим коэффициентом (1,0) в формуле (6), так как этот теоретический коэффициент не зависит от каких-либо других величин, выбор численного значения которых допускает некоторый произвол [как это имеет место, например, в формуле (5) для катодной поляризации]. Легко видеть, что это обстоятельство дает возможность вычислять

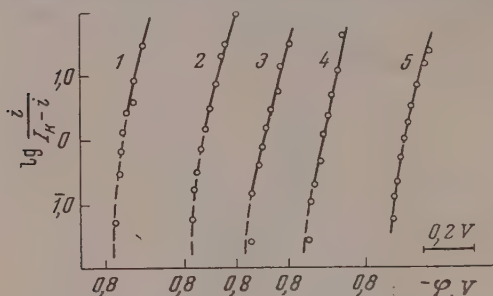


Рис. 9. Катодные волны кадмия в координатах $\lg \frac{i}{i_k - i}$ и $(-\varphi)$ при разных концентрациях камфары в растворе. 1—0,20; 2—0,30; 3—0,65; 4—0,90; 5—1,00 доли насыщения камфары

Результаты такого расчета по нашим опытным данным приведены в таблице, принимая численное значение константы в формуле (6) равным нулю. При этом практически удобнее задаться величиной потенциала полувольты, а затем вычислить по формуле (6) и графикам на рис. 2 и 3 теоретическое значение концентрации камфары и сравнить его с опытным значением из графика на рис. 6. Как видно из таблицы, получается хорошее согласие вычисленных и опытных значений концентрации камфары.

Из рис. 8 видно, что график в координатах $\Delta\varphi_{1/2ak}$ и $(\beta\psi_{1/2k} + \alpha\psi_{1/2a})$ также изображается прямой линией. При этом его угловой коэффициент хорошо согласуется с теоретическим значением $1/\alpha = 1/0,77 = 1,3$ в соответствии с уравнением (7). Следовательно, сложный вид графиков в координатах $(-\varphi_{1/2a}) - c$ и $\Delta\varphi_{1/2ak}$ — с на рис. 6 объясняется тем, что в этой области потенциалов адсорбционный ψ_1 -потенциал сложным образом меняется с концентрацией желатин и потенциалом электрода.

Можно было бы попытаться дать и другое теоретическое толкование графикам на рис. 7 и 8. Действительно, прямолинейность графиков на рис. 7 и 8 в сочетании с формулой (1) приводит к эмпирическим соотношениям:

$$\left. \begin{aligned} \eta_{1/2k} &= k_1 + k_2 \Gamma_{1/2k}^2; & \eta_{1/2a} &= k_3 + k_4 \Gamma_{1/2a}^2; \\ \Delta\varphi_{1/2ak} &= k_5 + k_6 (k_7 \Gamma_{1/2k} + \Gamma_{1/2a}), \end{aligned} \right\} \quad (11)$$

При этом, очевидно, в координатах $\eta_{1/2k} - \Gamma_{1/2k}^2$, $\eta_{1/2a} - \Gamma_{1/2a}^2$ и $\Delta\varphi_{1/2ak} - (k_7 \Gamma_{1/2k} + \Gamma_{1/2a}^2)$ должны также получаться прямые линии. Таким образом опытные данные, представленные рис. 6, 7 и 8, могут служить, вообще говоря, подтверждением любой теории влияния поверхностно-активных веществ, которая сможет установить влияние поверхностной плотности адсорбированных веществ на анодный и катодный потенциал полувольты в соответствии с формулами (11). Эта зависимость получается из теории замедленного разряда-ионизации [9, 10] в результате подсти-

* Константу в формуле (6) можно определить также из поляризационного опыта при одной концентрации камфары.

овки формулы (1) в формулы (5), (6) и (7). Возможно, что ее можно получить и из других теоретических соображений.

Расчет коэффициента ионизации β по формуле (8) дает постоянное значение около 0,30 при разных концентрациях камфары. Расчет β по формуле (8) без учета изменения ψ_1 -потенциала ($\psi_{1,1/2a} = \psi_{1,1/2k} = \psi_{1,p} = \text{const}$) дает также приблизительно постоянное значение β при разных концентрациях камфары, равное 0,20. Таким образом расчет β по формуле (8) дает значение, близкое к значению 0,23, найденному из графиков на рис. 7 и 8, но несколько повышенное. Это расхождение может быть связано с некоторыми неточностями с вычислениями ψ_1 -потенциала из графиков на рис. 2 и 3.

Из теории замедленного разряда-ионизации без учета изменения ψ_1 -потенциала с величиной потенциала электрода следует [10], что графики необратимой катодной и анодной волн при достаточно большой поляризации, когда можно пренебречь скоростью обратного процесса, должны изображаться прямыми линиями соответственно в координатах

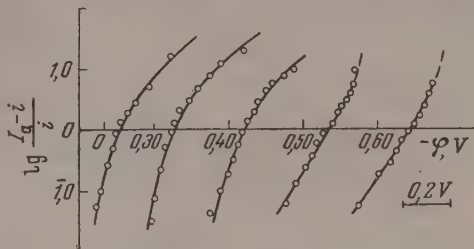


Рис. 10. Анодные волны кадмия в координатах $\lg \frac{I_a - i}{i}$ и $(-\varphi)$ при разных концентрациях камфары в растворе. Кривая 1—0,20; 2—0,30; 3—0,65; 4—0,90; 5—1,00 доли насыщения камфары

$$\lg \frac{i}{I_k - i} - (-\varphi) \quad \text{и} \quad \lg \frac{I_a - i}{i} - (-\varphi).$$

На рис. 9 и 10 приведено несколько кривых для катодных и анодных волн в этих координатах, вычисленных по нашим опытным данным, при разных концентрациях камфары. Из этих рисунков видно, что графики, построенные по опытным данным, не являются прямыми линиями, причем для анодных волн при больших концентрациях графики искривлены особенно сильно.

Можно указать на две причины, вызывающие отклонение графиков рис. 9 и 10 от прямолинейности. Первой причиной может являться слишком малая величина поляризации в некоторых опытах, чтобы можно было пренебречь скоростью обратного процесса. Минимальная величина катодной поляризации, при которой можно пренебречь скоростью обратного процесса в уравнении (2) с ошибкой меньше 1%, определится, очевидно, системы уравнений (считая при этом для простоты $\psi_1 = \psi_{1,p} = \text{const}$:

$$\frac{I_k - i}{I_k} e^{\frac{\alpha}{b'} \eta} = 100 \frac{I_a + i}{I_a} e^{-\frac{\beta}{b'} \eta} \quad \text{и} \quad \frac{i}{i_0} = 0,99 \frac{I_k - i}{I_k} e^{\frac{\alpha}{b'} \eta}. \quad (12)$$

Аналогичные соотношения можно получить также и для анодной поляризации. Как видно из рис. 5, эта причина должна иметь более существенное значение для катодной поляризации при малых концентрациях камфары. Сделанная оценка этого минимального значения поляризации показывает, что значительная часть опытных точек на кривых 1, 2 и 3 (рис. 9) не удовлетворяет условию (11). Эти участки кривых проведены пунктиром как видно из рис. 9, являются криволинейными.

Второй причиной, вызывающей отклонение графиков на рис. 9 и 10 от прямолинейности, является изменение ψ_1 -потенциала. Эта причина имеет более существенное значение для анодной поляризации при больших концентрациях камфары. Из рис. 10 видно, что как раз для этого случая кривые (3, 4 и 5) являются особенно сильно искривленными. На рис. 11 сопо-

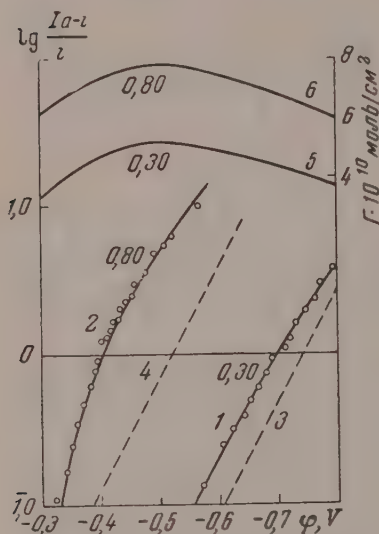


Рис. 11

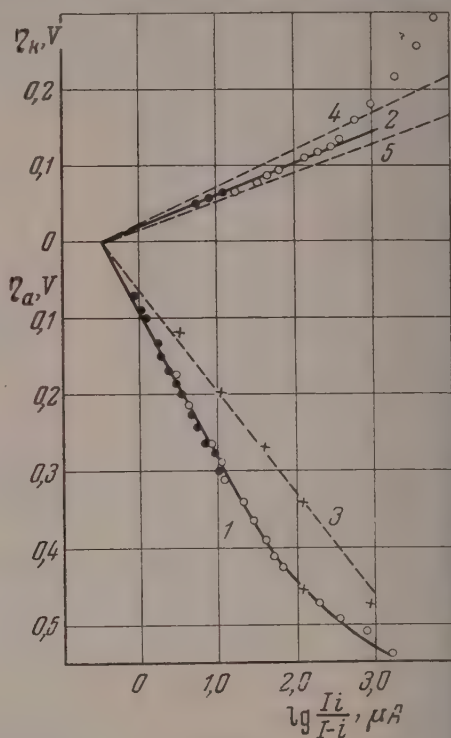


Рис. 12

Рис. 11. Сопоставление анодных волн кадмия на кадмиевом амальгамном капельном электроде и поверхностной плотности камфары на границе ртуть — раствор при двух концентрациях камфары в растворе: 0,30 и 0,80 доли насыщения

Рис. 12. Анодная и катодная волны кадмия на кадмиевом амальгамном капельном электроде в координатах η и $\lg \frac{I_i}{I-i}$ при концентрации камфары 0,85 доли насыщения. Кривые 1 и 2 — опытные кривые; 3 и 4 — с поправкой на изменение ψ_1 -потенциала; 5 — теоретическая кривая при $\alpha = 0,77$

ставлены поляризационные кривые (1 и 2) с кривыми поверхностной плотности камфары (5 и 6) при двух концентрациях камфары. Пунктирные прямые 3 и 6 изображают теоретические* прямые в координатах $(\varphi_a - \psi_1, a + \psi_1, p)$ и $\lg \frac{I_a - i}{i}$. Из рис. 11 видно, что при малой концентрации камфары (0,30 доли насыщения) анодная поляризационная кривая 1 расположена в области, где ψ_1 -потенциал монотонно увеличивается (кривая 5). С этим связано постепенное небольшое отклонение кривой 1 от теоретической прямой 3. Поляризационная кривая 2 при большой концентрации камфары (0,80 доли насыщения) расположена в области, где ψ_1 -потенциал проходит через максимум (кривая 6). Поэтому кривая 2 с из

* Пунктирные прямые 3 и 4 проведены на графике через точки $\varphi_{1,2a} - \psi_{1,2a} + \psi_{1,p}$ с угловым коэффициентом $b/3 = 0,0296, 0,23 = 0,13$ в соответствии с формулами (3) и (4).

менением потенциала в положительную сторону сначала отклоняется от теоретической прямой, а потом опять приближается к ней, что и приводит к сильному искривлению кривой 2.

Влияние изменения ψ_1 -потенциала на вид поляризационной кривой можно наглядно видеть также при рассмотрении графика в координатах $g \frac{Ii}{I-i}$ и η для катодной и анодной поляризаций (рис. 12).

Из уравнений (3) и (4) следует, что при $\psi_1 = \text{const}$ графики катодной и анодной поляризационных кривых в этих координатах должны изображаться прямыми линиями, пересечения этих прямых при $\eta = 0$ должны давать величину тока обмена, а угловые коэффициенты прямых равны $1/\alpha$ и b/β [9, 10]. Из рис. 12 видно, что график анодной поляризации изображается кривой линией, которая только при поляризациях меньше 3 В может рассматриваться как прямая линия. Из расчетов по формулам (3) и (4) получаем: $i_0 = 0,32 \mu\text{A}$, $\alpha = 0,70$ и $\beta = 0,16$ (при $\psi_1 = \text{const}$). Из формулы (9) получаем значения тока обмена $i_0 = 0,05 \mu\text{A}$ (полагая $\alpha = 0,77$, $\beta = 0,23$ и $\psi_1 = \text{const}$). Таким образом расчет по формулам (3) и (4) и по формуле (9) дает сильно отличающиеся значения тока обмена, если не учитывать изменения ψ_1 -потенциала с поляризацией.

Из формул (3) и (4) следует, что прямые линии должны получиться на графике в координатах η' и $\lg \frac{Ii}{I-i}$. После введения поправки на изменение ψ_1 -потенциала получим пунктирные прямые 3 и 4. Соответствующие расчеты по формулам (3) и (4) дают $i_0 = 0,32 \mu\text{A}^*$, $\alpha = 0,64$ и $\beta = 0,23$, и из формулы (9) получаем $i_0 = 0,20 \mu\text{A}$ (при $\alpha = 0,77$ и $\beta = 0,23$), т. е. при правильном учете изменения ψ_1 -потенциала это кажущееся несовпадение вычисленных значений тока обмена в присутствии поверхностно-активных веществ в растворе устраняется.

Таким образом сделанное нами предположение, что причиной влияния камфары на процесс разряда-ионизации кадмия на амальгамном капельном электроде является уменьшение скорости разряда-ионизации (уменьшение тока обмена), причем наряду с другими причинами существенное значение имеет изменение адсорбционного ψ_1 -потенциала, — позволяет полуколичественно, а в некоторых случаях даже количественно объяснить наблюдаемые нами опытные факты. Это позволяет думать, что в других случаях одной из причин влияния поверхностно-активных веществ молекулярного типа на электродные процессы является изменение адсорбционного ψ_1 -потенциала.

ВЫВОДЫ

1. Изучены электрокапиллярные кривые на ртути в растворах с разной концентрацией камфары. Графическим путем рассчитаны кривые висимости поверхностной плотности камфары на границе ртуть — раствор от потенциала.
2. Показано, что адсорбционный ψ_1 -потенциал меняется пропорционально квадрату поверхностной плотности камфары на границе ртуть — раствор. Предложен метод графического определения адсорбционного потенциала при разных концентрациях поверхностно-активного вещества в растворе и при любых потенциалах электрода.
3. При помощи теории замедленного разряда-ионизации выведены теоретические уравнения, учитывающие влияние изменения ψ_1 -потенциала на поляризационные кривые на амальгамном капельном электроде.

* Значение тока обмена, найденное графическим методом по пересечению поляризационных прямых при $\eta = 0$ (рис. 12), не меняется при введении поправки на ψ_1 -потенциал, так как эта поправка стремится к нулю при уменьшении поляризации [формулы (3) и (4)].

4. Изучены поляризационные кривые кадмия на амальгамном капельном электроде при 18 различных концентрациях камфары в растворе. Показано, что опытные графики зависимости анодного и катодного потенциалов полувольт от ψ_1 -потенциала при разных концентрациях камфары изображаются прямыми линиями с угловыми коэффициентами 1,1 и 0,30 в соответствии с выведенными теоретическими уравнениями.

5. Показано согласие теории замедленного разряда-ионизации с опытом при рассмотрении ряда других опытных данных по поляризационным кривым. Приведенная работа показывает, что влияние органических веществ молекулярного типа на электродные процессы может быть связано наряду с другими факторами с изменением адсорбционного ψ_1 -потенциала.

Уральский государственный
университет им. А. М. Горького
Свердловск

Поступила
9.IV.1956

ЛИТЕРАТУРА

1. А. Н. Фрумкин, ДАН 85, 373, 1952.
2. М. А. Лошкарев и А. А. Крюкова, Журн. физ. химии, 23, 209, 221, 1949; 26, 731, 1952 и др.
3. З. А. Иофа, Б. Н. Кабанов, Е. В. Кучинский и Ф. Чистяков, Журн. физ. химии, 13, 1105, 1939.
4. А. И. Мартиросян и Т. А. Крюкова, Журн. физ. химии, 27, 851, 1953.
5. Л. В. Ванюкова и Б. Н. Кабанов, Журн. физ. химии, 14, 1620, 1940.
6. Е. П. Андреева, Журн. физ. химии, 29, 699, 1955.
7. А. Г. Стромберг и А. И. Зелянская, Труды Комиссии по анал. химии, 4(7), 5, 1952.
8. А. Г. Стромберг, Журн. физ. химии, 27, 1287, 1953.
9. А. Г. Стромберг, Журн. физ. химии, 29, 409, 1955.
10. А. Г. Стромберг, Журн. физ. химии, 29, 2152, 1955.
11. А. Г. Стромберг и М. С. Гутерман, Журн. физ. химии, 27, 993, 1953.
12. А. Г. Стромберг и Л. С. Загайнова, ДАН, 97, 107, 1954.
13. Л. С. Загайнова, и А. Г. Стромберг, ДАН, 105, 747, 1955.
14. А. Н. Фрумкин, В. С. Багоцкий, З. А. Иофа и Б. Н. Кабанов, Кинетика электродных процессов, Изд-во МГУ, Москва, 1952.
15. Справочник химика, I, 859, 1951.
16. J. Bredt, Studie über die räumliche Konfiguration des Camphers und einiger seiner Derivate, Leipzig, 1905; W. Huckel, Lieb, Ann., 455, 123, 1927; Moir, Journ. Phys. Chem., (2), 98, 315, 1918.
17. И. И. Жуков, Коллоидная химия, 1949, стр. 231.
18. Р. С. Майзlish, И. П. Твардовский и А. Н. Фрумкин Журн. физ. химии, 28, 87, 1954.
19. М. А. Герович, ДАН, 105, 1278, 1955.

EFFECT OF CAMPHOR CONCENTRATION ON THE MERCURY FLECTROCAPILLARY CURVE AND ON THE ELECTRODE PROCESSES AT A CADMIUM AMALGAM DROPPING ELECTRODE

A. G. Stromberg and L. S. Zagaynova

(Sverdlovsk)

Summary

A study has been made of the electrocapillary curves of mercury in solutions with diverse concentrations of camphor. The dependence of the camphor surface density at the mercury-solution interface has been calculated with the aid of a graphical method. The adsorption potential ψ_1 has been found to change proportionally to the square of the

surface density. A graphical method has been proposed for determining ψ_1 for different concentrations of the surface active substance in the solution and any given electrode potential.

With the aid of the slow discharge-ionization theory an equation has been derived, taking into account the effect of the change in the ψ_1 potential on the polarization at the amalgam dropping electrode.

The polarization curves of cadmium on the amalgam dropping electrode have been studied for eighteen different concentrations of camphor. It has been shown that the experimental plots of the cathodic and anodic half wave potentials in relation to the ψ_1 potential at varying camphor concentrations are described by straight lines with slopes of 1 and 0.30, in conformity with the theoretical equations.

The agreement between the slow discharge-ionization theory and experiment has also been demonstrated on analysis of a number of other experimental results concerning the polarization curves. The study showed that the effect of molecular type organic compounds on electrode processes, besides other factors, may be associated with change in the adsorption ψ_1 potential.

РАСПРЕДЕЛЕНИЕ ИЗОТОПОВ СВИНЦА И РАДИЯ МЕЖДУ РАСТВОРОМ И КРИСТАЛЛАМИ НЕИЗОМОРФНЫХ СОЛЕЙ

*М. С. Меркулова, С. А. Потапова, Т. С. Шевелкина
и В. И. Частухина*

При изучении процесса соосаждения радиоэлементов с кристаллическими осадками посторонних веществ было установлено, что, кроме сокристаллизации с образованием истинных или аномальных смешанных кристаллов и процесса поверхностной адсорбции, происходит соосаждение, сопровождающееся образованием внутренне-адсорбционных систем [1]. Такой тип соосаждения наблюдается в том случае, когда осадок макрокомпонента не изоморфен с соответствующим соединением микрокомпонента, но образует близкие по форме кристаллы. Соосаждение радиоэлементов с образованием внутренне-адсорбционных систем, с одной стороны, похоже на процесс истинной сокристаллизации. Оно происходит, даже в случае медленной кристаллизации хорошо образованных кристаллов, и процесс распределения микрокомпонента между твердой и жидкой фазами может быть выражен при помощи коэффициента кристаллизации D . Коэффициент кристаллизации D имеет постоянное значение и не зависит от количества твердой фазы в осадке.

Но, с другой стороны, это явление резко отличается от соосаждения микрокомпонентов с изоморфными осадками и имеет много общего с процессом адсорбции, поскольку захват радиоэлемента твердой фазой сильно зависит от присутствия в растворе легко адсорбируемых посторонних ионов. Радиограммы кристаллов показывают, что распределение радиоэлементов в них происходит только на определенных адсорбирующих плоскостях. Однако в некоторых случаях активные центры адсорбции внутри кристалла располагаются равномерно, что дает на снимке однородное почернение, характерное для истинных смешанных кристаллов. Следовательно, радиографическое исследование недостаточно для отличия внутренне-адсорбционной системы от других видов соосаждения.

При изучении зависимости величины коэффициента кристаллизации от концентрации распределяющегося вещества было установлено, что в случае изоморфного соосаждения значение D не зависит от концентрации микрокомпонента до тех пор, пока присутствие последнего еще не сказывается на составе фаз [2]. В случае образования аномальных смешанных кристаллов существует нижняя граница смешиваемости, т. е. указанные кристаллы не образуются совсем, когда концентрация одного из компонентов становится очень малой [3]. Следовательно, при соосаждении радиоэлементов с образованием аномальных смешанных кристаллов коэффициент кристаллизации D не остается постоянным, если изменять в широких пределах концентрацию распределяющегося вещества. При уменьшении последней значение D стремится к нулю. В. Г. Хлопиным было высказано предположение, что для внутренне-адсорбционных систем должна существовать обратная, по сравнению с аномальными смешанными кристаллами, зависимость между величиной коэффициента кристаллизации D и концентрацией распределяющегося вещества. Если при осаждении кристаллографически сходных солей в некоторых случаях происходит процесс внутренней адсорбции, то при определенной концентрации микрокомпонента все активные адсорбционные центры внутри кристаллической решетки будут заполнены и при дальнейшем увеличении концентрации распределяющегося вещества значение D должно падать. Таким образом изучение зависимости величины коэффициента кристаллизации от концентрации распределяющегося вещества дает еще один способ, позволяющий отличить осаждение с образованием внутренних адсорбционных систем от соосаждения в виде истинных и аномальных смешанных кристаллов.

Таблица 1

зависимость коэффициента кристаллизации для ThВ и Ra от количества выделенной твердой фазы
(нейтральный раствор)

°C	Система								
	K ₂ SO ₄ — PbSO ₄ — H ₂ O			K ₂ SO ₄ — RaSO ₄ — H ₂ O			K ₂ CrO ₄ — PbCrO ₄ — H ₂ O		
	K ₂ SO ₄ в осадке, %	ThВ в осадке, %	D	K ₂ SO ₄ в осадке, %	Ra в осадке, %	D	K ₂ CrO ₄ в осадке, %	ThВ в осадке, %	D
5	9,19	68,10	21,2	7,54	60,93	19,2	3,90	33,64	12,5
	12,37	75,58	21,8	8,62	62,25	17,6	6,61	49,08	13,8
	12,70	73,50	19,3	11,70	69,70	17,5	7,45	50,75	12,8
	15,20	77,60	19,6	11,70	72,80	20,1	9,11	54,10	11,9
	16,18	79,28	19,6	15,47	76,88	18,4	12,34	66,25	14,1
	18,20	80,00	18,3	17,60	80,90	19,6	14,20	67,19	12,4
	22,40	86,90	22,8	19,10	79,20	16,7	15,53	70,00	12,9
	26,20	88,60	22,6	20,40	82,41	18,4	19,50	75,04	12,8
	Ср.		20,6	Ср.		18,4	Ср.		12,9
0	6,90	31,23	6,1	8,58	38,57	6,7	6,55	33,16	7,1
	8,45	36,12	6,1	10,72	39,54	5,4	8,50	34,60	5,9
	10,16	41,90	6,3	12,81	49,35	6,6	10,46	42,75	6,5
	12,00	44,15	5,8	16,00	47,17	4,7	12,23	46,10	6,2
	14,75	51,72	6,2	18,25	54,00	5,3	14,09	50,00	6,1
	16,10	54,57	6,3	21,80	62,70	6,0	17,42	61,98	7,7
	21,33	61,00	5,8	26,70	70,00	6,4	20,40	63,88	6,9
	Ср.		6,1	Ср.		5,9	Ср.		6,6

Таблица 2

Зависимость коэффициента кристаллизации для ThВ и Ra от количества выделенной твердой фазы
(кислый раствор)

°C	Система					
	K ₂ SO ₄ — PbSO ₄ — H ₂ O			K ₂ SO ₄ — RaSO ₄ — H ₂ O		
	K ₂ SO ₄ в осадке, %	ThВ в осадке, %	D	K ₂ SO ₄ в осадке, %	Ra в осадке, %	D
25	10,31	64,90	16,2	8,00	60,51	17,6
	14,84	74,56	16,7	10,00	63,90	16,0
	15,08	78,18	19,9	10,90	66,39	16,0
	15,36	76,01	17,7	14,84	72,87	15,2
	16,23	78,00	18,5	20,00	80,49	17,0
	20,14	83,50	19,0	25,15	84,40	16,0
	23,07	84,11	17,4	26,18	84,88	15,5
	Ср.		17,9	Ср.		16,2
100				7,33	27,29	4,8
				9,16	31,51	4,6
				9,80	33,54	4,6
				11,61	39,93	5,1
				12,00	37,10	4,3
				14,70	48,41	5,5
				23,03	60,44	5,1
				Ср.		4,8

Процесс соосаждения радиоэлементов с кристаллическими осадками неизоморфных солей изучен крайне недостаточно. В опытах О. Хана по исследованию явления внутренней адсорбции, которые носят качественный характер, величины коэффициента кристаллизации D отличались почти вдвое. Поэтому прежде всего необходимо было изучить процесс соосаждения микрокомпонентов с осадками неизоморфных солей в условиях точного эксперимента, применяя методику, разработанную В. Г. Хлопниным и его учениками [2].

Нами было изучено распределение изотопа свинца ThB и радия в системах $\text{K}_2\text{SO}_4 - \text{PbSO}_4 - \text{H}_2\text{O}$ и $\text{K}_2\text{SO}_4 - \text{RaSO}_4 - \text{H}_2\text{O}$. Кристаллы сернокислого свинца и сернокислого бария не изоморфны и не изоди-морфны с кристаллами безводного сульфата калия, однако кристаллическая структура сернокислых солей свинца и бария имеет некоторые сходные черты со структурой сульфата калия. Кроме того, была исследована система $\text{K}_2\text{CrO}_4 - \text{PbCrO}_4 - \text{H}_2\text{O}$, аналогичная системе $\text{K}_2\text{SO}_4 - \text{PbSO}_4 - \text{H}_2\text{O}$, так как сульфат и хромат калия образуют очень близкие по форме кристаллы.

ЭКСПЕРИМЕНТАЛЬНАЯ ЧАСТЬ

Употреблявшиеся сернокислый и хромовокислый калий тщательно очищались путем многократной перекристаллизации. Из них были приготовлены насыщенные при 25 и 100° С растворы. Дистиллированная вода дважды перегонялась в кварцевом аппарате. Изотоп свинца ThB собирался на золотой пластинке в эманаторе. С пластинки ThB смывался небольшим количеством горячей азотной кислоты (1 : 1). Раствор кислоты выпаривался досуха, после чего к нему прибавлялось несколько миллилитров воды и производилось повторное выпаривание. Полученный таким образом изотоп свинца переводился в насыщенный раствор сульфата и хромата калия. При исследовании распределения радия к исходному насыщенному раствору сульфата калия прибавлялись 1—2 капли титрованного раствора соли радия, полученной из высокопроцентного препарата радия, примесь соли бария в котором не превышала 25%. Изучение распределения ThB и радия между кристаллами и раствором сульфата и хромата калия проводилось при 25° С путем выкристаллизации избытка твердой фазы из пересыщенного раствора, содержащего микрокомпонент; при 100° С путем многократной перекристаллизации активных и неактивных кристаллов в их насыщенном растворе [4]. Кристаллы сернокислого и хромовокислого калия с определенным содержанием микрокомпонента получались выкристаллизацией из пересыщенного раствора, содержащего ThB и радий. К полученным таким образом активным кристаллам сразу же прибавлялся раствор, насыщенный при 100° С, и проводилась перекристаллизация. Часть опытов была проведена в 0,13 и 0,33 N азотной кислоте. Объем жидкой фазы во всех опытах был равен 20 мл. Концентрация сернокислого калия в насыщенном растворе определялась путем выпаривания известного количества раствора, высушивания осадка при 110° С и взвешивания его в виде сульфата калия. Точность определения составляла $\pm 0,1\%$. Содержание хромата калия находилось йодометрическим методом с точностью до $\pm 0,1\%$. Определение ThB производилось по β -излучению на счетчике Гейгера — Мюллера с точностью $\pm 3\%$. Содержание радия определялось эманационным методом с точностью $\pm 2\%$.

Прежде всего нами была проверена скорость установления равновесия на микрокомпонент при распределении ThB и радия между раствором и кристаллами сульфата и хромата калия. Опыты проводились при 100° С. Процент с сернокислого калия в осадке во всех опытах в системе $\text{K}_2\text{SO}_4 - \text{PbSO}_4 - \text{H}_2\text{O}$ равнялся 6,8% и в системе $\text{K}_2\text{SO}_4 - \text{RaSO}_4 - \text{H}_2\text{O} - 11,61\%$. В системе $\text{K}_2\text{CrO}_4 - \text{PbCrO}_4 - \text{H}_2\text{O}$ содержание хромата калия во всех опытах было 8,7%. Время перекристаллизации менялось от 2 мин. до нескольких часов.

Результаты опытов приведены на рис. 1—3. Полученные кривые показывают, что равновесие устанавливается в течение 10 мин. Через 5 час. перекристаллизации осадка значение коэффициента кристаллизации D не менялось. Та же самая зависимость D от времени перекристаллизации была получена при изучении распределения радия между кристаллами и раствором сульфата калия в 0,33 N HNO_3 . Скорость установления равновесия в отношении распределения ThB и радия указывает на адсорбционный характер соосаждения.

Зависимость коэффициента кристаллизации для ThB и радия от количества выделенной в осадок твердой фазы была изучена при 25 и 100° С. Результаты опытов представлены в табл. 1 и 2.

Данные таблиц показывают, что при выделении из раствора, содержащего изотопы свинца и радия, кристаллов неизоморфного сульфата или

омата калия происходит закономерный захват микрокомпонента твердой фазой. Распределение изотопов свинца и радия между жидкой и твердой фазами подчиняется закону, аналогичному закону В. Г. Хлопина. Коэффициент кристаллизации D имеет постоянное значение и не зависит количества выделенного в осадок сернистого или хромовокислого калия. Значение коэффициента кристаллизации D при данных условиях опыта (когда образующиеся кристаллы находятся в истинном равнове-

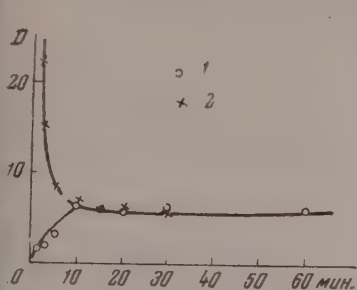


Рис. 1. Установление равновесия при распределении ThB между кристаллами и раствором K_2SO_4 : 1 — ThB в растворе; 2 — ThB в кристаллах

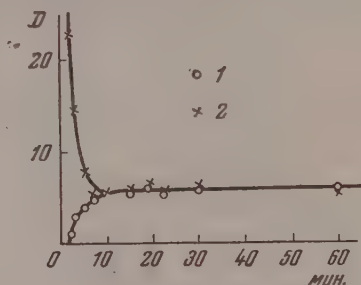


Рис. 2. Установление равновесия при распределении радия между кристаллами и раствором K_2SO_4 : 1 — Ra в растворе; 2 — Ra в кристаллах

и с раствором) хорошо воспроизводимо, и это обстоятельство позволяет выделить влияние многовалентных ионов на величину коэффициента кристаллизации, а также зависимость его от концентрации распределяемого вещества. Средняя величина коэффициента кристаллизации в кислой среде (табл. 2) несколько ниже, чем в нейтральном растворе; возможно, что здесь сказывается влияние концентрации водородных ионов на процесс внутренней адсорбции. Следует отметить значительный температурный коэффициент величины D для всех трех систем.

Для определения влияния легко адсорбирующихся ионов на коэффициент кристаллизации D к раствору сернистого калия добавлялся азотнокислый висмут. При проведении опытов был приготовлен ряд насыщенных растворов сульфата калия в 0,10N H_2SO_4 и 0,13N HNO_3 , в которых содержание висмута варьировалось от $5,0 \cdot 10^{-6}$ до $1,5 \cdot 10^{-1}$ мг/мл раствора. Опыты проводились при 25 и 100° С в тех же условиях, что и в присутствии висмута. При изучении влияния многовалентных ионов на величину коэффициента кристаллизации D в системе $K_2CrO_4 - PbCrO_4 - HNO_3$ к раствору хромовокислого калия добавлялось определенное количество азотнокислого алюминия. Результаты опытов приведены в табл. 3.

Данные табл. 3 показывают, что в присутствии многовалентных ионов наблюдается во всех случаях уменьшение значения коэффициента кристаллизации. При осаждении изотопов свинца и радия с сульфатом калия увеличение концентрации ионов висмута в растворе до 0,1 мг уже полностью препятствует переходу микрокомпонентов в твердую фазу. Такое же действие оказывает присутствие ионов алюминия в количестве 0,02 мг в 1 мл при соосаждении ThB с кристаллами хромовокислого калия. За-

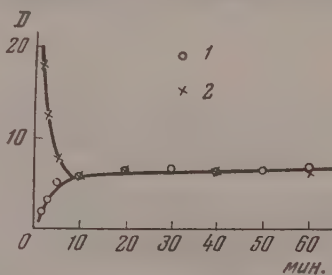


Рис. 3. Установление равновесия при распределении ThB между кристаллами и раствором K_2CrO_4 : 1 — ThB в растворе; 2 — ThB в кристаллах

висимость величины коэффициента кристаллизации D от присутствия в растворе легко адсорбируемых многовалентных ионов свидетельствует о том, что при соосаждении изотопов свинца и радия с кристаллами сернистого и хромовокислого калия происходит образование внутренне-

Таблица 3

Влияние присутствия многовалентных ионов на величину коэффициента кристаллизации D

Система					
$K_2SO_4 - PbSO_4 - H_2O$ (0,1N H_2SO_4), 25°		$K_2SO_4 - RaSO_4 - H_2O$ (0,13N HNO_3), 100°		$K_2CrO_4 - PbCrO_4 - H_2O$ (нейтральный раствор), 25°	
Количество В, мг/мл	D	Количество В, мг/мл	D	Количество А, мг/мл	D
0	19,6	0	6,3	0	14,7
$2,5 \cdot 10^{-4}$	16,3	$5,0 \cdot 10^{-5}$	4,5	$5,0 \cdot 10^{-5}$	11,3
$5,0 \cdot 10^{-4}$	11,8	$5,0 \cdot 10^{-4}$	2,7	$5,0 \cdot 10^{-4}$	8,1
$2,5 \cdot 10^{-3}$	8,7	$5,0 \cdot 10^{-3}$	2,3	$2,0 \cdot 10^{-3}$	4,2
$5,0 \cdot 10^{-3}$	1,2	$5,0 \cdot 10^{-2}$	1,8	$5,0 \cdot 10^{-3}$	3,4
$5,0 \cdot 10^{-2}$	0,3	$1,0 \cdot 10^{-1}$	0	$2,0 \cdot 10^{-2}$	0
$1,0 \cdot 10^{-1}$	0	$1,5 \cdot 10^{-1}$	0	$2,0 \cdot 10^{-2}$	0

адсорбционных систем. Те же закономерности были получены В. Г. Хлопиным и В. Р. Клокман при изучении распределения радия между расплавом и кристаллами сернистого калия [5].

Для изучения влияния концентрации распределяющегося вещества на величину коэффициента кристаллизации D был приготовлен ряд насыщенных растворов сульфата

Таблица 4

Зависимость среднего коэффициента кристаллизации D для ThВ в системе $K_2SO_4 - PbSO_4 - H_2O$ от общей концентрации ионов свинца в растворе

Концентрация изотопов свинца в растворе, ммоль	Коэффициент кристаллизации D		
	Нейтральный раствор, 25°	0,13N HNO_3 , 25°	0,13N HNO_3 , 100°
$5,0 \cdot 10^{-12}$	21,2	19,4	7,8
$3,9 \cdot 10^{-8}$	17,2	19,6	6,6
$3,9 \cdot 10^{-7}$	15,2	15,0	5,6
$3,9 \cdot 10^{-6}$	9,6	10,4	5,0
$3,9 \cdot 10^{-5}$		8,0	4,4
$3,9 \cdot 10^{-4}$		6,8	3,5
$3,9 \cdot 10^{-3}$		4,4	2,7
$3,9 \cdot 10^{-2}$			2,3

[6]. Для увеличения растворимости сульфата бария опыты были проведены в 0,33 N HNO_3 . Полученные результаты даны в табл. 4—6.

Как видно из таблиц при увеличении концентрации распределяющегося вещества значение коэффициента кристаллизации падает. Например в системе $K_2SO_4 - RaSO_4 - H_2O$ при увеличении концентрации ионов радия и бария в растворе от $5 \cdot 10^{-11}$ до $8,7 \cdot 10^{-7}$ ммоль величина коэффициента кристаллизации уменьшается от 18,6 до 1,9. При изучении зависимости коэффициента кристаллизации D от концентрации распределяющегося вещества в системе $K_2CrO_4 - PbCrO_4 - H_2O$ не удается увели-

чить концентрацию ионов свинца в растворе. Растворимость сернистого свинца в насыщенном растворе сульфата калия очень мала, поэтому для увеличения концентрации ионов свинца в растворе частых опытов была проведена в 0,13 N HNO_3 . В системе $K_2SO_4 - RaSO_4 - H_2O$ мы пользовались добавкой к радио все возрастающих количеств ближайшего его химического аналога бария. Допустимость и возможность такой замены радия барием показана в работе В. И. Хлопина и М. А. Толстого при исследовании системы метилновая синь—азотнокислый радий.

Таблица 5

Зависимость среднего коэффициента кристаллизации D для радия в системе $K_2SO_4 - RaSO_4 - H_2O$ от общей концентрации ионов Ra^{2+} и Ba^{2+} в растворе

Концентрация ионов радия и бария, ммоль	Коэффициент кристаллизации, D	Концентрация ионов радия и бария, ммоль	Коэффициент кристаллизации, D
25°		100°	
$5,0 \cdot 10^{-11}$	18,6	$5,0 \cdot 10^{-11}$	5,7
$4,3 \cdot 10^{-9}$	14,1	$5,0 \cdot 10^{-9}$	3,0
$4,3 \cdot 10^{-8}$	10,5	$1,0 \cdot 10^{-8}$	2,1
$8,7 \cdot 10^{-8}$	6,6	$5,0 \cdot 10^{-8}$	1,2
$4,3 \cdot 10^{-7}$	3,7	$1,0 \cdot 10^{-7}$	0,9
$8,7 \cdot 10^{-7}$	1,9	$5,0 \cdot 10^{-7}$	0,6

ть содержание ионов свинца в растворе в значительной степени. Однако в пределах возможных концентраций свинца в растворе от $7 \cdot 10^{-12}$ до $4 \cdot 10^{-11}$ ммоль наблюдается уменьшение величины D , как видно из бл. 6. Эта особенность подтверждает предположение В. Г. Хлопина, что при соосаждении с образованием внутрине-адсорбционных систем при определенной концентрации радиоэлемента имеет место заполнение активных адсорбционных центров; поэтому при увеличении концентрации распределяющего вещества дальнейшего заката микрокомпонента твердой фазой происходит, и величина коэффициента кристаллизации уменьшается. Если продолжать увеличивать концентрацию распределяющегося вещества в растворе, то наблюдается резкое увеличение коэффициента кристаллизации. Следующее обстоятельство объясняется тем, что в данном случае на явление сорбции налагается еще явление со-

Таблица 6

Зависимость среднего коэффициента кристаллизации D для ThB в системе $K_2CrO_4 - PbCrO_4 - H_2O$ от общей концентрации изотопов свинца в растворе при 25°

Концентрация ионов свинца в растворе, ммоль	Коэффициент кристаллизации D
$1 \cdot 10^{-12}$	13,8
$7 \cdot 10^{-12}$	10,6
$1 \cdot 10^{-11}$	5,4
$4 \cdot 10^{-11}$	2,2

кристаллизации изотопов свинца и радия с выделившимися дополнительно небольшими количествами твердой фазы в виде $PbSO_4$ (или $K_2[Pb(SO_4)_3]$), PbO_4 и $PbCrO_4$ вследствие достижения произведения растворимости их солей. Аналогичное явление наблюдалось при изучении адсорбции радия на сернокислом свинце в присутствии красителя понсо-4R [7].

ВЫВОДЫ

1. Изучено распределение изотопа свинца ThB между кристаллами раствора сульфата и хромата калия и распределение радия между кристаллами и раствором сернокислого калия при 25 и 100°C.
2. При выделении из раствора в присутствии изотопов свинца и радия кристаллов сернокислого и хромовокислого калия происходит закономерный захват микрокомпонента твердой фазой. Распределение изотопов свинца и радия между жидкой и твердой фазами подчиняется закону, аналогичному закону В. Г. Хлопина; коэффициент кристаллизации D имеет постоянное значение.
3. Скорость установления равновесия при распределении ThB и Ra между кристаллами и раствором сульфата и хромата калия равна 7—10 мин., что указывает на адсорбционный характер распределения.
4. Присутствие в растворе небольших количеств многовалентных ионов висмута и алюминия сильно уменьшает величину коэффициента кристаллизации D . Увеличение концентрации ионов висмута до 0,1 мг

и ионов алюминия до 0.02 мг полностью препятствует переходу изотопов свинца и радия в кристаллы сульфата и хромата калия.

5. При распределении изотопов свинца и радия между кристаллами и раствором неизоморфных солей в некоторых случаях происходит образование внутренне-адсорбционных систем.

6. Изучение зависимости величины коэффициента кристаллизации D от концентрации распределяющегося вещества может служить методом, позволяющим отличить соосаждение с образованием внутренне-адсорбционных систем от соосаждения изоморфных и аномальных смешанных кристаллов.

Московский государственный
университет им. М. В. Ломоносова

Поступила
24.IV.1956

ЛИТЕРАТУРА

1. О. Хан, Прикладная радиохимия, Гостехиздат, 1947, стр. 120; М. С. Меркулова, В. И. Частухина, Л. Н. Бурцева, ДАН, 102, стр. 1167, 1955; М. С. Меркулова, С. А. Потапова, ДАН, 103, стр. 643, 1955.
2. В. Г. Хлопин, Труды Раппельного института, 4, 34, 1938; В. Г. Хлопин, М. С. Меркулова, Радиохимия, Изд-во Московского университета, Сб. работ, 1952, стр. 115.
3. В. Г. Хлопин и Б. А. Никитин, Zs. phys. Chem., 145, 137, 1929; Э. М. Иоффе и Б. А. Никитин, Изв. АН СССР, ОХН № 1, 1943; В. Г. Хлопин и М. С. Меркулова, ДАН, 65, 861, 1949; 71, 689, 1950.
4. М. С. Меркулова, Т. С. Шевелкина, ДАН, 103, стр. 457, 1955.
5. В. Р. Клокман и В. Г. Хлопин, ДАН, 65, 33, 1949.
6. В. Г. Хлопин и М. А. Толстая, Журн. физ. химии, 14, 941, 1940.
7. В. Г. Хлопин и М. С. Меркулова, Изв. АН СССР, ОХН № 5, 46, 1949.

LEAD AND RADIUM ISOTOPE DISTRIBUTION BETWEEN SOLUTIONS AND CRYSTALS OF NON-ISOMORPHOUS SALTS

M. S. Merkulova, S. A. Potapova, T. E. Shevelkina, V. I. Chastukhina

Summary

An investigation has been made of the co-precipitation of radioelements and non-isomorphous salts. The following systems were studied: $K_2SO_4-PbSO_4-H_2O$, $K_2SO_4-RaSO_4-H_2O$ and $K_2CrO_4-PbCrO_4-H_2O$. The experiments showed that when potassium chromate and potassium sulfate crystals precipitate from solution in the presence of lead or radium ions a certain regularity exists in the capture of the microcomponent by the solid phase. The distribution of the lead or radium ions between the liquid and solid phases follows an expression similar to V. G. Khlopin's law, the crystallization coefficient D having a constant value. The equilibrium distribution of ThB and RaB between the crystals and the potassium sulfate and potassium chromate solutions is established in 7–10 minutes, indicating that the distribution has the character of adsorption. The coefficient D is markedly reduced in value by the presence in the solution of small quantities of bismuth and aluminum ions. An increase of the bismuth ion concentration up to 0.1 mg/ml or the aluminum ion concentration up to 0.02 mg/ml completely stops the transition of the radium or lead ions to the potassium sulfate or chromate crystal.

The results obtained show that in the distribution of lead and radium isotopes between the crystals and solutions of non-isomorphous salts an internal adsorption system is formed in a number of cases. A study of the dependence of the D coefficient on the concentration of the distributed substance may serve as a method for distinguishing between co-precipitation with the formation of internal adsorption systems from the co-precipitation of isomorphous or anomalously mixed crystals.

ГРАФИЧЕСКИЙ МЕТОД ОПРЕДЕЛЕНИЯ ТЕМПЕРАТУР СГОРАНИЯ ОРГАНИЧЕСКИХ СОЕДИНЕНИЙ

И. Г. Маслов

Знание равновесного состава и температуры смеси, полученной в результате сжигания какого-либо вещества, имеет весьма важное значение для выбора топлива и материала аппаратуры, при расчете технических характеристик всевозможных двигателей в металлургии и т. п. [1—6].

Существуют различные методы расчета процессов горения [2, 4, 5, 7, 8]. В основном, все они отличаются друг от друга лишь способом решения соответствующих систем нелинейных уравнений методом утомительных итераций.

Авторы статьи [8] развили метод расчета процессов сгорания, отличающийся от указанных методов значительной простотой и эффективностью. Опираясь на этот метод, А. А. Ключихин совместно с автором [9] предложили сравнительно простой способ расчета тепловых процессов при высоких температурах для водородно-кислородных смесей с избытком водорода.

В настоящей работе предложен графический метод расчета температур сгорания органических соединений. Все рассуждения относятся к сгоранию в открытом сосуде предположении адиабатичности процесса. Однако развитый графический метод в принципе будет справедлив также для взрывов в закрытых сосудах.

Известно [10, 11], что термодинамические и некоторые другие физические свойства представителей гомологических рядов органических соединений аддитивны по метиленовым группам CH_2 линейной цепочки $\text{C} - \text{C} - \text{C} - \dots$ молекул. Существенно подчеркнуть, что здесь термин «аддитивность» понимается несколько шире, чем это обычно, именно в нашем понимании [10].

Разумно ожидать, что температуры сгорания органических соединений, принадлежащих к одному гомологическому ряду, также обладают свойством аддитивности. В самом деле, при сгорании должно выполняться уравнение энергетического баланса

$$\Delta Q - \Delta Q_{\text{дисс}} = \Delta Q_{\text{нагр}}, \quad (1)$$

где ΔQ — теплота реакции, $\Delta Q_{\text{дисс}}$ — ее доля, идущая на частичную диссоциацию продуктов горения и $\Delta Q_{\text{нагр}}$ — часть теплоты, расходуемая на нагревание равновесной смеси после сгорания и диссоциации от $298,16^\circ$ до расчетной температуры сгорания T . При сгорании органического соединения в открытом сосуде при $p_0 = 1$ атм уравнение (1) запишется так

$$-\Delta H = -\sum_{i=1}^n H_{D_i} m_i - \Delta H_{(298)}^0 (\text{обр}) = \sum_k \Delta_k^T n_k = R, \quad (1')$$

где H_{D_i} — энергия диссоциации 1 моля i -го компонента смеси, m_i — количество диссоциированных молей i -го компонента, $-\Delta H_{(298,16)}^0 (\text{обр})$ — теплота образования сжигаемого органического соединения или смеси, Δ_k^T — теплота, необходимая для нагревания 1 моля компонента k от $298,16^\circ$ до расчетной температуры T , n_k — количество молей k -го компонента равновесной смеси после диссоциации. Вместе с тем известно, что теплоты образования органических соединений, принадлежащих к одному гомологическому ряду, аддитивны по метиленовым группам [10, 12].

Например, теплоты образования газообразных n -алканов в стандартном состоянии определяются по единой формуле:

$$-\Delta H_{\text{обр}}^0(\text{г})_{(298)} = (10410 + 4926n) \text{ кал./моль}, \quad (2)$$

газообразных n -алкенов по соотношению:

$$-\Delta H_{\text{обр}}^0(\text{г})_{(298)} = (-19102 + 4926n) \text{ кал./моль}, \quad (3)$$

газообразных n -алкинов по формуле:

$$-\Delta H_{\text{обр}}^0(\text{г})_{(298)} = (-59102 + 4926n) \text{ кал./моль} \quad (4)$$

и т. д. Это наводит на мысль, что остальные члены уравнений (1) и (1') будут аддитивны по метиленовым группам CH_2 . Очевидно, если такое положение будет иметь место, например, для n -алканов, то тогда автоматически можно утверждать это и для других гомологических рядов соединений.

Для уверенности в этом в настоящей работе методом автора [8] произведен расчет процесса сгорания для четырех представителей газообразных n -алканов $\text{C}_n\text{H}_{2n+2}$, n -алкенов C_nH_{2n} и n -алкинов $\text{C}_n\text{H}_{2n-2}$, содержащих в молекулах 7, 8, 9 и 10 атомов углерода, соответственно. Поскольку для указанных классов температура сгорания лежит в интервале: $2000^\circ < T < 2400^\circ \text{ K}$, то расчет равновесного состава выполнен при 2000, 2100, 2200, 2300 и 2400° K . Итоги расчета сведены в табл. 1, 2. В табл. 1 в калориях представлены численные значения левой ($-\Delta H$) и правой ($R = \sum_k \Delta_k^T n_k$) частей уравнения энергетического баланса (1') для каждого из выбранных представителей n -алканов, n -алкенов и n -алкинов при указанных выше температурах. Из анализа данных табл. 1 нетрудно установить, что как $-\Delta H$, так и $R = \sum_k \Delta_k^T n_k$, т. е. части уравнения

(1'), аддитивны по метиленовым группам CH_2 . Например, при температуре 2100° K обе части этого равенства (1') для всех представителей n -алканов с числом атомов углерода $n \geq 3$ определяются по общим формулам:

$$-\Delta H^{2100} = (45630 + 142598n) \text{ кал.}, \quad (5)$$

$$R = \sum_k \Delta_k^T n_k = (45610 + 122621n) \text{ кал.}, \quad (6)$$

аналогичное положение для других температур и других гомологических рядов органических соединений. В табл. 2 сведены единые общие формулы

Таблица 1

T, °K	$-\Delta H$,	ΣH ,	$-\Delta H$,	ΣH ,	$-\Delta H$,	ΣH ,	$-\Delta H_{10}$,	ΣH_{10} ,
2000	1056113	847188	1200408	962127	1344708	1077066	1488998	1192005
2100	1043816	903957	1186414	1026578	1329012	1149199	1471610	1271820
2200	1025728	957442	1165862	1087334	1305996	1217226	1446130	1347118
2300	1000293	1014913	1136788	1152568	1273283	1290223	1409778	1427878
2400								
2000	1029206	804555	1173501	919494	1317796	1034433	1462091	1149372
2100	1017456	858340	1160054	980961	1302652	1103582	1445250	1226203
2200	1000708	909249	1140842	1039141	1280976	1169033	1421110	1298925
2300	975750	963613	1112245	1101263	1248740	1238923	1385235	1376578
2400	947705	1015087	1080165	1160094	1212625	1305101	1345085	1450108
2000	1011491	762118	1155786	877057	1300081	991996	1444376	1106933
2100	1000244	813266	1142842	935887	1285440	1058508	1428038	1181123
2200	984349	860989	1124483	990881	1264617	1120773	1404751	1250662
2300	960995	912280	1097490	1049935	1233985	1187580	1370480	1325245
2400	932395	970051	1064855	1115058	1197315	1260065	1329775	1405072

Таблица 2

	$-\Delta H_{298,16}^{\circ}$ кал/моль	ΣH_{298}^T	Δ
2000°K			
Алканы	46048+144295 <i>n</i>	42615+114939 <i>n</i>	3433+29356 <i>n</i>
Алкены	19141+144295 <i>n</i>	-18+114939 <i>n</i>	19159+29356 <i>n</i>
Алкины	1426+144295 <i>n</i>	-42455+144939 <i>n</i>	43881+29356 <i>n</i>
2100°K			
Алканы	45630+142598 <i>n</i>	45610+122621 <i>n</i>	20+19977 <i>n</i>
Алкены	19270+142598 <i>n</i>	-7+122621 <i>n</i>	19277+19977 <i>n</i>
Алкины	2058+142598 <i>n</i>	-45081+122621 <i>n</i>	47132+19977 <i>n</i>
2200°K			
Алканы	44790+140134 <i>n</i>	48198+129892 <i>n</i>	-3408+10242 <i>n</i>
Алкены	+19770+140134 <i>n</i>	5+129892 <i>n</i>	19765+10242 <i>n</i>
Алкины	3411+140134 <i>n</i>	-48255+129892 <i>n</i>	51666+10242 <i>n</i>
2300°K			
Алканы	44828+136495 <i>n</i>	51328+137655 <i>n</i>	-6500-1160 <i>n</i>
Алкены	20285+136495 <i>n</i>	28+137655 <i>n</i>	20257-1160 <i>n</i>
Алкины	5530+136495 <i>n</i>	-51305+137655 <i>n</i>	56895-1160 <i>n</i>
2400°K			
Алканы	19620+132460 <i>n</i>	-58998+145007 <i>n</i>	19620-12547 <i>n</i>
Алкены	5175+132460 <i>n</i>	-44998+145007 <i>n</i>	50173-12547 <i>n</i>

к которым определяются левая и правая части уравнения энергетического баланса при 2000, 2100, 2300 и 2400°K. Кроме того, там же даны формулы для разности левой и правой частей этого уравнения Δ и тех же температурах для указанных гомологических рядов органических соединений.

Таким же образом легко получить аналогичные соотношения для каких-либо иных интересующих гомологических рядов органических соединений. Интересно подчеркнуть, что доли величин $-\Delta H$ и $\Sigma \Delta_k^T n_k$, исходящие на каждую из метиленовых групп CH_2 , при фиксированных одинаковых внешних условиях различны по величине, но одинаковы для всех соединений, независимо от их принадлежности к гомологическому ряду (табл. 2).

Нам также представляется очевидным, что подобные закономерности имеют место и при сгорании сложных смесей из органических соединений в любом процентном соотношении друг к другу, например нефти и ее продуктов и пр.

Это позволяет чрезвычайно сильно упростить всю задачу расчета тепловых процессов при сгорании и взрывах как отдельных индивидуальных органических соединений, так и их смесей — нефти, масел, различного сорта горючего и пр. Прежде всего установленное свойство аддитивности компонентов уравнения (1') по метиленовым группам дает возможность развить весьма простой и одновременно достаточно точный физический метод определения температур сгорания самых различных органических соединений в той или иной фазе. Покажем это на примере алканов, *n*-алекнов и *n*-алкинов. По формулам табл. 2 или непосредственно по данным табл. 1 нетрудно построить зависимости левой ($-\Delta H$) и правой ($\Sigma \Delta_k^T n_k$) частей уравнения (1') от температуры T для *n*-гептана, *n*-октана, *n*-нонана и *n*-декана, а также для соответствующих предста-

вителей *n*-алкенов и *n*-алкинов. На рисунке кривые I_7 , I_8 , I_9 , и I_{10} изображают зависимости $-\Delta H = f_1(T)$ для *n*-гептана, *n*-октана, *n*-нонана и *n*-декана. Кривые 2_7 , 2_8 , 2_9 и 2_{10} для *n*-гептена, *n*-октена, *n*-нонена и *n*-децена, кривые 3_7 , 3_8 , 3_9 , 3_{10} — для *n*-гептина, *n*-октина, *n*-нонина и *n*-децина, соответственно. На том же рисунке, зависимость $R = f_2(T)$ представлена кривыми I'_7 , I'_8 , I'_9 и I'_{10} — для указанных выше членов *n*-алканов, кривыми $2'_7$, $2'_8$, $2'_9$ и $2'_{10}$ — для соответствующих членов *n*-алкенов и кривые $3'_7$, $3'_8$, $3'_9$ и $3'_{10}$ — для соответствующих представителей *n*-алкинов. По оси абсцисс отложена температура $T^\circ\text{K}$, по оси ординат $-\Delta H$ или R в ккал, точки a_7 , a_8 , a_9 и a_{10} — пересечения кривых I_7 , и I'_7 , I_8 и I'_8 , I_9 и I'_9 , I_{10} и I'_{10} отвечают случаю выполнения уравнения энергетического баланса (1') для газообразных *n*-гептана и *n*-октана, *n*-нонана и *n*-декана, соответственно. Из указанных точек, опустив нормали на ось абсцисс, на последней легко найдем искомые максимальные температуры сгорания для газообразных гептана, октана, нонана и декана; они равны 2282, 2283, 2284 и 2285°K, соответственно. Аналогично из точек b_7 , b_8 , b_9 и b_{10} пересечения кривых 2_7 и $2'_7$, 2_8 и $2'_8$, 2_9 и $2'_9$, 2_{10} и $2'_{10}$, опустив нормали на ось абсцисс, без труда определим температуры сгорания *n*-гептена и *n*-октена, *n*-нонена и *n*-децена, а именно 2317, 2314, 2311 и 2308°K, соответственно. Точно так же из точек c_7 , c_8 , c_9 и c_{10} пересечения кривых 3_7 и $3'_7$, 3_8 и $3'_8$, 3_9 и $3'_9$, и 3_{10} и $3'_{10}$ восстановив нормали к оси абсцисс, находим максимальные температуры сгорания 2360, 2353, 2346 и 2390°K в открытах сосудов при $p_0 = 1 \text{ атм}$ для *n*-гептина, *n*-октина, *n*-нонина и *n*-децина, соответственно.

Очевидно, пользуясь общими формулами табл. 2, кривые, зависимости левой и правой частей уравнения (1') легко построить для любого из представителей газообразных *n*-алканов, *n*-алкенов и *n*-алкинов по их пересечению легко найти соответствующую температуру сгорания.

Для определения температуры сгорания членов ряда достаточно иметь соответствующие кривые зависимостей: $-\Delta H = f_1(T)$ и $R = f_2(T)$ лишь для двух представителей одного из гомологических рядов органических соединений, например для гептана и октана класса *n*-алканов и для одного из членов остальных гомологических рядов сходственного строения. Такая возможность вытекает из нашего общего метода [10, 11], поскольку, как показано выше (см. табл. 2), левая и правая части равенства (1') аддитивны по метиленовым группам. Пусть на рисунке в качестве таких основных являются кривые I_7 и I'_7 , и I_8 и I'_8 для *n*-гептана и *n*-октана и кривые 2_7 и $2'_7$ и 3_7 и $3'_7$ для *n*-гептена и *n*-гептина, соответственно. Тогда, в согласии с нашим методом [8], отрезки нормалей к оси абсцисс, заключенные между кривыми I_7 и I_8 , а также между I'_7 и I'_8 , представляют собой доли $-\Delta H$ и R , т. е. левой и правой частей равенства (1'), соответственно, приходящиеся при фиксированной температуре на каждую из метиленовых групп CH_2 цепочки $\text{C}-\text{C}-\text{C}$ в молекулах. Если не принимать во внимание первых двух-трех членов эти доли, при заданных внешних условиях, будут одинаковыми для всех представителей различных гомологических рядов сходственного строения независимо от их принадлежности к гомологическому ряду [10, 11].

Покажем, как в этом последнем случае графически определить, например, температуру сгорания газообразного *n*-ундецена. Восстановив нормали к оси абсцисс в точках, отвечающих 2000, 2100, 2200, 2300 и 2400°K. Из точек пересечения нормалей с кривой 3_7 для *n*-гептина вверх по нормальям откладываем четыре раза отрезки q_1q_2 , q_3q_4 , q_5q_6 , q_7q_8 , q_9q_{10} соответствующих нормалей, заключенные между кривыми I_7 и I_8 ; в точках r_1 , r_2 , r_3 , r_4 и r_5 строим график зависимости $-\Delta H = f_1(T)$. Аналогичным способом из точек пересечения нормалей с кривой $3'_7$ отклады-

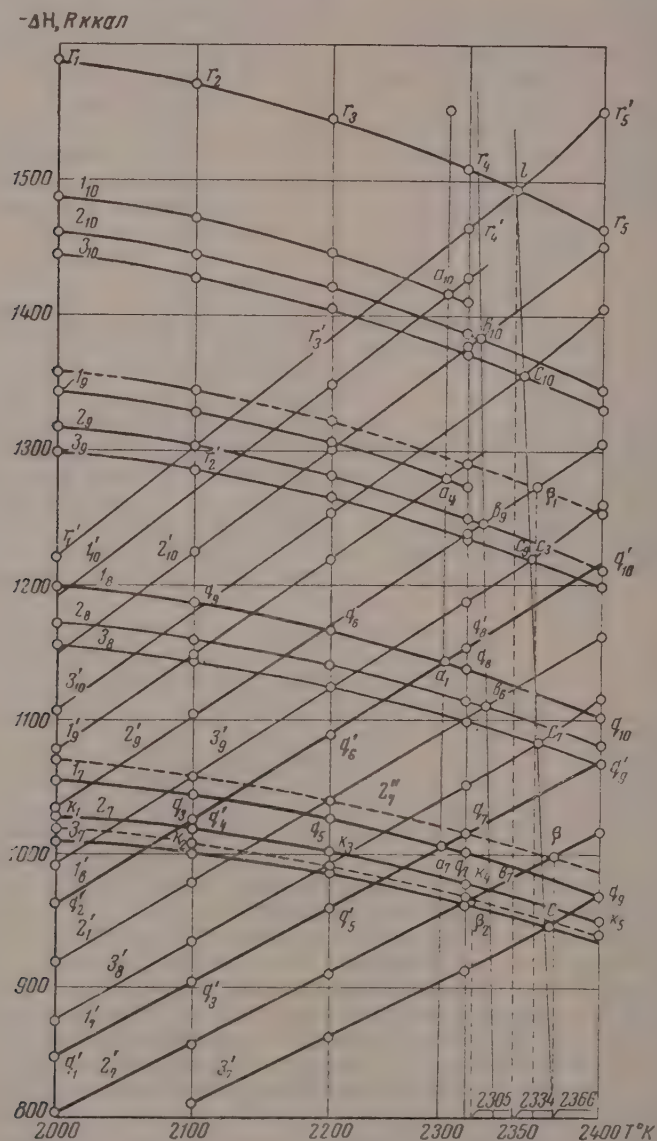
аем отрезки $q'_1 q'_2$, $q'_3 q'_4$, $q'_5 q'_6$, $q'_7 q'_8$ и $q'_9 q'_{10}$ нормалей, заключенные между графиками I'_7 и I'_8 , вверх по ним четыре раза и по полученным точкам r'_1 , r'_2 , r'_3 , r'_4 и r'_5 строим зависимость $R = f_2(T)$. Наконец, из точки l пересечения построенных кривых β_{11} и β'_{11} восстановив нормаль оси абсцисс, на последней отсчитываем искомую температуру $T' = 2334^\circ \text{K}$ сгорания газообразного n -ундецена. Таким же путем определяются максимальные температуры сгорания других органических соединений для n -алкинов, n -алкенов, n -алканов или для иных гомологических рядов газообразных соединений сходственного строения; конечно, в последнем случае необходимо для одного из достаточно удаленных от начала ряда представителей интересующего класса нашим методом [8] извести расчет равновесного состава конечной смеси после сгорания при температурах 2000, 2100, 2200, 2300 и 2400°K и, возможно, еще при 2500°K и затем для этого представителя построить кривые зависимости.

$$-\Delta H = f_1(T) \text{ и } R = f_2(T).$$

Интересно, что по кривым рисунка представляется возможность крайне просто определять равновесный состав конечной смеси после сгорания ее температуру для членов всех тех газообразных гомологических рядов, химические формулы которых такие же, как и для указанных выше ассо. В самом деле, изоуглеродные представители, например, n -аллилциклопентанов, n -алкилциклогексанов и еще ряда других классов органических соединений, имеют одинаковые химические формулы с соответствующими представителями n -алкенов, т. е. $C_n H_{2n}$. Поэтому в одном из любого изоуглеродного представителя подобных гомологических рядов содержатся одинаковые количества атомов углерода $C(n)$ и водорода $H(2n)$. Таким образом при сгорании 1 моля любого из таких изоуглеродных соединений $C_n H_{2n}$ образуется n молей CO_2 и n молей H_2O , для сжигания требуются одинаковые количества кислорода. Следовательно, согласно с нашим методом [8], для всех подобных изоуглеродных членов будут одинаковыми также и степени диссоциации: x для CO_2 и y , z , τ для H_2O , а также правые части уравнения (1'). Отсюда, если известны степени диссоциации x , y , z , t и τ , например, для n -алкенов, то при одинаковых условиях сгорания тем самым они будут известны и для всех соединений с химической формулой $C_n H_{2n}$. Аналогичное положение имеет место для изоуглеродных соединений с химической формулой $C_n H_{2n+2}$ и т. д. С учетом вышеизложенного, уравнения (1') при одинаковых условиях сгорания будут общими для всех изоуглеродных соединений, имеющих одинаковые химические формулы, например, $C_n H_{2n-2}$ или типа алканов $C_n H_{2n}$ и т. д. Существенно подчеркнуть, что это будет иметь место независимо от фазы соединения. Они отличаются друг от друга лишь членами — $\Delta H_{298,16}^0$, т. е. теплотами образования, которые, очевидно, должны быть различными как для различных представителей, так и для различных фаз одного соединения. Вместе с тем, как известно [13, 12], теплоты образования — $\Delta H_{298,16}^0$ практически всех членов данного гомологического ряда соединений в одинаковой фазе определяются по формулам типа (2) — (4); для различных гомологических рядов органических соединений подобные формулы отличаются лишь первыми членами правых частей [см. формулы (2) — (4)]. Таким образом, от кривых зависимостей левой части уравнений (1') для одного из представителей, например, алкенов, легко перейти к графикам соответствующих зависимостей для изоуглеродных соединений других гомологических рядов с такой же химической формулой, а именно для нашего случая с $C_n H_{2n}$. Пусть теплоты образования для представителей интересующего гомологического ряда с химической формулой $C_n H_{2n}$ определяются общим соотношением (2) — (4), т. е.

$$\Delta H_{298,16}^0 = h_1 + h_2 n, \quad (7)$$

где n — число атомов углерода, или число метиленовых групп в линейной углеродной цепочке; в случае алкилциклоалканов и пр. $n = z$ [10]. Если при этом окажется, что $h_1 > -19,120$ ккал на δ ккал [см. формулу (3)], то кривые зависимости $-\Delta H = f_1(T)$ для представителей интере-



сующего гомологического ряда будут выше соответствующих кривых Δ членов газообразных алкенов на δ . Следовательно, при его построении для органического соединения, содержащего, например, $z = 7$ метиленовых групп в цепочке $C - C - C - \dots$ достаточно от точек k_1, k_2, k_4 и k_5 , отвечающих температурам 2000, 2100, 2200, 2300 и 2400°K, кривой 2_7 (см. рисунок) отложить вверх по нормали отрезок, численно равный δ , и полученные точки соединить кривой. Затем из точки ее пере-

ния с кривой $2'_7$, опустив нормаль на ось абсцисс, легко найти максимальную температуру сгорания соединения. Если же k_1 будет меньше — 120 ккал на δ , кривая $-\Delta H = f_1(T)$ лежит ниже соответствующей кривой для n -алкенов. Для иллюстрации найдем температуру сгорания воображаемого n -гептилциклопентана и n -нонилциклопентана, определяемая общей химической формулой типа C_nH_{2n} . Известно [12], что стандартная теплота образования газообразных n -алкилциклопентанов определяется общей формулой

$$-\Delta H_{298,16}^0 = (20514 + 4926) \text{ ккал/моль.} \quad (8)$$

Взяв почленно из равенства (8) соотношение (3) для n -алкенов, легко получить для δ значение 09,616 ккал/моль. Отложив величину $\delta = 39,616$ ккал/моль, один раз от точек k_1, k_2, k_3, k_4, k_5 кривой 2_7 вверх по нормальям, отвечающим 2000, 2100, 2200, 2300 и 2400°K, легко построить зависимость $-\Delta H = f_1(T)$ для n -гептилциклопентана. Затем из точки β пересечения построенной кривой с графиком $2'_7$ восстановив нормаль к оси абсцисс, находим температуру сгорания: $T = 2366^\circ\text{K}$ для газообразного n -гептилциклопентана. Для определения температуры сгорания n -нонилциклопентана идём из точек пересечения нормалей к оси абсцисс, отвечающих 2000, 2200, 2300 и 2400°K, с кривой $2'_7$ вверх по нормальям отложить по n раз отрезки $q_1q_2, q_3q_4, q_5q_6, q_7q_8$ и q_9q_{10} , заключённые между кривыми 1_8 (рисунком); затем через полученные точки надо провести кривую $2''_9$; конец, из точки пересечения β_1 кривой $2''_9$ с $2'_9$, восстановив перпендикуляр к оси абсцисс, легко определить искомую температуру сгорания воображаемого n -нонилциклопентана; она равна 2350°K. Аналогичным образом поступают в других случаях.

Наконец, покажем, как по кривым рисунка находить максимальные температуры сгорания жидких и твердых органических соединений. Для этой цели достаточно ограничиться определением температуры сгорания жидких органических соединений, например жидких n -алкенов, к как способ нахождения температуры сгорания для твердых соединений аналогичен случаю с жидкими соединениями. Из нашей работы [3] известно, что теплоты образования при 25°С для жидких n -алкенов входят по единой формуле:

$$-\Delta H_{298,16} = (-17332 + 6106 z) \text{ ккал/моль;} \quad (9)$$

где z равно числу n атомов углерода в молекуле, совпадающем с числом метиленовых групп CH_2 в цепи $\text{C}-\text{C}-\dots$. Очевидно, что теплоты образования жидких соединений больше теплот образования тех же веществ в паровой фазе на величину теплоты испарения q_0 . Общую формулу для следней при 298,16°K в случае n -алкенов легко получить путем почленного вычитания соотношения (3) из выражения (9); нетрудно убедиться, что формула для q_0 n -алкенов при 298,16°K имеет вид [13]:

$$q_0 = (1788 + 1180 n) \text{ ккал/моль.} \quad (10)$$

Взяв, по формуле (10) для n -гептена теплота испарения $q_0 = 10,048$ ккал/моль и для n -октена $q_0 = 11,228$ ккал/моль и т. д. Следовательно, кривые зависимости левой части уравнения (1'), т. е. $-\Delta H = f_1(T)$, для жидких n -алкенов параллельны соответствующим кривым $2_7, 2_8$ и т. д. газообразных n -алкенов, причем лежат ниже последних на q_0 ккал/моль. Способ построения кривых совершенно очевиден (кривая $2''_7$ на рисунке). Точка пересечения β_2 последнего с кривой 2_9 определяет температуру сгорания жидкого n -гептена. Как видно из рисунка, эта температура равна 235°K. Точно так же графически легко находить температуры сгорания и других жидких и твердых органических соединений.

Итак, предложенный графический метод при его крайней простоте применим для определения равновесного состава и температуры сгорания любых классов органических соединений в газообразном, жидком и твердом состояниях, особенно в сочетании с нашим методом [8]. Его преимущество перед другими методами расчета тепловых процессов очевидно.

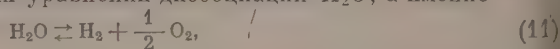
Метод рассмотрен на примере сгорания органических соединений в открытых сосудах при стехиометрическом соотношении с воздухом. Однако в действительности он пригоден также для расчета тепловых процессов сгорания органических соединений в смеси с любым количеством других веществ (воздух и пр.). Этот метод в своей основе справедлив также при расчете тепловых процессов при взрывах органических соединений в закрытых сосудах.

Зная температуры сгорания и равновесный состав конечной смеси после сгорания индивидуальных органических соединений, можно определять при тех же условиях температуру сгорания различных смесей из органических соединений, взятых в любых процентных соотношениях. Последнему вопросу мы посвятили специальную работу.

Произведем сравнение температур сгорания некоторых органических соединений, найденных по нашему методу, с расчетами и опытами из других источников. По методу, рассмотренному в [14], температура сгорания газообразного *n*-пропана со стехиометрическим количеством кислорода (воздуха) в открытом сосуде равна 2272°K, а наш графический метод даст 2278°K. Опытная температура сгорания 4,15% пропана в смеси с 95,85% воздуха, найденная методом обращения линии натрия, равна 2223°K, а наш метод даст при стехиометрическом соотношении с кислородом температуру 2278°K. Как и следовало ожидать, максимальная температура сгорания выше опытной. При этом следует учесть, что опытная температура сгорания найдена в [4] при значительном отклонении от стехиометрического соотношения; поэтому опытная температура в смеси со стехиометрическим количеством кислорода должна быть выше. Учитывая это, можно сказать, что графический метод дает вполне удовлетворительные данные даже для метана. В других случаях имеется также весьма хорошее соответствие с опытом и расчетами из других источников [4].

Существенно отметить, что в широко известных методах расчета тепловых процессов при высоких температурах искомая теоретическая температура сгорания находится путем линейной интерполяции [2, 5]; кроме того, в некоторых методах, например в [5], необходимая для этой цели внутренняя энергия принимается как квадратичная функция температуры *T*, что, с нашей точки зрения, не совсем правильно. В нашем же методе нет необходимости в линейной интерполяции (см. выше), и весь процесс нахождения температуры сгорания и равновесного состава смеси, как было видно из вышеизложенного, является весьма простым делом, что особенно выгодно в производственных условиях.

В заключение укажем, что данные табл. 1 и 2 составлены при учете лишь двух более вероятных уравнений диссоциации H₂O, а именно



иначе говоря, в уравнениях в [8] мы пренебрегли степенями диссоциации *i* и *τ*. Такое упрощение имеет свои основания, так как температура сгорания органических соединений в открытых сосудах не так высока. Температуры сгорания, определяемые графическим методом при только что указанных упрощениях, лишь незначительно выше их значений, полученных при учете *i* и *τ*. Это различие колеблется от 5 до 30°K.

ЛИТЕРАТУРА

- Химия двигателя, сборник № 1, «Химические основы работы двигателя», ИИЛ, М., 1948.
- А. П. Ваничев, Термодинамический расчет горения и истечения в области высоких температур, Изд-во Бюро новой техники, М., 1947.
- Ф. Н. Пирский и М. М. Карнаухов, Расчеты процессов горения, М., 1929.
- В. Льюис и Г. Эльбе, Горение, пламя и взрывы в газах, ИИЛ, М., 1948.
- Я. В. Зельдович и А. И. Полянский, Расчеты тепловых процессов при высоких температурах, Изд-во Бюро новой техники, М., 1947.
- В. Иост, Взрывы и горение в газах, ИИЛ, М., 1952.
- Н. Zeise, Feuerungstechnik, 26, Heft 5, 145; Heft 9, 248, 1938.
- П. Г. Маслов, Ю. Маслов, Журн. физ. химии, 30, 1956.
- А. А. Клочихин и П. Г. Маслов, Журн. физ. хим. 31, 181, 1957.
- П. Г. Маслов, Диссертация, МГПИ им. Ленина, 1953.
- П. Г. Маслов, Журн. физ. хим. 26, 1313, 1952; Журн. пр. хим. 28, 330, 1955.
- E. J. Prosen, F. D. Rossini, J. Research Nat. Bur. Standards, 34, 263—269; 36, 269, 1946.
- П. Г. Маслов, Журн. физ. хим. 29, 718, 1955.
- Р. Веннер, Термодинамические расчеты, ИИЛ, М., 1950.

A GRAPHICAL METHOD FOR DETERMINING THE COMBUSTION TEMPERATURES OF ORGANIC COMPOUNDS

*P. G. Maslov**(Leningrad)*

Summary

A graphical method has been proposed for determining the combustion temperatures of organic compounds that is applicable to the gaseous, liquid and solid phases of pure compounds and their mixtures on giving the latter conditional chemical formulas. The method is based on the additivity of the left and right sides of the energy balance equation of the reaction products with respect to the chain unit, in particular CH_2 groups.

The method is very simple and at the same time highly accurate. With its aid it is easy to establish a relationship between the combustion temperature and the phase components of the mixture and impurities (air, nitrogen, inert gases).

The method is applicable for determining combustion temperatures both at constant pressure as well as during explosion.

КИНЕТИКА КАТАЛИТИЧЕСКОГО СИНТЕЗА МЕТАНОЛА

В. М. Чередниченко и М. И. Темкин

Основным способом производства метанола является его каталитический синтез из водорода и окиси углерода.

В то время как исследованию равновесия синтеза метанола, подбору катализаторов, технологии процесса посвящено значительное число работ*, кинетика и механизм реакции синтеза метанола изучены мало.

В работе, посвященной кинетике синтеза метанола, Натта и Пастонези [3] предполагают, что синтез метанола протекает в две стадии: 1) образование формальдегида из водорода и окиси углерода; 2) гидрирование формальдегида до метанола. Это предположение высказывалось и ранее [4]. При трактовке скорости реакции Натта и Пастонези использовали уравнения гомогенной кинетики и не учитывали особенности кинетики гетерогенных каталитических процессов.

МЕТОДИКА ЭКСПЕРИМЕНТА

Исследование кинетики синтеза метанола производилось при давлениях от 112 до 650 мм рт. ст. и температурах от 184 до 302°С в цельностеклянной циркуляционной установке. Схема установки представлена на рис. 1.

Реакционный сосуд представлял собой стеклянную трубку диаметром 2,5 см, длиной 35 см, снабженную змеевиком длиной 280 см для подогрева газовой смеси, дырчатой пластинкой, на которой помещался катализатор, и трубкой для термомпары. Реакционный сосуд был расположен вертикально. Газовая смесь двигалась через слой зерен катализатора снизу вверх. Для поддержания постоянной температуры реакционный сосуд помещался в парах кипящей жидкости с подходящей температурой кипения.

Температура в реакционном сосуде измерялась серебряно-константановой термомпарой, включенной в цепь потенциометра ПП. Постоянство температуры соблюдалось в пределах одного градуса.

Давление в реакционном сосуде измерялось стеклянным мембранным манометром чувствительностью 10 мм шкалы на 1 мм рт. ст. Противодавление в колоколе мембранного манометра измерялось закрытым ртутным манометром. Применение мембранного манометра дало возможность устранить влияние паров ртути на катализатор.

Циркуляция газовой смеси осуществлялась поршневым стеклянным электромагнитным насосом системы ГИАП [5]. Расход газа измерялся посредством реометра, откалброванного по газовым часам. Особенностью конструкции реометра, примененного в этой работе, было то, что перепад давления, возникающий на диафрагме, измерялся стеклянным мембранным манометром. Таким образом был устранен источник возможных загрязнений газовой смеси — манометрическая жидкость реометра.

Продукты реакции улавливались в двух ловушках, одна из которых была наполнена силикагелем и погружена в смесь ацетона с твердой уголекислотой, а другая состояла из змеевика и трубки с впаянной в нее пористой стеклянной пластинкой и была погружена в жидкий кислород.

Почти во всех работах по определению равновесия синтеза метанола выделение метанола из газовой смеси, отходящей от катализатора, осуществлялось путем вымораживания паров метанола в ловушке, погруженной в жидкий воздух. Специально проведенные опыты показали нам, что в этих условиях метанол улавливается очень неполно — потери могут достигать 50%. Это объясняется образованием, при резком охлаждении газовой смеси, аэрозоля твердого метанола, не задерживающегося в обычной ловушке.

* Обзор ранних работ дан в книге Б. Н. Долгова [1]. Более поздние работы рассмотрены в обзоре Д. А. Поспехова [2].

По окончании опыта продукты реакции перегонялись в вакууме в пробирку на льду, охлажденную в жидком кислороде. Затем пробирка помещалась в сухой лед, мембранным манометром измерялось давление углекислоты (продукт побочной реакции) в калиброванном объеме 6 (рис. 1). Далее, при комнатной температуре пробирку держалась сумма давлений углекислоты и пара метанола в том же объеме. Из этих данных вычислялось количество метанола. Определение метанола производилось также титрованием 0,1 N KMnO_4 по прописи [6]. Оба способа определения метанола давали хорошо совпадающие результаты.

Оксись углерода получалась разложением концентрированной муравьиной кислоты (д. а.) в нагретой концентрированной серной кислоте. Для очистки от примесей (CO , CO_2 , SO_2 и др.) оксись углерода пропускалась через трубки с натронной извутью, хлористым кальцием и через две ловушки, охлаждаемые жидким кислородом.

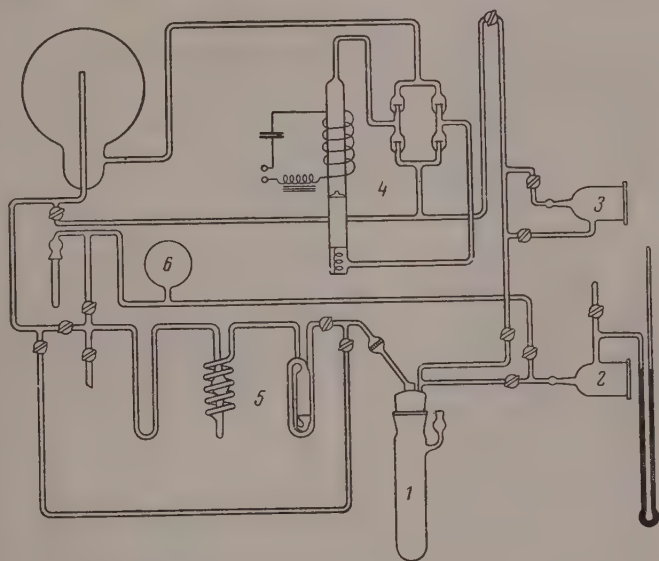


Рис. 1. Схема установки для изучения кинетики синтеза метанола. 1 — реакционный сосуд; 2 — мембранный манометр; 3 — реометр; 4 — циркуляционный насос; 5 — ловушки для улавливания метанола; 6 — калиброванный объем

Применялся электролитический водород из баллона. Он подвергался осушке пропущением через трубки с хлористым кальцием и едким кали. Очистка от следов кислорода производилась в нагретых трубках, наполненных нанесенной на кизельгур медью, нанесенным на силикагель палладием. Дополнительная осушка производилась пропущением через трубки, наполненные едким кали, и три ловушки, охлаждаемые жидким кислородом. По данным А. Е. Романушкиной [7], очищенный указанным способом водород содержит около 1% азота. Содержание кислорода не превышало 0,01% (чувствительность метода определения [8]).

Все опыты были проведены с окисным цинкхромовым катализатором, приготовленным по рецептуре Б. Н. Долгова и его сотрудников [9]. Катализатор восстанавливался непосредственно в установке сначала в токе водорода при температуре до 340° , затем продувкой смеси окиси углерода с водородом при 302° .

РЕЗУЛЬТАТЫ ОПЫТОВ

Изучалась зависимость выхода метанола от времени контакта газосмеси с катализатором, состава исходной газовой смеси и ее общего давления при различных температурах на катализаторе с зернами различных размеров.

Мы будем условно называть временем контакта величину

$$\tau = \frac{X}{Y} t, \quad (1)$$

где X — объем слоя зерен катализатора, Y — объем газа, проходящего сквозь слой за время t , измеренный при температуре и давлении газа в слое.

Зависимость выхода метанола от времени контакта изучалась в опытах со смесью стехиометрического состава $\text{CO}:\text{H}_2 = 1:2$ при давлении 900 мм рт. ст. и температурах 184, 218, 254 и 302°C. При 184, 218 и 254°C опыты проводились на катализаторе с размером зерен 4, 1,5 и 0,7 мм. Опыты при 302°C проводились на катализаторе с размером зерен 4 мм. Результаты измерений при 184°C приведены в табл. 1. В этой таблице и в последую-

Таблица 1

Зависимость выхода метанола от времени контакта при температуре 184°C

№ опыта	Размер зерна катализатора, мм	Объем слоя катализатора, см	$p_{\text{CO}}, \text{мм рт. ст.}$	$p_{\text{H}_2}, \text{мм рт. ст.}$	Давление, мм рт. ст.	Время контакта, сек.	$p_{\text{CH}_3\text{OH}}, \text{мм рт. ст.}$	$p_{\text{CO}_2}, \text{мм рт. ст.}$
161	4,0	20	204	408	4,0	0,137	1,30	0,315
162	4,0	20	197	393	4,0	0,153	1,4	0,3
163	4,0	20	198	396	4,0	0,188	1,66	0,3
164	4,0	20	200	400	4,0	0,084	3,32	1,15
165	4,0	20	204	408	4,0	0,067	3,12	1,08
176	1,5	10,5	194	388	3,0	0,167	3,32	0,85
177	1,5	10,5	199	398	3,0	0,167	3,19	0,48
178	1,5	10,5	202	405	3,75	0,131	3,2	0,78
197	0,7	37	210	422	1,5	0,142	6,10	0,10
198	0,7	37	196	392	3,0	0,149	13,5	0,397
199	0,7	37	198	396	3,5	0,171	11,89	0,47
200	0,7	37	194	388	3,0	0,168	11,90	0,39
201	0,7	37	198	395	3,0	0,168	13,6	0,393
208	0,7	37	201	402	3,0	0,142	8,85	0,35
228	0,7	15	200	400	3,0	0,168	4,87	0,214
237	0,7	15	199	399	2,5	0,162	4,75	0,51

щих $p_{\text{CH}_3\text{OH}}$ и p_{CO_2} — парциальные давления CH_3OH и CO_2 в газовой смеси после контакта с катализатором. Был принято, что зависимость парциального давления метанола за катализатором от времени контакта имеет следующий вид:

$$p_{\text{CH}_3\text{OH}} = A\tau^m, \quad (2)$$

где A и m — постоянные. Для вычисления постоянных уравнение (2) заменялось следующим:

$$\lg p_{\text{CH}_3\text{OH}} = \lg A + m \lg \tau. \quad (3)$$

Обработка данных, полученных на катализаторе с размером зерен 0,7 мм, по методу наименьших квадратов, приводит к значениям постоянных: $A = 1,7 \cdot 10^{-2}$; $m = 0,46$ ($p_{\text{CH}_3\text{OH}}$ в мм рт. ст., τ в секундах).

Результаты измерений при 218°C приведены в табл. 2. Обработка графическим методом данных, полученных на катализаторе с размером зерен 4 мм, показывает, что зависимость выхода метанола от времени контакта отвечает уравнению вида (2), со значениями постоянных $A = 6,5 \cdot 10^{-2}$; $m = 0,74$. Результаты измерений при 254°C приведены в табл. 3. Данные, полученные на катализаторе с размером зерен 4 мм, отвечают уравнению (2) со значениями постоянных $A = 9,62 \cdot 10^{-2}$; $m = 0,55$.

Результаты измерений при 302°C приведены в табл. 4. Эти измерения

Таблица 2

Зависимость выхода метанола от времени контакта при температуре 218°C

№ опыта	Размер зерна катализатора, мм	Объем катализатора, мл	P_{CO} , мм рт. ст.	P_{H_2} , мм рт. ст.	Длительность опыта, час.	Время контакта τ , сек.	P_{CH_3OH} , мм рт. ст. $\cdot 10^3$	P_{CO} , мм рт. ст. $\cdot 10^3$	$1/K \cdot D \cdot 10^3$
136	4,0	20	205	410	2,0	0,056	7,10	0,465	1,28
137	4,0	20	189	411	3,0	0,079	9,55	0,855	1,28
138	4,0	20	199	397	3,0	0,108	13,7	1,67	1,40
139	4,0	20	199	399	4,0	0,308	28,8	3,32	1,17
140	4,0	20	201	402	3,0	0,187	19,7	2,36	1,23
142	4,0	20	200	401	3,0	0,087	10,3	2,70	1,41
172	1,5	10,5	199	399	3,0	0,050	8,66	0,55	—
173	1,5	10,5	203	407	3,0	0,029	5,47	0,45	—
174	1,5	10,5	201	404	3,0	0,112	19,2	1,93	—
175	1,5	10,5	198	399	3,0	0,072	15,0	4,00	—
218	0,7	37	200	396	3,0	0,515	48,8	8,5	—
219	0,7	37	201	403	3,0	0,52	56,4	8,55	—
220	0,7	37	202	401	3,0	0,52	55,8	8,0	—
221	0,7	37	200	406	3,0	0,518	55,4	7,75	—
222	0,7	37	200	400	2,0	0,158	26,2	3,1	—
223	0,7	37	200	400	3,0	0,158	21,7	2,4	—
224	0,7	37	200	400	3,0	0,158	23,6	2,37	—
231	0,7	37	200	403	3,0	0,061	11,85	0,45	—
232	0,7	37	200	400	3,0	0,061	10,6	0,34	—
233	0,7	37	198	402	1,8	0,162	20,4	0,99	—
234	0,7	37	200	400	1,75	0,062	13,9	0,73	—
235	0,7	37	199	399	2,5	0,172	21,2	1,43	—

обнаружили заметной зависимости выхода метанола от времени контакта, за исключением данных, относящихся к наименьшим временам контакта (опыты № 123 и 130). Таким образом, во всех опытах данной серии, кроме указанных, устанавливалось равновесие. Значения констант равновесия, вычисленные по уравнению

$$K = \frac{P_{CH_3OH}}{P_{CO} P_{H_2}^2}, \quad (4)$$

приведены в табл. 4. Опыт № 132 и 187, приведенные со смесями, состав которых отличался от стехиометрического, привели к значениям констант равновесия, близким к полученным в остальных опытах, выполненных со смесью стехиометрического состава. Среднее значение константы равновесия $K = (2,46 \pm 0,14) \cdot 10^{-4} \text{ ат.м}^{-2}$ (результаты опытов № 123 и 130 не использованы при вычислении среднего).

Зависимость выхода метанола от парциального давления окиси углерода изучалась при температурах 184, 218 и 254°.

Опыты при 184° проводились на катализаторе с размером зерен 0,7 мм. Парциальное давление водорода было равно 400 мм рт. ст. Парциальное давление окиси углерода изменялось от 10 до 250 мм рт. ст. Длительность контакта во всех опытах была постоянной и составляла 0,19 сек. Результаты опытов приведены в табл. 5. Опытные данные могут быть представлены эмпирическим уравнением:

$$P_{CH_3OH} = 1,57 \cdot 10^{-3} P_{CO}^{0,32}, \quad (4')$$

в котором постоянные были определены указанным выше способом по методу наименьших квадратов.

Таблица 3

Зависимость выхода метанола от времени контакта при температуре 254°C

№ опытов	Размер зерна катализатора, мм	Объем катализатора, мл	p_{CO_2} , мм рт. ст.	p_{H_2} , мм рт. ст.	Длительность опыта, час.	Время контакта τ , сек.	p_{CH_3OH} , мм рт. ст. $\cdot 10^2$	p_{CO} , мм рт. ст. $\cdot 10^2$	$V_{H_2} \cdot D \cdot 10^3$
61	4	20	197	395	2,5	0,154	3,44	1,47	—
62	4	20	196	400	2,5	0,276	4,55	1,59	3,66
63	4	20	197	401	2,5	0,278	5,00	1,44	4,21
65	4	20	193	387	2,0	0,155	3,20	0,81	3,97
66	4	20	222	415	1,5	0,072	2,71	0,66	6,06
67	4	20	208	420	1,5	0,056	2,01	0,49	5,24
68	4	20	205	415	1,5	0,049	1,90	0,38	5,65
69	4	20	210	422	1,5	0,086	2,58	0,66	4,74
70	4	20	202	404	1,5	0,112	3,48	0,86	5,86
115	4	20	200	401	1,0	0,119	2,90	0,69	—
117	4	20	201	401	2,0	0,115	2,61	2,02	3,84
118	4	20	203	405	5,0	0,051	1,71	0,42	4,76
122	4	20	198	397	3,0	0,114	2,65	0,91	3,98
134	4	20	200	400	3,0	0,113	2,62	0,52	3,93
135	4	20	202	403	2,25	0,055	1,67	0,23	4,28
169	1,5	10,5	203	407	3,0	0,074	2,91	0,95	—
170	1,5	10,5	202	405	3,0	0,073	2,70	0,60	—
171	1,5	10,5	200	400	2,0	0,049	2,16	0,29	—
189	1,5	10,5	207	420	1,00	0,138	4,51	1,90	—
191	1,5	10,5	203	407	1,0	0,208	5,78	0,95	—
192	1,5	10,5	199	397	1,0	0,393	5,46	1,10	—
193	1,5	10,5	198	396	1,0	0,393	6,15	1,29	—
194	1,5	10,5	201	401	1,0	0,265	6,36	1,10	—
195	1,5	10,5	204	403	2,0	0,486	5,62	1,17	—
226	1,5	15	201	402	4,0	0,054	2,76	0,89	—
227	1,5	15	200	400	3,0	0,056	2,76	0,46	—
229	1,5	15	199	399	3,0	0,150	4,45	0,55	—
230	1,5	15	203	407	3,0	0,057	2,85	0,25	—

Таблица 4

Результаты измерений при 302°C; размер зерна катализатора 4 мм; объем катализатора 20 мл

№ опытов	p_{CO} , мм рт. ст.	p_{H_2} , мм рт. ст.	Длительность опыта, час.	Расход газа 0°, 760 мм рт. ст., л/час	$p_{CH_3OH} \cdot 10^2$, мм рт. ст.	$p_{CO_2} \cdot 10^2$, мм рт. ст.	$K \cdot 10^4$ атм.
123	202	405	3,0	530	1,18	0,94	(2,05)
124	198	397	2,0	210	1,49	1,67	2,74
127	202	405	3,0	228	1,39	1,86	2,42
128	200	400	4,0	67	1,34	2,61	2,42
129	201	401	3,0	150	1,39	2,39	2,42
130	203	405	1,5	608	1,23	1,07	(2,13)
131	201	403	2,5	394	1,22	1,12	2,16
132	100	501	3,0	140	1,13	0,90	2,47
187	127	514	2,0	306	1,55	2,10	2,59

Опыты при 218° проводились на катализаторе с размером зерен 4 мм. Парциальное давление водорода было равно 400 мм рт. ст. Время контакта было равно 0,078 сек. Парциальное давление окиси углерода менялось от 25 до 257 мм рт. ст. Результаты опытов приведены в табл.

Опыты при 254° проводились на катализаторе с размером зерен 4 мм. Были поставлены две серии опытов. В одной из них парциальное давление водорода было равно 400 мм рт. ст., а парциальное давление окиси

Таблица 5

зависимость выхода метанола от парциального давления окиси углерода; 184°; размер зерна катализатора 0,7 мм; объем катализатора 37 мл

№ опытов	P_{CO} , мм рт. ст.	P_{H_2} , мм рт. ст.	Длительность опыта, час.	Время кон- такта τ , сек.	P_{CH_3OH} , мм рт. ст. $\cdot 10^3$	P_{CO_2} , мм рт. ст. $\cdot 10^3$
202	51,9	414	3,0	0,193	8,3	0,20
203	248	392	2,0	0,192	8,27	0,20
204	10,3	406	3,0	0,194	5,29	0,07
205	24,6	406	3,0	0,193	4,10	0,07
206	25,9	401	3,0	0,196	4,17	0,14
207	100	398	2,5	0,193	6,36	0,08
208a	250	398	2,0	0,193	9,31	0,51
209	48,7	404	3,0	0,193	5,80	0,27
210	51	402	3,0	0,195	6,20	0,20

Таблица 6

зависимость выхода метанола от парциального давления окиси углерода; 218°; размер зерна катализатора 4 мм; объем катализатора 20 мл

№ опытов	P_{CO} , мм рт. ст.	P_{H_2} , мм рт. ст.	Длитель- ность опы- та, час.	Время кон- такта τ , сек.	P_{CH_3OH} , мм рт. ст. $\cdot 10^3$	P_{CO_2} , мм рт. ст. $\cdot 10^3$	$1/\bar{K} \cdot \bar{D} \cdot 10^{14}$
150	100	397	4,0	0,077	6,82	1,16	0,98
151	25	401	4,0	0,066	5,08	0,69	1,02
152	24,9	399	4,0	0,078	4,82	0,41	0,82
153	49,6	400	4,0	0,078	5,93	0,98	0,92
154	156	400	3,9	0,078	9,25	3,22	1,29
156	257	397	2,5	0,078	10,1	3,98	1,36
158	99	397	2,58	0,082	11,05	3,95	—
159	101	400	1,08	0,078	3,95	2,67	—
160	102	406	3,5	0,079	7,55	1,94	1,08

углерода изменялось от 12 до 255 мм рт. ст. В другой серии опытов парциальное давление водорода было равно 200 мм рт. ст., а парциальное давление окиси углерода изменялось от 24 до 426 мм рт. ст. Обе серии были проведены при постоянном значении объемной скорости, равном $22 \cdot 10^4$ час⁻¹. Результаты опытов приведены в табл. 7.

Зависимость выхода метанола от парциального давления водорода изучалась при температурах 184, 218 и 254°. Опыты при 184° проводились на катализаторе с размером зерен 0,7 мм. Парциальное давление окиси углерода было равно 100 мм рт. ст. Парциальное давление водорода изменялось от 100 до 550 мм рт. ст. Время контакта было во всех опытах одинаковым и составляло 0,19 сек. Результаты опытов приведены в табл. 8. Опытные данные могут быть представлены эмпирическим уравнением:

$$P_{CH_3OH} = 4,29 \cdot 10^{-4} P_{H_2}^{0,45}, \quad (5)$$

в котором постоянные были определены указанным выше способом по методу наименьших квадратов.

Опыты при 218° проводились на катализаторе с размером зерен 4 мм. Парциальное давление окиси углерода было равно 200 мм рт. ст. (за исключением опытов № 149a и 157). Парциальное давление водорода изменялось от 48 до 453 мм рт. ст. Время контакта было равно 0,078 сек.

Результаты опытов приведены в табл. 9.

Таблица 7

Зависимость выхода метанола от парциального давления окиси углерода; 254°; размер зерна катализатора 4 мм; объем катализатора 20 мл

№ опытов	P_{CO} , мм рт. ст.	P_{H_2} , мм рт. ст.	Длительность опыта, час	Время контакта τ , сек.	P_{CH_3OH} , мм рт. ст. $\cdot 10^3$	P_{CO_2} , мм рт. ст. $\cdot 10^3$	$\sqrt{k_1 D \cdot 10^{13}}$
86	11,6	398	2,0	0,081	4,9	0,27	2,53
87	25,0	400	3,0	0,085	6,3	0,44	1,74
88	52,0	394	3,0	0,10	11,4	1,03	2,48
89	74,1	392	3,0	0,095	14,1	1,75	2,99
90	97	387	3,0	0,099	16,6	2,52	3,24
91	255	390	3,0	0,127	30,6	5,2	4,01
92	200	400	3,0	0,129	29,0	6,85	3,94
93	130	399	3,0	0,109	21,0	2,78	3,56
96	200	400	3,0	0,120	27,7	4,2	3,98
97	53	205	3,0	0,049	4,00	1,04	2,11
98	74,5	201	3,0	0,055	4,0	1,09	1,53
99	152	200	3,0	0,071	6,7	2,42	1,82
100	24,2	200	3,0	0,057	2,27	0,42	1,35
101	35,8	203	3,0	0,048	2,23	0,56	1,06
102	26,3	200	2,0	0,046	1,94	0,45	1,11
103	49,2	200	3,0	0,050	2,91	1,13	1,31
104	75,5	200	3,0	0,055	3,96	1,73	1,46
105	101	199	3,0	0,060	4,26	1,86	1,32
106	150	200	3,0	0,070	6,60	2,06	1,80
107	199	199	3,0	0,080	8,40	3,21	1,99
108	298	200	3,0	0,100	12,3	3,98	2,27
109	426	202	3,0	0,126	16,4	4,92	2,43

Таблица 8

Зависимость выхода метанола от парциального давления водорода; 184°; размер зерна катализатора 0,7 мм; объем катализатора 37 мл

№ опытов	P_{CO} , мм рт. ст.	P_{H_2} , мм рт. ст.	Длительность опыта, час.	Время контакта τ , сек.	P_{CH_3OH} , мм рт. ст. $\cdot 10^3$	P_{CO_2} , мм рт. ст. $\cdot 10^3$
211	102	204	3,0	0,194	4,74	0,48
212	98,4	525	3,0	0,190	7,56	0,20
213	106	105	3,0	0,197	4,54	0,35
214	100	101	3,0	0,193	3,42	0,27
215	100	550	3,0	0,199	7,10	0,36
216	100	100	3,0	0,193	4,47	1,42
217	101	100	3,0	0,193	2,79	1,29

Таблица 9

Зависимость выхода метанола от парциального давления водорода; 218°; размер зерна катализатора 4 мм; объем катализатора 20 мл

№ опытов	P_{CO} , мм рт. ст.	P_{H_2} , мм рт. ст.	Длительность опыта, час.	Время контакта τ , сек.	P_{CH_3OH} , мм рт. ст. $\cdot 10^3$	P_{CO_2} , мм рт. ст. $\cdot 10^3$	$\sqrt{k_1 D \cdot 10^{13}}$
144	202	205	4,5	0,079	5,51	4,06	8,29
145	200	453	3,0	0,078	9,85	1,68	13,0
146	202	101	4,0	0,078	3,28	3,16	5,94
148	204	52	6,0	0,078	1,29	2,78	2,61
149	203	48	4,0	0,078	1,05	2,05	2,11
149a	100	100	5,0	0,077	4,04	1,22	6,70
157	98	550	2,5	0,085	11,3	1,42	14,5

Опыты при 254° проводились на катализаторе с размером зерен 4 мм. парциальное давление окиси углерода было равно 100 мм рт. ст. Парциальное давление водорода изменялось от 112 до 494 мм рт. ст. Результаты опытов приведены в табл. 10.

Таблица 10

Зависимость выхода метанола от парциального давления водорода; 254°; размер зерна катализатора 4 мм; объем катализатора 20 мл

№ опытов	p_{CO} , мм рт. ст.	p_{H_2} , мм рт. ст.	Длительность опыта, час.	Время контакта τ , сек.	p_{CH_3OH} , мм рт. ст. $\cdot 10^2$	p_{CO_2} , мм рт. ст. $\cdot 10^2$	$\sqrt{k_1 D \cdot 10^{10}}$
73	101	206	2,0	0,162	7,76	9,4	1,25
77	112	112	4,0	0,045	2,02	2,24	1,21
80	94	196	2,0	0,058	4,34	3,23	1,50
81	95	283	3,0	0,076	9,1	3,86	2,38
82	101	400	3,0	0,096	15,7	3,29	2,94
83	98	494	3,0	0,118	24,8	3,89	3,91

Данные наших опытов показывают, что выход углекислоты приблизительно пропорционален времени контакта. Таким образом кинетика бокового процесса образования углекислоты существенно отлична от кинетики образования метанола, для которой такого рода пропорциональность не наблюдается. Выход углекислоты не зависит от парциального давления водорода и возрастает при увеличении парциального давления окиси углерода, но не пропорционально ему, а медленнее. Выход углекислоты не зависит от величины размеров зерен катализатора.

Можно предполагать, что в наших опытах происходило частичное разложение окиси углерода согласно уравнению $2CO = CO_2 + C$, аналогичному, как это наблюдали Тейлор и Барвелл [10]. Образовавшийся углерод гидрировался до метана. Применявшаяся нами методика не давала возможности наблюдать образование метана.

ОБСУЖДЕНИЕ РЕЗУЛЬТАТОВ

Как уже указывалось, при температурах 184, 218 и 254° выход метанола возрастает не пропорционально увеличению времени контакта, а медленнее. Эта зависимость может быть представлена уравнением (2), в этом величина $m < 1$.

Существование такого рода зависимости можно рассматривать как свидетельство на то, что реакция синтеза метанола тормозится продуктом реакции — метанолом*. Кинетика реакции в этом случае при постоянных p_{CO} и p_{H_2} может быть передана уравнением:

$$\frac{dp_{CH_3OH}}{d\tau} = \frac{k}{p_{CH_3OH}^l} \quad (6)$$

где k и l — постоянные величины.

Интегрирование уравнения (6) дает

$$p_{CH_3OH} = [(l+1)k\tau]^{1/(l+1)}. \quad (7)$$

Таким образом

$$m = \frac{1}{l+1}. \quad (8)$$

* Торможение реакции синтеза метанола ее продуктом было показано ранее в опытах И. О. Апельбаума. Эта работа проводилась в начале 1941 г. в лаборатории химической кинетики Физико-химического института им. Л. Я. Карпова и была представлена в связи с обстоятельствами военного времени.

При 184° и размере зерен катализатора $0,7 \text{ мм}$, $m = 0,5$, отсюда $l \approx 1$.

Выше было отмечено, что образование углекислоты, в отличие от образования метанола, протекает так, что выход углекислоты пропорционален времени контакта. Отсюда следует, что реакция образования углекислоты не тормозится ни метанолом, ни углекислотой.

Результаты опытов при температурах 184 , 218 и 254° на катализаторе с различными размерами зерен показывают, что в одних и тех же условиях температуры, давления и состава смеси, при одних и тех же временах контакта, уменьшение размера зерна катализатора приводит к увеличению выхода метанола. Это обстоятельство определенно указывает на то, что диффузионные явления сказывались, в большей или меньшей степени, на протекании реакции синтеза метанола в условиях наших опытов. Поэтому при истолковании полученных результатов необходимо учитывать как торможение реакции ее продуктом, так и роль процессов диффузии.

Мы исходим из следующей физической картины процесса. Исходные вещества — водород и окись углерода — реагируют на поверхности пор произывающих зерна катализатора, с образованием метанола, который затем диффундирует к внешней поверхности зерен катализатора. В тех случаях, когда скорость реакции достаточно мала и отвод образовавшегося метанола посредством диффузии не затруднен, концентрация метанола и скорость реакции во всем объеме зерна одинаковы. Это отвечает протеканию реакции в кинетической области. При увеличении скорости реакции, например вследствие повышения температуры, концентрации метанола в центре зерна становится больше его поверхностной концентрации. Увеличение концентрации метанола приводит к уменьшению скорости реакции по сравнению с тем значением, которое она имела бы в отсутствие диффузионных эффектов. Дальнейший рост скорости реакции приводит к тому, что реакция локализуется по преимуществу в слое, толщина которого мала по сравнению с размером зерна. Такой режим отвечает протеканию реакции во внутренней-диффузионной области.

В условиях наших опытов степени превращения исходных веществ — водорода и окиси углерода — составляли не более 1% , даже если считать, что в центре зерна катализатора всегда достигается состояние равновесия. Поэтому невозможно возникновение сколько-нибудь значительного градиента концентраций водорода или окиси углерода. Таким образом диффузионное торможение, если оно наблюдается, обусловлено лишь недостаточно быстрым отводом образовавшегося метанола.

Расчет показывает, что в нашем случае можно считать диффузию промежутках между зернами катализатора протекающей мгновенно и учитывать лишь диффузию внутри зерен.

Так как реакция образования углекислоты не тормозится метанолом, она должна протекать не в диффузионной, а в кинетической области. Действительно, скорость этой реакции не зависит от размера зерен.

Анализ опытных данных о зависимости выхода метанола от времени контакта мы начнем с обсуждения данных для температур 184 и 218° , при которых выходы метанола настолько далеки от равновесных, что можно не учитывать протекание обратной реакции.

Выше было отмечено, что из наблюдений при 184° и размере зерен катализатора $0,7 \text{ мм}$, зависимости выхода метанола от времени контакта протекает кинетическое уравнение вида:

$$W = \frac{\text{const}}{c},$$

где W — скорость реакции, c — концентрация метанола. Если сделать аналогичный расчет по данным для 218° и размере зерен 4 мм , мы получим

$$W = \frac{\text{const}}{c^{0,35}}. \quad (10)$$

Такое изменение формы уравнения подсказывает предположение, что данные для 184° и размера зерна $0,7 \text{ мм}$ относятся к кинетической области, данные для 218° и размера зерна 4 мм — к диффузионной. При этом истинная форма кинетического уравнения при обеих температурах одинакова отвечает зависимости:

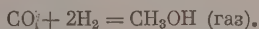
$$\omega = \frac{k'_1}{c}. \quad (11)$$

Здесь ω — скорость реакции в расчете на единицу объема зерна катализатора, k'_1 — постоянная величина:

$$k'_1 = k_1 c_{\text{CO}}^\eta c_{\text{H}_2}^\zeta, \quad (12)$$

где k_1 — константа скорости синтеза метанола, c_{CO} и c_{H_2} — концентрации окиси углерода и водорода, η и ζ — постоянные.

Учет влияния обратной реакции требует определения констант равновесия реакции



Они были вычислены из следующих значений термодинамических функций:

$$\Delta H_{298}^0 = -21890 \pm 60 \text{ кал}; \Delta S_{298}^0 = 57,05 \text{ кал/град};$$

$$\Delta C_p = -14,881 + 1,619 \cdot 10^{-2} T - 8,532 \cdot 10^{-7} T^2.$$

Эти величины относятся к образованию неассоциированного газообразного метанола [11].

Для реакции, кинетика которой подчиняется уравнению (12), во внутренней диффузионной области выполняется уравнение [12]:

$$V \overline{k'_1 D^*} = \sqrt{\frac{\pi}{2}} \frac{c_p [1 - \Phi(z)]}{e \operatorname{erf} z}, \quad (13)$$

$$V \overline{k'_1 D^*} = \sqrt{\frac{\pi}{e}} \frac{c_p [1 - \Phi(z')]}{\operatorname{erf} z'}. \quad (14)$$

Здесь D^* — эффективный коэффициент диффузии продукта в порах катализатора, c_p — равновесная концентрация продукта, Φ — интеграл вероятностей (функция Крампа), e — основание натуральных логарифмов, n — число зерен катализатора в единице объема, s — величина внешней поверхности зерна катализатора, c — концентрация продукта в газовой смеси после контакта с катализатором:

$$u = \frac{c_{\text{вых}}}{c_p}, \quad z = \sqrt{-\ln(eu)}, \quad z' = \sqrt{-\ln(V e^{-1} u)}.$$

Уравнения (13) и (14) выведены в предположении, что $u \ll 1$, т. е. реакция протекает вдали от равновесия, причем уравнение (13) отвечает случаю, когда обратная реакция идет по нулевому порядку, а уравнение (14) — случаю, когда обратная реакция идет по первому порядку по отношению к продукту прямой реакции.

Применим уравнения (13) и (14) к данным опытов по определению зависимости выхода метанола от времени контакта при 218° на катализаторе размером зерен 4 мм . Постоянные s и n определены следующим образом. Величина s принята равной поверхности шара, радиус которого равен

половине среднего размера зерна, т. е. $s = 4 \pi a^2$, где $a = 0,2$ см. Таким образом $s = 0,5$ см². Величина n определена непосредственным подсчетом и равна 22.

Результаты расчета по уравнениям (13) и (14) приведены в табл. 11.

Из данных табл. 11 видно, что при изменении величины времени контакта в 5,5 раза значение величины $\sqrt{k_1' D^*}$ изменяется лишь на 10%.

Таблица 11

№ опытов	Время контакта τ , сек.	$\frac{c}{c_p} \cdot 10^3$	$\sqrt{k_1' D^*} \cdot 10^{10}$	
			по уравнению (13)	по уравнению (14)
136	0,056	1,15	1,28	1,71
137	0,079	1,67	1,28	1,71
138	0,108	2,44	1,40	1,85
139	0,308	5,08	1,17	1,53
140	0,187	3,38	1,23	1,61
142	0,078	1,79	1,41	1,84

При этом степень постоянства величины $\sqrt{k_1' D^*}$ практически не зависит от предположения о кинетике обратной реакции. Таким образом, действительно, на основе предположения о том, что данные, полученные при 184° на катализаторе с размером зерен 0,7 мм, относятся к кинетической области, а данные для 218° и 4 мм — к диффузионной, можно истолковать данные, полученные как в тех, так и в других условиях при помощи одного и того же уравнения (11).

Для дальнейшей проверки уравнения (11) используем данные, полученные при 254° на катализаторе с зернами размером 4 мм. Здесь, однако, имеет существенное значение обратная реакция. Для такого случая уравнение (13) должно быть заменено [12] уравнением:

$$\sqrt{k_1' D^*} = \frac{c_p \int_0^u \frac{du}{V u - \ln u - 1}}{\sqrt{2 \operatorname{sn} \tau}} \quad (15)$$

$$\sqrt{k_1' D^*} = \frac{c_p \int_0^u \frac{du}{V u^2 - \ln(u^2) - 1}}{\operatorname{sn} \tau} \quad (16)$$

Так как в данных опытов по определению зависимости выхода метанола от времени контакта при 254° на катализаторе с размером зерен 4 мм наблюдается значительный разброс, то для вычисления величин $\sqrt{k_1' D^*}$ были использованы сглаженные значения выхода метанола, вычисленные по уравнению (3).

Результаты расчета по уравнениям (15) и (16) приведены в табл. 12.

Из данных табл. 12 видно, что величины $\sqrt{k_1' D^*}$, вычисленные как по уравнению (15), так и по уравнению (16), обнаруживают заметный ход при изменении времени контакта. Однако при использовании уравнения (15), выведенного в предположении о протекании обратной реакции по нулевому порядку, ход меньше, чем при использовании уравнения (16), выведенного в предположении, что обратная реакция протекает по первому порядку. При изменении времени контакта в 6 раз величина $\sqrt{k_1' D^*}$ изменяется, если ее вычислять по уравнению (15), на 40%. Учитывая приближенный

Таблица 12

Время контакта τ , сек.	$\frac{c}{c_p}$	$\sqrt{k_1' D^*} \cdot 10^{10}$	
		по уравнению (15)	по уравнению (16)
0,05	0,168	5,34	6,62
0,10	0,246	4,54	5,58
0,20	0,362	4,03	4,76
0,30	0,452	3,82	4,24

арактер принятого метода расчета, такой результат следует признать удовлетворительным.

Исследователи, изучавшие разложение метанола на окиси цинка, аблюдали протекание этой реакции по нулевому порядку [13, 14]. С другой стороны, К. И. Матвеев [15] нашел для этой реакции порядок, меняющийся от 0,8 до 1,7. Следует учитывать возможность различия в кинетическом уравнении при протекании реакции разложения метанола дали и вблизи от равновесия и других осложняющих факторов.

Можно заключить, что данные о зависимости выхода метанола от времени контакта подтверждают предположение, согласно которому кинетика синтеза метанола как при большом удалении от равновесия, так в том случае, когда необходим учет обратной реакции, может быть представлена уравнением (11).

Значения величин $\sqrt{k'_1 D^*}$, вычисленные из данных всех опытов, полученных на катализаторе с зернами размеров 4 мм, для которых наиболее применимы уравнения кинетики в диффузионной области, приведены в табл. 2, 3, 6, 7, 9, 10.

Чтобы определить из величин $k'_1 D^*$ вид зависимости k'_1 от c_{CO} и c_{H_2} , необходимо знать, как зависит величина эффективного коэффициента диффузии от состава и давления газовой смеси.

Как известно, при молекулярной диффузии коэффициент диффузии зависит от состава и давления смеси; при так называемой кнудсеновской диффузии указанная зависимость не имеет места.

Если кинетика реакции подчиняется уравнению (11) и соблюдается следующее

$$\frac{1}{15} \frac{k'_1 a^2}{D^* c^2} \ll 1, \quad (17)$$

реакция должна протекать в кинетической области [12].

Рассмотрим в качестве примера данные опыта 136 (табл. 2), проведенного при 218°. В этом опыте $a = 2 \cdot 10^{-1}$ см, $c = 2,32 \cdot 10^{-10}$ моль/см³, $D^* = 1,64 \cdot 10^{-20}$.

Использованный нами катализатор является неоднородно пористым телом. В нем преобладают поры радиусом 20 и 400 Å*. Коэффициенты кнудсеновской диффузии при 218° в порах указанного радиуса равны соответственно $7,5 \cdot 10^{-3}$ и $0,15$ см²/сек.

Коэффициент молекулярной диффузии, вычисленный по полуэмпирической формуле [16], в условиях опыта № 136 равен $0,86$ см²/сек. Поскольку нас интересует только порядок величин, мы не будем различать D и D^* .

Вычислим теперь значения критерия $\frac{1}{15} \frac{k'_1 a^2}{D^* c^2}$ при различных предположениях о величине коэффициента диффузии метанола:

а) Лимитирует молекулярная диффузия метанола. В этом случае:

$$k'_1 = \frac{(k'_1 D)}{D} = 1,91 \cdot 10^{-20}, \quad \frac{1}{15} \frac{k'_1 a^2}{D c^2} = 1,1 \cdot 10^{-3}.$$

б) Лимитирует кнудсеновская диффузия в порах радиусом 400 Å. В этом случае

$$k'_1 = 1,09 \cdot 10^{-19}, \quad \frac{1}{15} \frac{k'_1 a^2}{D c^2} = 3,6 \cdot 10^{-2}.$$

* Данные о пористости катализатора любезно представлены нам проф. Г. К. Борозным. Авторы считают своим приятным долгом выразить благодарность Г. К. Борознову и М. С. Борисовой, выполнившей измерения пористости.

в) Лимитирует кнудсеновская диффузия в порах радиусом 20\AA . В этом случае

$$k'_1 = 2,19 \cdot 10^{-18}, \quad \frac{1}{15} \frac{k'_1 a^2}{Dc^2} = 14,5.$$

Таким образом только предположение о лимитирующей роли кнудсеновской диффузии в порах радиусом 20\AA согласуется с опытным фактом диффузионного характера кинетики в рассматриваемых условиях.

Покажем теперь, что это предположение не находится в противоречии со сделанным ранее предположением, что в опытах при 184° на катализаторе с зернами размером $0,7\text{ мм}$ реакция протекает в кинетической области.

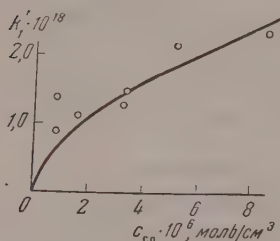


Рис. 2

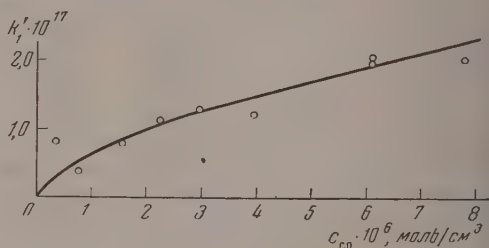


Рис. 3

Рис. 2. Зависимость величины k'_1 от концентрации окиси углерода при 218°
Рис. 3. Зависимость величины k'_1 от концентрации окиси углерода при 254°
 $c_{H_2} = 1,22 \cdot 10^{-5} \text{ моль/см}^3$

Величины k'_1 рассчитаем по уравнению

$$k'_1 = \frac{\psi}{2(1-\xi)} \frac{c_{\text{вых}}^2}{\tau}, \quad (18)$$

где ψ — доля свободного объема пор в зерне, ξ — доля свободного объема между зернами катализатора. Уравнение (18) может быть легко получено из уравнений (14), (18), (19), (24) и (25) статьи авторов [12]. В нашем случае $\psi \approx \xi \approx 0,5$, поэтому для вычисления используем уравнение (18) в виде

$$k'_1 = \frac{c_{\text{вых}}^2}{2\tau}. \quad (19)$$

Рассмотрим в качестве примера данные опыта № 197 (табл. 1). $c = 2,14 \cdot 10^{-10} \text{ моль/см}^3$; $\tau = 0,142 \text{ сек.}$; $k'_1 = 1,61 \cdot 10^{-19} \text{ моль}^2/\text{см}^6 \text{ сек.}$; $a = 3,5 \cdot 10^{-2} \text{ см.}$ Значение критерия (17) в этом случае равно $4,1 \cdot 10^{-2}$. Таким образом уменьшение скорости реакции вследствие диффузионного торможения составляет около 4%. Поэтому можно считать, что данные полученные при 184° на катализаторе с размером зерен $0,7\text{ мм}$, относятся к кинетической области.

Зависимость величин k'_1 от концентраций водорода и окиси углерода была определена графическим способом из данных опытов по определению зависимости выхода метанола от парциальных давлений водорода и окиси углерода, проведенных на катализаторе с размером зерен 4 мм .

при температурах 218 и 254°. Из рис. 2, 3 и 4 видно, что при 218° и 254° зависимость величины k'_1 от c_{CO} может быть представлена уравнением вида $k'_1 = \text{const } c_{CO}^{0,6}$.

Зависимость величины k'_1 от c_{H_2} при 218° отвечает уравнению вида $k'_1 = \text{const } c_{H_2}$ (рис. 5), а при 254° — уравнению вида $k'_1 = \text{const } c_{H_2}^{1,5}$ (рис. 6).

Согласно уравнениям (12) и (19) для реакции в кинетической области

$$c = (2k_1 c_{CO}^{\eta} c_{H_2}^{\zeta})^{1/2}. \quad (20)$$

Из уравнений (4) и (20) находим, что в кинетической области $\eta \approx 0,6$. Из уравнений (5) и (20) находим, что $\zeta \approx 1$. Так как, кроме того, нами

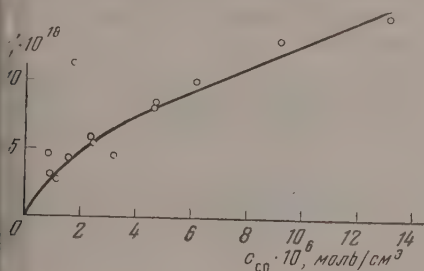


Рис. 4

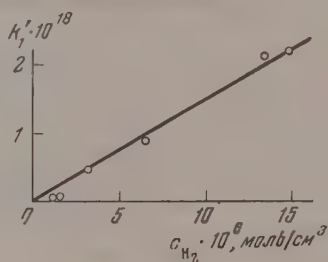


Рис. 5

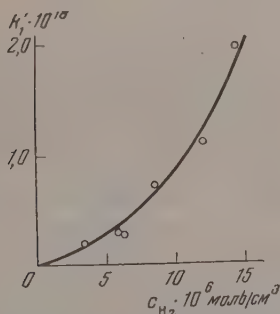


Рис. 6

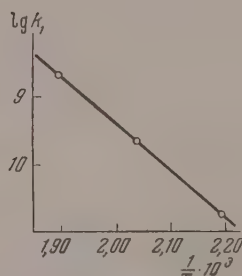


Рис. 7

рис. 4. Зависимость величины k'_1 от концентрации окиси углерода при 254°. $c_{H_2} = 6,1 \cdot 10^{-3}$ моль/см³

Рис. 5. Зависимость величины k'_1 от концентрации водорода при 218°

Рис. 6. Зависимость величины k'_1 от концентрации водорода при 254°

Рис. 7. Зависимость скорости реакции синтеза метанола от температуры

было найдено, что скорость реакции в кинетической области обратно пропорциональна концентрации метанола, то уравнение скорости реакции синтеза метанола в кинетической области имеет вид:

$$\omega = k_1 \frac{c_{CO}^{0,6} c_{H_2}}{c_{CH_3OH}}. \quad (21)$$

Анализ данных, относящихся к диффузионной области, проведенный нами, показывает, что и при температурах 218 и 254° кинетика синтеза метанола описывается тем же уравнением (21).

То обстоятельство, что данные, полученные при 254° , хуже согласуются с уравнением (21), чем данные для 184° и 218° , объясняется, по-видимому, тем, что данные, полученные при 254° , строго говоря, относятся к переходной, а не к чисто диффузионной области. В этом случае использованные нами сведения диффузионной задачи к одномерной вносит заметную ошибку.

Из величин k'_1 , вычисленных для диффузионной области по уравнениям (13) и (15) делением на произведения $c_{\text{CO}}^0 \text{CH}_3$, были вычислены значения констант скорости реакции синтеза метанола для температур 184, 218 и 254° . Зависимость величины k'_1 от температуры представлена на рис. 7. Наклон прямой отвечает энергии активации реакции 32 ккал/моль.

О РОЛИ ДИФФУЗИИ ПРИ СИНТЕЗЕ МЕТАНОЛА В ПРОМЫШЛЕННЫХ УСЛОВИЯХ

При промышленном синтезе метанола реакция протекает в условиях, существенно отличающихся от тех, которые были в наших опытах. Промышленный синтез проводят при давлении около 250 атм и температурах, близких к 400°C [1, 17].

Для того чтобы выяснить роль диффузии в производственных условиях, воспользуемся критерием (17), выражающим условия протекания реакции в кинетической области. Подставив в (17) значение k'_1 из уравнения (19), получим

$$\frac{1}{3} \cdot \frac{a^2}{D^* \tau} \ll 1. \quad (22)$$

При объемных скоростях $15000\text{--}40000 \text{ час}^{-1}$ условное время контакта τ , согласно уравнению (1), равно 10—25 сек.

Коэффициент молекулярной диффузии метанола в стехиометрической смеси водорода и окиси углерода при 400° и 250 атм примерно вдвое меньше коэффициента кнудсеновской диффузии в порах радиусом 20 Å при 400° и равен около $4 \cdot 10^{-3} \text{ см}^2/\text{сек}$.

В. Н. Шишкова (18) нашла, изучая синтез аммиака при высоких давлениях, что

$$D^* = 0,25 D. \quad (23)$$

Принимая это соотношение, находим, что $D^* = 1 \cdot 10^{-3} \text{ см}^2/\text{сек}$. При размере таблеток катализатора 5—10 мм величина $\frac{1}{3} a^2 D^* \tau$ составляет от 0,1 до 1. Таким образом синтез метанола в промышленных условиях протекает в переходной области между кинетической областью и внутренней диффузионной.

При 430° , 250 атм и объемной скорости 15000 час^{-1} конвертированный газ содержит около 3% метанола [17], что соответствует концентрации метанола $1,36 \cdot 10^{-4} \text{ моль/см}^3$.

Принимая найденную выше величину энергии активации 32 ккал и экстраполируя по уравнению Аррениуса значение константы скорости k'_1 , вычисленное из данных наших опытов, относящихся к кинетической области, получаем, что при 430° смеси стехиометрического состава и давлении 250 атм $k'_1 = 2,42 \cdot 10^{-10} \text{ моль}^2/\text{см}^6\text{сек}$. Тогда, согласно уравнению (19), $c_{\text{CH}_3\text{OH}} = 1,06 \cdot 10^{-4} \text{ моль/см}^3$.

Этот расчет, разумеется, имеет приближенный характер, так как не учитывает протекания обратной реакции, а также влияния давления на константу скорости реакции, которое при давлениях порядка 250 атм может быть заметным. Кроме того, нет уверенности в том, что промышленный катализатор, к которому относятся приведенные данные, и катализатор в наших опытах имели строго одинаковую активность, хотя эти катализаторы одинакового типа. Все же близость величины $c_{\text{CH}_3\text{OH}}$

вычисленной из кинетического уравнения и наблюдаемой в промышленных условиях, может служить подтверждением вывода о сравнительно слабом влиянии диффузионного торможения на промышленный процесс синтеза метанола.

О ВОЗМОЖНОМ ИСТОЛКОВАНИИ КИНЕТИКИ СИНТЕЗА МЕТАНОЛА

Выше было показано, что реакция синтеза метанола тормозится ее продуктом. Такой характер кинетики встречается часто при изучении гетерогенных каталитических процессов. Так, окисление сернистого газа тормозится серным ангидридом [19], синтез аммиака тормозится аммиаком [20], гидрирование бензола тормозится циклогексаном [21], образование уголекислоты и водорода из окиси углерода и водяного пара тормозится водородом [22] и т. д.

Существуют различные подходы к истолкованию тормозящего действия продуктов в каталитических реакциях. Согласно одному из них, высказанному Лэнгмюром [23] и развитому далее Хиншельвудом [24], Пвабом [25] и другими исследователями, продукт реакции тормозит реакцию потому, что адсорбируется на катализаторе и покрывает значительную часть поверхности. При такого рода трактовке чаще всего принимают, что скорость установления адсорбционного равновесия велика по сравнению со скоростью реакции. В нашем случае, предполагая, что лимитирующей стадией реакции является образование формальдегида, который затем быстро гидрируется в метанол, и, принимая, что метанол сильно адсорбируется на поверхности катализатора, покрывая ее почти полностью, мы получим для скорости реакции уравнение:

$$\omega = \frac{c_{\text{CO}} c_{\text{H}_2}}{c_{\text{CH}_3\text{OH}}}, \quad (24)$$

близкое к опытному уравнению (21), но не совпадающее с ним.

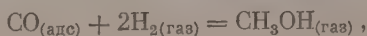
Приведенная трактовка сталкивается со следующей трудностью. Образование уголекислоты не тормозится метанолом. Поэтому нужно предположить, что образование уголекислоты протекает на каких-то особых участках поверхности, на которых, в отличие от участков, катализирующих синтез, метанол не адсорбируется. Такое предположение представляется искусственным.

В ряде работ [20, 22, 26] был развит другой подход к истолкованию тормозящего действия продуктов в обратимых контактных процессах. В основе его лежит представление о том, что продукт реакции, не адсорбируясь в заметных количествах на поверхности катализатора, влияет на степень покрытия поверхности другим веществом, так как участвует быстро устанавливающейся равновесии с этим адсорбированным веществом.

Чтобы применить такой подход к нашему случаю, примем, например, то в значительных количествах адсорбируется на поверхности только окись углерода, причем скорость адсорбции окиси углерода определяет скорость синтеза метанола. Используя представления о неоднородности поверхности или об отталкивательных силах между адсорбированными молекулами, подобно тому как это было сделано при трактовке синтеза аммиака [20], мы получаем, что скорость процесса определяется уравнением

$$\omega = k \frac{c_{\text{CO}}}{f_{\text{CO}}^x}, \quad (25)$$

где f_{CO} — летучесть CO в адсорбированном состоянии, x — постоянная, заключающаяся между 0 и 1. Согласно предположению о существовании равновесия:



f_{CO} определяется уравнением:

$$f_{CO} = K \frac{c_{CH_3OH}}{c_H^2}, \quad (26)$$

где k — постоянная.

Уравнения (25) и (26) дают

$$\omega = k \frac{c_{CO} c_{H_2}^{2x}}{c_{CH_3OH}^x}. \quad (27)$$

Это уравнение лишь качественно согласуется с опытным уравнением (21). Если принять, что определяющей является адсорбция водорода, то, рассуждая аналогично предыдущему, приходим к уравнению:

$$\omega = k \frac{c_{H_2} c_{CO}^{1/2y}}{c_{CH_3OH}^{1/2y}}, \quad (28)$$

где y — постоянная. И это уравнение лишь качественно согласуется с опытным.

При рассмотрении других, более сложных предположений о механизме реакции синтеза метанола нам также не удалось получить теоретически уравнение кинетики, полностью совпадающее с опытным.

ВЫВОДЫ

1. Изучена кинетика реакции синтеза метанола из водорода и окиси углерода на окисном цинкхромовом катализаторе при температурах от 184 до 302°С и давлениях от 112 до 640 мм рт. ст. Опыты проводились с зернами катализатора со средним размером от 0,7 до 4 мм. Время контакта варьировалось от 0,03 до 0,56 сек.

2. Выявлена кинетическая область протекания реакции и внутренняя диффузионная область.

3. В условиях опытов стадией, определяющей скорость реакции во внутренней диффузионной области, является кнудсеновская диффузия метанола в порах катализатора.

4. Из экспериментальных данных, относящихся к внутренне-диффузионной области, определена истинная кинетика реакции. Полученное кинетическое уравнение совпадает с уравнением, выведенным из данных, относящихся к кинетической области.

5. Скорость реакции синтеза метанола определяется уравнением

$$\omega = k_1 \frac{c_{H_2} c_{CO}^{0,6}}{c_{CH_3OH}},$$

где c_{H_2} — концентрация H_2 и т. д. у внутренней поверхности катализатора. Температурная зависимость постоянной k_1 отвечает значению энергии активации 32 ккал/моль.

6. Рассмотрен вопрос о роли диффузии в реакции синтеза метанола в промышленных условиях. Найдено, что синтез метанола в промышленных условиях протекает в переходной области между кинетической областью и внутренне-диффузионной.

7. Обсужден вопрос о возможном истолковании кинетического уравнения синтеза метанола.

ЛИТЕРАТУРА

1. Б. Н. Долгов, Методы химического использования окислов углерода. ОНТИ, Ленинград, 1936 г.
2. Д. А. Поспехов, Журн. хим. пром., № 7,18, 1945.
3. G. Natta, G. Pastopresi, La chimica e l'industria, 19, 313, 1937.
4. Г. Паркс, Г. Хаффман, Свободные энергии органических соединений, ОНТИ, Москва, 1936.
5. В. П. Брунс, О. Г. Кацнельсон, Д. Ю. Гамбург, Зав. лабор., 12, 379, 1946.
6. И. М. Кольтгоф, Объемный анализ, т. II, Госхимтехиздат, Ленинград, 1932.
7. А. Е. Романушкина. Кандидатская диссертация Физ.-химич. ин-т им. Л. Я. Карпова, Москва, 1950.
8. M. Magdan, J. Sixt., Angew. Chem., 46, 90, 1933.
9. Б. Н. Долгов, М. В. Велтистова, А. З. Карпов, Журн. химич. пром., № 9, 24, 1934.
10. H. S. Taylor, R. L. Burwell, Journ. Amer. Chem. Soc., 58, 1753, 1936.
11. В. М. Чередниченко, Кандидатская диссертация, Физ.-химич. ин-т им. Л. Я. Карпова, Москва, 1952.
12. В. М. Чередниченко, М. И. Темкин, Журн. физ. химии, 31, 157, 1957.
13. H. Dohse, ZS. phys. Chem., 8B, 159, 1930.
14. G. F. Huttig, I. Feher, ZS. anorg. allg. Chem., 197, 129, 1931; G. F. Huttig, O. Kostelitz, I. Feher, ZS. anorg. allg. Chem., 198, 206, 1931.
15. К. И. Матвеев, Кандидатская диссертация. Физ.-химич. ин-т им. Л. Я. Карпова, Москва, 1953.
16. C. R. Wilke, Chem. Eng. Progr., 46, 95, 1950.
17. Д. А. Эпштейн, А. П. Егоров, С. М. Клочков, А. П. Силин, И. С. Уполовников, Химия и технология связанного азота, ОНТИ, Ленинград, 1934.
18. В. Н. Шишкова, Кандидатская диссертация, физ.-хим. ин-т им. Л. Я. Карпова, Гос. ин-т азотной промышленности, Москва, 1955.
19. M. Bodenstein, C. G. Fink, Zs. phys. Chem., 60, 1, 1907.
20. М. И. Темкин, В. М. Пыжев, Журн. физ. химии, 13, 851, 1939.
21. В. М. Грязнов, Кандидатская диссертация, МГУ, Москва, 1948.
22. Н. В. Кулькова, Кандидатская диссертация, Физ.-хим. ин-т им. Л. Я. Карпова, Москва, 1947.
23. I. Langmuir, Trans. Farad. Soc., 17, 621, 1922.
24. К. Хиншельвуд, Кинетика газовых реакций, ОНТИ, М.—Л., 1933.
25. Г. М. Шваб, Катализ с точки зрения химической кинетики, Госхимиздат, Ленинград, 1934.
26. Г. К. Боресков, Катализ в производстве серной кислоты, Госхимиздат, Москва, 1955, Проблемы кинетики и катализа. т. VI, Гетерогенный катализ, Изд-во АН СССР, Москва, 1949.

THE KINETICS OF THE CATALYTIC SYNTHESIS OF METHANOL

*V. M. Cherednichenko and M. I. Temkin**(Moscow)*

Summary

The kinetics of methanol synthesis from carbon monoxide and hydrogen on a zinc de-chromia catalyst have been studied over the temperature range 184 to 302° C and pressures 112 to 650 mm Hg. The experiments were made with a granular catalyst, granule size averaging 0.7—4 mm. The time of contact varied from 0.03 to 0.56 sec.

Kinetic and internal diffusion regions of the reaction were established.

Under the conditions studied the Knudsen diffusion of methanol in the catalyst is the rate determining step of the reaction in the diffusion region. From the experimental data pertaining to this region the true reaction kinetics were determined. The kinetic equation obtained coincides with that derived from data in the kinetic region.

The rate of methanol synthesis obeys the equation

$$\omega = k_1 \frac{c_{H_2}^{0.4} c_{CO}}{c_{CH_3OH}}$$

where c_{H_2} is the H_2 concentration etc. at the internal surface of the catalyst. The temperature dependence of the constant corresponds to an activation energy of 32 *kg.cal./mole*.

The role of diffusion in the synthesis of methanol on an industrial scale has been discussed. It has been found that under plant conditions the reaction occurs in a region intermediate between the kinetic and internal diffusion ones.

Possible interpretations of the kinetic equation for the methanol synthesis have been discussed.

ГЕОМЕТРИЯ ЛИНЕЙНЫХ ПОЛИМЕРОВ

V. РАССЕЯНИЕ СВЕТА ПОЛИМЕРНЫМИ КЛУБКАМИ
И ОБЪЕМНЫЕ ЭФФЕКТЫ*

О. В. Птицын

В настоящее время одним из основных методов изучения растворов полимеров является метод рассеяния света, предложенный Дебаем [1]. Угловое распределение рассеянного света, как известно, имеет вид

$$P(\theta) = \frac{1}{N^2} \sum_{t=1}^N \sum_{p=1}^N \left(\frac{\sin \mu r_{pt}}{\mu r_{pt}} \right), \quad (1)$$

где $P(\theta)$ — относительная интенсивность света, рассеянного под углом θ , $\mu = (4\pi/\lambda') \times \sin(\theta/2)$, λ' — длина волны падающего света в растворе, r_{pt} — расстояние между t -ым и p -ым атомами цепи, N — число атомов цепи,

$$\left(\frac{\sin \mu r_{pt}}{\mu r_{pt}} \right) = \frac{\int_0^\infty \frac{\sin \mu r_{pt}}{\mu r_{pt}} f(p, t) dr_{pt}}{\int_0^\infty f(p, t) dr_{pt}} \quad (2)$$

где $f(p, t)$ — функция распределения для расстояния r_{pt} между t -ым и p -ым атомами цепи. Суммирование в формуле (1) производится по всем атомам цепи.

Если разложить $P(\theta)$ в ряд по θ , то для частиц любой формы коэффициент при первом следующем за единицей членом ряда равен одной трети среднего квадрата радиуса инерции частицы \bar{R}^2 (см., например, [2]). Это дает возможность определять из опыта средние размеры полимерных цепей, не делая никаких априорных предположений об их форме. К сожалению, однако, измерения рассеяния света под малыми углами практически чрезвычайно трудны, так что для определения \bar{R}^2 приходится измерять интенсивность рассеяния под различными углами вплоть до $\theta = 30^\circ$ и затем экстраполировать ее к $\theta = 0^\circ$. Кроме того, определение \bar{R}^2 этим путем требует предварительной градуировки прибора. Поэтому часто для определения \bar{R}^2 просто измеряют отношение интенсивностей света, рассеянного под углами 45° и 135° . Однако для интерпретации этих последних измерений необходимо знать теоретическое выражение для $P(\theta)$, т. е. провести интегрирование в формуле (2) и суммирование в формуле (1). Дебай [1], исходя из предположения о том, что функция распределения для r_{pt} имеет вид:

$$f^0(p, t) dr_{pt} = 4\pi \left(\frac{3}{2\pi(t-p)a^2} \right)^{3/2} e^{-\frac{3r_{pt}^2}{2(t-p)a^2}} r_{pt}^2 dr_{pt}, \quad (2)$$

где

$$a^2 = l^2 \frac{1 + \cos \alpha}{1 - \cos \alpha} \frac{1 + \eta}{1 - \eta}$$

— квадрат эффективной длины звена, получил следующее выражение для $P(\theta)$:

$$P(\theta) = \frac{2}{x^2} [e^{-x} - (1-x)], \quad (4)$$

* Работа выполнена в 1955 г. (отчет Института высокомолекулярных соединений за 1955 г.).

где

$$x = \bar{R}^2 \mu^2.$$

Уравнение (4) связывает $P(\theta)$ с \bar{R}^2 и поэтому позволяет определить \bar{R}^2 из измерений интенсивности света, рассеянного под любыми двумя углами. Однако оно основано на определенном предположении (3) о виде функции $f(p, t)$, которое неверно по двум причинам. Во-первых, оно игнорирует жесткость небольших отрезков цепи, которая хотя и не нарушает распределения (3) для расстояний между достаточно удаленными друг от друга атомами цепи, но изменяет его для близких атомов. Во-вторых, оно игнорирует взаимодействия между случайно сближившимися звеньями цепи, а также между звеньями цепи и молекулами растворителя. Эти взаимодействия, которые получили в литературе название «объемных или осмотических» эффектов, нарушают гауссово распределение (3) и между удаленными атомами цепи [3]. Как известно, объемные эффекты играют существенную роль в хороших растворителях.

За последние годы появился ряд работ [4–7], в которых показано, что учет жесткости коротких отрезков цепи мало влияет на функцию $P(\theta)$, если цепная молекула достаточно (в сотни раз) длиннее своей жесткой части. Что же касается вопроса об объемных эффектах, то он до сих пор в литературе практически не рассматривался.

Настоящая работа посвящена получению функции $P(\theta)$ с учетом объемных эффектов. Мы будем считать, что объемные эффекты не изменяют гауссового характера функции $f(p, t)$, а влияют лишь на средний квадрат расстояния \bar{r}_{pt}^2 между атомами p и t . В этом случае

$$f(p, t) dr_{pt} = 4\pi \left(\frac{3}{2\pi \bar{r}_{pt}^2} \right)^{3/2} e^{-3r_{pt}^2/2\bar{r}_{pt}^2} dr_{pt}, \quad (6)$$

где \bar{r}_{pt}^2 вычисляется с учетом объемных эффектов. Можно полагать, что приближенное уравнение (6), значительно упрощающее вычисления, не приведет к существенным ошибкам при вычислении $P(\theta)$. На это указывает, в частности, тот факт, что аналогичное приближение, делавшееся в теории рассеяния жестких цепей [4, 6], практически не влияло на полученные результаты [7].

Подставляя (6) в уравнение (2) и проводя интегрирование, получаем

$$\left(\frac{\overline{\sin \mu r_{pt}}}{\mu r_{pt}} \right) = e^{-1/6 \mu^2 \bar{r}_{pt}^2}. \quad (7)$$

Следовательно, основное уравнение (1), если перейти в нем от суммирования к интегрированию, примет (при $N \gg 1$) вид

$$P(\theta) = \frac{2}{N^2} \int_p^N dt \int_0^N e^{-1/6 \mu^2 \bar{r}_{pt}^2} dp, \quad (8)$$

и вычисление $P(\theta)$ с учетом объемных эффектов сводится к вычислению \bar{r}_{pt}^2 и проведению двойного интегрирования в правой части уравнения (8).

ПРИБЛИЖЕННОЕ ВЫЧИСЛЕНИЕ $P(\theta)$

Если объемные эффекты отсутствуют, то $\bar{r}_{pt}^2 = (t - p)a^2$ и уравнение (8) переходит в уравнение (4). Как показывает теория [3, 8–12] и опыт [13–19], объемные эффекты приводят к тому, что размеры полимерных молекул в растворе растут быстрее, чем корень квадратный из числа звеньев в цепи. В работах [8] и [3] при помощи приближенного рассмотрения показано, что с учетом объемных эффектов средний квадрат расстояния между концами цепи

$$\bar{h}^2 = \alpha^2 N a^2, \quad (9)$$

где

$$\alpha^5 - \alpha^3 = Cz, \quad (10)$$

$$z = \left(\frac{3}{2\pi}\right)^{1/2} \sqrt{N} \frac{v}{a^3}, \quad (11)$$

C — константа и v — эффективный исключенный объем для одного сегмента, зависящий от растворителя. Сравнение приближенной формулы (10) с точной формулой

$$\alpha^2 = 1 + \frac{4}{3}z + \dots \quad (12)$$

полученной в работах [11] и [12] для случая, когда объемные эффекты можно рассматривать как малую поправку, показывает, что $C = 4/3$. Из формулы (10) следует, что α^2 растет с ростом N , причем, если $\alpha^2 \gg 1$, то $\alpha^2 \sim N^{0.20}$. Следовательно, с учетом объемных эффектов

$$\bar{h}^2 = \alpha_0^2 N^{1+\varepsilon} a^2, \quad (13)$$

где $0 \leq \varepsilon \leq 0,20$ (ε зависит от z и, следовательно, само растет с ростом N).

Средний квадрат радиуса инерции цепи

$$\bar{R}^2 = \tilde{\alpha}^2 \frac{1}{6} Na^2, \quad (14)$$

где для $\tilde{\alpha}^2$ также справедливо уравнение типа (10). Однако поскольку при малых z

$$\tilde{\alpha}^2 = 1 + \frac{134}{105}z + \dots \quad (15)$$

см. [11, 12]), то в этом случае $C = 134/105$. Так как $134/105 < 4/3$, то $\tilde{\alpha}^2 < \alpha^2$, т. е. объемные эффекты увеличивают радиус инерции макромолекулы в несколько меньшей степени, чем расстояние между ее концами. Аналогично уравнению (13) имеем

$$\bar{R}^2 = \tilde{\alpha}_0^2 \frac{1}{6} N^{1+\varepsilon} a^2, \quad (16)$$

где

$$\tilde{\alpha}_0^2 < \alpha_0^2.$$

Так как

$$\bar{R}^2 = \frac{1}{2N^2} \sum_{p,t=1}^N \bar{r}_{pt}^2, \quad (17)$$

отсюда следует, что с учетом объемных эффектов величины \bar{r}_{pt}^2 также зависят от $t-p$ быстрее, чем линейно

$$\bar{r}_{pt}^2 = \alpha_0^2 (t-p)^{1+\varepsilon'} a^2. \quad (18)$$

Здесь ε' , вообще говоря, может зависеть от t и p , так как объемные эффекты могут по-разному влиять на расстояния между различными парами атомов цепи. Тем не менее, мы будем приближенно считать показатель степени ε' в уравнении (18) не зависящим от t и p и равным параметру ε , характеризующему зависимость \bar{h}^2 и \bar{R}^2 от N . С другой стороны, очевидно, что α_0^2 в уравнениях (18) и (13) должны совпадать между собой, так как только в этом случае уравнение (18) при $p=1$ и $t=N$ перейдет в уравнение (13) для $\bar{r}_{1N}^2 = \bar{h}^2$.

Для установления связи между α_0 и α_0 воспользуемся уравнением (17). Подставляя (18) в уравнение (17) и заменяя суммирование интегрированием, получаем

$$\bar{R}^2 = \frac{\alpha_0^2}{1 + 5\varepsilon/6 + \varepsilon^2/6} \frac{1}{6} N^{1+\varepsilon} a^2. \quad (19)$$

Сравнение уравнений (16) и (19), показывает, что

$$\tilde{\alpha}_0^2 = \frac{\alpha_0^2}{1 + 5\varepsilon/6 + \varepsilon^2/6}, \quad (20)$$

т. е. $\tilde{\alpha}_0^2 < \alpha_0^2$, как это и должно быть.

Воспользуемся теперь приближенным выражением (18) для вычисления функции $P(\theta)$ с учетом объемных эффектов. Подставляя уравнение (18) в уравнение (8), переходя от переменной p к переменной $t - p$ и проинтегрировав по t , получаем

$$P(\theta) = 2 \int_0^1 e^{-\kappa \sigma^{1+\varepsilon}} (1 - \sigma) d\sigma, \quad (21)$$

где $\sigma = (t - p)/N$ и

$$\kappa = \bar{R}^2 \mu^2 \left(1 + \frac{5\varepsilon}{6} + \frac{\varepsilon^2}{6}\right) = \kappa \left(1 + \frac{5\varepsilon}{6} + \frac{\varepsilon^2}{6}\right). \quad (22)$$

Введя новую переменную $\tau = \kappa \sigma^{1+\varepsilon}$, получаем

$$P(\theta) = \frac{2}{1+\varepsilon} \left\{ \kappa^{-1/(1+\varepsilon)} \left(-\frac{\varepsilon}{1+\varepsilon}, \kappa\right)! - \kappa^{-2/(1+\varepsilon)} \left(\frac{1-\varepsilon}{1+\varepsilon}, \kappa\right)! \right\}, \quad (23)$$

где

$$(q, \kappa)! = \int_0^\kappa e^{-\tau} \tau^q d\tau$$

— неполная Γ -функция. При $\varepsilon = 0$ уравнение (23) переходит в уравнение Дебая (4).

Раскладывая $(q, \kappa)!$ в ряд по κ , получаем, что при $\kappa \ll 1$

$$P(\theta) = 1 - \frac{\kappa}{3 \left(1 + \frac{5\varepsilon}{6} + \frac{\varepsilon^2}{6}\right)}, \quad (24)$$

откуда получаем общее уравнение

$$P(\theta) = 1 - \frac{\kappa}{3} = 1 - \frac{\bar{R}^2}{3} \mu^2, \quad (25)$$

которое, как мы указывали выше, вообще не зависит от принятой модели рассеивающей свет частицы. Недавно была опубликована заметка Петерлина [20], в которой он также рассматривал влияние объемных эффектов на $P(\theta)$, базируясь на приближенном уравнении (18). Так как Петерлин ограничился рассмотрением малых углов рассеяния ($\kappa \ll 1$), то результаты его работы сводятся к уравнению (24). Из этого уравнения Петерлин делает вывод, что величины \bar{h}^2 , определенные методом светорассеяния, должны быть увеличены на фактор $(1 + 5\varepsilon/6 + \varepsilon^2/6)$. Дей-

твительно, для избранной нами модели, вместо обычной формулы $\bar{h}^2 = 6\bar{R}^2$ имеем

$$\bar{h}^2 = 6\bar{R}^2 (1 + 5\varepsilon/6 + \varepsilon^2/6).$$

Однако этому уравнению не следует придавать чрезмерного количественного значения, так как оно базируется на приближенном уравнении (8). Несомненно лишь [это следует из сопоставления точных формул (2) и (14)], что с учетом объемных эффектов \bar{h}^2 несколько больше, чем \bar{R}^2 .

Для выяснения вопроса о том, как влияют объемные эффекты на угловое распределение интенсивности рассеянного света, необходимо обратиться к рассеянию под большими углами. Если размеры молекулы не слишком малы по сравнению с длиной световой волны, то для рассеяния под большими углами $x \gg 1$. При $x \gg 1$, $(q, x)! = \Gamma(q+1)$, так что

$$P(\theta) = \frac{2}{1+\varepsilon} \left\{ x^{-1/(1+\varepsilon)} \Gamma\left(\frac{1}{1+\varepsilon}\right) - x^{-2/(1+\varepsilon)} \Gamma\left(\frac{2}{1+\varepsilon}\right) \right\}. \quad (26)$$

Как известно, опыт дает нам зависимость $P^{-1}(\theta)$ от $\sin^2(\theta/2)$. При малых x как следует из уравнения (25),

$$P^{-1}(\theta) = 1 + \frac{x}{3}. \quad (27)$$

При больших x из уравнения (26) получаем

$$P^{-1}(\theta) = \frac{1+\varepsilon}{2} \frac{\left(1 + \frac{5\varepsilon}{6} + \frac{\varepsilon^2}{6}\right)^{1/(1+\varepsilon)} x^{1/(1+\varepsilon)}}{\Gamma\left(\frac{1}{1+\varepsilon}\right)} + \frac{1+\varepsilon}{2} \frac{\Gamma\left(\frac{2}{1+\varepsilon}\right)}{\Gamma^2\left(\frac{1}{1+\varepsilon}\right)}. \quad (28)$$

При $\varepsilon = 0$, то уравнение (28) переходит в уравнение

$$P^{-1}(\theta) = \frac{x}{2} + \frac{1}{2}, \quad (29)$$

которое вытекает из теории Дебая.

ОБСУЖДЕНИЕ РЕЗУЛЬТАТОВ

Сравнение уравнений (4) и (23) показывает, что кривая $P^{-1}(\theta)$ при данном \bar{R}^2 идет ниже дебаевской кривой. Это означает, что объемные эффекты приводят к более медленному уменьшению $P(\theta)$ с ростом θ по сравнению с молекулой с тем же \bar{R}^2 , но без объемных эффектов. Другими словами, при данном \bar{R}^2 объемные эффекты уменьшают асимметрию светорассеяния.

Следовательно, экспериментальная кривая $P^{-1}(\theta)$ в хорошем растворе не может совпадать ни с одной дебаевской кривой, отвечающей какому-либо отношению R/λ' . Следует ожидать, что с увеличением угла рассеяния экспериментальные точки будут ложиться на дебаевские кривые, отвечающие все меньшим значениям R/λ' . Это подтверждается опытами Урна [21], который сопоставил теоретические дебаевские кривые $P^{-1}(\theta)$ для различных R/λ' с полученной им экспериментальной кривой для фракции полистирола с молекулярным весом $3,5 \cdot 10^6$ в бензоле. Тот факт, что при наличии объемных эффектов кривая $P^{-1}(\theta)$ с увеличением θ отвечает как бы все меньшим и меньшим R , можно легко видеть из рассмотрения исходного уравнения (1). С увеличением θ увеличивается, и поэтому все слагаемые суммы, стоящей в правой части

уравнения (1), уменьшаются. Очевидно, что при больших θ в сумму внесут существенный вклад лишь те слагаемые, которым соответствуют малые r_{pt} , т. е. в среднем малые $t - p$. Так как влияние объемных эффектов на r_{pt}^2 растет с ростом $t - p$, то естественно, что объемные эффекты больше влияют на рассеяние под малыми углами, чем на рассеяние под большими углами. Это объясняет как то обстоятельство, что рассеяние под большими углами соответствует как бы меньшим R , так и тот факт, нашедший свое отражение в формулах (32) и (42) (см. ниже), что рассеяние под большими углами определяется не величиной \bar{R}^2 , а, скорее, средним квадратом радиуса инерции в отсутствие объемных эффектов \bar{R}_0^2 .

Дебаевская кривая зависимости $P^{-1}(\theta)$ от $\sin^2(\theta/2)$ характеризуется обычно отношением начального наклона S_0 к наклону асимптоты S_∞ , который, как следует из уравнений (27) и (29), равен $2/3$. При $\varepsilon \neq 0$ кривая $P^{-1}(\theta)$ не имеет асимптоты, так как при больших θ $P^{-1}(\theta)$ зависит от $\sin^2(\theta/2)$ слабее, чем линейно. Поэтому мы будем характеризовать эту кривую отношением начального наклона S_0 к наклону при $\theta \rightarrow 180^\circ$, который мы также обозначим через S_∞ . Введя обозначение $x = x_m \sin^2(\theta/2)$, где $x_m = 16\pi^2 \bar{R}^2 / \lambda'^2$ — значение x при $\theta \rightarrow 180^\circ$, из уравнений (27) и (28) получаем:

$$\left. \begin{aligned} S_0 &= \frac{x_m}{3}, \\ S_\infty &= \frac{1}{2} \frac{\left(1 + \frac{5\varepsilon}{6} + \frac{\varepsilon^2}{6}\right)^{1/(1+\varepsilon)}}{\Gamma\left(\frac{1}{1+\varepsilon}\right)} x_m^{1/(1+\varepsilon)} \end{aligned} \right\}. \quad (30)$$

Из изложенного следует, что наклон кривой $P^{-1}(\theta)$ при $\theta \rightarrow 180^\circ$ уже не определяется однозначно отношением \bar{R}^2/λ'^2 , а может при данном \bar{R}^2/λ'^2 иметь различные значения в зависимости от ε . Интересно отметить, что, в то время как начальный наклон кривой $P^{-1}(\theta)$ пропорционален \bar{R}^2 , т. е. $N^{1+\varepsilon}$, конечный наклон этой кривой пропорционален $(\bar{R}^2)^{1/(1+\varepsilon)}$, т. е. N (или среднему квадрату радиуса инерции в отсутствие объемных эффектов \bar{R}_0^2).

Для отношения начального наклона S_0 кривой $P^{-1}(\theta)$ к ее конечному наклону S_∞ получаем следующее выражение (справедливое при больших x_m):

$$\frac{S_0}{S_\infty} = \frac{2}{3} \Phi\left(\frac{R}{\lambda'}, \varepsilon\right), \quad (31)$$

$$\Phi\left(\frac{R}{\lambda'}, \varepsilon\right) = \frac{\Gamma\left(\frac{1}{1+\varepsilon}\right)^*}{\left(1 + \frac{5\varepsilon}{6} + \frac{\varepsilon^2}{6}\right)^{1/(1+\varepsilon)}} x_m^{\varepsilon/(1+\varepsilon)}. \quad (32)$$

Если $\varepsilon = 0$, то при любых R/λ' , $\Phi(R/\lambda', \varepsilon) = 1$ и $S_0/S_\infty = 2/3$ в соответствии с теорией Дебая. Если $\varepsilon \neq 0$, то при больших x_m , $\Phi(R/\lambda', \varepsilon) > 1$ так что $S_0/S_\infty > 2/3$. При этом $\Phi(R/\lambda', \varepsilon)$ растет с ростом R/λ' и ε . На рис. 1 и 2 изображена зависимость $\Phi(R/\lambda', \varepsilon)$ от ε при различных R/λ' и зависимость $\Phi(R/\lambda', \varepsilon)$ от R/λ' при различных ε . Мы не приводим кривых для малых R/λ' , так как для них не законен переход от урав-

* Если максимальное значение θ , достигнутое в эксперименте ($\theta_{\text{макс}}$), меньше 180° , то в уравнении (32) x_m нужно заменить на $x_{\text{макс}} = x_m \sin^2(\theta_{\text{макс}}/2)$.

ения (23) к уравнению (26). Для удобства сравнения с экспериментальными данными мы пользуемся вместо R/λ' величиной $h/\lambda' = \sqrt{6} R/\lambda' *$. Из рисунков видно, что в часто встречающихся на практике случаях $h/\lambda' \approx 0,7$, $\varepsilon \approx 0,15$) отношение S_0/S_∞ может превосходить дебаевское значение на 40%. Для очень высокомолекулярных образцов и еще больших ε отклонение может быть еще значительно большим (на 80%).

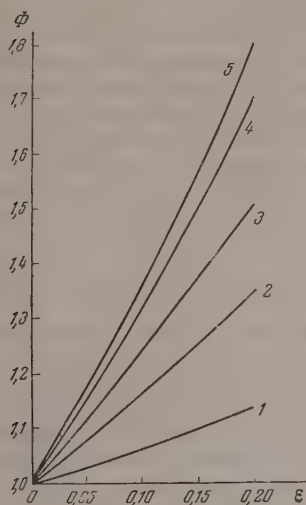


Рис. 1

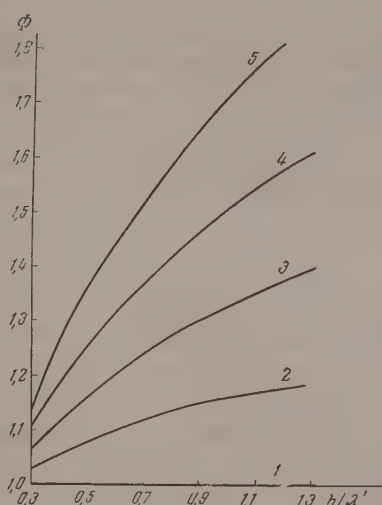


Рис. 2

1. Зависимость фактора $\Phi(h/\lambda', \varepsilon)$ от ε при различных h/λ' : 1 — $h/\lambda' = 0,3$; 2 — $h/\lambda' = 0,5$; 3 — $h/\lambda' = 0,7$; 4 — $h/\lambda' = 1,0$; 5 — $h/\lambda' = 1,2$
 2. Зависимость фактора $\Phi(h/\lambda', \varepsilon)$ от h/λ' при различных ε : 1 — $\varepsilon = 0$; 2 — $\varepsilon = 0,05$; 3 — $\varepsilon = 0,10$; 4 — $\varepsilon = 0,15$; 5 — $\varepsilon = 0,20$

Следовательно, кривая зависимости $P^{-1}(\theta)$ от $\sin^2(\theta/2)$, которая согласно теории Дебая должна загигаться вверх (поскольку ее асимптота в полтора раза больше начального наклона), под влиянием объемных эффектов должна изменять свою кривизну, приближаясь к прямой линии и даже загигаться вниз. На рис. 3 изображены (для случая $h/\lambda' = 1$) кривые зависимости $P^{-1}(\theta)$ от $\sin^2(\theta/2)$, следующие из уравнения Дебая (4) (кривая 1) и из уточненного уравнения (23) (кривая 2). При этом принимается $\varepsilon = 0,18$. Пунктирной линией изображена начальная касательная для обеих кривых).

При малых θ кривая $P^{-1}(\theta)$ по-прежнему загигается вверх, так как коэффициент при x^2 в разложении $P^{-1}(\theta)$ в ряд по x положителен. С другой стороны, при больших θ , $P^{-1}(\theta)$ пропорционально x в степени, меньшей единицы, так что кривая $P^{-1}(\theta)$ загигается вниз. Следовательно, кривая $P^{-1}(\theta)$ имеет перегиб. Такие кривые с перегибом, действительно, были получены Шульцем, Кантовым и Мейерхофом [13] для раствора

* Как следует из изложенного выше, уравнение $\bar{h}^2 = 6R^2$ должно быть с учетом объемных эффектов заменено уравнением

$$\bar{h}^2 = 6 \left(1 + \frac{5\varepsilon}{6} + \frac{\varepsilon^2}{6} \right) R^2.$$

Однако, так как непосредственно измеряется не \bar{h}^2 , а \bar{R}^2 , под величиной \bar{h}^2 во всех экспериментальных работах подразумевается $6R^2$.

фракции полиметилметакрилата с молекулярным весом $1,27 \cdot 10^6$ в ацетоне. Интересно отметить, что перегиб уменьшается при увеличении λ (опыты проводились с тремя длинами волн: $\lambda = 3660, 4358$ и 5461 Å и при $\lambda = 5461$ Å, исчезает вовсе. Это согласуется с предлагаемой теорией, согласно которой при данном ϵ (в работе [13] получено $\epsilon = 0,2$) отклонения кривой $P^{-1}(\theta)$ от дебаевской уменьшаются с уменьшением h/λ' (для изученного в работе [13] образца $h \approx 1050$ Å).

Отклонение S_0/S_∞ от $2/3$ зависит, во-первых, от отношения R/λ во-вторых от параметра ϵ , характеризующего влияние объемных эффектов. Поэтому, измерив для ряда фракций \bar{R}^2 из начального наклона угловой кривой и, следовательно, определив ϵ , мы можем предсказать

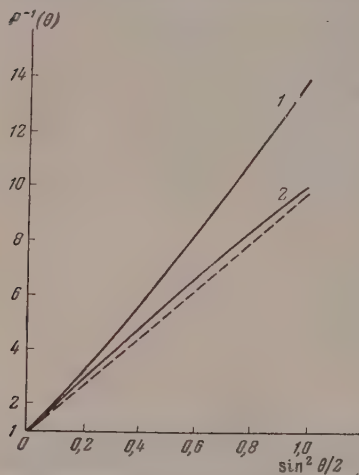


Рис. 3. Зависимость P^{-1} от $\sin^2(\theta/2)$: 1 — по теории Дебая и 2 — по уравнению (23) настоящей работы, для случая $h/\lambda' = 1$, $\epsilon = 0,18$

для каждой фракции ход кривой P^{-1} и, в частности, отношение S_0/S_∞ затем проверить это предсказание опыте. Более того, в принципе возможно, определив для одной фракции \bar{R}^2 из S_0 и измерив отношение S_0/S_∞ определить параметр ϵ , и, следовательно, из измерений одной фракции определить значения \bar{R}^2 для всех фракций данного полимера в данном растворителе. Очевидно, впрочем, что для реализации этой возможности необходимо значительное увеличение точности эксперимента, а также, вероятно, дальнейшее усовершенствование теории.

Как известно, все методы исследования полимеров при помощи рассеяния света, за исключением определения \bar{R}^2 из начального наклона кривой $P^{-1}(\theta)$, основаны на применении дебаевской функции $P(\theta)$. Поэтому эти методами можно пользоваться только в плохих растворителях, когда объемными эффектами можно пренебречь.

В первую очередь это относится к предложенному Дебаем методу определения \bar{R}^2 по отношению интенсивностей света, рассеянного под двумя углами (обычно 45° и 135°). \bar{R}^2 определяется из $P(45^\circ)/P(135^\circ)$ при помощи дебаевской функции $P(\theta)$; поэтому в хороших растворителях, когда объемными эффектами нельзя пренебречь, применение этого метода незаконно. Так как объемные эффекты (при данном R^2) уменьшают асимметрию светового рассеяния, то значения \bar{R}^2 , полученные из отношения $P(45^\circ)/P(135^\circ)$, должны быть меньше, чем истинные значения \bar{R}^2 , полученные путем экстраполяции $P(\theta)$ к $\theta \rightarrow 0^\circ$, что подтверждается опытом [21].

Как показал Бенуа [22], отклонения отношения S_0/S_∞ от дебаевского значения позволяют оценить полидисперсность образцов (увеличивающую это отношение) или их разветвленность (уменьшающую это отношение). Из изложенного следует, что этим методом оценки полидисперсности или разветвленности также можно пользоваться только в плохих растворителях, так как в хороших растворителях влияние полидисперсности и разветвленности будет маскироваться влиянием объемных эффектов.

В качестве примера рассмотрим исследованный в работе [19] образец полиметилметакрилата со средневесовым молекулярным весом $\bar{M}_w = 9\,800\,000$. Данные работы [19] показывают, что для полиметилметакрилата в буйоне $h \sim N^{0,60}$, так что $\epsilon = 0,20$. Для образца с $\bar{M}_w = 9,8 \cdot 10^6$, $h = 4700$

так что $h/\lambda' = 1,19$. Пользуясь уравнением (32), получаем, что для этого образца

$$\Phi(R/\lambda', \epsilon) \approx 1,75,$$

откуда согласно уравнению (31)

$$\frac{S_0}{S_\infty} \approx 1,15.$$

Следовательно, даже без учета полидисперсности, кривая зависимости $\tau^{-1}(\theta)$ от $\sin^2(\theta/2)$ должна слегка загнуться вниз, что подтверждается опытом. Авторы работы [19] все отклонение S_0/S_∞ от $2/3$ относили за счет полидисперсности, тем самым значительно ее завысив. Необходимо отметить, впрочем, что оба сделанных нами приближения [введение уравнения (6) и предположение о том, что в уравнении (18) ϵ' не зависит от t и p], по-видимому, несколько увеличивают S_0/S_∞ по сравнению с истинным значением.

Вычисление $P(\theta)$ для случая малых объемных эффектов

Изложенные выше результаты были получены на основе приближенного выражения (18) для \bar{r}_{pt}^2 . Для случая, когда объемные эффекты можно рассматривать как малую поправку*, можно получить точное выражение для \bar{r}_{pt}^2 и, следовательно, вывести из уравнения (8) выражение для $P(\theta)$, не содержащее новых допущений. Пользуясь методом, извистым в работе [11], нетрудно получить выражение для \bar{r}_{pt}^2 , справедливое при малых z :

$$\begin{aligned} \bar{r}_{pt}^2 = Na^2 \left\{ (q-r) + \frac{4z}{3} \left[\frac{8}{3} (q-r)^{1/2} - \frac{4}{3} (q^{1/2} - r^{1/2}) + \right. \right. \\ \left. \left. + 4r (q^{1/2} - r^{1/2}) + (q-r)^2 - 4\sqrt{1-r}(q-r) + \right. \right. \\ \left. \left. + \frac{8}{3} (1-r)^{1/2} - \frac{8}{3} (1-q)^{1/2} \right] \right\}, \end{aligned} \quad (33)$$

где $q = t/N$ и $r = p/N$. Подстановка уравнения (33) в уравнение (17) приводит к полученному в работе [11] выражению для \bar{R}^2 :

$$\bar{R}^2 = \frac{1}{6} Na^2 \left(1 + \frac{134}{105} z \right). \quad (34)$$

Подставляя (33) в уравнение (8), получаем

$$P(\theta) = 2 \int_0^1 dq \int_0^q e^{-x_0 \left[(q-r) + \frac{4z}{3} \varphi(q, r) \right]} dr, \quad (35)$$

где $\varphi(q, r)$ — выражение, стоящее в квадратных скобках в правой части уравнения (33), а

$$x_0 = \frac{1}{6} Na^2 \mu^2 = \bar{R}_0^2 \mu^2 = 16\pi^2 \frac{R_0^2}{\lambda'^2} \sin^2(\theta/2) \quad (36)$$

(левый индекс означает отсутствие объемных эффектов). При малых z ,

* Этот случай осуществляется в плохих растворителях, когда температура близка к точке Флори [8].

раскладывая $\exp \left[-\frac{4z}{3} x_0 \varphi(q, r) \right]$ в ряд по z , имеем

$$P(\theta) = 2 \int_0^1 dq \int_0^q e^{-x_0(q-r)} dr - \frac{8z}{3} x_0 \int_0^1 dq \int_0^q e^{-x_0(q-r)} \varphi(q, r) dr.$$

В результате громоздкого, но не сложного интегрирования, получаем

$$P(\theta) = \frac{2}{x_0^2} [e^{-x_0} - (1 - x_0)] + \frac{16z}{3} \left\{ - \left(\frac{\sqrt{\pi}}{x_0^3} + \frac{\sqrt{\pi}}{2x_0^3} \right) \times \right. \\ \left. \times \Phi(\sqrt{x_0}) + \frac{3}{x_0^2} + \frac{3}{x_0^3} - \frac{4}{x_0^{5/2}} e^{-x_0} \int_0^{\sqrt{x_0}} e^{t^2} dt - \left(\frac{1}{2x_0} + \frac{1}{x_0^2} + \frac{3}{x_0^3} \right) e^{-x_0} \right\}, \quad (37)$$

где

$$\Phi(z) = \frac{2}{\sqrt{\pi}} \int_0^z e^{-t^2} dt$$

— интеграл вероятности.

Переходя от переменной x_0 к переменной

$$x = \bar{R}^2 \mu^2 = x_0 \left(1 + \frac{134}{105} z \right) \quad (38)$$

и ограничиваясь по-прежнему членами, линейными относительно z , получаем

$$P(\theta) = \frac{2}{x^2} [e^{-x} - (1 - x)] + \frac{16z}{3} \left\{ - \left(\frac{\sqrt{\pi}}{x^{3/2}} + \frac{\sqrt{\pi}}{2x^{3/2}} \right) \Phi(\sqrt{x}) + \right. \\ \left. + \frac{3}{x^2} + \frac{3}{x^3} - \frac{4}{x^{5/2}} e^{-x} \int_0^{\sqrt{x}} e^{t^2} dt - \left(\frac{1}{2x} + \frac{1}{x^2} + \frac{3}{x^3} \right) e^{-x} - \right. \\ \left. - \frac{67}{140 x^2} [x(1 - e^{-x}) - 2(e^{-x} - (1 - x))] \right\}. \quad (39)$$

При $x \ll 1$ уравнение (39) переходит в обычное уравнение (25).

$$P(\theta) = 1 - \frac{x}{3}.$$

При $x \gg 1$ уравнение (39) дает

$$P(\theta) = \frac{2}{x} - \frac{2}{x^2} + \frac{268}{105} z \frac{f(x)}{x}, \quad (40)$$

где

$$f(x) = 1 - \frac{140 \sqrt{\pi}}{67} \frac{1}{x^{1/2}} + \frac{286}{67} \frac{1}{x} - \frac{70 \sqrt{\pi}}{67} \frac{1}{x^{3/2}} + \frac{140}{67} \frac{1}{x^2} = \\ = 1 - \frac{3,70}{x^{1/2}} + \frac{4,27}{x} - \frac{1,85}{x^{3/2}} + \frac{2,09}{x^2}. \quad (41)$$

Следовательно,

$$P^{-1}(\theta) = \frac{x}{2} + \frac{1}{2} - \frac{134}{105} z f(x) \frac{x}{2}. \quad (42)$$

Если $z = 0$, то при любых x получаем (29) в соответствии с теорией Дебая. Если $z \neq 0$, то при больших x кривая $P^{-1}(\theta)$ идет ниже дебаевской кривой (так как при больших x $f(x) > 0$). Следовательно, результаты вычисления $P(\theta)$ для случая малых объемных эффектов подтверждают проведенное выше приближенное рассмотрение. Введя как, и в случа

приближенного решения, отношение производных от $P^{-1}(\theta)$ по $\sin^2(\theta/2)$ при $\theta \rightarrow 0^\circ$ и $\theta \rightarrow 180^\circ$, получаем

$$\frac{S_0}{S_\infty} = \frac{2}{3} \Phi\left(\frac{R}{\lambda'}, z\right), \quad (43)$$

где

$$\Phi\left(\frac{R}{\lambda'}, z\right) = 1 + \frac{134}{105} z \Psi(x_m), \quad (44)$$

$$\Psi(x_m) = f(x_m) + x_m \left(\frac{df(x)}{dx}\right)_{x_m} = 1 - \frac{1,85}{x_m^{1,2}} + \frac{0,92}{x_m^{3,2}} - \frac{2,09}{x_m^2} \approx 1 - \frac{1,85}{x_m^{1,2}}. \quad (45)$$

При очень больших x_m , $\Psi(x_m) \rightarrow 1$ и

$$\Phi(R/\lambda', z) \rightarrow 1 + \frac{134}{105} z = \alpha^2,$$

так что

$$\frac{S_0}{S_\infty} = \frac{2}{3} \alpha^2. \quad (46)$$

Однако $\Psi(x_m)$ очень медленно стремится к единице с ростом x_m даже при $x_m = 100$, $\Psi(x_m) \approx 0,81$. Поэтому при реально достижимых значениях x_m , $\Psi(x_m)$ заметно меньше единицы (например, при $x_m = 16$ $\Psi(x_m) \approx 0,54$), так что увеличение S_0/S_∞ по сравнению с дебаевской величиной ($2/3$) сравнительно невелико.

Сравнение приближенной формулы (32) для $\Phi(R/\lambda', \epsilon)$ с более точным выражением (44) для $\Phi(R/\lambda', z)$ указывает на хорошее количественное согласие между ними. В самом деле, пользуясь уравнениями (9), (10) и (13), можно установить соответствие между параметрами z и ϵ . Так, для $z = 0,1$, при котором уравнение (44) еще применимо, $\epsilon = 0,03$. Для случая $h/\lambda' = 1$ уравнение (44) при $z = 0,1$ дает $\Phi(R/\lambda', z) \approx 1,08$, что очень близко к результату, который дает для этого случая уравнение (32) при $\epsilon = 0,03$: $\Phi(R/\lambda', \epsilon) \approx 1,09$.

В заключение автор сердечно благодарит М. В. Волькенштейна за интерес к работе.

ВЫВОДЫ

1. Рассмотрено влияние объемных эффектов на рассеяние света в растворах полимеров. Показано, что при данных размерах макромолекул объемные эффекты уменьшают асимметрию светорассеяния по сравнению с величиной, предсказываемой теорией Дебая.

2. Исследование рассеяния одной фракции полимера в широком интервале углов в принципе позволяет определить не только размеры молекул этой фракции, но и зависимость размеров от молекулярного веса.

3. Показано, что определение размеров макромолекул по отношению интенсивностей света, рассеянного под углами 45° и 135° , а также оценка полидисперсности и разветвленности полимерных молекул методом светорассеяния допустимы лишь в плохих растворителях, где объемными эффектами можно пренебречь.

Примечание при корректуре. После того как настоящая работа была отослана в печать, предсказанное в ней различие в ходе кривых $P^{-1}(\theta)$ для плохих и хороших растворителей было экспериментально подтверждено в работе В. Е. Эскиным и М. Г. Окуевой (Журн. физ. химии, в печати). В указанной работе исследовалась фракция полигирола ($h/\lambda' \approx 1$) в бутаноне и толуоле. Отношение S_0/S_∞ в толуоле (хороший растворитель) к S_0/S_∞ в бутаноне (плохой растворитель) оказалось равным $\Phi \approx 1,6$ в хорошем согласии с предсказаниями теории, из которой для этого случая следует $\Phi \approx 1,7$.

ЛИТЕРАТУРА

1. P. Debye, Journ. Phys. Coll. Chem. **51**, 18, 1947.
2. H. Benoit, P. Doty, Journ. Phys. Chem., **57**, 958, 1953.
3. М. В. Волькенштейн, О. Б. Птицын, ДАН СССР, **86**, 493, 1952; Усп. физ. наук, **49**, 501, 1953.
4. G. Porod, Makromolek. Chem., **80**, 25, 1949; Zs. Naturforsch., **4a**, 401, 1949; O. Kratky, G. Porod, Rec. trav. chim., **68**, 1106, 1949.
5. J. Hermans, R. Ullman, Physica, **18**, 951, 1952.
6. A. Peterlin, Journ. Polymer Sci., **10**, 425, 1953; Makromolek. Chem. **9**, 244, 1953.
7. G. Porod, Journ. Polymer Sci., **10**, 157, 1953.
8. P. Flory, T. Fox, Journ. Amer. Chem. Soc., **73**, 1904, 1951.
9. T. Grimsley, Journ. Chem. Phys., **21**, 185, 1953.
10. P. Bueche, Journ. Chem. Phys., **21**, 205, 1953.
11. B. Zimm, W. Stockmayer, M. Fixman, Journ. Chem. Phys., **21**, 1716, 1953.
12. M. Fixman, Journ. Chem. Phys., **23**, 1656, 1955.
13. G. Schulz, H. Cantow, G. Meyerhoff, Journ. Polymer. Sci., **10**, 79, 1953.
14. J. Bischoff, V. Desreux, Bull. Soc. chim. belg, **61**, 10, 1952; Journ. Polymer Sci., **10**, 437, 1953.
15. В. Н. Цветков, К. З. Фаттахов, О. В. Каллистов, ЖЭТФ, **26**, 345, 1954.
16. S. Chinai, Journ. Polymer Sci., **14**, 408, 1954.
17. J. Oth, V. Desreux, Bull. Soc. Chim. belg. **63**, 285, 1954.
18. S. Chinai, J. Matlack, A. Resnik, R. Samuels, Journ. Polymer Sci., **17**, 391, 1955.
19. F. W. Billmeyer, C. B. de Than, Journ. Amer. Chem. Soc., **77**, 4763, 1955.
20. A. Peterlin, Journ. Chem. Phys., **23**, 2464, 1955.
21. P. Horn, Journ. chim. phys., **47**, 660, 1950.
22. H. Benoit, Journ. Polymer Sci., **11**, 507, 1955.

THE GEOMETRY OF LINEAR POLYMERS

V. THE SCATTERING OF LIGHT BY POLYMER CLUSTERS AND VOLUME EFFECTS

O. B. Ptitsyn

(Leningrad)

Summary

The influence of volume effects on the light scattering of high polymer solutions is discussed. It has been shown that the volume effects lower the asymmetry of the light scattering for given dimensions of macromolecules as compared with the value predicted by Debye's theory. A study of the scattering of a fraction of the polymer over a broad range of angular values permits in principle not only to determine the dimensions of the macromolecules of this fraction but also to correlate the dimensions with the molecular weights.

The determination of the macromolecular dimensions from the ratios of the light intensities scattered at angles of 45 and 135° as well as the estimation of the polydispersity and branching of the macromolecules by the method of light scattering have been shown to be valid only for the case of poor solvents for which volume effects are negligible.

ПРИЧИНЫ ВОЗНИКНОВЕНИЯ АНОДНОГО ЭФФЕКТА ПРИ ЭЛЕКТРОЛИТИЧЕСКОМ ПОЛУЧЕНИИ АЛЮМИНИЯ*

Л. Н. Антунин и Н. Г. Тюрин

Внешние признаки анодного эффекта, возникающего при электролизе расплавленных солей, были описаны Лоренцом [1] **. Они заключаются в том, что при определенной плотности тока нормальный электролиз внезапно нарушается. Сила тока в электролизере резко падает, а напряжение, наоборот, возрастает с 4—5 до 30—60 V. При этом по периферии анода наблюдается интенсивное дугообразование и слышится характерное потрескивание.

Исследование причины возникновения этого явления представляет не только теоретический интерес. При электролитическом производстве алюминия анодный эффект отрицательно сказывается на нормальном ходе процесса. Он вызывает большой непроизводительный расход электроэнергии, обуславливает неравномерную работу источников постоянного тока и нарушает тепловой режим ванны. Кроме того, в момент анодного эффекта ванна резко снижает производительность, практически не производя металла. С другой стороны, анодный эффект имеет и положительные стороны. В настоящее время момент его возникновения является простым и надежным показателем обеднения электролита глиноземом. Выделяемое тепло и пониженная вязкость электролита значительно облегчают обработку ванны (пробивка корки, извлечение угольной «пены»). Разрешение ряда практических вопросов, связанных с этим явлением, в настоящее время затруднено отсутствием обоснованной теории его возникновения.

Несмотря на то что исследованиям анодного эффекта посвящено значительное число работ, в литературе нет единого мнения о причинах его возникновения. Если не вдаваться в отдельные детали, то все существующие гипотезы можно разбить на две основные группы:

1. Анодный эффект в алюминиевой ванне возникает при уменьшении концентрации кислорода в электролите в результате перехода к разряду на аноде ионов фтора [3—10].

2. Причиной анодного эффекта является ухудшение смачиваемости электролитом катода вследствие уменьшения концентрации поверхностно-активного Al_2O_3 [11—15].

Вторая точка зрения, хотя и является наиболее распространенной, не может удовлетворительно объяснить ряд явлений, связанных с возникновением анодного эффекта. Например, согласно доводам, приведенным в [10], с этих позиций нельзя объяснить тот факт, что на платине анодный эффект не возникает даже при плотности тока $40,3 \text{ A/cm}^2$, хотя краевой угол смачивания ее криолитом достаточно велик ($\theta = 66^\circ$). В то же время на угольном аноде в криолите, содержащем 15% глинозема, он возникает при сравнительно невысокой плотности тока ($D = 11,7 \text{ A/cm}^2$), хотя краевой угол в этом случае имеет меньшее значение ($\theta = 56^\circ$). Кроме того, имеются указания [16] на то, что при электролизе полностью обезвожен-

* В работе принимал участие С. Ф. Важенин.

** Впервые это явление наблюдал Бунзен в 1854 г. [2].

ного бифторида калия при отсутствии смачивания угольного анода электролитом процесс протекает без всяких осложнений.

Исходя из этого, первая точка зрения представляется более убедительной. Несмотря на то что она имела определенные экспериментальные обоснования и была высказана ранее, она была незаслуженно вытеснена более поздней гипотезой несмачиваемости.

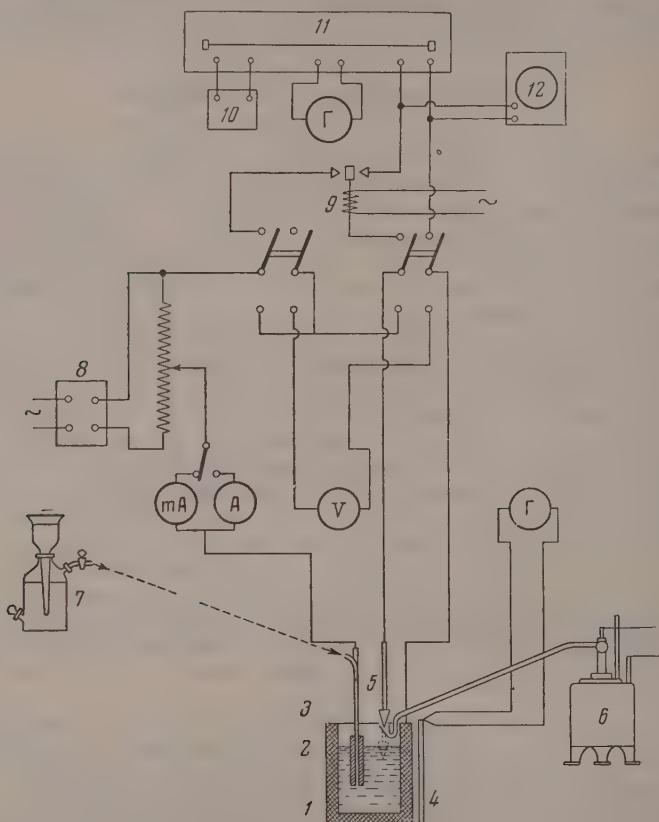


Рис. 1. Схема экспериментальной установки. 1 — графитовый тигель (электрод сравнения); 2 — полый графитовый катод; 3 — U-образная медная трубка для фторирования анода; 4 — хромель-алюмелевая термopара; 5 — графитовый анод; 6 — электролизер для получения фтора; 7 — источник аргона; 8 — ртутный выпрямитель; 9 — коммутатор; 10 — батарея аккумуляторов; 11 — потенциометр; 12 — электронный флyсциллограф

Целью данной статьи является попытка показать, на основании некоторых опытов и обсуждения литературных источников, связь между возникновением анодного эффекта и разрядом фторсодержащих ионов.

В настоящее время не может быть сомнений в том, что так называемый «остаточный газ» [17], выделяющийся при анодном эффекте наряду с CO и CO₂, состоит из фторуглеродов и, главным образом, из CF₄ *. Это обстоятельство является безусловным подтверждением участия фтора

* Сомнения в достоверности образования CF₄ [15, 18] были вызваны трудностями при анализе «остаточного газа».

возникновении анодного эффекта. Электрохимические исследования авторов настоящей статьи дали дополнительное подтверждение этому.

По общепринятой методике (рис. 1) были сняты поляризационные кривые на угольном, платиновом и железном анодах.

Рис. 2 показывает, что момент возникновения анодного эффекта на угольном электроде (точка *c*) соответствует перегибу на платиновом к разрыву цепи на железном электродах (точки *d* и *b*). В последнем случае погруженная в электролит часть анода (конической формы) после выдержки при плотностях тока, отвечающих точке *b*, оказалась совершенно разрушенной.

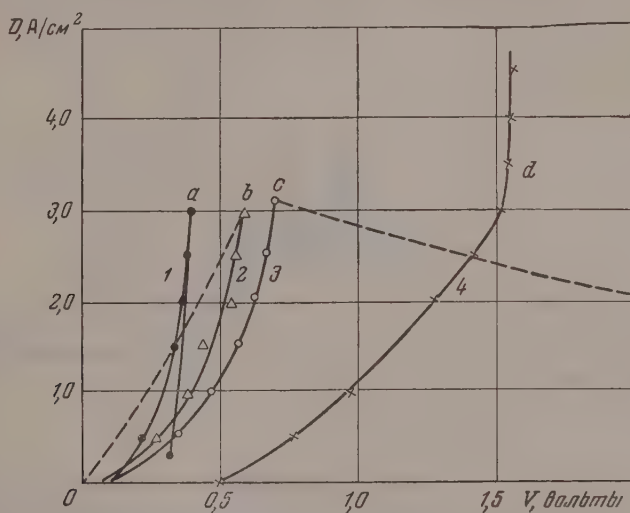


Рис. 2. Поляризационные кривые, снятые на анодах из различных материалов. 1 и 3 — угольный анод; 2 — железный анод; 4 — платиновый анод

Если иметь в виду, что фтор слабо взаимодействует с платиной и легко образует соединения с железом, то нетрудно найти связь между полученными данными и образованием в газах алюминиевой ванны фторуглеродов.

С целью дополнительного подтверждения участия соединений фтора углеродом в возникновении анодного эффекта было произведено поверхностное фторирование угольного анода.

Для получения фтора применялась одна из распространенных конструкций лабораторного электролизера [16] с бифторидом калия в качестве электролита. Фторирование производилось при температуре электролиза расплава в той же печи, в которой находилась ячейка. В печь вводилась U-образная медная трубка, один из концов которой был соединен с источником газообразного фтора, а к отверстию второго подводился угольный электрод (рис. 1). Электрод выдерживался в токе фтора 1, 2, 3 и мин., после чего погружался в криолит-глиноземный расплав. Содержание глинозема в электролите (10%) было выбрано с таким расчетом, чтобы при достигаемых в опыте плотностях тока на обычном угольном электроде анодный эффект не возникал. При подключении тока к фторированному аноду эффект появлялся при очень малых плотностях тока сопровождался повышенным напряжением и искрением, т. е. обладал всеми характерными для него признаками. По истечении определенного времени он исчезал, и электролиз далее ничем не отличался от нормального. Продолжительность «жизни» анодного эффекта была пропорциональна времени фторирования.

Приведенные факты свидетельствуют о том, что взаимодействие фтора с угольной поверхностью является основной причиной возникновения анодного эффекта вследствие образования на ней соединений с большим напряжением пробоя *. Пленка этих соединений, изолируя анод от электролита, исключает возможность нормального электролиза. Пропускание тока через границу анод — электролит возможно только в результате пробоя образовавшейся прослойки и искрового разряда. Подтверждением этого служит осциллограмма анодного эффекта (рис. 3), которая является типичной для пробоя диэлектрика.

Отсутствие непроводящих соединений на платиновом аноде не приводит к возникновению анодного эффекта. В случае железного анода фтор

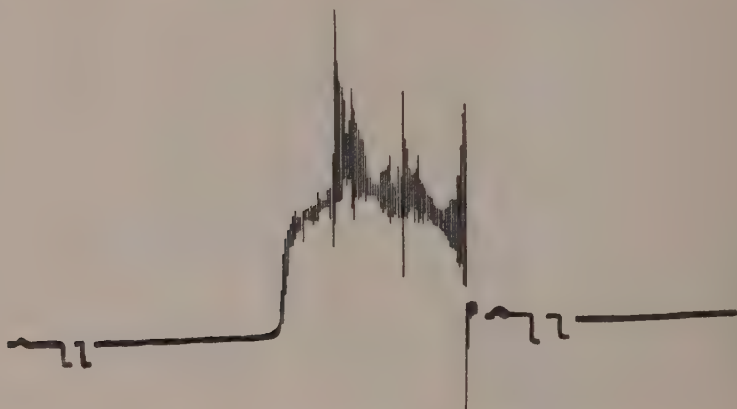


Рис. 3. Осциллограмма анодного эффекта

хотя и реагирует с железом, но это приводит только к разрушению электрода без возникновения эффекта, так как образующиеся соединения не дают достаточно прочной пленки. Сказанное выше свидетельствует о том, что анодный эффект в алюминиевой ванне связан с одновременным наличием в системе углерода и фтора.

Оставалась, однако, неясной роль кислорода в возникновении анодного эффекта. Было обращено внимание на то обстоятельство, что при электролизе бифторида калия анодный эффект возникает только при наличии в электролите влаги (т. е. кислородсодержащих ионов) [16]. После тщательного обезвоживания электролита нагреванием и электролизом анодный эффект не наблюдается, и процесс идет с выделением фтора. В наших опытах это обстоятельство полностью подтвердилось.

Следовательно, в этом случае в момент возникновения анодного эффекта в электродной реакции участвуют не только фтор и углерод, но и разряжающийся на аноде кислород **. Это указывает на возможность образования на поверхности у угольного электрода непроводящего соединения, состоящего из С, F и О. Единственным соединением такого типа оказалось COF_2 , обладающее свойствами диэлектрика. Отсутствие анодного эффекта при выделении только одного фтора объясняется низкой температурой процесса ($90\text{--}100^\circ$), которая затрудняет образование CF_4 .

* По данным [19] потенциал пробоя слоя CF_4 толщиной 3 мкм между двумя пластинами диаметром 12 мм составляет около 10 кВ.

** Разряд только одних ионов кислорода на угольной поверхности при отсутствии разряда фтора анодного эффекта не вызывает.

скорость взаимодействия фтора и углерода становится заметной только при температурах выше 400° [20].

Подобные обстоятельства навели на мысль об изучении поведения угольного электрода в криолитных расплавах в зависимости от содержания в них глинозема.

Для получения электролита, не содержащего ионов кислорода, были использованы реактивы, по возможности, свободные от окислов. Фтористый натрий был взят марки «ч. д. а», а фтористый алюминий (марки

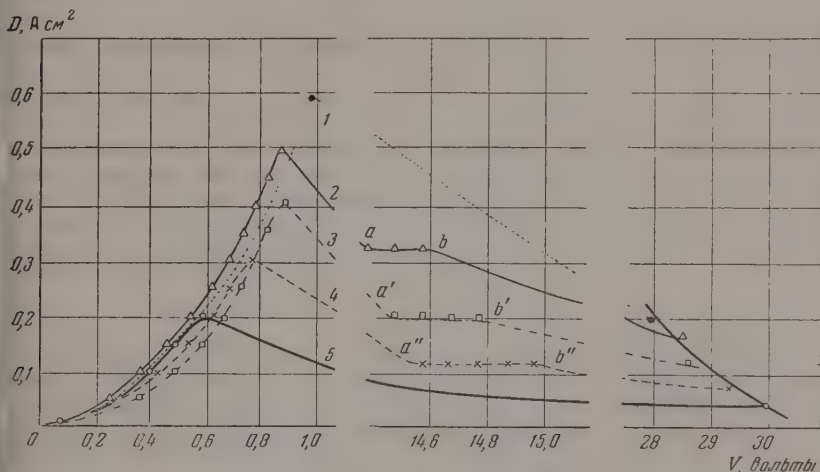


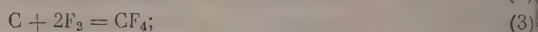
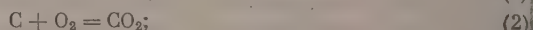
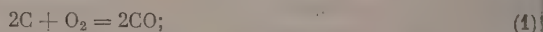
рис. 4. Зависимость анодных поляризационных кривых от продолжительности предварительного электролиза. 1 — поляризационная кривая, полученная в исходном электролите (0,5% Al_2O_3); 2 — поляризационная кривая после 10 мин. электролиза; 3 — после 20 мин. электролиза; 4 — после 30 мин. электролиза; 5 — после 60 мин. электролиза

«ч.») — подвергнут двойной сублимации. Для предотвращения взаимодействия расплава с атмосферным кислородом опыт проводился в токе гона. Имеющееся в электролите небольшое количество кислорода удавалось электролизом с применением медного анода с большой поверхностью. Время от времени электролиз прерывался и производилось снятие поляризационных кривых на угольном аноде. Оказалось, что плотность тока, при которой возникает анодный эффект, с увеличением времени электролиза сначала уменьшается, а затем, достигнув величины 8 A/cm^2 , больше не зависит от времени электролиза. Вид кривых при этом последовательно меняется. Если при содержании глинозема более 5% в момент достижения критической плотности тока наблюдается плавное падение силы тока (рис. 4, 1), то при уменьшении концентрации глинозема падение стало ступенчатым (рис. 4, 2, 3, 4). Ток падает сначала до определенного значения, которое при увеличении напряжения некоторое время остается постоянным, после чего снова падает. Первоначальное падение тока тем больше, чем длительнее электролиз и, следовательно, чем меньше содержание глинозема. При критической плотности тока $0,18 \text{ A/cm}^2$ ступенчатое падение тока снова прекращается (рис. 4, 5).

На основании этого можно полагать, что механизм возникновения анодного эффекта различен при больших и малых содержаниях глинозема. В первом случае он, по-видимому, связан с образованием поверхностных соединений типа COF_2 , а во втором — CF_4 . При каких-то средних концентрациях Al_2O_3 оба процесса идут последовательно.

Высказанные соображения можно подтвердить и термодинамическим расчетом.

Протекающие на аноде реакции могут быть выражены следующими уравнениями:



Для реакций (1), (2) и (3) подсчет напряжений разложения по формуле

$$E = - \frac{\Delta z}{nF}$$

не представляет особых трудностей и выполняется обычным путем*. Численные значения напряжений разложения для этих реакций соответственно равны 1,13; 1,03 и 1,82 V. Что же касается реакции (4), то из-за отсутствия необходимых данных величина напряжения разложения могла быть получена только на основании интерполирования на заданную температуру ее константы равновесия, известной для 300 и 1000° [21]. Полученная таким образом константа при 900° оказалась равной 0,402 а напряжение разложения — 0,104 V.

Все приведенные реакции в процессе электрохимического разложения электролита в алюминиевой ванне являются деполяризующими. Поэтому для того чтобы судить о последовательности образования на аноде соединений CO, CO₂, CF₄ и COF₂ при повышении напряжения на электролизере необходимо подсчитать потенциалы их образования по отношению к катодному продукту (алюминию).

Напряжение разложения Al₂O₃, подсчитанное для 900° и равное 2,18 V [22], является достаточно точным. Величина напряжения разложения AlF₃, равная 3,4—3,7 V [23], как указывается в [18], по-видимому, завышена вследствие приближенности ее расчета. Однако других более надежных ее значений не имеется. Для целей установления очередности течения реакций (1)—(4) это особого значения не имеет, если ошибка в определении не очень велика.

На основании приведенных данных потенциалы образования на аноде указанных соединений по отношению к алюминию будут равны:

$$CO \quad 2,18 - 1,13 = 1,05 \text{ V};$$

$$CO_2 \quad 2,18 - 1,03 = 1,15 \text{ V};$$

$$CF_4 \quad 3,4 - 1,82 = 1,58 \text{ V};$$

$$COF_2 \quad 1,15 - (-0,104) = 1,254 \text{ V}.$$

Из этих данных следует, что при наличии в электролите достаточно большого количества глинозема, следующим после CO и CO₂ является процесс образования COF₂.

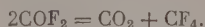
Исходя из приведенного расчета, можно объяснить ступенчатый характер кривых на рис. 4.

Кривая 1 отвечает достаточно большой концентрации Al₂O₃. Поэтому появление анодного эффекта в этих условиях связано с образованием COF₂. При уменьшении концентрации глинозема потенциал образования COF₂ растет. При каком-то содержании Al₂O₃ он становится положительнее потенциала CF₄. В этом случае в первую очередь будет происходить образование CF₄ как следствие разряда ионов фтора на свободных или адсорбированного кислорода участках угольной поверхности. Такие

* Для расчета были использованы данные [24].

частков будет тем больше, чем меньше в электролите ионов кислорода. Образовавшийся SF_4 изолирует поверхность анода только на этих участках. Следовательно, скачок напряжения и падение силы тока в момент разряда ионов фтора будут находиться в обратной зависимости от концентрации глинозема (точки a , a' и a''). Повышение напряжения после достижения точек a , a' и a'' не изменяет силы тока до момента возникновения OF_2 (точки b , b' и b''). Это соединение изолирует оставшиеся участки поверхности анода, и сила тока падает до минимума при резком скачке напряжения *. При какой-то малой концентрации глинозема потенциал OF_2 становится настолько положительным, что образование SF_4 происходит, практически, на всей поверхности сразу. В результате этого площадка ab на кривой 5 исчезает. Эта кривая отражает, по-видимому, процесс возникновения анодного эффекта только за счет образования SF_4 .

В условиях промышленного электролиза анодный эффект возникает при сравнительно высоких содержаниях глинозема (1—2%). Поэтому в качестве причины следует считать образование COF_2 . Отсутствие этого соединения в анодных газах не является препятствием для такого объяснения. Из литературы известно [21], что при высоких температурах COF_2 полностью распадается по реакции



го, в известной мере, подтверждается анализом анодных газов на ванне [7]. Соотношение в них CO_2 и CF_4 не сильно отличается от единицы.

Сравнение анодных поляризационных кривых, снятых коммутаторным компенсационными методами (рис. 2, кривые 1 и 3), показывает, что резкий рост напряжения при анодном эффекте определяется величиной η , т. е. он связан с увеличением переходного сопротивления на границе анод — электролит. Следовательно, напряжение анодного эффекта определяется, в основном, величиной, необходимой для пробоя образующегося на электроде непроводящего слоя. Исходя из величины потенциала пробоя фторуглеродов и считая ее пропорциональной высоте пробиваемого слоя, можно примерно оценить толщину образовавшейся на аноде изолирующей пленки. Приняв по данным [19] потенциал пробоя двухмиллиметрового слоя фторуглеродов равным 10 000 В и напряжение одного эффекта — 30 В, найдем толщину анодной изоляции равной

$$h = \frac{3 \cdot 30}{10000} = 10^{-2} \text{ мм.}$$

полученная величина во много раз превышает толщину мономолекулярного слоя, что, по-видимому, свидетельствует о взаимодействии фтора с углеродом и кислородом не только на поверхности анода, но и в его толще.

В связи с тем, что электрод при анодном эффекте покрывается качественно другим веществом, поверхностное натяжение на границе анод — электролит меняется. Поэтому наблюдаемая во время этого явления неактивность электрода есть следствие его возникновения, а не его причина, как это утверждают некоторые авторы [11—15].

Из рассмотренного частного примера появления анодного эффекта в криолит-глиноземных расплавах, можно, по-видимому, сделать вывод об общих причинах, вызывающих анодный эффект и в других случаях (например, в PbCl_2 , в безводном $\text{KF} \cdot \text{HF}$ на никелевом аноде и др.). Возникновение возможно в тех случаях, когда выделяющееся вещество при взаимодействии с материалом анода дает достаточно прочную пленку соединения, не проводящего ток.

* Следует отметить, что эти рассуждения являются качественными, так как кривые на рис. 4 искажены величиной IR . В описываемых опытах омическое сопротивление ячейки не определялось.

ВЫВОДЫ

1. Показано, что причиной возникновения анодного эффекта в алюминиевой ванне является взаимодействие выделяющегося фтора с поверхностью угольного электрода.

2. Высказано предположение о том, что при анодном эффекте в криолит-глиноземных расплавах на поверхности угольного анода образуются соединения COF_2 и CF_4 .

3. Общей причиной возникновения анодного эффекта в различных электролитах следует считать образование на поверхности электрода токонепроводящего слоя, возникшего в результате взаимодействия выделяющегося продукта с материалом анода.

4. Связанная с анодным эффектом несмачиваемость электрода является следствием образования на аноде нового вещества и не может служить основной причиной возникновения анодного эффекта.

Уральский политехнический
институт им. С. М. Кирова

Поступила
3.V.1956

ЛИТЕРАТУРА

1. R. Lorenz, *Elektrolyse geschmelzener Salze*, B. III, 1906.
2. R. Bunsen, *Pogg. Ann.*, **92**, 251, 1854.
3. W. Muthmann, H. Höfner, *Z. Weiss, Ann. d. Chem.*, **320**, 231, 1902.
4. L. Winteler, *Die Aluminium Industrie*, Braunschweig, 1903.
5. В. Шишкин, *Zs. Elektrochem.*, **33**, 83, 1927.
6. G. Flusin, *Houille blanche*, **10**, 263, 1911.
7. Ж. Прюво, Теория электролиза алюминия, Монтажпроект, алюминий, Л., 1934.
8. В. М. Гуськов, *Металлург*, **10**, 78, 1934.
9. Ю. В. Баймаков, Электролиз в металлургии, Металлургиздат, т. II, 1944.
10. Ю. А. Абрамов, М. М. Ветюков, И. П. Гупало, А. А. Костюков, Л. Н. Ложкин, Теоретические основы электрометаллургии алюминия. Металлургиздат, 1953.
11. K. Arndt, H. Probst, *Zs. Elektrochem.*, **29**, 323, 1923.
12. K. Arndt, *Zs. Elektrochem.*, **33**, 236, 1927.
13. H. Wartenberg, G. Wehner, *Zs. Elektrochem.*, **41**, 448, 1935.
14. А. И. Беляев, Физико-химические процессы при электролизе алюминия. Металлургиздат, 1947.
15. А. И. Беляев, М. Б. Рапопорт, Л. А. Фирсанова. Электрометаллургия алюминия, Металлургиздат, 1953.
16. W. Fredenhagen, S. Krefft, *Zs. Elektrochem.*, **35**, 670, 1929.
17. В. П. Машовед, М. Ф. Дограмаджи, Е. М. Флеринская, Журн. прикл. химии, **25**, 955, 1952.
18. В. П. Машовед, Электрsmеталлургия алюминия, ОНТИ, 1938.
19. Фтор и его соединения. под ред. Дж. Саймонса, т. I, ИИЛ, 1953.
20. С. А. Вознесенский, Химия фтора, ОНТИ, Химтеорет. 1937.
21. O. Ruff, S. C. Li, *Zs. anorg. alleg. Chem.*, **242**, 1939.
22. В. С. Ляшенко, *Металлург*, **10**, 95, 1936.
23. P. Drossbach, *Zs. Elektrochem.*, **42**, 144, 1936.
24. Э. В. Брицке, А. Ф. Капустинский, Термохимические константы неорганических веществ, Изд-во АН СССР, 1949.

THE CAUSES OF THE ANODIC EFFECT IN THE ELECTROLYTIC PRODUCTION OF ALUMINUM

L. N. Antipin and N. G. Turin

(Sverdlovsk)

Summary

On the basis of experimental evidence obtained in this study and analysis of published data it has been concluded that the anodic effect in cryolite alumina melts owes its appearance to the discharge of fluorine containing ions at the anode. It has been suggested that the compounds COF_2 and CF_4 may form at the carbon anode. The nonwettability effect observed at the anode is caused by the presence of these substances on its surface.

ВЛИЯНИЕ ПОРИСТОСТИ ГРАФИТОВЫХ АДсорбЕНТОВ НА АДсорБЦИЮ И ТЕПЛОТУ АДсорБЦИИ ПАРОВ ГЕКСАНА

*Н. Н. Авуль, Г. И. Березин, А. В. Киселев,
И. А. Дыгина и Г. Г. Муттик*

В работе [1] изучалась адсорбция и теплота адсорбции паров гексана на сажах и влияние на адсорбцию химической и кристаллографической однородности поверхности сажи. Настоящая работа посвящена изучению влияния на адсорбцию и теплоту адсорбции паров гексана пористости графитовых тел. При этом интересно было исследовать, во-первых, настолько крупнопористый образец, чтобы первичная адсорбция на нем заметно не отличалась от адсорбции на непористом образце сажи, а отсюда проявились бы лишь во вторичных процессах капиллярной конденсации, и, во-вторых, настолько тонкопористый образец, чтобы влияние жения пор сильно сказывалось на первичном адсорбционном процессе. Как получаемые обычным способом крупнопористые активные угли держат значительное количество тонких пор, то в качестве первого разца нами был выбран крупнопористый «искусственный уголь», полученный прессованием непористой сажи. В качестве второго образца был выбран однороднотонкопористый активный уголь. Эти пористые адсорбенты сопоставлялись с непористыми, поверхность которых была обработана таким же образом.

МЕТОДИКА ИЗМЕРЕНИЯ И ОБРАБОТКА ОБРАЗЦОВ

Автоматический самопишущий адсорбционный калориметр с постоянным теплообменом. Нами был применен адсорбционный калориметр с постоянным теплообменом (модель 1953 г.), аналогичный терпистенному калориметру с постоянным теплообменом лаборатории адсорбции Лексвского университета (модель 1947 г.), описанному ранее в работах [2, 3]. Измерение температуры производилось термометром сопротивления, включенным в схему моста Уитстона. При помощи дифференциального фотореле и самописца осуществлялась автоматическая запись температурного хода калориметра. Регулировка температуры образцы в соответствии с режимом постоянного теплообмена осуществлялась при помощи термометров сопротивления, включенных в мост Уитстона, и управляемого им автоматического фотореле так же, как и в [2, 3].

В отличие от ранее описанной конструкции (модель 1947 г.) в примененном в этой работе калориметре управляемая керосиновая оболочка заменена массивной медной плаской. Кроме того, калориметр вместе с этой первой управляемой оболочкой помещен во вторую управляемую оболочку, которая также сделана из красной меди. Внутренней первой оболочке помещены все постоянные сопротивления плечей измерительного и двух регулировочных мостов Уитстона.

Калориметр вместе с обими оболочками помещен в двустенную рубашку, сквозь которую прсходит вода, термостатированная ультратермостатом. Разрез и план калориметра изображены на рис. 1. Собственно калориметр, как и в старой модели лаборатории адсорбции МГУ, представляет собой медный стакан 1 с плотно посаженной на него медной трубкой 2. Внутрь стакана вводится стеклянная гильза с адсорбентом. На наружной поверхности стакана имеется четырехзаходная спиральная канавка, в которую при изготовлении калориметра укладываются изолированные бакелитовым лаком измерительный платиновый термометр сопротивления (диаметр проволоки 0,05 мм, сопротивление около 100 Ω) и константановый нагреватель, служащий для калибровки калориметра. После укладки термометра и нагревателя стакан калориметра закрывается в медную трубку, на внешней поверхности которой имеется двухзаходная спиральная канавка, в которой помещается регулировочный термометр калориметра, изолированный также бакелитовым лаком.

Собранный калориметр на трех текстолитовых стойках прикреплен к дну первой оболочки. Выводы от термометров и нагревателя, сделанные медным проводом диаметром 0,5 мм, проходят сквозь дно первой и второй оболочек к катушкам соответствующих мостов.

Первая оболочка представляет собой толстостенный медный стакан с привернутым к нему дном. На внешней поверхности первой оболочки имеются шестизаходные спиральные канавки. В этих канавках помещаются регулировочный термометр первого регулировочного моста, нагреватель первой оболочки и термометр управления вторым регулировочным мостом. Оба термометра сделаны из платиновой проволоки диаметром 0,05 мм, сопротивление каждого из них составляет около 110—120 Ω .

Первая оболочка на текстолитовых стойках установлена на медном диске. С другой стороны к этому диску прикреплена текстолитовая панель, на которой укреплены катушки сопротивлений всех мостов. Первая оболочка вместе с этими катушками вводится снизу во вторую оболочку и укрепляется в этом положении тремя винтами (на рисунке они не видны). На внешней поверхности второй оболочки имеются четырехзаходные канавки для регулировочного термометра и нагревателя второй оболочки.

Нижний отсек второй оболочки, в котором помещены катушки мостов, снизу закрывается крышкой. В этой крышке имеются отверстия для вывода проводов от мостов. Кроме того, одно отверстие предназначено для того, чтобы через него вводить сменную катушку измерительного моста. Каждая такая катушка предназначена для определенного интервала температур (здесь и на рис. 2 эта катушка отмечена крестиком).

Электрическая схема калориметра приведена на рис. 2. Наблюдение за температурным ходом калориметра может осуществляться как вручную, приведением измерительного моста в равновесие при помощи магазина сопротивлений R_1 , так и автоматически. В последнем случае свет от осветителя, отраженный зеркальцем гальванометра G_1 , попадает на дифференциальное фотореле 6*. Если один из фотоэлементов освещается больше другого, то сигнал дифференциального реле заставляет передвинуться реохорд самописца. Это движение реохорда будет продолжаться до тех пор, пока измерительный мост не придет в равновесие, и свет, отраженный от измерительного гальванометра, не будет одинаково освещать фотоэлементы дифференциального фотореле.

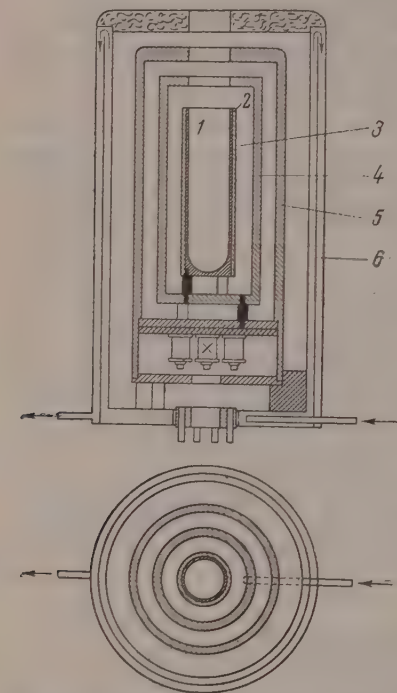


Рис. 1. Разрез и план микрокалориметра. 1 — медный стакан; 2 — медная трубка; 3 — калориметр; 4 — первая оболочка; 5 — вторая оболочка; 6 — термостатированная рубашка

В измерительный мост был включен гальванометр КС фирмы Кипп и Зонен с чувствительностью $0,05\text{--}0,25 \cdot 10^{-6} \text{V/мм/м}$.

Регулировочная схема первой оболочки обеспечивает постоянный теплообмен калориметра, т. е. такие условия, при которых выделение тепла термометрами сопротивления постоянно компенсируется равным отводом тепла от калориметра за счет того, что температура оболочки автоматически держится несколько ниже температуры калориметра. Регулировочная схема состоит из регулировочного моста, имеющего два термометра сопротивления (один из них находится при температуре калориметра, а другой — при температуре первой оболочки) и гальванометра G_2 — здесь был применен гальванометр A_1 фирмы Кипп и Зонен с чувствительностью $0,6\text{--}1,25 \cdot 10^{-6} \text{V/мм/м}$; тиратронного фотореле 5** и нагревателя первой оболочки. При помощи магазина сопротивлений R_2 подбирается такая разность температур между калориметром и оболочкой, которая обеспечивает достаточно малый температурный ход калориметра (в идеальном случае нулевой).

Регулировочная схема второй оболочки имеет аналогичное устройство и состоит из регулировочного моста с гальванометром G_3 марки МН-21-1 с чувствительностью $1,4\text{--}6,5 \cdot 10^{-6} \text{V/мм/м}$, тиратронного реле 4 и нагревателя второй оболочки. Один из ре-

* Схема дифференциального фотореле аналогична описанной в [2, 3].

** Схема тиратронного реле аналогична описанной в [2, 3].

тупировочных термометров находится при температуре первой оболочки, другой — при температуре второй оболочки.

Внешняя жидкостная рубашка калориметра термостатируется с точностью до $\pm 0,02^\circ$. Для обеспечения постоянства нулевого положения гальванометров и надежной работы приборов, находящихся вне оболочки калориметра, комната, в которой расположен калориметр и адсорбционная установка, термостатируется с точностью до $\pm 0,15^\circ$. При нулевом ходе калориметра температура обеих внутренних управляемых оболочек поддерживается постоянной с точностью до нескольких десятитысячных долей градуса. Все это обеспечивает стабильную работу калориметра и высокую его чувствительность. Термометрическая чувствительность этой модели калориметра составляет 10^{-5}° . Теплоемкость калориметра приблизительно равна 10 кал/град. , поэтому калориметрическая чувствительность составляет $2 \cdot 10^{-3} \text{ кал}$, что при обычном количестве адсорбента 10 г соответствует $2 \cdot 10^{-4} \text{ кал/г}$ адсорбента. Калибровка калориметра производится так же, как и калориметра модели 1947 г.

Преимуществом данного микрокалориметра по сравнению со старой моделью лаборатории адсорбции является замена жидкостной оболочки медными блоками, что значительно сократило размеры калориметра, упростило и сделало более стабильной его работу, так как отпала необходимость в перемешивании жидкости. Кроме того, было обеспечено более надежное расположение термометров сопротивления (на медных блоках) и отпала необходимость отдельно термостатировать мосты. При условии малой тепловой инерционности катушек мостов помещение их во внешней управляемой оболочке, а не в термостате, не вызывает осложнений в режиме калориметра.

Адсорбционная установка с капиллярной микрооборудкой для измерения адсорбции паров в калориметре. Для измерения дифференциальной теплоты адсорбции надо с большой точностью измерять малые величины прироста адсорбции Δa . Наиболее удобен и точен при работе с парами жидкостный объемный метод с капиллярной микрооборудкой, примененный В. П. Древингом, А. В. Киселевым и Ю. А. Эльтековым [4, 5].

Схема адсорбционной установки изображена на рис. 3. Она включает гильзу адсорбентом 1, U-образный манометр 2, балон со ртутью известной емкости 3, манометр Мак-Леода 4, две капиллярные микробюретки 5 и 6, ампулы с адсорбатом 7 и ртутные затворы 9 — 16.

Затворы указанной на схеме конструкции, предложенной В. П. Древингом, представляют собою компактное устройство высотой не более 20 см с небольшим количеством (20—25 см^3). Продвижение ртути в них ограничивается хорошо пришлифованными клапанами (двумя — в верхнем положении и одним — в нижнем). Смазка в затворах совершенно не применяется, что позволяет работать с углеводородами. В адсорбционную гильзу, нижняя часть которой входит в калориметр, помещается адсорбент, после чего гильза запаивается (линия отпаивки указана на схеме пунктиром). Для уменьшения мертвого пространства в гильзу вставляются стеклянные палочки, нижний палец имеет в середине канал для прохода пара к адсорбенту. Наличие калиброванного объема 3 позволяет определять все объемы отдельных частей установки, что необходимо для учета количества газа, оставшегося в мертвом пространстве.

Малые давления паров p измерялись манометром Мак-Леода ($p = 1,7 \cdot 10^{-4} h^2 \text{ мм рт.ст.}$, h — высота столбика ртути в капилляре манометра в миллиметрах), большие

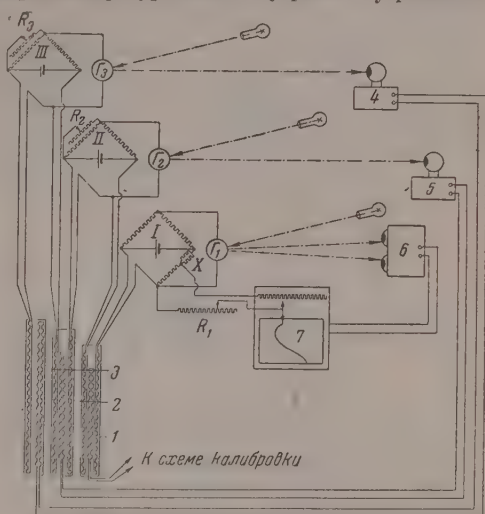


Рис. 2. Электрическая схема микрокалориметра. 1 — калориметр; 2 — первая оболочка; 3 — вторая оболочка; 4, 5 — фотореле; 6 — дифференциальное фотореле; 7 — самописец

* Она несколько меньше, чем у калориметра лаборатории адсорбции, описанного в [2, 3], за счет того, что в данном калориметре был применен менее чувствительный гальванометр в измерительном мосте.

давления измерялись при помощи U-образного манометра и катетометра КМ-5 с точностью до 0,03 мм.

Капиллярные микробюретки 5 и 6 представляют собою калиброванные строго цилиндрические капилляры различных диаметров (капилляр 5 диаметром 1,5 мм, капилляр 6 диаметром 2,5 мм). При помощи охлаждающей смеси гексан из ампулы 7 перево-

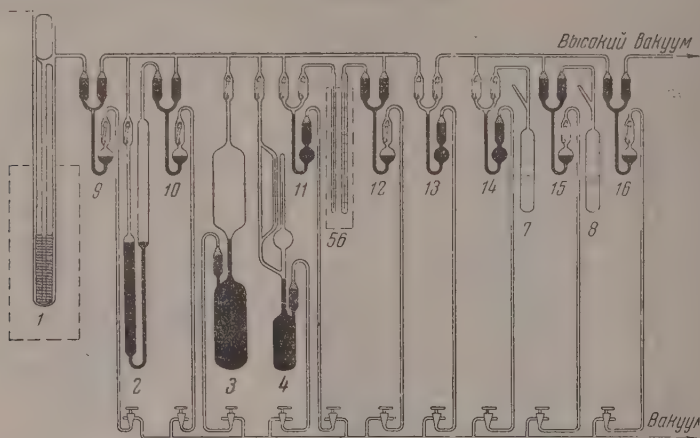


Рис. 3. Схема адсорбционной установки с капиллярной микробюреткой

дится в капиллярные бюретки. После этого под них подводится термостат из прозрачного плексигласа, через который пропускается вода из ультратермостата. Капилляры термостатируются с точностью до $\pm 0,02^\circ$. Наблюдение за уровнем мениска жидкости в капилляре ведется при помощи катетометра КМ-5. Точность отсчета при измерении высоты составляет 0,01 мм, что при диаметре капилляра в 1,5 мм соответствует $2 \cdot 10^{-5}$ г. При навеске адсорбента около 10 г это обеспечивает чувствительность в $2 \cdot 10^{-6}$ г адсорбата на 1 г адсорбента ($2 \gamma/g$).

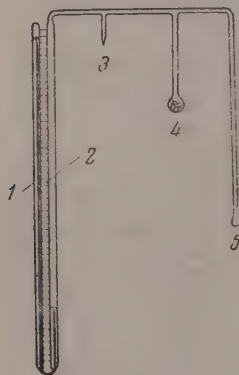


Рис. 4. Схема азотного термометра

Объемная установка для определения низкотемпературной адсорбции паров азота. Величина поверхности образцов определялась по низкотемпературной адсорбции паров азота, для чего была построена вспомогательная газовая объемная установка. Устройство последней аналогично описанному в [6,7]. Для определения упругости паров азота при температуре используемого жидкого азота применялся азотный термометр с силикагелем, схема которого приведена на рис. 4. Она включает U-образный манометр 1 длиной около 1 м с измерительной шкалой 2, отросток 3, через который термометр заполняется азотом, ампулу с силикагелем 4 и маленькую ампулу 5, опускаемую в термостат с жидким азотом. При заполнении термометра азотом отросток 3 припаивается к азотной установке через перетяжку, после чего силикагель (около 1 г) откачивается при нагревании до высокого вакуума. Затем под ампулу с силикагелем 4 подставляется сосуд Дьюара с жидким азотом, и термометр заполняется азотом при давлении 100–200 мм. При этом силикагель адсорбирует большое количество азота. Далее термометр отпаивается от установки через перетяжку отростка 3. Сосуд Дьюара из-под ампулы с силикагелем убирается и в термометре создается давление азота 1500–2000 мм. Такое устройство позволяет создать в термометре большое избыточное давление азота, которое при погружении ампулы 5 в термостат с жидким азотом обеспечивает образование в ней чистого жидкого азота в количестве, достаточном для надежного определения упругости его насыщенных паров p_s . Кроме того не надо заботиться о периодическом заполнении такого термометра.

Образцы адсорбентов и их подготовка. В качестве образцов для получения однороднокрупнопористого «угля» путем сжатия порошка шаровидными непористыми частицами нами были выбраны образцы сажи Р-33. Сажь Р-33 описана в литературе [8] как одна из обладающих крупными и весьма однородными шаровидными частицами с наименее окисленной и наименее шероховатой поверхностью.

Диаметр частиц сажи Р-33 у максимума кривой распределения составляет около 1600 \AA , незначительная удельная поверхность по электронно-микроскопическим данным составляла около $19,4 \text{ м}^2/\text{г}$ [9]. Образцы термической сажи Р-33 были получены от Л. В. Радужкевича. Они были им прокалены при температуре около 1000° в токе водорода в течение часа. Один из них представлял рыхлый порошок, другой был им спрессован под давлением в 800 кг/см^2 .

Для обоих этих образцов сажи мы определили величину удельной поверхности s по БЭТ при помощи низкотемпературной адсорбции паров азота. Для неспрессованного образца $s = 15,85 \text{ м}^2/\text{г}$, для спрессованного $s = 18,4 \text{ м}^2/\text{г}^*$. Эти величины близки к внешней поверхности сажи Р-33, определенной под электронным микроскопом, что указывает на отсутствие пор.

За образец тонкопористого активного угля нами был взят уголь, полученный активированием сахарного кокса в токе CO_2 при 1000° до обгара в 45%, после чего он был подвергнут прокаливанию при 1700° в токе водорода. Этот образец исследовался в работе [10], в которой он сравнивался с непористым образцом сажи Сферон-6 с однородной поверхностью, обработанным в тех же условиях и описанным в работе [1].

Нормальный гексан применялся такой же, что и в работе [1].

АДСОРБЦИЯ И ТЕПЛОТА АДСОРБЦИИ НА НЕСПРЕССОВАННОМ И СПРЕССОВАННОМ ОБРАЗЦАХ САЖИ

Исследование адсорбции паров на спрессованных сажах проводилось в нескольких работах. Карман и Раал [11] изучали сажу карболак, имеющую частицы очень малых размеров (около 40 \AA). В этом случае прессование сажи привело к резкому изменению изотермы адсорбции не только в области высоких относительных давлений p/p_s , но и в начальной части, что свидетельствовало о появлении значительного числа тонких пор в полученном спрессованном образце. Н. Н. Август, О. М. Джигит и В. Киселев [12] исследовали в этом отношении сажу Сферон-6, размеры частиц которой составляли около 300 \AA . При переходе от неспрессованного образца к спрессованному изотерма адсорбции в начальной части не изменилась, как и в случае кремнезема Линде с частицами близких размеров в работе [11]. В области высоких относительных давлений в случае спрессованного образца наблюдался хорошо воспроизводимый гистерезис. Такие же результаты были получены позже в работе [13].

Применив в настоящей работе более точную методику, чем в предыдущих работах, мы смогли провести более подробное исследование изотермы адсорбции, а также провести измерение дифференциальных теплот адсорбции на неспрессованной и спрессованной сажах.

Изотермы адсорбции гексана на неспрессованном и спрессованном образцах сажи в обычном масштабе приведены на рис. 5. Из рисунка видно, что изотерма адсорбции на неспрессованном образце (кривая 1) вначале идет очень низко, что связано с малой величиной удельной поверхности. Вблизи же оси относительных давлений $p/p_s = 1$ наблюдается резкий рост сорбции. Этот рост вызван тем, что даже свободно насыпанная сажа уже представляет собой некоторое пористое тело, так как между частицами сажи образуются полости, которые заполняются раньше, чем p/p_s достигнет значения единица. Так как частицы сажи расположены близко, имеются полости различных размеров, и изотерма адсорбции имеет типичный для неоднороднопористых образцов вид — изотерма адсорбции гипотетически приближается к оси $p/p_s = 1$ (четвертый структурный тип [14]). С этим явлением капиллярной конденсации в зазорах между частицами вблизи $p/p_s = 1$ всегда надо считаться при изучении адсорбции на тонких порошках непористых адсорбентов.

При переходе к спрессованной саже (кривая 2) изотерма адсорбции в начальной части не изменяется. Однако в области больших относительных давлений изотерма адсорбции имеет уже совсем иной вид, чем на неспрессованном образце. В области $p/p_s = 0,88 \div 0,97$ наблюдается четкий воспроизводимый гистерезис. Изотерма сорбции имеет здесь крутой

* Спрессованный образец был получен из другого исходного образца сажи Р-33.

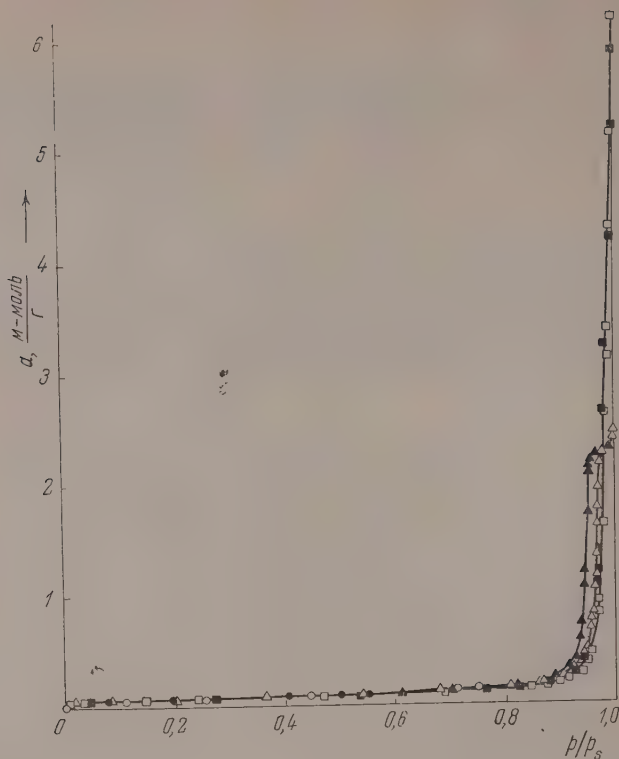


Рис. 5. Изотермы адсорбции паров гексана. □ — на неспрессованной; ○ Δ — на спрессованной сажах Р-33. Здесь и далее черные точки — десорбция

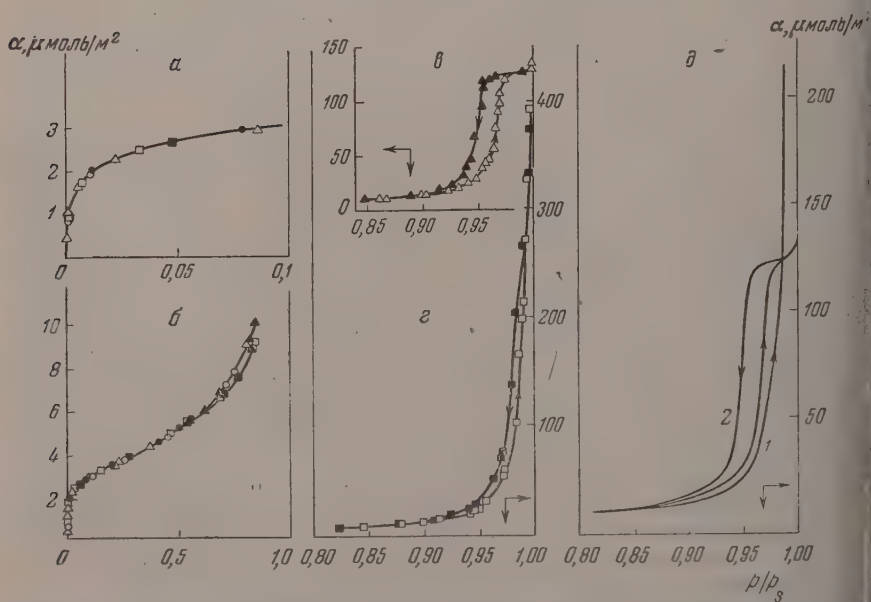


Рис. 6. Абсолютные изотермы адсорбции паров гексана: 1 — на неспрессованной; 2 — на спрессованной сажах Р-33 (в различных масштабах). Обозначения те же, что и в рис. 5

тодем в узком интервале p/p_s (сорбционная ветвь вблизи $p/p_s = 0,97$, десорбционная ветвь вблизи $p/p_s = 0,95$). Выше $p/p_s = 0,97$ изотерма сорбции круто загибается вправо. Такой вид изотермы сорбции характерен для капиллярной конденсации в случае однороднопористых образцов (второго структурного типа [14]).

Изученная спрессованная сажа является однороднопористым образцом потому, что под воздействием высокого давления частицы сажи сближались и образовали весьма плотную упаковку со средним координационным числом $n \approx 8$ [9]. Так как исходная сажа является весьма однороднодисперсной, то образованные полости также должны быть однородными, что подтверждается характером изотермы сорбции и десорбции.

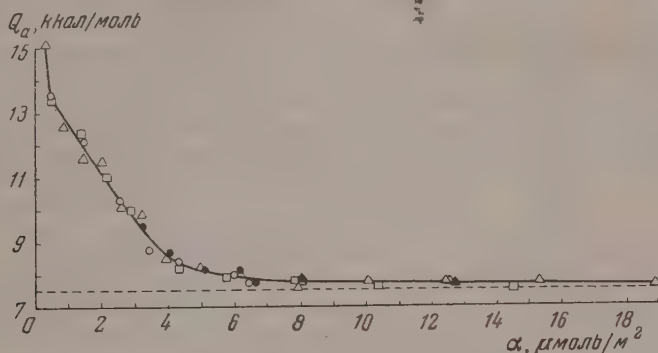


Рис. 7. Зависимость дифференциальной теплоты адсорбции от абсолютного адсорбированного количества гексана на неспрессованной и на спрессованной сажах Р-33. Пунктир — скрытая теплота конденсации гексана. Обозначения те же, что на рис. 5

Детальное сопоставление различных участков изотерм адсорбции на неспрессованном и спрессованном образцах приведено на следующем рис. 6. Так как образцы были получены из различных партий и величины их удельной поверхности несколько отличались, было проведено сопоставление абсолютных изотерм (в расчете на 1 м² поверхности, определенной при низкотемпературной адсорбции паров азота). Из рис. 6, а и 6, б видно, что, начиная от $p/p_s = 0,001$ и до $p/p_s = 0,6$, т. е. в чисто адсорбционной области, изотермы адсорбции на обоих образцах обратимы и полностью совпадают между собой. Изменение пористости при переходе от неспрессованного к спрессованному образцу совершенно не сказывается на этой части изотермы. Усиления адсорбционного потенциала не наблюдается. Это подтверждается измерениями дифференциальной теплоты адсорбции паров гексана на обоих образцах, результаты которых приведены на рис. 7. Теплоты адсорбции на обоих образцах в пределах точности измерений совпадают*.

Выше $p/p_s = 0,6$ изотермы адсорбции, оставаясь обратимыми, начинают расходиться, причем изотерма адсорбции на спрессованном образце располагается выше. Участки изотерм выше $p/p_s = 0,85$ для спрессованного и неспрессованного образцов приведены соответственно на рис. 6, в и 6, г. Изотермы адсорбции приведены в одинаковых масштабах, однако сдвинуты одна по отношению к другой, так как близость десорбционной ветви на неспрессованном образце к адсорбционной ветви на

* Падение теплоты адсорбции в мономолекулярной области связано с тем, что эти разды не графитированы прокаливанием выше 1500°, так же как и сажа Сферон-6, обгоревшая при 950° в вакууме в [1].

спрессованном образце и большое число точек сильно затрудняют рассмотрение кривых. Обе эти части изотерм сопоставлены на рис. 6, *б* без нанесения экспериментальных точек (десорбционная ветвь для неспрессованного образца, чтобы не загромождать чертежа, здесь не приведена).

Из рис. 6, *в* — 6, *д* видно, что изотерма адсорбции на неспрессованном образце остается обратимой до $p/p_s = 0,91$, после чего имеет место узкий гистерезис, характерный для неоднороднопористых адсорбентов. Изотерма адсорбции на спрессованном образце обратима до $p/p_s = 0,88$, затем наблюдается гистерезис, уже описанный выше.

Как можно представить пору в таком спрессованном из отдельных частиц адсорбенте? В соответствии с представлениями теории корпускулярной структуры адсорбентов — гелей [15, 16]

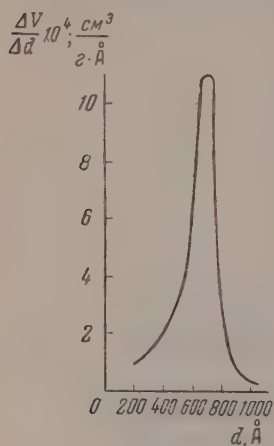


Рис. 8. Кривая распределения объема пор по диаметрам спрессованного образца сажи Р-33

это полость, имеющая некоторое количество отверстий — горл, сообщающих ее с другими такими же полостями. Заполнение и освобождение такой «бутылкообразной» полости с несколькими горлами должно наблюдаться при различных относительных давлениях, т. е. должен иметь место гистерезис. Так как части полости, находящиеся вблизи контакта частиц, имеют клиновидную форму, то заполнение и освобождение их происходят обратимо. Поэтому расхождение изотерм на спрессованном и неспрессованном образцах начинается не с начала гистерезиса, но еще в обратимой части, выше $p/p_s = 0,61$.

При помощи термодинамического метода [17] был проведен расчет величины поверхности адсорбционной пленки s' , образующейся на спрессованной саже к началу капиллярной конденсации. Величина поверхности пленки s'_1 в области обратимой части изотермы на спрессованном образце, соответствующей заполнению клиновидных частей пор вокруг мест контакта шаров (рассчитанная от начала расхождения обратимых изотерм), составляет $3,7 \text{ м}^2/\text{г}$. Величина s'_2 в области гистерезисной петли составляет $14,0 \text{ м}^2/\text{г}$. В сумме это составляет $s' = 17,7 \text{ м}^2/\text{г}$. Эта величина s' хорошо согласуется с величиной удельной поверхности самой сажи, полученной из изотермы адсорбции паров азота: $s = 18,4 \text{ м}^2/\text{г}$. Таким образом для столь крупнопористого образца, представляющего довольно однородный ансамбль крупных шаровидных частиц, можно проследить различные стадии капиллярной конденсации паров.

Отношение объема жидкости v_s , сорбированного при насыщении, т. е. объема пустот в спрессованном образце, к общему объему, занятому в нем ансамблем шаров, позволяет оценить среднее координационное число n [15, 16], которое оказывается равным 7,4, т. е. близко к $n \approx 8$, соответствующему модели этого спрессованного образца [9].

На основании десорбционной ветви изотермы сорбции на спрессованном образце по формуле Томсона была рассчитана далее кривая распределения пор по диаметрам (рис. 8). Эта кривая указывает на однородность пористости в таком спрессованном образце. При расчете диаметров по формуле Томсона для такой формы пор (зазоров между шариками сажи) из десорбционной ветви мы получаем величины диаметров «горл» полостей, поскольку именно в этих горлах образуется шаровидный мениск наибольшей кривизны, заправляющий более широкую внутреннюю часть полости. Диаметр, соответствующий максимуму кривой распределения, составляет 700 Å. Расчеты диаметров горл правильно упакованных оди-

наковых шаров, выполненные в лаборатории адсорбции Московского университета А. П. Карнауховым, позволяют оценить средний диаметр горл через отношение объема пустот к поверхности частиц по формуле $d = 2,86 v_s / s$, численный коэффициент которой мало зависит от n . В нашем случае это дает для d около 500 Å. Для правильной упаковки одинаковых шаров с $n=8$ $d=0,225D$, что для $D=1600$ Å дает около 400 Å т. е. несколько меньшую величину в соответствии с тем, что принятое в этом расчете значение $n = 8$ несколько больше действительного среднего значения $n = 7,4$.

Дальнейшие уточнения требуют отдельного учета как капиллярной конденсации, так и полимолекулярной адсорбции, продолжающей развиваться на оставшихся свободными поверхностях жидких пленок в зазорах между частицами сажи.

АДСОРБЦИЯ И ТЕПЛОТА АДСОРБЦИИ НА ТОНКОПОРИСТОМ УГЛЕ

Поскольку основным видом взаимодействия углеводородов с графитовыми телами являются аддитивные дисперсионные силы, следует ожидать значительного увеличения адсорбции и теплоты адсорбции при сужении

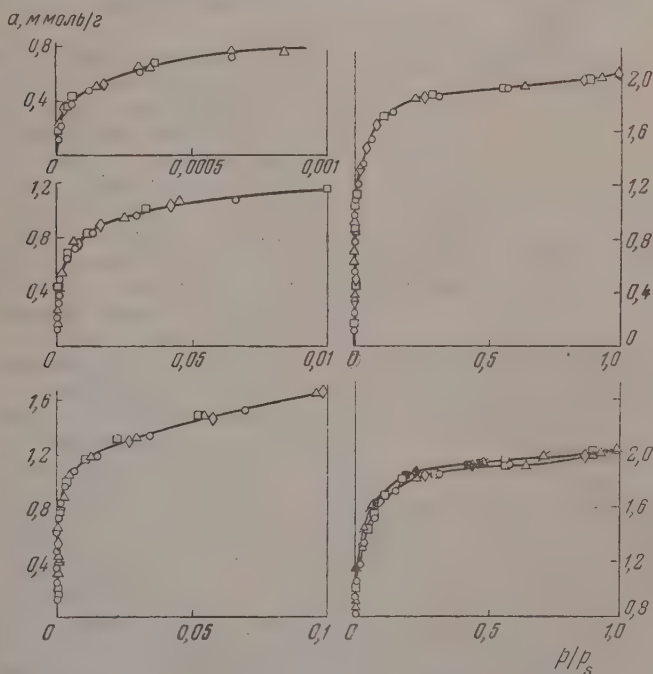


Рис. 9. Изотерма адсорбции паров гексана на угле. Различные обозначения относятся к разным сериям опытов. Перечеркнутые точки — адсорбция, проведенная после десорбции (изотерма дана в различных масштабах)

пор [18]. В работах М. М. Дубинина и Е. Д. Завериной [19, 20] было показано, что в тонкопористых углях адсорбционный потенциал для адсорбции паров бензола резко повышен*.

Изученная нами изотерма адсорбции паров гексана на графитированном образце однороднопористого активного угля приведена на рис. 9 в четы-

* В этих работах адсорбционный потенциал рассчитывался методом потенциальной теории адсорбции, т. е. представлял собой дифференциальную работу адсорбции пара.

рех разных масштабах по оси относительных давлений. Были проведены четыре серии опытов, которые дали совпадающие результаты.

Изотерма адсорбции имеет крутой начальный подъем, предельная адсорбция достигается уже при малых относительных давлениях. Такая форма изотермы характерна для тонкопористых адсорбентов (третий структурный тип [14]). Предельно адсорбированный объем гексана $v_s = 0,26 \text{ см}^3/\text{г}$, что согласуется с результатами исследования этого угля в работе [10]. В этой работе [10] средний размер «горл» в порах этого угля был приближенно оценен в 40 Å.

При малых относительных давлениях для достижения равновесия требовалось не более 2—3 час. В области больших относительных давлений

(при p/p_s от 0,7 до 0,9) наблюдалось набухание угля в парах гексана. В связи с этим как последующая десорбция (черные точки), так и повторная адсорбция (перечеркнутые точки) немного не совпадают с первичной адсорбционной ветвью (расхождение составляет около 2—3%). Эта часть изотермы изображена на рис. 9 справа внизу.

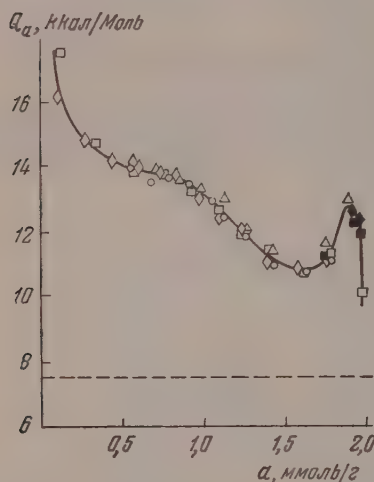
Зависимость дифференциальной теплоты адсорбции паров гексана от адсорбированного количества на этом угле приведена на рис. 10. Кривая начинается крутым падением, после чего в средней части падение замедляется, затем снова усиливается. В области завершения процесса адсорбции наблюдается резкий максимум и за ним крутое падение теплоты до величин, близких к скрытой теплоте конденсации.

Для выяснения влияния резкого сужения пор на адсорбцию и теплоту адсорбции следует сопоставить величины адсорбции и теплоты адсорбции паров гексана на этом угле и на саже, обработанной таким же образом,

Рис. 10. Зависимость дифференциальной теплоты адсорбции от адсорбированного количества гексана на угле. Обозначения те же, что и на рис. 9. Пунктир — скрытая теплота конденсации паров гексана

как и уголь. Результаты исследования адсорбции и теплоты адсорбции паров гексана на такой графитированной при 1700° саже приведены в [1]. Следует подчеркнуть здесь различие в форме кривых зависимости теплоты адсорбции от заполнения для графитированной сажи [1] и для обработанного в тех же условиях угля. В первом случае максимум теплоты адсорбции соответствует завершению заполнения монослоя и лежит в области малых p/p_s ; во втором случае максимум соответствует завершению заполнения всего объема пор угля и лежит в области больших p/p_s .

Для точного сопоставления адсорбционных свойств надо знать величину удельной поверхности угля, однако надежного метода определения поверхности тонкопористых углей нет. Поэтому для расчета мы применили указанную в работе [10] величину поверхности угля ($s = 450 \text{ м}^2/\text{г}$), определенную по адсорбции паров азота при температуре его кипения, хотя применение метода БЭТ для тонкопористых адсорбентов носит формальный характер и вряд ли дает правильные величины удельной поверхности. Все же эта величина, как указывалось в [10], не сильно отличается от возможной поверхности такого угля и ее можно использовать для приближенного расчета на единицу поверхности, нужного для сопоставления величин адсорбции на угле и на непористой саже.



Изотерма адсорбции паров гексана на угле и саже, отнесенная к 1 м^2 таким образом определенной поверхности, на рис 11 сопоставлена с абсолютной изотермой адсорбции на саже, определенной в работе [1]. Из рисунка видно, что при заполнении половины поверхности (до $\alpha = 2 \text{ ммоль/м}^2$) изотерма адсорбции на угле идет значительно круче, чем на саже, что указывает на значительное усиление потенциала в наиболее тонких частях пор угля.

При дальнейшей адсорбции на некотором интервале обе изотермы сливаются. Это указывает на близость адсорбционных потенциалов в этой области заполнения. Выше $p/p_s = 0,2$ обе изотермы резко расходятся. На саже здесь свободно происходит полимолекулярная адсорбция, в случае же угля вблизи $p/p_s = 0,2$ заполнение объема пор уже завершается и адсорбция достигает предела.

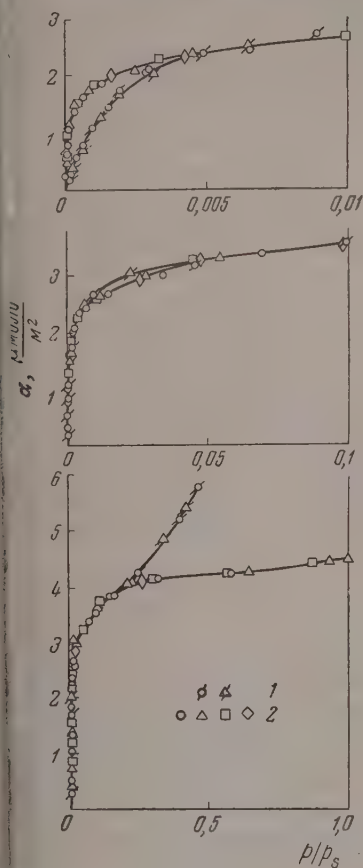


Рис. 11

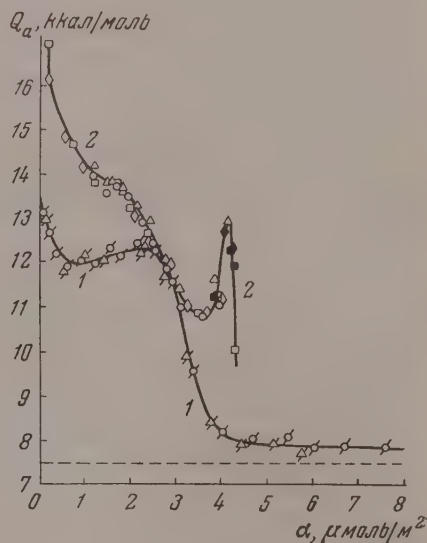


Рис. 12

11. «Абсолютные» изотермы адсорбции паров гексана: 1 — на графитированной саже; 2 — на угле

12. Зависимость дифференциальной теплоты адсорбции паров гексана от «абсолютного» адсорбированного количества: 1 — на графитированной саже и 2 — на угле. Значения точек те же, что и на рис. 11. Пунктир — скрытая теплота конденсации паров гексана

На рис. 12 соответствующим образом сопоставлены на саже и угле теплоты адсорбции. Из рисунка видно, что сужение пор приводит к заметному увеличению теплоты адсорбции гексана в начальной области, соответствующей заполнению наиболее активных мест поверхности, связанной с оставшейся неоднородностью. Теплота адсорбции на угле превышает здесь теплоту адсорбции на саже примерно на 30%. Когда наиболее активные места уже заняты, превышение теплоты адсорбции на угле по сравнению с теплотой адсорбции на саже составляет около 20%. Вблизи решения «монослоя» величины теплот адсорбции и для угля, и для сажи

сближаются. Неточность определения поверхности угля не может существенно изменить этих результатов, так как эта неточность скажется лишь в некотором сдвиге кривой по оси абсцисс, но не изменяет величин теплот адсорбции.

Из рассмотренного видно, что усиление энергии адсорбции в порах этого угля происходит в основном лишь в наиболее тонких частях пор. Заполнение монослоя в остальной их части и заполнение объема этих пор не связано с сильным увеличением энергии адсорбции. Отметим, что де Бур и Кюстерс [18], объясняя расхождение экспериментальных результатов и теоретических расчетов Лондона для энергии адсорбции газов на активных углях, допускали увеличение адсорбционного потенциала в тонких порах угля в 10 раз. Нами экспериментально было обнаружено увеличение адсорбционного потенциала всего лишь на 20—30%, хотя примененный уголь является довольно тонкопористым (он адсорбирует органические пары, даже метиловый спирт, а также азот, без капиллярно-конденсационного гистерезиса). Выполненный нами в работе [1] теоретический расчет зависимости энергии адсорбции гексана от расстояния от поверхности базисной грани графита показывает, что энергия адсорбции столь быстро убывает с расстоянием, что на расстоянии 10 Å действия графита практически становится незаметным. Поэтому повышение энергии адсорбции возможно лишь в самых тонких, заполняемых вначале частях пор этого угля, в широких же частях пор угля ($d \approx 40$ Å) существенного увеличения теплоты адсорбции действительно произойти не может.

При переходе к полимолекулярной адсорбции появляется резкое различие в кривых зависимости теплоты адсорбции от адсорбированного количества на саже и на угле. Теплота адсорбции второго слоя молекул гексана на саже близка к скрытой теплоте конденсации. На кривой же дифференциальных теплот адсорбции на угле появляется резкий максимум.

Подобные максимумы теплот адсорбции в области завершения сорбции были указаны в литературе и ранее, причем они были получены как непосредственными калориметрическими измерениями*, так и расчетами из изостер [23]. Однако большого значения этим максимумам в этих работах не придавалось, так как данные были не очень надежны. Брунауэр, обсуждая этот вопрос, предлагал следующее объяснение появлению таких максимумов: в случае строго послойного заполнения поверхности при адсорбции последнего слоя освобождается добавочно удвоенная поверхностьная энергия, так как при этом исчезают две поверхности [24]. Такое объяснение кажется, однако, очень искусственным, так как вряд ли в реальных системах имеет место строгое заполнение параллельных слоев.

Позднее Биб и его сотрудники [25, 26] в тщательно проведенных калориметрических работах были найдены максимумы в области завершения адсорбции аргона и метилового спирта на тонкопористом угле. Авторы отметили, что эти максимумы выходят за пределы возможных ошибок опыта, но не смогли дать им никакого объяснения.

В работе А. А. Иеприкяна и А. В. Киселева [27] в калориметре модели 1947 г. была исследована теплота адсорбции гелтана на силикагеле различной пористости, причем в области завершения капиллярной конденсации получены особенно резкие максимумы, которые в этой работе были специально подробно изучены. Эти максимумы всегда наблюдались именно в области завершения адсорбционного процесса уже после окончания адсорбционного гистерезиса, т. е. на конечном обратном, почти горизонтальном участке изотерм.

* Кривая с максимумом для системы активный уголь — эфир была рассчитана по калориметрическим данным работы [21] в работе [22].

Авторами работы [27] было дано следующее объяснение этому явлению. При окончании заполнения жидкостью внутренних полостей зерен адсорбента (начало обратимого участка изотермы после гистерезиса) относительное давление p/p_s еще не равно единице, поэтому сорбированная жидкость растянута — она находится под отрицательным гидростатическим давлением благодаря наличию вогнутых менисков в устьях пор, выходящих на поверхность зерен адсорбента. При переходе к давлению насыщения $p/p_s = 1$ эти мениски становятся плоскими, отрицательное гидростатическое давление снимается, что вызывает сжатие сорбированной жидкости и соответственно небольшую дополнительную сорбцию.

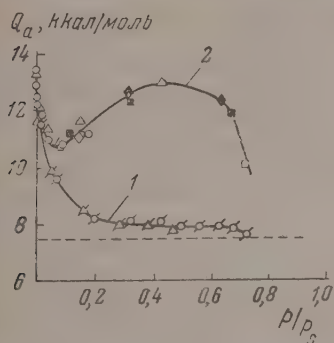


Рис. 13. Зависимость дифференциальной теплоты адсорбции паров гексана от равновесного относительного давления. 1 — на графитированной саже и 2 — на угле. Обозначения точек те же, что и на рис. 12

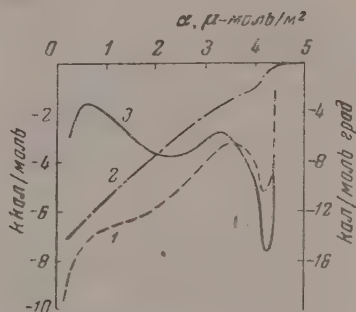


Рис. 14. Изменение термодинамических функций при адсорбции паров гексана на угле. Кривые: 1 — $\partial U/\partial \alpha = -(Q_a - L)$; 2 — $\partial F/\partial \alpha$ (масштаб слева); 3 — $\partial S/\partial \alpha$ (масштаб справа)

этому в этой области выделяется дополнительно теплота сжатия сорбированной жидкости, чем и объясняется резкий максимум теплоты адсорбции после гистерезиса. В самой области гистерезиса в случае однородно-пористых образцов кривизна менисков меняется мало, и состояние капиллярно-сконденсированного сорбата изменяется также мало.

Это объяснение вполне подходит и к нашему случаю сорбции паров гексана в однороднотонкопористом угле. Следует отметить, что в работах [3, 29] были получены непосредственные доказательства наличия отрицательных гидростатических давлений при сорбции паров активными адсорбентами (см. об этом также [10]).

Для проверки этого объяснения природы максимумов теплот сорбции в области завершения капиллярной конденсации мы сопоставили кривые зависимости теплот адсорбции паров гексана на угле и на непористой саже от относительного давления p/p_s (рис. 13). Из рис. 13 видно, что в случае пористой сажи, в отличие от угля, кривая $Q_a(p/p_s)$ монотонно падает с увеличением теплоты конденсации.

Таким образом максимум теплоты сорбции на угле в области завершения сорбционного процесса действительно связан с его пористостью*. Для изученной нами системы тонкопористый уголь — пары гексана мы рассчитали далее изменения термодинамических величин, характеризующих состояние вещества в адсорбционном слое [11]. Соответствующие кривые приведены на рис. 14. Кривая изменения свободной энергии

* В случае спрессованного образца сажи Р-33 аналогичный максимум теплоты сорбции должен лежать в области $p/p_s > 0,95$; калориметрических измерений в этой области мы не делали.

$\partial \Delta F / \partial a$ (2) монотонно возрастает. Характер зависимости изменения энтропии $\partial \Delta S / \partial a$ (кривая 3) в пределах заполнения «монослоя» тот же, что и на саже, однако абсолютная величина этих изменений в случае угля значительно больше, и энтропия нигде не достигает значения, соответствующего состоянию чистой жидкости, что находится в согласии со сделанным выше выводом о растяжении капиллярно-сконденсированной жидкости в порах угля. Сужение пор, повышая теплоту адсорбции, значительно уменьшает подвижность молекул в адсорбционном слое.

Авторы благодарят М. М. Дубинина за поддержку этой работы, М. В. Гурьева за помощь при испытаниях калориметра и А. П. Архинову за помощь при измерениях.

ВЫВОДЫ

1. В адсорбционном калориметре с постоянным теплообменом новой конструкции (модель 1953 г.) определены изотермы и теплоты адсорбции паров гексана на рыхлой и спрессованной термической саже (крупнопористом «угле») и на тонкопористом активированном угле.

2. В адсорбционной области абсолютные изотермы адсорбции и величины теплот адсорбции для неспрессованного и спрессованного образцов сажи совпадают. Различие наступает в области капиллярной конденсации, в ее обратимой и необратимой части. В случае спрессованного образца (однороднокрупнопористого «угля») в узкой области высоких относительных давлений имеется четкий воспроизводимый гистерезис, характерный для капиллярной конденсации в однороднокрупнопористых гелях.

3. В случае тонкопористого угля в начальной области заполнения отмечено увеличение теплоты адсорбции по сравнению с непористым образцом связанное с увеличением энергии дисперсионных взаимодействий молекул гексана с углем в наиболее тонких частях пор. В области высоких относительных давлений теплота адсорбции в случае тонкопористого угля проходит резкий максимум. Этот максимум связан со сжатием жидкости в порах угля при разгрузке отрицательного гидростатического давления, создаваемого вогнутыми менисками в устьях пор угля, выходящих на поверхность его зерен.

Академия наук СССР
Институт физической химии и Московский государственный
университет им. М. В. Ломоносова

Поступила
5.V.1956

ЛИТЕРАТУРА

1. Н. Н. Авгуль, Г. И. Березин, А. В. Киселев, И. А. Лыгина, Журн. физ. химии, 30, 2106, 1956.
2. А. В. Киселев, В. Ф. Киселев, Н. Н. Микос, Г. Г. Муттик, А. Д. Рунов и К. Д. Щербакова, Жур. физ. химии, 23, 577, 1949.
3. А. В. Киселев, В. Ф. Киселев, Н. Н. Микос, Г. Г. Муттик, А. Д. Рунов, К. Д. Щербакова, Сборник «Новые методы физико-химических исследований поверхностных явлений», Изд-во АН СССР, 1950, стр. 68.
4. В. П. Древинг, А. В. Киселев, Ю. А. Эльтеков, ДАН, 86, 349, 1952.
5. А. В. Киселев, Ю. А. Эльтеков, Жур. физ. химии, 31, 250, 1957.
6. В. П. Древинг, А. В. Киселев, О. А. Лихачева, Жур. физ. химии, 25, 710, 1951.
7. А. П. Карнаухов, А. В. Киселев, Е. В. Храпова, ДАН, 92, 361, 1953.
8. M. H. Polley, W. D. Schaeffer, W. R. Smith, Journ. Phys. Chem. 57, 469, 1953.
9. Д. Г. Каданер, В. М. Лукьянович, Л. В. Радущкевич, ДАН, 87, 1001, 1952.
10. А. В. Киселев, Н. В. Ковалева, Жур. физ. химии, 30, 2775, 1956.
11. R. C. Searman, F. A. Raai, Proc. Roy. Soc., A209, 59, 1951.
12. Н. Н. Авгуль, О. М. Джигит, А. В. Киселев, ДАН, 86, 95, 1952.

1. М. М. Дубинин, Е. Д. Заверина, В. В. Серпинский, Journ. Chem. Soc. 1760, 1955.
2. А. В. Киселев, Жур. физ. химии, 23, 452, 1949.
3. А. В. Киселев, Сборник «Применение хроматографии в химическом анализе», Изд-во АН СССР, 1955, стр. 46.
4. А. В. Киселев, ДАН, 98, 431, 1954.
5. А. В. Киселев, Усп. химии, 14, 367, 1945.
6. J. H. de Boer, J. F. Custers, Zs. phys. Chem., B25, 225, 1934.
7. М. М. Дубинин, Е. Д. Заверина, Acta phys.-chim. URSS, 4, 647, 1936; Жур. физ. химии, 23, 1129, 1949.
8. М. М. Дубинин, Сборник «Методы исследования структуры высокодисперсных и пористых тел», Изд-во АН СССР, 1953, стр. 72.
9. J. N. Pearce, L. P. McKinley, Journ. Phys. Chem., 32, 360, 1928.
10. H. R. Kruyt, J. G. Modderman, Chem. Rev., 7, 259, 1930.
11. F. Goldmann, M. Polanyi, Zs. phys. Chem., 132, 321, 1928.
12. С. Брунауэр, Адсорбция газов и паров, ИИЛ, Москва, 1948.
13. R. A. Beebe, B. Millard, J. Synarski, Journ. Amer. Chem. Soc., 75, 839, 1953.
14. B. Millard, R. A. Beebe, J. Synarski, Journ. Phys. Chem., 58, 468, 1954.
15. А. А. Исыркиян, А. В. Киселев, ДАН, 110, 1009, 1956.
16. R. S. Haines, R. McIntosh, Journ. Chem. Phys., 15, 28, 1947.
17. E. O. Wigg, A. J. Juhola, Journ. Amer. Chem. Soc., 71, 561, 1949.

THE EFFECT OF THE POROSITY OF GRAPHITE ADSORBENTS ON THE ADSORPTION AND HEAT OF ADSORPTION OF HEXANE VAPORS

*N. N. Argul, G. I. Berezin, A. V. Kiselev, I. A. Lygina
and G. G. Muttik*

(Moscow)

Summary

In a constant heat exchange adsorption calorimeter of new design (1953 model) the thermes and heats of adsorption of hexane vapor were determined on loose and compressed thermal carbon black (large pore «charcoal») and on finely porous activated charcoal.

In the adsorption region both the isotherms and the heats of adsorption of the pressed and unpressed carbon black specimens coincide. The difference appears in the region of capillary condensation, in the reversible and irreversible sections. In case of the pressed specimens («charcoal» of uniformly large pores) there is a clearly defined reproducible hysteresis in a narrow interval of high relative pressures, characteristic of capillary condensation in gels with uniformly large pores. In case of the finely porous charcoal an increase in the heats of adsorption in comparison with the non-porous specimens has been observed, associated with increase in dispersion energy between the hexane molecules and the carbon in the narrowest parts of the pores. In the range of high relative pressures the heats of adsorption of finely porous charcoal pass through a sharp maximum. The latter is connected with compression of the liquid in the pores of the adsorbent on elimination of the negative hydrostatic pressure exerted by the convex meniscuses in the mouths of the capillary pores at the surface of the charcoal granules.

ИССЛЕДОВАНИЕ ПОРИСТОЙ СТРУКТУРЫ ТВЕРДЫХ ТЕЛ СОРБИЦИОННЫМИ МЕТОДАМИ

IV. О ВЗАИМОСВЯЗИ РАЗЛИЧНЫХ РАЗНОВИДНОСТЕЙ ПОР В АКТИВНОМ УГЛЕ

М. М. Дубинин, Г. С. Жук и Е. Д. Заверина

Исследование пористой структуры активных углей комплексными методами позволило установить полимодальный характер распределения объема пор углей по их эффективным размерам. В таком случае пористая система угля, оставаясь полидисперсной, содержит группы или разновидности пор с определенными интервалами размеров для каждой разновидности [1].

В общем случае активные угли имеют три разновидности пор: микро-, переходные и макропоры, т. е. представляют собой тридисперсные системы. К наиболее мелкой разновидности пор относятся микропоры, размеры которых по порядку величин сравнимы с размерами адсорбируемых молекул. Микропорам принадлежит основная часть удельной поверхности активных углей, и поэтому они играют определяющую роль в адсорбционном процессе. При адсорбции паров органических веществ микропоры объемно заполняются в результате смыкания адсорбционных слоев на противоположных стенках пор. Удельная поверхность микропор активных углей обычно заключается в пределах $400-900 \text{ м}^2/\text{г}$.

В более крупной разновидности пор активных углей — переходных порах — происходит капиллярная конденсация паров органических веществ в пространстве между адсорбционными слоями на стенках пор. Удельная поверхность переходных пор для обычных образцов углей заключается в пределах $20-50 \text{ м}^2/\text{г}$. Для активных углей с развитой переходной пористостью она может достигать $150 \text{ м}^2/\text{г}$ [2].

К наиболее крупной разновидности пор активных углей относятся макропоры, в которых в реальных условиях проведения опытов не происходит капиллярной конденсации паров. Таким образом макропоры не заполняются объемно в процессе сорбции паров и представляют собой транспортные артерии, делающие легко доступными для адсорбируемых молекул внутренние части зерен угля. В адсорбционном процессе роль транспортных путей играют также и переходные поры. Удельная поверхность макропор невелика и обычно заключается в пределах $1-2 \text{ м}^2/\text{г}$.

В наших исследованиях развивалась идея о разветвленной пористой структуре активных углей, согласно которой в основном переходные поры являются ответвлениями из системы макропор и, в свою очередь, микропоры представляют собой ответвления от переходных пор. Это представление было основано, главным образом, на общих соображениях и применении электронно-микроскопического метода позволило получить некоторые сведения о связи макро- и переходных пор активного угля [3]. Другим экспериментальным обоснованием идеи мы не располагали.

Более полные сведения о взаимосвязи различных разновидностей пор активного угля могут быть получены путем прогрессирующего осаждения на поверхности зерен угля и в объеме его пор непористого кристаллического углерода и изучение адсорбционных свойств и структуры полученных образцов с применением как сорбционных методов, так и метода вдавли-

твования ругити. Углерод с такими свойствами может быть получен термическим разложением газообразных углеводородов.

Еще Гофманы показали, что в зависимости от условий проведения процесса образуется так называемый «блестящий углерод» при осаждении углерода на гладкой нагретой поверхности глазурированного графита или высокодисперсный углерод при его выделении в объеме, облучаемом излучением [4]. Несмотря на различие во внешнем виде, обе разновидности углерода имеют идентичную кристаллическую структуру и представляют собой непористое вещество.

В работах П. А. Теснера, И. С. Рафалькеса и М. М. Поляковой изучены осаждение углерода на поверхности непористых и пористых сажевых частиц при термическом разложении различных углеводородов [8]. Покрытие приблизительно монослойным слоем углерода частицы с относительно гладкой поверхностью не вызывает заметного изменения удельной поверхности сажи, и изотермы адсорбции паров бензола исходной и обработанной сажи практически совпадают. С другой стороны, окисление канальной сажи кислородом воздуха при повышенной температуре приводит к корродированию поверхности частиц с образованием пор. Удельная поверхность сажи возросла в 3,4 раза. При прогрессирующем осаждении углерода вначале наблюдается уменьшение удельной поверхности вплоть до величины, соответствующей исходной неокисленной саже. Дальнейшее осаждение углерода в интервале привесов от 28,3 до 32,7% уже не сопровождается изменением удельной поверхности, и изотермы адсорбции паров бензола на этих образцах сажи совпадают [8].

Таким образом опыты П. А. Теснера и его сотрудников показывают, что при термическом разложении углеводородов при температурах около 950°C происходит образование углерода только на поверхности сажевых частиц без какой-либо предварительной стадии реакции в газовой среде. Углерод осаждается на поверхности частиц в виде плотных непористых слоев с преимущественным заполнением пор и микрогетерогенностей поверхности, ведущим к ее сглаживанию.

Окисление непористой сажи кислородом воздуха при температурах, превышающих 350°C, сопровождается обгаром и по существу представляет собой процесс активирования углеродного адсорбента, приводящий к развитию пористой структуры. Активирование непористой канальной сажи углекислым газом при 950°C изучено М. М. Дубининым и Д. П. Гиммелевым [9]. Детальный анализ изотерм адсорбции паров бензола для ряда образцов прогрессирующего активирования позволил с несомненностью установить образование в результате активирования микропористой структуры сажевых частиц. Переходная пористость образцов оставалась слабо выраженной, и при умеренных обгарах образование микропор было маловероятным. По-видимому, такая же пористая структура характерна и для случая активирования сажи кислородом воздуха. Известно, что при малых обгарах реакция распространяется практически на поверхностные слои сажевых частиц. Опыты П. А. Теснера по осаждению углерода на поверхности пористой сажи свидетельствуют о заполнении или блокировке углеродом образовавшихся в поверхностных слоях частиц сажи при ее окислении микро- и переходных пор. Процесс осаждения углерода, в конце концов, приводит к достаточно совершенному сглаживанию поверхности, приобретающей величину, свойственную гладкой поверхности исходных неокисленных сажевых частиц.

Таким образом осаждение углерода в результате термического разложения углеводородов на зернах активного угля должно прежде всего привести к заполнению или блокировке микро- и переходных пор, открывающихся на внешнюю поверхность зерен угля. Является вероятным распространение процесса в той или иной мере и на внутреннюю поверхность микропор, в результате которого можно ожидать блокировки большей

или меньшей части разветвляющейся от поверхности макропор более мелких микро- и переходных пор. Изучение адсорбционных свойств и пористой структуры образцов активных углей, содержащих все возрастающие количества осажденного углерода, может дать новые сведения о характере пористой структуры активного угля. На основе этих соображений и было предпринято настоящее исследование.

ЭКСПЕРИМЕНТАЛЬНАЯ ЧАСТЬ

В качестве исходного активного угля для исследования применялся антрацитовый гранулированный уголь пароводяной активации типа АГ-2, полученный в лабораторных условиях. Гранулы угля имели цилиндрическую форму и характеризовались следующими средними размерами: диаметр 1,52 мм и длина 3,65 мм. Определенный по ртутному методу кажущийся удельный вес угля δ был равен $0,96 \text{ г/см}^3$, а гравиметрический удельный вес угля Δ составлял $0,593 \text{ г/см}^3$. Суммарный объем пор угля V_{Σ} был равен $0,59 \text{ см}^3/\text{г}$. Один грамм угля содержал около 160 гранул со средней внешней поверхностью каждой гранулы в $0,21 \text{ см}^2$. Внешняя поверхность всех гранул, заключающихся в 1 г угля, была равна приблизительно $33 \text{ см}^2/\text{г}$.

Осаждение углерода на поверхности гранул и стенках пор угля производилось путем термического разложения паров бензола при 900°С . Процесс осуществлялся в реакционной трубке из прозрачного кварца в форме цилиндрической реторты с диаметром 35 мм и длиной 220 мм с 8-мм отводными трубками. Реторта помещалась в трубчатую электрическую печь с асбестовыми экранами на концах, и отводные трубки закреплялись в париковых подпипниках. При помощи шкива, надетого на одну из отводных трубок, соединенного ремешком с шкивом редуктора электромотора, реторта приводилась во вращение для перемешивания угля. Концы отводных трубок реторты соединялись при помощи ртутных затворов с остальными частями аппаратуры, служившими для приготовления газовой смеси и отвода продуктов реакции.

В реторту помещалась точная навеска (около 15 г) тщательно высушенного угля. С момента включения печи через реторту пропусклся ток очищенного азота для вытеснения воздуха и создания инертной атмосферы в реакционном пространстве. По достижении температуры в 900°С через реторту пропусклась смесь паров бензола и азота. Газовая смесь готовилась в испарителе-смесителе с электрическим обогревом. Азот из баллона очищался от кислорода при последовательном прохождении через щелочной раствор пирогаллола, осушитель и трубку с медными стружками при 700°С . После окончания опыта реторта продувалась чистым азотом, вынималась из печи, и уголь охлаждался в токе азота. Угольная ловушка в конце системы позволяла путем взвешивания определить количество бензола, не использованного в реакции.

Таблица 1

Условия получения образцов углей

Обозначение угля	Навеска угля, г	Расход бензола, мг	Время подачи бензола, мин.	Осаждено углерода, %	Потери бензола, %
A-1	11,2	120	20	0,98	9,3
A-2	14,8	320	40	2,08	3,6
A-3	14,7	320	40	2,10	4,6
A-4	17,7	1040	52	3,90	18,0
A-5	17,9	1040	52	4,20	13,5
A-6	20,5	1200	60	4,35	14,0
A-7	14,5	1000	50	6,50	7,4
A-8	16,7	1200	60	6,70	6,7
A-9	14,0	2100	100	14,0	6,7
A-10	16,3	4000	100	19,1	11,0
A-11	10,2	2120	68	19,3	13,5

В серии предварительных опытов навески угля варьировались от 10 до 20 г, скорость подачи азота от 100 до $400 \text{ см}^3/\text{мин}$, количество бензола, поступающего в реакционную трубку от 100 до 4000 мг, время подачи смеси азота и бензола от 40 до 280 мин. и скорость вращения реторты от 4 до 20 об/мин. Изучение сорбционных свойств углей с осажденным углеродом позволило выбрать оптимальные условия получения воспроизводимых и однородных образцов углей. Они соответствовали скорости подачи азота $400 \text{ см}^3/\text{мин}$ и скорости вращения реторты в 20 об/мин. Количество осажденного углерода определялось навеской угля (10—20 г), концентрацией бензола в токе азота (15—100 мг/л) и временем подачи бензола в реакционную трубку (20—100 мин).

Скорость тока азота при предварительном продувании реторты до достижения заданной температуры печи в 900°C составляла $100\text{ см}^3/\text{мин}$. По завершении реакции реторта продувалась азотом со скоростью $400\text{ см}^3/\text{мин}$ на протяжении 30 мин. при 900° . При этих условиях количество непрореагировавшего бензола редко превышало 1%.

В табл. 1 приводятся основные данные об условиях получения образцов углей. Количество осажденного углерода определялось по привесу. Все образцы углей имеют серый цвет в отличие от исходного угля с аналами черного цвета.

Для изучения адсорбционных свойств и элементов пористой структуры полученных образцов углей мы воспользовались вакуумным методом сорбционных весов [10]. В качестве адсорбируемого вещества применялись пары бензола. Предварительное эвакуирование углей трехступенчатым ртутным насосом производилось

в течение 1 час. при 450°C . Изотермы сорбции измерялись при 20° в интервале относительных давлений от 10^{-5} до 1.

1. Общий характер изотерм сорбции паров бензола для типичных образцов углей изображен в полулогарифмической шкале на рис. 1.

По оси ординат отложены величины сорбции в $\text{ммоль}/\text{г}$, а по оси абсцисс увеличенные в 100 раз равновесные давления в мм рт. ст. Исходный необработанный уголь мы будем обозначать углем А.

По опытным данным осаждение на угле А небольшого количества углерода приводит к изменению величин сорбции главным образом в

области средних и высоких равновесных давлений (образец А-3, содержащий 2% углерода). При большем содержании углерода происходит уменьшение величин сорбции во всем интервале давлений (уголь А-7 с 6,5% осажденного углерода). Образец угля А-9 с 14% углерода показывает ничтожно малые величины сорбции, за исключением области высоких давлений. Уголь А-10 с максимальным содержанием углерода в 19,1% сорбирует в заметных количествах пары бензола только при равновесных давлениях, близких к состоянию насыщения.

Наблюдаемое в результате осаждения углерода общее понижение сорбционной способности углей может быть обязано либо заполнению микропор углем, либо блокировке входов в них осажденным углеродом. Для выяснения характера заполнения пор образцы углей А-6 (4,35% осажденного углерода) и А-9 (14,0%) подвергались измельчению — грубому дроблению гранул на 3—4 части и предельно возможному диспергированию в агатовой ступке. Для измельченных образцов углей измерялись изотермы сорбции паров бензола. В качестве примера на рис. 2 приводятся изотермы сорбции как для исходного угля А, так и для образцов угля А-6 с различной степенью измельчения.

Результаты исследования указывают на возрастание сорбционной способности для угля А-6 по мере его диспергирования — относительно большее для грубого дробления угля и более значительное для возможного истирания. В случае угля А-9 с содержанием осажденного углерода в 14%, измельчение в агатовой ступке приводит к еще более резкому

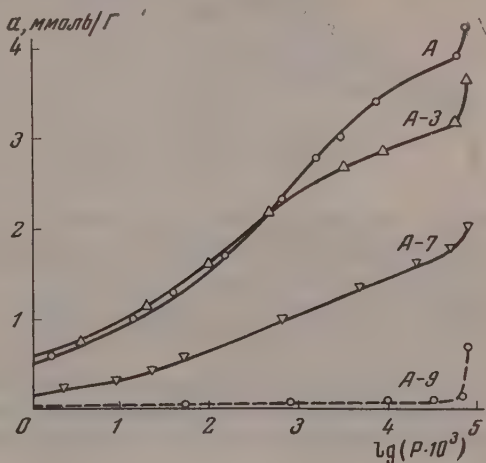


Рис. 1. Изотермы сорбции паров бензола при 20° в полулогарифмической шкале

относительному возрастанию сорбции. Эти опыты свидетельствуют о том, что часть выключенных из сорбции пор в результате осаждения углерода вновь становится доступной для адсорбируемых молекул при разделении

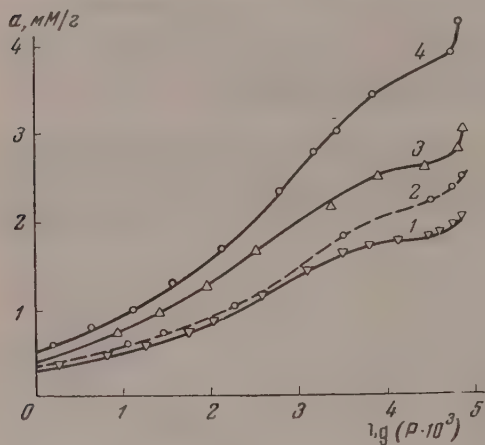


Рис. 2. Изотермы сорбции паров бензола при 20° в полулогарифмическом масштабе: 1 — исходный уголь А-6 (2,3 мм); 2 — дробленый уголь А-6 (0,75 мм); 3 — измельченный до пылевидного состояния уголь А-6; 4 — исходный активный уголь А, не содержащий осажденного углерода (2,3 мм)

К изученным образцам углей применимо в широком интервале равновесных относительных давлений p/p_s уравнение изотермы адсорбции для активных углей первого структурного типа [11]:

$$a = \frac{W_0}{v} e^{-B \frac{T^2}{\beta^2} \left(\lg \frac{p_s}{p} \right)^2}, \quad (1)$$

где W_0 — предельный объем адсорбционного пространства, v — объем моля адсорбируемого вещества в жидком состоянии, T — абсолютная температура и β — коэффициент аффинности, равный единице для стандартного пара (бензола). В табл. 3 в качестве примера приведены константы уравнения изотермы W_0 и B для ряда изученных образцов углей и указаны интервалы относительных давлений, в которых уравнение удовлетворяет опытным данным (см. табл. 3 на стр. 1131).

По данным таблицы, осаждение углерода на угле А вызывает существенное уменьшение предельных объемов адсорбционного пространства W_0 , если содержание введенного в уголь углерода не слишком мало. Параллельно наблюдается повышение константы B уравнения изотермы, свидетельствующее о возрастании среднего размера участвующих в адсорбции микропор в результате выключения части более мелких пор. Исходный уголь А по существу относится к смешанному структурному типу, так как верхняя граница применимости уравнения изотермы (1) смещена в сторону меньших относительных давлений [11]. Осаждение даже небольших количеств углерода (уголь А-3), по-видимому, связано с уменьшением размеров крупной части микропор, для которых первоначально эффект повышения адсорбционных потенциалов не был выражен. Это сказывается на незначительном возрастании величин адсорбции в адсорбционной области изотермы, но приводит к значительному смещению верхней границы применимости для угля А-3 изотермы (1) в сторону более высоких относительных давлений. Следует отметить, что все образцы углей

гранул угля путем дробления на меньшие частицы.

В табл. 2 приводятся вычисленные по изотермам сорбции паров бензола объемы микро- и переходных пор исследованных образцов углей [1]. Зернение исходного угля А выражено диаметром шара с объемом, равным среднему объему гранулы угля.

По данным таблицы осаждение углерода приводит к существенному уменьшению объемов микро- и отчасти переходных пор угля. Снижение величин предельных сорбционных объемов объяснено главным образом выключением части микропор и сорбционного процесса. В результате измельчения угля некоторая их доля вновь становится доступной для адсорбируемых молекул.

осажденным углеродом, не подвергнутые измельчению, относятся к первому структурному типу (угли А-3, А-6, А-7 и 13 в табл. 3).

Таблица 2

Объемы микро- и переходных пор и предельные сорбционные объемы для образцов углей

Обозначение угля	Содержание осажденного углерода, %	Зернистость, мм	$v_{\text{ми}}, \frac{\text{см}^3}{\text{г}}$	$v_{\text{п}}, \frac{\text{см}^3}{\text{г}}$	$v_s, \frac{\text{см}^3}{\text{г}}$
А	0	2,3	0,313	0,063	0,376
А-3	2,1	2,3	0,261	0,064	0,325
А-6	4,35	2,3	0,157	0,021	0,178
А-6	4,35	0,75	0,182	0,039	0,221
А-6	4,35	пыль	0,227	0,056	0,283
А-7	6,5	2,3	0,116	0,049	0,165
А-8	6,7	2,3	0,137	0,048	0,185
13*	12,2	2,3	0,087	0,044	0,131
А-9	14,0	2,3	0,007	0,054	0,061
А-9	14,0	пыль	0,074	0,065	0,139
А-10	19,1	0,75	0,085	0,107	0,115

* Из образцов предварительной серии опытов.

Для обработанных образцов углей (образцы А-3, А-6 и А-7) предельные объемы адсорбционного пространства W_0 (табл. 3) практически совпадают с объемами микропор углей $v_{\text{ми}}$ (табл. 2), так как адсорбция происходит в ограниченном стенками пор адсорбционном пространстве. Для переходного угля А предельный объем адсорбционного пространства несколько менее объема микропор.

Таблица 3

Константы уравнения изотермы адсорбции. Бензол, 20° С

Обозначение угля	Содержание осажденного углерода, %	Зернистость, мм	$W_0, \frac{\text{см}^3}{\text{г}}$	$B \cdot 10^4$	Интервал применимости p/p_s
А	0	2,3	0,268	0,863	$1 \cdot 10^{-5} - 6 \cdot 10^{-3}$
А-3	2,1	2,3	0,268	0,863	$1 \cdot 10^{-5} - 0,3$
А-6	4,35	2,3	0,162	0,954	$< 1 \cdot 10^{-4} - 0,5$
А-6	4,35	0,75	0,158	0,871	$< 1 \cdot 10^{-4} - 6 \cdot 10^{-3}$
А-6	4,35	Пыль	0,220	0,887	$< 1 \cdot 10^{-4} - 6 \cdot 10^{-3}$
А-7	6,5	2,3	0,123	1,16	$1 \cdot 10^{-4} - 0,3$
13	12,2	2,3	0,009	1,42	$1 \cdot 10^{-5} - 0,3$

Измельчение образцов углей с осажденным углеродом приводит к возрастанию предельных объемов адсорбционного пространства и к заметному уменьшению константы B уравнения изотермы (образец А-6, табл. 3) в результате участия в адсорбции выключенных блокировкой пор.

Возможность осаждения углерода на поверхности микропор угля можно оценить путем измерения изотерм адсорбции паров воды на исходном угле А и на одном из образцов угля, содержащем достаточное количество углерода в результате термического разложения бензола. Для адсорбции паров воды на углеродных адсорбентах определяющее значение имеют химически адсорбированные на поверхности атомы кислорода, играющие роль первичных адсорбционных центров [12]. Уменьшение

их числа путем термической обработки угля при 1000°C в вакууме [13] или покрытия моноатомным слоем углерода, как это показано М. М. Поляковой и П. А. Теснером на примере адсорбции паров метилового спирта [7], должно сказаться на существенном изменении поглощения паров воды в адсорбционной области изотермы.

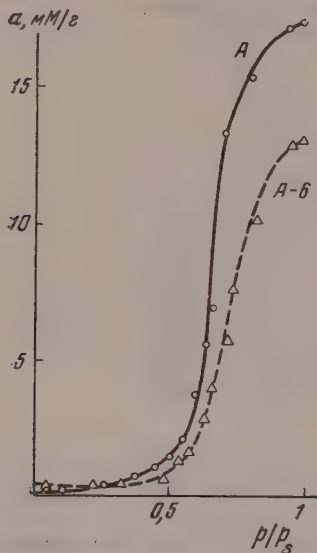


Рис. 3. Изотермы сорбции паров воды при 20° для исходного угля А и угля А-6, содержащего 4,35% осажденного углерода

На рис. 3 приведены изотермы сорбции паров воды на исходном активном угле А и угле А-6, содержащем 4,35% осажденного углерода и характеризующемся достаточно существенным снижением адсорбционной способности по парам бензола. В основной области подъема, начиная с относительного давления 0,5, кривые практически аффинны, и величины адсорбции паров воды углем А-6 приблизительно на 44% ниже, чем для исходного угля А. Это уменьшение почти совпадает с наблюдаемым для паров бензола. Следовательно, в результате термического разложения паров бензола углерод не осаждается в заметных количествах на основной части поверхности микропор, имеющей определяющее значение для адсорбции. В области малых давлений изотерма для угля А-6 расположена несколько выше изотермы для угля А. Возможно, что этот эффект обязан взаимодействию при 900°C поверхности угля с водородом — продуктом термического разложения бензола. Аналогичные результаты получены нами при измерениях адсорбции паров воды на активных углях, прокаленных в атмосфере водорода при 1000°C [13].

На основании сорбционных измерений нельзя сделать выводов об изменении структуры макропор активного угля в результате осаждения углерода. Для этой цели был применен метод вдавливания ртути, причем исследовались наиболее характерные образцы углей. Опыты проводились на ртутном поромере ПА-3, сконструированном Т. Г. Плаченовым [14].

Эффективные радиусы пор вычислялись по исправленному гидростатическому давлению P (кг/см^2) по формуле

$$r = \frac{74700}{P} \text{ \AA}. \quad (2)$$

По непосредственным опытным данным строились интегральные кривые распределения объема пор V по эффективным радиусам r :

$$V = f(\lg r), \quad (4)$$

и по результатам их графического дифференцирования строились дифференциальные кривые распределения:

$$\frac{\Delta V}{\Delta \lg r} = \varphi(\lg r). \quad (5)$$

В уравнении (4) V выражает объем вдавленной в 1 г угля ртути в $\text{см}^3/\text{г}$, за полностью поры с минимальным радиусом r , \AA .

На рис. 4 приведены дифференциальные кривые распределения объем пор по эффективным радиусам для типичных образцов углей, включая

дих исходный активный уголь А. Они характеризуются резко выраженным основным и дополнительным максимумами в области макропор и расеянной переходной пористостью, заполняемой ртутью в принятых условиях опыта, т. е. при давлении P до 250 кг/см^2 . Непосредственные опытные данные в форме интегральных кривых указывают на уменьшение объема оступных для измерения пор угля по мере осаждения углерода. Таким

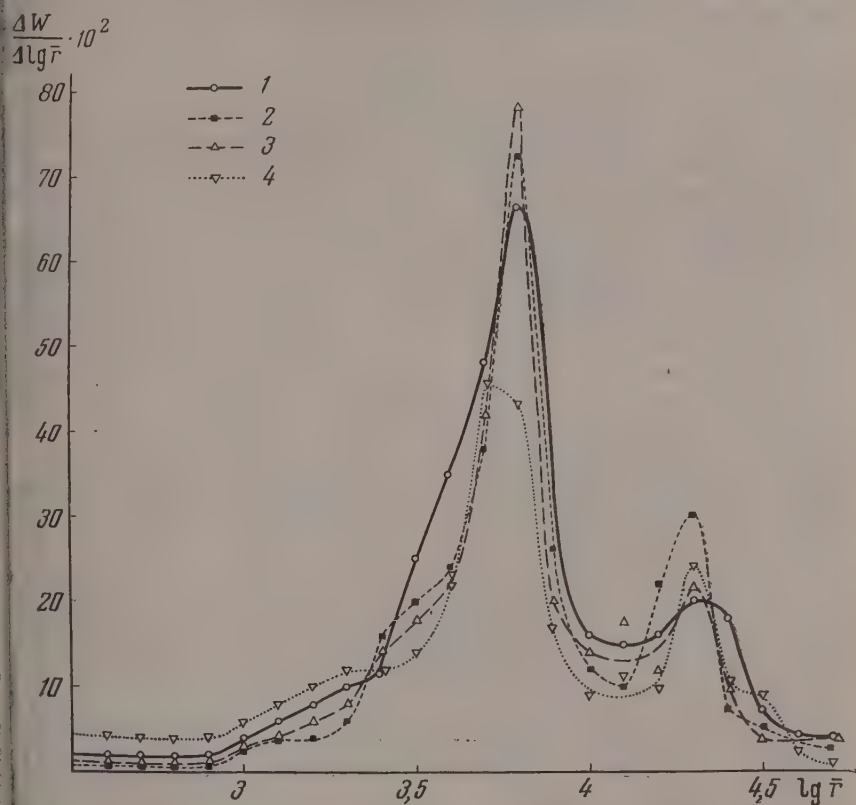


рис. 4. Дифференциальные кривые распределения объема пор угля по эффективным радиусам, полученные по методу вдавливания ртути: 1 — уголь А; 2 — уголь А-3 2 % углерода; 3 — уголь А-7, 6,5% углерода; 4 — уголь А-10 19,0% углерода

образом углерод отлагается не только на внешней поверхности гранул, чем можно судить по их серо-стальному цвету, но и в пористой системе. Дифференциальные кривые рис. 4 свидетельствуют о том, что даже у образца угля А-10 с максимальным содержанием углерода в 19,1% происходит зарастания входов в макропоры на поверхности гранул. Прогрессирующее осаждение углерода на стенках макропор приводит к уменьшению их размеров и, по-видимому, к блокировке входов в часть более мелких из них. Следствием является сжатие клинообразной кривой распределения в области основного максимума с некоторым увеличением максимального значения дифференциального объема макропор. Однако при достаточно большом отложении углерода в порах, как, например, для угля А-10, происходит уменьшение объемов макропор всех размеров.

Возрастание дифференциальных объемов пор в области дополнительного максимума кривой распределения, по-видимому, является резуль-

татом уменьшения размеров наиболее крупных макропор ($r > 58400 \text{ \AA}$), которые в исходном угле А заполняются до начала поромерных измерений при наполнении эвакуированного dilatометра с углем ртутью при давлении ртутного столба в $1,28 \text{ кг/см}^2$ в наших опытах.

ОБСУЖДЕНИЕ РЕЗУЛЬТАТОВ

Изложенные экспериментальные данные позволяют сделать вывод о том, что осаждение углерода при термическом разложении паров бензола происходит как на внешней поверхности гранул, изменяющих свой цвет из черного в серый, так и на поверхности макро- и отчасти переходных пор угля. По опытам М. М. Поляковой и П. А. Теснера осаждение $0,23 \text{ г}$ углерода на пористой окисленной саже с внешней удельной поверхностью частиц в $89,6 \text{ м}^2/\text{г}$ или $3,1 \cdot 10^{-3} \text{ г/м}^2$ углерода приводит к полному сглаживанию поверхности, при котором заполняются или совершенно закрываются отверстия пор с размерами порядка микро- и переходных пор угля [8].

В наших опытах осаждение на 1 г угля А $0,021 \text{ г}$ углерода (образец А-3) практически еще не сопровождается изменением адсорбционных свойств угля в адсорбционной области изотермы (рис. 1, табл. 3). В этом случае плотность осаждения углерода из расчета на внешнюю поверхность гранул $s = 3,2 \cdot 10^{-3} \text{ м}^2/\text{г}$ составляет $6,5 \text{ м}^2/\text{г}$, т. е. почти в 2000 раз превышает необходимое количество углерода для полного сглаживания внешней поверхности гранул с закрытием выходов микро- и переходных пор. Этого количества углерода также было бы достаточно для полного сглаживания внутренней поверхности макропор исходного угля А, не превышающей существенно $1 \text{ м}^2/\text{г}$, если бы осаждение углерода происходило бы равномерно по всей поверхности макропор. Таким образом перенос адсорбируемого вещества в гранулы изученных образцов углей происходит по системе макропор.

При изложении результатов опытов было отмечено значительное повышение адсорбционных свойств образцов углей с осажденным углеродом при их измельчении. Это свидетельствует о том, что заблокированные углеродом части пористой системы угля вновь становятся в известной степени доступными для сорбции паров бензола. Следовательно, микропоры углей не заполняются объемно в результате осаждения углерода, а только доступ в них адсорбируемых молекул делается невозможным. Предположение о блокировке собственно входов в микропоры вряд ли находится в соответствии с опытными данными, так как в таком случае образовавшиеся при дроблении свежие поверхности излома гранул вскрыли бы весьма малый объем микропор и именно тех, которые были разрезаны этими поверхностями. По-видимому, блокируются углеродом переходные поры и наиболее мелкие макропоры с принадлежащими им разветвлениями пористой структуры угля. При таком допущении более велика вероятность вскрытия при измельчении угля системы пор со значительной удельной поверхностью. Этот вывод находится в соответствии с изменением верхней границы интервала применимости уравнения изотермы адсорбции (1) для дробленных образцов по сравнению с исходными (табл. 3).

Проведенное исследование, имеющее по существу разведывательный характер, подтверждает на примере изученного активного угля идею о разветвленной системе пор, согласно которой в основном переходные поры являются ответвлениями от макропор, а микропоры, в свою очередь представляют ответвления из системы переходных пор. Так как удельная поверхность переходных пор ($20\text{--}50 \text{ м}^2/\text{г}$ и до $150 \text{ м}^2/\text{г}$ для углей с развитой переходной пористостью) много больше удельной поверхности макропор ($1\text{--}2 \text{ м}^2/\text{г}$) и внешней поверхности гранул (тысячные доли $\text{м}^2/\text{г}$) то можно пренебречь числом микропор, имеющих непосредственный выход в макропоры или на внешнюю поверхность гранул, по сравнению с общим числом микропор в активном угле.

Полученные результаты позволяют выразить уверенность в том, что агрессивное осаждение непористого углерода на внешней поверхности зерен и в порах активных углей с последующим изучением адсорбционных свойств и структуры полученных образцов может явиться важным методом исследования характера пористой структуры активных углей, дающим ответ на взаимосвязь различных разновидностей пор.

Авторы приносят благодарность Н. И. Серегиной за измерение изотерм сорбции паров воды.

ВЫВОДЫ

1. Изучены адсорбционные свойства и элементы пористой структуры образцов углей, полученных путем осаждения непористого углерода в результате термического разложения паров бензола на внешней поверхности зерен и в объеме пор активного угля.

2. Получено экспериментальное подтверждение представления о разветвленной пористой структуре активного угля, согласно которому в основном переходные поры являются ответвлениями из системы макропор, а в свою очередь, микропоры представляют собой ответвления из передних пор.

Институт физической химии
Академии наук СССР

Поступила
24.IV.1956

ЛИТЕРАТУРА

- М. М. Дубинин, Усп. химии, 24, 3, 1955.
М. М. Дубинин и Е. Д. Заверина, ДАН, 84, 93, 1952.
В. М. Лукьянович и Л. В. Радужкевич, ДАН, 91, 585, 1953.
K. Hofman u. U. Hofman, Ber., 59, 2434, 1926; 61, 1183, 2193, 1928.
П. А. Теснер и И. С. Рафалькес, ДАН, 87, 821, 1952.
П. А. Теснер и И. С. Рафалькес, Тр. Всесоюз. н.-и. ин-та природных газов, стр. 3, 1953.
М. М. Полякова и П. А. Теснер, ДАН, 93, 855, 1953.
М. М. Полякова и П. А. Теснер, ДАН, 93, 1061, 1953.
М. М. Дубинин и Д. П. Тимофеев, ДАН, 74, 555, 1951.
M. Dubinin u. E. Sawerina, Acta phys.-chim. URSS, 4, 647, 1936.
М. М. Дубинин и Е. Д. Заверина, Журн. физ. химии, 23, 1129, 1949.
М. М. Дубинин, Усп. химии, 24, 513, 1955.
М. М. Дубинин и Е. Д. Заверина, Изв. АН СССР, ОХН, № 9, 1038, 1956.
Т. Г. Плаченок, Журн. прикл. химии, 28, 245, 1955.

STUDIES ON THE POROUS STRUCTURE OF SOLIDS BY ADSORPTION METHODS

IV. ON THE RELATION BETWEEN VARIOUS TYPES OF PORES IN ACTIVE CARBON

M. M. Dubinin, G. S. Zhuk and E. D. Zaverina

(Moscow)

Summary

A study of the adsorption properties and of the elements of the porous structure of carbon specimens obtained by depositing 'non-porous' carbon on the surfaces and in the pores of active carbon served to establish a correlation between the various types of the

ИСПОЛЬЗОВАНИЕ ТЕОРИИ ПОДОБИЯ ДЛЯ ОПИСАНИЯ СВОЙСТВ ЖИДКОСТЕЙ

II. ЭКСТРАПОЛЯЦИЯ ТЕМПЕРАТУРНОЙ ЗАВИСИМОСТИ ДАВЛЕНИЯ НАСЫЩЕННЫХ ПАРОВ И ОРТОБАРИЧЕСКОЙ ПЛОТНОСТИ

Л. П. Филиппов

Ранее [1] мы изложили некоторые общие методы применения теории подобия к описанию свойств вещества. Здесь используются эти методы применительно к конкретным вопросам — давлению насыщенных паров жидкости и ортобарической плотности.

Давление насыщенных паров является свойством, обнаруживающим максимальные отклонения от закона соответственных состояний

$$\frac{p}{p_{кр}} = f\left(\frac{T}{T_{кр}}\right). \quad (1)$$

Эти отклонения могут достигать десятков, а в некоторых случаях и сотен раз [2]. В то же время оказывается [2,3], что зависимость типа (1), за очень малочисленными исключениями и в достаточно хорошем приближении, представляет собой однопараметрическое семейство функций так, что введение одного определяющего критерия A является достаточным для универсального безразмерного описания зависимости (1) в виде

$$\frac{p}{p_{кр}} = F\left(\frac{T}{T_{кр}}, A\right). \quad (2)$$

Здесь F в отличие от f является одной и той же функцией для самых разнообразных веществ. Вопрос о способах определения параметра из зависимости (2) обсуждался в [2].

Функция F была представлена нами в форме таблицы в работе [4]. Практическое ее использование позволяет находить давление насыщенных паров во всем температурном интервале по данным $T_{кр}$, $p_{кр}$ и температуре кипения.

Использование (2) в совокупности с соотношением:

$$K = K\left(\frac{T}{T_{кр}}, A\right), \quad (3)$$

где

$$K = \frac{T\rho}{Mp}, \quad (4)$$

позволило в той же работе получить два других способа расчета давлений, именно: 1) на основе $T_{кр}$ и значений давления и плотности при одной температуре, 2) по данным давления и плотности при двух значениях температур (практически можно было брать температуры ниже точки кипения). Последний способ позволяет предвычислять и критические величины.

В настоящей статье мы изложим иной, практически более удобный способ расчета, основанный на использовании соотношения:

$$\frac{p}{p_0} = F\left(\frac{p_1}{p_0}, \frac{T}{T_0}, \frac{T_1}{T_0}\right). \quad (5)$$

Оно оказывается справедливым с хорошим приближением в достаточно широкой области изменения определяющего критерия A . Нахождение

ного вида функции F позволяет определять значения давления во всей области температур, основываясь на знании только двух величин p_0 , p_1 — давлений при температурах T_0 и T_1 (в качестве одной из температур удобно взять, конечно, температуру кипения).

Для практического использования оказывается удобным привести (5) другим переменным:

$$\frac{\xi}{\xi_1} = \Phi\left(\xi_1, \frac{T_0}{T}, \frac{T_0}{T_1}\right), \quad (6)$$

$$\xi = \frac{\lg p - \lg p_0}{1 - \frac{T_0}{T}}, \quad (7)$$

$$\xi_1 = \frac{\lg p_1 - \lg p_0}{1 - \frac{T_0}{T_1}} \quad (p_1 < p_0) \quad (8)$$

Величина ξ/ξ_1 при этом оказывается слабо зависящей как от ξ_1 , так и от T/T_0 , T_0/T_1 .

Зависимость (6) представляется ниже табл. 1. Она получена на основе

Таблица 1

$T_0/T_1 = 1,1$						$T_0/T_1 = 1,2$					
T_0/T											
1,5	1,2	0,9	0,8	0,7	0,6	1,5	1,1	0,9	0,8	0,7	0,6
1,070	1,018	0,966 ₅	0,952	0,950	0,962	1,052	0,982 ₅	0,950	0,936	0,936	0,953
1,071	1,018	0,966	0,950	0,946	0,953	1,053	0,982	0,949	0,934 ₅	0,932 ₅	0,943
1,073	1,018 ₆	0,965	0,949	0,944	0,947	1,053	0,981 ₆	0,948 ₃	0,933	0,929	0,936
1,075	1,019	0,964 ₅	0,948 ₅	0,940	0,941	1,054	0,981 ₃	0,947 ₅	0,932	0,925 ₅	0,929
1,077	1,020	0,963 ₅	0,946 ₅	0,935	0,933	1,055	0,981	0,946	0,929	0,919 ₅	0,919
1,080	1,020 ₅	0,962 ₅	0,944 ₅	0,930	0,926	1,057	0,980 ₃	0,944	0,927	0,915	0,911 ₅
1,082	1,021	0,961 ₅	0,942 ₅	0,927 ₅	0,921	1,059	0,979 ₅	0,941 ₅	0,924 ₅	0,910 ₅	0,905
1,084	1,021 ₅	0,960 ₅	0,941	0,923	0,916	1,062	0,979	0,940 ₅	0,922 ₅	0,906 ₅	0,900
1,087	1,022 ₅	0,959	0,939	0,920	0,912	1,064	0,978	0,939	0,920 ₅	0,902 ₅	0,895
1,094	1,024 ₅	0,956	0,935	0,915	0,901	1,068	0,976 ₅	0,934 ₅	0,914 ₅	0,895	0,883

использования данных для шести углеводородов [5] (насыщенные углеводороды от пентана до октана). Область применения таблицы — подавляющее большинство органических соединений (интервал изменения A от 1 до 2 [2]). Таблица допускает линейную интерполяцию по строкам и столбцам. По значениям T_0/T_1 допускаются как линейная интерполяция, так и экстраполяция. Рекомендуемая последовательность счета такова. По данным p_1 и p_0 при T_1 и T_0 находится величина ξ_1 . Затем определяется величина T_0/T для интересующей нас температуры T , по табл. 1 находятся два значения ξ , соответствующие T_0/T_1 , равным 1,1 и 1,2. Интерполяцией (или экстраполяцией) полученных ξ к истинному T_0/T_1 находят ξ , которое, таким образом, удовлетворяет (6). Знание величины ξ позволяет по формуле (7) определить искомое давление.

В качестве примера практического вычисления давлений насыщенных жидкостей рекомендуемым методом приводим результаты расчетов для трех произвольно выбранных веществ: толуола (т. кип. 110,68°, давление при 0°C — 203,8 мм), диэтилового эфира (т. кип. 34,6, давление при 0°C — 15,3 мм) и хлорбензола с исходными данными расчета т. кип. 132,1°, давление при 100°C 293 мм (табл. 2). Во всех случаях и во всем диапазоне

Таблица 2

Толуол			Диэтиловый эфир			Хлорбензол		
$t^{\circ}\text{C}$	Расчет	Опыты [5]	$t^{\circ}\text{C}$	Расчет	Опыт [6]	$t^{\circ}\text{C}$	Расчет	Опыт [7]
0	6,63 <i>м.</i>	7,72	-100	0,048 ₅ <i>мм</i>	0,05	0	2,45 <i>мм</i>	2,56
150	2,71 <i>ат.м</i>	2,72	-40	19,0 <i>мм</i>	19	50	41,8	41,5
200	7,34	7,38	+50	1,674 <i>ат.м</i>	1,680	150	1,58 <i>ат.м</i>	1,59
250	16,4	17,5	+100	6,38 ₆	6,39 ₄	200	4,61	4,63
300	32,5	33,4	+150	17,5 ₄	17,4 ₈	250	10,75	10,88
			+193,8 (крит.)	36,2	35,5	359,2 (крит.)	44,2	44,6

температур результаты вычислений отличаются от экспериментальных на величины того же порядка, что и различия в данных отдельных авторов.

Изложим далее метод экстраполяции значений плотности жидкости по линии насыщения на область высоких температур. Для этой цели используем тот же прием, как и для температурной зависимости давлений насыщенных паров. Речь идет об инвариантном соотношении:

$$F\left(\frac{x}{x_1}, \frac{x_2}{x_1}, \frac{T}{T_1}, \frac{T_2}{T_1}\right) = 0 \quad (9)$$

выполняющемся достаточно хорошо для разного рода величин x , в том числе и для плотности. Значение явного вида функции (9) позволяет находить значения плотности во всей области температур на основе знания только двух значений при температурах T_1 и T_2 .

Для практического использования функцию (9) представляем в виде

$$\zeta = f\left(\zeta_1, \frac{T}{T_0}, \frac{T_1}{T_0}\right), \quad (10)$$

где

$$\zeta = \frac{(\rho_0 - \rho) T_0}{\rho_0 (T - T_0)}, \quad (11)$$

и

$$\zeta_1 = \frac{(\rho_1 - \rho_0) T_0}{\rho_0 (T_0 - T_1)} \quad (\rho > \rho_0 > \rho_1) \quad (12)$$

Зависимость (10) для фиксированного $T_1/T_0 = 0,9$ дана в табл. 3. Таблица

Таблица 3

ζ_1	T_1/T_0					
	1,1	1,2	1,3	1,4	1,5	1,6
0,380	0,393	0,404	0,416	0,434	0,457	0,495
0,400	0,417	0,432	0,450	0,475	0,508	0,568
0,420	0,441	0,460	0,482	0,514	0,558	0,643
0,440	0,464	0,488	0,515	0,555	0,614	
0,460	0,489	0,518	0,548	0,595	0,660	
0,480	0,513	0,545	0,581	0,636		
0,500	0,537	0,574	0,614	0,676		

ставлена на основании использования данных Юнга для семи углеводородов. Область применения таблицы — вещества со значениями определяющего критерия A (см. [21]) в интервале от 1 до 2, т. е. подавляющее большинство органических жидкостей.

При практическом использовании функции (10) значение T_1/T_0 может быть, конечно, отличным от 0,9. В этом случае следует использовать приводимую ниже табл. 4, дающую связь между величинами ξ_1 , определенными для различных данных T_1/T_0 с таковой для $T_0 = 0,9$. Ввиду сравнительно слабой зависимости этих величин табл. 4 густоает экстраполяцию.

Примеры практических расчетов по предложенной методике для диэтилового эфира с исходными данными $\rho_0 = 0,7362$; $\rho_{30^\circ} = 0,7019$ и хлорбензола с исходными данными $\rho_0 = 1,1279$; $\rho_{100^\circ} = 1,0193$ даны в табл. 5 (опытный материал Юнга.)

Таблица 4

ξ_1	T_1/T_0		
	0,85	0,90	0,95
0,380	0,381	0,380	0,379
0,400	0,402	0,400	0,398
0,420	0,423	0,420	0,417
0,440	0,444	0,440	0,436
0,460	0,466	0,460	0,454
0,480	0,487	0,480	0,473
0,500	0,508	0,500	0,442

Таблица 5

Диэтиловый эфир			Хлорбензол		
$t, ^\circ\text{C}$	Расчет	Опыт	$t, ^\circ\text{C}$	Расчет	Опыт
50	0,6776	0,6764	150	0,9610	0,9599
100	0,608 ₅	0,6105	200	0,897	0,8955
150	0,517 ₅	0,5179	250	0,821	0,8196

ВЫВОДЫ

1. На основании соображений, изложенных в первом сообщении, предложен метод вычисления температурной зависимости давления насыщенных паров. Для расчета требуется знание давлений при двух значениях температуры (практически температуры кипения и одного значения давлений при более низкой температуре). Метод пригоден для нормальных органических жидкостей во всем интервале от точки плавления до критической точки.

2. Предложен аналогичный метод расчета для ортобарической плотности.

Московский государственный университет им. М. В. Ломоносова

Поступила
18.V.1956

ЛИТЕРАТУРА

- Л. П. Филиппов, Журн. физ. химии, **31**, 582, 1957.
 Л. П. Филиппов, Вестн. МГУ, № 1, 111, серия физ.-мат., 1956.
 L. Riedel, Chem.—Ing.—Techn., **26**, 83, 259, 1954
 Л. П. Филиппов, Вестн. МГУ, № 2, серия физ.-мат., 1956
 Физико-химические свойства индивидуальных углеводородов под ред. М. Д. Тиличеева, т. III. Гостоптехиздат, 1951, М.—Л.
 Справочник физических, химических и технологических величин технической энциклопедии, М., 1931.
 Сборник физических констант под ред. Дорфмана и С. Э. Фриша, ОНТИ, Л.—М., 1937.

THE APPLICATION OF DIMENSIONAL ANALYSIS TO THE DESCRIPTION OF THE PROPERTIES OF LIQUIDS

II. EXTRAPOLATION OF THE TEMPERATURE RELATION OF SATURATED VAPOR PRESSURES AND ORTHOBARIC DENSITY

*L. P. Filippov**(Moscow)*

Summary

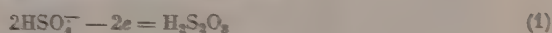
Based on the similarity principle the problem is considered of the extrapolation of the temperature dependence of saturated vapor pressures and orthobaric densities. Methods have been presented for the actual computation. To extrapolate the aforementioned properties along the entire range of temperatures from the melting point to the critical, a knowledge of the corresponding quantities is required for only two temperatures; temperatures below the boiling point can be used in practical work. The computations agree well with experimental results.

ИССЛЕДОВАНИЕ КИНЕТИКИ ЭЛЕКТРООКИСЛЕНИЯ СЕРНОЙ КИСЛОТЫ

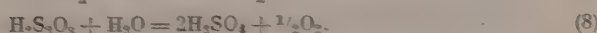
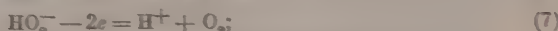
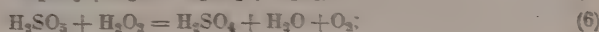
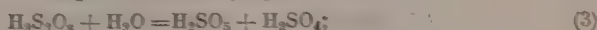
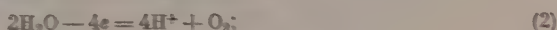
Е. А. Ефилов и Н. А. Изгарышев

Реакция электроокисления серной кислоты в надсерную, происходящая на гладком платиновом аноде, интересна не только в теоретическом, но и в прикладном отношении. Достаточно упомянуть, что этот процесс — один из основных в технологии получения такого важного продукта, как перекись водорода.

Электроокисление серной кислоты в надсерную



проводяется целым рядом побочных реакций:



Эти реакции, происходящие на аноде и в объеме электролита, понижают выход по току персульфат-иона и сильно усложняют изучение основного окислительного процесса (1). Поэтому, несмотря на большое число проведенных исследований [1—3], процесс электроокисления SO_4^{2-} нельзя считать хорошо изученным.

В большинстве ранее выполненных работ электроокисление проводилось в растворах средней концентрации H_2SO_4 (20—60%), электролиз сильно концентрированных растворов почти не исследовался.

В настоящей работе кинетика электроокисления серной кислоты изучалась методом поляризационных кривых и путем определения выхода по току основных продуктов электролиза в растворах, концентрация которой в которых постепенно изменялась от 5,0 до 36,87 N.

МЕТОДИКА РАБОТЫ

Электролиз проводился (рис. 1) в стеклянном стакане 1, разделенном керамической перегородкой 2 на два отделения: анодное наружное и катодное. Катодом служила медная чашка 3, вставленная в стеклянную трубку 4. Анод 5 — платиновая проволока диаметром 0,3 мм, вставленная в тонкую трубку 6. Для поддержания постоянной температуры электролита во время опыта (3—10°C) электролизер помещался в баню со льдом. Кроме того, внутренняя сторона катода охлаждалась холодной проточной водой, вводимой через трубку 7.

Во всех опытах переменными величинами были плотность тока (2,0; 0,75 и 0,075 А/см²) и концентрация серной кислоты. Все другие факторы, влияющие на выход по току продуктов окисления (температура, обработка анода, сила тока, объем анолита и т. п.), оставались неизменными. Для задержания протекания побочных реакций продолжительность электроокисления ограничивалась 5 мин. Для того же цели поддерживалась высокая объемная плотность тока (100 А/л). Последнюю

ующейся H_2SO_5 очень невелико и мало зависит от концентрации серной кислоты. Повышение плотности тока от 0,075 до 2,0 A/cm^2 лишь немного увеличивает (в растворах выше 25 N уменьшает) выход по току H_2SO_5 , но не изменяет характера его зависимости от концентрации серной кислоты.

На рис. 5 показаны поляризационные кривые $\varphi - \lg I$, снятые в тех же растворах, в которых был определен выход по току основных продуктов электролиза. Из рисунка видно, что зависимость потенциала анода от логарифма плотности тока имеет сложный характер и не описывается уравнением Тафеля.

Линейная зависимость $\varphi = a + b \lg I$, наблюдаемая для процесса деления кислорода [7], нарушается при плотности тока $10^{-3} \div 10^{-2} \text{A}/\text{cm}^2$,

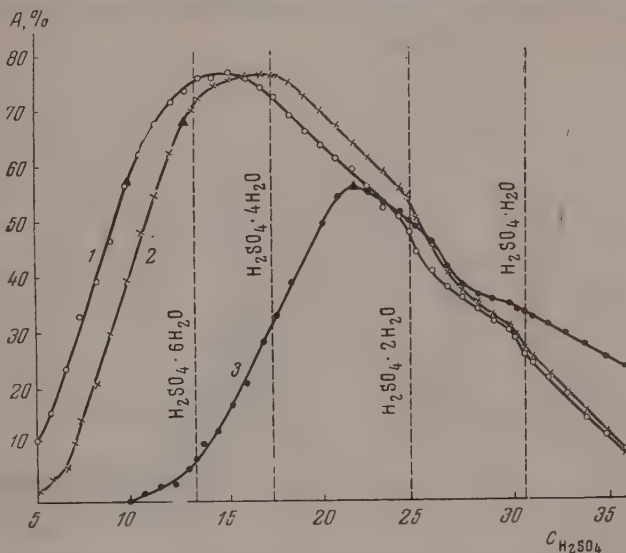


Рис. 2. Влияние концентрации H_2SO_4 на выход по току всего активного кислорода ($\text{H}_2\text{S}_2\text{O}_8 + \text{H}_2\text{SO}_5 + \text{H}_2\text{O}_2$): 1 — $I = 2,0 \text{ A}/\text{cm}^2$; 2 — $I = 0,75 \text{ A}/\text{cm}^2$; 3 — $I = 0,075 \text{ A}/\text{cm}^2$

кривые начинают загибаться в сторону более высоких значений потенциала. Это явление особенно ясно выражено на кривых, полученных в растворах с концентрацией серной кислоты до 26 N, где наблюдаются участки быстрого роста потенциала с плотностью тока (например, между 2,3 и 2,9 V для 13,35 N H_2SO_4).

Такой изгиб кривых $\varphi - \lg I$ может быть объяснен изменением состояния поверхности платинового электрода вследствие увеличения глубины его электрохимического окисления [8]. Высказанное нами ранее [7] предположение о связи этого явления с началом протекания на аноде окислительной реакции (1) следует считать ошибочным.

Поляризационные кривые, снятые в растворах 9 ÷ 27 N H_2SO_4 , при достижении некоторой плотности тока имеют второй перегиб с уменьшением наклона, например при $\lg I = -0,7$ для 17,36 N H_2SO_4 или при $\lg I = -0,07$ для 12,36 N H_2SO_4 .

Для растворов 9,84 N; 12,96 N и 21,74 N эти точки перегиба (отмечены черными треугольниками) наблюдаются при плотностях тока, близких к 2; 0,75 и 0,075 A/cm^2 . На кривых рис. 2 они (отмечены также треугольниками) соответствуют началу замедления роста выхода по току активного кислорода с концентрацией серной кислоты. Поэтому можно предположить, что оба эти явления взаимосвязаны.

Замедление образования активного кислорода может быть вызвано увеличением доли тока, идущей на процесс электролитического выделения кислорода (2), или ускорением реакции анодного разложения мононадсерной кислоты (4). Первое предположение маловероятно, так как повышение потенциала анода способствует протеканию электроокислительного процесса (1), а не реакции выделения кислорода (2), тем более что концентрация ионов HSO_4^- в 9,84 и 12,96 N растворах H_2SO_4 еще не достигает своего максимального значения [9]. Можно допустить, что замедление роста выхода по току активного кислорода и одновременное понижение наклона кривых $\varphi - \lg I$ связаны с протеканием реакции анодного разложения мононадсерной кислоты (4).

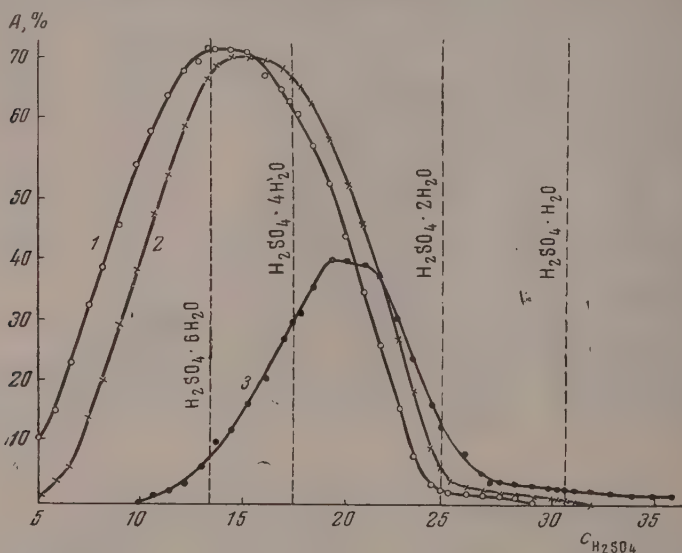


Рис. 3. Влияние концентрации H_2SO_4 на выход по току надсерной кислоты. 1 — $I = 2,0 \text{ A/cm}^2$; 2 — $I = 0,75 \text{ A/cm}^2$; 3 — $I = 0,075 \text{ A/cm}^2$.

Известно [2], что реакция анодного разложения SO_5^{2-} вызывает деполяризацию платинового анода. В процессе снятия поляризационных кривых (рис. 5) было замечено, что наименьшая стабильность потенциала во времени (рост φ при $I = \text{const}$) наблюдается на участках наиболее крутого подъема кривых, например, в интервале потенциалов 2,35—2,89 V для 17,36 M H_2SO_4 . При приближении к точкам перегиба (в нашем примере $\varphi = 2,89 \text{ V}$) и, особенно, выше них потенциал анода приобретал наибольшую стабильность и очень мало изменялся во времени, что, вероятно, вызвано сильным деполяризующим действием реакции (4).

Этой же причиной может быть объяснен своеобразный характер зависимости потенциала платинового анода от перемешивания электролита. Проведенные в настоящей работе опыты показали, что перемешивание анолита почти не изменяет потенциала при плотности тока ниже точек второго перегиба кривых $\varphi - \lg I$, но увеличивает его на 20—30 mV при дальнейшем повышении плотности тока. При перемешивании электролита устраняется избыточное накопление SO_5^{2-} в прианодном слое, что и затрудняет протекание процесса (4). В результате этого уменьшается деполяризация анода, и потенциал его становится более положительным.

Из рис. 5 видно, что реакция анодного разложения SO_5^{2-} , свивающая выход по току пересульфат-иона, в менее концентрированных растворах на

нается при более высоких значениях плотности тока. Это и является основной причиной смещения максимума выхода по току суммарного активного кислорода (рис. 2) и надсерной кислоты (рис. 3) в сторону более извлеченных растворов при увеличении плотности тока. Что касается схождения кривых рис. 2 и 3 через максимум, то, как было показано ранее [10], это явление связано с изменением содержания в анолите ионов SO_4^{2-} с ростом концентрации серной кислоты.

При работе с очень концентрированными растворами мы столкнулись с явлением затруднения электролиза образовавшимися на аноде пузырьками кислорода, которые при высоких плотностях тока переставали отрываться от поверхности электрода. Так, в процессе снятия поляризационной кривой в 35,87 N H_2SO_4 при достижении $I = 0,3 \text{ A/cm}^2$ наблюдалось омальное возрастание потенциала, сопровождавшееся значительным

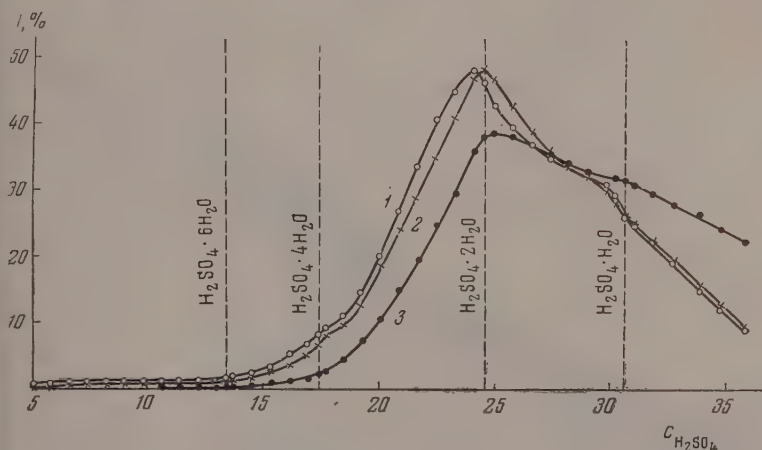


Рис. 4. Влияние концентрации H_2SO_4 на выход по току моноводсерной кислоты. 1 — $I = 2,0 \text{ A/cm}^2$; 2 — $I = 0,75 \text{ A/cm}^2$; 3 — $I = 0,075 \text{ A/cm}^2$

уменьшением размеров отрывавшихся от анода пузырьков кислорода. При плотности тока, равной $0,75 \text{ A/cm}^2$, напряжение на электролизере кообразно повышалось с 7 до 15 V, а сила тока в цепи падала с 10^{-2} до $8 \cdot 10^{-4} \text{ A}$. Одновременно с этим почти прекращалось видимое выделение кислорода, и вся поверхность анода покрывалась большими и маленькими пузырьками газа. Под микроскопом можно было обнаружить, что мелкие пузырьки временами отрывались от электрода и заменялись новыми, большие же оставались неизменными.

Перемешивание анолита кислородом и механическим путем, снижение призывающего тока почти до нуля не устраняли наблюдаемого явления. Только при наложении на электроды повышенного напряжения (выше 30 V) газовая пленка, покрывавшая анод, пробивалась, и ток мог быть увеличен.

В менее концентрированных растворах этот «анодный эффект» наступал при более высоких плотностях тока, например, в 22,54 N H_2SO_4 при $I = 0,3 \text{ A/cm}^2$, но во всех случаях примерно при одном и том же потенциале 3,5 V.

На рис. 5 это явление характеризуется резким загибом кривых вверх при плотностях тока, близких к $0,3 \div 2,0 \text{ A/cm}^2$, для 36,87 — 19,3 N растворов H_2SO_4 .

В связи с наступлением «анодного эффекта» поляризационные кривые растворов выше 22,54 N сжимались только до достижения критического потенциала 3,4 — 3,5 V. При определении выхода по току в этих рас-

творях наступление «анодного эффекта» удалось задержать путем очень короткого наложения на клеммы электродов повышенного напряжения (~ 20 В).

На рис. 6, на основании данных поляризационных измерений, построены кривые потенциал — концентрация H_2SO_4 (при $I = \text{const}$). Эти кривые отражают изменение суммарной кинетики анодных реакций (1), (2), (4) и (7) с концентрацией серной кислоты.

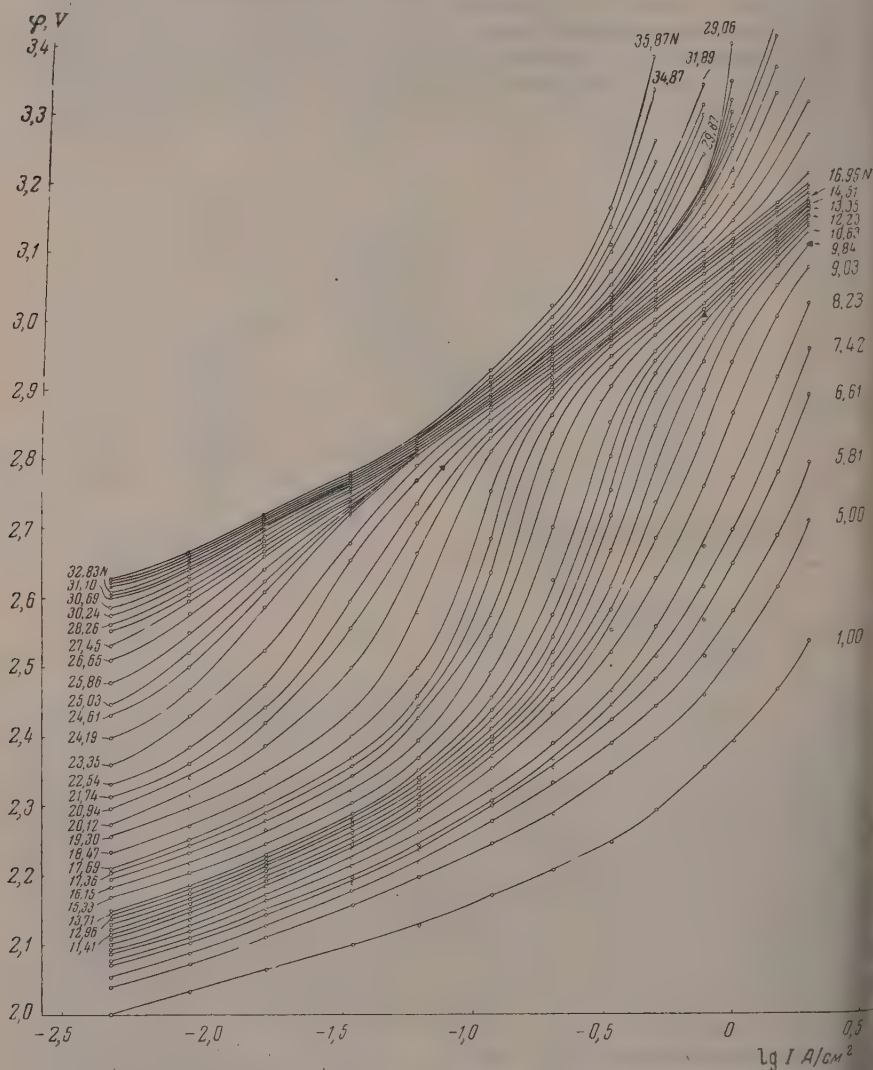


Рис. 5. Поляризационные кривые, полученные в растворах H_2SO_4 от 5,0 до 35,87

Сначала повышение концентрации H_2SO_4 вызывает быстрое падение скорости анодного процесса. В дальнейшем это падение замедляется почти полностью прекращается при достижении «особой точки» Д. И. Менделеева $\text{H}_2\text{SO}_4 \cdot 2\text{H}_2\text{O}$ (24,61 N H_2SO_4).

На рис. 6 этому моменту соответствуют участки кривых, почти параллельные оси абсцисс. При очень высоких концентрациях H_2SO_4 скорость анодного процесса вновь резко падает из-за наступления «анодного эффекта».

Сравнение кривых рис. 2 и 6 показывает, что наибольший рост потенциала анода и выхода по току активного кислорода с концентрацией серной кислоты наблюдается для одних и тех же интервалов концентрации: 5—10 N при $I = 2,0 \text{ A/cm}^2$; 7—13 N при $I = 0,75 \text{ A/cm}^2$; 2—21,7 N при $I = 0,075 \text{ A/cm}^2$. В первых двух интервалах концентрации H_2SO_4 содержание ионов HSO_4^- еще не достигает своего максимального значения [9]. Поэтому быстрое падение скорости анодного

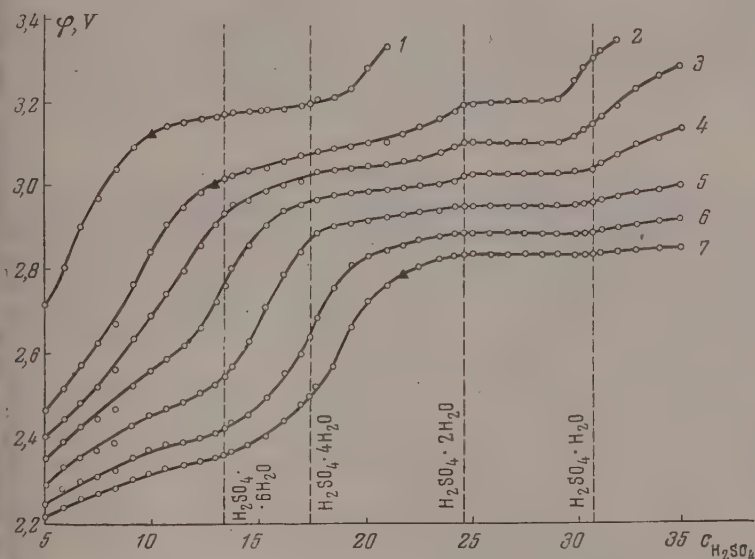


Рис. 6. Зависимость потенциала анода от концентрации серной кислоты при $I = \text{const}$. 1 — $I = 2,0 \text{ A/cm}^2$; 2 — $I = 0,75 \text{ A/cm}^2$; 3 — $I = 50 \text{ A/cm}^2$; 4 — $I = 0,33 \text{ A/cm}^2$; 5 — $I = 0,20 \text{ A/cm}^2$; 6 — $I = 0,107 \text{ A/cm}^2$; 7 — $I = 0,075 \text{ A/cm}^2$.

процесса не может быть связано с затруднением электроокисления HSO_4^- из-за недостатка ионов HSO_4^- . В связи с этим реально допустить, что процесс образования надсерной кислоты $2HSO_4^- - 2e \rightarrow 2HSO_4 \rightarrow S_2O_8$ по своей природе является более медленным процессом, чем процесс выделения кислорода (2).

Выше отмечалось, что в растворах 9,84 N; 12,96 N и 21,74 N H_2SO_4 анодного разложения SO_5^{2-} начинает играть существенную роль анодном процессе при плотностях тока, соответственно близких к 2,0; 0,75 и 0,075 A/cm^2 . На рис. 6 эти точки (отмечены зачерпнутыми треугольниками) соответствуют началу замедления падения суммарной скорости анодных реакций. По-видимому, оба эти явления взаимосвязаны. 12,96 N раствор серной кислоты ($H_2SO_4 \cdot 2H_2O$) — очень характерная «особенность» для изучаемого процесса. Здесь при всех трех исследуемых плотностях тока достигается максимальный выход мононадсерной кислоты (рис. 4) и наступает задержка роста потенциала при дальнейшем увеличении концентрации H_2SO_4 (рис. 6). Все это может быть объяснено еще большим увеличением доли тока, идущей на реакцию анодного разложения SO_5^{2-} и наступление более глубокой деполяризации анода.

Возможно, что в районе «особой точки» Д. И. Менделеева $\text{H}_2\text{SO}_4 \cdot 2\text{H}_2\text{O}$ и при более высокой концентрации серной кислоты и реакция (4) становится одним из основных анодных процессов.

Такое ускорение реакции (4), по-видимому, вызвано дальнейшим уменьшением сольватации ионов SO_5^{2-} , так как при стехиометрическом соотношении H_2SO_4 и H_2O , равном 1 : 2, присутствующая в анолите вода будет в основном гидратировать ионы H^+ и HSO_4^- , а не SO_5^{2-} .

Другой особенностью электролиза сильно концентрированных растворов является чрезвычайно низкий, а при некоторых условиях и нулевой выход по току надсерной кислоты (рис. 3), что связано с сильным каталитическим влиянием серной кислоты на реакцию гидролиза $\text{H}_2\text{S}_2\text{O}_8$. Возможно, что одной из причин ускорения реакции (3) с ростом концентрации H_2SO_4 является уменьшение гидратации ионов в растворе. Последнее обстоятельство согласуется с экспериментальным фактом значительного увеличения выхода H_2SO_5 в растворах, более концентрированных, чем 13,35 N ($\text{H}_2\text{SO}_4 \cdot 6\text{H}_2\text{O}$). Однако окончательный вывод по этому вопросу можно сделать только на основании специального исследования.

ВЫВОДЫ

1. Проведено исследование кинетики электроокисления серной кислоты в зависимости от ее концентрации методом поляризационных кривых и путем измерения выхода по току основных продуктов электролиза.

2. Установлено отсутствие каких-либо характерных изменений выхода по току надсерной кислоты и всего активного кислорода при концентрациях H_2SO_4 , соответствующих «особым точкам» Д. И. Менделеева $\text{H}_2\text{SO}_4 \cdot 6\text{H}_2\text{O}$; $\text{H}_2\text{SO}_4 \cdot 4\text{H}_2\text{O}$; $\text{H}_2\text{SO}_4 \cdot 2\text{H}_2\text{O}$ и $\text{H}_2\text{SO}_4 \cdot \text{H}_2\text{O}$.

3. Найдено, что образование мононадсерной кислоты зависит от изменения степени гидратации ионов. При плотностях тока 2,0; 0,75 и 0,075 А/см² выход H_2SO_5 заметно возрастает в растворах, концентрация которых выше 13,35 N ($\text{H}_2\text{SO}_4 \cdot 6\text{H}_2\text{O}$), и достигает своего максимального значения при 24,61 N ($\text{H}_2\text{SO}_4 \cdot 2\text{H}_2\text{O}$).

4. Установлено, что при плотностях тока выше 10⁻² А/см² зависимости потенциала анода от логарифма плотности тока имеет сложный вид и не описывается уравнением Тафеля.

6. На основании совместного анализа выходов по току основных продуктов электролиза и поляризационных кривых высказаны соображения о характере распределения тока между отдельными анодными реакциями при изменении концентрации H_2SO_4 от 5,0 до 35,87 N. Показано, что реакция анодного разложения мононадсерной кислоты играет весьма значительную роль в процессе электролиза и что доля тока, идущая на эту реакцию, зависит от плотности тока и концентрации серной кислоты.

Химико-технологический
институт им. Д. И. Менделеева
Москва

Поступила
19.V.1956

ЛИТЕРАТУРА

1. K. Elbs u. O. Schönherr, Zs. Elektroch., 1, 417, 467, 1895.
2. F. Foerster, Electrochemie wässriger Lösungen, Leipzig 1922, сmp. 836.
3. E. Müller, H. Schellhaas, Zs. Electrochem., 13, 257, 1907.
4. K. Elbs u. O. Schönherr, Zs. Electrochem., 2, 162, 247, 1895; W. Bancroft, Trans. Electrochem. Soc. 71, 195, 1937; А. И. Бродский, А. С. Афанасьев, М. Р. Дикова, Журн. прикл. химии, 5, 929, 1932.
5. О. Есин и А. Алфимова, Журн. физ. химии, 3, 439, 1932; 5, 480, 1934.
- 6, 779, 1935; S. Glasstone, A. Hickling, Electrolytic oxidation and reduction London, 1945, стр. 251; R. Matsuda, Н. Конуа, Т. Niimori, Bull. Chem. Soc. Japan, 12, 425, 1937; Н. А. Изгарышев, А. А. Петрова, Журн. физ. химии, 24, 881, 1950; А. Н. Фрумкин, Р. И. Каганович, М. А. Герович, В. Н. Васильев, ДАН 102, 981, 1955.

- Ф. Тредвелл и В. Голл, Курс аналитической химии. Объемный и газовый анализ, ГНТИ НКТП СССР, 1931, стр. 101.
- Е. А. Ефимов и Н. А. Изгарышев, Журн. физ. химии, **30**, 1606, 1956.
- Д. И. Менделеев, Избранные сочинения, Госхимиздат, 1934, т. III, стр. 205.
- Н. А. Изгарышев и Е. А. Ефимов, Журн. физ. химии, **30**, 1805, 1956.
- Р. И. Каганович, А. М. Герович и Э. Х. Еникеев, ДАН СССР, **108**, 107, 1956.
- T. Young, L. Blatz, Chem. Rev., **44**, 93, 1949.
- Е. А. Ефимов и Н. А. Изгарышев, ДАН **106**, 1039, 1956.
-

A KINETIC STUDY OF THE ELECTROOXIDATION OF SULFURIC ACID

E. A. Efimov and N. A. Izgaryshev

(Moscow)

Summary

A kinetic study of the electrooxidation of sulfuric to persulfuric acid was made by means of the polarization curve method and of current efficiency measurements. The character of the current distribution between the individual anodic reactions accompanying the process of the oxidation of HSO_4^- to $\text{S}_2\text{O}_8^{2-}$ on changing the sulfuric acid concentration in the electrolyte from 6.0 to 35.87 *N* was examined.

ИССЛЕДОВАНИЕ ВЗАИМОДЕЙСТВИЯ КИСЛОРОДА С НИКЕЛЕМ МЕТОДОМ КОНТАКТНОЙ РАЗНОСТИ ПОТЕНЦИАЛОВ

Н. А. Шурмовская и Р. Х. Бурштейн

В предыдущих статьях [1] было исследовано изменение работы выхода электрона при первичных стадиях окисления железа и при поглощении различных количеств кислорода на платине. Полученные результаты свидетельствуют об изменении характера связи в зависимости от условий взаимодействия металла с кислородом.

При низких температурах адсорбция кислорода на железе увеличивает работу выхода электрона. При более высоких температурах поглощение небольших количеств кислорода уменьшает работу выхода электрона. Последнее мы объясняли «подползанием» кислорода под верхний слой металла. Увеличение работы выхода, вызванное адсорбцией больших количеств кислорода, связано с достройкой поверхностного окисла. Работа выхода перестает меняться с увеличением количества поглощенного кислорода [1], когда этот окисел образует отдельную фазу.

Иное влияние оказывает кислород на работу выхода электрона из платины. Работа выхода электрона из платины, поглотившей кислород, сначала увеличивается, а затем постепенно уменьшается во времени и становится равной работе выхода из чистой платины. Это явление связано с проникновением кислорода в глубь платины [1].

Из полученных данных следует, что «подползание» атомов кислорода под верхний слой металла на определенное расстояние приводит к максимальному уменьшению работы выхода; при более глубоком проникновении кислорода в металл действие кислорода сказывается меньше, работа выхода приближается к работе выхода из чистого металла.

Интерес к рассматриваемому кругу явлений — влиянию кислорода, поглощенного металлами, на величину эмиссионного тока — в последнее время возрос в связи с работами Крамера [2] по «экзоэлектронам». Из этих работ следует, что на поверхности, подвергнутых механической обработке, эмиссионный ток больше, чем на необработанных. Наблюдаемый эффект, вызванный механической обработкой, пропадает со временем. Для объяснения этих явлений выдвинуто несколько предположений. Наиболее правдоподобным является представление о влиянии окисной пленки на величину эмиссионного тока. Изменение эмиссионного тока при взаимодействии металла с кислородом можно до сих пор достаточно убедительно объяснить. Сопоставление данных по действию механической обработки металла на величину эмиссионного тока с приведенными выше результатами по влиянию поглощенного железом кислорода на контактную разность потенциалов свидетельствует о близости механизмов описанных явлений. Хайсель, Хоутерманс и Зейгер [3] считают, что причиной увеличения эмиссионного тока является энергия, выделяющаяся при взаимодействии металла с кислородом. Однако это представление, вероятно, неправильно, так как оно не учитывает изменение работы выхода электрона, происходящее при поглощении металлом кислорода. Поглощение небольших количеств кислорода после механической обработки должно приводить к увеличению эмиссионного тока уже вследствие уменьшения работы выхода электрона. По мере увеличения количества поглощенного кислорода происходит увеличение работы выхода, что приводит к уменьшению эмиссионного тока. Следует также указать, что увеличение эмиссионного тока, вызванное поглощением небольших количеств кислорода на железе, в условиях хорошего вакуума сохраняется в течение длительного времени, что является подтверждением сделанного вывода, что изменение эмиссии происходит за счет энергии, выделяющейся при протекании реакции.

Близкими к нашим представлениям являются представления, выдвинутые Грэнбергом и Райтом [4], которые считают, что увеличение фоточувствительности после механической обработки связано с уменьшением работы выхода. Однако механи-

взаимодействия металла с кислородом, приводящий согласно этим авторам к уменьшению работы выхода электрона, отличается от предложенного нами. Эти авторы приходят к выводу, что уменьшение работы выхода электрона при поглощении кислорода можно объяснить образованием на поверхности металла полупроводника с вакантными ионами кислорода, действующими как электронные ловушки. По нашему мнению, учитывая, что количество поглощенного кислорода на железе, приводящее к максимальному уменьшению работы выхода, меньше, чем требуется для образования мономолекулярного слоя, такую поверхность нельзя рассматривать как полупроводник*.

Так как большинство имеющихся в литературе работ по влиянию кислорода на работу выхода электрона проводились без учета количества поглощенного кислорода, а для установления общих закономерностей взаимодействия кислорода с металлами представляет интерес исследовать эти явления на большем количестве объектов.

В настоящей работе исследовано влияние кислорода, поглощенного при различных температурах, на работу выхода электрона из никеля.

Литературные данные по этому вопросу весьма противоречивы. Согласно Босворту [5] кислород, поглощенный никелем, увеличивает работу выхода электрона на 1,4 В. По Хантеру [6], поглощенный никелем кислород уменьшает работу выхода электрона на 1,08 В. По данным Хакермана работа выхода электрона из никеля при низких давлениях кислорода уменьшается на 0,1 В [7].

Прибор, в котором производились наши измерения, подробно описан в одной из предыдущих работ [1]. Он представляет собой диод с подвижным вольфрамовым катодом; анодом служила исследуемая никелевая пластинка. Конструкция прибора дает возможность сочетать измерения контактной разности потенциалов с адсорбционными измерениями, а также производить адсорбцию на аноде, не загрязняя кислородом катод.

Анодом служила пластинка размером 6 см² из спектрально чистого никеля фирмы Хильгер». Предварительная обработка электрода заключалась в его восстановлении в водороде при 400°С и последующем обезгаживании до 10⁻⁷ мм рт. ст. при 800—900°С.**

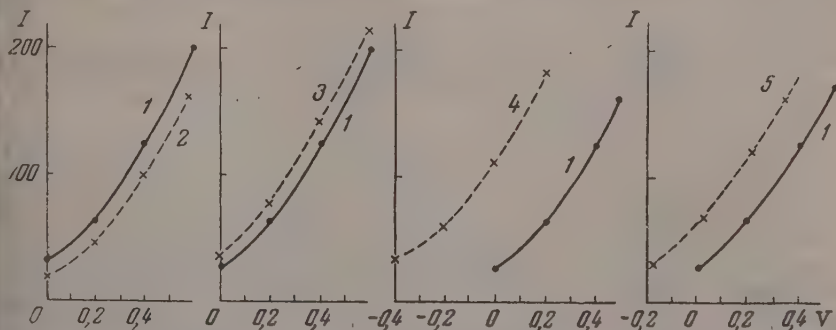


рис. 2. Вольтамперные характеристики для чистого никеля и никеля, поглотившего $3 \cdot 10^{15}$ мол. O_2 /см² истинной поверхности: 1 — для чистого никеля; 2, 3, 4, 5 — для никеля, поглотившего O_2 при 35°, 44°, 100° и 150°С

агрегирование в вакууме производилось током высокой частоты. Изменение работы выхода электрона из никеля, вызванное поглощенным кислородом, определялось по сдвигу вольтамперных характеристик, полученных с чистым никелем, и никелем, поглотившим кислород при температурах 35—150°С. Измерение эмиссионного тока производилось гальванометром чувствительностью $1 \cdot 10^{-10}$ А. Температура анода при снятии вольтамперных характеристик диода была равна 35°С.

* Эти соображения также относятся к высказываниям Захтлера по поводу нашей работы (J. Chim. Phys., 54, 110, 1957).

** Предположение Захтлера о том, что в наших опытах мог оставаться кислород на поверхности металла, мы считаем не правдоподобным, так как восстановление водородом производилось многократно. В случае массивной платины существенное значение для ее очистки имеет также обезгаживание при 1100—1200°С. ДАН, 198, 81, 193, 1951.

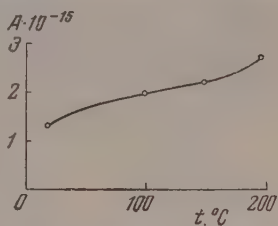


Рис. 1. Зависимость количества поглощенного кислорода от температуры

Исследование поглощения кислорода на никеле при разных температурах показало, что количество кислорода, соответствующее быстрой стадии поглощения (A молекул/ см^2), растет с температурой (рис. 1).

В приведенной ниже серии опытов снимались вольтамперные характеристики диода как с чистым никелем, так и с никелем, поглотившим кислород при различных температурах. Количество поглощенного кислорода в этих опытах было равно $1,3 \cdot 10^{15}$ молекул на 1 см^2 истинной поверхности, что примерно соответствует одному слою NiO на поверхности никеля. Результаты опытов приведены на рис. 2, где на оси абсцисс отложено анодное напряжение V , а на оси ординат — величина, пропорциональная силе эмиссионного тока I . На рис. 3 представлены результаты, выражающие зависимость контактной разности потенциалов θ от температуры

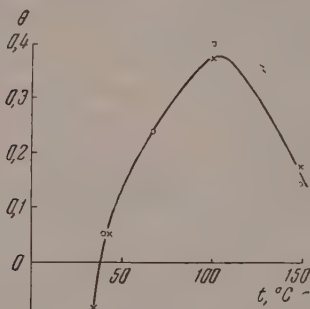


Рис. 3. Зависимость контактной разности потенциалов от температуры поглощения кислорода

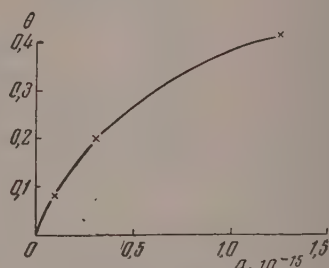


Рис. 4. Зависимость контактной разности потенциалов от количества поглощенного кислорода при 100°C

поглощения кислорода, полученные в двух сериях опытов. θ — со знаком плюс соответствует уменьшению работы выхода электрона, а со знаком минус увеличению работы выхода электрона.

На рис. 4 приведены результаты, выражающие зависимость между количеством поглощенного при 100°C кислорода (A молекул/ см^2) и контактной разностью потенциалов θ .

Результаты, полученные при исследовании влияния поглощенного кислорода на работу выхода электрона из никеля, весьма сходны с результатами, приведенными выше по влиянию кислорода на работу выхода электрона из железа. При низкой температуре (35°C) кислород, поглощенный никелем, приводит к увеличению работы выхода электрона. Если поглощение кислорода происходит при более высокой температуре, то имеет место уменьшение работы выхода электрона. Это, как и в случае железа, по-видимому, связано с подползанием кислорода под верхний слой атомов металла. Изменение контактной разности потенциалов в сторону увеличения работы выхода выше 100°C обусловлено, вероятно, более глубоким проникновением кислорода в решетку никеля. Из данных, приведенных на рис. 4, видно, что при поглощении никелем кислорода в количестве $0,1 \cdot 10^{16}$ молекул на 1 см^2 , что в 10 раз меньше того количества, которое требуется для покрытия поверхности мономолекулярным слоем NiO , наблюдается заметное уменьшение работы выхода электрона.

Выше было показано, что уменьшение работы выхода электрона, вызванное поглощением кислорода, нельзя объяснить образованием на поверхности металла полупроводника.

Представления Грунберга и Райта [4] в случае никеля во всяком случае неприменимы, так как окись никеля является типичным полупроводником с недостатком металла.

Выражаем благодарность акад. А. Н. Фрумкину за интерес к данной работе.

ВЫВОДЫ

1. Исследована зависимость контактной разности потенциалов от температуры и количества поглощенного кислорода на никеле. Показано, что при низких температурах (35°C) кислород увеличивает работу выхода электрона; при более высоких температурах кислород уменьшает работу выхода электрона из никеля. Кислород, поглощенный при 100°C , в количестве $1,3 \cdot 10^{15}$ мол. $\text{O}_2/\text{см}^2$ истинной поверхности приводит к уменьшению работы выхода электрона на $0,37-0,4$ eV.

2. Как и в более ранних работах, наблюдаемое уменьшение работы выхода электрона объясняется подползанием кислорода под верхний слой атомов никеля.

3. Полученные результаты сопоставлены с литературными данными влияния механической обработки на величину эмиссионного тока.

Академия наук СССР
Институт физической химии
Москва

Поступила
27 VI. 1956

ЛИТЕРАТУРА

- Р. Х. Бурштейн, М. Д. Сурова и И. А. Зайденман, Журн. физ. химии, **24**, 214, 1950; Р. Х. Бурштейн и М. Д. Сурова, ДАН, **61**, 75, 1948; Т. В. Калиш и Р. Х. Бурштейн, ДАН, **81**, 1093, 1951. J. Крамер, Zs. f. Phys., **125**, 739, 1949; J. Крамер, Zs. f. Phys. **13**, 629, 1952.
O. Haxel, P. G. Houtermans, K. Seiger, Zs. f. Phys. **130**, 109, 1951.
L. Grunberg, K. H. R. Wright, Proc. Roy. Soc. A **232**, 402, 1955.
R. Bosworth, Trans. Farad. Soc., **35**, 397, 1939.
J. Hanter, Phil. Mag., **19**, 959, 1935.
L. Antes, N. Haackerman, Journ. Appl. Phys. **22**, 1395, 1951.

INTERACTION BETWEEN OXYGEN AND NICKEL INVESTIGATED BY THE CONTACT POTENTIAL DIFFERENCE METHOD

N. A. Shurmovskaya and R. Kh. Burshtein

(Moscow)

Summary

An investigation has been made of the dependence of the contact potential difference on the temperature and on the amount of oxygen sorbed on nickel. At low temperatures (35°C) the sorbed oxygen increases the work function, at higher temperatures it decreases it. Oxygen sorbed at 100°C to the amount of 1.3×10^{15} molecules/ cm^2 of the surface, corresponding to the formation of a film with a thickness of about one elementary cell NiO , lowers the work function by $0.37-0.4$ eV.

As in earlier studies the decrease in the work function is explained by the spilling of the oxygen under the upper layer of the nickel atoms. The results obtained have been compared with published data on the effect of mechanical treatment on the value of the emission current.

Поскольку выражение (4) является приближенным, нельзя удовлетвориться расчетом значений P_c , а целесообразно предварительно произвести тарировку прибора для определения зависимости P_c от состава газа, который в дальнейшем будет анализироваться. В случае анализа двухкомпонентной газовой смеси, для чего описываемая методика наиболее удобна, определяется зависимость P_c от содержания компонента.

Для примера на рис. 3 приведена тарировочная зависимость разности давлений в сосуде при перепуске воздуха $P_{c.в}$ и бензино-воздушной смеси $P_{c.т}$, $\Delta P = P_{c.в} - P_{c.т}$ от ее состава. В этом случае для определения ΔP вообще удобнее

ΔP , мм рт.ст.

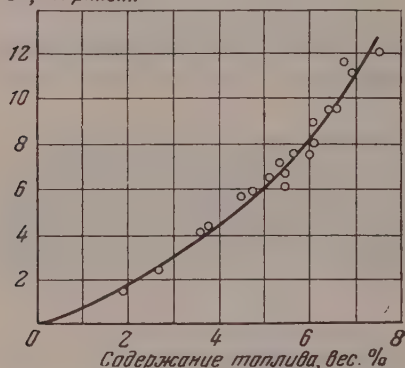


Рис. 3. Тарировочная зависимость разности давлений ΔP по процентному содержанию топлива в смеси

пользоваться дифференциальным манометром 10 (рис. 1), в котором после перепуска воздуха кран 11 закрывается, и при последующем перепуске смеси производится непосредственный отсчет разности ΔP .

Следует отметить, что если температура T_0 и давление P_0 анализируемого газа меняются от опыта к опыту и не могут строго контролироваться, целесообразен предварительный отбор газа в емкость, где может поддерживаться постоянство T_0 и P_0 (9, показана пунктиром на рис. 1). В этом случае расчетные формулы (1) — (4) несколько изменят свой вид.

Влияние различных факторов на точность анализа видно из формулы (4).

Методика была проверена и применена в работе, показав удовлетворительные результаты.

В заключение укажем, что, как это видно из выражения (4), приложение термодинамического метода не ограничи-

вается анализом газов, но может быть распространено на определение температуры и давления газа в тех случаях, когда использование прямых методов измерения затруднено (например, измерение температуры влажных смесей в отсутствие равновесия между жидкой и паровой фазой).

Академии наук СССР
Институт химической физики
Москва

Поступила
2. VI. 1956

A THERMODYNAMIC METHOD OF GAS ANALYSIS

V. Ya. Basevich

(Moscow)

Summary

The report describes a method for the analysis of gases, based on their thermodynamic properties, according to which the gas analyzed is passed through an opening of known diameter into an evacuated vessel, after which the quantity of the gas is measured. The method has been verified on hydrocarbon fuel-air mixture. Experiments have shown that the method gives satisfactory results also in analysis of humid gaseous mixtures.

УСОВЕРШЕНСТВОВАННЫЙ МЕТОД ОПРЕДЕЛЕНИЯ ПОКАЗАТЕЛЯ ПРЕЛОМЛЕНИЯ ЖИДКОСТЕЙ И ЕГО АБСОЛЮТНОГО ТЕМПЕРАТУРНОГО КОЭФФИЦИЕНТА РЕФРАКТОМЕТРОМ ИРФ-23

В. П. Фронтасев и Л. С. Шрайбер

Отсутствие надежных экспериментальных данных о температурном коэффициенте показателя преломления $\Delta n/\Delta t$ по многим чистым жидкостям, не говоря уже о многокомпонентных жидких системах, послужило поводом к разработке усовершенствованного метода рефрактометрического определения показателя преломления жидкостей и его абсолютного температурного коэффициента.

Наиболее удобным и оптически совершенным прибором для определения n_λ^t по методу предельного угла является выпускаемый в настоящее время нашей промышленностью рефрактометр ИРФ-23. Однако достоинства этого прибора значительно снижаются существенными недостатками в термостатирующем устройстве и способе измерения температуры исследуемой жидкости.

В настоящей статье описывается несложное дополнительное приспособление к рефрактометру ИРФ-23, позволяющее значительно повысить точность его измерений и определять $\Delta n/\Delta t$ при малых разностях температур, что имеет особое значение для исследования температурной зависимости самого показателя преломления *.

Для решения поставленной задачи были предварительно проанализированы основные источники погрешностей измерений n_λ^t указанным прибором. Многочисленные серии опытов, проведенные в различных условиях, показали, что точность измерений n_λ^t , принятая равной $\pm 1 \cdot 10^{-4}$, для данного типа рефрактометра при измерениях до 60°C может быть выдержана лишь в том случае, когда температура исследуемой жидкости близка к температуре окружающей среды. В противном случае указанная выше точность уже не может быть достигнута. Если температура t_p термостатирующей рефрактометр воды выше комнатной t_k , то температура слоя испытуемой жидкости вблизи поверхности призмы оказывается ниже температуры, отсчитываемой по термометру рефрактометра. Наряду с этим отсутствие герметизации кюветы для жидкости обуславливает не обнаруживаемое термометром рефрактометра, понижение температуры, вызванное тепловым эффектом испарения. Испарение в негерметизированной кювете приводит к изменению концентрации компонентов при исследовании жидких систем. Температурные неоднородности, как в самой жидкости, так и в призме при $t_p \neq t_k$, затрудняют отсчет предельного угла в результате нечеткости границы в поле зрения зрительной трубы рефрактометра.

При работе с некоторыми растворителями погрешности могут возникнуть также за счет загрязнения испытуемой жидкости клеем, которым приклеивается на призму стеклянное кольцо кюветы для жидкости.

Упомянутые источники погрешностей были по возможности устранены путем герметизации кюветы и крепления ее кольца к призме без применения клея; исключения температурных неравномерностей, возникающих в испытуемой жидкости; определения истинной температуры в слое исследуемой жидкости вблизи поверхности призмы так, чтобы ошибка при измерении $\Delta n/\Delta t$, вносимая отсчетом Δt , не превышала бы ошибок, вносимых оптико-механической системой при отсчете Δn .

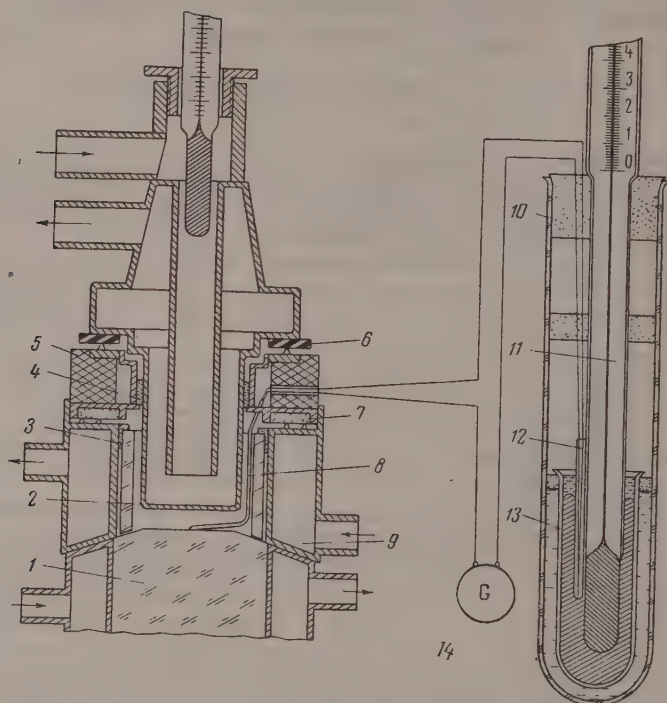
АППАРАТУРА И МЕТОДИКА ИЗМЕРЕНИЙ

Неудовлетворительное термостатирование призмы и кюветы с жидкостью является основным источником возникновения в них нежелательных температурных градиентов, вносящих ошибки при определении температур и затрудняющих отсчет предельного угла преломления. Этот недостаток может быть в значительной мере устранен при помощи полтой рубашки 9, изготовленной из латуни и надеваемой на кювету 3 (рисунк). С той стороны рубашки, которая обращена к источнику света, в рубашке сделана выемка

* Первоначальная конструкция такого приспособления была впервые применена одним из нас на рефрактометре Пульфриха [1, 2].

для прохождения луча. Через полость рубашки пропускается ток воды, термостатирующей рефрактометр. Термостат, питающий рефрактометр, поддерживал заданную температуру с точностью до тысячных долей градуса. Термостатирующий цилиндр 2 питался параллельно с рубашкой призмы; с последней была последовательно соединена рубашка кюветы. Через них пропускался ток воды, равный одному и двум литрам в минуту соответственно.

Чтобы избежать употребления каких-либо клеящих веществ, крепление стеклянного кольца кюветы к призме было осуществлено при помощи прижимного пружинного приспособления, не изображенного на рисунке; стеклянное кольцо предварительно тщательно шлифовывалось к призме; уплотняющей прокладкой служила шайба



Дополнительное приспособление к рефрактометру ИРФ-23 для термостатирования и измерения температуры жидкости в кювете. 1 — призма; 2 — термостатирующий цилиндр; 3 — кювета; 4 — уплотняющее пробковое кольцо; 5 — кольцевая прокладка; 6 — резиновая шайба; 7 — пробковая шайба; 8 — защитный чехол спая термопары; 9 — термостатирующая рубашка кюветы; 10 — стеклянная пробирка (большая); 11 — термометр Бекмана; 12 — стеклянный капилляр; 13 — стеклянная пробирка (малая); 14 — гальванометр

из тонкой золотой фольги (0,01 мм). Укрепленная таким образом кювета хорошо держала любую жидкость.

Герметизация кюветы с жидкостью была достигнута устройством, состоящим из пробкового кольца, плотно закрывавшего узкую кольцевую щель между кюветой и окружающей ее рубашкой, кольцевой прокладкой 5, служащей для крепления термопары и снабженной пробковой шайбой 7. Последняя прижимается к двум кольцевым выступам, имеющимся на верхнем торце рубашки кюветы. Кольцевой зазор между описанным приспособлением (кольцевой прокладкой) и термостатирующим цилиндром 2 закрывается пробковым кольцом 4, резиновая шайба 6 служит амортизатором и добавочным уплотнителем. Дополнительное термостатирование и герметизация кюветы дали возможность почти полностью устранить зависимость температуры преломляющего слоя жидкости от температуры комнаты. Даже при $t_p - t_k = 30^\circ \text{C}$ сохраняется необходимая четкость граничной линии в поле зрения рефрактометра и измерения угла производится с точностью $\pm 0,001^\circ$.

Температура слоя жидкости вблизи поверхности призмы измерялась при помощи термопары медь-константан, присоединенной к зеркальному гальванометру G

ша М-21. Цена деления шкалы гальванометра была равна 0,0043 град/деление. Один из термопары был смонтирован в защитный чехол 8, изготовленный из никелевой (предварительно отплатинированной) трубки. Внешний диаметр трубки составляет 55 мм, толщина ее стенок не превышает 0,05 мм, толщина закрытого конца чехла со спаем после его прокатки была равна 0,25 мм. Способ крепления чехла термопары кольцевой прокладке 5 показан на рисунке. Конец чехла со спаем касался середины верхней грани призмы. В этом случае спай принимал истинную температуру слоя жидкости, прилегающего к поверхности призмы. Второй спай термопары в стеклянном апиляре 12 помещался вместе с ртутным резервуаром термометра Бекмана 11 в инерционную систему, которая, в свою очередь, погружалась в термостат. Инерционная система состояла из стеклянной пробирки 10, в которую вставлялась пробирка 13, емкого диаметра, наполненная ртутью. Пространство между пробирками заполнялось вазелиновым маслом. Для предотвращения испарения ртути поверх нее наливался слой масла. Термостат, не изображенный на рисунке, поддерживал заданную температуру с точностью $\pm 0,01^\circ \text{C}$. Импульсы колебания температуры сглаживались инерционной системой до тысячных долей градуса. Описанное устройство, как показали специальные испытания, обеспечивало с достаточной степенью точности постоянное значение температуры второго спая термопары и резервуара термометра Бекмана. Таким образом истинная температура слоя жидкости вблизи поверхности призмы определялась путем алгебраического суммирования показаний термопары и термометра Бекмана.

В ходе измерений температура инерционной системы второго спая термопары поддерживалась примерно равной температуре первого спая, что позволяло использовать термопару, по существу, как нуль-инструмент (показания гальванометра, как завилло, не превышали ± 10 делений шкалы). Такой способ измерений имеет существенные преимущества, так как при малых отклонениях показаний гальванометра от нулевого значения можно избежать ошибок, связанных с теми или иными неточностями градуировки термопары, и пренебречь ошибками, зависящими от изменений параметров гальванометра и цепи в результате колебаний температуры окружающей среды. Градуировка термопары и установка нуля отсчета термометров Бекмана и термометра рефрактометра были произведены по одному и тому же, тщательно выверенному, нормальному термометру. Такая система отсчета даст возможность точно измерять температуру слоя испытуемой жидкости и отнести показатель преломления к истинной температуре его измерения, независимо от внешних условий.

ТОЧНОСТЬ ИЗМЕРЕНИЙ

Как отмечалось выше, предложенная методика измерений позволяет независимо от t_K производить отсчет предельного угла преломления φ с точностью $\pm 0,001^\circ$. Ранее из пяти отсчетов воспроизводилось с точностью 0,0004°, что соответствует абсолютной ошибке, обусловленной недостатками оптико-механической системы $\Delta n = \pm 3 \cdot 10^{-6}$.

Точность измерения температуры преломляющего слоя определяется ошибками при отсчете температуры по термометру Бекмана и при отсчете показаний гальванометра. Первая из них составляла $\pm 0,001^\circ \text{C}$, вторая была равна $\pm 0,002^\circ \text{C}$. Прямая ошибка при определении температуры слоя жидкости будет в таком случае $\pm 0,003^\circ \text{C}$. Предельная абсолютная ошибка в определении n_D^t , обусловленная точностью отсчета температуры для жидкости с $\Delta n / \Delta t \approx 5 \cdot 10^{-4} \text{ град}^{-1}$, имеет при указанных условиях величину $\delta n = \pm 2 \cdot 10^{-6}$, что не превышает ошибок, обусловленных оптико-механической системой прибора.

Таким образом, общая предельная ошибка при определении составляет $\delta = \delta_{\text{оп.м.}} + \delta_t = 3 \cdot 10^{-6} + 2 \cdot 10^{-6} = \pm 5 \cdot 10^{-6}$. Это позволяет утверждать, что при измерении температурного коэффициента рефракции $\Delta n / \Delta t$ при Δt порядка 5°C ошибка не превысит $\pm 2 \cdot 10^{-6} \text{ град}^{-1}$, а при больших температурных интервалах она будет соответственно меньше.

В целях испытания вышеописанной методики были определены n_D^t и $(\Delta n / \Delta t)_D$ для толуола и бензола при обычных условиях измерений без герметизации и дополнительного термостатирования и при наличии последних. Температуры отсчитывались как по термопаре, так и по термометру рефрактометра. Полученные данные введены в табл. 1. Как видно из таблицы, при измерении n_D^t без герметизации и при дополнительном термостатировании кюветы получаемый результат существенно зависит от способа измерения температуры испытуемой жидкости термопарой в прилегающем к призме слое или при помощи термометра рефрактометра, причем различие этих величин, как и следовало ожидать, значительно возрастает с увеличением разности $t_p - t_K$. Действительно, если при $t_p - t_K = 1,46^\circ \text{C}$ для толуола $\Delta n_D = 1 \cdot 10^{-5}$, то при $t_p - t_K = 6,86^\circ \text{C}$, эта разность достигает уже значения $26 \cdot 10^{-5}$, т. е. выходит далеко за рамки допустимых паспортом прибора погрешностей. При наличии герметизации и дополнительного термостатирования пометы указанное выше различие n_D^t для того же толуола не превышает $6 \cdot 10^{-5}$.

Сказанное в полной мере относится и к значению $(\Delta n/\Delta t)_D$, для которого разница в получаемых величинах значительно уменьшается при использовании предлагаемого метода измерений. Этот вывод подтверждается серией измерений и с другими жидкостями, из которых в табл. 1 помещены для иллюстрации лишь данные, относящиеся к бензолу.

Таблица 1

Вещество	t_K	t_p по термопаре	t_p по термометру	n_D	$(-\Delta n/\Delta t)_D \cdot 10^4$ (Δt — по термопаре)	$(-\Delta n/\Delta t)_D \cdot 10^4$ (Δt_p — по термометру)	n_D^* (t по термопаре)	n_D^* (t_p по термометру)
----------	-------	--------------------	---------------------	-------	--	---	-----------------------------	--------------------------------

Без герметизации и дополнительного термостатирования кюветы

Толуол	18,6	20,033	20,06	1,496571	57,0	52,1	1,496588	1,496602
	18,3	24,690	25,16	1,493917			1,493740	1,494000

$$\Delta t = 4,657 \ 5,10$$

С герметизацией и дополнительным термостатированием кюветы

»	17,3	19,983	20,02	1,496603	57,1	56,4	1,496593	1,496616
	18,3	24,960	25,06	1,493760			1,493737	1,493795

$$\Delta t = 4,977 \ 5,04$$

Бензол	22,0	19,909	19,86	1,501230	64,4	63,3	1,501172	1,501141
	21,0	25,020	25,06	1,497938			1,497951	1,497976

$$\Delta t = 5,111 \ 5,20$$

* Точно приведенные к 20° или к 25° С.

Измерение истинной температуры слоя, непосредственно прилегающего к поверхности призмы, и отнесение к ней коэффициента преломления испытуемой жидкости позволяют производить воспроизводимые измерения n_λ^t и $(\Delta n/\Delta t)_\lambda$ с достаточной точностью.

Таблица 2

Проба	n_D^{20} воды	n_D^{20} ацетона	n_D^{20} толуола
I	1,333033	1,358783	1,496596
II	1,333030	1,358788	1,496590
III	1,333035	1,358778	1,496593
Среднее	$1,333033 \pm 3 \cdot 10^{-6}$	$1,358783 \pm 5 \cdot 10^{-6}$	$1,496593 \pm 3 \cdot 10^{-6}$

В табл. 2 даны n_D^{20} некоторых жидкостей по результатам трех, следующих друг за другом измерений, на различных пробах. Опытные данные подтверждают расчетную точность измерений. Таким образом принятая для рефрактометра ИРФ-23 точность измерений $\pm 1 \cdot 10^{-4}$ может быть повышена на один порядок.

Нами были определены абсолютные температурные коэффициенты некоторых органических жидкостей в интервале от 20 до 25° С (для линии натрия). Полученные результаты в сопоставлении с литературными данными представлены в табл. 3. Для литературных данных в каждом случае указывается средняя температура измерения. Используемые в работе вещества были предварительно подвергнуты тщательной химической очистке. Этиловый спирт для измерений был взят 99,5%.

Таблица 3

Вещество	Собственные измерения			Литературные данные		
	n_D^{20}	n_D^{25}	$\left[-\frac{\Delta n}{\Delta t}\right]_D \cdot 10^3$	t° средн.	$\left[-\frac{\Delta n}{\Delta t}\right]_D \cdot 10^3$	Источники
Ацетон	1,358784	1,356134	530	22,5	530	[3]
Бензол	1,501172	1,497951	644	20,0	645	[3]
				25,0	650	[3]
Толуол	1,496593	1,493737	571	25,0	567	[4]
Этиловый спирт	1,361515	1,359489	405	20,0	404	[5]
				25,0	410	[6]
Хлороформ	1,445623	1,442615	601	15,0	590	[7]
Уксусная кислота	1,372064	1,370157	381	25,0	380	[8]

Полученные значения $(\Delta n/\Delta t)_D$ находятся в хорошем согласии с литературными данными. Совпадение величины $(\Delta n/\Delta t)_D$ для ацетона с данными Кортена [3], может быть, не является достаточно показательным, так как $(\Delta n/\Delta t)_D$ получено автором в результате измерений в широком температурном интервале: 0—45° С, что касается остальных веществ, то температурные интервалы или температуры, для которых определялись $(\Delta n/\Delta t)_D$ указанными в таблице авторами, весьма близки к температурным условиям наших измерений. Расхождение по хлороформу примерно на 2% объясняется, очевидно, тем, что найденное для сравнения литературное значение относится к 15° С, которое, естественно, должно быть ниже значения температурного коэффициента для 22,5° С.

Как видно из табл. 3, точность определения $\Delta n/\Delta t$ рекомендуемой нами модификации рефрактометрического метода имеет порядок величины такой же, каким характеризуются спектрометрические измерения.

ВЫВОДЫ

1. Описан усовершенствованный метод определения показателя преломления жидкостей и его температурного коэффициента рефрактометром ИРФ-23. Предлагаемое дополнительное приспособление к ИРФ-23 дает возможность повысить точность измерений n_λ^t на один порядок.

2. Предложенная методика определения n_λ^t позволяет получить надежные значения температурного коэффициента жидкостей и жидких растворов $\Delta n/\Delta t$ при малых Δt в сравнительно широком температурном интервале.

Саратовский государственный университет
им. Н. Г. Чернышевского

Поступила
17. X. 1956

ЛИТЕРАТУРА

- В. П. Фронтасьев, Научный ежегодник Сарат. гос. ун-та за 1954 г. Саратов, 1955.
- В. П. Фронтасьев, Уч. зап., СГУ, физ. сб., т. 44, 1955.
- Landolt-Bornstein, Phys. chem. Tabellen, II, 973, 1923.
- А. Вайсбергер, Физические методы органической химии, т. I, ИИЛ, 1950, стр. 481
- А. Г. Дорошевский, Исследование в области водно-спиртовых растворов, Москва, 1911.
- E. Hall a. A. R. Payne, Phys. Rev., 20, 249, 1922.
- J. Timmermans, F. Martin, Journ. chim. phys., 23, 733, 1926.
- J. Timmermans, Hennaut-Roland, Journ. chim. phys., 27, 401, 1930.

AN IMPROVED METHOD FOR DETERMINING IN LIQUIDS THE REFRACTIVE INDEX AND ITS ABSOLUTE TEMPERATURE COEFFICIENT WITH THE AID OF THE REFRACTOMETER I. P. F. 23

V. P. Frontas'ev and L. S. Shraiber

(Saratov)

Summary

An improved method has been described for determining in liquids the refractive index and its temperature coefficient by means of the refractometer I. R. F. 23. A proposed adaptation to the refractometer raises by one order the accuracy of measurement of the refractive index. The method proposed for measuring the n_λ^t gives reliable values for the temperature coefficient $\Delta n/\Delta t$ for liquids and liquid solutions for small Δt 's over comparatively broad intervals of temperature.

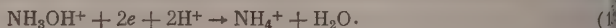
ДИСКУССИЯ

К ВОПРОСУ О ПОЛЯРОГРАФИИ ГИДРОКСИЛАМИНА

З. Р. Грабовски и С. И. Жданов

Полярографические свойства гидроксиламина описаны в нескольких работах, в которых истолкования полученных данных не вполне совпадают. Рассмотрим в отдельности явления, наблюдаемые в буферных и в небуферных растворах.

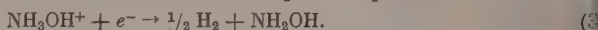
1. Волна гидроксиламина, наблюдаемая в буферных растворах [1], была изучена Водражкой [2] и приписана им двухэлектронному восстановлению катиона NH_3OH^+



Константа кислотной диссоциации NH_3OH^+ близка к $1 \cdot 10^{-6}$. Поэтому при pH 6—1 процессу восстановления иона NH_3OH^+ предшествует очень быстрая реакция рекомбинации:



Выводы Водражки впоследствии были подвергнуты сомнению. Было высказано предположение [3,4] о возможности выделения водорода по реакции



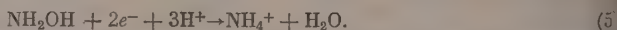
В последнее время микрокулонометрическими измерениями было доказано [5], что волна гидроксиламина в буферных растворах действительно соответствует восстановлению иона NH_3OH^+ согласно уравнению (1). Анализ полярографических кривых позволил составить кинетическое уравнение процесса, которое имеет вид

$$i = k[\text{NH}_3\text{OH}^+]_S \exp\left(-\frac{\alpha F \Phi}{RT}\right), \quad (4)$$

где индекс S относится к поверхности электрода. Величина α оказалась близкой к 0,59.

2. В небуферных растворах солянокислого гидроксиламина наблюдаются две волны. Вторая волна сильно сдвигается в сторону более положительных потенциалов с ростом заряда катионов индифферентного электролита [3]. В присутствии LaCl_3 на второй волне появляется скачок силы тока, что указывает на автокаталитический характер процесса. Вопрос о механизме автокатализа здесь обсуждаться не будет.

В отличие от второй положение первой волны почти не зависит от зарядности катионов фона. Ее потенциал полуволны лишь несколько более положителен, чем потенциал полуволны выделения водорода из кислых растворов, а высота примерно вдвое меньше высоты второй волны (т. е. составляет одну треть от суммарного предельного тока в растворах NH_4OCl). Это позволило приписать первую волну одноэлектронной реакции выделения водорода [3], а вторую — двухэлектронному восстановлению гидроксиламина [3, 4] *



На основе этих представлений была предпринята попытка объяснения изменений поляризационной кривой HCl на фоне LaCl_3 при добавлении возрастающих количеств NH_2OH [4]. Принимая во внимание возможность протекания реакций (3) и (5), а также выделение водорода из кислых растворов, были вычислены величины предельных токов, которые в большей своей части совпали с опытными данными. Однако отклонения вычисленных величин предельных токов первой волны в присутствии относительно больших количеств NH_2OH от наблюдаемых на опыте заметно превышает погрешности эксперимента.

Сопоставление и обсуждение результатов работ, выполненных одновременно в Москве и в Варшаве, позволило выработать следующую общую точку зрения.

3. Первая волна солянокислого гидроксиламина в небуферных растворах LaCl_3 [3, 4] соответствует восстановлению иона NH_3OH^+ по уравнению (1). В этом процесс

* В [4] указывается, что восстановление гидроксиламина может частично происходить и при потенциалах первой волны.

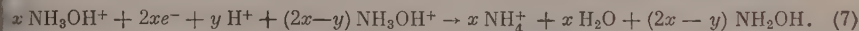
происходит потребление ионов водорода. Если единственным донором протонов будет ион NH_3OH^+ , то первой волне должно отвечать суммарное уравнение реакции



Вторая волна соответствует двухэлектронному восстановлению недиссоциированных молекул гидроксилamina NH_2OH . Из уравнения (6) уже следует наблюдающееся опыте соотношение предельных токов первой и второй волн $\text{NH}_2\text{OH} \cdot \text{HCl}$, равное 2.

Восстановление NH_3OH^+ протекает при более положительных потенциалах, чем H_2O , аналогично многим другим случаям, в которых скорость необратимого восстановления кислоты больше, чем основания.

Рассмотрим теперь систему $\text{HCl} +$ возрастающие количества NH_2OH на фоне Cl_3 . Если концентрация свободно диффундирующих ионов водорода ниже некоторой величины (см. ниже), то суммарное уравнение реакции, отвечающей предельному току первой волны, складывается из уравнений (1) и (6). Обозначим через x число ионов I_3OH^+ , подвергающихся восстановлению, а через y — число ионов H^+ , участвующих в реакции; тогда в реакции должно участвовать еще согласно (6) $(2x - y)$ ионов I_3OH^+ в качестве доноров протонов и двух электронов. Суммарное уравнение имеет вид:



Величина предельного диффузионного тока определяется скоростью диффузии реагирующих частиц и описывается в первом приближении уравнением Ильковича

$$i_d = MnD^{1/2}C, \quad (8)$$

где $M = 605 \text{ m}^{1/2} \text{ s}^{-1/2}$. В дальнейшем мы принимаем (и это, по-видимому, близко к действительности), что ион NH_3OH^+ и молекула NH_2OH имеют практически равные коэффициенты диффузии, т.е.

$$D_{\text{NH}_2\text{OH}} \approx D_{\text{NH}_3\text{OH}^+}.$$

Стехиометрические коэффициенты уравнения (7) могут быть определены как отношения диффузионных потоков соответствующих частиц:

$$(3x - y) = MD_{\text{NH}_3\text{OH}}^{1/2} [\text{NH}_3\text{OH}^+], \quad (9)$$

$$y = MD_{\text{H}^+}^{1/2} [\text{H}^+]. \quad (10)$$

сюда

$$3x = MD_{\text{NH}_3\text{OH}}^{1/2} [\text{NH}_3\text{OH}^+] + MD_{\text{H}^+}^{1/2} [\text{H}^+]. \quad (11)$$

как восстановление гидроксилamina — процесс двухэлектронный, то

$$(i_d)_1 = nx = 2x = \frac{2}{3} M \{ D_{\text{NH}_3\text{OH}}^{1/2} [\text{NH}_3\text{OH}^+] + D_{\text{H}^+}^{1/2} [\text{H}^+] \}. \quad (12)$$

При потенциалах второй волны происходит восстановление и молекул NH_2OH диффундирующих из глубины раствора

$$z = MD_{\text{NH}_2\text{OH}}^{1/2} [\text{NH}_2\text{OH}], \quad (13)$$

и возникающих на поверхности катода по реакции (7)

$$(2x - y) = \frac{1}{3} M \{ 2D_{\text{NH}_3\text{OH}}^{1/2} [\text{NH}_3\text{OH}^+] - D_{\text{H}^+}^{1/2} [\text{H}^+] + 3D_{\text{NH}_2\text{OH}}^{1/2} [\text{NH}_2\text{OH}] \} \quad (14^*)$$

сюда

$$(i_d)_2 = n(2x - y + z) = 2(2x - y + z),$$

$$(i_d)_2 = \frac{2}{3} M \{ 2D_{\text{NH}_3\text{OH}}^{1/2} [\text{NH}_3\text{OH}^+] - D_{\text{H}^+}^{1/2} [\text{H}^+] + 3D_{\text{NH}_2\text{OH}}^{1/2} [\text{NH}_2\text{OH}] \}. \quad (15)$$

ама предельных токов двух волн

$$(i_d)_1 + (i_d)_2 = 2MD_{\text{NH}_3\text{OH}}^{1/2} \{ [\text{NH}_3\text{OH}^+] + [\text{NH}_2\text{OH}] \}. \quad (16)$$

считает восстановлению всего количества гидроксилamina, диффундирующего к электроду.

* Уравнение (14) получено из уравнений (10) и (11).

Так как $(2x - y)$ — величина положительная, то из уравнения (14) вытекает условие применимости уравнений (12), (15) и (16):

$$[H^+] \leq 2 [NH_3OH^+] \left(\frac{D_{NH_3OH}}{D_{H^+}} \right)^{1/2}. \quad (17)$$

Если концентрация ионов водорода превысит величину, определяемую уравнением (17), то, во-первых, единственными донорами протонов в процессе восстановления NH_3OH^+ будут ионы водорода [см. уравнение (7)], и, во-вторых, одновременно с восстановлением NH_3OH^+ будет протекать выделение водорода путем разряда избытка ионов водорода. Естественно, что в этих условиях вторая волна не наблюдается. Легко показать, что вследствие одновременного протекания этих двух процессов предельный ток должен быть в этом случае равен величине диффузионного тока свободных ионов водорода

$$i_d = MD_{H^+}^{1/2} [H^+]. \quad (18)$$

Действительно, диффузионный ток ионов NH_3OH^+

$$(i_d)_{NH_3OH^+} = 2MD_{NH_3OH}^{1/2} [NH_3OH^+], \quad (19)$$

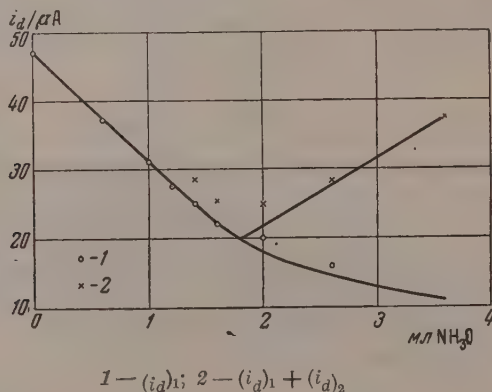
а диффузионный ток H^+ -ионов:

$$(i_d)_{H^+} = MD_{H^+}^{1/2} [H^+] - 2MD_{NH_3OH}^{1/2} [NH_3OH^+]. \quad (20)$$

Отсюда для суммарного тока получаем уравнение (18).

Уравнения (18) и (16) идентичны соответственно уравнениям (9) и (11) из [4].

Расхождение теорий, развитых в [4] и в данной статье, заключено формально в различии между уравнением (12) и уравнением (10) из [4]. Кроме того, в [4] не были достаточно точно определены условия применимости уравнений (9) и (10) так, как это сделано в данной статье для уравнений (18) и (12) [уравнение (17)].



В таблице результаты расчета величин сил тока по уравнениям (18), (12) и (16) и по уравнениям (9) — (11) из [4] сопоставлены с экспериментальными данными из [4]. Как показывает сопоставление величин 5, 8 и 9 столбцов, наблюдаемые величины $(i_d)_1$ заключены между величинами, вычисленными по уравнению (12) и по уравнению (10) в [4].

На рисунке приведены кривые, построенные по уравнениям (12), (16) и (18). Точками нанесены экспериментальные данные из таблицы. Рисунок указывает на хорошее согласие теории с экспериментом.

Теория дает заниженные по сравнению с экспериментом величины для $(i_d)_1$ в точках 7—9 (см. табл.). Возможно, что последнее явилось результатом неточности экстраполяции, применявшейся для определения $(i_d)_1$ (см. рис. 1 в [4]). Возможно также, что при потенциалах первой волны одновременно с восстановлением ионов NH_3OH^+ протекает процесс выделения водорода по (3). Пересмотр механизма возникновения скачков тока при восстановлении иона NO_3^- в кислых растворах $LaCl_3$ [6] с точки зрения развитых в данном сообщении представлений не требуется, так как этот механизм основан на роли

$[H^+]$ ммоль/л	$[NH_4O^+]$ ммоль/л	$[NH_4O]$ ммоль/л	$(i_d)_1$ наблюд., μA	$(i_d)_1 + (i_d)_2$ наблюд., μA	$(i_d)_1$ вычисл. по ур-нию (18) или (9) в [4], μA	$(i_d)_1$ вычисл. по ур-нию (12), μA	$(i_d)_1$ вычисл. по ур-нию (10) в [4], μA	$(i_d)_1 + (i_d)_2$ вычисл. по ур-нию (16) или (11) в [4], μA
5,05	—	—	47,0		(47)			
4,01	0,94	—	37,0		37,2			
3,35	1,53	—	31,0		31,2			
3,02	1,83	—	27,5		28,1			
2,71	2,12	—	25,0	28,5	25,2			
2,38	2,41	—	22,0	25,5	22,1			
1,76	2,98	—	20,0	25,0		18,15	27,4	21,9
0,85	3,80	—	16,0	28,5		14,5	21,9	27,9
—	4,52	0,59	14,5	37,5		11,0	16,6	(37,5)

$M = 1110$; $D_{H^+} = 7,0 \cdot 10^{-5}$ см²/сек (по уравнению Ильковича из 1);

$D_{NH_4OH} = 1,08 \cdot 10^{-5}$ см²/сек (по уравнению Ильковича из 9).

гидроксиламина, возникающего при восстановлении NO_3^- , в переносе протонов к поверхности электрода при таких потенциалах, при которых предельный ток восстановления самого гидроксиламина еще не достигнут.

Польская Академия наук
Институт физической химии
Варшава
Академия наук СССР
Институт физической химии
Москва

Поступила
30.XII.1956

ЛИТЕРАТУРА

1. F. Petru, Coll. Czech. Chem. Comm. 12, 620, 1947.
2. Z. Vodrázka, Chem. Listy, 45, 293, 1951.
3. С. И. Жданов, А. Н. Фрумкин, ДАН, 92, 789, 1953.
4. С. И. Жданов, А. Н. Фрумкин, Журн. физ. химии, 29, 1459, 1955.
5. W. Kemula, J. Stachurska, Z. R. Grabowski, Prace Konferencji Polarograficznej, Warszawa, 1956.
6. А. Н. Фрумкин, С. И. Жданов, ДАН, 97, 867, 1954.

О СОСТАВЕ РАВНОВЕСНОЙ ГАЗОВОЙ ФАЗЫ НАД БИНАРНЫМ РАСТВОРОМ И ОБ УРАВНЕНИИ ВАН-ДЕР-ВААЛЬСА

(По поводу статьи М. А. Решетникова [1])

Ю. С. Варшавский, А. Я. Кипнис и А. Б. Шейнин

Наиболее естественным и строгим образом вопросы фазовых равновесий решаются, как известно, методами химической термодинамики, в особенности — методом химических потенциалов Гиббса. В литературе, однако, встречаются попытки решения подобных вопросов нетермодинамическими методами. Статья М. А. Решетникова [1] представляет собой одну из таких попыток; мы остановимся на ней подробно по следующим причинам. Во-первых, в ней наиболее отчетливо выявляется бесплодность нетермодинамического подхода (не имеется, конечно, в виду подход с точки зрения статистических или молекулярно-кинетических теорий) к термодинамическим задачам. Во-вторых, она касается вопроса, имеющего серьезное теоретическое и прикладное значение. Наконец, в-третьих, до сих пор никто не обратил внимания на неверность рассуждений и выводов автора статьи, хотя со времени ее опубликования прошло около семи лет.

Основной вывод статьи М. А. Решетникова состоит в том, что уравнение ван-дер-Ваальса ([2], стр. 227) для бесконечно разбавленных и идеальных растворов в действительности имеет общий характер, т. е. применимо и к неидеальным растворам. [В уравнении (1) p означает общее давление, x — молярную долю первого компонента; индексы ' и '' означают раствор и пар соответственно; уравнение относится к изотермическим условиям.]

$$\frac{1}{p} \left(\frac{\partial p}{\partial x} \right)_T = \frac{x'' - x'}{x'(1 - x')} \quad (1)$$

Покажем, что это утверждение М. А. Решетникова противоречит термодинамике и, следовательно, является неверным.

Общее дифференциальное уравнение сосуществования фаз ван-дер-Ваальса ([2], стр. 225) имеет вид:

$$\begin{aligned} & \left[v'' - v' - (x'' - x') \left(\frac{\partial v}{\partial x} \right)'_{p,T} \right] dp = \\ & = \left[\eta'' - \eta' - (x'' - x') \left(\frac{\partial \eta}{\partial x} \right)'_{p,T} \right] dT + (x'' - x') \left(\frac{\partial^2 \xi}{\partial x^2} \right)'_{p,T} dx' \end{aligned} \quad (2)$$

(v , η и ξ — молярные объем, энтропия и термодинамический потенциал соответственно, T — температура; уравнение написано для жидкой фазы).

Прилагая это уравнение к равновесию жидкость — пар, примем, как это делает ван-дер-Ваальс ([2], стр. 227), что множитель при dp в уравнении (2) равен RT/p (это справедливо, если состояние системы достаточно удалено от критического). Учтем, далее, что

$$\left(\frac{\partial^2 \xi}{\partial x^2} \right)'_{p,T} = \left[\frac{\partial (\mu_1 - \mu_2)}{\partial x} \right]'_{p,T} = RT \left[\frac{\partial \ln \frac{f_1 x'}{f_2 (1 - x')}}{\partial x'} \right]_{p,T},$$

где μ_i и f_i — химический потенциал и коэффициент активности i -го компонента в растворе. Тогда общее уравнение ван-дер-Ваальса переходит (при $T = \text{const}$) в

$$\frac{1}{p} \left(\frac{\partial p}{\partial x'} \right)_T = (x'' - x') \left[\frac{\partial \ln \frac{f_1 x'}{f_2 (1 - x')}}{\partial x'} \right]_{p,T} \quad (3)$$

Выражая $\left(\frac{\partial \ln f_2}{\partial x'} \right)_{p,T}$ из уравнения Гиббса — Дюгема для коэффициентов активности

$$x' \left(\frac{\partial \ln f_1}{\partial x'} \right)_{p,T} + (1 - x') \left(\frac{\partial \ln f_2}{\partial x'} \right)_{p,T} = 0, \quad (4)$$

путем несложных преобразований приведем (3) к виду:

$$\frac{1}{p} \left(\frac{\partial p}{\partial x'} \right)_T = \frac{x'' - x'}{x'(1 - x')} \left[1 + x' \left(\frac{\partial \ln f_1}{\partial x'} \right)_{p,T} \right]. \quad (5)$$

Уравнение (5) представляет собой новую, в некоторых случаях весьма удобную, форму уравнения ван-дер-Ваальса для изотермического равновесия между жидкостью и паром.

По своему физическому содержанию это уравнение эквивалентно известному уравнению Дюгема — Маргулеса. Как и последнее, оно является вполне общим по отношению к свойствам жидкой фазы и ограничивается лишь требованием удаленности состояния системы от критического. Как легко видеть, (5) переходит в (1) лишь при условии

$$\left(\frac{\partial f_1}{\partial x'} \right)_{p,T} = 0. \quad (6)$$

Это означает, что уравнение (1), вопреки утверждению М. А. Решетникова, справедливо только для идеальных и бесконечно разбавленных растворов.

М. А. Решетников сделал попытку получить уравнение (1), не применяя условия (3). Исходным пунктом его рассуждений является тот факт, что давление пара над раствором есть однородная функция нулевого порядка от количеств компонентов. При помощи теоремы Эйлера об однородных функциях автор установил, что

$$p = x' \bar{P}_1 + (1 - x') \bar{P}_2. \quad (7)$$

Здесь \bar{P}_1 и \bar{P}_2 — специально введенные автором величины, которые он назвал «парциальными парциальными давлениями» и определил уравнениями:

$$\bar{P}_1 = \frac{\partial [(n_1 + n_2) p]}{\partial n_1}, \quad \bar{P}_2 = \frac{\partial [(n_1 + n_2) p]}{\partial n_2} \quad (8)$$

и n_1 и n_2 — числа молей первого и второго компонентов в растворе).

Сравнив уравнение (7) с выражением для закона Дальтона

$$p = p_1 + p_2, \quad (9)$$

М. А. Решетников пришел к умозаключению, что

$$p_1 = x' \bar{P}_1 \text{ и } p_2 = (1 - x') \bar{P}_2. \quad (10)$$

Используя (8) и (10), автор пришел к уравнению (1).

Этот вывод, по мнению автора, не содержит допущений об идеальности или бесконечной разбавленности раствора*. На самом деле, однако, это не так: уравнения (10) не являются, очевидно, следствием (7) и (9), а представляют собой допущения, которые, как сейчас будет показано, эквивалентны условию (6).

Как известно [4],

$$f_i x'_i = \frac{p_i}{p_i^0}, \quad (11)$$

где p_i^0 — давление пара чистого i -го компонента.

Сравнивая (10) с (11), получаем выражение

$$\bar{P}_i = f_i p_i^0, \quad (12)$$

являющееся условием совместимости допущений (10) с термодинамикой.

Для величин \bar{P}_i справедливо уравнение:

$$x' \left(\frac{\partial \bar{P}_1}{\partial x'} \right)_{p,T} + (1 - x') \left(\frac{\partial \bar{P}_2}{\partial x'} \right)_{p,T} = 0, \quad (13)$$

чем можно убедиться прямой подстановкой в (13) значений \bar{P}_1 и \bar{P}_2 из определений (8).

Подставляя (12) в (13), получаем

$$\left(\frac{\partial f_2}{\partial x'} \right)_{p,T} = - \frac{p_1^0}{p_2^0} \cdot \frac{x'}{1 - x'} \left(\frac{\partial f_1}{\partial x'} \right)_{p,T}. \quad (14)$$

Сравнивая (14) с уравнением Гиббса — Дюгема (4), переписанным в форме

$$\left(\frac{\partial f_2}{\partial x'} \right)_{p,T} = - \frac{x'}{1 - x'} \frac{f_2}{f_1} \left(\frac{\partial f_1}{\partial x'} \right)_{p,T},$$

* В заключительной части статьи [1], а также в более поздней работе [3] М. А. Решетников указывает, что его рассуждения содержат неявное допущение равенства эффективных количеств компонентов аналитически заданным их количествам. Это допущение следовало бы понимать как условие идеальности раствора, но такому пониманию не препятствовало все содержание статьи [1].

находим

$$\left(\frac{p_1^0}{p_2^0} - \frac{f_2}{f_1}\right) \left(\frac{\partial f_1}{\partial x'}\right)_{p,T} = 0. \quad (15)$$

Как легко убедиться при помощи (11), равенство нулю выражения в скобках эквивалентно условию $x' = x''$, что, вообще говоря, неверно. Поэтому из (15) следует, что

$$\left(\frac{\partial f_1}{\partial x'}\right)_{p,T} = 0. \quad (16)$$

Таким образом вывод М. А. Решетникова основан на тех же самых допущениях, что и вывод ван-дер-Ваальса. К сожалению, автор не только не формулирует этих допущений, но и пытается убедить читателя, что его выводы являются вполне общими.

Итак, М. А. Решетников заблуждается относительно степени общности уравнения (1).

В заключение следует остановиться на некоторых методологических пороках статьи М. А. Решетникова. Эти пороки получили наиболее концентрированное выражение в утверждении, что метод использования теоремы Эйлера об однородных функциях, предложенный автором, предпочтительнее, чем «прием вывода... из термодинамического потенциала», примененный ван-дер-Ваальсом.

Однако, как явствует из предыдущего, «метод» М. А. Решетникова представляет собой попытку получить термодинамические соотношения без помощи законов термодинамики. Ограничившись своим тривиальным исходным положением, сводящимся к тому, что давление пара над раствором есть интенсивная величина, М. А. Решетников фактически оставил вне рассмотрения основное физическое содержание обсуждаемого вопроса.

Единственно верным при макроскопическом рассмотрении фазовых равновесий является путь использования общих условий термодинамического равновесия применительно к каждому изучаемому случаю. Только так может быть выявлен физический смысл решаемой задачи и содержание принятых ограничений. Формально же математическая трактовка, оторванная от физического содержания задачи, может привести только к недоразумениям, подобным разобранному.

Поступила
6.VIII.1956

ЛИТЕРАТУРА

1. М. А. Решетников, ДАН, 68, 531, 1949.
2. И. Д. Ван-дер-Ваальс и Ф. Констамм, Курс термостатики, т. 1, ОНТИ, М., 1936.
3. М. А. Решетников, Уравнение изотермы свойств двойных иррациональных систем, Диссертация, М., 1952.
4. Льюис и Рендалл, Химическая термодинамика, ОНТИ, Химтеорет, Л., 1936, стр. 199.

ОТВЕТ НА ПИСЬМО Ф. Ф. ЧЕШКО

Т. Н. Рекашова

В статье Ф. Ф. Чешко [1] содержится критика моей работы «Металлическая модель в применении к молекуле хлорбензола» [2].

Остановлюсь вкратце на некоторых общих положениях, лежащих в основе применяемого мною метода. Выясним прежде всего вопрос о том, что следует понимать под сопряжением. С физической точки зрения сопряжение характеризуется свободой перемещения π -электронов в молекуле вдоль системы чередующихся простых и двойных связей. Именно такое понимание сопряжения и лежит в основе «металлической» модели, успешно используемой в последние годы для квантово-механического расчета тех свойств органических молекул, которые обусловлены движением π -электронов.

При этом, очевидно, что подвижные электроны молекулы с сопряженными связями, т. е. π -электроны, в действительности никогда не обладают полной свободой, так как они находятся в поле атомных остовов. Поэтому, даже в простейших случаях, когда эти остовы образованы одинаковыми атомами, строго говоря, следовало бы рассматривать движение π -электронов в поле потенциала, ход которого представляется кривой с максимумами равной величины в промежутках между атомными ядрами [3]. Для молекул с полностью выравненными простыми и двойными связями (например, полиетиновые цепочки) обычно такое поле заменяют полем потенциала, постоянного по всей длине молекулы и возрастающего до бесконечности на ее концах, т. е. приближенно рассматривают движение π -электронов в потенциальном ящике.

Иначе обстоит дело с молекулами, которые содержат атомы, различающиеся по своей природе и в первую очередь обладающие различной электроотрицательностью.

Очевидно, что здесь π -электроны, двигаясь более или менее свободно в молекуле, оттягиваются все же сильнее к тому ее концу, где расположен наиболее электроотрицательный атом. Именно этим оттягиванием π -электронов в основном и обуславливаются дипольные моменты молекул с сопряженными связями (конечно, в создании дипольных моментов участвуют также и σ -электроны, однако роль их, по-видимому, не очень велика.) Для подобного рода молекул потенциальное поле, в котором движутся π -электроны, приближенно может быть представлено в виде потенциального ящика с углублением некоторой величины в том месте, где расположен наиболее электроотрицательный атом молекулы [4] *.

Основываясь на этих физических представлениях, мы рассматриваем движение π -электронов молекулы хлорбензола в потенциальном ящике с прямоугольным углублением в том месте, где находится атом хлора [6]. Тем самым учитывается, что π -электроны молекулы хлорбензола, помимо их объединения в систему электронов, движущихся по всей молекуле в целом, еще смещаются в сторону атома хлора. Это влияние атома хлора, вызывающее оттягивание к нему наиболее подвижных электронов молекулы, в нашей статье названо индукционным.

Далее распределение электронной плотности определяется уже квантовыми законами, т. е. уравнением Шредингера, и тот факт, что квантово-механическое рассмотрение нашей модели дало совпадающее с опытом распределение плотности π -электронов в молекуле хлорбензола (точнее, в бензольном кольце), очевидно, только лишний раз говорит в пользу наших представлений.

Ф. Ф. Чешко считает, что в нашей работе распределение электронной плотности слишком определяется индукционным влиянием хлора, в то время как, по его мнению, в действительности оно является следствием только сопряжения.

На самом же деле очевидно, что результирующее распределение электронной плотности зависит от обоих факторов, которые, строго говоря, не могут быть разделены. Так и в нашей работе распределение плотности π -электронов в молекуле хлорбензола является следствием учета в уравнении Шредингера как относительной свободы перемещения π -электронов, так и электроотрицательного характера атома хлора.

Отметим еще, что из представлений Ф. Ф. Чешко получается неправильный знак дипольного момента молекулы хлорбензола.

В заключение следует сказать, что никак нельзя согласиться с такими выражениями Ф. Ф. Чешко, как «математическая трактовка», «формально — математическая обработка» и т. п. Они свидетельствуют о том, что у автора статьи существует неправильное представление о квантовой механике, как о чисто математической

* Примерно к таким же представлениям приходит и Кун [5].

схеме формально применяемой к решению той или иной задачи. Уравнение Шредингера представляет собой не математическую схему, а выражение одного из важнейших физических законов, управляющих поведением микрочастиц. Поэтому приводить здесь общеизвестное высказывание Гексли, по меньшей мере, неуместно.

Поступила
11.X.1956

ЛИТЕРАТУРА

1. Ф. Ф. Чешко, Журн. физ. химии, 30, 1883, 1946.
 2. Т. Н. Рекашева, Журн. физ. химии, 29, 1404, 1955.
 3. Т. Н. Рекашева, Журн. физич. химии, 28, 1129, 1954. H. K u h n, Journ. Chem. Phys., 17, 1198, 1949.
 4. М. Г. Веселов и Т. Н. Рекашева, Вестн. ЛГУ, № 5, 49, 1954.
 5. Н. К u h n, Helv. Chim. Acta, 34, 2371, 1951.
 6. Т. Н. Рекашева, Журн. физ. химии, 21, 1404, 1955.
-

ПИСЬМА В РЕДАКЦИЮ

О ПРОЧНОСТИ КАРБОЦЕПНЫХ ВОЛОКОН ВИНИЛХЛОРИДНОГО РЯДА

Б. Э. Геллер

Прочность на разрыв является одним из основных свойств волокон, определяющих их эксплуатационную пригодность, и зависит от энергетических характеристик макромолекул полимера.

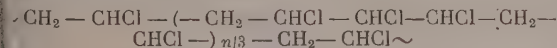
В настоящей статье выясняется ориентировочный порядок величины сил внутримолекулярного и межмолекулярного взаимодействия для сопоставления этих значений со свойствами некоторых полимеров, полученных на основе винилхлорида (поливинилхлорида, перхлорвинила, а также поливинилиденхлорида).

Для расчета была применена модель волокна, предложенная Н. В. Михайловым (В. А. Каргиным [1], в виде одиночного волокна с сечением 1 м.м^2 с одинаковой степенью полимеризации и параллельным расположением цепей вдоль оси волокна.

Насколько нам известно, до настоящего времени не опубликовано рентгенографических данных о величинах площадей поперечных сечений макромолекул винилхлоридного ряда.

Это побудило нас применить метод графического проектирования макромолекулярных моделей (рис. 3).

Наибольшие затруднения встретились при проектировании модели молекулы перхлорвинила, которой мы приписываем следующее строение:



Как известно, перхлорвинил получается в результате дополнительного хлорирования поливинилхлорида.

Содержание хлора, в зависимости от условий хлорирования, колеблется в пределах от 61 до 67%. Однако оптимальное содержание хлора, соответствующее наилучшей растворимости полимера, составляет 64%. Вышеприведенная формула подтверждается следующими фактами:

1. При действии KJ на ацетоновые растворы перхлорвиниловой смолы наблюдается выделение йода, что свидетельствует о наличии 1,2 положений хлора в цепи.
2. Растворы перхлорвинила в дихлорэтано характеризуются максимальными величинами объемной контракции и «коагуляционных чисел», минимальной величины удельной вязкости [2], а также максимальным изменением свободной энергии и максимальной теплотой растворения [3], т. е. дихлорэтан является как бы гидрированным мономером перхлорвинила.

Все эти данные позволяют, как нам кажется, с достаточным основанием предполагать расположение дополнительных атомов хлора в молекуле перхлорвинила по схеме 1,2, т. е. по схеме, в которой атом хлора замещает атом водорода в каждом звене хлорвинилового звена у углерода, не связанного с хлором.

Величины использованных для проектирования молекулярных моделей атомных радиусов, расстояний и валентных углов приняты на основании имеющихся литературных данных [4—7].

При расчете прочности межмолекулярных связей мы приняли степень полимеризации равной 1000 (обычно применяемая для синтетических волокон).

Следует отметить, что число возможных межмолекулярных связей будет различно в каждом из рассматриваемых полимеров, что видно из рис. 4—6, на которых даны вероятные схемы взаимодействия, характерные равномерным распределением энергии по всей массе вещества.

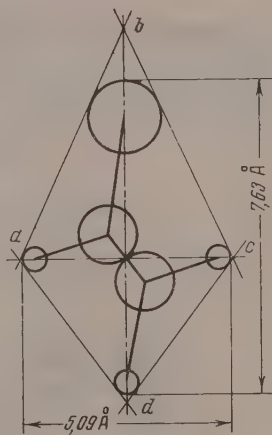


Рис. 1

В таблице результаты расчетов сопоставлены с фактическими свойствами волокон. Из таблицы видно, что разрыв высокоориентированных полимеров происходит главным образом за счет разрыва основных химических связей.

Сравнение различных свойств хлорпроизводных поливиниллов

Свойства полимеров	Перхлорвинил	Поливинилхлорид	Поливинилиденхлорид
Прочность по $C-C \frac{кг}{мм^2}$ (расчет)	145	166	141
Прочность по $H-Cl^*$ (расчет)	4180	6580	12310
Прочность волокна на разрыв, $кг/мм^2$	30—40	40—50	25—30
Температура размягчения, °C	110	120	140
Растворимость в обычных органических растворителях	Хорошая во всех хлорированных углеводородах, кетонах и т. д.	В хлорированных углеводородах при нагревании; в кетонах сильно набухает	Не растворим
Кристалличность	Аморфный [8]	Аморфный [9]	Кристаллический [9]

Сопоставляя теоретически возможную прочность волокна с реально достижимыми величинами, видим, что последние в 5—8 раз меньше, что объясняется как полимолекулярностью продуктов, так и неполной ориентацией цепей вдоль оси волокна, в результате чего в различные сечения волокна попадает неодинаковое число молекул, и происходит обрыв по более слабым местам.

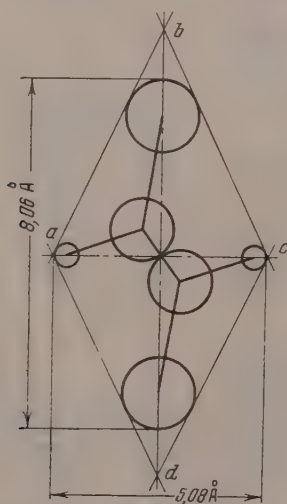


Рис. 2

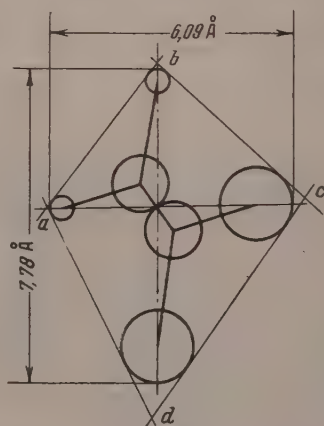


Рис. 3

При всех прочих равных условиях наиболее прочны волокна из поливинил хлорида, а перхлорвиниловые и поливинилиденхлоридные имеют приблизительно одинаковую прочность на разрыв.

Различные сополимеры хлорвинила и винилиденхлорида занимают промежуточное положение, приближаясь с увеличением содержания винилхлорида в сополимере по прочности к полихлорвинилу.

Полученные результаты расчетов позволяют объяснить поведение рассматриваемых полимеров по растворимости, температуре размягчения, кристалличности и другим свойствам.

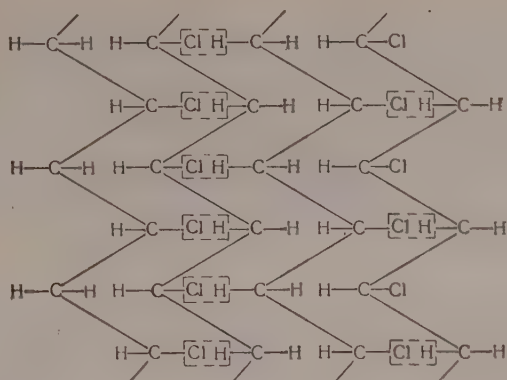


Рис. 4

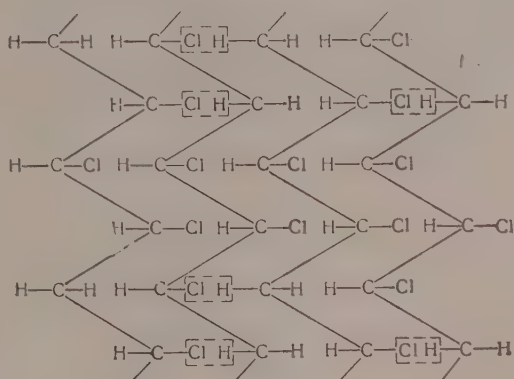


Рис. 5

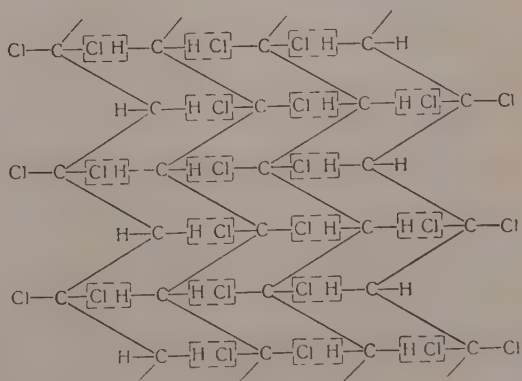


Рис. 6

Растворимость перхлорвинила и сополимера хлорвинила и винилиденхлорида (типа «велон») с одним и тем же содержанием хлора (например, 64%) различна. Проведя расчет аналогично предыдущему, находим, что теоретическая прочность по $C-Cl$ у сополимера хлорвинила и винилиденхлорида (при соотношении мономеров в полимере 1 : 1) составляет $162,5 \text{ кг/мм}^2$, что почти одинаково с теоретической прочностью поливинилхлорида (величины практической прочности также близки), а прочность по $-H-Cl-$ равна 10200 кг/мм^2 , что в 2,5 раза превышает интенсивность межмолекулярного взаимодействия у перхлорвинила.

В более интенсивном межмолекулярном взаимодействии, на наш взгляд, заключается причина очень плохой растворимости «велона» с таким же содержанием хлора, как и в перхлорвиниле, который легко растворим при комнатной температуре в органических растворителях.

Поступила
21.IX.1956

ЛИТЕРАТУРА

1. Н. В. Михайлов, В. А. Каргин, Труды IV конференции по высокомолекулярным соединениям, 1948.
2. Б. Э. Геллер, А. Б. Пакшвер, Журн. прикл. химии, **25**, 1196, 1952.
3. А. Н. Быков, А. Б. Пакшвер, Коллоидн. журн., **15**, 321, 1953.
4. L. O. Brockway, Journ. Phys. Chem., **41**, 747, 1937.
5. Shomaker, Stevenson, Journ. Amer. Chem. Soc., **63**, 37, 1941.
6. Справочник химика, т. I, ГНТИХЛ, 1951.
7. Herzberg, Journ. Chem. Phys., **10**, 306, 1942.
8. O. Seipold, Chem. Tech., **5**, 467, 1953.
9. В. В. Коршак, Химия высокомолекулярных соединений, Изд-во АН СССР 1950.

К ВОПРОСУ О СПЕКТРОСКОПИЧЕСКОМ ИЗУЧЕНИИ РЕАКЦИИ ГОРЕНИЯ

В. А. Мальцев, А. Д. Русин и В. М. Татевский

Исследованию быстрых химических процессов в настоящее время уделяется большое внимание, помимо теоретического интереса (развитие и течение процесса, состав промежуточных продуктов реакции и изменение его во времени); изучение быстрых процессов имеет также практический интерес в такой важной области индустрии, как моторостроение.

Для обнаружения свободных атомов и радикалов, возникающих в ходе реакции, с большим успехом могут применяться спектральные методы, основанные на изучении



Рис. 1. L_1 — источник света; K_1 и K_2 — конденсоры; M — кювета; C — спектрограф

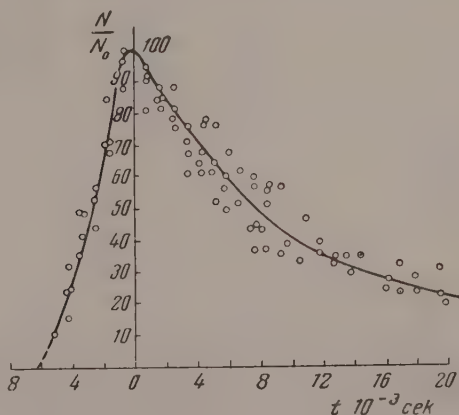


Рис. 2. N/N_0 — относительное количество гидроксила в реакционной смеси

спектров поглощения или испускания промежуточных соединений. Спектральный метод дает также возможность проследить за изменением концентраций этих соединений во времени.

Мы провели спектроскопическое исследование горения в системе $H_2 + O_2$.

Построенные по нашему заказу спектральные приборы дают возможность сфотографировать спектр поглощения реакции горения водорода на движущуюся фотопленку с разрешением во времени $6 \cdot 10^{-3}$ сек.

Принципиальная схема установки изображена на рис. 1. Реакционный сосуд представляет собой стеклянную цилиндрическую кювету с кварцевыми торцевыми окошками. В середину кюветы введены электроды для поджигания смеси. Поджиг смеси синхронизирован с моментом достижения пленкой заданной скорости. В качестве источника излучения служит ксеноновая лампа высокого давления. Наполнение кюветы производится чистыми осушенными газами через специальный ввод в кювету. Общее давление газов до поджига равно 150 мм рт. ст.

После обработки спектрограмма, характеризующая исследуемый радикал, фотометрируется, и определяется относительное изменение концентрацией гидроксила в ходе процесса горения.

Изменения во времени относительных концентраций гидроксила для четырех опытов с одинаковым исходным составом смеси приведены на рис. 2.

Таким образом, метод позволяет определять полуколичественно изменение во времени содержания гидроксила при горении смеси $H_2 + O_2$. Очевидно, он применим и для исследования кинетики других быстротекущих реакций и концентраций других промежуточных продуктов, в частности радикалов, которые трудно фиксировать другими методами.

В настоящее время методика эксперимента совершенствуется: увеличивается скорость движения пленки и стабилизации движения ее, изготавливаются более мощные и стабильные источники излучения, монтируется приспособление для регистрации давления в реакторе в ходе процесса горения и т. д.

Модернизация установки дает возможность получить количественные данные о кинетике процессов такого рода.

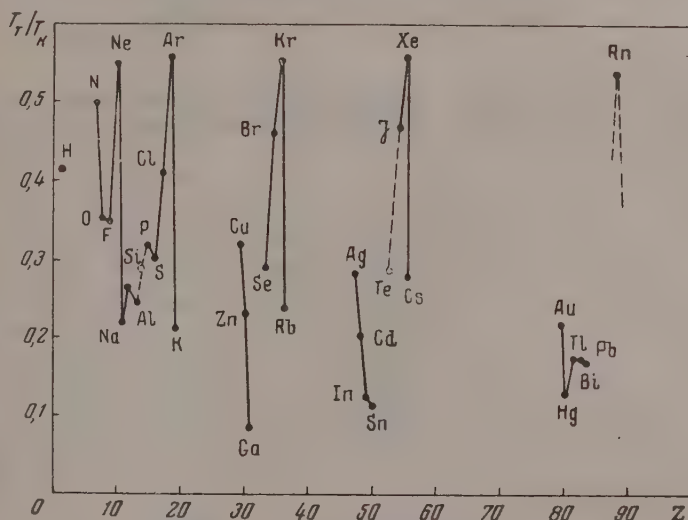
Московский государственный
университет им. М. В. Ломоносова

Поступила
7.VIII.1956

ПЕРИОДИЧЕСКАЯ ЗАВИСИМОСТЬ ПРИВЕДЕННОЙ ТЕМПЕРАТУРЫ ПЛАВЛЕНИЯ ОТ ПОРЯДКОВОГО НОМЕРА ЭЛЕМЕНТА

А. В. Воронель

В работе [1] указывалось на связь между плотностями жидкости в тройной и критической точках. Казалось интересным рассмотреть различные свойства веществ «приведенных» координатах, что придало бы, вероятно, большую общность выводам. Рассмотрение простейшей величины — приведенной температуры плавления (точнее, температуры тройной точки) T_T/T_K дало интересный результат: приведенная температура плавления оказалась периодической функцией порядкового номера в периодической системе Д. И. Менделеева, подобно тому, что было найдено для энтропии плавления А. А. Бочваром и Г. М. Кузнецовым [2].



На рисунке по оси ординат отложена величина T_T/T_K , по оси абсцисс — порядковый номер Z . На рисунке приведены имеющиеся в литературе данные для 36 элементов; зависимость имеет характерный вид. В пиках функции расположены элементы нулевой группы; в основаниях, ниже других, расположено большинство металлов. Вообще можно мысленно провести границу, ниже которой не опускается ни один из элементов-металлоидов и выше которой не поднимается ни один металл.

Эта граница проходит по горизонтали $T_T/T_K = 0,3$ с точностью $\pm 10\%$, так как точность расчетов не выше этого предела. Однако на рисунке нет данных для многих металлов, T_K которых неизвестны. Поэтому указанная закономерность может считаться установленной только для металлов главных подгрупп и подгрупп Cu и Zn. Таким образом можно утверждать, что эта группа металлов имеет исключительно низкую приведенную температуру плавления. Это в общем соответствует тому факту, что качок в свойствах при плавлении для металлов значительно меньше, чем для других веществ.

В связи с вычислением T_T/T_K были проверены T_K из работы [1] и вычислены также критические температуры для нескольких новых веществ. Так, для рубидия оказалось $T_K = 1100 \pm 100^\circ \text{C}$, для индия $T_K = 3100 \pm 200^\circ \text{C}$ и для таллия $T_K = 3000 \pm 200^\circ \text{C}$. Значение для T_K цезия, приведенное в [1], оказалось ошибочным*.

* На вероятную ошибочность значения T_K для Cs, приведенного в [1], указал Д. Герцрикен, за что автор ему весьма признателен.

Правильное значение критической температуры для Cs лежит около 1000°C .
Необходимые для вычисления T_K данные для Rb, In и Tl взяты из [3].
Кроме того, можно оценить критическую температуру двух веществ, положение которых на графике не вызывает сомнений (на рисунке обозначены пунктиром): кремния $T_K \sim 5700^{\circ}$ и теллура $T_K \sim 2300^{\circ}\text{C}$.

Представляет интерес следующая закономерность, наблюдаемая для критических температур веществ в периодической системе.

В первой половине периодов, т. е. для элементов, у которых на внешней орбите атомов находится до четырех электронов, критическая температура в пределах подгруппы убывает с атомным весом, как видно из табл. 1.

Таблица 1

I		II		III		IV	
Веще- ство	$T_K, ^{\circ}\text{C}$	Веще- ство	$T_K, ^{\circ}\text{C}$	Веще- ство	$T_K, ^{\circ}\text{C}$	Веще- ство	$T_K, ^{\circ}\text{C}$
Li	1950	Be	>3200	B	>4000	C	—
Na	1400	Mg	3200	Al	3550	Si	~ 5700
K	1300	Ca	—	Ga	3400	Ge	—
Rb	1100	Sr	—	In	3100	Sn	4100
Cs	1000	Ba	—	Tl	3000	Pb	3150

Во второй половине периодов, где на внешней орбите атомов находится более четырех электронов, критические температуры растут сверху вниз в подгруппах, т. е. с увеличением атомного веса, как видно из табл. 2.

Таблица 2

I		II		III		IV	
Веще- ство	$T_K, ^{\circ}\text{C}$	Веще- ство	$T_K, ^{\circ}\text{C}$	Веще- ство	$T_K, ^{\circ}\text{C}$	Веще- ство	$T_K, ^{\circ}\text{C}$
N	-147	O	-119	F	-129	He	-268
P	700	S	1040	Cl	144	Ne	-229
As	—	Se	1600	Br	302	Ar	-122
Sb	—	Te	~ 2300	J	553	Kr	-63
Bi	3075	Po	>3000			Xe	16,6
						Rn	104

В заключение выражаю благодарность проф. С. Д. Герцрикену за его интерес к работе и И. М. Цидильковскому и П. Р. Гарбер за обсуждение результатов.

Мордовский государственный
пединститут

Поступила
11.VIII.1956

ЛИТЕРАТУРА

1. А. В. Воронель, Журн. физ. химии, 29, 392, 1955.
2. А. А. Бочвар, Г. М. Кузнецов, ДАН, 98, 227, 1954.
3. М. А. Филианд и Е. И. Семенова, Свойства редких элементов, Металлургияиздат, 1953.



МИХАИЛ МИХАЙЛОВИЧ ПОПОВ

4 мая 1957 г. исполняется годовщина со дня смерти одного из крупнейших советских термохимиков, заведывавшего термической лабораторией им. В. Ф. Лугинина, доктора химических наук, профессора Московского государственного ордена Ленина ордена Трудового Красного Знамени университета им. М. В. Ломоносова — Михаила Михайловича Попова.

Не легким было начало жизненного пути Михаила Михайловича. Из далекого холмистого тогда городка Елатмьы, после окончания елатмынской гимназии в 1909 г. Михаил Михайлович приехал в Москву. Больших жертв стоило семье Михаила Михайловича дать ему законченное среднее образование. Необеспеченность родителей Михаила Михайловича заставила его сестру уступить Михаилу Михайловичу право учиться в гимназии, так как на их одновременное обучение средств не было.

Цель приезда Михаила Михайловича в Москву была одна — учиться дальше, труд, воля и упорство к достижению поставленной цели помогли преодолеть все невзгоды и «тяжелые дни».

Еще будучи студентом последних курсов университета, М. М. Попов обратил на себя внимание проф. И. А. Каблукова и В. В. Свентославского, угадавших в нем неунывающий ум, огромное стремление к науке и исключительное трудолюбие и упорство.

В. В. Свентославский привлек студента М. Попова к научным работам, проводимым в возглавляемой им тогда термической лаборатории Университета. В 1914 г. в журнале Русского физико-химического общества появилась первая печатная научная работа М. М. Попова, выполненная им под руководством его первого учителя проф. В. Свентославского на тему: «О калориметрической бомбе и теплоте горения бензойной кислоты».

Успешно окончив в 1914 г. естественное отделение физико-математического факультета по специальности физическая химия, Михаил Михайлович уехал в Кривой Рог для преподавания химии в Криворожском коммерческом училище.

В 1915 г. Михаил Михайлович по приглашению В. В. Свентославского и И. А. Каблукова переходит работать в Московский университет в термическую лабораторию д. В. Ф. Лугинина, с которой связывает неразрывно всю свою жизнь до последнего дня.

Начиная работу с ассистента по кафедре физической химии физико-математического факультета МГУ, до профессора и заведующего термической лабораторией им. В. Ф. Лугинина в Московском университете — таков путь научной деятельности Михаила Михайловича. Помимо научной работы Михаил Михайлович со свойственной ему энергией и энтузиазмом принимает самое активное участие в становлении своего химического факультета.

Научная деятельность Михаила Михайловича касалась самых разнообразных вопросов, всегда теснейшим образом связанных с актуальными задачами промышленности. Им создан адиабатический калориметр, высоко оцененный Международной термической комиссией, разработаны прецизионные методики по определению теплот сгорания галогеносодержащих соединений, проведены работы по определению теплоемкости твердых и жидких тел при высоких (1200°) и низких (-200°) температурах, многочисленные исследования по теплоте образования смешанных кристаллов и т. д. Последние годы Михаил Михайлович руководил рядом работ по изучению физико-химических и главным образом термохимических свойств радиоактивных элементов (ран, плутоний и др.) и выполнял работы по Постановлениям Совета Министров СССР по заданиям различных учреждений.

Перу Михаила Михайловича помимо опубликованных научно-исследовательских работ принадлежит издававшийся в двух изданиях (1935 и 1954 гг.) фундаментальный труд «Термометрия и калориметрия», являющийся единственным оригинальным руководством в этой области в СССР.

Сам испытывав трудности на пути к науке, Михаил Михайлович в первые годы Советской власти принимает самое горячее и непосредственное участие в организации при университете рабочего факультета им. М. Н. Покровского, являясь одним из его ведущих преподавателей, и пишет целый ряд учебников и руководств по химии для рабочих.

Начиная с 1934 г. по день смерти Михаил Михайлович являлся бессменным руководителем термической лаборатории им. В. Ф. Лугинина Московского университета. Благодаря его неустанным заботам и безаветному труду лаборатория сохранила высокий авторитет в научном мире нашего Союза и за его рубежом, развивая методику и технику калориметрического эксперимента на уровне лучших достижений в этой области. Исключительный педагог, всегда глубоко и чутко относившийся к своим ученикам и пользовавшийся вполне заслуженно их любовью и уважением, Михаил Михайлович за свою долгую педагогическую деятельность создал большую советскую школу своих учеников — термохимиков. Из нее вышло много крупных специалистов по термохимии, с успехом работающих в настоящее время в научно-исследовательских институтах и вузах.

Михаил Михайлович за свою деятельность в Университете был награжден премиями, медалями и высокой Правительственной наградой — орденом Ленина.

Образ Михаила Михайловича будет неполным, если, говоря о нем как об ученом, не вспомнить о Михаиле Михайловиче как о человеке. Все, кому приходилось встречаться с Михаилом Михайловичем, навсегда запомнили его совершенно исключительное обаяние. Отличаясь прямоотой в своих суждениях и кажущейся резкостью в обращении, Михаил Михайлович покорял одновременно необычайной сердечностью и теплотой. Несмотря на то, что, высказывая свое мнение, Михаил Михайлович бывал часто несдержан и говорил то, что думал, будучи противником примитивной дипломатии, мало у кого хватало упорства серьезно и надолго быть на него в обиде. Будучи глубоко принципиальным человеком, Михаил Михайлович внушал уважение и уверенность, что раз высказанное им мнение является его глубоким убеждением. Ясность, с которой Михаил Михайлович неизменно представлял себе существо обсуждаемого вопроса, и умение схватить самое главное являлись отличительным свойством его ума. Оригинальный подход к разрешению задач делал исключительно ценными его советы, а общение с ним в высшей степени интересным. Умение вносить в свою практическую работу не только большое мастерство талантливого исследователя, но и элементы высокого научного творчества являлось характерной чертой всей его деятельности.

Несмотря на, казалось бы, уединенный образ жизни Михаила Михайловича, он всегда живо интересовался всеми событиями и всегда был горячим поклонником, пропагандистом и участником всего нового, хорошего и нужного. Чрезвычайно колоритная фигура Михаила Михайловича являлась как бы частью университета и термической лаборатории, и он по-настоящему был связан с ними неразрывными узами.

Исключительно отзывчивый и чуткий человек Михаил Михайлович оставил в сердцах многих чувство глубокой симпатии, любви и признательности.

В. Пономарев

СОДЕРЖАНИЕ

К. Боресков. Удельная каталитическая активность металлов . . .	937
1. С. Палатник и И. М. Копелиович. Топоаналитическое исследование диаграмм равновесия многокомпонентных эвтектических систем. II	952
1. В. Шевелев. К вопросу о размытии адсорбционных фронтов. I. Количественные характеристики размытия	960
1. Л. Анохин. Стационарный режим сорбционного фильтрования и предельные уравнения динамики ионного обмена	976
2. Д. Нефедов и М. П. Бельды. Изучение химического состояния ThC, образующегося при распаде ThB, входящего в состав некоторых фенилпроизводных свинца	986
2. Д. Куршакова и Я. И. Герасимов. Равновесие твердых растворов $(\text{Fe}_x\text{Mn}_{1-x})\text{WO}_4$ с водородом	996
А. В. Гладков. Влияние кремнеземистого модуля на скорость ультразвука в стеклах системы $\text{Na}_2\text{O} - \text{SiO}_2$	1002
А. В. Никольская, П. П. Отопков и Я. И. Герасимов. Исследование термодинамических свойств двойных металлических систем методом э. д. с. II. Система кадмий — медь	1007
М. В. Смирнов, Н. Г. Илющенко, С. П. Детков и Л. Е. Ивановский. Растворимость тория в жидком цинке	1013
2. И. Милютинская, Х. С. Багдасарьян и Е. А. Израилевич. Исследование механизма радикальных реакций. IV. Механизм образования дифенилов при распаде перекисей бензоила и 4-нитробензоила в бензоле и нитробензоле	1019
В. Н. Толмачев и Г. Г. Ломакина. Спектрофотометрическое определение констант диссоциации 1,8-диокси-2-(2'-оксизобензол)-3,6-нафталин дисульфоната натрия	1027
Б. И. Попов. К вопросу о кинетическом уравнении гетерогенно-каталитической реакции конверсии окиси углерода с водяным паром	1033
А. Г. Стромберг и Л. С. Загайнова. Влияние концентрации камфары на электрокапиллярные кривые на ртути и на электродные процессы на кадмиевом амальгамном капельном электроде	1042
М. С. Меркулова, С. А. Потапова, Т. С. Шевелкина и В. И. Частухина. Распределение изотопов свинца и радия между раствором и кристаллами неизоморфных солей	1056
П. Г. Маслов. Графический метод определения температур сгорания органических соединений	1063
В. М. Чередниченко и М. И. Темкин. Кинетика каталитического синтеза метанола	1072
О. Б. Птицын. Геометрия линейных полимеров. V. Рассеяние света полимерными клубками и объемные эффекты	1091
Л. Н. Антипин и Н. Г. Тюрин. Причины возникновения анодного эффекта при электролитическом получении алюминия	1103
Н. Н. Август, Г. И. Березин, А. В. Киселев, И. А. Лыгина и Г. Г. Муттик. Влияние пористости графитовых адсорбентов на адсорбцию и теплоту адсорбции паров гексана	1111
М. М. Дубинин, Г. С. Жук и Е. Д. Заверина. Исследование пористой структуры твердых тел сорбционными методами. IV. О взаимосвязи различных разновидностей пор в активном угле	1126
Л. П. Филиппов. Использование теории подобия для описания свойств жидкостей. II. Экстраполяция температурной зависимости давления насыщенных паров и ортобарической плотности	1136
Е. А. Ефимов и Н. А. Изгарышев. Исследование кинетики электроокисления серной кислоты	1141
Н. А. Шурмовская и Р. Х. Бурштейн. Исследование взаимодействия кислорода с никелем методом контактной разности потенциалов	1150
Методы и техника физико-химического исследования	
В. Я. Басевич. Термодинамический метод анализа газов	1154
В. П. Фронтасев и Л. С. Шрайбер. Усовершенствованный метод определения показателя преломления жидкостей и его абсолютного температурного коэффициента рефрактометром ИРФ-23	1157
Дискуссия	
З. Р. Грабовски и С. И. Жданов. К вопросу о полирографии гидроксилamina	1162
Ю. С. Варшавский, А. Я. Кипнис и А. Б. Шейнин. О составе равновесной газовой фазы над бинарным раствором и об уравнении вандер-Ваальса (По поводу статьи М. А. Решеткина [1]).	1166
Т. Н. Рекашева. Ответ на письмо Ф. Ф. Чешко	1169

Письма в редакцию

Б. Э. Геллер. О прочности карбоцепных волокон винилхлоридного ряда	1171
В. А. Мальцев, А. Д. Русин и В. М. Татевский. К вопросу о спектроскопическом изучении реакции горения	1175
А. В. Воронель. Периодическая зависимость приведенной температуры плавления от порядкового номера элемента	1177

Хроника

В. Пономарев. Михаил Михайлович Попов	1179
---------------------------------------	------

CONTENTS

G. K. Boreskov. The Specific Catalytic Activity of Metals	937
L. S. Palatnik and I. M. Kopeliovich. Topoanalytical Investigation of Equilibrium Diagrams of Multicomponent Eutectic Systems. II	952
Ya. V. Shevelov. On the Diffuseness of the Adsorption Wave. I. Quantitative Characteristics of the Spread	960
W. L. Anokhin. The Steady State of Sorption Filtration and the Limiting Equations for the Dynamics of Ionic Exchange	976
V. D. Nefedov and M. P. Bel'dy. An Investigation into the Chemical State of ThC, Formed during Decomposition of ThB, a Constituent of Certain Phenyl Compounds of Lead	986
R. D. Kurshakova and Ya. I. Gerasimov. Equilibrium of Solid Solutions of $(\text{Fe}_x \text{Mn}_{1-x})\text{WO}_4$ and H_2	996
A. V. Gladkov. The Effect of the Silica Module on the Supersonic Velocity in Glasses of the System $\text{Na}_2\text{O} \cdot \text{Si}_2\text{O}$	1002
A. V. Nikol'skaya, P. P. Otopkov and Ya. I. Gerasimov. Investigation of the Thermodynamic Properties of Binary Metallic Systems by the Electromotive Force Method. II. The System Cadmium — Copper	1007
M. V. Smirnov, N. G. Ilyuschenko, S. P. Detkov and L. E. Ivanovskii. The Solubility of Thorium in Liquid Zinc	1013
R. I. Milyutinskaya, Kh. S. Bagdasaryan and E. A. Izrailevich. Studies on the Mechanism of Radical Reactions. IV. The Mechanism of Formation of Diphenyls in the Decomposition of Benzoyl and 4-Nitrobenzene Peroxides in Benzene and Nitrobenzene	1019
V. N. Tolmachev and G. G. Lomakina. The Spectrophotometric Determination of the Dissociation Constants of Sodium 1,8-Dioxy-2-(2-Oxyazobenzene)-3,6-Naphthalene Disulfonate	1027
B. I. Popov. On the Kinetic Equation of the Heterogeneous Catalytic Gas Shift Reaction	1033
A. G. Stromberg and L. S. Zagainova. The Effect of the Concentration of Camphor on the Mercury Electrocapillary Curve and on the Electrode Processes at a Cadmium Amalgam Dropping Electrode	1042
M. S. Merkulova, S. A. Potapova, T. S. Shevelkina, V. I. Chastukhina. Lead and Radium Isotope Distribution between Solutions and Crystals of Non-Isomorphous Salts	1056
P. G. Maslov. A Graphical Method for Determining the Combustion Temperatures of Organic Compounds	1063
V. M. Cherednichenko and M. I. Temkin. The Kinetics of the Catalytic Synthesis of Methanol	1072
O. B. Ptitsyn. The Geometry of Linear Polymers. V. The Scattering of Light by Polymer Clusters and Volume Effects	1091
L. N. Antipin and N. G. Turin. The Causes of the Anodic Effect in the Electrolytic Production of Aluminum	1103
N. N. Avgul', G. I. Berezin, A. V. Kiselev, I. A. Lygina and G. G. Muttik. The Effect of the Porosity of Graphite Adsorbents on the Adsorption and Heat of Adsorption of Hexane Vapors	1111
M. M. Dubinin, G. S. Zhuk and E. D. Zaverina. Studies on the Structure of Solids by Adsorption Methods. IV. On the Relation between Various Types of Pores in Active Carbon	1126
L. P. Filippov. The Application of the Similarity Principle in Describing the Properties of Liquids II	1136
E. A. Efimov and N. A. Izgaryshev. A Kinetic Study of the Electro-oxidation of Sulfuric Acid	1141
N. A. Shurmovskaya and R. Kh. Burshstein. Investigation of the Interaction between Oxygen and Nickel by the Contact Potential Difference Method	1150

Experimental Methods and Techniques

- V. Ya. Basevich. A Thermodynamic Method of Gas Analysis 1154
 V. P. Frontas'ev and L. S. Shraiber. An Improved Method for Determining
 in Liquids the Refractive Index and Its Absolute Temperature Coefficient
 with the Aid of the Refractometer I. R. F. 23. 1157

Discussion

- R. Grabovskii and S. I. Zhdanov. On the Polarographic Behavior of
 Hydroxylamine. 1162
 S. Varshavskii, A. Ya. Kipnis and A. B. Sheinin. On the Equili-
 brium Gaseous Phase Composition over a Binary Solution and the Van der
 Waals Equation. 1166
 N. R. Raskheva. A Reply to the Letter of F. F. Cheshko Concerning the Report
 by T. N. Raskheva «The «Metallic» Model as Applied to the Acrolein Mole-
 cule». 1169

Communications to the Editor

- E. Geller. On the Strength of Carbochain Fibers of the Vinyl Chloride
 Series 1171
 A. Mal'tsev, A. D. Rusin and V. M. Tatevskii. On the Spectro-
 scopic Study of Combustion Reactions 1175
 V. Voronel'. The Periodic Dependence of the Corrected Melting Points
 of the Elements on Their Atomic Numbers. 1177

Chronical

- Ponomarev, Mikhail Mikhailovich Popov 1179

К СВЕДЕНИЮ АВТОРОВ

Редакция Журнала физической химии доводит до сведения авторов, что ввиду большой перегрузки портфеля Редакция не в состоянии обеспечить своевременную публикацию статей, объем которых превышает 15 страниц (отпечатанных на машинке (через 2 интервала). В этот объем включаются также и рисунки, из расчета $\frac{1}{8}$ страницы на рисунок.

Объем Письма в Редакцию не должен превышать 4 страниц (отпечатанных на машинке), причем в этом случае допускается не более трех рисунков.

Статьи большего объема Редакция вынуждена будет сокращать по согласованию с автором, что неизбежно приведет к затягиванию сроков публикации.

К СВЕДЕНИЮ АВТОРОВ

Статьи, направляемые в Журнал физической химии, должны удовлетворять следующим требованиям:

1. Статьи должны быть изложены в наиболее сжатой форме, совместимой с ясностью изложения, и тщательно отредактированы в рукописи.

2. Статьи, излагающие результаты работ, проведенных в учреждениях, должны обязательно иметь направление учреждения.

В конце статьи автором должно быть указано название научного учреждения, в котором произведена работа.

3. Статья обязательно должна быть подписана автором, причем инициалы и фамилия автора должны быть четко повторены на машинке. К статье должны быть приложены адрес автора, место его работы, № телефонов для переговоров.

4. Статьи присылаются в редакцию в двух экземплярах, четко переписанные на машинке без помарок и вставок, на одной стороне листа, через два интервала, с оставлением с левой стороны листа поля в 4 см. Страницы рукописи должны быть пронумерованы по порядку, без литерных наращений (т. е. 7, 8, 9 и т. д., а не 7, 7а, 8, 9, 9а, 9б и т. д.).

5. Формулы и буквенные обозначения величин должны быть вписаны четко и ясно от руки. Особенное внимание следует обращать на тщательное изображение индексов и показателей степеней. Показатели и другие надстрочные значки отмечаются скобой \sim , а подстрочные — скобой \sim .

Необходимо делать ясное различие между заглавными и строчными буквами, для чего заглавные буквы подчеркнуть снизу двумя черточками (например, \underline{Q}), а строчные двумя черточками сверху (например, \tilde{o}), 0 (ноль) оставлять без подчеркивания. Это особенно относится к таким буквам, как c и C , k и K , p и P , u и U , s и S , z и Z , v и w и W . Греческие буквы нужно обводить красным карандашом.

6. Рисунки должны быть выполнены на белой бумаге или на кальке тушью. Подписи и обозначения на рисунках должны быть сделаны карандашом. В тексте обязательно указать место для рисунков, вынося номер рисунка на поле. На обороте каждого рисунка должны быть поставлены фамилия автора, заглавие статьи, страница, к которой относится рисунок. Подписи к рисункам и фотографиям должны быть собраны на отдельном листе, прилагаемом к рукописи.

7. Следует избегать повторения одних и тех же данных в таблицах, графиках и тексте статьи.

8. Места, предназначенные к набору петитом, должны быть отмечены вертикальной чертой на полях.

9. Ссылки на литературу должны быть собраны в конце статьи в виде списка и заключать инициалы и фамилию автора в подлиннике, название журнала, том (подчеркнуть снизу), страницу и год, а для книг: инициалы и фамилию автора, точное название книги, наименование издательства, место и год издания.

В тексте ссылки на литературу обозначаются порядковой цифрой в квадратных скобках. Категорически не допускаются ссылки на не опубликованные работы (кроме диссертаций). Иностранные фамилии и термины даются в тексте в русской транскрипции, а в перечне литературы — в оригинальной транскрипции.

10. Не следует употреблять сокращенных слов, кроме общепринятых (т. е., и т. п., и т. д.).

Надлежит придерживаться следующих сокращений: килограмм — $кг$; грамм — $г$; грамм-молекула — $г-мол$; миллиграмм-молекула — $мг-мол$; метр — $м$; дециметр — $дм$; сантиметр — $см$; миллиметр — $мм$; литр — $л$; миллилитр — $мл$; квадратный сантиметр — $см^2$; кубический сантиметр — $см^3$; орто-, мета-, пара-, o -, m - и p -; нормальный — N , децинормальный — $0,1 N$; молярный — M ; температура кипения — t , кип.; температура плавления — t , пл.

11. Статью обязательно заканчивать формулировкой выводов. Выводы должны одержать не оглавление разделов работы, а краткое изложение ее итогов; кроме выводов представлять резюме на английском языке, можно писать по-русски; в этом случае перевод будет выполнен редакцией.

12. В случае представления двух или более статей одновременно необходимо указать желательный порядок их помещения.

13. Статьи, не отвечающие перечисленным требованиям, возвращаются авторам для переделки.

14. В присылаемой корректуре исправляются только типографские ошибки, никакие изменения и добавления не допускаются.

15. В случае направления автору статьи для согласования внесенных редакцией изменений сохраняется первоначальная дата поступления статьи в редакцию, но при возвращении статьи автору для серьезной переработки и исправления датой представления считается дата принятия редакцией к публикации.

16. Редакция высылает автору бесплатно 50 отдельных отисков статьи.

Несоблюдение перечисленных условий задерживает печатание статьи.

Непринятые рукописи авторам не возвращаются.

06483	Подписано к печати 3/VII 1957 г.	Печ. л. 21,2	Уч.-изд. л. 23,3
ормат бумаги 70×108 ¹ / ₁₆ .	Бум. л. 7 ³ / ₄	Зак. 1532.	Тираж. 4075 экз.

я типография Издательства Академии наук СССР. Москва, Шубинский пер., 10

22 руб. 50 коп.